

RIO TINTO

CARACTÉRISATION ENVIRONNEMENTALE

ÉTUDE DE LA QUALITÉ DE L'ATMOSPHÈRE – PROJET GALAXY

JANVIER 2025 À DÉCEMBRE 2025

BAIE-JAMES, QUÉBEC

MARS 2026

RÉF. WSP : CA0048822.5129_001_R_REV0

CONFIDENTIEL

RAPPORT (VERSION FINALE)





RIO TINTO

**CARACTÉRISATION
ENVIRONNEMENTALE**
JANVIER 2025 À DÉCEMBRE 2025

BAIE-JAMES, QUÉBEC

RAPPORT (VERSION FINALE)
CONFIDENTIEL

RÉF. WSP : CA0048822.5129_001_R_REV0

MARS 2026

WSP CANADA INC.
11E ÉTAGE
1600, BOULEVARD RENÉ-LÉVESQUE OUEST
MONTRÉAL (QUÉBEC) H3H 1P9
CANADA

TÉLÉPHONE : +1-514-340-0046
TÉLÉCOPIEUR : +1-438-843-8111

WSP.COM

GESTION DES RÉVISIONS

VERSION	DATE	DESCRIPTION
RevA	2026-03-30	Rapport version préliminaire
Rev0	2026-03-31	Rapport version finale

SIGNATURES

PRÉPARÉ PAR



pour :

Francis Charbonneau, B. Sc., M. Env.
Professionnelle en qualité de l'air

31 mars 2026

Date

RÉVISÉ PAR

Sylvain Marcoux, ing., MBA (OIQ numéro 116307)
Chargé de projet

31 mars 2026

Date

LIMITATIONS

WSP Canada Inc. (« WSP ») a préparé ce rapport uniquement pour son destinataire Rio Tinto, conformément à la convention de consultant convenue entre les parties. Advenant qu'une convention de consultant n'ait pas été exécutée, les parties conviennent que les Modalités générales à titre de consultant de WSP régiront leurs relations d'affaires, lesquelles vous ont été fournies avant la préparation de ce rapport.

Ce rapport est destiné à être utilisé dans son intégralité. Aucun extrait ne peut être considéré comme représentatif des résultats de l'évaluation.

Les conclusions présentées dans ce rapport sont basées sur le travail effectué par du personnel technique, entraîné et professionnel, conformément à leur interprétation raisonnable des pratiques d'ingénierie et techniques courantes et acceptées au moment où le travail a été effectué.

Le contenu et les opinions exprimées dans le présent rapport sont basés sur les observations et/ou les informations à la disposition de WSP au moment de sa préparation, en appliquant des techniques d'investigation et des méthodes d'analyse d'ingénierie conformes à celles habituellement utilisées par WSP et d'autres ingénieurs/techniciens travaillant dans des conditions similaires, et assujettis aux mêmes contraintes de temps, et aux mêmes contraintes financières et physiques applicables à ce type de projet.

WSP dénie et rejette toute obligation de mise à jour du rapport si, après la date du présent rapport, les conditions semblent différer considérablement de celles présentées dans ce rapport; cependant, WSP se réserve le droit de modifier ou de terminer ce rapport sur la base d'informations, de documents ou de preuves additionnels.

WSP ne fait aucune représentation relativement à la signification juridique de ses conclusions.

La divulgation de tout renseignement faisant partie du présent rapport relève uniquement de la responsabilité de son destinataire. Si un tiers utilise, se fie, ou prend des décisions ou des mesures basées sur ce rapport, ledit tiers en est le seul responsable. WSP n'accepte aucune responsabilité quant aux dommages que pourrait subir un tiers suivant l'utilisation de ce rapport ou quant aux dommages pouvant découler d'une décision ou mesure prise basée sur le présent rapport.

WSP a exécuté ses services offerts au destinataire de ce rapport conformément à la convention de consultant convenue entre les parties tout en exerçant le degré de prudence, de compétence et de diligence dont font habituellement preuve les membres de la même profession dans la prestation des mêmes services ou de services comparables à l'égard de projets de nature analogue dans des circonstances similaires. Il est entendu et convenu entre WSP et le destinataire de ce rapport que WSP n'offre aucune garantie, expresse ou implicite, de quelque nature que ce soit. Sans limiter la généralité de ce qui précède, WSP et le destinataire de ce rapport conviennent et comprennent que WSP ne fait aucune représentation ou garantie quant à la suffisance de sa portée de travail pour le but recherché par le destinataire de ce rapport.

En préparant ce rapport, WSP s'est fié de bonne foi à l'information fournie par des tiers, comme indiqué dans le rapport. WSP a raisonnablement présumé que les informations fournies étaient correctes et WSP ne peut donc être tenu responsable de l'exactitude ou de l'exhaustivité de ces informations.

Les bornes et les repères d'arpentage utilisés dans ce rapport servent principalement à établir les différences d'élévation relative entre les emplacements de prélèvement et/ou d'échantillonnage et ne peuvent servir à d'autres fins. Notamment, ils ne peuvent servir à des fins de nivelage, d'excavation, de construction, de planification, de développement, etc.

Les conditions générales d'un site ne peuvent être extrapolées au-delà des zones définies et des emplacements de prélèvement et d'échantillonnage. Les conditions d'un site entre les emplacements de prélèvement et d'échantillonnage peuvent différer des conditions réelles. La précision et l'exactitude de toute extrapolation et spéculation au-delà des emplacements des prélèvements et d'échantillonnage dépendent des conditions naturelles, de l'historique de développement du site et des changements entraînés par la construction et des autres activités sur le site. De plus, l'analyse a été effectuée pour les paramètres chimiques et physiques déterminés seulement, et il ne peut pas être présumé que d'autres substances chimiques ou conditions physiques ne sont pas présentes. WSP ne fournit aucune garantie et ne fait aucune représentation contre les risques environnementaux non décelés ou contre des effets négatifs causés à l'extérieur de la zone définie.

Ces limitations sont considérées comme faisant partie intégrante du présent rapport.

ÉQUIPE DE RÉALISATION

WSP CANADA INC. (WSP)

Chargé de projet - Révision	Sylvain Marcoux, ing., MBA
Spécialistes air	Francis Charbonneau, B. Sc., M. Env.
Support technique	Francis Laliberté
Cartographie	Annie Masson
Édition	Cathia Gamache

RIO TINTO

Surintendante - Environnement	Dominique Thiffault
Techniciens	Éric Gingras Marc Richmond

RÉFÉRENCE À CITER

WSP. 2026. Caractérisation environnementale. Janvier 2025 à décembre 2025. Baie-James, Québec. Rapport produit pour Rio Tinto. Réf. WSP : CA0048822.5129_001_R_Rev0. 39 pages et annexes.

TABLE DES MATIÈRES

1	Introduction	1
1.1	Contexte	1
1.2	Objectifs	1
2	Méthodologie	3
2.1	Cadre réglementaire.....	3
2.2	Contaminants caractérisés	5
2.3	Points de mesure.....	6
2.3.1	Période de mesure	6
2.3.2	Localisation	6
2.3.3	Sources de contaminants présents près des stations.....	9
2.4	Instrumentation et méthode	10
2.4.1	Particules en suspension totales (PST)	10
2.4.2	Métaux et métalloïdes	11
2.4.3	Particules fines et respirables (PM _{2.5} et PM ₁₀) en continu.....	11
2.4.4	Particules fines et respirables (PM _{2.5}) sur filtre	11
2.4.5	Silice cristalline	11
2.4.6	Oxydes d'azote (NO _x).....	12
2.5	Contrôle-qualité	12
2.6	Analyse en laboratoire	13
3	Météorologie	15
3.1	Station météorologique	15
3.2	Données météorologiques	16
3.2.1	Direction et vitesse des vents	16
3.2.2	Température, humidité relative, pression barométrique.....	17
3.2.3	Précipitations.....	17
4	Résultats et analyse	19
4.1	Particules dans l'atmosphère	19
4.2	Métaux et métalloïdes	22
4.3	Matières particulaires fines (PM _{2.5}) et matières particulaires respirables (PM ₁₀)	25
4.4	Silice cristalline	29
4.5	Oxydes d'azote	32
5	Conclusion et recommandation	37
6	Références bibliographiques	39

Tableaux

Tableau 1	Substances suivies et normes et critères applicables	4
Tableau 2	Normes canadiennes de Qualité de l'air ambiant (NCQAA) pour 2020, 2025 et 2030	5
Tableau 3	Caractéristiques de la station d'échantillonnage – Campagne 2025	9
Tableau 4	Sources de contaminants pouvant affecter la station d'échantillonnage – Campagne 2025	10
Tableau 5	Composition de la station météorologique Galaxy-km381	15
Tableau 6	Données météorologiques à la station Galaxy-km381 – Campagne 2025	17
Tableau 7	Précipitations mensuelles à la station Galaxy-km381 – Campagne 2025	17
Tableau 8	Concentrations de particules totales dans l'atmosphère – Campagne 2025	19
Tableau 9	Échantillon non valide présenté à titre indicatif - Campagne 2025	20
Tableau 10	Concentrations de métaux dans l'atmosphère à la station 1 (km 381) – Campagne 2025	23
Tableau 11	Concentrations de métaux dans l'atmosphère à la station 2 (km 383) – Campagne 2025	24
Tableau 12	Concentrations de particules fines (PM _{2.5}) et respirables (PM ₁₀) dans l'atmosphère à la station 1 (km 381) – Campagne 2025	26
Tableau 13	Concentrations de particules fines (PM _{2.5}) dans l'atmosphère à la station 2 (km 383) – Campagne 2025	26
Tableau 14	Concentrations de la silice cristalline dans l'atmosphère aux stations d'échantillonnage 1 (km 381) et 2 (km 383) – Campagne 2025	30
Tableau 15	Concentrations de dioxyde d'azote (NO ₂) dans l'atmosphère à la station 1 – 2025	33

Figures

Figure 1	Rose des vents de la station météorologique Galaxy-km381 – 1 ^{er} janvier 2025 au 31 décembre 2025	16
Figure 2	Concentrations journalières des PST par échantillonneur HV à la station 1 (km 381) – Campagne 2025	21

Figure 3	Concentrations journalières des PST par échantillonneur HV à la station 2 (km 383) – Campagne 2025	22
Figure 4	Concentrations journalières des particules fines (PM _{2.5}) à la station 1 (km 381) – Campagne 2025	27
Figure 5	Concentrations journalières des particules respirables (PM ₁₀) à la station 1 (km 381) – Campagne 2025	28
Figure 6	Concentrations journalières des particules fines (PM _{2.5}) à la station 2 (km 383) – Campagne 2025	29
Figure 7	Concentrations de la silice cristalline dans l'atmosphère à la station 1 (km 381) – Campagne 2025	31
Figure 8	Concentrations de la silice cristalline dans l'atmosphère à la station 2 (km 383) – Campagne 2025	32
Figure 9	Concentrations journalières du dioxyde d'azote (NO ₂) à la station 1 – Campagne 2025	34
Figure 10	Concentrations horaires du dioxyde d'azote (NO ₂) à la station 1 – Campagne 2025.....	35

Carte

Carte 1	Position des stations de suivi de la qualité de l'air et météorologiques.....	7
---------	---	---

Annexes

A	Résultats d'analyse des blancs
B	Concentrations des particules et des métaux par échantillonneur sur filtre à haut débit (HV) - station 1 (km 381) et station 2 (km 383)
C	Concentrations journalières des particules fines (PM_{2.5}) et des particules respirables (PM₁₀) par analyseur en continu Teledyne T640 – Station 1 (km 381)
D	Concentrations des particules fines (PM_{2.5}) par échantillonneur sur filtre TE-Wilbur – station 2 (km 383)
E	Concentrations de la silice cristalline par échantillonneur sur filtre TE-Wilbur- station 1 (km 381) et station 2 (km 383)



- F** Concentration des oxydes d'azote (NO₂) par analyseur en continu Teledyne T200 – Station 1 (km 381)
- G** Certificats d'analyse

1 Introduction

1.1 Contexte

Galaxy Lithium (Canada) Inc. (GLCI), filiale en propriété exclusive de Rio Tinto PLC, projette d'exploiter un gisement de pegmatites à spodumène, un minéral qui contient du lithium. Le projet est situé à une dizaine de kilomètres au sud de la rivière Eastmain, à quelque 100 km à l'est de la Baie-James, à proximité du relais routier du km 381 de la route Billy-Diamond.

Au cours de l'année 2025, GLCI a mené certaines activités de construction concentrées sur le site industriel du projet. Les activités réalisées sont les suivantes :

- décontamination et reconstruction des campements;
- installation de la station de pompage et du système de traitement d'eau potable;
- installation du système de traitement d'eau usée;
- raccordement de la ligne électrique au bâtiment de commande/station 213;
- excavation pour le passage des câbles.

GLCI a mandaté WSP pour réaliser la caractérisation de l'air ambiant et comparer les résultats aux normes et critères de qualité de l'atmosphère applicables par l'échantillonnage de l'air à la station 1 du relais routier du km 381 ainsi qu'à la station 2 du km 383 de la route Billy-Diamond. L'étude couvre la période du 1^{er} janvier 2025 au 31 décembre 2025.

Le présent rapport détaille les substances sujettes au suivi, les normes et critères de qualité de l'air applicables à ces substances, les méthodes, analyses, équipements et procédures utilisés et les conditions spécifiques des stations d'échantillonnage du programme de suivi de la qualité de l'air.

1.2 Objectifs

Les principaux objectifs de cette étude sont :

- caractériser la qualité de l'atmosphère dans la zone du projet;
- établir les concentrations en phase de pré-construction du projet aux deux stations d'échantillonnage de l'air ambiant;
- vérifier la conformité des paramètres sélectionnés aux normes et critères de qualité de l'atmosphère du Québec et aux normes canadiennes de qualité de l'air ambiant (NCQAA).

2 Méthodologie

WSP a établi un plan d'échantillonnage permettant de caractériser la qualité de l'atmosphère selon les contaminants les plus significatifs dans le cadre de la caractérisation de la qualité de l'air aux deux stations d'échantillonnage. La présente section détaille la méthodologie utilisée.

2.1 Cadre réglementaire

Le *Règlement sur l'assainissement de l'atmosphère* (RAA) établit les normes d'émission de particules et de gaz, les normes d'opacité des émissions, les normes de qualité de l'atmosphère, ainsi que les mesures de contrôle pour prévenir, éliminer ou réduire l'émission de contaminants dans l'atmosphère (MELCCFP, 2025).

Les normes de qualité de l'atmosphère (colonne 1 de l'annexe K du RAA) ont été déterminées de manière à protéger la santé humaine et à minimiser les nuisances et les effets sur les écosystèmes (MELCCFP, 2025). Elles permettent d'évaluer les résultats des mesures de la qualité de l'atmosphère et de procéder à l'étude des projets générant des émissions de contaminants atmosphériques qui sont soumis pour autorisation. Les normes de qualité de l'atmosphère sont des concentrations maximales (en $\mu\text{g}/\text{m}^3$) exprimées pour différents intervalles de temps, soit annuel, journalier, horaire, 15 minutes ou 4 minutes. Les intervalles de temps sont choisis en fonction des effets des substances. Les normes annuelles visent à protéger la population contre les effets chroniques des substances, c'est-à-dire les effets apparaissant après des expositions de longue durée. Certains effets apparaissent, au contraire, après de très courtes expositions (par exemple, la fonction respiratoire, les mauvaises odeurs). Ils sont alors pris en compte par des normes établies sur des intervalles très courts, soit 4 minutes.

Le fait qu'une substance n'apparaisse pas dans l'annexe K du RAA ne signifie pas que ses impacts sur la population et sur l'environnement ne doivent pas être évalués. Le ministère de l'Environnement, de la Lutte contre les changements climatiques, de la Faune et des Parcs (MELCCFP) publie une liste de critères de qualité de l'atmosphère dans le document *Normes et critères québécois de qualité de l'atmosphère* (NCQQA) dont le respect doit être évalué avant d'accorder une autorisation (MDDELCC, 2025). De plus, si une substance émise ne fait pas partie de la liste des critères de qualité de l'atmosphère, le MELCCFP étudie les impacts de cette substance et détermine un critère de qualité de l'air, le cas échéant.

Les normes et critères sont établis sur des périodes spécifiques et avec, dans certains cas, des modalités de détermination spécifiques. Par exemple, la quasi-totalité des métaux doit être quantifiée selon leur présence dans les particules totales alors que le nickel et le manganèse doivent être quantifiés dans les particules respirables PM_{10} . Il est à noter que dans la présente étude, la concentration de ces deux métaux est mesurée de façon conservatrice puisque l'analyse est effectuée sur la matière particulaire totale (PST).

Le Conseil canadien des ministres de l'Environnement (CCME) liste dans les *Normes canadiennes de Qualité de l'air ambiant* (NCQAA) des objectifs de qualité de l'air sous forme de critère pour certaines substances. Les concentrations visées par ces normes sont dynamiques et deviennent plus restrictives avec le temps. Dans la présente étude, deux substances sont comprises dans les NCQAA, soit les matières particulaires fines ($\text{PM}_{2.5}$) et le dioxyde d'azote (NO_2).

Les normes et critères québécois applicables dans le cadre de ce projet sont présentés au tableau 1 et les critères canadiens applicables sont présentés au tableau 2.

Tableau 1 Substances suivies et normes et critères applicables

Substance	Période	Norme µg/m ³ ¹	Critère µg/m ³ ¹
Particules totales (PST)	24 heures//PST	120	-
Particules fines (PM _{2,5})	24 heures//PM _{2,5}	30	-
Particules respirables (PM ₁₀)	-	-	-
Dioxyde d'azote (NO ₂)	1 an//Continu	103	-
	24 heures//Continu	207	-
	1 heure//Continu	414	-
Antimoine (Sb)	Annuelle//PST	0,17	-
Argent (Ag)	Annuelle//PST	0,23	-
Arsenic (As)	Annuelle//PST	0,003	-
Baryum (Ba)	Annuelle//PST	0,05	-
Béryllium (Be)	Annuelle//PST	0,0004	-
Cadmium (Cd)	Annuelle//PST	0,0036	-
Chrome (Cr)	-	-	-
Chrome (Cr) trivalent	Annuelle//PST	0,1	-
Cobalt (Co)	Annuelle//PST	-	0,1
Cuivre (Cu)	24 heures//PST	2,5	-
Manganèse (Mn)	Annuelle//PM ₁₀	-	0,08
Nickel (Ni)	24 heures//PM ₁₀	0,07	-
	Annuelle//PM ₁₀	0,02	-
Plomb (Pb)	Annuelle//PST	0,1	-
Sélénium (Se)	1 heure//PST	-	2
Silice cristalline (SiO ₂)	1 an//PM ₄	-	0,07
Thallium (Tl)	Annuelle//PST	0,25	-
Vanadium (V)	Annuelle//PST	1	-
Zinc (Zn)	24 heures//PST	2,5	-

1 Ministère de l'Environnement, de la Lutte contre les changements climatiques, de la Faune et des Parcs (MELCCFP), 2025. Normes et critères québécois de qualité de l'atmosphère, version 10, Québec, Direction principale de la qualité de l'air et du climat, [En ligne].
www.environnement.gouv.qc.ca/air/criteres/index.htm

La CCME a mis de l'avant les Normes canadiennes de Qualité de l'air ambiant (NCQAA) pour 2020, 2025 et 2030. Le tableau 2 présente les NCQAA 2020, 2025 applicables à la présente étude ainsi que la projection 2030.

Tableau 2 Normes canadiennes de Qualité de l'air ambiant (NCQAA) pour 2020, 2025 et 2030

Polluant	Période	Valeur limite 2020	Valeur limite 2025	Valeur limite 2030	Forme statistique
Particules fines (PM _{2.5})	24 heures	27 µg/m ³		23 µg/m ³	Moyenne triennale du 98e centile annuel des concentrations quotidiennes moyennes sur 24 heures
	1 an	8,8 µg/m ³		8,0 µg/m ³	Moyenne triennale de la moyenne annuelle de toutes les concentrations quotidiennes sur 24 heures
Dioxyde d'azote (NO ₂)	1 heure	60 ppb	42 ppb		Moyenne triennale du 98e centile annuel des maximums quotidiens des concentrations moyennes de NO ₂ sur une heure
	1 an	17 ppb	12 ppb		Moyenne sur une seule année civile de toutes les concentrations moyennes de NO ₂ sur une heure

2.2 Contaminants caractérisés

En fonction des contaminants typiques des activités minières spécifiques aux futures exploitations sur le site, WSP a établi les paramètres du suivi de la qualité de l'air suivants :

- Les particules en suspension totales (PST) sous forme de particules solides (poussières) ou liquides portées par l'air. Ceci inclut les pollens d'origine végétale et les diverses poussières se trouvant initialement au sol et remises en suspension dans l'air par les vents.
- Les particules fines (PM_{2.5}) sous forme de particules solides (poussières) ou liquides portées par l'air et ayant un diamètre aérodynamique égal ou inférieur à 2,5 microns. La fine taille de ces particules amène des effets néfastes pour la santé humaine ainsi que pour les écosystèmes. Ces particules atteignent les profondeurs des organes respiratoires et sont associées à plusieurs maladies pulmonaires et cardiaques.
- Les particules respirables (PM₁₀) sous forme de particules solides (poussières) ou liquides portées par l'air et ayant un diamètre aérodynamique égal ou inférieur à 10 microns. Comparablement aux particules fines (PM_{2.5}), les particules respirables (PM₁₀) peuvent pénétrer profondément dans le système respiratoire et sont associées à plusieurs maladies pulmonaires (MELCCFP, 2022).
- Les métaux et métalloïdes qui sont présents dans les particules en suspension totales (PST). Les effets de ces contaminants sur la santé ainsi que sur la qualité des écosystèmes sont très vastes et varient selon le métal ou métalloïde. Dans le cadre de ce mandat, les concentrations de nickel et de manganèse sont déterminées de façon conservatrice sur les particules totales et seront comparées aux normes et critères pour ces métaux basés sur leur présence dans les particules PM₁₀. Également, les concentrations de sélénium sont déterminées de façon conservatrice sur des échantillons prélevés durant une période de 24 heures et seront comparées au critère pour ce métal basé sur une période d'une heure. Finalement, le chrome trivalent sera également comparé aux normes de façon conservatrice en supposant que la totalité du chrome total est sous forme trivalente.

- La silice cristalline qui est présente dans les particules ayant un diamètre aérodynamique égal ou inférieur à 4 microns. Ce contaminant peut se retrouver sous trois différentes formes, soit le quartz, la cristobalite ainsi que la tridymite. La silice cristalline est classée par le Centre international de recherche sur le cancer (CIRC) comme cancérigène pour l'humain (CCHST,2024). De plus, ce contaminant est très toxique lors d'exposition de longue durée s'attaquant au système respiratoire. Dans la présente étude, la concentration en silice cristalline est mesurée sous la forme de quartz puisque le couvert rocheux de cette région n'est pas de type volcanique et ne comporte ainsi pas de cristobalite et de tridymite.
- Le dioxyde d'azote (NO₂) qui est présent dans l'air ambiant. Ce contaminant a des effets négatifs sur le système respiratoire des humains et animaux. Le dioxyde d'azote (NO₂) peut également se dissoudre dans la vapeur d'eau de l'air pour produire des molécules acides, dont l'acide nitrique (HNO₃) pouvant endommager la faune, les infrastructures ainsi que la qualité des écosystèmes aquatiques (Gouvernement du Canada, 2013). Il est à noter que le monoxyde d'azote (NO) s'oxyde rapidement en dioxyde d'azote (NO₂) en présence de l'oxygène (O₂) dans l'air ambiant.

2.3 Points de mesure

2.3.1 Période de mesure

Le présent rapport couvre la campagne d'échantillonnage de 2025. Les périodes de mesure ont varié selon les analyseurs en fonction de leurs disponibilités techniques et de la disponibilité du personnel d'échantillonnage. La section 4 détaille les nombres d'échantillonnages réalisés

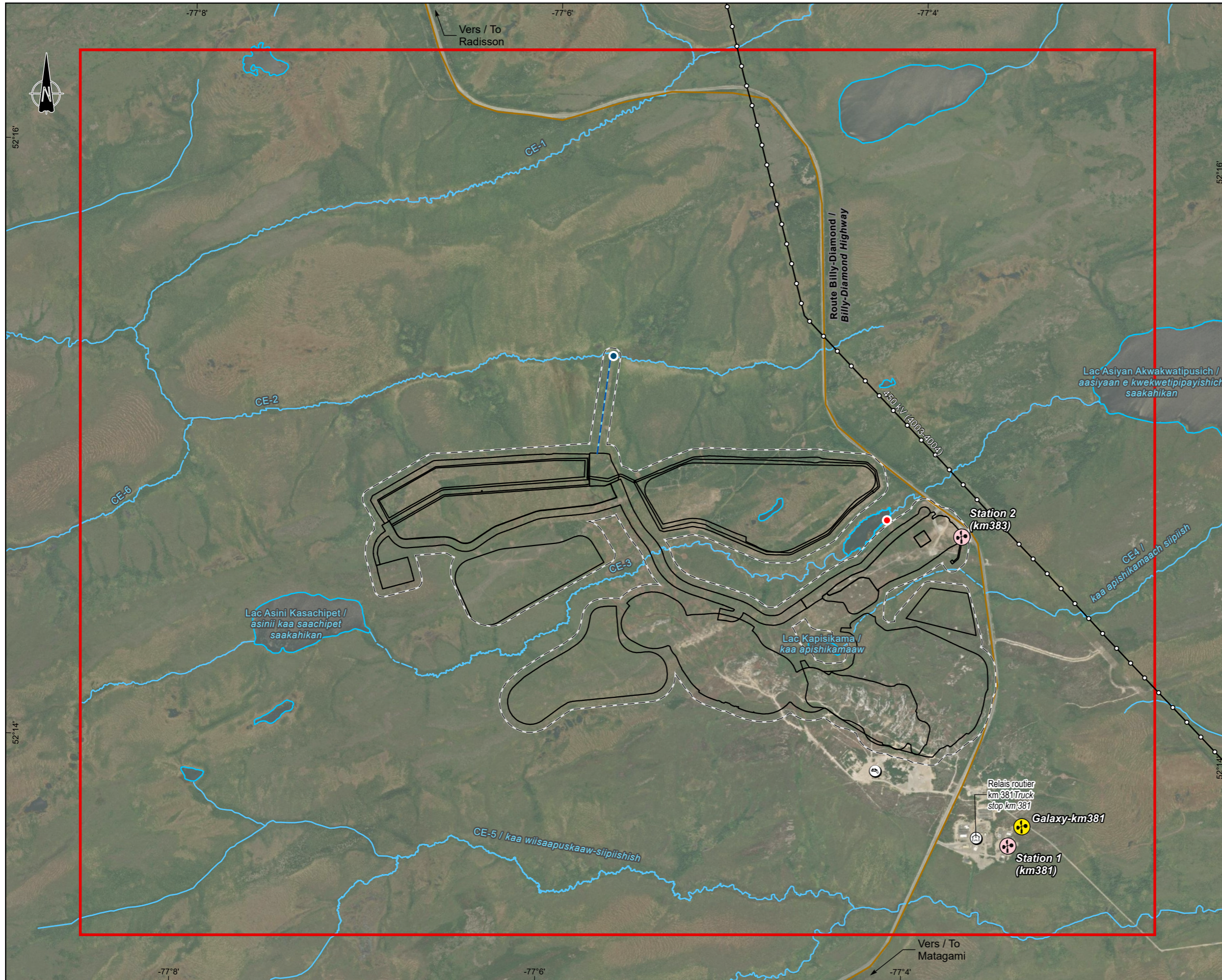
2.3.2 Localisation

Pour la réalisation de cette campagne d'échantillonnage, deux stations de mesure de la qualité de l'atmosphère ont été utilisées, et sont détaillées dans la présente section.

- station 1 au relais routier du km 381 de la route Billy-Diamond, Jamésie, Québec JOY 3B0;
- station 2 du km 383 de la route Billy-Diamond, Jamésie, Québec.

Les stations sont localisées aux mêmes emplacements que ceux rapportés pour l'année 2024.

La carte 1 présente la localisation des stations de mesure de suivi de qualité de l'atmosphère et de la station météorologique actuelle.



Qualité de l'air et météorologie / Air Quality and Meteorology

- Qualité de l'air / Air quality
- Station météorologique / Meteorological station

Composantes du projet / Project Components

- Zone d'étude du milieu naturel / Natural environment study area
- Empreinte de la mine / Mine footprint
- Infrastructures minières / Mining infrastructure
- Effluent minier / Mine effluent
- Effluent minier / Mine effluent
- Effluent sanitaire / Sanitary effluent

Hydrographie / Hydrography

- Plan d'eau / Waterbody

Cours d'eau / Watercourse

- Permanent / Permanent
- Intermittent / Intermittent

Infrastructures / Infrastructure

- Ligne de transport d'énergie / Transmission line
- Route principale / Principal road
- Relais routier / Truck stop
- Lieu d'enfouissement technique isolé / Isolated technical landfill

Rio Tinto

Projet Galaxy / Galaxy Project
 Caractérisation environnementale - Étude de la qualité de l'atmosphère /
 Environmental Characterization - Atmospheric Quality Study

Carte 1 / Map 1
Stations de suivi de qualité de l'air et météorologique / Air Quality and Meteorological Monitoring Station

Sources :
 Inventaire / Inventory : WSP 2024
 Données du projet / Project data : Galaxy, dec. 2023
 AQRéseau+, réseau routier, MERN, 2024-03-01
 ESRI World Imagery, Maxar, 2024-07-11

0 240 480 m
 NAD 1983 CSRS UTM Zone 18N

2026-03-27

Préparation : F. Charbonneau
 Dessin : V. Venne
 Approbation : D. Thiffault
 CA0048822_5129_su_qual_air_2025.aprx
 CA0048822_5129_su25_air_c01_047_meteo_260327



La précision des limites et les mesures montrées sur ce document ne doivent pas servir à des fins d'ingénierie ou de délimitation foncière. Aucune analyse foncière n'a été effectuée par un arpenteur-géomètre.

Les équipements de mesure utilisés étaient les suivants :

- analyseurs à haut débit (HV) pour les PST et métaux (stations 1 et 2);
- analyseurs à faible débit (TE-Wilbur) pour la silice cristalline sur les PM₄ (stations 1 et 2);
- analyseur Wilbur pour les particules fines (PM_{2.5}) (station 2);
- analyseur en continu Teledyne T640 pour les particules fines PM_{2.5} et les particules respirables PM₁₀ (station 1);
- analyseur en continu Teledyne T200 pour les oxydes d’azote (station 1).

Le tableau 3 présente l’emplacement et les paramètres suivis pour les deux stations.

Tableau 3 **Caractéristiques de la station d’échantillonnage – Campagne 2025**

Stations	Coordonnées DMS	Paramètres échantillonnés	Période d’échantillonnage	Nombre d’échantillons
Station 1 (km 381)	52°13'43"N 77°03'26"O	PST	1 ^{er} janvier 2025 – 27 décembre 2025	28 (23 valides)
		Métaux		
		Particules fines (PM _{2.5})	18 août 2025 – 31 décembre 2025	En continu
		Particules respirables (PM ₁₀)		
		Silice cristalline (PM ₄)	13 janvier 2025 – 17 décembre 2025	28 (26 valides)
		Dioxyde d’azote (NO ₂)	14 janvier 2025 – 31 décembre 2025	En continu
Station 2 (km 383)	52°14'45"N 77°03'44"O	PST	8 mars 2025 - 17 décembre 2025	24 (20 valides)
		Métaux		
		Particules fines (PM _{2.5})	13 janvier 2025 – 17 décembre 2025	26 (20 valides)
		Silice cristalline (SiO ₂ sur PM ₄)	13 janvier 2025 – 17 décembre 2025	26 (22 valides)

2.3.3 Sources de contaminants présents près des stations

La localisation des stations d’échantillonnage implique l’exposition à la contamination atmosphérique de sources existantes d’origine anthropologique ou naturelle. Ces sources sont détaillées au tableau 4.

Tableau 4 Sources de contaminants pouvant affecter la station d'échantillonnage – Campagne 2025

Station	Sources de contaminants présents
Station 1 (km 381) et station 2 (km 383)	<ul style="list-style-type: none">– Végétaux, pollens et débris de végétaux aéroportés.– Circulation locale d'automobiles et de camions-remorques.– Érosion éolienne des surfaces non végétalisées et réentrainement des particules au sol.– Feux de forêt.– Polluants voyageurs d'opération industrielle ou minière distante pour les particules fines (PM_{2,5}).– Installation de la station de pompage et du système de traitement d'eau potable.– Installation du système de traitement d'eaux usées.– Raccordement de la ligne électrique au bâtiment de commande/station 213.– Excavation pour passer les câbles.– Décontamination et reconstruction des campements.

Il est à noter que les stations d'échantillonnage sont situées à proximité du relais routier km 381 et de la route Billy-Diamond où il y a une circulation significative de véhicules légers et lourds.

2.4 Instrumentation et méthode

Cette section présente la méthodologie et l'instrumentation utilisées lors de la campagne 2025. L'échantillonnage ainsi que la maintenance des équipements étaient effectués par des techniciens embauchés par la WEDC pour le projet Galaxy. Les techniciens ont été formés et accompagnés, au besoin, par WSP pendant toute la campagne d'échantillonnage.

Les résultats obtenus sont comparés aux normes et critères applicables.

2.4.1 Particules en suspension totales (PST)

L'échantillonnage des PST s'effectue à l'aide d'un échantillonneur à haut débit d'air. Un échantillonneur TE-5170 du fabricant Tisch est utilisé. L'échantillonnage est effectué en alternant les jours de la semaine échantillonnés tel que décrit dans le calendrier d'échantillonnage du Réseau national de surveillance de la pollution atmosphérique (RNSPA). La durée de chaque test est de 24 heures en suivant le protocole EPS-1-AP-73-2 d'Environnement Canada de même que le protocole de l'EPA américaine Compendium Method IO-2.1. Un filtre en micro-quartz préalablement pesé est utilisé pour échantillonner les particules portées par un débit et un volume d'air connus. Le filtre est ensuite pesé à nouveau pour déterminer la masse de particules captées, par différence de la masse du filtre final et la masse du filtre initial.

Lorsqu'un filtre avait subi une déchirure pendant sa manipulation, les bouts du filtre étaient joints à l'envoi au laboratoire et mis sur la balance en même temps que le filtre. Si les déchirures rendaient impossible la pesée adéquate, l'essai était exclu de la campagne.

2.4.2 Métaux et métalloïdes

Les métaux et métalloïdes sont déterminés par analyse en laboratoire des particules totales échantillonnées selon la procédure décrite dans la section 2.4.1. La fréquence et la période d'échantillonnage des métaux et métalloïdes sont donc les mêmes que pour les particules totales, puisqu'ils sont échantillonnés conjointement sur le même filtre. Les particules récupérées sur les filtres sont analysées par un spectromètre de masse à source ionisante au plasma d'argon (ICP-MS). Les concentrations dans l'atmosphère de certains métaux sont normées sur leur présence dans les particules de type PM₁₀. Cette campagne a évalué la concentration de tous les métaux sur les particules totales. La vérification de la conformité à ces normes et critères en utilisant les concentrations sur particules totales (typiquement plus élevées que celles équivalentes sur la fraction PM₁₀) sera donc conservatrice pour certains métaux et métalloïdes.

2.4.3 Particules fines et respirables (PM_{2.5} et PM₁₀) en continu

Les matières particulaires fines (PM_{2.5}) et les matières particulaires respirables (PM₁₀) sont déterminées par analyse en continu avec l'analyseur Teledyne T640. L'appareil mesure les concentrations de ces contaminants par spectrométrie de masse dans sa chambre optique. La méthodologie utilisée est l'*Automatic Equivalent Method: EQPM-0516-240* pour les particules fines (PM_{2.5}) et les particules respirables (PM₁₀) et qui sont relatives au document *List of designated reference and equivalent methods* (USEPA, 2021) de l'Agence américaine de protection de l'environnement (USEPA). Les concentrations mesurées en particules fines (PM_{2.5}) sont comparées aux normes québécoises de la RAA et aux normes fédérales des NCQAA tandis qu'il n'y a pas de normes ou critères applicables pour les particules respirables (PM₁₀).

2.4.4 Particules fines et respirables (PM_{2.5}) sur filtre

Les matières particulaires fines (PM_{2.5}) sont déterminées à l'aide d'un échantillonneur sur filtre TE-Wilbur du fabricant Tisch. Le TE-Wilbur a été déployé avec une tête d'échantillonnage sélective ainsi qu'un cyclone ne laissant passer, avec le débit désigné de 16,67 litres par minute (LPM), que les particules dont le diamètre aérodynamique moyen est de 2,5 microns et moins. L'échantillonnage a été effectué 2 fois par mois en se basant sur le calendrier du RNSPA des PST et métaux. La durée de chaque test a été de 24 heures pour permettre la comparaison à la norme journalière du RAA. Un filtre en quartz de 47 mm a été utilisé pour échantillonner les particules fines.

2.4.5 Silice cristalline

L'échantillonnage de la silice cristalline s'effectue à l'aide d'un échantillonneur sur filtre TE-Wilbur du fabricant Tisch. Le TE-Wilbur a été déployé avec une tête d'échantillonnage sélective ainsi qu'un cyclone ne laissant passer, avec le débit désigné de 11,1 litres par minute (LPM) (Richards *et al.*, 2009; Richards *et al.*, 2015; Air Resources Board, 2003), que les particules dont le diamètre aérodynamique moyen est de 4 microns et moins. L'échantillonnage a été effectué 2 fois par mois en se basant sur le calendrier du RNSPA des PST et métaux.

La durée de chaque test a été de 120 heures de manière à obtenir sur le filtre une quantité suffisante de silice pour être détectable en laboratoire. Un filtre en PVC de 47 mm a été utilisé pour échantillonner la silice cristalline portée par un débit et un volume d'air connu. Le filtre a ensuite été analysé en laboratoire (méthode NIOSH 7602).

2.4.6 Oxydes d'azote (NO_x)

Les oxydes d'azote (NO_x) sont déterminés par analyse en continu en utilisant l'analyseur Teledyne T200 et la méthodologie *Automated Reference Method: RFNA-1194-099*. Les concentrations mesurées sont déterminées par chimiluminescence qui est la production d'une lumière à la suite d'une réaction chimique dans l'appareil. La lumière produite est mesurée par l'analyseur pour déterminer la concentration ambiante du contaminant. L'appareil mesure les concentrations en oxyde d'azote (NO_x) qui représente les oxydes d'azote totaux ainsi que les concentrations en monoxyde d'azote (NO). Les concentrations en dioxyde d'azote (NO₂) sont déterminées par la soustraction du NO aux NO_x. Il est à noter que la norme applicable de la RAA ne s'applique que sur le dioxyde d'azote (NO₂). Trois périodes sont visées par la norme du RAA, soit la concentration moyenne annuelle, journalière et horaire.

2.5 Contrôle-qualité

WSP a procédé aux activités et processus de contrôle-qualité requis pour l'échantillonnage en fonction de la bonne pratique et des méthodologies de référence. Ces activités incluent la réalisation des étalonnages des systèmes de mesure du débit des instruments, de la vérification des débits utilisés, de la réalisation d'analyses de blancs, lesquels incluent :

- les blancs de terrain (manipulations terrain sans l'échantillonnage);
- les blancs de filtre (filtres neufs non utilisés).

Les blancs de terrain permettent de qualifier le potentiel de contamination du filtre lors des manipulations requises pour l'échantillonnage. Les blancs de filtre permettent de qualifier le potentiel de présence des contaminants sur les filtres utilisés et/ou de vérifier le potentiel de contamination du filtre lors de l'analyse en laboratoire.

Les résultats d'analyses des blancs sont présentés à l'annexe A. Par conservatisme, WSP n'a pas corrigé les résultats de concentration de contaminants déterminés sur les échantillons en fonction de ces blancs. Il est à noter que le nombre de blancs de bonne pratique doit représenter 10 % des échantillons de la période d'essai. Pour l'année 2025, une seule série de blancs de laboratoire et de terrain analysés en laboratoire a été réalisée par type d'échantillonnage, alors que 2 séries auraient été souhaitables. Les blancs ont été réalisés en début d'année et sont jugés représentatifs des échantillonnages réalisés dans l'année. L'échantillonnage annuel n'a pas inclus de situation inusitée pour lesquelles une revue des blancs aurait été requise.

Les échantillons sont classés en trois catégories pour l'interprétation des résultats, soit invalides, à titre indicatif ou valides. Les échantillons invalides ne sont pas inclus dans la présente étude et représentent les échantillons auxquels il y a eu une déviation majeure à la méthodologie qui empêche une bonne interprétation des résultats. Les échantillons valides représentent les échantillons dont la méthodologie a été respectée et dont les valeurs sont comparées statistiquement aux normes et critères de façon fiable. Les échantillons à titre indicatif représentent les échantillons qui comportent une déviation jugée légère à la méthodologie permettant l'interprétation des résultats, mais avec une incertitude accrue. Dans le cadre de la présente étude, les causes ayant mené à des échantillons à titre indicatif sont les suivantes : le volume final d'air échantillonné était trop court ou trop grand (par rapport aux recommandations de la méthode), le débit d'échantillonnage était hors plage, le filtre était endommagé lors de la récupération ou il manquait des informations ou documents de terrain pour valider le contrôle qualité. Ces échantillons sont exclus des calculs pour les comparaisons aux normes ou critères.

Il est à noter que, dû à un problème technique, il y a eu 11 tests avec un échantillonnage allant jusqu'à 3 heures de trop par rapport à la méthode. Ces échantillons ont été considérés comme valides dans le présent rapport puisque tous les autres paramètres d'échantillonnage ont été respectés et que les heures supplémentaires ne devraient pas modifier de façon significative la concentration de ces résultats.

Annuellement, WSP procède à la calibration des appareils d'étalonnage utilisé sur les échantillonneurs, soit le deltacal, le manomètre électronique ainsi que de l'étalonneur HV. Galaxy possède deux unités de chaque appareil pour effectuer la rotation pendant la période de calibration et permettre la continuité de l'échantillonnage. Ces étalonnages ont été réalisés en juin 2025.

2.6 Analyse en laboratoire

Les services des laboratoires Bureau Veritas (particules et métaux) et Oshtech (silice cristalline) ont été utilisés pour analyser les échantillons sur filtre prélevés avec les équipements à grand débit et à faible débit pour la campagne 2025.

Les laboratoires sont aussi responsables d'appliquer leurs processus d'assurance-qualité. Ces processus sont documentés dans les certificats d'analyse produits par les laboratoires (ISO/IEC 17025).

3 Météorologie

3.1 Station météorologique

WSP a consulté les données de la station météorologique de Galaxy installée en 2022. La station météorologique est localisée à environ 200 m à l'est de la station 1 au relais du km 381 de la route Billy-Diamond.

La station météorologique Galaxy-km381 est située :

- latitude : 5788580 m N;
- longitude : 359586 m E;
- altitude : 208 m.

WSP a récupéré les données météorologiques du site entre le 1^{er} janvier 2025 et le 31 décembre 2025 couvrant ainsi l'entièreté de la campagne d'échantillonnage de 2025.

Les données incluaient la température, l'humidité relative de l'air, les précipitations, la pression barométrique ainsi que la direction et la vitesse des vents. Ces données ont entre autres servi à la construction de roses des vents pour la période de la campagne d'échantillonnage. Ces données sont initialement enregistrées sur un enregistreur de données situé dans le boîtier de la station météorologique; elles sont par la suite transmises sur la plateforme SMART de WSP en ligne. Les données sont ensuite traitées pour retirer les valeurs incohérentes (p. ex. : code d'erreur, valeur incohérente, etc.) avant de les inclure dans les résultats statistiques.

Le tableau 5 ci-dessous présente les équipements composant la station météorologique Galaxy-km381.

Tableau 5 Composition de la station météorologique Galaxy-km381

Station	Équipement	Paramètre mesuré
Station météorologique Galaxy-km381	Pluviomètre à auget basculeur CS700H	Précipitations
	Anémomètre Windsonic1	Direction et vitesse du vent
	Thermomètre et sonde d'humidité relative HygroVUE10	Température et humidité relative
	Baromètre BaroVUE10	Pression barométrique

WSP effectue annuellement une maintenance sur la tour météorologique pour confirmer la validité des données mesurées. Il est à noter que la sonde de température et d'humidité relative a été changée en 2025.

L'équipement composant la tour météorologique Galaxy-km381 respecte les spécifications du ministère fédéral des ressources naturelles et de l'USPEA (USEPA 2000).

3.2 Données météorologiques

3.2.1 Direction et vitesse des vents

La figure 1 présente la rose des vents à la station météorologique Galaxy-km 381 du 1^{er} janvier 2025 au 31 décembre 2025. Les vents dominants sont ceux qui viennent de l'ouest ainsi que du sud-ouest. La vitesse moyenne des vents était de 13,5 km/h.

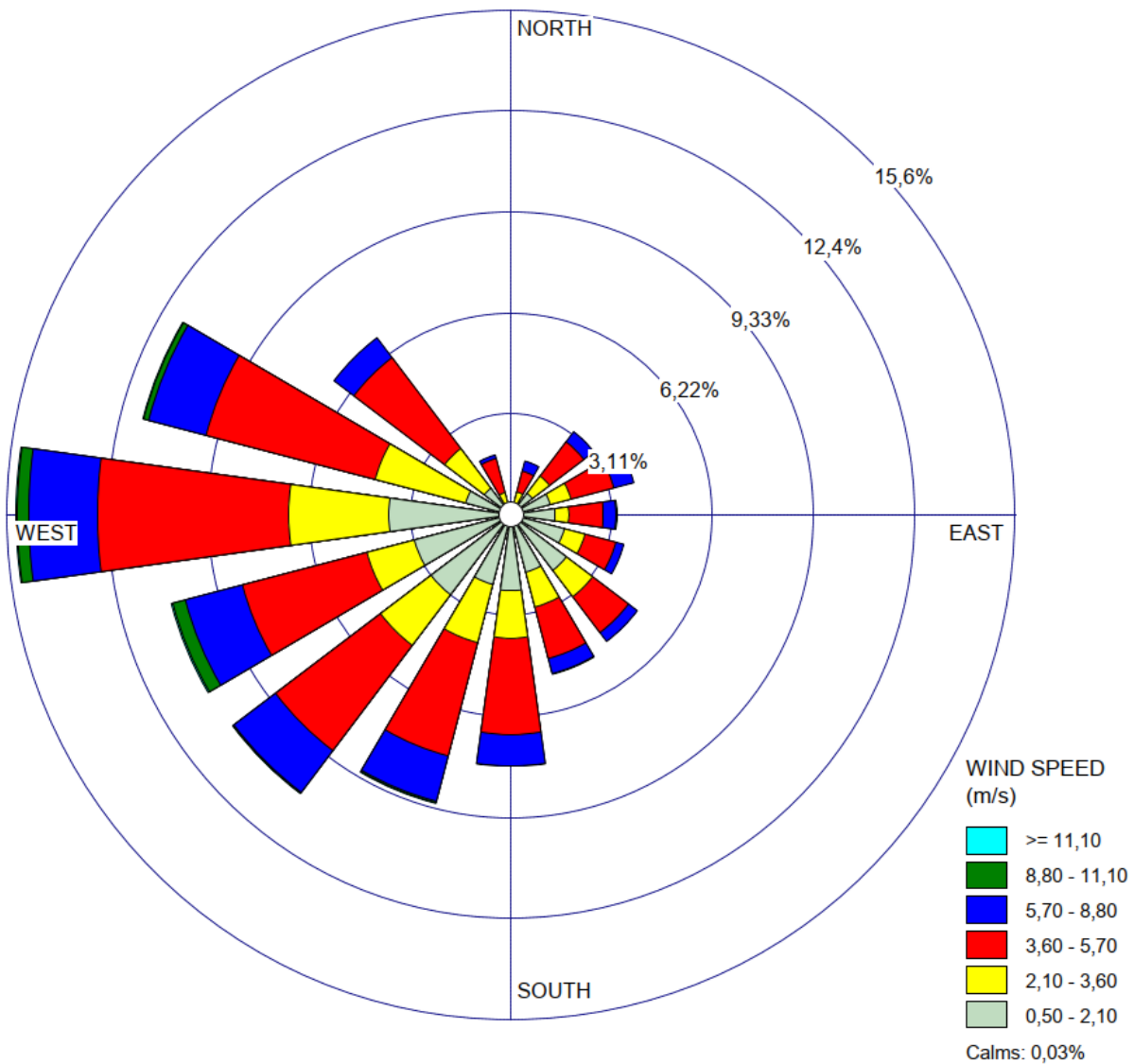


Figure 1 Rose des vents de la station météorologique Galaxy-km381 – 1^{er} janvier 2025 au 31 décembre 2025

3.2.2 Température, humidité relative, pression barométrique

Le tableau 6 présente le résumé des données météorologiques mesurées à la station météorologique Galaxy-km381 du 1^{er} janvier 2025 au 31 décembre 2025.

Tableau 6 Données météorologiques à la station Galaxy-km381 – Campagne 2025

Station	Paramètre	Moyenne annuelle	Valeur minimale	Valeur maximale
Galaxy-km381	Température (°C)	-2,3	-37,9	27,6
	Humidité relative (%)	81,4	2,9	99,9
	Pression barométrique (kPa)	98,8	94,2	103,2

3.2.3 Précipitations

Le tableau 7 présente les précipitations totales mensuelles mesurées à la station météorologique Galaxy-km381 du 1^{er} janvier 2025 au 31 décembre 2025.

Tableau 7 Précipitations mensuelles à la station Galaxy-km381 – Campagne 2025

Station	Mois	Précipitation (mm)
Galaxy-km381	Janvier	n. d.
	Février	10,8
	Mars	15,8
	Avril	14,4
	Mai	35,8
	Juin	85,4
	Juillet	57
	Août	170,8
	Septembre	81,4
	Octobre	60,2
	Novembre	19,4
	Décembre	n. d.

Il est à noter que bien que munit d'un système de chauffage permettant d'opérer jusqu'à des températures de -40 °C, le pluviomètre n'a pas enregistré de mesure de précipitation pour le mois de janvier et de décembre 2025. La présence de fort vent très froid semble diminuer l'efficacité du système de chauffage de l'appareil en combinaison avec des températures extrêmes.

4 Résultats et analyse

Cette section présente les résultats d'analyse des contaminants atmosphériques étudiés. Les concentrations en particules totales et en métaux des échantillons prélevés aux deux stations sont présentées en détail à l'annexe B. Les certificats d'analyse des laboratoires sont quant à eux présentés à l'annexe G.

4.1 Particules dans l'atmosphère

Les concentrations en matières particulaires totales (PST) ont été mesurées avec un HV PST tous les 6 jours tel que prévu au calendrier d'échantillonnage. Il est à noter qu'il n'y a pas eu d'échantillonnage pour certaines périodes de 2025 par manque de personnel qualifié pour réaliser l'échantillonnage sur le terrain ou lors de bris sur l'échantillonneur.

Le tableau 8 concentrations de particules totales dans l'atmosphère – campagne 2028 présente les résultats des concentrations de particules totales aux deux stations d'échantillonnage. Les résultats détaillés sont présentés à l'annexe B.

Tableau 8 Concentrations de particules totales dans l'atmosphère – Campagne 2025

Station	Paramètre	Nombre d'échantillons valides	Concentration moyenne journalière ($\mu\text{g}/\text{m}^3$)	Concentration maximale sur 24 h ($\mu\text{g}/\text{m}^3$)	Norme journalière du RAA ($\mu\text{g}/\text{m}^3$)	% de la norme RAA, concentration maximale	Nombre de dépassement de la norme
Station 1 (km 381)	PST	23	6,2	18,6	120	15 %	0
Station 2 (km 383)		20	14,8	41,1		34 %	0

À la station 1, les concentrations des PST ont varié de $1,1 \mu\text{g}/\text{m}^3$ à $18,6 \mu\text{g}/\text{m}^3$ durant la campagne de 2025. Sur la période d'échantillonnage, il n'y a pas eu de dépassement de la norme journalière de $120 \mu\text{g}/\text{m}^3$ du RAA.

À la station 2, les concentrations des PST ont varié de $5,0 \mu\text{g}/\text{m}^3$ à $41,1 \mu\text{g}/\text{m}^3$ durant la campagne de 2025. Sur la période d'échantillonnage, il n'y a pas eu de dépassement de la norme journalière de $120 \mu\text{g}/\text{m}^3$ du RAA. Il est à noter que, dû à un bris de l'analyseur HV, l'échantillonnage à la station 2 a seulement commencé à partir du 8 mars 2025.

Il est à noter que 5 échantillons prélevés en 2025 à la station 1 sur les 28 échantillons totaux et 4 échantillons prélevés en 2025 à la station 2 sur les 24 échantillons totaux n'ont pas été considérés comme valides pour diverses raisons, telles que des pertes de particules à la récupération et dans le transport au laboratoire, un filtre endommagé lors de la récupération, une durée d'échantillonnage trop élevée. Ces résultats sont présentés dans le tableau 9 à titre indicatif.

Tableau 9 Échantillon non valide présenté à titre indicatif - Campagne 2025

Station	Date	Concentration journalière des particules totales présentée à titre indicatif ($\mu\text{g}/\text{m}^3/24 \text{ h}$)	Pourcentage de la norme journalière du RAA (%)
Station 1 (km 381)	2025-05-07	5,5	5
	2025-05-14	71,8	60
	2025-06-14	104,6	87
	2025-06-24	37,6	31
	2025-11-16	6,6	6
Station 2 (km 383)	2025-03-14	7,7	6
	2025-05-14	143,6	120
	2025-06-14	47,1	39
	2025-06-24	119,4	99,5

La figure 2 présente les concentrations journalières de PST pour chaque journée d'échantillonnage à la station 1 lors de la campagne 2025 incluant les résultats valides et ceux présentés à titre indicatif.

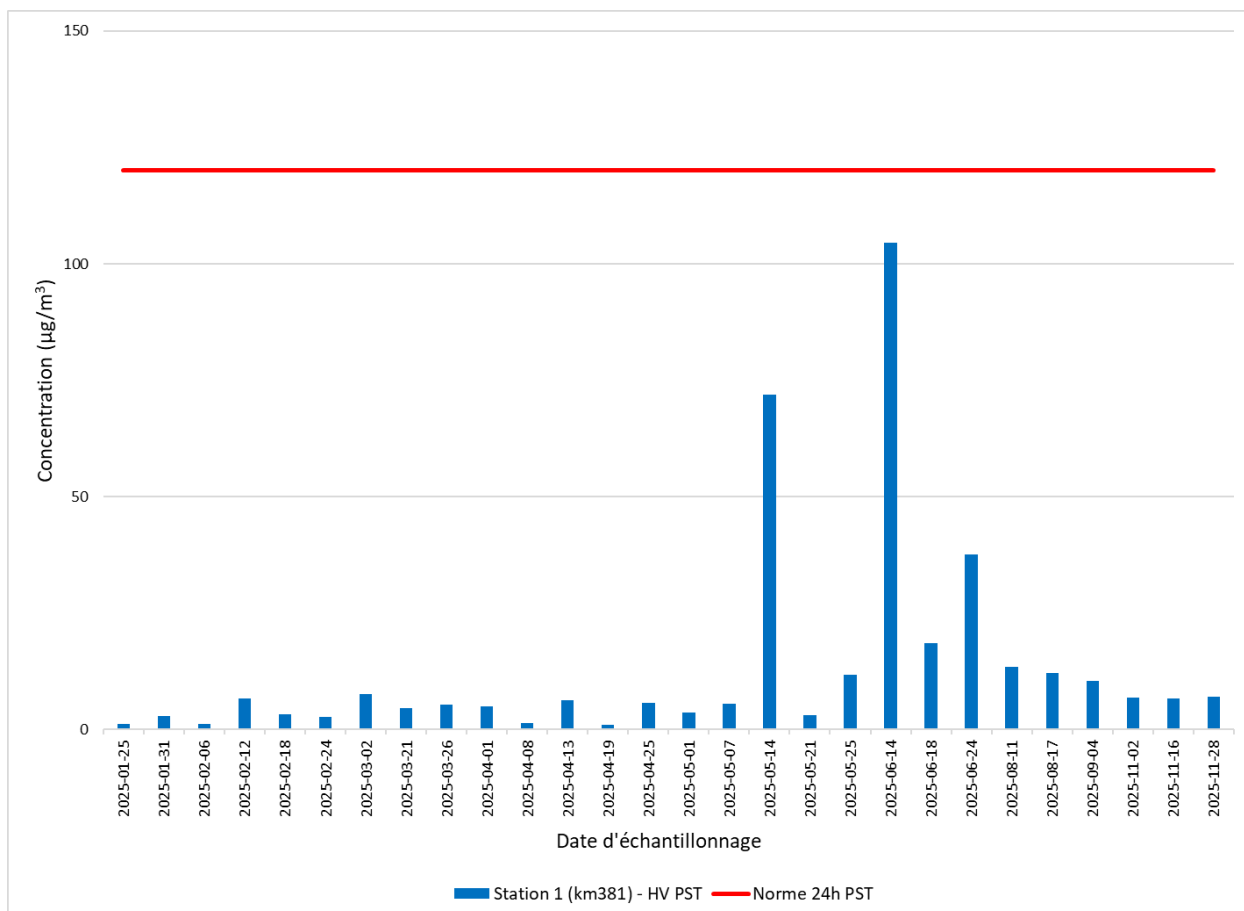


Figure 2 Concentrations journalières des PST par échantillonneur HV à la station 1 (km 381) – Campagne 2025

Aucun dépassement de la norme journalière n’a été mesuré à la station 1 en 2025. La concentration journalière maximale de 104,6 µg/m³ est inférieure à la norme de 120 µg/m³ du RAA, et a été mesurée le 14 juin 2025 avec des vents provenant de l’ouest et du sud-ouest à une vitesse moyenne de 10,9 km/h. La concentration moyenne annuelle à cette station est de 13,1 µg/m³. Les concentrations les plus élevées ont été mesurées en période estivale, ce qui concorde avec le fait que les périodes chaudes et sèches favorisent la suspension de particules dans l’air.

La figure 3 présente les concentrations journalières de PST pour chaque journée d’échantillonnage à la station 2 lors de la campagne 2025 incluant les résultats valides et ceux présentés à titre indicatif.

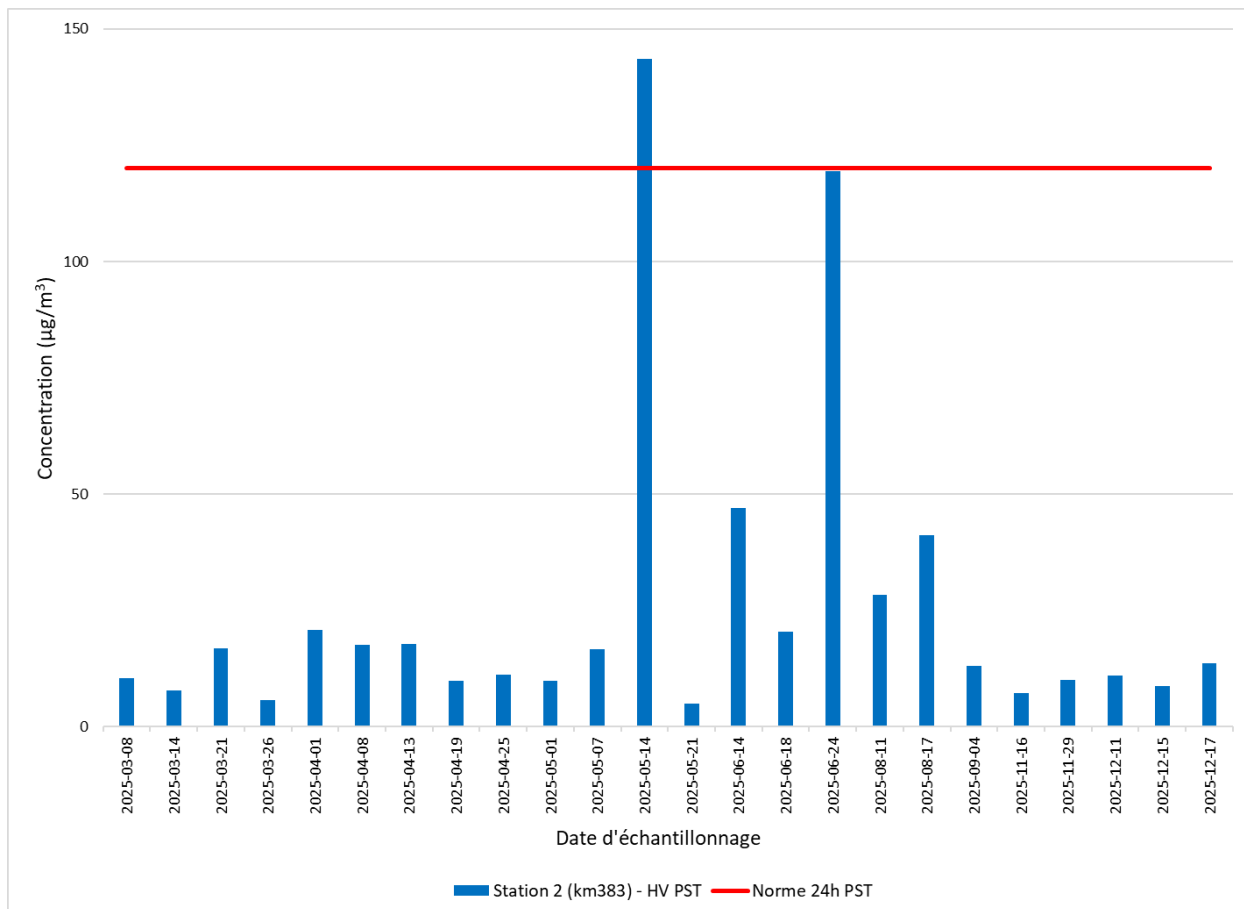


Figure 3 Concentrations journalières des PST par échantillonneur HV à la station 2 (km 383) – Campagne 2025

Un seul dépassement de la norme journalière de 120 µg/m³ du RAA a été mesuré à la station 2 en 2025, soit celui du 14 mai 2025. Cet échantillon est toutefois présenté à titre indicatif, car il y a eu une perte de particules dans l’enveloppe du laboratoire par sursaturation du filtre. Aucune observation terrain ne permet d’identifier la cause de ce dépassement. Les vents provenaient du sud-ouest et de l’ouest avec une vitesse moyenne de 21,5 km/h. La concentration moyenne annuelle à cette station est de 25,5 µg/m³ pour cette période.

4.2 Métaux et métalloïdes

Pour évaluer la qualité de l’air ambiant, les concentrations des métaux et métalloïdes sont évaluées sur la période de temps de la norme ou du critère. Pour les métaux normés sur 24 heures, la concentration maximale journalière est retenue. Pour les métaux normés sur une période annuelle, la concentration moyenne retenue est basée sur l’ensemble des échantillonnages effectués en 2025. Il est à noter que la norme de certains métaux, tels que le nickel et le magnésium, est basée sur les concentrations des particules sur la fraction PM₁₀. De plus, le critère du sélénium est basé sur une période d’une heure contrairement aux échantillons qui ont une durée de 24 h. Les résultats présentés dans la présente étude sont donc conservateurs car les analyses ont été effectuées sur les PST et sur une durée de 24 h.

Il est à noter que le calcul des concentrations des moyennes et maximums a été fait en considérant une valeur équivalente à une fois la limite de détection (LDR) de la méthode en cas de non-détection du métal au laboratoire ($< LDR = 1 LDR$). Dans les cas spécifiques où toutes les valeurs sont sous la LDR, le pourcentage de la norme ou critère du MELCCFP est donc conservateur.

Pour la campagne 2025, les concentrations de tous les métaux dans les particules totales sont inférieures aux normes ou critères applicables. Dans le cas des métaux normés sur les PM_{10} en utilisant les concentrations sur les particules totales comme mentionné à la section 2.4.2, les concentrations de manganèse et de nickel sont aussi toutes inférieures aux normes ou critères applicables. Dans le cas du sélénium, les concentrations mesurées sur une période de 24 h sont inférieures au critère basé sur une période d'une heure, mais la conformité d'éventuels pics horaires ne peut être établie par limitation de la méthodologie d'échantillonnage. Il est à noter que le chrome total a été analysé et est comparé de façon conservatrice à la norme du chrome trivalent en supposant que la totalité du chrome est sous forme trivalente.

Le tableau 10 présente les résultats des concentrations de métaux et métalloïdes présents dans les particules des 23 échantillons valides échantillonnées à la station 1.

Les résultats détaillés sont présentés à l'annexe B. Les résultats n'ont pas été corrigés en fonction des résultats des analyses de blancs et sont donc conservateurs.

Tableau 10 Concentrations de métaux dans l'atmosphère à la station 1 (km 381) – Campagne 2025

Métaux et métalloïdes	Pourcentage des valeurs < LD (%)	Concentration moyenne annuelle dans les PST ($\mu\text{g}/\text{m}^3$)	Concentration maximale sur 24h dans les PST ($\mu\text{g}/\text{m}^3$)	Normes RAA ou critères ($\mu\text{g}/\text{m}^3$)	Période	Pourcentage de la norme RAA ou critères (%)
Antimoine (Sb)	26	0,0001	0,0002	0,17	1 an (PST)	0,1
Argent (Ag)	100	<0,0001	<0,0001	0,23	1 an (PST)	<0,05
Arsenic (As)	65	0,0002	0,0003	0,003	1 an (PST)	6,3
Baryum (Ba)	0	0,0006	0,001	0,05	1 an (PST)	1,2
Béryllium (Be)	100	<0,0001	<0,0002	0,0004	1 an (PST)	<29,7
Cadmium (Cd)	100	<0,0001	<0,0001	0,0036	1 an (PST)	<2,2
Chrome (Cr)	0	0,002	0,004	0,1	1 an (PST)	2,1 ¹
Cobalt (Co)	96	0,0001	0,0002	0,1	1 an (PST)	0,1
Cuivre (Cu)	0	0,02	0,06	2,5	24h (PST)	2,3
Manganèse (Mn)	9	0,001	0,003	0,08	1 an (PM_{10})	1,2 ²
Nickel (Ni)	100	<0,0008	<0,001	0,07	24h (PM_{10})	<0,9 ²
				0,02	1 an (PM_{10})	<4,0 ²
Plomb (Pb)	22	0,0005	0,003	0,1	1 an (PST)	0,5
Sélénium (Se)	96	0,0002	0,0002	2	1h (PST)	0,0 ³
Thallium (Tl)	100	<0,00002	<0,00003	0,25	1 an (PST)	<0,0

Métaux et métalloïdes	Pourcentage des valeurs < LD (%)	Concentration moyenne annuelle dans les PST ($\mu\text{g}/\text{m}^3$)	Concentration maximale sur 24h dans les PST ($\mu\text{g}/\text{m}^3$)	Normes RAA ou critères ($\mu\text{g}/\text{m}^3$)	Période	Pourcentage de la norme RAA ou critères (%)
Vanadium (V)	83	0,0008	0,001	1	1 an (PST)	0,1
Zinc (Zn)	83	0,004	0,004	2,5	24h (PST)	0,2

Notes : LD Limite de détection

- 1 La norme du chrome trivalent est utilisée de façon conservatrice pour comparer le chrome total en supposant que tout le chrome est sous sa forme trivalente.
- 2 Le manganèse et le nickel sont comparés de façon conservatrice à la norme ou au critère basé sur les PM_{10} .
- 3 Le sélénium est comparé de façon conservatrice au critère basé sur une période d'une heure.

Les concentrations des métaux dans les PST sont inférieures aux normes ou critères applicables sur la période de temps considérée. Le pourcentage de la norme ou du critère le plus élevé est de <29,7 %, ce qui représente la concentration annuelle du béryllium. Par contre, cette évaluation est faite entièrement sur la bonne pratique d'application conservatrice de la limite de détection, le béryllium n'ayant jamais été quantifié au-delà du seuil de détection de l'analyse. Ceci est dû à la limitation de la méthodologie analytique du laboratoire, limitant la plus petite quantité de cette substance que l'analyse peut confirmer être présente.

Le tableau 11 présente les résultats des concentrations de métaux et métalloïdes présents dans les particules des 20 échantillons valides échantillonnées à la station 2.

Tableau 11 Concentrations de métaux dans l'atmosphère à la station 2 (km 383) – Campagne 2025

Métaux et métalloïdes	Pourcentage des valeurs < LD (%)	Concentration moyenne dans les PST ($\mu\text{g}/\text{m}^3$)	Concentration maximale sur 24h dans les PST ($\mu\text{g}/\text{m}^3$)	Normes RAA ou critères ($\mu\text{g}/\text{m}^3$)	Période	Pourcentage de la norme RAA ou critères (%)
Antimoine (Sb)	40	0,0001	0,0003	0,17	1 an (PST)	0,0
Argent (Ag)	94	0,0002	0,0002	0,23	1 an (PST)	0,1
Arsenic (As)	70	0,0003	0,001	0,003	1 an (PST)	9,2
Baryum (Ba)	0	0,001	0,002	0,05	1 an (PST)	2,1
Béryllium (Be)	100	<0,0002	<0,0002	0,0004	1 an (PST)	<39,4
Cadmium (Cd)	100	<0,0001	<0,0001	0,0036	1 an (PST)	<2,9
Chrome (Cr)	0	0,002	0,004	0,1	1 an (PST)	2,1 ¹
Cobalt (Co)	95	0,0002	0,0003	0,1	1 an (PST)	0,2
Cuivre (Cu)	0	0,1	0,3	2,5	24h (PST)	13,5
Manganèse (Mn)	0	0,002	0,006	0,08	1 an (PM_{10})	2,7 ²
Nickel (Ni)	65	0,002	0,005	0,07	24h (PM_{10})	7,2 ²
				0,02	1 an (PM_{10})	7,8 ²
Plomb (Pb)	45	0,0004	0,002	0,1	1 an (PST)	0,4

Métaux et métalloïdes	Pourcentage des valeurs < LD (%)	Concentration moyenne dans les PST ($\mu\text{g}/\text{m}^3$)	Concentration maximale sur 24h dans les PST ($\mu\text{g}/\text{m}^3$)	Normes RAA ou critères ($\mu\text{g}/\text{m}^3$)	Période	Pourcentage de la norme RAA ou critères (%)
Sélénium (Se)	95	0,0003	0,0005	2	1h (PST)	0,0 ³
Thallium (Tl)	100	<0,00003	<0,00003	0,25	1 an (PST)	<0,0
Vanadium (V)	75	0,001	0,002	1	1 an (PST)	0,1
Zinc (Zn)	80	0,005	0,009	2,5	24h (PST)	0,4

Notes : LD Limite de détection

- 1 La norme du chrome trivalent est utilisée de façon conservatrice pour comparer le chrome total en supposant que tout le chrome est sous sa forme trivalente.
- 2 Le manganèse et le nickel sont comparés de façon conservatrice à la norme ou au critère basé sur les PM₁₀.
- 3 Le sélénium est comparé de façon conservatrice au critère basé sur une période d'une heure.

Les concentrations des métaux dans les PST sont inférieures aux normes ou critères applicables sur la période de temps considérée. Le pourcentage de la norme ou du critère le plus élevé est de <39,4 %, ce qui représente la concentration annuelle du béryllium. Par contre, cette évaluation est faite entièrement sur la bonne pratique d'application conservatrice de la limite de détection, le béryllium n'ayant jamais été quantifié au-delà du seuil de détection de l'analyse. Ceci est dû à la limitation de la méthodologie analytique du laboratoire, limitant la plus petite quantité de cette substance que l'analyse peut confirmer être présente.

Lors de la campagne d'échantillonnage 2025, 14 échantillons sur les 23 échantillons valides à la station 1 et 3 échantillons sur les 20 échantillons valides à la station 2 n'ont pas eu d'analyse pour l'argent puisqu'il y a eu erreur dans le processus de demande d'analyse. Par contre, l'argent a été quantifié une seule fois au-delà du seuil de détection de l'analyse pour les 26 échantillons valides ayant eu l'analyse pour ce métal.

4.3 Matières particulaires fines (PM_{2.5}) et matières particulaires respirables (PM₁₀)

Pour la campagne 2025, à la station 1, les mesures des concentrations en matières particulaires fines (PM_{2.5}) et en matières particulaires respirables (PM₁₀) ont été effectuées par l'analyseur en continu Teledyne T640. À la station 2, les concentrations des particules fines (PM_{2.5}) dans l'air ambiant ont été mesurées via un analyseur sur filtre TE-Wilbur. L'enregistrement par T640 a commencé le 18 août 2025 à la suite d'une réparation au fabricant. Il est à noter qu'il n'y a pas eu d'échantillonnage sur certaines périodes avec l'échantillonneur sur filtre par bris des appareils ou manque de personnel qualifié pour réaliser l'échantillonnage.

La norme journalière (24 h) de la RAA associée aux particules fines (PM_{2.5}) est de 30 $\mu\text{g}/\text{m}^3$. Il n'y a pas de norme ou critère associé aux matières particulaires respirables (PM₁₀).

Le tableau 12 présente les résultats des concentrations de particules fines (PM_{2.5}) et respirables (PM₁₀) à la station 1 avec l'échantillonneur en continu Teledyne T640. Les résultats détaillés sont présentés à l'annexe C.

Tableau 12 Concentrations de particules fines (PM_{2.5}) et respirables (PM₁₀) dans l'atmosphère à la station 1 (km 381) – Campagne 2025

Paramètre	Concentration moyenne journalière (µg/m ³)	Concentration maximale sur 24 h (µg/m ³)	Concentration minimale sur 24 h (µg/m ³)	Norme du RAA (µg/m ³)	% de la norme RAA, concentration maximale	Nombre de dépassement de la norme
Particules fines (PM _{2.5})	2,1	10,4	0,1	30	35%	0
Particules respirables (PM ₁₀)	5,2	33,2	0,4	-	-	-

Lors de la campagne 2025, à la station 2, il n'y a pas de dépassement de la norme journalière des particules fines (PM_{2.5}) de la RAA. La concentration maximale de 10,4 µg/m³ représente 35 % de la norme de 30 µg/m³. En ce qui a trait aux particules respirables (PM₁₀), il n'y a pas de norme ou critère associé à ce paramètre. Il est à noter que puisque le retour de réparation de l'appareil a eu lieu en août, la majorité de la période estivale n'a pas été mesurée et représente habituellement la période avec les concentrations les plus élevées.

En ce qui a trait à la comparaison aux normes des NCQAA pour les particules fines (PM_{2.5}), la norme annuelle des NCQAA de 2025 de 8,8 µg/m³ est respectée avec une concentration annuelle moyenne de 2,1 µg/m³. Cette norme s'applique sur une moyenne annuelle de trois années d'échantillonnage, contrairement à une période de 5 mois pour la présente étude. La concentration journalière maximale représente 38,6 % de la norme journalière du NCQAA. Pour la comparaison à cette norme, la concentration journalière maximale de la campagne représente la valeur statistique la plus rapprochée d'un 98^e centile.

Le tableau 13 présente les résultats valides des concentrations de particules fines (PM_{2.5}) à la station 2 avec l'échantillonneur TE-Wilbur. Les résultats détaillés sont présentés à l'annexe D.

Tableau 13 Concentrations de particules fines (PM_{2.5}) dans l'atmosphère à la station 2 (km 383) – Campagne 2025

Paramètre	Concentration moyenne journalière (µg/m ³)	Concentration maximale sur 24 h (µg/m ³)	Concentration minimale sur 24 h (µg/m ³)	Norme du RAA (µg/m ³)	% de la norme RAA, concentration maximale	Nombre de dépassement de la norme
Particules fines (PM _{2.5})	18,5	47,4	<7,5	30	158 %	2

Lors de la campagne 2025, à la station 2, il y a eu deux dépassements à la norme journalière de 30 µg/m³ de la RAA. La concentration maximale de 47,4 µg/m³ a été mesurée le 30 juin 2025. Les vents pendant cette journée provenaient du sud-ouest avec une vitesse moyenne de 11,5 km/h.

En ce qui a trait à la comparaison aux normes des NCQAA pour les particules fines (PM_{2.5}), la norme annuelle des NCQAA de 2025 de 8,8 µg/m³ n'est pas respectée avec une concentration annuelle moyenne de 18,5 µg/m³. Il est toutefois à noter que, dû à la limitation de la méthodologie analytique du laboratoire, une valeur de particules fines sous la limite de détection se reflète en une concentration légèrement inférieure à la norme annuelle, soit d'environ 8 µg/m³. De plus, cette norme s'applique sur une moyenne annuelle de trois années d'échantillonnage, contrairement à une année pour la présente étude. Pour la comparaison à la norme journalière des NCQAA, elle s'applique à une moyenne triennale du 98^e centile annuel des quotidiennes moyennes. La campagne 2025 ne comporte pas assez d'échantillons pour faire la comparaison statistique à cette norme. À titre indicatif, la concentration journalière maximale de la campagne, qui représente la valeur statistique la plus rapprochée d'un 98^e centile, représente 176 % de la norme journalière des NCQAA de 27 µg/m³.

La figure 4 présente les concentrations moyennes journalières des particules fines (PM_{2.5}) pour chaque journée d'échantillonnage à la station 1 lors de la campagne 2025 avec l'analyseur en continu T640.

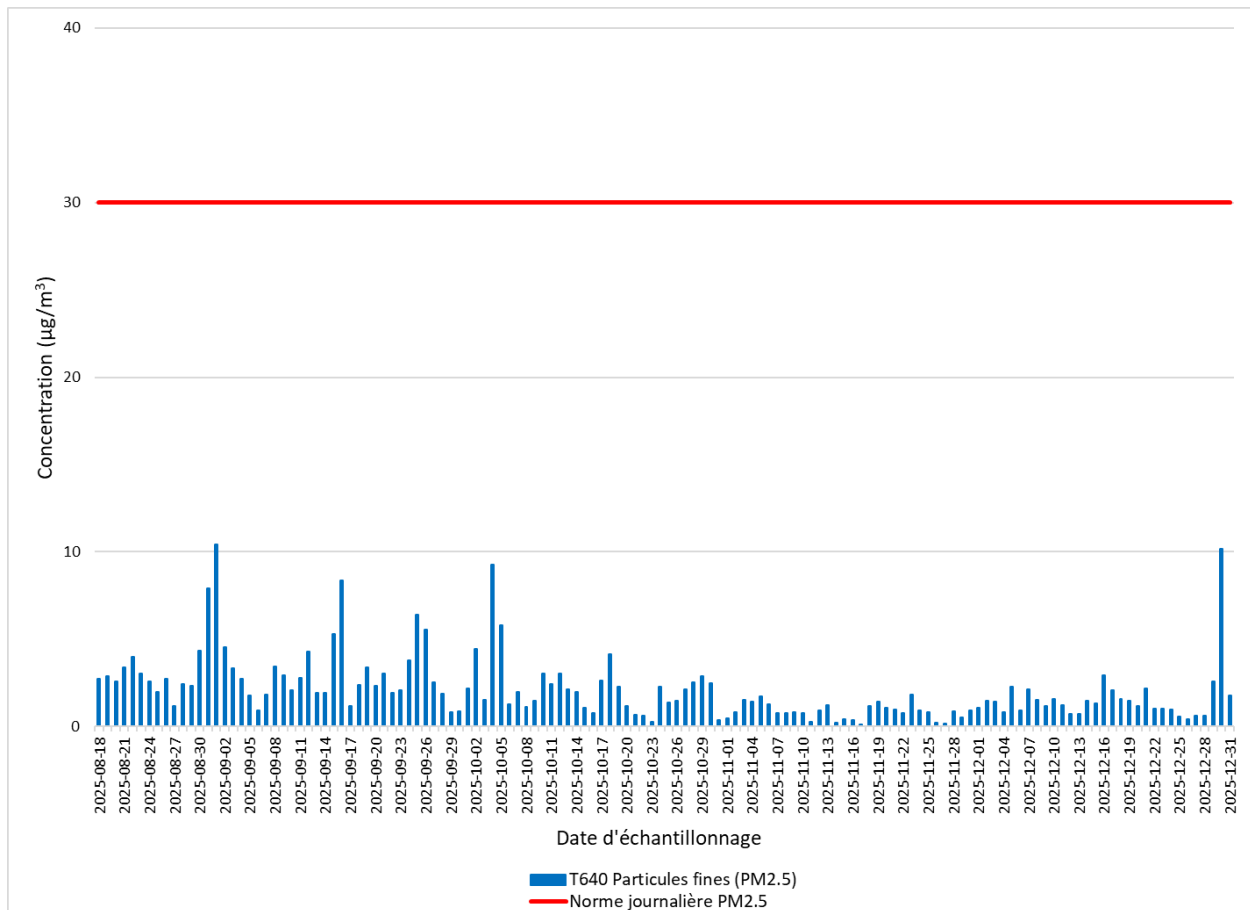


Figure 4 Concentrations journalières des particules fines (PM_{2.5}) à la station 1 (km 381) – Campagne 2025

La figure 5 présente les concentrations moyennes journalières des particules respirables (PM₁₀) pour chaque journée d'échantillonnage à la station 1 lors de la campagne 2025 avec l'analyseur en continu T640.

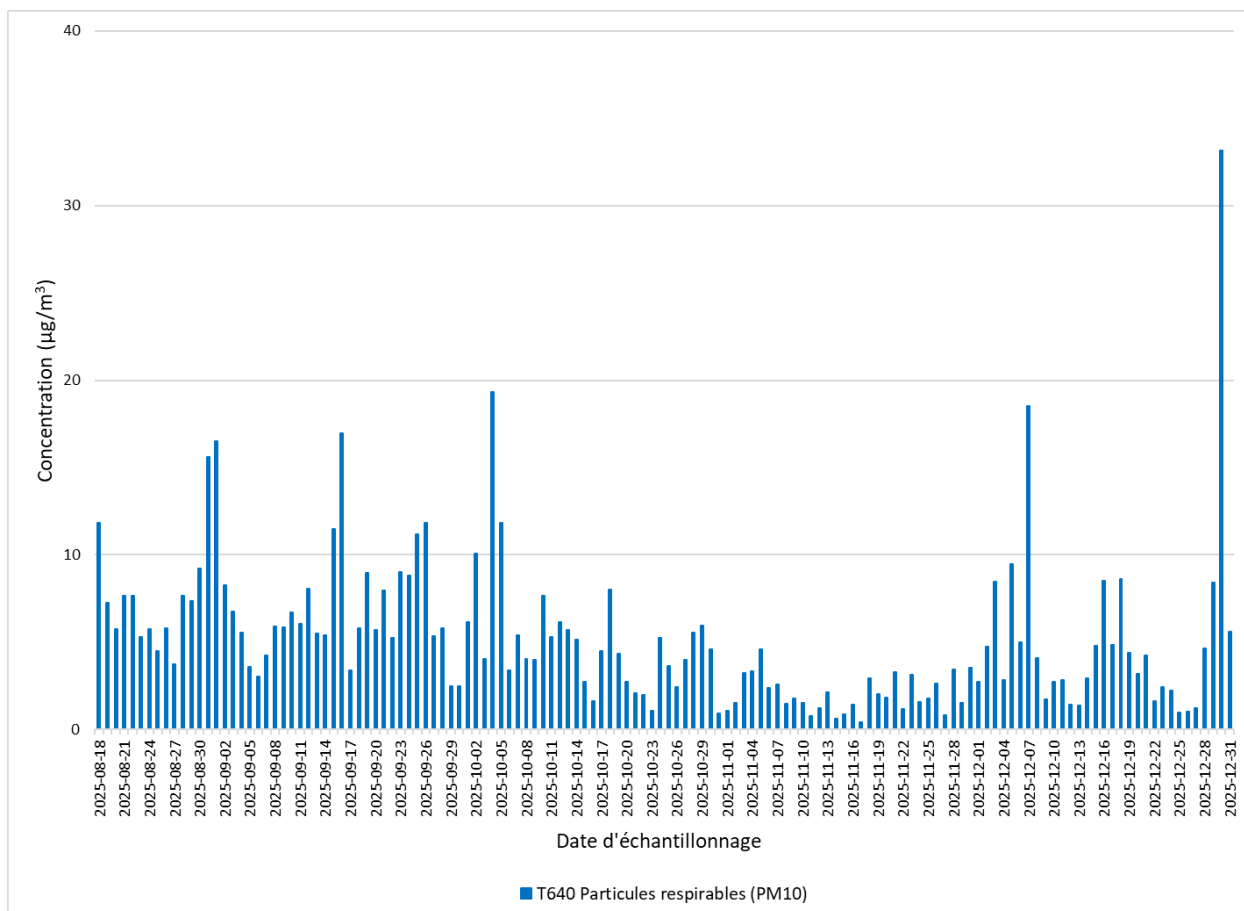


Figure 5 Concentrations journalières des particules respirables (PM₁₀) à la station 1 (km 381) – Campagne 2025

La figure 6 présente les concentrations moyennes journalières des particules fines (PM_{2.5}) pour chaque journée d'échantillonnage à la station 2 lors de la campagne 2025 avec l'échantillonneur sur filtre TE-Wilbur.

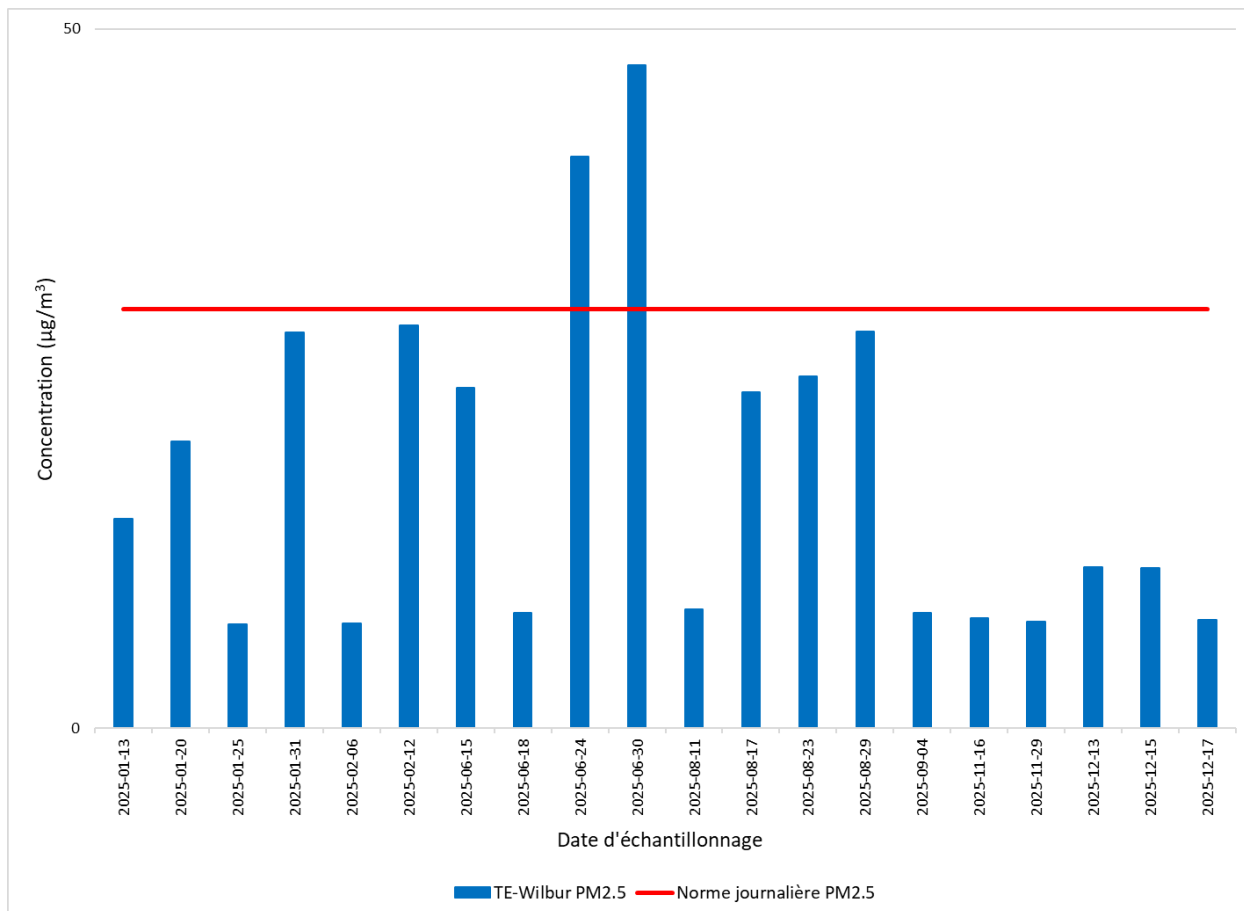


Figure 6 Concentrations journalières des particules fines (PM_{2.5}) à la station 2 (km 383) – Campagne 2025

Dans la campagne 2025, il y a eu deux dépassements de la norme journalière des particules fines (PM_{2.5}) de 30 µg/m³ du RAA mesurés à la station 2. Les dépassements ont eu lieu au mois de juin, soit en période chaude et sèche, augmentant la suspension de particules dans l'air.

4.4 Silice cristalline

Les mesures des concentrations en silice cristalline ont été mesurées avec un analyseur à faible débit de type TE-Wilbur avec un débit de 11,1 LPM permettant d'échantillonner la fraction PM₄ des matières particulaires de l'air ambiant. Dans cette région, le couvert rocheux n'est pas de nature volcanique, il n'y a donc pas présence de tridymite ou cristobalite. Ainsi, les résultats du quartz seulement sont comparés au critère annuel.

L'échantillonnage a été effectué tous les 12 jours comme prévu dans le calendrier d'échantillonnage. Il est à noter qu'il n'y a pas eu d'échantillonnage pour certaines périodes de 2025 par manque de personnel qualifié pour faire l'échantillonnage sur le terrain ou lors de bris sur l'échantillonneur.

Le tableau 14 présente les résultats valides de concentration de la silice cristalline présente dans les particules PM₄ échantillonnées aux stations 1 et 2. Les résultats n'ont pas été corrigés en fonction des résultats des analyses de blancs. Les résultats sont donc conservateurs. Les résultats détaillés sont présentés à l'annexe E.

Tableau 14 Concentrations de la silice cristalline dans l'atmosphère aux stations d'échantillonnage 1 (km 381) et 2 (km 383) – Campagne 2025

Station	Paramètre	Nombre d'échantillons valides	Concentration annuelle moyenne (µg/m ³)	Concentration maximale (µg/m ³)	Critère du MELCCFP (µg/m ³)	% du critère, concentration annuelle moyenne	Nombre de valeurs échantillonnées au-delà du critère annuel
Station 1 (km 381)	Silice cristalline	26	0,068	0,15	0,07	98 %	6
Station 2 (km 383)		22	0,067	0,12		95 %	3

À la station 1, les concentrations de la silice cristalline sur la fraction PM₄ des matières particulaires ont varié de <0,05 µg/m³ à 0,15 µg/m³ durant la campagne 2025. La concentration annuelle moyenne de 0,068 µg/m³ représente 98 % du critère annuel provincial.

À la station 2, les concentrations de la silice cristalline sur la fraction PM₄ des matières particulaires ont varié de <0,06 µg/m³ à 0,12 µg/m³ durant la campagne 2025. La concentration annuelle moyenne de 0,067 µg/m³ représente 95 % du critère annuel provincial.

La figure 7 présente les concentrations mesurées de la silice cristalline pour chaque échantillon valide à la station 1 lors de la campagne 2025.

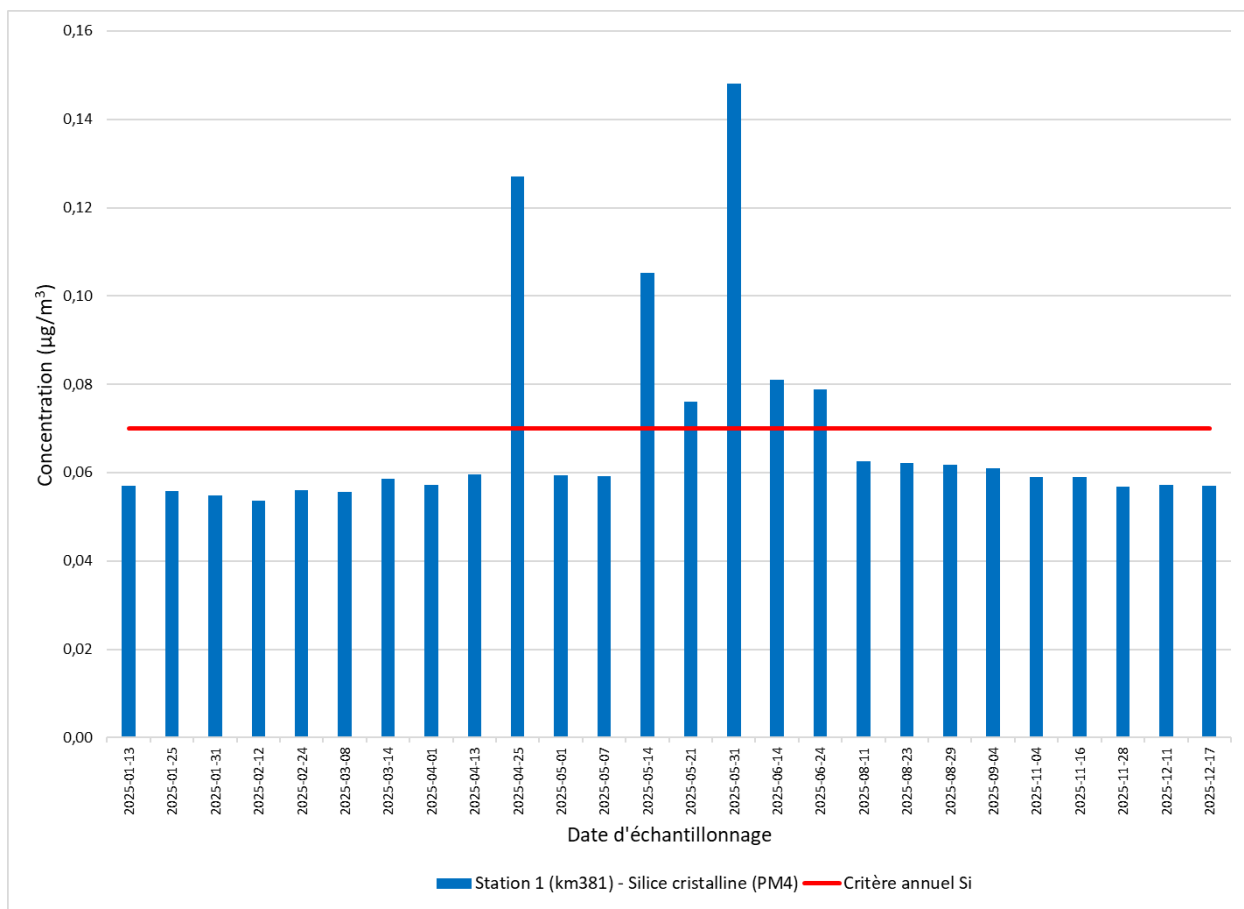


Figure 7 Concentrations de la silice cristalline dans l'atmosphère à la station 1 (km 381) – Campagne 2025

À la station 1, lors de la campagne 2025, il y a eu 5 échantillons avec une concentration supérieure à la valeur du critère annuel de 0,07 µg/m³. Les concentrations les plus élevées ont été mesurées en période estivale. En effet, les conditions chaudes et sèches favorisent la suspension des particules.

La figure 8 présente les concentrations mesurées de la silice cristalline pour chaque échantillon valide à la station 2 lors de la campagne 2025.

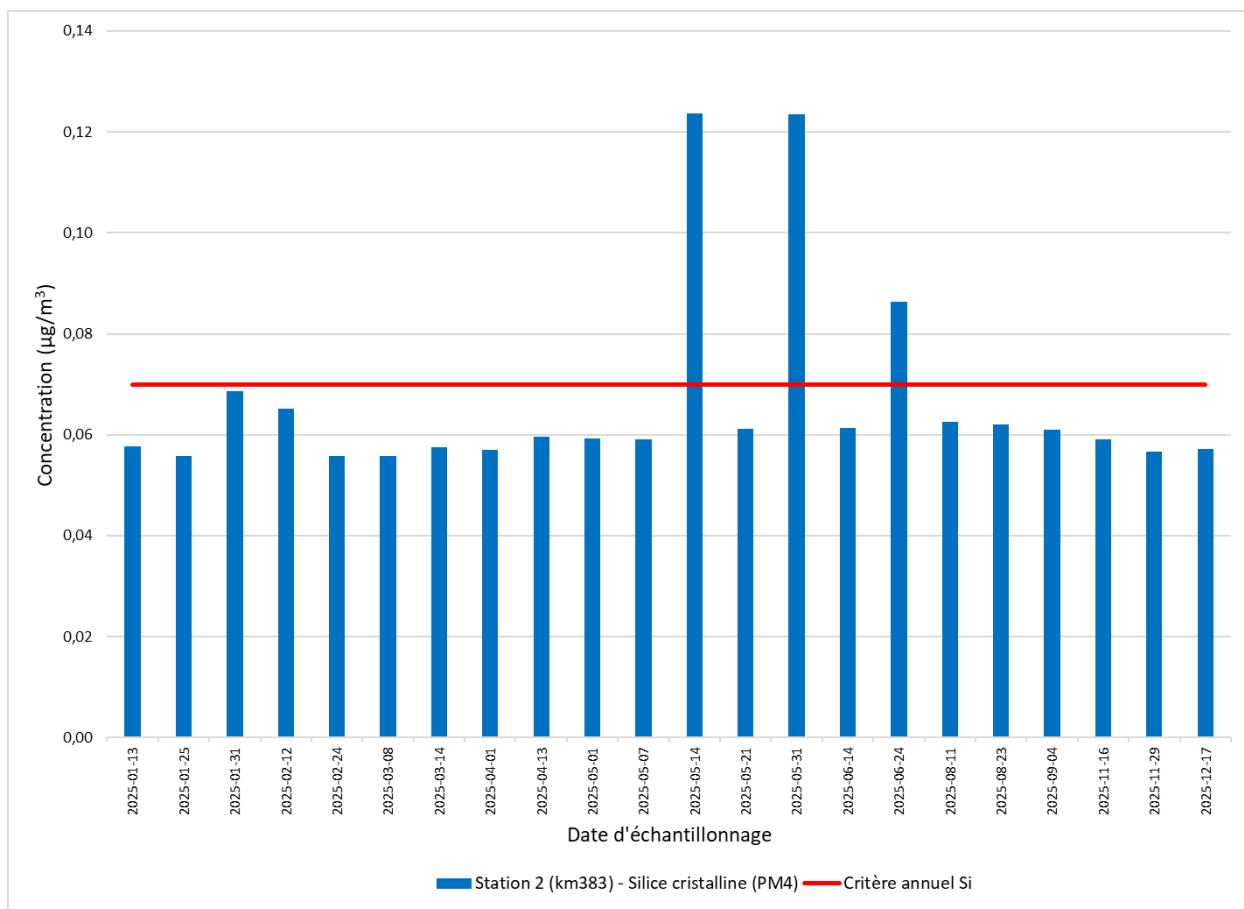


Figure 8 Concentrations de la silice cristalline dans l'atmosphère à la station 2 (km 383) – Campagne 2025

À la station 2, lors de la campagne 2025, il y a eu 3 échantillons avec une concentration supérieure à la valeur du critère annuel de 0,07 µg/m³. Comme à la station 1, les concentrations les plus élevées ont été mesurées en période chaude et sèche, soit les mois de mai et juin.

4.5 Oxydes d'azote

Les concentrations d'oxydes d'azote ont été mesurées avec un analyseur en continu de type Teledyne T200. L'échantillonnage a eu lieu entre le 14 janvier 2025 et le 31 décembre 2025.

Les journées d'échantillonnage avec moins de 75 % des valeurs valides ont été retirées des résultats, car elles ne sont pas considérées comme représentatives. De plus, les valeurs horaires négatives entre zéro et deux fois l'écart type sont reportés sous forme de zéro tel que décrit dans le bulletin technique de Met One pour les corrections aux valeurs analogiques négatives (Met One, 2013). Les valeurs horaires négatives de plus de deux fois l'écart type sous zéro sont retirées du calcul des résultats.

Les valeurs de dioxyde d'azote (NO₂) sont calculées en soustrayant les valeurs de monoxyde d'azote (NO) à celles d'oxydes d'azote totaux (NO_x) mesurées par l'analyseur T200.

L'enregistrement des oxydes d'azote a commencé le 14 janvier 2025 à la suite d'une maintenance sur l'appareil.

Le tableau 8 concentrations de particules totales dans l'atmosphère – campagne 20215 présente les résultats valides des concentrations en dioxyde d'azote (NO₂) présentes dans l'air ambiant à la station 1. Les résultats sont présentés sous forme de dioxyde d'azote (NO₂) puisque les normes en vigueur s'appliquent uniquement sur cette molécule. Les résultats détaillés sont présentés à l'annexe F.

Tableau 15 Concentrations de dioxyde d'azote (NO₂) dans l'atmosphère à la station 1 – 2025

Paramètre	Période	Concentration moyenne (µg/m ³)	Concentration maximale (µg/m ³)	Normes du RAA (µg/m ³)	% de la norme du RAA, concentration maximale ou moyenne annuelle	Nombre de dépassement de la norme
Dioxyde d'azote (NO ₂)	Annuelle	10,7	-	103	10 %	0
	Journalière		37,4	207	18 %	0
	Horaire		476,3	414	115 %	3

Les concentrations horaires de dioxyde d'azote (NO₂) ont varié de 0 µg/m³ à 476,3 µg/m³ durant la campagne de 2025. Il n'y a eu aucun dépassement des normes annuelle et journalière de la RAA pendant la période d'étude. Il y a eu trois dépassements de la norme horaire de la RAA pendant la période d'étude. Ces trois dépassements sont possiblement liés au moteur allumé d'un véhicule stationné à proximité de la station puisqu'il y a absence d'activité minière génératrice d'oxyde d'azote au site en dehors des émissions des véhicules routiers. La concentration horaire maximale a été mesurée le 20 novembre 2025 avec une concentration de 476,3 µg/m³ représentant 115 % de la norme horaire.

La moyenne du 98^e centile annuel des maximums quotidiens des concentrations horaires de dioxyde d'azote (NO₂) est de 129,82 µg/m³. La norme horaire des NCQAA de 2025 de 42 ppb, soit 80,3 µg/m³ aux conditions de référence, n'est ainsi pas respectée. Il est toutefois à noter que la comparaison à cette norme a été effectuée sur une période de 1 an, contrairement à une période de 3 ans comme décrite par les NCQAA. La norme annuelle des NCQAA de 2025 de 12 ppb, soit 23,0 µg/m³ aux conditions de référence, est respectée avec une concentration moyenne annuelle de 10,7 µg/m³.

Il est à noter que, dû à un problème de calibration automatique de l'appareil aux douze heures, certaines concentrations horaires sont surestimées. La maintenance annuelle sur cet analyseur a été déplacée en 2026 pour des raisons techniques et en raison de la disponibilité de personnel technique qualifié au site.

La figure 9 présente les concentrations journalières mesurées de dioxyde d'azote (NO₂) à la station 2 lors de la campagne 2025.

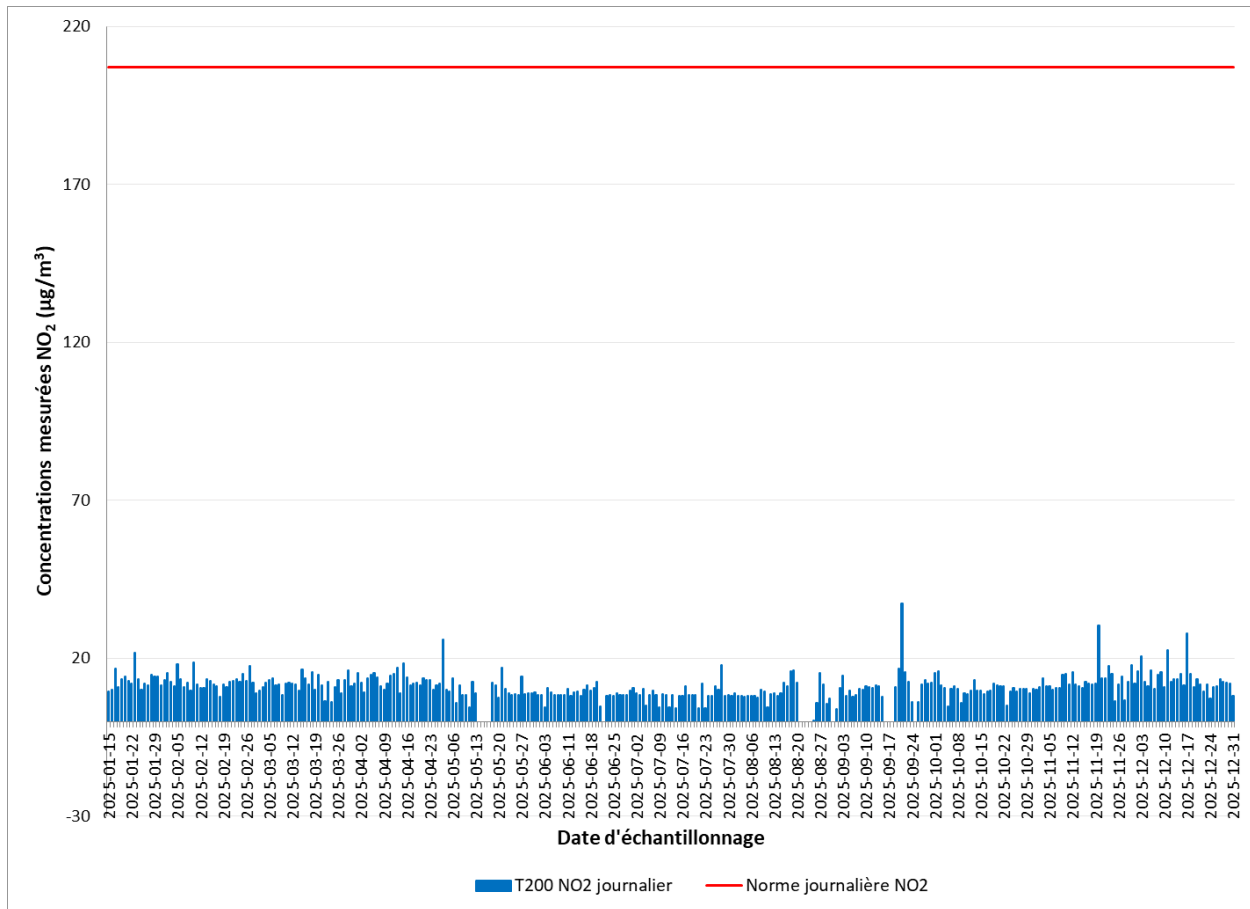


Figure 9 Concentrations journalières du dioxyde d'azote (NO₂) à la station 1 – Campagne 2025

Pendant la campagne 2025, il n'y a pas eu de dépassement de la norme journalière du RAA de 207 µg/m³. La concentration journalière maximale a été mesurée le 21 septembre 2025 avec une concentration moyenne de 37,4 µg/m³ représentant 18 % de la norme journalière.

La figure 10 présente les concentrations horaires mesurées de dioxyde d'azote (NO₂) à la station 1 lors de la campagne 2025.

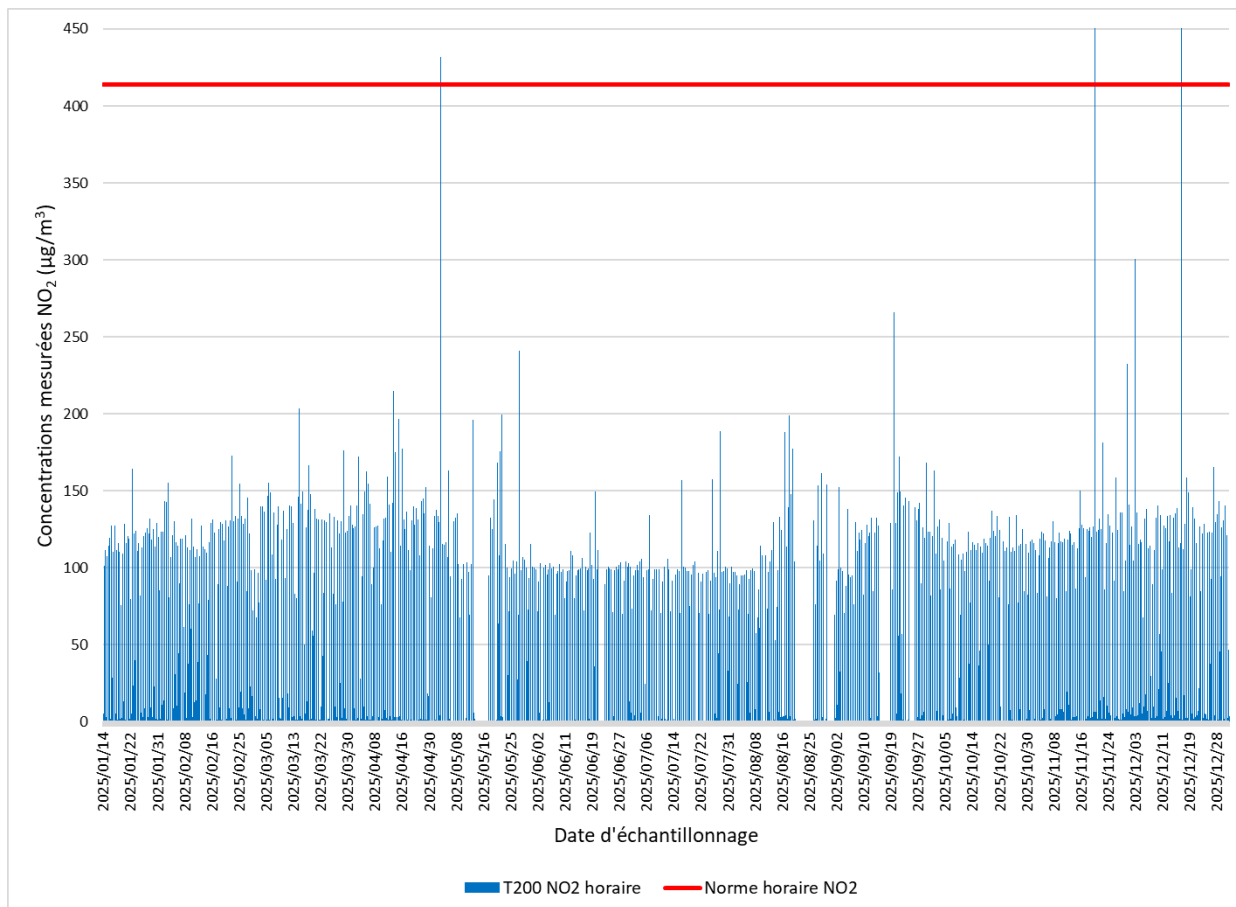


Figure 10 Concentrations horaires du dioxyde d'azote (NO₂) à la station 1 – Campagne 2025

5 Conclusion et recommandation

WSP a caractérisé la qualité de l'atmosphère aux stations d'échantillonnage 1 (km 381) et 2 (km 383) pendant la campagne 2025. Cette caractérisation a permis d'établir les concentrations pendant les travaux de pré-construction, entre janvier et décembre 2025, et de vérifier la conformité des contaminants sélectionnés aux normes applicables du *Règlement sur l'assainissement de l'atmosphère* (RAA), des critères établis par le MELCCFP dans les NCQQA et des normes fédérales des NCQAA. Les contaminants caractérisés sont les particules totales ainsi que certains métaux et métalloïdes sélectionnés en fonction des contaminants typiques des futures opérations minières. De plus, les matières particulaires fines (PM_{2,5}), matières particulaires respirables (PM₁₀), la silice cristalline et les oxydes d'azote (NO₂) ont également été caractérisés.

Aucun dépassement de la norme journalière des particules totales n'a été mesuré pour la campagne 2025, et ce, aux deux stations d'échantillonnage.

Aucun dépassement des différentes normes ou critères n'a été mesuré pour les métaux et métalloïdes pour la campagne 2025, et ce, aux deux stations d'échantillonnage.

À la station 1, pour la campagne 2025, il n'y a pas eu de dépassement de la norme journalière des matières particulaires fines (PM_{2,5}) de la RAA avec l'analyseur en continu Teledyne T640. Il y a eu deux dépassements à la station 2 par échantillonneur TE-Wilbur. Les dépassements ont eu lieu au mois de juin, soit en période chaude et sèche. La concentration journalière maximale était de 47,4 µg/m³, représentant 158 % de la norme journalière de 30 µg/m³ du RAA.

À la station 1, pour la campagne 2025, il n'y a pas eu de dépassement de la norme annuelle et journalière des matières particulaires fines (PM_{2,5}) des NCQAA. À la station 2, la norme annuelle des NCQAA de 2025 de 8,8 µg/m³ n'est pas respectée avec une concentration journalière moyenne sur un an de 18,5 µg/m³ représentant 210 % de la norme. Il y a eu 5 dépassements de la norme journalière de 27 µg/m³ des NCQAA.

À la station 1, la concentration journalière moyenne en particules respirables (PM₁₀) échantillonnée avec l'analyseur Teledyne T640 est de 5,2 µg/m³. Il n'y a pas de norme ou critère associé à ce paramètre.

À la station 1, il y a eu six échantillons avec une concentration supérieure à la valeur du critère annuel de la silice cristalline durant la campagne 2025. Il n'y a pas eu de dépassement du critère annuel de la silice cristalline de 0,07 µg/m³ avec une concentration moyenne annuelle de 0,068 µg/m³, représentant 98 % du critère annuel du MELCCFP.

À la station 2, il y a eu trois échantillons avec une concentration supérieure à la valeur du critère annuel de la silice cristalline durant la campagne 2025. Il n'y a pas eu de dépassement du critère annuel de la silice cristalline avec une concentration moyenne annuelle de 0,067 µg/m³, représentant 98 % du critère annuel du MELCCFP.

À la station 1, il n'y a pas de dépassement des normes annuelle et journalière d'oxydes d'azote (NO₂) du RAA pour la campagne 2025 avec l'analyseur en continu Teledyne T200. Il y a eu trois dépassements de la norme horaire de 414 µg/m³ avec une concentration horaire maximale représentant 115 % de la norme du RAA.

À la station 1, la moyenne du 98^e centile annuel des maximums quotidiens des concentrations horaires de dioxyde d'azote (NO₂) de 129,8 µg/m³ représente 162 % de la norme horaire des NCQAA de 2025 de 80,3 µg/m³. Il est à noter que, dû à un problème technique sur l'appareil, certaines valeurs horaires ont été surestimées. Il n'y a pas eu de dépassement de la norme annuelle des NCQAA de 2025 de 23,0 µg/m³ avec une concentration moyenne annuelle de 10,7 µg/m³ représentant 47 % de la norme.

Conformément à son plan de suivi de la qualité de l'air, le suivi réalisé en 2026 continuera l'échantillonnage à l'aide de 2 stations distinctes, soit la station 1 (km 381) et la station 2 (km 383).

WSP recommande par contre de ne poursuivre l'échantillonnage que lorsque le projet sera en exploitation. L'objectif de cette recommandation est de réaliser le suivi lorsque des activités génératrices d'émissions de polluants atmosphériques ont lieu. Le second objectif est de réaliser le suivi lorsqu'une équipe dédiée de techniciens de suivi environnemental est disponible au site pour réaliser adéquatement le suivi en fonction des procédures requises et des bonnes pratiques.

6 Références bibliographiques

- Environnement Canada, 2004. *National Air Pollution Surveillance Network Quality Assurance and Quality Control Guidelines*, report no. AAQD 2004-1, Environmental Technology Centre, Analysis and Air Quality Division, 36 p.
- Ministère de l'Environnement, de la Lutte contre les changements climatiques, de la Faune et des Parcs (MELCCFP), 2025. Normes et critères québécois de qualité de l'atmosphère, version 10, Québec, Direction principale de la qualité de l'air et du climat. En ligne : www.environnement.gouv.qc.ca/air/criteres/index.htm
- Publications Québec. *Loi sur la qualité de l'environnement, Règlement sur l'assainissement de l'atmosphère*. En ligne : <http://legisquebec.gouv.qc.ca/fr/ShowDoc/cr/Q-2,%20r.%204.1>.
- TISCH Environmental. *Operations manual TE-5170-D Total suspended particulate mass flow controlled high volume air sampler with digital timer*. USA, 40 p.
- Données météorologiques Gouvernement du Canada. En ligne : https://climat.meteo.gc.ca/historical_data/search_historic_data_f.html.
- Centre canadien d'hygiène et de sécurité au travail, *Silice Cristalline, quartz*, modifié le 28 février 2024. En ligne : https://www.cchst.ca/oshanswers/chemicals/chem_profiles/quartz_silica.html.
- RICHARDS, J. & BROZELL, T. 2015. *Fenceline PM4 crystalline silica concentrations near sand mining and processing facilities in Wisconsin*. Vol. 67. Pages 53-59.
- Société de protection des forêts contre le feu. En ligne : <https://sopfeu.qc.ca>.
- Met One, Technical Bulletin, BAM-1020 Detection Limit, *Advanced zero performance analysis, and understanding the statistical noise band and detection limit specifications for the BAM-1020 concentration measurement*, Dennis Hart, 31 mai 2013.
- USEPA (2021). *List of designated reference and equivalent methods*. United States Environmental Protection Agency. 61 p.
- USEPA, 2000. *National Air Pollution Surveillance Network Quality Assurance and Quality Control Guidelines*, report no. AAQD 2004-1, EPA-454/R-99-005
- Gouvernement du Canada, 2013, *Principaux contaminants atmosphériques : oxydes d'azote*. En ligne : <https://www.canada.ca/fr/environnement-changement-climatique/services/pollution-atmospherique/polluants/principaux-contaminants/oxydes-azote.html>.
- Ministère de l'Environnement, de la Lutte contre les changements climatiques, de la Faune et des Parcs, 2022. En ligne : [Particules respirables - Contaminants atmosphériques \(gouv.qc.ca\)](http://www.environnement.gouv.qc.ca/air/particules-respirables).
- CEAEQ (2013). *Lignes directrices concernant les stations d'un réseau de surveillance de la qualité de l'air*. Centre d'expertise en analyse environnementale du Québec. 22 p.

ANNEXE

A

RÉSULTATS D'ANALYSE DES
BLANCS



Résultats des blancs : Station 1 (km381) - HV

Date d'échantillonnage	Nom de l'échantillon	Particules totales	Antimoine (Sb)	Argent (Ag)	Arsenic (As)	Baryum (Ba)	Béryllium (Be)	Cadmium (Cd)	Chrome (Cr)	Cobalt (Co)	Cuivre (Cu)	Manganèse (Mn)	Nickel (Ni)	Plomb (Pb)	Sélénium (Se)	Thallium (Tl)	Vanadium (V)	Zinc (Zn)
LDR		0,001	0,2	0,3	0,4	0,4	0,3	0,2	0,9	0,3	0,9	0,9	2	0,4	0,5	0,05	2	9
Unités		g	µg	µg	µg	µg	µg	µg	µg	µg	µg	µg	µg	µg	µg	µg	µg	µg
13 mars 2025	GALA-250313-HV-BL	0,004	<0,2	<0,3	<0,4	0,7	<0,3	<0,2	8,4	<0,3	2,5	<0,9	<2	1,0	<0,5	<0,05	<2	<9
13 mars 2025	GALA-250313-HV-BT	0,002	<0,2	<0,3	<0,4	0,8	<0,3	<0,2	6,2	<0,3	<0,9	<0,9	<2	0,5	<0,5	<0,05	<2	<9

Résultats des blancs : Station 1 (km381) - Wilbur PM4 (Silice)

Date d'échantillonnage	Nom de l'échantillon	PM ₄	LDR PM ₄	Silice Cristalline	LDR Silice
Unités		g	g	µg	µg
13 janvier 2025	GALA-250113-WIL-PM4-1-BT	0,0003	0,0002	<5	5
13 janvier 2025	GALA-250113-WIL-PM4-1-BL	<0,0002	0,0002	<5	5

Résultats des blancs : Station 2 (km383) - HV

Date d'échantillonnage	Nom de l'échantillon	Particules totales	Antimoine (Sb)	Argent (Ag)	Arsenic (As)	Baryum (Ba)	Béryllium (Be)	Cadmium (Cd)	Chrome (Cr)	Cobalt (Co)	Cuivre (Cu)	Manganèse (Mn)	Nickel (Ni)	Plomb (Pb)	Sélénium (Se)	Thallium (Tl)	Vanadium (V)	Zinc (Zn)
LDR		0,001	0,2	0,3	0,4	0,4	0,3	0,2	0,9	0,3	0,9	0,9	2	0,4	0,5	0,05	2	9
Unités		g	µg	µg	µg	µg	µg	µg	µg	µg	µg	µg	µg	µg	µg	µg	µg	µg
13 mars 2025	GALA-250313-HV-BT	0,005	<0,2	<0,3	<0,4	0,8	<0,3	<0,2	3,4	<0,3	<0,9	<0,9	<2	<0,4	<0,5	<0,05	<2	<9

Résultats des blancs : Station 2 (km383) - Wilbur PM4 (Silice)

Date d'échantillonnage	Nom de l'échantillon	PM ₄	LDR PM ₄	Silice Cristalline	LDR Silice
Unités		g	g	µg	µg
13 janvier 2025	GALA-250113-WIL-PM4-2-BT	0,0003	0,0002	<5	5
13 janvier 2025	GALA-250113-WIL-PM4-2-BL	0,0007	0,0002	<5	5
13 janvier 2025	GALA-250113-WIL-PM4-2-BT	<0,0002	0,0002	<5	5

Résultats des blancs : Station 2 (km383) - Wilbur PM2.5

Date d'échantillonnage	Nom de l'échantillon	PM _{2,5}	LDR PM _{2,5}
Unités		g	g
13 janvier 2025	GALA-250113-WIL-PM2.5-2-BT	<0,0002	0,0002
13 janvier 2025	GALA-250113-WIL-PM2.5-2-BL	<0,0002	0,0002

ANNEXE

B

CONCENTRATIONS DES
PARTICULES ET DES MÉTAUX
PAR ÉCHANTILLONNEUR SUR
FILTRE À HAUT DÉBIT (HV) -
STATION 1 (KM 381) ET
STATION 2 (KM 383)

Date d'échantillonnage	Nom de l'échantillon	ID échantillons	Type de mesure	Concentrations ($\mu\text{g}/\text{m}^3$)																	
				Particules totales	Antimoine (Sb)	Argent (Ag)	Arsenic (As)	Baryum (Ba)	Béryllium (Be)	Cadmium (Cd)	Chrome (Cr)	Cobalt (Co)	Cuivre (Cu)	Manganèse (Mn)	Nickel (Ni)	Plomb (Pb)	Selenium (Se)	Thallium (Tl)	Vanadium (V)	Zinc (Zn)	
Période de la norme (1 an vs 24h)				24 heures	1 an	1 an	1 an	1 an	1 an	1 an	1 an	1 an	1 an	1 an	1 an	1 an	1 an	1 an	1 an	1 an	1 an
Type de particules de la norme				PST	PST	PST	PST	PST	PST	PST	PST	PST	PST	PST	PM10	PM10	PST	PST	PST	PST	PST
Norme/critère				120	0,17	0,23	0,003	0,05	0,0004	0,0036	0,004	0,1	2,5	0,08	0,07	0,1	2	0,25	1	1	2,5
Date	NoEchant	IDechant	PMSize	PST	Sb	Ag	As	Ba	Be	Cd	Cr	Co	Cu	Mn	Ni	Pb	Se	Tl	V	Zn	
2025-01-25	Gala-250125-HV-1	Station 1 (km381)	PST	1,20	1,52E-04	-	2,31E-04	4,39E-04	<1,20E-04	<7,98E-05	3,59E-03	<1,20E-04	7,98E-03	5,59E-04	<7,98E-04	5,98E-04	<1,99E-04	<1,99E-05	<7,98E-04	<3,59E-03	
2025-01-31	Gala-250131-HV-1	Station 1 (km381)	PST	2,85	1,83E-04	-	<1,63E-04	5,29E-04	<1,22E-04	<8,14E-05	4,48E-03	<1,22E-04	1,06E-02	5,70E-04	<8,14E-04	6,92E-04	<2,04E-04	<2,04E-05	<8,14E-04	<3,67E-03	
2025-02-06	Gala-250206-HV-1	Station 1 (km381)	PST	1,14	1,30E-04	-	1,68E-04	4,19E-04	<1,14E-04	<7,62E-05	1,33E-03	<1,14E-04	1,52E-02	3,66E-04	<7,62E-04	4,95E-04	<1,90E-04	<1,90E-05	<7,62E-04	<3,43E-03	
2025-02-12	Gala-250212-HV-1	Station 1 (km381)	PST	6,70	1,12E-04	<1,12E-04	<1,49E-04	3,09E-04	<1,12E-04	<7,44E-05	3,39E-03	<1,12E-04	2,72E-02	4,09E-04	<7,44E-04	3,31E-04	<1,86E-04	<1,86E-05	<7,44E-04	<3,35E-03	
2025-02-18	Gala-250218-HV-1	Station 1 (km381)	PST	3,32	1,11E-04	<1,11E-04	<1,47E-04	5,90E-04	<1,11E-04	<7,37E-05	1,81E-03	<1,11E-04	3,43E-02	<3,32E-04	<7,37E-04	<1,47E-04	<1,84E-04	<1,84E-05	<7,37E-04	<3,32E-03	
2025-02-24	Gala-250224-HV-1	Station 1 (km381)	PST	2,77	1,78E-04	<1,19E-04	1,86E-04	4,75E-04	<1,19E-04	<7,92E-05	1,94E-03	<1,19E-04	1,55E-02	5,55E-04	<7,92E-04	5,15E-04	<1,98E-04	<1,98E-05	<7,92E-04	3,76E-03	
2025-03-02	Gala-250302-HV-1	Station 1 (km381)	PST	7,54	1,24E-04	-	<1,51E-04	4,52E-04	<1,13E-04	<7,54E-05	3,58E-03	<1,13E-04	1,58E-02	5,28E-04	<7,54E-04	6,03E-04	<1,88E-04	<1,88E-05	<7,54E-04	<3,39E-03	
2025-03-21	Gala-250321-HV-1	Station 1 (km381)	PST	4,50	7,96E-05	<1,04E-04	2,49E-04	7,27E-04	<1,04E-04	<6,93E-05	4,16E-03	<1,04E-04	2,63E-02	1,52E-03	<6,93E-04	9,00E-04	<1,73E-04	<1,73E-05	<6,93E-04	3,81E-03	
2025-03-26	Gala-250326-HV-1	Station 1 (km381)	PST	5,38	<7,17E-05	-	<1,43E-04	8,61E-04	<1,08E-04	<7,17E-05	2,69E-03	<1,08E-04	2,37E-02	1,43E-03	<7,17E-04	2,15E-04	<1,79E-04	<1,79E-05	<7,17E-04	<3,23E-03	
2025-04-01	Gala-250401-HV-1	Station 1 (km381)	PST	4,96	9,20E-05	-	2,02E-04	7,08E-04	<1,06E-04	<7,08E-05	1,95E-03	<1,06E-04	2,55E-02	8,14E-04	<7,08E-04	3,89E-04	<1,77E-04	<1,77E-05	<7,08E-04	3,40E-03	
2025-04-08	Gala-250408-HV-1	Station 1 (km381)	PST	1,45	<7,23E-05	-	<1,45E-04	5,06E-04	<1,08E-04	<7,23E-05	1,23E-03	<1,08E-04	1,95E-02	6,50E-04	<7,23E-04	2,49E-04	<1,81E-04	<1,81E-05	<7,23E-04	<3,25E-03	
2025-04-13	Gala-250413-HV-1	Station 1 (km381)	PST	6,34	1,31E-04	-	3,47E-04	1,01E-03	<1,12E-04	<7,46E-05	1,04E-03	<1,12E-04	2,43E-02	1,98E-03	<7,46E-04	5,97E-04	2,13E-04	<1,87E-05	<7,46E-04	4,48E-03	
2025-04-19	Gala-250419-HV-1	Station 1 (km381)	PST	1,06	<7,04E-05	<1,06E-04	<1,41E-04	3,87E-04	<1,06E-04	<7,04E-05	2,01E-03	<1,06E-04	3,20E-02	5,63E-04	<7,04E-04	<1,41E-04	<1,76E-04	<1,76E-05	7,74E-04	<3,17E-03	
2025-04-25	Gala-250425-HV-1	Station 1 (km381)	PST	5,72	<7,15E-05	<1,07E-04	<1,43E-04	8,58E-04	<1,07E-04	<7,15E-05	2,47E-03	1,54E-04	3,11E-02	2,54E-03	<7,15E-04	1,50E-04	<1,79E-04	<1,79E-05	1,07E-03	<3,22E-03	
2025-05-01	Gala-250501-HV-1	Station 1 (km381)	PST	3,60	<7,19E-05	-	3,02E-04	5,75E-04	<1,08E-04	<7,19E-05	9,71E-04	<1,08E-04	1,87E-02	8,99E-04	<7,19E-04	4,32E-04	<1,80E-04	<1,80E-05	1,01E-03	<3,24E-03	
2025-05-07	Gala-250507-HV-1 ¹	Station 1 (km381)	PST	5,50	<7,34E-05	-	<1,47E-04	6,24E-04	<1,10E-04	<7,34E-05	1,39E-03	<1,10E-04	8,44E-03	1,14E-03	<7,34E-04	<1,47E-04	<1,83E-04	<1,83E-05	1,03E-03	<3,30E-03	
2025-05-14	Gala-250514-HV-1 ¹	Station 1 (km381)	PST	71,82	2,60E-04	-	6,49E-04	1,07E-02	<1,15E-04	<7,64E-05	4,20E-03	7,64E-04	1,11E-02	2,94E-02	2,37E-03	1,11E-03	2,29E-04	<1,91E-05	3,82E-03	1,41E-02	
2025-05-21	Gala-250521-HV-1	Station 1 (km381)	PST	3,01	<7,53E-05	-	<1,51E-04	3,65E-04	<1,13E-04	<7,53E-05	6,77E-04	<1,13E-04	6,02E-03	6,02E-04	<7,53E-04	<1,51E-04	<1,88E-04	<1,88E-05	9,79E-04	<3,39E-03	
2025-05-25	Gala-250525-HV-1	Station 1 (km381)	PST	11,83	2,50E-04	-	<2,63E-04	9,86E-04	<1,97E-04	<1,31E-04	1,78E-03	<1,97E-04	1,51E-02	1,38E-03	<1,31E-03	3,22E-03	<3,29E-04	<3,29E-05	<1,31E-03	<5,92E-03	
2025-06-14	Gala-250614-HV-1 ¹	Station 1 (km381)	PST	104,59	1,27E-04	-	<1,41E-04	2,40E-03	<1,06E-04	<7,07E-05	2,01E-03	1,55E-04	1,84E-02	3,89E-03	7,42E-04	7,42E-04	<1,77E-04	<1,77E-05	7,77E-04	<3,18E-03	
2025-06-18	Gala-250618-HV-1	Station 1 (km381)	PST	18,56	9,28E-05	-	<1,33E-04	7,29E-04	<9,94E-05	<6,63E-05	2,09E-03	<9,94E-05	1,76E-02	1,19E-03	<6,63E-04	2,22E-04	<1,66E-04	<1,66E-05	<6,63E-04	<2,98E-03	
2025-06-24	Gala-250624-HV-1 ¹	Station 1 (km381)	PST	37,55	8,30E-05	-	1,99E-04	2,17E-03	<1,08E-04	<7,22E-05	2,24E-03	2,49E-04	2,53E-02	5,42E-03	9,75E-04	5,06E-04	<1,81E-04	<1,81E-05	1,08E-03	<3,25E-03	
2025-08-11	Gala-250811-HV-1	Station 1 (km381)	PST	13,47	1,84E-04	-	1,74E-04	8,16E-04	<1,06E-04	<7,09E-05	8,16E-04	<1,06E-04	5,67E-02	1,49E-03	<7,09E-04	3,55E-04	<1,77E-04	<1,77E-05	<7,09E-04	<3,19E-03	
2025-08-17	Gala-250817-HV-1	Station 1 (km381)	PST	12,22	1,54E-04	-	<2,13E-04	7,44E-04	<1,59E-04	<1,06E-04	2,23E-03	<1,59E-04	4,52E-02	6,91E-04	<1,06E-03	<2,13E-04	<2,66E-04	<2,66E-05	<1,06E-03	<4,78E-03	
2025-09-04	Gala-250904-HV-1	Station 1 (km381)	PST	10,34	1,98E-04	<1,24E-04	<1,65E-04	8,68E-04	<1,24E-04	<8,27E-05	1,32E-03	<1,24E-04	3,60E-02	1,45E-03	<8,27E-04	4,09E-04	<2,07E-04	<2,07E-05	<8,27E-04	<3,72E-03	
2025-11-02	Gala-251102-HV-1	Station 1 (km381)	PST	6,94	1,52E-04	<1,30E-04	<1,73E-04	4,08E-04	<1,30E-04	<8,67E-05	1,17E-03	<1,30E-04	1,21E-02	<3,90E-04	<8,67E-04	3,64E-04	<2,17E-04	<2,17E-05	<8,67E-04	<3,90E-03	
2025-11-16	Gala-251116-HV-1 ¹	Station 1 (km381)	PST	6,65	1,99E-04	<1,33E-04	<1,77E-04	3,99E-04	<1,33E-04	<8,87E-05	2,22E-03	<1,33E-04	1,91E-02	8,87E-04	1,55E-03	<1,77E-04	<2,22E-04	<2,22E-05	<8,87E-04	5,32E-03	
2025-11-28	Gala-251128-HV-1	Station 1 (km381)	PST	7,13	1,65E-04	<1,34E-04	<1,78E-04	2,23E-04	<1,34E-04	<8,91E-05	1,07E-03	<1,34E-04	7,57E-03	1,07E-03	<8,91E-04	<1,78E-04	<2,23E-04	<2,23E-05	<8,91E-04	<4,01E-03	

Note : ¹ Particules et métaux présentés à titre indicatif

Date d'échantillonnage	Nom de l'échantillon	ID échantillons	Type de mesure	Concentrations (µg/m ³)																
				Particules totales	Antimoine (Sb)	Argent (Ag)	Arsenic (As)	Baryum (Ba)	Béryllium (Be)	Cadmium (Cd)	Chrome (Cr)	Cobalt (Co)	Cuivre (Cu)	Manganèse (Mn)	Nickel (Ni)	Plomb (Pb)	Selenium (Se)	Thallium (Tl)	Vanadium (V)	Zinc (Zn)
Période de la norme (1 an vs 24h)				24 heures	1 an	1 an	1 an	1 an	1 an	1 an	1 an	1 an	1 an	1 an	1 an	1 an	1 an	1 an	1 an	1 an
Type de particules de la norme				PST	PST	PST	PST	PST	PST	PST	PST	PST	PST	PST	PM10	PM10	PST	PST	PST	PST
Norme/critère				120	0,17	0,23	0,003	0,05	0,0004	0,0036	0,004	0,1	2,5	0,08	0,07	0,1	2	0,25	1	2,5
Date	NoEchant	IDechant	PMSize	PST	Sb	Ag	As	Ba	Be	Cd	Cr	Co	Cu	Mn	Ni	Pb	Se	Tl	V	Zn
2025-03-08	Gala-250308-HV-2	Station 2 (km383)	PST	10,44	1,39E-04	<1,74E-04	<2,32E-04	8,12E-04	<1,74E-04	<1,16E-04	2,26E-03	<1,74E-04	3,94E-02	1,33E-03	<1,16E-03	2,44E-04	<2,90E-04	<2,90E-05	<1,16E-03	<5,22E-03
2025-03-14	Gala-250314-HV-2 ¹	Station 2 (km383)	PST	7,72	<5,72E-05	<8,58E-05	1,14E-04	5,72E-04	<8,58E-05	<5,72E-05	6,58E-04	<8,58E-05	8,29E-03	1,09E-03	<5,72E-04	1,83E-04	<1,43E-04	<1,43E-05	<5,72E-04	<2,57E-03
2025-03-21	Gala-250321-HV-2	Station 2 (km383)	PST	16,86	<1,02E-04	<1,53E-04	3,68E-04	1,79E-03	<1,53E-04	<1,02E-04	3,68E-03	<1,53E-04	4,65E-02	2,81E-03	<1,02E-03	1,18E-03	<2,55E-04	<2,55E-05	<1,02E-03	5,62E-03
2025-03-26	Gala-250326-HV-2	Station 2 (km383)	PST	5,81	<9,68E-05	<1,45E-04	<1,94E-04	6,77E-04	<1,45E-04	<9,68E-05	2,90E-03	<1,45E-04	4,65E-02	9,19E-04	<9,68E-04	2,52E-04	<2,42E-04	<2,42E-05	<9,68E-04	<4,35E-03
2025-04-01	Gala-250401-HV-2	Station 2 (km383)	PST	20,76	<1,01E-04	<1,52E-04	2,18E-04	1,72E-03	<1,52E-04	<1,01E-04	4,45E-03	<1,52E-04	2,13E-02	3,49E-03	<1,01E-03	3,95E-04	<2,53E-04	<2,53E-05	<1,01E-03	6,58E-03
2025-04-08	Gala-250408-HV-2	Station 2 (km383)	PST	17,61	<9,78E-05	<1,47E-04	2,49E-04	9,29E-04	<1,47E-04	<9,78E-05	2,69E-03	<1,47E-04	3,28E-02	1,86E-03	<9,78E-04	3,86E-04	<2,45E-04	<2,45E-05	<9,78E-04	<4,40E-03
2025-04-13	Gala-250413-HV-2	Station 2 (km383)	PST	17,80	2,50E-04	<1,67E-04	1,11E-03	2,28E-03	<1,67E-04	<1,11E-04	1,61E-03	<1,67E-04	3,00E-02	4,45E-03	<1,11E-03	1,78E-03	5,39E-04	<2,78E-05	<1,11E-03	8,90E-03
2025-04-19	Gala-250419-HV-2	Station 2 (km383)	PST	9,81	<1,09E-04	<1,64E-04	<2,18E-04	7,09E-04	<1,64E-04	<1,09E-04	2,02E-03	<1,64E-04	2,23E-02	1,42E-03	<1,09E-03	<2,18E-04	<2,73E-04	<2,73E-05	1,31E-03	5,34E-03
2025-04-25	Gala-250425-HV-2	Station 2 (km383)	PST	11,15	1,17E-04	<1,52E-04	<2,03E-04	1,47E-03	<1,52E-04	<1,01E-04	1,72E-03	<1,52E-04	7,09E-02	3,55E-03	<1,01E-03	<2,03E-04	<2,53E-04	<2,53E-05	1,52E-03	<4,56E-03
2025-05-01	Gala-250501-HV-2	Station 2 (km383)	PST	9,85	<1,04E-04	<1,56E-04	3,42E-04	9,85E-04	<1,56E-04	<1,04E-04	2,33E-03	<1,56E-04	4,41E-02	2,28E-03	<1,04E-03	3,99E-04	<2,59E-04	<2,59E-05	1,50E-03	<4,67E-03
2025-05-07	Gala-250507-HV-2	Station 2 (km383)	PST	16,72	<1,11E-04	<1,67E-04	<2,23E-04	1,51E-03	<1,67E-04	<1,11E-04	2,45E-03	<1,67E-04	2,23E-02	3,18E-03	<1,11E-03	<2,23E-04	<2,79E-04	<2,79E-05	1,78E-03	<5,02E-03
2025-05-14	Gala-250514-HV-2 ¹	Station 2 (km383)	PST	143,58	3,22E-04	<1,72E-04	1,21E-03	1,26E-02	<1,72E-04	<1,15E-04	9,19E-03	1,21E-03	4,65E-02	4,14E-02	3,68E-03	1,49E-03	3,16E-04	<2,87E-05	6,32E-03	1,26E-02
2025-05-21	Gala-250521-HV-2	Station 2 (km383)	PST	4,97	<1,11E-04	<1,66E-04	<2,21E-04	5,53E-04	<1,66E-04	<1,11E-04	7,18E-04	<1,66E-04	4,14E-02	9,95E-04	<1,11E-03	<2,21E-04	<2,76E-04	<2,76E-05	1,38E-03	<4,97E-03
2025-06-14	Gala-250614-HV-2 ¹	Station 2 (km383)	PST	47,08	1,98E-04	-	2,68E-04	3,00E-03	<1,61E-04	<1,07E-04	4,92E-03	3,85E-04	5,89E-02	8,56E-03	1,66E-03	5,89E-04	<2,68E-04	<2,68E-05	1,77E-03	<4,82E-03
2025-06-18	Gala-250618-HV-2	Station 2 (km383)	PST	20,37	1,13E-04	-	<2,14E-04	5,36E-04	<1,61E-04	<1,07E-04	2,41E-03	<1,61E-04	7,50E-02	1,29E-03	<1,07E-03	3,54E-04	<2,68E-04	<2,68E-05	<1,07E-03	<4,82E-03
2025-06-24	Gala-250624-HV-2 ¹	Station 2 (km383)	PST	119,45	<1,17E-04	<1,75E-04	4,72E-04	4,49E-03	<1,75E-04	<1,17E-04	6,99E-03	5,83E-04	7,57E-02	1,22E-02	2,16E-03	1,46E-03	<2,91E-04	<2,91E-05	3,26E-03	<5,24E-03
2025-08-11	Gala-250811-HV-2	Station 2 (km383)	PST	28,40	3,06E-04	-	2,78E-04	1,78E-03	<1,67E-04	<1,11E-04	1,95E-03	<1,67E-04	9,47E-02	4,18E-03	<1,11E-03	1,34E-03	<2,78E-04	<2,78E-05	<1,11E-03	<5,01E-03
2025-08-17	Gala-250817-HV-2	Station 2 (km383)	PST	41,08	1,83E-04	-	<2,28E-04	2,34E-03	<1,71E-04	<1,14E-04	2,62E-03	2,68E-04	1,14E-01	5,53E-03	1,26E-03	<2,28E-04	<2,85E-04	<2,85E-05	<1,14E-03	<5,14E-03
2025-09-04	Gala-250904-HV-2	Station 2 (km383)	PST	13,08	2,14E-04	<1,31E-04	<1,74E-04	1,09E-03	<1,31E-04	<8,72E-05	9,16E-04	<1,31E-04	5,23E-02	1,79E-03	2,35E-03	4,10E-04	<2,18E-04	<2,18E-05	<8,72E-04	<3,92E-03
2025-11-16	Gala-251116-HV-2	Station 2 (km383)	PST	7,18	2,15E-04	<1,44E-04	<1,91E-04	3,88E-04	<1,44E-04	<9,57E-05	1,24E-03	<1,44E-04	2,63E-01	7,66E-04	1,15E-03	<1,91E-04	<2,39E-04	<2,39E-05	<9,57E-04	<4,31E-03
2025-11-29	Gala-251129-HV-2	Station 2 (km383)	PST	10,13	2,42E-04	<1,69E-04	<2,25E-04	5,63E-04	<1,69E-04	<1,13E-04	1,41E-03	<1,69E-04	9,00E-02	1,07E-03	2,14E-03	<2,25E-04	<2,81E-04	<2,81E-05	<1,13E-03	<5,07E-03
2025-12-11	Gala-251211-HV-2	Station 2 (km383)	PST	10,98	2,30E-04	<1,50E-04	<2,00E-04	4,59E-04	<1,50E-04	<9,98E-05	1,15E-03	<1,50E-04	2,54E-01	6,99E-04	1,20E-03	2,79E-04	<2,49E-04	<2,49E-05	<9,98E-04	<4,49E-03
2025-12-15	Gala-251215-HV-2	Station 2 (km383)	PST	8,70	2,10E-04	1,74E-04	<2,05E-04	3,48E-04	<1,54E-04	<1,02E-04	1,07E-03	<1,54E-04	3,38E-01	6,65E-04	4,20E-03	<2,05E-04	<2,56E-04	<2,56E-05	<1,02E-03	<4,61E-03
2025-12-17	Gala-251217-HV-2	Station 2 (km383)	PST	13,64	2,18E-04	<1,64E-04	<2,18E-04	4,31E-04	<1,64E-04	<1,09E-04	1,91E-03	<1,64E-04	2,67E-01	8,18E-04	5,07E-03	<2,18E-04	<2,73E-04	<2,73E-05	<1,09E-03	<4,91E-03

Note : ¹ Particules et métaux présentés à titre indicatif

ANNEXE

C

CONCENTRATIONS
JOURNALIÈRES DES
PARTICULES FINES (PM_{2.5}) ET
DES PARTICULES
RESPIRABLES (PM₁₀) PAR
ANALYSEUR EN CONTINU
TELEDYNE T640 – STATION 1
(KM 381)

Station 1 (km381) - T640 Matières particulaires fines (PM2.5) et matières particulaires respirables (PM10)

Date	Année	Mois	Jour	Heure	Galaxy_T640.PM2.5 Conc (AVG)	Galaxy_T640.PM10 Conc (AVG)
2025-08-18	2025	8	18	20	2,71	11,86
2025-08-19	2025	8	19	20	2,89	7,26
2025-08-20	2025	8	20	20	2,57	5,73
2025-08-21	2025	8	21	20	3,39	7,67
2025-08-22	2025	8	22	20	4,01	7,67
2025-08-23	2025	8	23	20	3,02	5,29
2025-08-24	2025	8	24	20	2,57	5,77
2025-08-25	2025	8	25	20	1,96	4,51
2025-08-26	2025	8	26	20	2,72	5,80
2025-08-27	2025	8	27	20	1,18	3,75
2025-08-28	2025	8	28	20	2,44	7,68
2025-08-29	2025	8	29	20	2,33	7,36
2025-08-30	2025	8	30	20	4,33	9,21
2025-08-31	2025	8	31	20	7,91	15,63
2025-09-01	2025	9	1	20	10,43	16,53
2025-09-02	2025	9	2	20	4,54	8,25
2025-09-03	2025	9	3	20	3,34	6,77
2025-09-04	2025	9	4	20	2,72	5,56
2025-09-05	2025	9	5	20	1,77	3,60
2025-09-06	2025	9	6	20	0,93	3,01
2025-09-07	2025	9	7	20	1,82	4,22
2025-09-08	2025	9	8	20	3,42	5,91
2025-09-09	2025	9	9	20	2,93	5,83
2025-09-10	2025	9	10	20	2,06	6,69
2025-09-11	2025	9	11	20	2,79	6,07
2025-09-12	2025	9	12	20	4,30	8,04
2025-09-13	2025	9	13	20	1,91	5,49
2025-09-14	2025	9	14	20	1,94	5,38
2025-09-15	2025	9	15	20	5,28	11,48
2025-09-16	2025	9	16	20	8,38	16,95
2025-09-17	2025	9	17	20	1,15	3,37
2025-09-18	2025	9	18	20	2,39	5,79
2025-09-19	2025	9	19	20	3,40	8,98
2025-09-20	2025	9	20	20	2,35	5,69
2025-09-21	2025	9	21	20	3,01	7,96
2025-09-22	2025	9	22	20	1,90	5,26
2025-09-23	2025	9	23	20	2,09	9,03
2025-09-24	2025	9	24	20	3,80	8,80
2025-09-25	2025	9	25	20	6,41	11,18
2025-09-26	2025	9	26	20	5,54	11,83
2025-09-27	2025	9	27	20	2,54	5,34
2025-09-28	2025	9	28	20	1,88	5,80
2025-09-29	2025	9	29	20	0,82	2,49
2025-09-30	2025	9	30	20	0,89	2,47

Station 1 (km381) - T640 Matières particulaires fines (PM2.5) et matières particulaires respirables (PM10)

2025-10-01	2025	10	1	20	2,15	6,15
2025-10-02	2025	10	2	20	4,43	10,07
2025-10-03	2025	10	3	20	1,51	4,06
2025-10-04	2025	10	4	20	9,28	19,32
2025-10-05	2025	10	5	20	5,80	11,82
2025-10-06	2025	10	6	20	1,29	3,39
2025-10-07	2025	10	7	20	1,97	5,38
2025-10-08	2025	10	8	20	1,14	4,02
2025-10-09	2025	10	9	20	1,46	3,99
2025-10-10	2025	10	10	20	3,03	7,68
2025-10-11	2025	10	11	20	2,43	5,27
2025-10-12	2025	10	12	20	3,04	6,14
2025-10-13	2025	10	13	20	2,11	5,70
2025-10-14	2025	10	14	20	1,98	5,17
2025-10-15	2025	10	15	20	1,08	2,73
2025-10-16	2025	10	16	20	0,76	1,65
2025-10-17	2025	10	17	20	2,61	4,47
2025-10-18	2025	10	18	20	4,13	8,00
2025-10-19	2025	10	19	20	2,28	4,36
2025-10-20	2025	10	20	20	1,19	2,71
2025-10-21	2025	10	21	20	0,66	2,08
2025-10-22	2025	10	22	20	0,63	1,98
2025-10-23	2025	10	23	20	0,29	1,05
2025-10-24	2025	10	24	20	2,27	5,23
2025-10-25	2025	10	25	20	1,36	3,65
2025-10-26	2025	10	26	20	1,46	2,42
2025-10-27	2025	10	27	20	2,15	3,99
2025-10-28	2025	10	28	20	2,53	5,53
2025-10-29	2025	10	29	20	2,86	5,95
2025-10-30	2025	10	30	20	2,50	4,60
2025-10-31	2025	10	31	20	0,37	0,92
2025-11-01	2025	11	1	20	0,45	1,06
2025-11-02	2025	11	2	19	0,80	1,54
2025-11-03	2025	11	3	19	1,52	3,24
2025-11-04	2025	11	4	19	1,42	3,33
2025-11-05	2025	11	5	19	1,71	4,58
2025-11-06	2025	11	6	19	1,27	2,38
2025-11-07	2025	11	7	19	0,75	2,56
2025-11-08	2025	11	8	19	0,77	1,45
2025-11-09	2025	11	9	19	0,80	1,76
2025-11-10	2025	11	10	19	0,76	1,55
2025-11-11	2025	11	11	19	0,28	0,76
2025-11-12	2025	11	12	19	0,94	1,20
2025-11-13	2025	11	13	19	1,20	2,11
2025-11-14	2025	11	14	19	0,23	0,62
2025-11-15	2025	11	15	19	0,44	0,89
2025-11-16	2025	11	16	19	0,38	1,43

Station 1 (km381) - T640 Matières particulaires fines (PM2.5) et matières particulaires respirables (PM10)

2025-11-17	2025	11	17	19	0,10	0,43
2025-11-18	2025	11	18	19	1,17	2,92
2025-11-19	2025	11	19	19	1,42	2,05
2025-11-20	2025	11	20	19	1,09	1,83
2025-11-21	2025	11	21	19	0,97	3,28
2025-11-22	2025	11	22	19	0,77	1,16
2025-11-23	2025	11	23	19	1,82	3,13
2025-11-24	2025	11	24	19	0,90	1,58
2025-11-25	2025	11	25	19	0,83	1,76
2025-11-26	2025	11	26	19	0,23	2,63
2025-11-27	2025	11	27	19	0,18	0,81
2025-11-28	2025	11	28	19	0,89	3,45
2025-11-29	2025	11	29	19	0,54	1,51
2025-11-30	2025	11	30	19	0,90	3,53
2025-12-01	2025	12	1	19	1,09	2,74
2025-12-02	2025	12	2	19	1,49	4,73
2025-12-03	2025	12	3	19	1,43	8,48
2025-12-04	2025	12	4	19	0,81	2,83
2025-12-05	2025	12	5	19	2,29	9,49
2025-12-06	2025	12	6	19	0,92	4,97
2025-12-07	2025	12	7	19	2,13	18,51
2025-12-08	2025	12	8	19	1,51	4,10
2025-12-09	2025	12	9	19	1,16	1,72
2025-12-10	2025	12	10	19	1,58	2,75
2025-12-11	2025	12	11	19	1,23	2,86
2025-12-12	2025	12	12	19	0,70	1,41
2025-12-13	2025	12	13	19	0,72	1,38
2025-12-14	2025	12	14	19	1,48	2,94
2025-12-15	2025	12	15	19	1,33	4,81
2025-12-16	2025	12	16	19	2,92	8,54
2025-12-17	2025	12	17	19	2,09	4,83
2025-12-18	2025	12	18	19	1,56	8,63
2025-12-19	2025	12	19	19	1,49	4,39
2025-12-20	2025	12	20	19	1,17	3,19
2025-12-21	2025	12	21	19	2,18	4,25
2025-12-22	2025	12	22	19	1,02	1,62
2025-12-23	2025	12	23	19	1,04	2,45
2025-12-24	2025	12	24	19	0,96	2,21
2025-12-25	2025	12	25	19	0,55	0,96
2025-12-26	2025	12	26	19	0,43	1,04
2025-12-27	2025	12	27	19	0,62	1,22
2025-12-28	2025	12	28	19	0,61	4,67
2025-12-29	2025	12	29	19	2,60	8,40
2025-12-30	2025	12	30	19	10,18	33,16
2025-12-31	2025	12	31	19	1,76	5,58

ANNEXE

D

CONCENTRATIONS DES
PARTICULES FINES (PM_{2.5})
PAR ÉCHANTILLONNEUR SUR
FILTRE TE-WILBUR –
STATION 2 (KM 383)

Station 2 (km383) - TE-Wilbur (Particules fines (PM2.5))

Date d'échantillonnage	Nom de l'échantillon	Station	Type de mesure	Concentration (ug/m ³)
				Particules fines (PM _{2,5})
Période de la norme (1 an vs 24h)				24h
Type de particules de la norme				PM2.5
Norme/critère				30
Date d'échantillonnage	Nom de l'échantillon	Station	Type de mesure	Concentration (ug/m3)
2025-01-13	Gala-250113-Wil-PM2.5-2	Station 2 (km383)	PM _{2,5}	15,0
2025-01-20	Gala-250120-Wil-PM2.5-2	Station 2 (km383)	PM _{2,5}	20,5
2025-01-25	Gala-250125-Wil-PM2.5-2	Station 2 (km383)	PM _{2,5}	7,5
2025-01-31	Gala-250131-Wil-PM2.5-2	Station 2 (km383)	PM _{2,5}	28,3
2025-02-06	Gala-250206-Wil-PM2.5-2	Station 2 (km383)	PM _{2,5}	<7,5
2025-02-12	Gala-250212-Wil-PM2.5-2	Station 2 (km383)	PM _{2,5}	28,8
2025-02-18	Gala-250218-Wil-PM2.5-2 ¹	Station 2 (km383)	PM _{2,5}	24,1
2025-02-24	Gala-250224-Wil-PM2.5-2 ¹	Station 2 (km383)	PM _{2,5}	37,3
2025-03-02	Gala-250302-Wil-PM2.5-2 ¹	Station 2 (km383)	PM _{2,5}	27,7
2025-03-08	Gala-250308-Wil-PM2.5-2 ¹	Station 2 (km383)	PM _{2,5}	26,8
2025-03-14	Gala-250314-Wil-PM2.5-2 ¹	Station 2 (km383)	PM _{2,5}	52,6
2025-03-21	Gala-250321-Wil-PM2.5-2 ¹	Station 2 (km383)	PM _{2,5}	103,5
2025-06-15	Gala-250615-Wil-PM2.5-2	Station 2 (km383)	PM _{2,5}	24,3
2025-06-18	Gala-250618-Wil-PM2.5-2	Station 2 (km383)	PM _{2,5}	<8,3
2025-06-24	Gala-250624-Wil-PM2.5-2	Station 2 (km383)	PM _{2,5}	40,8
2025-06-30	Gala-250630-Wil-PM2.5-2	Station 2 (km383)	PM _{2,5}	47,4
2025-08-11	Gala-250811-Wil-PM2.5-2	Station 2 (km383)	PM _{2,5}	8,5
2025-08-17	Gala-250817-Wil-PM2.5-2	Station 2 (km383)	PM _{2,5}	24,0
2025-08-23	Gala-250823-Wil-PM2.5-2	Station 2 (km383)	PM _{2,5}	25,2
2025-08-29	Gala-250829-Wil-PM2.5-2	Station 2 (km383)	PM _{2,5}	28,4
2025-09-04	Gala-250904-Wil-PM2.5-2	Station 2 (km383)	PM _{2,5}	<8,2
2025-11-16	Gala-251116-Wil-PM2.5-2	Station 2 (km383)	PM _{2,5}	<7,9
2025-11-29	Gala-251129-Wil-PM2.5-2	Station 2 (km383)	PM _{2,5}	<7,6
2025-12-13	Gala-251213-Wil-PM2.5-2	Station 2 (km383)	PM _{2,5}	11,5
2025-12-15	Gala-251215-Wil-PM2.5-2	Station 2 (km383)	PM _{2,5}	11,4
2025-12-17	Gala-251217-Wil-PM2.5-2	Station 2 (km383)	PM _{2,5}	<7,8

Note : ¹ particules fines (PM_{2,5}) à titre indicatif

ANNEXE

E

CONCENTRATIONS DE LA
SILICE CRISTALLINE PAR
ÉCHANTILLONNEUR SUR
FILTRE TE-WILBUR-
STATION 1 (KM 381) ET
STATION 2 (KM 383)

Station 1 (km381): TE-Wilbur (Silice cristalline PM4)

Date d'échantillonnage	Nom de l'échantillon	Station	Type de mesure	Concentration (ug/m ³)
				Silice cristalline
Période de la norme (1 an vs 24h)				1 an
Type de particules de la norme				PM₄
Norme/critère				0,07
Date d'échantillonnage	Nom de l'échantillon	Station	Type de mesure	Concentration (ug/m ³)
2025-01-13	Gala-250113-Wil-PM4-1	Station 1 (km381)	PM ₄	<0,057
2025-01-20	Gala-250120-Wil-PM4-1 ¹	Station 1 (km381)	PM ₄	<0,094
2025-01-25	Gala-250125-Wil-PM4-1	Station 1 (km381)	PM ₄	<0,056
2025-01-31	Gala-250131-Wil-PM4-1	Station 1 (km381)	PM ₄	<0,055
2025-02-12	Gala-250212-Wil-PM4-1	Station 1 (km381)	PM ₄	<0,054
2025-02-24	Gala-250224-Wil-PM4-1	Station 1 (km381)	PM ₄	<0,056
2025-03-08	Gala-250308-Wil-PM4-1	Station 1 (km381)	PM ₄	<0,056
2025-03-14	Gala-250314-Wil-PM4-1	Station 1 (km381)	PM ₄	0,059
2025-03-21	Gala-250321-Wil-PM4-1 ¹	Station 1 (km381)	PM ₄	0,183
2025-04-01	Gala-250401-Wil-PM4-1	Station 1 (km381)	PM ₄	<0,057
2025-04-13	Gala-250413-Wil-PM4-1	Station 1 (km381)	PM ₄	<0,060
2025-04-25	Gala-250425-Wil-PM4-1	Station 1 (km381)	PM ₄	0,127
2025-05-01	Gala-250501-Wil-PM4-1	Station 1 (km381)	PM ₄	<0,059
2025-05-07	Gala-250507-Wil-PM4-1	Station 1 (km381)	PM ₄	<0,059
2025-05-14	Gala-250514-Wil-PM4-1	Station 1 (km381)	PM ₄	0,105
2025-05-21	Gala-250521-Wil-PM4-1	Station 1 (km381)	PM ₄	0,076
2025-05-31	Gala-250531-Wil-PM4-1	Station 1 (km381)	PM ₄	0,148
2025-06-14	Gala-250614-Wil-PM4-1	Station 1 (km381)	PM ₄	0,081
2025-06-24	Gala-250624-Wil-PM4-1	Station 1 (km381)	PM ₄	0,079
2025-08-11	Gala-250811-Wil-PM4-1	Station 1 (km381)	PM ₄	<0,063
2025-08-23	Gala-250823-Wil-PM4-1	Station 1 (km381)	PM ₄	<0,062
2025-08-29	Gala-250829-Wil-PM4-1	Station 1 (km381)	PM ₄	<0,062
2025-09-04	Gala-250904-Wil-PM4-1	Station 1 (km381)	PM ₄	<0,061
2025-11-04	Gala-251104-Wil-PM4-1	Station 1 (km381)	PM ₄	<0,059
2025-11-16	Gala-251116-Wil-PM4-1	Station 1 (km381)	PM ₄	<0,059
2025-11-28	Gala-251128-Wil-PM4-1	Station 1 (km381)	PM ₄	<0,057
2025-12-11	Gala-251211-Wil-PM4-1	Station 1 (km381)	PM ₄	<0,057
2025-12-17	Gala-251217-Wil-PM4-1	Station 1 (km381)	PM ₄	<0,057

Note : ¹ Silice présentée à titre indicatif

Station 2 (km383): TE-Wilbur (Silice cristalline PM4)

Date d'échantillonnage	Nom de l'échantillon	Station	Type de mesure	Concentration (ug/m ³)
				Silice cristalline
Période de la norme (1 an vs 24h)				1 an
Type de particules de la norme				PM₄
Norme/critère				0,07
Date d'échantillonnage	Nom de l'échantillon	Station	Type de mesure	Concentration (ug/m ³)
2025-01-13	Gala-250113-Wil-PM4-2	Station 2 (km383)	PM ₄	<0,058
2025-01-20	Gala-250120-Wil-PM4-2 ¹	Station 2 (km383)	PM ₄	<0,073
2025-01-25	Gala-250125-Wil-PM4-2	Station 2 (km383)	PM ₄	<0,056
2025-01-31	Gala-250131-Wil-PM4-2	Station 2 (km383)	PM ₄	0,069
2025-02-12	Gala-250212-Wil-PM4-2	Station 2 (km383)	PM ₄	0,065
2025-02-24	Gala-250224-Wil-PM4-2	Station 2 (km383)	PM ₄	<0,056
2025-03-08	Gala-250308-Wil-PM4-2	Station 2 (km383)	PM ₄	<0,056
2025-03-14	Gala-250314-Wil-PM4-2	Station 2 (km383)	PM ₄	<0,058
2025-03-21	Gala-250321-Wil-PM4-2 ¹	Station 2 (km383)	PM ₄	<0,061
2025-04-01	Gala-250401-Wil-PM4-2	Station 2 (km383)	PM ₄	<0,057
2025-04-13	Gala-250413-Wil-PM4-2	Station 2 (km383)	PM ₄	<0,060
2025-04-25	Gala-250425-Wil-PM4-2 ¹	Station 2 (km383)	PM ₄	0,249
2025-05-01	Gala-250501-Wil-PM4-2	Station 2 (km383)	PM ₄	<0,059
2025-05-07	Gala-250507-Wil-PM4-2	Station 2 (km383)	PM ₄	<0,059
2025-05-14	Gala-250514-Wil-PM4-2	Station 2 (km383)	PM ₄	0,124
2025-05-21	Gala-250521-Wil-PM4-2	Station 2 (km383)	PM ₄	<0,061
2025-05-31	Gala-250531-Wil-PM4-2	Station 2 (km383)	PM ₄	<0,123
2025-06-14	Gala-250614-Wil-PM4-2	Station 2 (km383)	PM ₄	<0,061
2025-06-24	Gala-250624-Wil-PM4-2	Station 2 (km383)	PM ₄	0,086
2025-08-11	Gala-250811-Wil-PM4-2	Station 2 (km383)	PM ₄	<0,063
2025-08-23	Gala-250823-Wil-PM4-2	Station 2 (km383)	PM ₄	<0,062
2025-08-29	Gala-250829-Wil-PM4-2 ¹	Station 2 (km383)	PM ₄	<0,124
2025-09-04	Gala-250904-Wil-PM4-2	Station 2 (km383)	PM ₄	<0,061
2025-11-16	Gala-251116-Wil-PM4-2	Station 2 (km383)	PM ₄	<0,059
2025-11-29	Gala-251129-Wil-PM4-2	Station 2 (km383)	PM ₄	<0,057
2025-12-17	Gala-251217-Wil-PM4-2	Station 2 (km383)	PM ₄	<0,057

Note : ¹ Silice présentée à titre indicatif

ANNEXE

F

CONCENTRATION DES
OXYDES D'AZOTE (NO₂) PAR
ANALYSEUR EN CONTINU
TELEDYNE T200 – STATION 1
(KM 381)

Station 1 (km381) - T200 NO2

Date	mois	jour	heure	Galaxy_T200.NOX Conc (AVG)
2025-01-14 05:00:00	1	14	5	0,0
2025-01-14 06:00:00	1	14	6	5,2
2025-01-14 07:00:00	1	14	7	1,1
2025-01-14 08:00:00	1	14	8	0,6
2025-01-14 09:00:00	1	14	9	0,0
2025-01-14 10:00:00	1	14	10	0,0
2025-01-14 11:00:00	1	14	11	0,0
2025-01-14 12:00:00	1	14	12	1,6
2025-01-14 13:00:00	1	14	13	0,1
2025-01-14 14:00:00	1	14	14	101,0
2025-01-14 15:00:00	1	14	15	9,5
2025-01-15 00:00:00	1	15	0	0,0
2025-01-15 01:00:00	1	15	1	0,0
2025-01-15 02:00:00	1	15	2	111,4
2025-01-15 03:00:00	1	15	3	0,0
2025-01-15 04:00:00	1	15	4	0,6
2025-01-15 05:00:00	1	15	5	0,0
2025-01-15 06:00:00	1	15	6	0,2
2025-01-15 07:00:00	1	15	7	1,0
2025-01-15 08:00:00	1	15	8	1,4
2025-01-15 09:00:00	1	15	9	1,5
2025-01-15 10:00:00	1	15	10	1,7
2025-01-15 11:00:00	1	15	11	2,9
2025-01-15 12:00:00	1	15	12	0,9
2025-01-15 13:00:00	1	15	13	1,2
2025-01-15 14:00:00	1	15	14	107,6
2025-01-15 15:00:00	1	15	15	0,0
2025-01-15 16:00:00	1	15	16	0,0
2025-01-15 17:00:00	1	15	17	0,0
2025-01-15 18:00:00	1	15	18	0,0
2025-01-15 19:00:00	1	15	19	0,0
2025-01-15 20:00:00	1	15	20	0,0
2025-01-15 21:00:00	1	15	21	0,0
2025-01-15 22:00:00	1	15	22	0,0
2025-01-15 23:00:00	1	15	23	0,0
2025-01-16 00:00:00	1	16	0	0,0
2025-01-16 01:00:00	1	16	1	0,0
2025-01-16 02:00:00	1	16	2	114,4
2025-01-16 03:00:00	1	16	3	0,0
2025-01-16 04:00:00	1	16	4	0,0
2025-01-16 05:00:00	1	16	5	0,0
2025-01-16 06:00:00	1	16	6	0,0
2025-01-16 07:00:00	1	16	7	0,0
2025-01-16 08:00:00	1	16	8	0,1
2025-01-16 09:00:00	1	16	9	0,1
2025-01-16 10:00:00	1	16	10	0,0

Station 1 (km381) - T200 NO2

2025-01-16 11:00:00	1	16	11	0,1
2025-01-16 12:00:00	1	16	12	0,1
2025-01-16 13:00:00	1	16	13	0,2
2025-01-16 14:00:00	1	16	14	119,5
2025-01-16 15:00:00	1	16	15	0,0
2025-01-16 16:00:00	1	16	16	0,0
2025-01-16 17:00:00	1	16	17	0,0
2025-01-16 18:00:00	1	16	18	0,6
2025-01-16 19:00:00	1	16	19	1,8
2025-01-16 20:00:00	1	16	20	0,1
2025-01-16 21:00:00	1	16	21	0,3
2025-01-16 22:00:00	1	16	22	0,0
2025-01-16 23:00:00	1	16	23	0,9
2025-01-17 00:00:00	1	17	0	1,1
2025-01-17 01:00:00	1	17	1	127,6
2025-01-17 02:00:00	1	17	2	82,0
2025-01-17 03:00:00	1	17	3	1,1
2025-01-17 04:00:00	1	17	4	2,9
2025-01-17 05:00:00	1	17	5	1,0
2025-01-17 06:00:00	1	17	6	1,7
2025-01-17 07:00:00	1	17	7	0,1
2025-01-17 08:00:00	1	17	8	0,1
2025-01-17 09:00:00	1	17	9	23,0
2025-01-17 10:00:00	1	17	10	28,3
2025-01-17 11:00:00	1	17	11	12,7
2025-01-17 12:00:00	1	17	12	0,2
2025-01-17 13:00:00	1	17	13	110,2
2025-01-17 14:00:00	1	17	14	7,3
2025-01-17 15:00:00	1	17	15	0,0
2025-01-17 16:00:00	1	17	16	0,0
2025-01-17 17:00:00	1	17	17	0,0
2025-01-17 18:00:00	1	17	18	0,1
2025-01-17 19:00:00	1	17	19	0,1
2025-01-17 20:00:00	1	17	20	0,1
2025-01-17 21:00:00	1	17	21	0,1
2025-01-17 22:00:00	1	17	22	0,1
2025-01-17 23:00:00	1	17	23	0,1
2025-01-18 00:00:00	1	18	0	0,3
2025-01-18 01:00:00	1	18	1	127,2
2025-01-18 02:00:00	1	18	2	0,5
2025-01-18 03:00:00	1	18	3	0,6
2025-01-18 04:00:00	1	18	4	0,3
2025-01-18 05:00:00	1	18	5	0,3
2025-01-18 06:00:00	1	18	6	3,2
2025-01-18 07:00:00	1	18	7	5,2
2025-01-18 08:00:00	1	18	8	1,1
2025-01-18 09:00:00	1	18	9	0,4

Station 1 (km381) - T200 NO2

2025-01-18 10:00:00	1	18	10	1,4
2025-01-18 11:00:00	1	18	11	1,7
2025-01-18 12:00:00	1	18	12	0,0
2025-01-18 13:00:00	1	18	13	111,5
2025-01-18 14:00:00	1	18	14	0,0
2025-01-18 15:00:00	1	18	15	0,5
2025-01-18 16:00:00	1	18	16	0,1
2025-01-18 17:00:00	1	18	17	0,3
2025-01-18 18:00:00	1	18	18	0,5
2025-01-18 19:00:00	1	18	19	0,5
2025-01-18 20:00:00	1	18	20	0,7
2025-01-18 21:00:00	1	18	21	0,4
2025-01-18 22:00:00	1	18	22	0,7
2025-01-18 23:00:00	1	18	23	1,1
2025-01-19 00:00:00	1	19	0	1,3
2025-01-19 01:00:00	1	19	1	116,3
2025-01-19 02:00:00	1	19	2	2,6
2025-01-19 03:00:00	1	19	3	4,5
2025-01-19 04:00:00	1	19	4	4,0
2025-01-19 05:00:00	1	19	5	26,8
2025-01-19 06:00:00	1	19	6	33,5
2025-01-19 07:00:00	1	19	7	8,9
2025-01-19 08:00:00	1	19	8	3,8
2025-01-19 09:00:00	1	19	9	0,0
2025-01-19 10:00:00	1	19	10	0,0
2025-01-19 11:00:00	1	19	11	0,0
2025-01-19 12:00:00	1	19	12	0,9
2025-01-19 13:00:00	1	19	13	110,5
2025-01-19 14:00:00	1	19	14	0,6
2025-01-19 15:00:00	1	19	15	0,9
2025-01-19 16:00:00	1	19	16	0,0
2025-01-19 17:00:00	1	19	17	0,0
2025-01-19 18:00:00	1	19	18	0,0
2025-01-19 19:00:00	1	19	19	1,8
2025-01-19 20:00:00	1	19	20	1,8
2025-01-19 21:00:00	1	19	21	0,7
2025-01-19 22:00:00	1	19	22	1,0
2025-01-19 23:00:00	1	19	23	0,2
2025-01-20 00:00:00	1	20	0	38,4
2025-01-20 01:00:00	1	20	1	75,8
2025-01-20 02:00:00	1	20	2	0,5
2025-01-20 03:00:00	1	20	3	0,5
2025-01-20 04:00:00	1	20	4	1,1
2025-01-20 05:00:00	1	20	5	2,2
2025-01-20 06:00:00	1	20	6	1,2
2025-01-20 07:00:00	1	20	7	1,6
2025-01-20 08:00:00	1	20	8	1,1

Station 1 (km381) - T200 NO2

2025-01-20 09:00:00	1	20	9	0,9
2025-01-20 10:00:00	1	20	10	1,1
2025-01-20 11:00:00	1	20	11	0,3
2025-01-20 12:00:00	1	20	12	109,0
2025-01-20 13:00:00	1	20	13	30,4
2025-01-20 14:00:00	1	20	14	10,0
2025-01-20 15:00:00	1	20	15	0,3
2025-01-20 16:00:00	1	20	16	0,8
2025-01-20 17:00:00	1	20	17	0,0
2025-01-20 18:00:00	1	20	18	6,4
2025-01-20 19:00:00	1	20	19	8,0
2025-01-20 20:00:00	1	20	20	13,4
2025-01-20 21:00:00	1	20	21	11,2
2025-01-20 22:00:00	1	20	22	14,3
2025-01-20 23:00:00	1	20	23	15,7
2025-01-21 00:00:00	1	21	0	128,6
2025-01-21 01:00:00	1	21	1	18,0
2025-01-21 02:00:00	1	21	2	14,3
2025-01-21 03:00:00	1	21	3	15,8
2025-01-21 04:00:00	1	21	4	8,2
2025-01-21 05:00:00	1	21	5	0,9
2025-01-21 06:00:00	1	21	6	1,3
2025-01-21 07:00:00	1	21	7	0,0
2025-01-21 08:00:00	1	21	8	0,0
2025-01-21 09:00:00	1	21	9	0,4
2025-01-21 10:00:00	1	21	10	0,1
2025-01-21 11:00:00	1	21	11	0,2
2025-01-21 12:00:00	1	21	12	116,1
2025-01-21 13:00:00	1	21	13	2,4
2025-01-21 14:00:00	1	21	14	1,0
2025-01-21 15:00:00	1	21	15	0,0
2025-01-21 16:00:00	1	21	16	0,0
2025-01-21 17:00:00	1	21	17	0,0
2025-01-21 18:00:00	1	21	18	0,0
2025-01-21 19:00:00	1	21	19	0,0
2025-01-21 20:00:00	1	21	20	0,0
2025-01-21 21:00:00	1	21	21	0,0
2025-01-21 22:00:00	1	21	22	0,0
2025-01-21 23:00:00	1	21	23	0,3
2025-01-22 00:00:00	1	22	0	120,4
2025-01-22 01:00:00	1	22	1	3,8
2025-01-22 02:00:00	1	22	2	0,0
2025-01-22 03:00:00	1	22	3	0,0
2025-01-22 04:00:00	1	22	4	0,0
2025-01-22 05:00:00	1	22	5	0,0
2025-01-22 06:00:00	1	22	6	0,0
2025-01-22 07:00:00	1	22	7	0,0

Station 1 (km381) - T200 NO2

2025-01-22 08:00:00	1	22	8	0,0
2025-01-22 09:00:00	1	22	9	0,0
2025-01-22 10:00:00	1	22	10	0,0
2025-01-22 11:00:00	1	22	11	0,2
2025-01-22 12:00:00	1	22	12	118,9
2025-01-22 13:00:00	1	22	13	1,8
2025-01-22 14:00:00	1	22	14	0,3
2025-01-22 15:00:00	1	22	15	0,3
2025-01-22 16:00:00	1	22	16	0,1
2025-01-22 17:00:00	1	22	17	0,2
2025-01-22 18:00:00	1	22	18	0,2
2025-01-22 19:00:00	1	22	19	0,2
2025-01-22 20:00:00	1	22	20	0,2
2025-01-22 21:00:00	1	22	21	0,2
2025-01-22 22:00:00	1	22	22	0,3
2025-01-22 23:00:00	1	22	23	42,6
2025-01-23 00:00:00	1	23	0	79,8
2025-01-23 01:00:00	1	23	1	0,2
2025-01-23 02:00:00	1	23	2	1,2
2025-01-23 03:00:00	1	23	3	0,2
2025-01-23 04:00:00	1	23	4	0,2
2025-01-23 05:00:00	1	23	5	0,4
2025-01-23 06:00:00	1	23	6	3,9
2025-01-23 07:00:00	1	23	7	5,0
2025-01-23 08:00:00	1	23	8	7,4
2025-01-23 09:00:00	1	23	9	16,8
2025-01-23 10:00:00	1	23	10	12,1
2025-01-23 11:00:00	1	23	11	164,4
2025-01-23 12:00:00	1	23	12	59,7
2025-01-23 13:00:00	1	23	13	1,7
2025-01-23 14:00:00	1	23	14	2,2
2025-01-23 15:00:00	1	23	15	23,3
2025-01-23 16:00:00	1	23	16	18,1
2025-01-23 17:00:00	1	23	17	1,0
2025-01-23 18:00:00	1	23	18	3,7
2025-01-23 19:00:00	1	23	19	0,5
2025-01-23 20:00:00	1	23	20	0,2
2025-01-23 21:00:00	1	23	21	0,3
2025-01-23 22:00:00	1	23	22	0,2
2025-01-23 23:00:00	1	23	23	122,2
2025-01-24 00:00:00	1	24	0	0,2
2025-01-24 01:00:00	1	24	1	0,7
2025-01-24 02:00:00	1	24	2	1,1
2025-01-24 03:00:00	1	24	3	3,3
2025-01-24 04:00:00	1	24	4	4,7
2025-01-24 05:00:00	1	24	5	4,2
2025-01-24 06:00:00	1	24	6	3,5

Station 1 (km381) - T200 NO2

2025-01-24 07:00:00	1	24	7	4,5
2025-01-24 08:00:00	1	24	8	39,8
2025-01-24 09:00:00	1	24	9	15,0
2025-01-24 10:00:00	1	24	10	3,8
2025-01-24 11:00:00	1	24	11	124,1
2025-01-24 12:00:00	1	24	12	1,8
2025-01-24 13:00:00	1	24	13	1,5
2025-01-24 14:00:00	1	24	14	1,3
2025-01-24 15:00:00	1	24	15	0,4
2025-01-24 16:00:00	1	24	16	0,4
2025-01-24 17:00:00	1	24	17	0,0
2025-01-24 18:00:00	1	24	18	0,0
2025-01-24 19:00:00	1	24	19	0,0
2025-01-24 20:00:00	1	24	20	0,0
2025-01-24 21:00:00	1	24	21	0,0
2025-01-24 22:00:00	1	24	22	0,0
2025-01-24 23:00:00	1	24	23	110,9
2025-01-25 00:00:00	1	25	0	0,0
2025-01-25 01:00:00	1	25	1	0,0
2025-01-25 02:00:00	1	25	2	0,0
2025-01-25 03:00:00	1	25	3	0,0
2025-01-25 04:00:00	1	25	4	0,0
2025-01-25 05:00:00	1	25	5	0,0
2025-01-25 06:00:00	1	25	6	0,0
2025-01-25 07:00:00	1	25	7	0,0
2025-01-25 08:00:00	1	25	8	0,4
2025-01-25 09:00:00	1	25	9	0,0
2025-01-25 10:00:00	1	25	10	0,0
2025-01-25 11:00:00	1	25	11	116,0
2025-01-25 12:00:00	1	25	12	0,0
2025-01-25 13:00:00	1	25	13	0,0
2025-01-25 14:00:00	1	25	14	0,5
2025-01-25 15:00:00	1	25	15	0,0
2025-01-25 16:00:00	1	25	16	0,1
2025-01-25 17:00:00	1	25	17	0,2
2025-01-25 18:00:00	1	25	18	0,3
2025-01-25 19:00:00	1	25	19	0,3
2025-01-25 20:00:00	1	25	20	0,5
2025-01-25 21:00:00	1	25	21	0,7
2025-01-25 22:00:00	1	25	22	41,3
2025-01-25 23:00:00	1	25	23	82,1
2025-01-26 00:00:00	1	26	0	5,8
2025-01-26 01:00:00	1	26	1	3,8
2025-01-26 02:00:00	1	26	2	0,4
2025-01-26 03:00:00	1	26	3	0,3
2025-01-26 04:00:00	1	26	4	0,2
2025-01-26 05:00:00	1	26	5	0,3

Station 1 (km381) - T200 NO2

2025-01-26 06:00:00	1	26	6	1,2
2025-01-26 07:00:00	1	26	7	0,9
2025-01-26 08:00:00	1	26	8	0,7
2025-01-26 09:00:00	1	26	9	1,5
2025-01-26 10:00:00	1	26	10	113,2
2025-01-26 11:00:00	1	26	11	31,1
2025-01-26 12:00:00	1	26	12	0,7
2025-01-26 13:00:00	1	26	13	2,9
2025-01-26 14:00:00	1	26	14	2,7
2025-01-26 15:00:00	1	26	15	1,2
2025-01-26 16:00:00	1	26	16	0,0
2025-01-26 17:00:00	1	26	17	0,0
2025-01-26 18:00:00	1	26	18	0,0
2025-01-26 19:00:00	1	26	19	0,0
2025-01-26 20:00:00	1	26	20	0,0
2025-01-26 21:00:00	1	26	21	0,0
2025-01-26 22:00:00	1	26	22	120,6
2025-01-26 23:00:00	1	26	23	0,0
2025-01-27 00:00:00	1	27	0	0,1
2025-01-27 01:00:00	1	27	1	0,2
2025-01-27 02:00:00	1	27	2	0,2
2025-01-27 03:00:00	1	27	3	0,0
2025-01-27 04:00:00	1	27	4	0,3
2025-01-27 05:00:00	1	27	5	0,3
2025-01-27 06:00:00	1	27	6	5,6
2025-01-27 07:00:00	1	27	7	8,8
2025-01-27 08:00:00	1	27	8	1,9
2025-01-27 09:00:00	1	27	9	0,7
2025-01-27 10:00:00	1	27	10	122,8
2025-01-27 11:00:00	1	27	11	0,6
2025-01-27 12:00:00	1	27	12	0,6
2025-01-27 13:00:00	1	27	13	1,0
2025-01-27 14:00:00	1	27	14	0,7
2025-01-27 15:00:00	1	27	15	0,2
2025-01-27 16:00:00	1	27	16	0,1
2025-01-27 17:00:00	1	27	17	0,4
2025-01-27 18:00:00	1	27	18	0,8
2025-01-27 19:00:00	1	27	19	0,0
2025-01-27 20:00:00	1	27	20	0,2
2025-01-27 21:00:00	1	27	21	0,3
2025-01-27 22:00:00	1	27	22	125,8
2025-01-27 23:00:00	1	27	23	0,3
2025-01-28 00:00:00	1	28	0	0,3
2025-01-28 01:00:00	1	28	1	0,2
2025-01-28 02:00:00	1	28	2	0,2
2025-01-28 03:00:00	1	28	3	0,2
2025-01-28 04:00:00	1	28	4	0,1

Station 1 (km381) - T200 NO2

2025-01-28 05:00:00	1	28	5	0,4
2025-01-28 06:00:00	1	28	6	2,4
2025-01-28 07:00:00	1	28	7	2,8
2025-01-28 08:00:00	1	28	8	0,8
2025-01-28 09:00:00	1	28	9	0,8
2025-01-28 10:00:00	1	28	10	122,5
2025-01-28 11:00:00	1	28	11	1,2
2025-01-28 12:00:00	1	28	12	1,5
2025-01-28 13:00:00	1	28	13	1,1
2025-01-28 14:00:00	1	28	14	0,6
2025-01-28 15:00:00	1	28	15	1,0
2025-01-28 16:00:00	1	28	16	2,6
2025-01-28 17:00:00	1	28	17	8,8
2025-01-28 18:00:00	1	28	18	3,1
2025-01-28 19:00:00	1	28	19	6,0
2025-01-28 20:00:00	1	28	20	17,5
2025-01-28 21:00:00	1	28	21	48,0
2025-01-28 22:00:00	1	28	22	131,9
2025-01-28 23:00:00	1	28	23	0,2
2025-01-29 00:00:00	1	29	0	2,9
2025-01-29 01:00:00	1	29	1	1,9
2025-01-29 02:00:00	1	29	2	3,2
2025-01-29 03:00:00	1	29	3	9,1
2025-01-29 04:00:00	1	29	4	0,9
2025-01-29 05:00:00	1	29	5	0,0
2025-01-29 06:00:00	1	29	6	1,5
2025-01-29 07:00:00	1	29	7	20,4
2025-01-29 08:00:00	1	29	8	6,4
2025-01-29 09:00:00	1	29	9	118,2
2025-01-29 10:00:00	1	29	10	19,7
2025-01-29 11:00:00	1	29	11	4,4
2025-01-29 12:00:00	1	29	12	0,3
2025-01-29 13:00:00	1	29	13	0,4
2025-01-29 14:00:00	1	29	14	0,4
2025-01-29 15:00:00	1	29	15	0,8
2025-01-29 16:00:00	1	29	16	3,2
2025-01-29 17:00:00	1	29	17	1,0
2025-01-29 18:00:00	1	29	18	1,8
2025-01-29 19:00:00	1	29	19	2,5
2025-01-29 20:00:00	1	29	20	2,3
2025-01-29 21:00:00	1	29	21	124,8
2025-01-29 22:00:00	1	29	22	9,7
2025-01-29 23:00:00	1	29	23	3,8
2025-01-30 00:00:00	1	30	0	1,2
2025-01-30 01:00:00	1	30	1	8,0
2025-01-30 02:00:00	1	30	2	13,9
2025-01-30 03:00:00	1	30	3	22,7

Station 1 (km381) - T200 NO2

2025-01-30 04:00:00	1	30	4	10,1
2025-01-30 05:00:00	1	30	5	7,3
2025-01-30 06:00:00	1	30	6	10,5
2025-01-30 07:00:00	1	30	7	8,4
2025-01-30 08:00:00	1	30	8	4,6
2025-01-30 09:00:00	1	30	9	114,0
2025-01-30 10:00:00	1	30	10	0,1
2025-01-30 11:00:00	1	30	11	0,2
2025-01-30 12:00:00	1	30	12	0,7
2025-01-30 13:00:00	1	30	13	1,5
2025-01-30 14:00:00	1	30	14	2,0
2025-01-30 15:00:00	1	30	15	1,1
2025-01-30 16:00:00	1	30	16	1,0
2025-01-30 17:00:00	1	30	17	0,2
2025-01-30 18:00:00	1	30	18	0,0
2025-01-30 19:00:00	1	30	19	0,2
2025-01-30 20:00:00	1	30	20	0,1
2025-01-30 21:00:00	1	30	21	129,1
2025-01-30 22:00:00	1	30	22	1,5
2025-01-30 23:00:00	1	30	23	3,6
2025-01-31 00:00:00	1	31	0	2,5
2025-01-31 01:00:00	1	31	1	1,7
2025-01-31 02:00:00	1	31	2	0,7
2025-01-31 03:00:00	1	31	3	0,9
2025-01-31 04:00:00	1	31	4	0,5
2025-01-31 05:00:00	1	31	5	0,6
2025-01-31 06:00:00	1	31	6	0,8
2025-01-31 07:00:00	1	31	7	1,0
2025-01-31 08:00:00	1	31	8	1,5
2025-01-31 09:00:00	1	31	9	120,2
2025-01-31 10:00:00	1	31	10	1,0
2025-01-31 11:00:00	1	31	11	0,9
2025-01-31 12:00:00	1	31	12	1,5
2025-01-31 13:00:00	1	31	13	1,0
2025-01-31 14:00:00	1	31	14	0,7
2025-01-31 15:00:00	1	31	15	1,0
2025-01-31 16:00:00	1	31	16	0,6
2025-01-31 17:00:00	1	31	17	0,4
2025-01-31 18:00:00	1	31	18	0,6
2025-01-31 19:00:00	1	31	19	0,3
2025-01-31 20:00:00	1	31	20	46,6
2025-01-31 21:00:00	1	31	21	85,4
2025-01-31 22:00:00	1	31	22	0,5
2025-01-31 23:00:00	1	31	23	1,0
2025-02-01 00:00:00	2	1	0	0,7
2025-02-01 01:00:00	2	1	1	0,9
2025-02-01 02:00:00	2	1	2	0,9

Station 1 (km381) - T200 NO2

2025-02-01 03:00:00	2	1	3	2,0
2025-02-01 04:00:00	2	1	4	0,5
2025-02-01 05:00:00	2	1	5	0,6
2025-02-01 06:00:00	2	1	6	0,6
2025-02-01 07:00:00	2	1	7	1,2
2025-02-01 08:00:00	2	1	8	123,4
2025-02-01 09:00:00	2	1	9	8,7
2025-02-01 10:00:00	2	1	10	4,2
2025-02-01 11:00:00	2	1	11	8,6
2025-02-01 12:00:00	2	1	12	11,1
2025-02-01 13:00:00	2	1	13	10,6
2025-02-01 14:00:00	2	1	14	1,9
2025-02-01 15:00:00	2	1	15	3,9
2025-02-01 16:00:00	2	1	16	0,8
2025-02-01 17:00:00	2	1	17	0,4
2025-02-01 18:00:00	2	1	18	0,3
2025-02-01 19:00:00	2	1	19	0,9
2025-02-01 20:00:00	2	1	20	123,6
2025-02-01 21:00:00	2	1	21	3,1
2025-02-01 22:00:00	2	1	22	2,2
2025-02-01 23:00:00	2	1	23	1,9
2025-02-02 00:00:00	2	2	0	2,3
2025-02-02 01:00:00	2	2	1	6,2
2025-02-02 02:00:00	2	2	2	10,5
2025-02-02 03:00:00	2	2	3	12,7
2025-02-02 04:00:00	2	2	4	13,8
2025-02-02 05:00:00	2	2	5	8,4
2025-02-02 06:00:00	2	2	6	10,6
2025-02-02 07:00:00	2	2	7	3,3
2025-02-02 08:00:00	2	2	8	143,6
2025-02-02 09:00:00	2	2	9	2,0
2025-02-02 10:00:00	2	2	10	0,7
2025-02-02 11:00:00	2	2	11	0,7
2025-02-02 12:00:00	2	2	12	0,6
2025-02-02 13:00:00	2	2	13	0,7
2025-02-02 14:00:00	2	2	14	0,7
2025-02-02 15:00:00	2	2	15	0,6
2025-02-02 16:00:00	2	2	16	0,7
2025-02-02 17:00:00	2	2	17	0,7
2025-02-02 18:00:00	2	2	18	0,7
2025-02-02 19:00:00	2	2	19	0,8
2025-02-02 20:00:00	2	2	20	142,7
2025-02-02 21:00:00	2	2	21	1,1
2025-02-02 22:00:00	2	2	22	1,2
2025-02-02 23:00:00	2	2	23	1,2
2025-02-03 00:00:00	2	3	0	1,1
2025-02-03 01:00:00	2	3	1	1,3

Station 1 (km381) - T200 NO2

2025-02-03 02:00:00	2	3	2	1,4
2025-02-03 03:00:00	2	3	3	1,4
2025-02-03 04:00:00	2	3	4	1,5
2025-02-03 05:00:00	2	3	5	1,4
2025-02-03 06:00:00	2	3	6	1,4
2025-02-03 07:00:00	2	3	7	1,6
2025-02-03 08:00:00	2	3	8	155,0
2025-02-03 09:00:00	2	3	9	1,5
2025-02-03 10:00:00	2	3	10	1,4
2025-02-03 11:00:00	2	3	11	1,5
2025-02-03 12:00:00	2	3	12	4,9
2025-02-03 13:00:00	2	3	13	1,4
2025-02-03 14:00:00	2	3	14	1,0
2025-02-03 15:00:00	2	3	15	0,9
2025-02-03 16:00:00	2	3	16	1,1
2025-02-03 17:00:00	2	3	17	0,9
2025-02-03 18:00:00	2	3	18	0,4
2025-02-03 19:00:00	2	3	19	41,0
2025-02-03 20:00:00	2	3	20	80,7
2025-02-03 21:00:00	2	3	21	0,5
2025-02-03 22:00:00	2	3	22	0,3
2025-02-03 23:00:00	2	3	23	0,3
2025-02-04 00:00:00	2	4	0	0,4
2025-02-04 01:00:00	2	4	1	0,3
2025-02-04 02:00:00	2	4	2	0,2
2025-02-04 03:00:00	2	4	3	0,1
2025-02-04 04:00:00	2	4	4	0,2
2025-02-04 05:00:00	2	4	5	0,1
2025-02-04 06:00:00	2	4	6	0,1
2025-02-04 07:00:00	2	4	7	106,9
2025-02-04 08:00:00	2	4	8	7,2
2025-02-04 09:00:00	2	4	9	0,2
2025-02-04 10:00:00	2	4	10	0,1
2025-02-04 11:00:00	2	4	11	0,0
2025-02-04 12:00:00	2	4	12	0,2
2025-02-04 13:00:00	2	4	13	0,1
2025-02-04 14:00:00	2	4	14	0,0
2025-02-04 15:00:00	2	4	15	0,0
2025-02-04 16:00:00	2	4	16	0,1
2025-02-04 17:00:00	2	4	17	0,4
2025-02-04 18:00:00	2	4	18	8,0
2025-02-04 19:00:00	2	4	19	121,1
2025-02-04 20:00:00	2	4	20	6,5
2025-02-04 21:00:00	2	4	21	3,7
2025-02-04 22:00:00	2	4	22	4,0
2025-02-04 23:00:00	2	4	23	6,2
2025-02-05 00:00:00	2	5	0	5,8

Station 1 (km381) - T200 NO2

2025-02-05 01:00:00	2	5	1	8,7
2025-02-05 02:00:00	2	5	2	6,7
2025-02-05 03:00:00	2	5	3	4,9
2025-02-05 04:00:00	2	5	4	7,5
2025-02-05 05:00:00	2	5	5	1,9
2025-02-05 06:00:00	2	5	6	29,6
2025-02-05 07:00:00	2	5	7	130,1
2025-02-05 08:00:00	2	5	8	20,9
2025-02-05 09:00:00	2	5	9	15,7
2025-02-05 10:00:00	2	5	10	9,0
2025-02-05 11:00:00	2	5	11	0,1
2025-02-05 12:00:00	2	5	12	30,7
2025-02-05 13:00:00	2	5	13	2,6
2025-02-05 14:00:00	2	5	14	0,6
2025-02-05 15:00:00	2	5	15	4,7
2025-02-05 16:00:00	2	5	16	1,8
2025-02-05 17:00:00	2	5	17	4,1
2025-02-05 18:00:00	2	5	18	2,2
2025-02-05 19:00:00	2	5	19	116,6
2025-02-05 20:00:00	2	5	20	5,9
2025-02-05 21:00:00	2	5	21	11,5
2025-02-05 22:00:00	2	5	22	10,5
2025-02-05 23:00:00	2	5	23	5,4
2025-02-06 00:00:00	2	6	0	10,3
2025-02-06 01:00:00	2	6	1	8,1
2025-02-06 02:00:00	2	6	2	6,5
2025-02-06 03:00:00	2	6	3	0,2
2025-02-06 04:00:00	2	6	4	0,0
2025-02-06 05:00:00	2	6	5	0,0
2025-02-06 06:00:00	2	6	6	0,0
2025-02-06 07:00:00	2	6	7	114,6
2025-02-06 08:00:00	2	6	8	5,8
2025-02-06 09:00:00	2	6	9	5,6
2025-02-06 10:00:00	2	6	10	10,4
2025-02-06 11:00:00	2	6	11	9,1
2025-02-06 12:00:00	2	6	12	3,7
2025-02-06 13:00:00	2	6	13	1,1
2025-02-06 14:00:00	2	6	14	5,2
2025-02-06 15:00:00	2	6	15	0,9
2025-02-06 16:00:00	2	6	16	0,6
2025-02-06 17:00:00	2	6	17	0,7
2025-02-06 18:00:00	2	6	18	44,2
2025-02-06 19:00:00	2	6	19	89,9
2025-02-06 20:00:00	2	6	20	0,8
2025-02-06 21:00:00	2	6	21	0,7
2025-02-06 22:00:00	2	6	22	0,6
2025-02-06 23:00:00	2	6	23	0,5

Station 1 (km381) - T200 NO2

2025-02-07 00:00:00	2	7	0	0,4
2025-02-07 01:00:00	2	7	1	0,3
2025-02-07 02:00:00	2	7	2	0,4
2025-02-07 03:00:00	2	7	3	0,9
2025-02-07 04:00:00	2	7	4	1,1
2025-02-07 05:00:00	2	7	5	6,4
2025-02-07 06:00:00	2	7	6	119,1
2025-02-07 07:00:00	2	7	7	9,2
2025-02-07 08:00:00	2	7	8	0,1
2025-02-07 09:00:00	2	7	9	0,0
2025-02-07 10:00:00	2	7	10	0,0
2025-02-07 11:00:00	2	7	11	0,2
2025-02-07 12:00:00	2	7	12	0,3
2025-02-07 13:00:00	2	7	13	0,8
2025-02-07 14:00:00	2	7	14	0,6
2025-02-07 15:00:00	2	7	15	0,5
2025-02-07 16:00:00	2	7	16	0,5
2025-02-07 17:00:00	2	7	17	0,2
2025-02-07 18:00:00	2	7	18	119,0
2025-02-07 19:00:00	2	7	19	0,4
2025-02-07 20:00:00	2	7	20	0,7
2025-02-07 21:00:00	2	7	21	0,3
2025-02-07 22:00:00	2	7	22	0,7
2025-02-07 23:00:00	2	7	23	0,8
2025-02-08 00:00:00	2	8	0	0,4
2025-02-08 01:00:00	2	8	1	0,2
2025-02-08 02:00:00	2	8	2	0,2
2025-02-08 03:00:00	2	8	3	0,4
2025-02-08 04:00:00	2	8	4	0,8
2025-02-08 05:00:00	2	8	5	0,7
2025-02-08 06:00:00	2	8	6	61,7
2025-02-08 07:00:00	2	8	7	13,5
2025-02-08 08:00:00	2	8	8	12,0
2025-02-08 09:00:00	2	8	9	12,6
2025-02-08 10:00:00	2	8	10	10,9
2025-02-08 11:00:00	2	8	11	9,5
2025-02-08 12:00:00	2	8	12	2,3
2025-02-08 13:00:00	2	8	13	6,3
2025-02-08 14:00:00	2	8	14	5,3
2025-02-08 15:00:00	2	8	15	18,8
2025-02-08 16:00:00	2	8	16	12,3
2025-02-08 17:00:00	2	8	17	1,1
2025-02-08 18:00:00	2	8	18	121,4
2025-02-08 19:00:00	2	8	19	1,3
2025-02-08 20:00:00	2	8	20	0,9
2025-02-08 21:00:00	2	8	21	0,4
2025-02-08 22:00:00	2	8	22	0,9

Station 1 (km381) - T200 NO2

2025-02-08 23:00:00	2	8	23	2,6
2025-02-09 00:00:00	2	9	0	1,0
2025-02-09 01:00:00	2	9	1	2,4
2025-02-09 02:00:00	2	9	2	0,2
2025-02-09 03:00:00	2	9	3	0,0
2025-02-09 04:00:00	2	9	4	0,0
2025-02-09 05:00:00	2	9	5	0,0
2025-02-09 06:00:00	2	9	6	113,1
2025-02-09 07:00:00	2	9	7	0,0
2025-02-09 08:00:00	2	9	8	0,0
2025-02-09 09:00:00	2	9	9	0,0
2025-02-09 10:00:00	2	9	10	0,0
2025-02-09 11:00:00	2	9	11	0,0
2025-02-09 12:00:00	2	9	12	1,1
2025-02-09 13:00:00	2	9	13	0,9
2025-02-09 14:00:00	2	9	14	0,7
2025-02-09 15:00:00	2	9	15	0,2
2025-02-09 16:00:00	2	9	16	0,2
2025-02-09 17:00:00	2	9	17	37,9
2025-02-09 18:00:00	2	9	18	76,3
2025-02-09 19:00:00	2	9	19	0,0
2025-02-09 20:00:00	2	9	20	0,0
2025-02-09 21:00:00	2	9	21	0,0
2025-02-09 22:00:00	2	9	22	0,0
2025-02-09 23:00:00	2	9	23	0,0
2025-02-10 00:00:00	2	10	0	0,0
2025-02-10 01:00:00	2	10	1	0,0
2025-02-10 02:00:00	2	10	2	0,0
2025-02-10 03:00:00	2	10	3	0,0
2025-02-10 04:00:00	2	10	4	0,2
2025-02-10 05:00:00	2	10	5	111,6
2025-02-10 06:00:00	2	10	6	15,4
2025-02-10 07:00:00	2	10	7	7,0
2025-02-10 08:00:00	2	10	8	7,7
2025-02-10 09:00:00	2	10	9	60,3
2025-02-10 10:00:00	2	10	10	38,5
2025-02-10 11:00:00	2	10	11	5,0
2025-02-10 12:00:00	2	10	12	0,4
2025-02-10 13:00:00	2	10	13	7,3
2025-02-10 14:00:00	2	10	14	10,0
2025-02-10 15:00:00	2	10	15	12,2
2025-02-10 16:00:00	2	10	16	26,7
2025-02-10 17:00:00	2	10	17	131,9
2025-02-10 18:00:00	2	10	18	4,7
2025-02-10 19:00:00	2	10	19	0,6
2025-02-10 20:00:00	2	10	20	2,9
2025-02-10 21:00:00	2	10	21	1,0

Station 1 (km381) - T200 NO2

2025-02-10 22:00:00	2	10	22	0,8
2025-02-10 23:00:00	2	10	23	1,1
2025-02-11 00:00:00	2	11	0	0,7
2025-02-11 01:00:00	2	11	1	2,0
2025-02-11 02:00:00	2	11	2	0,2
2025-02-11 03:00:00	2	11	3	0,8
2025-02-11 04:00:00	2	11	4	0,2
2025-02-11 05:00:00	2	11	5	113,8
2025-02-11 06:00:00	2	11	6	5,1
2025-02-11 07:00:00	2	11	7	0,8
2025-02-11 08:00:00	2	11	8	0,5
2025-02-11 09:00:00	2	11	9	8,0
2025-02-11 10:00:00	2	11	10	9,7
2025-02-11 11:00:00	2	11	11	1,3
2025-02-11 12:00:00	2	11	12	12,5
2025-02-11 13:00:00	2	11	13	7,8
2025-02-11 14:00:00	2	11	14	1,3
2025-02-11 15:00:00	2	11	15	0,4
2025-02-11 16:00:00	2	11	16	0,2
2025-02-11 17:00:00	2	11	17	106,9
2025-02-11 18:00:00	2	11	18	4,0
2025-02-11 19:00:00	2	11	19	4,5
2025-02-11 20:00:00	2	11	20	0,6
2025-02-11 21:00:00	2	11	21	0,5
2025-02-11 22:00:00	2	11	22	0,2
2025-02-11 23:00:00	2	11	23	0,4
2025-02-12 00:00:00	2	12	0	2,0
2025-02-12 01:00:00	2	12	1	14,1
2025-02-12 02:00:00	2	12	2	7,4
2025-02-12 03:00:00	2	12	3	0,0
2025-02-12 04:00:00	2	12	4	0,0
2025-02-12 05:00:00	2	12	5	111,9
2025-02-12 06:00:00	2	12	6	0,1
2025-02-12 07:00:00	2	12	7	0,6
2025-02-12 08:00:00	2	12	8	0,1
2025-02-12 09:00:00	2	12	9	0,0
2025-02-12 10:00:00	2	12	10	0,0
2025-02-12 11:00:00	2	12	11	0,0
2025-02-12 12:00:00	2	12	12	0,0
2025-02-12 13:00:00	2	12	13	0,0
2025-02-12 14:00:00	2	12	14	0,1
2025-02-12 15:00:00	2	12	15	0,0
2025-02-12 16:00:00	2	12	16	38,7
2025-02-12 17:00:00	2	12	17	76,7
2025-02-12 18:00:00	2	12	18	0,0
2025-02-12 19:00:00	2	12	19	0,0
2025-02-12 20:00:00	2	12	20	0,0

Station 1 (km381) - T200 NO2

2025-02-12 21:00:00	2	12	21	0,0
2025-02-12 22:00:00	2	12	22	0,0
2025-02-12 23:00:00	2	12	23	0,0
2025-02-13 00:00:00	2	13	0	0,0
2025-02-13 01:00:00	2	13	1	0,0
2025-02-13 02:00:00	2	13	2	0,0
2025-02-13 03:00:00	2	13	3	0,0
2025-02-13 04:00:00	2	13	4	107,6
2025-02-13 05:00:00	2	13	5	10,6
2025-02-13 06:00:00	2	13	6	0,1
2025-02-13 07:00:00	2	13	7	0,2
2025-02-13 08:00:00	2	13	8	0,3
2025-02-13 09:00:00	2	13	9	0,4
2025-02-13 10:00:00	2	13	10	0,5
2025-02-13 11:00:00	2	13	11	0,7
2025-02-13 12:00:00	2	13	12	0,6
2025-02-13 13:00:00	2	13	13	0,7
2025-02-13 14:00:00	2	13	14	0,7
2025-02-13 15:00:00	2	13	15	0,9
2025-02-13 16:00:00	2	13	16	127,1
2025-02-13 17:00:00	2	13	17	0,3
2025-02-13 18:00:00	2	13	18	0,3
2025-02-13 19:00:00	2	13	19	0,2
2025-02-13 20:00:00	2	13	20	0,9
2025-02-13 21:00:00	2	13	21	0,9
2025-02-13 22:00:00	2	13	22	0,5
2025-02-13 23:00:00	2	13	23	0,3
2025-02-14 00:00:00	2	14	0	0,1
2025-02-14 01:00:00	2	14	1	0,1
2025-02-14 02:00:00	2	14	2	0,0
2025-02-14 03:00:00	2	14	3	0,0
2025-02-14 04:00:00	2	14	4	113,5
2025-02-14 05:00:00	2	14	5	0,6
2025-02-14 06:00:00	2	14	6	1,3
2025-02-14 07:00:00	2	14	7	0,0
2025-02-14 08:00:00	2	14	8	0,1
2025-02-14 09:00:00	2	14	9	0,2
2025-02-14 10:00:00	2	14	10	0,7
2025-02-14 11:00:00	2	14	11	0,4
2025-02-14 12:00:00	2	14	12	0,2
2025-02-14 13:00:00	2	14	13	0,1
2025-02-14 14:00:00	2	14	14	0,2
2025-02-14 15:00:00	2	14	15	0,1
2025-02-14 16:00:00	2	14	16	112,0
2025-02-14 17:00:00	2	14	17	27,8
2025-02-14 18:00:00	2	14	18	28,8
2025-02-14 19:00:00	2	14	19	16,2

Station 1 (km381) - T200 NO2

2025-02-14 20:00:00	2	14	20	6,4
2025-02-14 21:00:00	2	14	21	12,1
2025-02-14 22:00:00	2	14	22	0,5
2025-02-14 23:00:00	2	14	23	1,2
2025-02-15 00:00:00	2	15	0	0,5
2025-02-15 01:00:00	2	15	1	8,3
2025-02-15 02:00:00	2	15	2	17,5
2025-02-15 03:00:00	2	15	3	2,3
2025-02-15 04:00:00	2	15	4	109,9
2025-02-15 05:00:00	2	15	5	0,0
2025-02-15 06:00:00	2	15	6	0,2
2025-02-15 07:00:00	2	15	7	7,4
2025-02-15 08:00:00	2	15	8	13,8
2025-02-15 09:00:00	2	15	9	11,0
2025-02-15 10:00:00	2	15	10	0,9
2025-02-15 11:00:00	2	15	11	0,0
2025-02-15 12:00:00	2	15	12	0,5
2025-02-15 13:00:00	2	15	13	0,3
2025-02-15 14:00:00	2	15	14	0,3
2025-02-15 15:00:00	2	15	15	43,2
2025-02-15 16:00:00	2	15	16	79,1
2025-02-15 17:00:00	2	15	17	2,5
2025-02-15 18:00:00	2	15	18	2,1
2025-02-15 19:00:00	2	15	19	0,7
2025-02-15 20:00:00	2	15	20	0,1
2025-02-15 21:00:00	2	15	21	0,1
2025-02-15 22:00:00	2	15	22	0,3
2025-02-15 23:00:00	2	15	23	8,5
2025-02-16 00:00:00	2	16	0	0,7
2025-02-16 01:00:00	2	16	1	10,4
2025-02-16 02:00:00	2	16	2	5,2
2025-02-16 03:00:00	2	16	3	116,7
2025-02-16 04:00:00	2	16	4	10,3
2025-02-16 05:00:00	2	16	5	0,3
2025-02-16 06:00:00	2	16	6	0,2
2025-02-16 07:00:00	2	16	7	0,0
2025-02-16 08:00:00	2	16	8	1,8
2025-02-16 09:00:00	2	16	9	1,5
2025-02-16 10:00:00	2	16	10	0,2
2025-02-16 11:00:00	2	16	11	0,2
2025-02-16 12:00:00	2	16	12	0,3
2025-02-16 13:00:00	2	16	13	0,4
2025-02-16 14:00:00	2	16	14	0,5
2025-02-16 15:00:00	2	16	15	129,1
2025-02-16 16:00:00	2	16	16	0,5
2025-02-16 17:00:00	2	16	17	0,5
2025-02-16 18:00:00	2	16	18	0,4

Station 1 (km381) - T200 NO2

2025-02-16 19:00:00	2	16	19	0,3
2025-02-16 20:00:00	2	16	20	0,3
2025-02-16 21:00:00	2	16	21	0,3
2025-02-16 22:00:00	2	16	22	0,2
2025-02-16 23:00:00	2	16	23	0,4
2025-02-17 00:00:00	2	17	0	0,2
2025-02-17 01:00:00	2	17	1	0,2
2025-02-17 02:00:00	2	17	2	0,4
2025-02-17 03:00:00	2	17	3	131,5
2025-02-17 04:00:00	2	17	4	0,4
2025-02-17 05:00:00	2	17	5	0,6
2025-02-17 06:00:00	2	17	6	0,3
2025-02-17 07:00:00	2	17	7	0,5
2025-02-17 08:00:00	2	17	8	0,7
2025-02-17 09:00:00	2	17	9	0,4
2025-02-17 10:00:00	2	17	10	0,3
2025-02-17 11:00:00	2	17	11	0,0
2025-02-17 12:00:00	2	17	12	0,3
2025-02-17 13:00:00	2	17	13	0,6
2025-02-17 14:00:00	2	17	14	0,3
2025-02-17 15:00:00	2	17	15	123,1
2025-02-17 16:00:00	2	17	16	0,5
2025-02-17 17:00:00	2	17	17	0,7
2025-02-17 18:00:00	2	17	18	0,8
2025-02-17 19:00:00	2	17	19	0,7
2025-02-17 20:00:00	2	17	20	0,6
2025-02-17 21:00:00	2	17	21	0,6
2025-02-17 22:00:00	2	17	22	0,7
2025-02-17 23:00:00	2	17	23	0,6
2025-02-18 00:00:00	2	18	0	0,6
2025-02-18 01:00:00	2	18	1	0,8
2025-02-18 02:00:00	2	18	2	0,6
2025-02-18 03:00:00	2	18	3	27,9
2025-02-18 04:00:00	2	18	4	0,6
2025-02-18 05:00:00	2	18	5	0,6
2025-02-18 06:00:00	2	18	6	0,7
2025-02-18 07:00:00	2	18	7	0,7
2025-02-18 08:00:00	2	18	8	0,8
2025-02-18 09:00:00	2	18	9	0,8
2025-02-18 10:00:00	2	18	10	0,8
2025-02-18 11:00:00	2	18	11	0,8
2025-02-18 12:00:00	2	18	12	0,9
2025-02-18 13:00:00	2	18	13	1,1
2025-02-18 14:00:00	2	18	14	50,2
2025-02-18 15:00:00	2	18	15	89,1
2025-02-18 16:00:00	2	18	16	1,1
2025-02-18 17:00:00	2	18	17	1,2

Station 1 (km381) - T200 NO2

2025-02-18 18:00:00	2	18	18	1,1
2025-02-18 19:00:00	2	18	19	1,0
2025-02-18 20:00:00	2	18	20	0,9
2025-02-18 21:00:00	2	18	21	2,7
2025-02-18 22:00:00	2	18	22	3,8
2025-02-18 23:00:00	2	18	23	0,9
2025-02-19 00:00:00	2	19	0	0,8
2025-02-19 01:00:00	2	19	1	0,8
2025-02-19 02:00:00	2	19	2	124,9
2025-02-19 03:00:00	2	19	3	9,1
2025-02-19 04:00:00	2	19	4	0,8
2025-02-19 05:00:00	2	19	5	0,9
2025-02-19 06:00:00	2	19	6	0,8
2025-02-19 07:00:00	2	19	7	0,7
2025-02-19 08:00:00	2	19	8	0,8
2025-02-19 09:00:00	2	19	9	0,7
2025-02-19 10:00:00	2	19	10	0,7
2025-02-19 11:00:00	2	19	11	0,7
2025-02-19 12:00:00	2	19	12	0,9
2025-02-19 13:00:00	2	19	13	1,0
2025-02-19 14:00:00	2	19	14	129,8
2025-02-19 15:00:00	2	19	15	0,7
2025-02-19 16:00:00	2	19	16	0,7
2025-02-19 17:00:00	2	19	17	0,7
2025-02-19 18:00:00	2	19	18	1,3
2025-02-19 19:00:00	2	19	19	0,9
2025-02-19 20:00:00	2	19	20	0,9
2025-02-19 21:00:00	2	19	21	0,7
2025-02-19 22:00:00	2	19	22	0,6
2025-02-19 23:00:00	2	19	23	0,8
2025-02-20 00:00:00	2	20	0	0,8
2025-02-20 01:00:00	2	20	1	0,8
2025-02-20 02:00:00	2	20	2	128,2
2025-02-20 03:00:00	2	20	3	0,4
2025-02-20 04:00:00	2	20	4	0,5
2025-02-20 05:00:00	2	20	5	0,7
2025-02-20 06:00:00	2	20	6	0,6
2025-02-20 07:00:00	2	20	7	0,1
2025-02-20 08:00:00	2	20	8	0,1
2025-02-20 09:00:00	2	20	9	0,0
2025-02-20 10:00:00	2	20	10	0,3
2025-02-20 11:00:00	2	20	11	0,8
2025-02-20 12:00:00	2	20	12	0,8
2025-02-20 13:00:00	2	20	13	1,2
2025-02-20 14:00:00	2	20	14	117,9
2025-02-20 15:00:00	2	20	15	0,9
2025-02-20 16:00:00	2	20	16	0,7

Station 1 (km381) - T200 NO2

2025-02-20 17:00:00	2	20	17	1,0
2025-02-20 18:00:00	2	20	18	0,9
2025-02-20 19:00:00	2	20	19	0,7
2025-02-20 20:00:00	2	20	20	0,7
2025-02-20 21:00:00	2	20	21	0,8
2025-02-20 22:00:00	2	20	22	0,8
2025-02-20 23:00:00	2	20	23	0,6
2025-02-21 00:00:00	2	21	0	0,7
2025-02-21 01:00:00	2	21	1	0,7
2025-02-21 02:00:00	2	21	2	131,1
2025-02-21 03:00:00	2	21	3	0,7
2025-02-21 04:00:00	2	21	4	0,8
2025-02-21 05:00:00	2	21	5	1,0
2025-02-21 06:00:00	2	21	6	1,8
2025-02-21 07:00:00	2	21	7	0,8
2025-02-21 08:00:00	2	21	8	1,4
2025-02-21 09:00:00	2	21	9	1,0
2025-02-21 10:00:00	2	21	10	1,7
2025-02-21 11:00:00	2	21	11	0,9
2025-02-21 12:00:00	2	21	12	0,9
2025-02-21 13:00:00	2	21	13	50,2
2025-02-21 14:00:00	2	21	14	88,3
2025-02-21 15:00:00	2	21	15	1,5
2025-02-21 16:00:00	2	21	16	1,6
2025-02-21 17:00:00	2	21	17	2,5
2025-02-21 18:00:00	2	21	18	1,7
2025-02-21 19:00:00	2	21	19	4,6
2025-02-21 20:00:00	2	21	20	6,2
2025-02-21 21:00:00	2	21	21	2,0
2025-02-21 22:00:00	2	21	22	0,7
2025-02-21 23:00:00	2	21	23	0,6
2025-02-22 00:00:00	2	22	0	0,6
2025-02-22 01:00:00	2	22	1	127,1
2025-02-22 02:00:00	2	22	2	8,7
2025-02-22 03:00:00	2	22	3	0,9
2025-02-22 04:00:00	2	22	4	0,9
2025-02-22 05:00:00	2	22	5	0,8
2025-02-22 06:00:00	2	22	6	0,8
2025-02-22 07:00:00	2	22	7	0,8
2025-02-22 08:00:00	2	22	8	0,7
2025-02-22 09:00:00	2	22	9	1,1
2025-02-22 10:00:00	2	22	10	0,9
2025-02-22 11:00:00	2	22	11	0,8
2025-02-22 12:00:00	2	22	12	3,2
2025-02-22 13:00:00	2	22	13	130,8
2025-02-22 14:00:00	2	22	14	18,7
2025-02-22 15:00:00	2	22	15	2,5

Station 1 (km381) - T200 NO2

2025-02-22 16:00:00	2	22	16	0,6
2025-02-22 17:00:00	2	22	17	1,0
2025-02-22 18:00:00	2	22	18	0,8
2025-02-22 19:00:00	2	22	19	1,1
2025-02-22 20:00:00	2	22	20	1,2
2025-02-22 21:00:00	2	22	21	1,1
2025-02-22 22:00:00	2	22	22	1,2
2025-02-22 23:00:00	2	22	23	1,0
2025-02-23 00:00:00	2	23	0	1,0
2025-02-23 01:00:00	2	23	1	172,8
2025-02-23 02:00:00	2	23	2	0,8
2025-02-23 03:00:00	2	23	3	0,7
2025-02-23 04:00:00	2	23	4	0,7
2025-02-23 05:00:00	2	23	5	0,7
2025-02-23 06:00:00	2	23	6	0,6
2025-02-23 07:00:00	2	23	7	0,6
2025-02-23 08:00:00	2	23	8	0,6
2025-02-23 09:00:00	2	23	9	0,6
2025-02-23 10:00:00	2	23	10	0,6
2025-02-23 11:00:00	2	23	11	0,7
2025-02-23 12:00:00	2	23	12	0,4
2025-02-23 13:00:00	2	23	13	130,1
2025-02-23 14:00:00	2	23	14	4,6
2025-02-23 15:00:00	2	23	15	1,9
2025-02-23 16:00:00	2	23	16	2,3
2025-02-23 17:00:00	2	23	17	0,7
2025-02-23 18:00:00	2	23	18	0,6
2025-02-23 19:00:00	2	23	19	0,4
2025-02-23 20:00:00	2	23	20	0,3
2025-02-23 21:00:00	2	23	21	0,5
2025-02-23 22:00:00	2	23	22	0,4
2025-02-23 23:00:00	2	23	23	0,4
2025-02-24 00:00:00	2	24	0	0,5
2025-02-24 01:00:00	2	24	1	133,4
2025-02-24 02:00:00	2	24	2	0,9
2025-02-24 03:00:00	2	24	3	0,9
2025-02-24 04:00:00	2	24	4	0,9
2025-02-24 05:00:00	2	24	5	0,9
2025-02-24 06:00:00	2	24	6	1,1
2025-02-24 07:00:00	2	24	7	1,1
2025-02-24 08:00:00	2	24	8	1,1
2025-02-24 09:00:00	2	24	9	1,2
2025-02-24 10:00:00	2	24	10	1,2
2025-02-24 11:00:00	2	24	11	1,1
2025-02-24 12:00:00	2	24	12	49,4
2025-02-24 13:00:00	2	24	13	91,1
2025-02-24 14:00:00	2	24	14	0,9

Station 1 (km381) - T200 NO2

2025-02-24 15:00:00	2	24	15	0,9
2025-02-24 16:00:00	2	24	16	1,1
2025-02-24 17:00:00	2	24	17	1,3
2025-02-24 18:00:00	2	24	18	1,7
2025-02-24 19:00:00	2	24	19	2,4
2025-02-24 20:00:00	2	24	20	2,1
2025-02-24 21:00:00	2	24	21	1,8
2025-02-24 22:00:00	2	24	22	1,7
2025-02-24 23:00:00	2	24	23	1,5
2025-02-25 00:00:00	2	25	0	132,0
2025-02-25 01:00:00	2	25	1	9,5
2025-02-25 02:00:00	2	25	2	1,0
2025-02-25 03:00:00	2	25	3	0,9
2025-02-25 04:00:00	2	25	4	0,7
2025-02-25 05:00:00	2	25	5	0,8
2025-02-25 06:00:00	2	25	6	0,7
2025-02-25 07:00:00	2	25	7	0,4
2025-02-25 08:00:00	2	25	8	0,6
2025-02-25 09:00:00	2	25	9	0,7
2025-02-25 10:00:00	2	25	10	0,7
2025-02-25 11:00:00	2	25	11	0,6
2025-02-25 12:00:00	2	25	12	154,8
2025-02-25 13:00:00	2	25	13	1,2
2025-02-25 14:00:00	2	25	14	7,7
2025-02-25 15:00:00	2	25	15	6,2
2025-02-25 16:00:00	2	25	16	19,4
2025-02-25 17:00:00	2	25	17	2,1
2025-02-25 18:00:00	2	25	18	3,8
2025-02-25 19:00:00	2	25	19	3,2
2025-02-25 20:00:00	2	25	20	1,0
2025-02-25 21:00:00	2	25	21	2,5
2025-02-25 22:00:00	2	25	22	3,0
2025-02-25 23:00:00	2	25	23	6,7
2025-02-26 00:00:00	2	26	0	133,8
2025-02-26 01:00:00	2	26	1	1,0
2025-02-26 02:00:00	2	26	2	0,4
2025-02-26 03:00:00	2	26	3	9,0
2025-02-26 04:00:00	2	26	4	3,7
2025-02-26 05:00:00	2	26	5	0,2
2025-02-26 06:00:00	2	26	6	0,5
2025-02-26 07:00:00	2	26	7	0,3
2025-02-26 08:00:00	2	26	8	0,3
2025-02-26 09:00:00	2	26	9	0,6
2025-02-26 10:00:00	2	26	10	0,6
2025-02-26 11:00:00	2	26	11	2,2
2025-02-26 12:00:00	2	26	12	128,5
2025-02-26 13:00:00	2	26	13	1,3

Station 1 (km381) - T200 NO2

2025-02-26 14:00:00	2	26	14	1,2
2025-02-26 15:00:00	2	26	15	2,2
2025-02-26 16:00:00	2	26	16	0,9
2025-02-26 17:00:00	2	26	17	3,9
2025-02-26 18:00:00	2	26	18	3,6
2025-02-26 19:00:00	2	26	19	4,8
2025-02-26 20:00:00	2	26	20	4,4
2025-02-26 21:00:00	2	26	21	1,2
2025-02-26 22:00:00	2	26	22	0,9
2025-02-26 23:00:00	2	26	23	0,9
2025-02-27 00:00:00	2	27	0	132,1
2025-02-27 01:00:00	2	27	1	1,0
2025-02-27 02:00:00	2	27	2	1,0
2025-02-27 03:00:00	2	27	3	1,0
2025-02-27 04:00:00	2	27	4	0,6
2025-02-27 05:00:00	2	27	5	0,7
2025-02-27 06:00:00	2	27	6	1,1
2025-02-27 07:00:00	2	27	7	0,5
2025-02-27 08:00:00	2	27	8	0,4
2025-02-27 09:00:00	2	27	9	0,5
2025-02-27 10:00:00	2	27	10	0,5
2025-02-27 11:00:00	2	27	11	44,9
2025-02-27 12:00:00	2	27	12	84,6
2025-02-27 13:00:00	2	27	13	0,6
2025-02-27 14:00:00	2	27	14	0,4
2025-02-27 15:00:00	2	27	15	0,4
2025-02-27 16:00:00	2	27	16	0,5
2025-02-27 17:00:00	2	27	17	0,4
2025-02-27 18:00:00	2	27	18	0,3
2025-02-27 19:00:00	2	27	19	0,5
2025-02-27 20:00:00	2	27	20	1,0
2025-02-27 21:00:00	2	27	21	0,7
2025-02-27 22:00:00	2	27	22	0,9
2025-02-27 23:00:00	2	27	23	145,5
2025-02-28 00:00:00	2	28	0	8,8
2025-02-28 01:00:00	2	28	1	0,6
2025-02-28 02:00:00	2	28	2	1,3
2025-02-28 03:00:00	2	28	3	0,4
2025-02-28 04:00:00	2	28	4	0,3
2025-02-28 05:00:00	2	28	5	4,3
2025-02-28 06:00:00	2	28	6	1,7
2025-02-28 07:00:00	2	28	7	0,9
2025-02-28 08:00:00	2	28	8	1,0
2025-02-28 09:00:00	2	28	9	2,4
2025-02-28 10:00:00	2	28	10	4,6
2025-02-28 11:00:00	2	28	11	122,0
2025-02-28 12:00:00	2	28	12	0,9

Station 1 (km381) - T200 NO2

2025-02-28 13:00:00	2	28	13	2,2
2025-02-28 14:00:00	2	28	14	8,4
2025-02-28 15:00:00	2	28	15	22,6
2025-02-28 16:00:00	2	28	16	6,5
2025-02-28 17:00:00	2	28	17	2,3
2025-02-28 18:00:00	2	28	18	1,6
2025-02-28 19:00:00	2	28	19	1,1
2025-02-28 20:00:00	2	28	20	0,7
2025-02-28 21:00:00	2	28	21	1,8
2025-02-28 22:00:00	2	28	22	2,2
2025-02-28 23:00:00	2	28	23	98,4
2025-03-01 00:00:00	3	1	0	2,3
2025-03-01 01:00:00	3	1	1	6,3
2025-03-01 02:00:00	3	1	2	0,0
2025-03-01 03:00:00	3	1	3	7,4
2025-03-01 04:00:00	3	1	4	3,5
2025-03-01 05:00:00	3	1	5	0,0
2025-03-01 06:00:00	3	1	6	1,0
2025-03-01 07:00:00	3	1	7	16,7
2025-03-01 08:00:00	3	1	8	0,3
2025-03-01 09:00:00	3	1	9	2,6
2025-03-01 10:00:00	3	1	10	0,0
2025-03-01 11:00:00	3	1	11	72,4
2025-03-01 12:00:00	3	1	12	0,0
2025-03-01 13:00:00	3	1	13	0,0
2025-03-01 14:00:00	3	1	14	0,0
2025-03-01 15:00:00	3	1	15	0,0
2025-03-01 16:00:00	3	1	16	0,0
2025-03-01 17:00:00	3	1	17	0,1
2025-03-01 18:00:00	3	1	18	0,1
2025-03-01 19:00:00	3	1	19	0,1
2025-03-01 20:00:00	3	1	20	0,0
2025-03-01 21:00:00	3	1	21	0,0
2025-03-01 22:00:00	3	1	22	0,0
2025-03-01 23:00:00	3	1	23	99,2
2025-03-02 00:00:00	3	2	0	0,0
2025-03-02 01:00:00	3	2	1	0,0
2025-03-02 02:00:00	3	2	2	0,0
2025-03-02 03:00:00	3	2	3	0,0
2025-03-02 04:00:00	3	2	4	0,0
2025-03-02 05:00:00	3	2	5	3,3
2025-03-02 06:00:00	3	2	6	2,9
2025-03-02 07:00:00	3	2	7	3,7
2025-03-02 08:00:00	3	2	8	0,9
2025-03-02 09:00:00	3	2	9	1,3
2025-03-02 10:00:00	3	2	10	35,7
2025-03-02 11:00:00	3	2	11	67,8

Station 1 (km381) - T200 NO2

2025-03-02 12:00:00	3	2	12	1,2
2025-03-02 13:00:00	3	2	13	6,7
2025-03-02 14:00:00	3	2	14	3,3
2025-03-02 15:00:00	3	2	15	1,3
2025-03-02 16:00:00	3	2	16	0,0
2025-03-02 17:00:00	3	2	17	0,5
2025-03-02 18:00:00	3	2	18	2,0
2025-03-02 19:00:00	3	2	19	1,2
2025-03-02 20:00:00	3	2	20	0,3
2025-03-02 21:00:00	3	2	21	0,0
2025-03-02 22:00:00	3	2	22	96,9
2025-03-02 23:00:00	3	2	23	6,9
2025-03-03 00:00:00	3	3	0	0,2
2025-03-03 01:00:00	3	3	1	1,2
2025-03-03 02:00:00	3	3	2	1,8
2025-03-03 03:00:00	3	3	3	1,4
2025-03-03 04:00:00	3	3	4	2,4
2025-03-03 05:00:00	3	3	5	0,0
2025-03-03 06:00:00	3	3	6	0,0
2025-03-03 07:00:00	3	3	7	0,0
2025-03-03 08:00:00	3	3	8	3,3
2025-03-03 09:00:00	3	3	9	8,1
2025-03-03 10:00:00	3	3	10	77,3
2025-03-03 11:00:00	3	3	11	2,3
2025-03-03 12:00:00	3	3	12	5,2
2025-03-03 13:00:00	3	3	13	8,1
2025-03-03 14:00:00	3	3	14	5,4
2025-03-03 15:00:00	3	3	15	2,5
2025-03-03 16:00:00	3	3	16	0,0
2025-03-03 17:00:00	3	3	17	0,0
2025-03-03 18:00:00	3	3	18	0,3
2025-03-03 19:00:00	3	3	19	0,3
2025-03-03 20:00:00	3	3	20	0,4
2025-03-03 21:00:00	3	3	21	0,3
2025-03-03 22:00:00	3	3	22	140,0
2025-03-03 23:00:00	3	3	23	0,4
2025-03-04 00:00:00	3	4	0	0,4
2025-03-04 01:00:00	3	4	1	0,4
2025-03-04 02:00:00	3	4	2	0,3
2025-03-04 03:00:00	3	4	3	0,2
2025-03-04 04:00:00	3	4	4	0,1
2025-03-04 05:00:00	3	4	5	0,1
2025-03-04 06:00:00	3	4	6	0,2
2025-03-04 07:00:00	3	4	7	0,0
2025-03-04 08:00:00	3	4	8	0,3
2025-03-04 09:00:00	3	4	9	1,6
2025-03-04 10:00:00	3	4	10	139,7

Station 1 (km381) - T200 NO2

2025-03-04 11:00:00	3	4	11	8,2
2025-03-04 12:00:00	3	4	12	0,8
2025-03-04 13:00:00	3	4	13	0,7
2025-03-04 14:00:00	3	4	14	0,1
2025-03-04 15:00:00	3	4	15	0,6
2025-03-04 16:00:00	3	4	16	0,0
2025-03-04 17:00:00	3	4	17	0,5
2025-03-04 18:00:00	3	4	18	1,1
2025-03-04 19:00:00	3	4	19	1,3
2025-03-04 20:00:00	3	4	20	0,5
2025-03-04 21:00:00	3	4	21	0,5
2025-03-04 22:00:00	3	4	22	136,6
2025-03-04 23:00:00	3	4	23	0,8
2025-03-05 00:00:00	3	5	0	0,6
2025-03-05 01:00:00	3	5	1	0,8
2025-03-05 02:00:00	3	5	2	0,4
2025-03-05 03:00:00	3	5	3	0,4
2025-03-05 04:00:00	3	5	4	0,4
2025-03-05 05:00:00	3	5	5	0,2
2025-03-05 06:00:00	3	5	6	0,3
2025-03-05 07:00:00	3	5	7	0,2
2025-03-05 08:00:00	3	5	8	0,3
2025-03-05 09:00:00	3	5	9	48,9
2025-03-05 10:00:00	3	5	10	92,0
2025-03-05 11:00:00	3	5	11	1,0
2025-03-05 12:00:00	3	5	12	1,1
2025-03-05 13:00:00	3	5	13	1,1
2025-03-05 14:00:00	3	5	14	1,2
2025-03-05 15:00:00	3	5	15	1,2
2025-03-05 16:00:00	3	5	16	1,2
2025-03-05 17:00:00	3	5	17	1,3
2025-03-05 18:00:00	3	5	18	1,2
2025-03-05 19:00:00	3	5	19	1,2
2025-03-05 20:00:00	3	5	20	1,3
2025-03-05 21:00:00	3	5	21	146,7
2025-03-05 22:00:00	3	5	22	10,4
2025-03-05 23:00:00	3	5	23	1,2
2025-03-06 00:00:00	3	6	0	1,3
2025-03-06 01:00:00	3	6	1	1,3
2025-03-06 02:00:00	3	6	2	1,4
2025-03-06 03:00:00	3	6	3	1,4
2025-03-06 04:00:00	3	6	4	1,3
2025-03-06 05:00:00	3	6	5	1,4
2025-03-06 06:00:00	3	6	6	1,3
2025-03-06 07:00:00	3	6	7	1,3
2025-03-06 08:00:00	3	6	8	1,2
2025-03-06 09:00:00	3	6	9	155,2

Station 1 (km381) - T200 NO2

2025-03-06 10:00:00	3	6	10	1,1
2025-03-06 11:00:00	3	6	11	1,2
2025-03-06 12:00:00	3	6	12	1,0
2025-03-06 13:00:00	3	6	13	1,0
2025-03-06 14:00:00	3	6	14	1,2
2025-03-06 15:00:00	3	6	15	1,2
2025-03-06 16:00:00	3	6	16	1,3
2025-03-06 17:00:00	3	6	17	1,1
2025-03-06 18:00:00	3	6	18	1,2
2025-03-06 19:00:00	3	6	19	1,1
2025-03-06 20:00:00	3	6	20	1,1
2025-03-06 21:00:00	3	6	21	149,0
2025-03-06 22:00:00	3	6	22	1,0
2025-03-06 23:00:00	3	6	23	0,9
2025-03-07 00:00:00	3	7	0	0,8
2025-03-07 01:00:00	3	7	1	0,8
2025-03-07 02:00:00	3	7	2	0,8
2025-03-07 03:00:00	3	7	3	0,7
2025-03-07 04:00:00	3	7	4	0,7
2025-03-07 05:00:00	3	7	5	1,7
2025-03-07 06:00:00	3	7	6	1,3
2025-03-07 07:00:00	3	7	7	1,2
2025-03-07 08:00:00	3	7	8	3,3
2025-03-07 09:00:00	3	7	9	108,7
2025-03-07 10:00:00	3	7	10	8,0
2025-03-07 11:00:00	3	7	11	1,3
2025-03-07 12:00:00	3	7	12	0,8
2025-03-07 13:00:00	3	7	13	2,1
2025-03-07 14:00:00	3	7	14	2,1
2025-03-07 15:00:00	3	7	15	0,7
2025-03-07 16:00:00	3	7	16	0,7
2025-03-07 17:00:00	3	7	17	0,5
2025-03-07 18:00:00	3	7	18	0,6
2025-03-07 19:00:00	3	7	19	0,6
2025-03-07 20:00:00	3	7	20	0,6
2025-03-07 21:00:00	3	7	21	136,2
2025-03-07 22:00:00	3	7	22	0,4
2025-03-07 23:00:00	3	7	23	0,4
2025-03-08 00:00:00	3	8	0	0,3
2025-03-08 01:00:00	3	8	1	0,3
2025-03-08 02:00:00	3	8	2	0,3
2025-03-08 03:00:00	3	8	3	0,2
2025-03-08 04:00:00	3	8	4	0,3
2025-03-08 05:00:00	3	8	5	0,3
2025-03-08 06:00:00	3	8	6	0,6
2025-03-08 07:00:00	3	8	7	0,2
2025-03-08 08:00:00	3	8	8	43,3

Station 1 (km381) - T200 NO2

2025-03-08 09:00:00	3	8	9	92,9
2025-03-08 10:00:00	3	8	10	0,3
2025-03-08 11:00:00	3	8	11	0,2
2025-03-08 12:00:00	3	8	12	0,5
2025-03-08 13:00:00	3	8	13	0,5
2025-03-08 14:00:00	3	8	14	0,5
2025-03-08 15:00:00	3	8	15	0,7
2025-03-08 16:00:00	3	8	16	0,7
2025-03-08 17:00:00	3	8	17	0,5
2025-03-08 18:00:00	3	8	18	0,5
2025-03-08 19:00:00	3	8	19	0,4
2025-03-08 20:00:00	3	8	20	127,9
2025-03-08 21:00:00	3	8	21	8,6
2025-03-08 22:00:00	3	8	22	0,5
2025-03-08 23:00:00	3	8	23	0,2
2025-03-09 00:00:00	3	9	0	0,2
2025-03-09 01:00:00	3	9	1	0,5
2025-03-09 03:00:00	3	9	3	0,2
2025-03-09 04:00:00	3	9	4	0,3
2025-03-09 05:00:00	3	9	5	1,0
2025-03-09 06:00:00	3	9	6	0,8
2025-03-09 07:00:00	3	9	7	0,3
2025-03-09 08:00:00	3	9	8	8,5
2025-03-09 09:00:00	3	9	9	139,7
2025-03-09 10:00:00	3	9	10	1,3
2025-03-09 11:00:00	3	9	11	1,3
2025-03-09 12:00:00	3	9	12	0,6
2025-03-09 13:00:00	3	9	13	1,7
2025-03-09 14:00:00	3	9	14	15,8
2025-03-09 15:00:00	3	9	15	8,4
2025-03-09 16:00:00	3	9	16	1,5
2025-03-09 17:00:00	3	9	17	0,7
2025-03-09 18:00:00	3	9	18	0,9
2025-03-09 19:00:00	3	9	19	2,4
2025-03-09 20:00:00	3	9	20	2,6
2025-03-09 21:00:00	3	9	21	0,7
2025-03-09 22:00:00	3	9	22	1,7
2025-03-09 23:00:00	3	9	23	1,4
2025-03-10 00:00:00	3	10	0	0,5
2025-03-10 01:00:00	3	10	1	0,1
2025-03-10 02:00:00	3	10	2	0,1
2025-03-10 03:00:00	3	10	3	0,0
2025-03-10 04:00:00	3	10	4	0,0
2025-03-10 05:00:00	3	10	5	0,0
2025-03-10 06:00:00	3	10	6	0,0
2025-03-10 07:00:00	3	10	7	0,1
2025-03-10 08:00:00	3	10	8	0,0

Station 1 (km381) - T200 NO2

2025-03-10 09:00:00	3	10	9	118,5
2025-03-10 10:00:00	3	10	10	0,0
2025-03-10 11:00:00	3	10	11	0,2
2025-03-10 12:00:00	3	10	12	1,9
2025-03-10 13:00:00	3	10	13	3,7
2025-03-10 14:00:00	3	10	14	15,3
2025-03-10 15:00:00	3	10	15	5,4
2025-03-10 16:00:00	3	10	16	0,9
2025-03-10 17:00:00	3	10	17	0,4
2025-03-10 18:00:00	3	10	18	0,9
2025-03-10 19:00:00	3	10	19	2,5
2025-03-10 20:00:00	3	10	20	2,0
2025-03-10 21:00:00	3	10	21	137,0
2025-03-10 22:00:00	3	10	22	0,2
2025-03-10 23:00:00	3	10	23	0,1
2025-03-11 00:00:00	3	11	0	0,2
2025-03-11 01:00:00	3	11	1	0,3
2025-03-11 02:00:00	3	11	2	0,5
2025-03-11 03:00:00	3	11	3	0,6
2025-03-11 04:00:00	3	11	4	0,9
2025-03-11 05:00:00	3	11	5	0,9
2025-03-11 06:00:00	3	11	6	0,8
2025-03-11 07:00:00	3	11	7	0,7
2025-03-11 08:00:00	3	11	8	50,0
2025-03-11 09:00:00	3	11	9	93,4
2025-03-11 10:00:00	3	11	10	0,6
2025-03-11 11:00:00	3	11	11	0,6
2025-03-11 12:00:00	3	11	12	0,6
2025-03-11 13:00:00	3	11	13	0,7
2025-03-11 14:00:00	3	11	14	0,8
2025-03-11 15:00:00	3	11	15	0,5
2025-03-11 16:00:00	3	11	16	0,5
2025-03-11 17:00:00	3	11	17	0,5
2025-03-11 18:00:00	3	11	18	0,4
2025-03-11 19:00:00	3	11	19	0,6
2025-03-11 20:00:00	3	11	20	125,1
2025-03-11 21:00:00	3	11	21	9,2
2025-03-11 22:00:00	3	11	22	0,8
2025-03-11 23:00:00	3	11	23	3,0
2025-03-12 00:00:00	3	12	0	7,8
2025-03-12 01:00:00	3	12	1	3,1
2025-03-12 02:00:00	3	12	2	16,5
2025-03-12 03:00:00	3	12	3	12,3
2025-03-12 04:00:00	3	12	4	12,1
2025-03-12 05:00:00	3	12	5	18,4
2025-03-12 06:00:00	3	12	6	11,8
2025-03-12 07:00:00	3	12	7	1,7

Station 1 (km381) - T200 NO2

2025-03-12 08:00:00	3	12	8	0,2
2025-03-12 09:00:00	3	12	9	9,4
2025-03-12 10:00:00	3	12	10	3,2
2025-03-12 11:00:00	3	12	11	3,2
2025-03-12 12:00:00	3	12	12	8,7
2025-03-12 13:00:00	3	12	13	2,3
2025-03-12 14:00:00	3	12	14	1,8
2025-03-12 15:00:00	3	12	15	13,8
2025-03-12 16:00:00	3	12	16	10,2
2025-03-12 17:00:00	3	12	17	2,1
2025-03-12 18:00:00	3	12	18	2,1
2025-03-12 19:00:00	3	12	19	3,1
2025-03-12 20:00:00	3	12	20	140,6
2025-03-12 21:00:00	3	12	21	0,7
2025-03-12 22:00:00	3	12	22	0,2
2025-03-12 23:00:00	3	12	23	0,2
2025-03-13 00:00:00	3	13	0	0,5
2025-03-13 01:00:00	3	13	1	0,4
2025-03-13 02:00:00	3	13	2	0,6
2025-03-13 03:00:00	3	13	3	0,3
2025-03-13 04:00:00	3	13	4	0,3
2025-03-13 05:00:00	3	13	5	0,4
2025-03-13 06:00:00	3	13	6	0,5
2025-03-13 07:00:00	3	13	7	0,5
2025-03-13 08:00:00	3	13	8	140,1
2025-03-13 09:00:00	3	13	9	0,4
2025-03-13 10:00:00	3	13	10	0,2
2025-03-13 11:00:00	3	13	11	0,2
2025-03-13 12:00:00	3	13	12	3,1
2025-03-13 13:00:00	3	13	13	0,7
2025-03-13 14:00:00	3	13	14	0,1
2025-03-13 15:00:00	3	13	15	0,0
2025-03-13 16:00:00	3	13	16	0,0
2025-03-13 17:00:00	3	13	17	0,1
2025-03-13 18:00:00	3	13	18	0,2
2025-03-13 19:00:00	3	13	19	0,2
2025-03-13 20:00:00	3	13	20	129,2
2025-03-13 21:00:00	3	13	21	0,9
2025-03-13 22:00:00	3	13	22	1,0
2025-03-13 23:00:00	3	13	23	0,8
2025-03-14 00:00:00	3	14	0	1,1
2025-03-14 01:00:00	3	14	1	1,4
2025-03-14 02:00:00	3	14	2	3,7
2025-03-14 03:00:00	3	14	3	3,2
2025-03-14 04:00:00	3	14	4	0,6
2025-03-14 05:00:00	3	14	5	0,5
2025-03-14 06:00:00	3	14	6	0,0

Station 1 (km381) - T200 NO2

2025-03-14 07:00:00	3	14	7	42,4
2025-03-14 08:00:00	3	14	8	83,3
2025-03-14 09:00:00	3	14	9	0,0
2025-03-14 10:00:00	3	14	10	0,0
2025-03-14 11:00:00	3	14	11	0,0
2025-03-14 12:00:00	3	14	12	0,1
2025-03-14 13:00:00	3	14	13	0,5
2025-03-14 14:00:00	3	14	14	0,6
2025-03-14 15:00:00	3	14	15	0,9
2025-03-14 16:00:00	3	14	16	1,1
2025-03-14 17:00:00	3	14	17	1,2
2025-03-14 18:00:00	3	14	18	1,2
2025-03-14 19:00:00	3	14	19	80,5
2025-03-14 20:00:00	3	14	20	10,7
2025-03-14 21:00:00	3	14	21	1,4
2025-03-14 22:00:00	3	14	22	1,4
2025-03-14 23:00:00	3	14	23	1,4
2025-03-15 00:00:00	3	15	0	1,4
2025-03-15 01:00:00	3	15	1	1,4
2025-03-15 02:00:00	3	15	2	1,3
2025-03-15 03:00:00	3	15	3	1,2
2025-03-15 04:00:00	3	15	4	1,0
2025-03-15 05:00:00	3	15	5	1,0
2025-03-15 06:00:00	3	15	6	1,1
2025-03-15 07:00:00	3	15	7	145,9
2025-03-15 08:00:00	3	15	8	1,1
2025-03-15 09:00:00	3	15	9	1,4
2025-03-15 10:00:00	3	15	10	1,5
2025-03-15 11:00:00	3	15	11	1,6
2025-03-15 12:00:00	3	15	12	1,5
2025-03-15 13:00:00	3	15	13	1,6
2025-03-15 14:00:00	3	15	14	1,9
2025-03-15 15:00:00	3	15	15	2,0
2025-03-15 16:00:00	3	15	16	2,2
2025-03-15 17:00:00	3	15	17	2,8
2025-03-15 18:00:00	3	15	18	3,3
2025-03-15 19:00:00	3	15	19	203,4
2025-03-15 20:00:00	3	15	20	3,6
2025-03-15 21:00:00	3	15	21	3,5
2025-03-15 22:00:00	3	15	22	3,5
2025-03-15 23:00:00	3	15	23	3,6
2025-03-16 00:00:00	3	16	0	3,4
2025-03-16 01:00:00	3	16	1	2,5
2025-03-16 02:00:00	3	16	2	1,9
2025-03-16 03:00:00	3	16	3	1,7
2025-03-16 04:00:00	3	16	4	1,3
2025-03-16 05:00:00	3	16	5	1,0

Station 1 (km381) - T200 NO2

2025-03-16 06:00:00	3	16	6	1,1
2025-03-16 07:00:00	3	16	7	141,5
2025-03-16 08:00:00	3	16	8	4,2
2025-03-16 09:00:00	3	16	9	1,4
2025-03-16 10:00:00	3	16	10	1,2
2025-03-16 11:00:00	3	16	11	1,4
2025-03-16 12:00:00	3	16	12	1,5
2025-03-16 13:00:00	3	16	13	1,7
2025-03-16 14:00:00	3	16	14	1,6
2025-03-16 15:00:00	3	16	15	1,4
2025-03-16 16:00:00	3	16	16	1,6
2025-03-16 17:00:00	3	16	17	1,3
2025-03-16 18:00:00	3	16	18	1,1
2025-03-16 19:00:00	3	16	19	149,4
2025-03-16 20:00:00	3	16	20	0,8
2025-03-16 21:00:00	3	16	21	0,7
2025-03-16 22:00:00	3	16	22	0,7
2025-03-16 23:00:00	3	16	23	0,6
2025-03-17 00:00:00	3	17	0	0,5
2025-03-17 01:00:00	3	17	1	0,5
2025-03-17 02:00:00	3	17	2	0,5
2025-03-17 03:00:00	3	17	3	0,6
2025-03-17 04:00:00	3	17	4	0,6
2025-03-17 05:00:00	3	17	5	0,6
2025-03-17 06:00:00	3	17	6	48,7
2025-03-17 07:00:00	3	17	7	50,4
2025-03-17 08:00:00	3	17	8	6,2
2025-03-17 09:00:00	3	17	9	2,4
2025-03-17 10:00:00	3	17	10	0,9
2025-03-17 11:00:00	3	17	11	1,7
2025-03-17 12:00:00	3	17	12	0,5
2025-03-17 13:00:00	3	17	13	0,2
2025-03-17 14:00:00	3	17	14	1,1
2025-03-17 15:00:00	3	17	15	1,9
2025-03-17 16:00:00	3	17	16	5,5
2025-03-17 17:00:00	3	17	17	4,8
2025-03-17 18:00:00	3	17	18	126,4
2025-03-17 19:00:00	3	17	19	17,1
2025-03-17 20:00:00	3	17	20	5,0
2025-03-17 21:00:00	3	17	21	0,8
2025-03-17 22:00:00	3	17	22	0,9
2025-03-17 23:00:00	3	17	23	3,6
2025-03-18 00:00:00	3	18	0	8,9
2025-03-18 01:00:00	3	18	1	9,8
2025-03-18 02:00:00	3	18	2	8,9
2025-03-18 03:00:00	3	18	3	13,0
2025-03-18 04:00:00	3	18	4	5,0

Station 1 (km381) - T200 NO2

2025-03-18 05:00:00	3	18	5	2,8
2025-03-18 06:00:00	3	18	6	137,8
2025-03-18 07:00:00	3	18	7	1,8
2025-03-18 08:00:00	3	18	8	2,0
2025-03-18 09:00:00	3	18	9	0,7
2025-03-18 10:00:00	3	18	10	0,6
2025-03-18 11:00:00	3	18	11	0,7
2025-03-18 12:00:00	3	18	12	0,9
2025-03-18 13:00:00	3	18	13	1,1
2025-03-18 14:00:00	3	18	14	1,3
2025-03-18 15:00:00	3	18	15	1,2
2025-03-18 16:00:00	3	18	16	1,5
2025-03-18 17:00:00	3	18	17	1,3
2025-03-18 18:00:00	3	18	18	166,7
2025-03-18 19:00:00	3	18	19	1,3
2025-03-18 20:00:00	3	18	20	1,1
2025-03-18 21:00:00	3	18	21	1,2
2025-03-18 22:00:00	3	18	22	0,8
2025-03-18 23:00:00	3	18	23	1,3
2025-03-19 00:00:00	3	19	0	1,1
2025-03-19 01:00:00	3	19	1	1,1
2025-03-19 02:00:00	3	19	2	1,0
2025-03-19 03:00:00	3	19	3	0,8
2025-03-19 04:00:00	3	19	4	0,9
2025-03-19 05:00:00	3	19	5	0,8
2025-03-19 06:00:00	3	19	6	147,6
2025-03-19 07:00:00	3	19	7	2,2
2025-03-19 08:00:00	3	19	8	1,1
2025-03-19 09:00:00	3	19	9	1,1
2025-03-19 10:00:00	3	19	10	1,3
2025-03-19 11:00:00	3	19	11	1,4
2025-03-19 12:00:00	3	19	12	1,5
2025-03-19 13:00:00	3	19	13	1,6
2025-03-19 14:00:00	3	19	14	3,1
2025-03-19 15:00:00	3	19	15	2,1
2025-03-19 16:00:00	3	19	16	1,7
2025-03-19 17:00:00	3	19	17	1,6
2025-03-19 18:00:00	3	19	18	59,2
2025-03-19 19:00:00	3	19	19	1,6
2025-03-19 20:00:00	3	19	20	1,3
2025-03-19 21:00:00	3	19	21	1,4
2025-03-19 22:00:00	3	19	22	1,3
2025-03-19 23:00:00	3	19	23	1,3
2025-03-20 00:00:00	3	20	0	1,4
2025-03-20 04:00:00	3	20	4	0,9
2025-03-20 05:00:00	3	20	5	55,6
2025-03-20 06:00:00	3	20	6	96,5

Station 1 (km381) - T200 NO2

2025-03-20 07:00:00	3	20	7	0,9
2025-03-20 08:00:00	3	20	8	0,0
2025-03-20 09:00:00	3	20	9	0,0
2025-03-20 10:00:00	3	20	10	0,0
2025-03-20 11:00:00	3	20	11	0,1
2025-03-20 12:00:00	3	20	12	0,5
2025-03-20 13:00:00	3	20	13	0,9
2025-03-20 14:00:00	3	20	14	1,0
2025-03-20 15:00:00	3	20	15	1,0
2025-03-20 16:00:00	3	20	16	1,0
2025-03-20 17:00:00	3	20	17	138,1
2025-03-20 18:00:00	3	20	18	9,8
2025-03-20 19:00:00	3	20	19	0,9
2025-03-20 20:00:00	3	20	20	1,1
2025-03-20 21:00:00	3	20	21	0,7
2025-03-20 22:00:00	3	20	22	1,2
2025-03-20 23:00:00	3	20	23	0,5
2025-03-21 00:00:00	3	21	0	0,6
2025-03-21 01:00:00	3	21	1	0,6
2025-03-21 02:00:00	3	21	2	0,9
2025-03-21 03:00:00	3	21	3	3,9
2025-03-21 04:00:00	3	21	4	1,3
2025-03-21 05:00:00	3	21	5	131,7
2025-03-21 06:00:00	3	21	6	0,3
2025-03-21 07:00:00	3	21	7	0,1
2025-03-21 08:00:00	3	21	8	0,2
2025-03-21 09:00:00	3	21	9	0,2
2025-03-21 10:00:00	3	21	10	0,3
2025-03-21 11:00:00	3	21	11	0,0
2025-03-21 12:00:00	3	21	12	0,0
2025-03-21 13:00:00	3	21	13	0,0
2025-03-21 14:00:00	3	21	14	0,0
2025-03-21 15:00:00	3	21	15	0,5
2025-03-21 16:00:00	3	21	16	0,0
2025-03-21 17:00:00	3	21	17	131,3
2025-03-21 18:00:00	3	21	18	0,2
2025-03-21 19:00:00	3	21	19	0,9
2025-03-21 20:00:00	3	21	20	1,0
2025-03-21 21:00:00	3	21	21	1,1
2025-03-21 22:00:00	3	21	22	1,4
2025-03-21 23:00:00	3	21	23	1,1
2025-03-22 00:00:00	3	22	0	0,9
2025-03-22 01:00:00	3	22	1	0,7
2025-03-22 02:00:00	3	22	2	0,5
2025-03-22 03:00:00	3	22	3	0,5
2025-03-22 04:00:00	3	22	4	0,6
2025-03-22 05:00:00	3	22	5	1,0

Station 1 (km381) - T200 NO2

2025-03-22 06:00:00	3	22	6	1,5
2025-03-22 07:00:00	3	22	7	0,5
2025-03-22 08:00:00	3	22	8	0,4
2025-03-22 09:00:00	3	22	9	0,4
2025-03-22 10:00:00	3	22	10	0,4
2025-03-22 11:00:00	3	22	11	1,1
2025-03-22 12:00:00	3	22	12	0,2
2025-03-22 13:00:00	3	22	13	0,2
2025-03-22 14:00:00	3	22	14	10,0
2025-03-22 15:00:00	3	22	15	0,9
2025-03-22 16:00:00	3	22	16	0,2
2025-03-22 17:00:00	3	22	17	131,1
2025-03-22 18:00:00	3	22	18	0,4
2025-03-22 19:00:00	3	22	19	0,2
2025-03-22 20:00:00	3	22	20	0,1
2025-03-22 21:00:00	3	22	21	0,1
2025-03-22 22:00:00	3	22	22	0,1
2025-03-22 23:00:00	3	22	23	0,1
2025-03-23 00:00:00	3	23	0	0,0
2025-03-23 01:00:00	3	23	1	0,0
2025-03-23 02:00:00	3	23	2	0,3
2025-03-23 03:00:00	3	23	3	0,2
2025-03-23 04:00:00	3	23	4	42,6
2025-03-23 05:00:00	3	23	5	83,6
2025-03-23 06:00:00	3	23	6	2,1
2025-03-23 07:00:00	3	23	7	9,9
2025-03-23 08:00:00	3	23	8	11,4
2025-03-23 09:00:00	3	23	9	3,7
2025-03-23 10:00:00	3	23	10	0,9
2025-03-23 11:00:00	3	23	11	0,4
2025-03-23 12:00:00	3	23	12	3,2
2025-03-23 13:00:00	3	23	13	1,5
2025-03-23 14:00:00	3	23	14	0,1
2025-03-23 15:00:00	3	23	15	0,5
2025-03-23 16:00:00	3	23	16	131,0
2025-03-23 17:00:00	3	23	17	8,8
2025-03-23 18:00:00	3	23	18	0,4
2025-03-23 19:00:00	3	23	19	0,2
2025-03-23 20:00:00	3	23	20	0,2
2025-03-23 21:00:00	3	23	21	0,2
2025-03-23 22:00:00	3	23	22	0,1
2025-03-23 23:00:00	3	23	23	0,1
2025-03-24 00:00:00	3	24	0	0,1
2025-03-24 01:00:00	3	24	1	0,0
2025-03-24 02:00:00	3	24	2	0,0
2025-03-24 03:00:00	3	24	3	0,0
2025-03-24 04:00:00	3	24	4	129,4

Station 1 (km381) - T200 NO2

2025-03-24 05:00:00	3	24	5	0,0
2025-03-24 06:00:00	3	24	6	0,0
2025-03-24 07:00:00	3	24	7	0,0
2025-03-24 08:00:00	3	24	8	0,0
2025-03-24 09:00:00	3	24	9	0,0
2025-03-24 10:00:00	3	24	10	0,0
2025-03-24 11:00:00	3	24	11	0,2
2025-03-24 12:00:00	3	24	12	0,5
2025-03-24 13:00:00	3	24	13	0,8
2025-03-24 14:00:00	3	24	14	1,0
2025-03-24 15:00:00	3	24	15	1,3
2025-03-24 16:00:00	3	24	16	1,7
2025-03-24 17:00:00	3	24	17	2,0
2025-03-24 18:00:00	3	24	18	2,0
2025-03-24 19:00:00	3	24	19	1,7
2025-03-24 20:00:00	3	24	20	1,4
2025-03-24 21:00:00	3	24	21	1,1
2025-03-24 22:00:00	3	24	22	0,9
2025-03-24 23:00:00	3	24	23	0,8
2025-03-25 00:00:00	3	25	0	0,5
2025-03-25 01:00:00	3	25	1	0,5
2025-03-25 02:00:00	3	25	2	0,5
2025-03-25 03:00:00	3	25	3	2,0
2025-03-25 04:00:00	3	25	4	135,1
2025-03-25 05:00:00	3	25	5	0,4
2025-03-25 06:00:00	3	25	6	0,6
2025-03-25 07:00:00	3	25	7	0,3
2025-03-25 08:00:00	3	25	8	0,9
2025-03-25 09:00:00	3	25	9	0,1
2025-03-25 10:00:00	3	25	10	0,1
2025-03-25 11:00:00	3	25	11	0,0
2025-03-25 12:00:00	3	25	12	0,0
2025-03-25 13:00:00	3	25	13	0,2
2025-03-25 14:00:00	3	25	14	0,5
2025-03-25 15:00:00	3	25	15	0,0
2025-03-25 16:00:00	3	25	16	113,1
2025-03-25 17:00:00	3	25	17	0,0
2025-03-25 18:00:00	3	25	18	0,4
2025-03-25 19:00:00	3	25	19	0,9
2025-03-25 20:00:00	3	25	20	1,2
2025-03-25 21:00:00	3	25	21	1,0
2025-03-25 22:00:00	3	25	22	0,9
2025-03-25 23:00:00	3	25	23	0,6
2025-03-26 00:00:00	3	26	0	0,6
2025-03-26 01:00:00	3	26	1	0,7
2025-03-26 02:00:00	3	26	2	0,3
2025-03-26 03:00:00	3	26	3	43,3

Station 1 (km381) - T200 NO2

2025-03-26 04:00:00	3	26	4	83,3
2025-03-26 05:00:00	3	26	5	1,7
2025-03-26 06:00:00	3	26	6	6,1
2025-03-26 07:00:00	3	26	7	11,2
2025-03-26 08:00:00	3	26	8	1,3
2025-03-26 09:00:00	3	26	9	2,5
2025-03-26 10:00:00	3	26	10	2,8
2025-03-26 11:00:00	3	26	11	5,5
2025-03-26 12:00:00	3	26	12	2,8
2025-03-26 13:00:00	3	26	13	4,2
2025-03-26 14:00:00	3	26	14	1,1
2025-03-26 15:00:00	3	26	15	133,2
2025-03-26 16:00:00	3	26	16	9,6
2025-03-26 17:00:00	3	26	17	2,3
2025-03-26 18:00:00	3	26	18	1,0
2025-03-26 19:00:00	3	26	19	0,9
2025-03-26 20:00:00	3	26	20	0,7
2025-03-26 21:00:00	3	26	21	0,7
2025-03-26 22:00:00	3	26	22	0,7
2025-03-26 23:00:00	3	26	23	0,7
2025-03-27 00:00:00	3	27	0	0,6
2025-03-27 01:00:00	3	27	1	0,4
2025-03-27 02:00:00	3	27	2	0,1
2025-03-27 03:00:00	3	27	3	76,1
2025-03-27 04:00:00	3	27	4	0,2
2025-03-27 05:00:00	3	27	5	0,2
2025-03-27 06:00:00	3	27	6	0,1
2025-03-27 07:00:00	3	27	7	0,0
2025-03-27 08:00:00	3	27	8	0,0
2025-03-27 09:00:00	3	27	9	0,0
2025-03-27 10:00:00	3	27	10	0,1
2025-03-27 11:00:00	3	27	11	3,2
2025-03-27 12:00:00	3	27	12	0,5
2025-03-27 13:00:00	3	27	13	0,6
2025-03-27 14:00:00	3	27	14	0,5
2025-03-27 15:00:00	3	27	15	131,0
2025-03-27 16:00:00	3	27	16	0,0
2025-03-27 17:00:00	3	27	17	0,0
2025-03-27 18:00:00	3	27	18	0,2
2025-03-27 19:00:00	3	27	19	0,2
2025-03-27 20:00:00	3	27	20	0,4
2025-03-27 21:00:00	3	27	21	0,4
2025-03-27 22:00:00	3	27	22	0,3
2025-03-27 23:00:00	3	27	23	0,2
2025-03-28 00:00:00	3	28	0	0,5
2025-03-28 01:00:00	3	28	1	3,3
2025-03-28 02:00:00	3	28	2	0,5

Station 1 (km381) - T200 NO2

2025-03-28 03:00:00	3	28	3	122,5
2025-03-28 04:00:00	3	28	4	0,7
2025-03-28 05:00:00	3	28	5	2,4
2025-03-28 06:00:00	3	28	6	3,3
2025-03-28 07:00:00	3	28	7	12,4
2025-03-28 08:00:00	3	28	8	25,2
2025-03-28 09:00:00	3	28	9	3,2
2025-03-28 10:00:00	3	28	10	0,6
2025-03-28 11:00:00	3	28	11	0,5
2025-03-28 12:00:00	3	28	12	0,6
2025-03-28 13:00:00	3	28	13	0,4
2025-03-28 14:00:00	3	28	14	1,0
2025-03-28 15:00:00	3	28	15	130,2
2025-03-28 16:00:00	3	28	16	0,9
2025-03-28 17:00:00	3	28	17	0,7
2025-03-28 18:00:00	3	28	18	0,7
2025-03-28 19:00:00	3	28	19	0,9
2025-03-28 20:00:00	3	28	20	0,9
2025-03-28 21:00:00	3	28	21	2,2
2025-03-28 22:00:00	3	28	22	1,2
2025-03-28 23:00:00	3	28	23	1,8
2025-03-29 00:00:00	3	29	0	0,9
2025-03-29 01:00:00	3	29	1	2,6
2025-03-29 02:00:00	3	29	2	41,5
2025-03-29 03:00:00	3	29	3	78,2
2025-03-29 04:00:00	3	29	4	1,0
2025-03-29 05:00:00	3	29	5	2,7
2025-03-29 06:00:00	3	29	6	5,8
2025-03-29 07:00:00	3	29	7	20,1
2025-03-29 08:00:00	3	29	8	9,2
2025-03-29 09:00:00	3	29	9	3,2
2025-03-29 10:00:00	3	29	10	26,4
2025-03-29 11:00:00	3	29	11	3,8
2025-03-29 12:00:00	3	29	12	0,6
2025-03-29 13:00:00	3	29	13	1,3
2025-03-29 14:00:00	3	29	14	176,1
2025-03-29 15:00:00	3	29	15	8,5
2025-03-29 16:00:00	3	29	16	0,8
2025-03-29 17:00:00	3	29	17	0,6
2025-03-29 18:00:00	3	29	18	0,9
2025-03-29 19:00:00	3	29	19	1,7
2025-03-29 20:00:00	3	29	20	1,0
2025-03-29 21:00:00	3	29	21	1,0
2025-03-29 22:00:00	3	29	22	1,2
2025-03-29 23:00:00	3	29	23	1,6
2025-03-30 00:00:00	3	30	0	5,4
2025-03-30 01:00:00	3	30	1	6,8

Station 1 (km381) - T200 NO2

2025-03-30 02:00:00	3	30	2	122,7
2025-03-30 03:00:00	3	30	3	2,2
2025-03-30 04:00:00	3	30	4	2,1
2025-03-30 05:00:00	3	30	5	0,4
2025-03-30 06:00:00	3	30	6	0,2
2025-03-30 07:00:00	3	30	7	0,0
2025-03-30 08:00:00	3	30	8	0,0
2025-03-30 09:00:00	3	30	9	0,0
2025-03-30 10:00:00	3	30	10	0,1
2025-03-30 11:00:00	3	30	11	0,4
2025-03-30 12:00:00	3	30	12	0,4
2025-03-30 13:00:00	3	30	13	0,5
2025-03-30 14:00:00	3	30	14	123,9
2025-03-30 15:00:00	3	30	15	0,5
2025-03-30 16:00:00	3	30	16	0,0
2025-03-30 17:00:00	3	30	17	0,0
2025-03-30 18:00:00	3	30	18	0,2
2025-03-30 19:00:00	3	30	19	0,5
2025-03-30 20:00:00	3	30	20	0,5
2025-03-30 21:00:00	3	30	21	0,6
2025-03-30 22:00:00	3	30	22	0,6
2025-03-30 23:00:00	3	30	23	0,5
2025-03-31 00:00:00	3	31	0	0,4
2025-03-31 01:00:00	3	31	1	0,4
2025-03-31 02:00:00	3	31	2	133,5
2025-03-31 03:00:00	3	31	3	0,6
2025-03-31 04:00:00	3	31	4	0,7
2025-03-31 05:00:00	3	31	5	0,7
2025-03-31 06:00:00	3	31	6	0,7
2025-03-31 07:00:00	3	31	7	0,7
2025-03-31 08:00:00	3	31	8	0,6
2025-03-31 09:00:00	3	31	9	0,7
2025-03-31 10:00:00	3	31	10	0,7
2025-03-31 11:00:00	3	31	11	0,8
2025-03-31 12:00:00	3	31	12	0,8
2025-03-31 13:00:00	3	31	13	0,8
2025-03-31 14:00:00	3	31	14	140,2
2025-03-31 15:00:00	3	31	15	1,1
2025-03-31 16:00:00	3	31	16	0,1
2025-03-31 17:00:00	3	31	17	0,0
2025-03-31 18:00:00	3	31	18	0,1
2025-03-31 19:00:00	3	31	19	0,4
2025-03-31 20:00:00	3	31	20	0,6
2025-03-31 21:00:00	3	31	21	0,7
2025-03-31 22:00:00	3	31	22	0,6
2025-03-31 23:00:00	3	31	23	0,8
2025-04-01 00:00:00	4	1	0	0,8

Station 1 (km381) - T200 NO2

2025-04-01 01:00:00	4	1	1	128,2
2025-04-01 02:00:00	4	1	2	88,4
2025-04-01 03:00:00	4	1	3	0,7
2025-04-01 04:00:00	4	1	4	0,7
2025-04-01 05:00:00	4	1	5	0,7
2025-04-01 06:00:00	4	1	6	0,7
2025-04-01 07:00:00	4	1	7	0,8
2025-04-01 08:00:00	4	1	8	0,5
2025-04-01 09:00:00	4	1	9	0,6
2025-04-01 10:00:00	4	1	10	0,5
2025-04-01 11:00:00	4	1	11	0,7
2025-04-01 12:00:00	4	1	12	0,6
2025-04-01 13:00:00	4	1	13	125,4
2025-04-01 14:00:00	4	1	14	8,6
2025-04-01 15:00:00	4	1	15	0,9
2025-04-01 16:00:00	4	1	16	0,9
2025-04-01 17:00:00	4	1	17	0,9
2025-04-01 18:00:00	4	1	18	0,8
2025-04-01 19:00:00	4	1	19	0,9
2025-04-01 20:00:00	4	1	20	0,8
2025-04-01 21:00:00	4	1	21	0,9
2025-04-01 22:00:00	4	1	22	0,6
2025-04-01 23:00:00	4	1	23	1,0
2025-04-02 00:00:00	4	2	0	0,8
2025-04-02 01:00:00	4	2	1	126,6
2025-04-02 02:00:00	4	2	2	0,9
2025-04-02 03:00:00	4	2	3	1,3
2025-04-02 04:00:00	4	2	4	0,8
2025-04-02 05:00:00	4	2	5	0,6
2025-04-02 06:00:00	4	2	6	0,3
2025-04-02 07:00:00	4	2	7	0,1
2025-04-02 08:00:00	4	2	8	0,2
2025-04-02 09:00:00	4	2	9	0,4
2025-04-02 10:00:00	4	2	10	0,4
2025-04-02 11:00:00	4	2	11	0,6
2025-04-02 12:00:00	4	2	12	0,7
2025-04-02 13:00:00	4	2	13	140,6
2025-04-02 14:00:00	4	2	14	1,3
2025-04-02 15:00:00	4	2	15	1,4
2025-04-02 16:00:00	4	2	16	1,6
2025-04-02 17:00:00	4	2	17	1,8
2025-04-02 18:00:00	4	2	18	1,9
2025-04-02 19:00:00	4	2	19	2,3
2025-04-02 20:00:00	4	2	20	2,4
2025-04-02 21:00:00	4	2	21	2,6
2025-04-02 22:00:00	4	2	22	2,7
2025-04-02 23:00:00	4	2	23	2,7

Station 1 (km381) - T200 NO2

2025-04-03 00:00:00	4	3	0	2,6
2025-04-03 01:00:00	4	3	1	172,0
2025-04-03 02:00:00	4	3	2	1,9
2025-04-03 03:00:00	4	3	3	1,1
2025-04-03 04:00:00	4	3	4	0,7
2025-04-03 05:00:00	4	3	5	0,4
2025-04-03 06:00:00	4	3	6	0,2
2025-04-03 07:00:00	4	3	7	0,2
2025-04-03 08:00:00	4	3	8	0,2
2025-04-03 09:00:00	4	3	9	0,1
2025-04-03 10:00:00	4	3	10	0,0
2025-04-03 11:00:00	4	3	11	0,1
2025-04-03 12:00:00	4	3	12	0,3
2025-04-03 13:00:00	4	3	13	28,0
2025-04-03 14:00:00	4	3	14	0,5
2025-04-03 15:00:00	4	3	15	0,6
2025-04-03 16:00:00	4	3	16	0,9
2025-04-03 17:00:00	4	3	17	1,4
2025-04-03 18:00:00	4	3	18	1,8
2025-04-03 19:00:00	4	3	19	1,8
2025-04-03 20:00:00	4	3	20	1,6
2025-04-03 21:00:00	4	3	21	1,7
2025-04-03 22:00:00	4	3	22	1,7
2025-04-03 23:00:00	4	3	23	1,6
2025-04-04 00:00:00	4	4	0	55,6
2025-04-04 01:00:00	4	4	1	94,6
2025-04-04 02:00:00	4	4	2	1,4
2025-04-04 03:00:00	4	4	3	1,4
2025-04-04 04:00:00	4	4	4	1,1
2025-04-04 05:00:00	4	4	5	1,5
2025-04-04 06:00:00	4	4	6	1,5
2025-04-04 07:00:00	4	4	7	1,4
2025-04-04 08:00:00	4	4	8	1,2
2025-04-04 09:00:00	4	4	9	1,1
2025-04-04 10:00:00	4	4	10	1,0
2025-04-04 11:00:00	4	4	11	1,2
2025-04-04 12:00:00	4	4	12	134,9
2025-04-04 13:00:00	4	4	13	9,8
2025-04-04 14:00:00	4	4	14	2,1
2025-04-04 15:00:00	4	4	15	3,2
2025-04-04 16:00:00	4	4	16	2,4
2025-04-04 17:00:00	4	4	17	3,2
2025-04-04 18:00:00	4	4	18	2,0
2025-04-04 19:00:00	4	4	19	1,8
2025-04-04 20:00:00	4	4	20	1,6
2025-04-04 21:00:00	4	4	21	1,4
2025-04-04 22:00:00	4	4	22	1,5

Station 1 (km381) - T200 NO2

2025-04-04 23:00:00	4	4	23	1,3
2025-04-05 00:00:00	4	5	0	149,5
2025-04-05 01:00:00	4	5	1	1,5
2025-04-05 02:00:00	4	5	2	1,4
2025-04-05 03:00:00	4	5	3	1,3
2025-04-05 04:00:00	4	5	4	1,5
2025-04-05 05:00:00	4	5	5	1,4
2025-04-05 06:00:00	4	5	6	1,4
2025-04-05 07:00:00	4	5	7	1,4
2025-04-05 08:00:00	4	5	8	1,5
2025-04-05 09:00:00	4	5	9	1,5
2025-04-05 10:00:00	4	5	10	1,8
2025-04-05 11:00:00	4	5	11	1,8
2025-04-05 12:00:00	4	5	12	162,6
2025-04-05 13:00:00	4	5	13	2,0
2025-04-05 14:00:00	4	5	14	2,4
2025-04-05 15:00:00	4	5	15	2,3
2025-04-05 16:00:00	4	5	16	2,6
2025-04-05 17:00:00	4	5	17	3,7
2025-04-05 18:00:00	4	5	18	2,3
2025-04-05 19:00:00	4	5	19	2,8
2025-04-05 20:00:00	4	5	20	2,2
2025-04-05 21:00:00	4	5	21	2,0
2025-04-05 22:00:00	4	5	22	1,9
2025-04-05 23:00:00	4	5	23	1,7
2025-04-06 00:00:00	4	6	0	154,6
2025-04-06 01:00:00	4	6	1	1,5
2025-04-06 02:00:00	4	6	2	1,4
2025-04-06 03:00:00	4	6	3	1,4
2025-04-06 04:00:00	4	6	4	1,3
2025-04-06 05:00:00	4	6	5	1,2
2025-04-06 06:00:00	4	6	6	1,2
2025-04-06 07:00:00	4	6	7	1,1
2025-04-06 08:00:00	4	6	8	0,9
2025-04-06 09:00:00	4	6	9	1,0
2025-04-06 10:00:00	4	6	10	1,2
2025-04-06 11:00:00	4	6	11	1,6
2025-04-06 12:00:00	4	6	12	141,8
2025-04-06 13:00:00	4	6	13	1,4
2025-04-06 14:00:00	4	6	14	1,9
2025-04-06 15:00:00	4	6	15	1,1
2025-04-06 16:00:00	4	6	16	1,2
2025-04-06 17:00:00	4	6	17	1,2
2025-04-06 18:00:00	4	6	18	1,1
2025-04-06 19:00:00	4	6	19	1,0
2025-04-06 20:00:00	4	6	20	1,1
2025-04-06 21:00:00	4	6	21	0,9

Station 1 (km381) - T200 NO2

2025-04-06 22:00:00	4	6	22	0,8
2025-04-06 23:00:00	4	6	23	48,1
2025-04-07 00:00:00	4	7	0	89,2
2025-04-07 01:00:00	4	7	1	0,9
2025-04-07 02:00:00	4	7	2	0,8
2025-04-07 03:00:00	4	7	3	0,7
2025-04-07 04:00:00	4	7	4	0,7
2025-04-07 05:00:00	4	7	5	0,7
2025-04-07 06:00:00	4	7	6	3,1
2025-04-07 07:00:00	4	7	7	1,8
2025-04-07 08:00:00	4	7	8	3,7
2025-04-07 09:00:00	4	7	9	0,4
2025-04-07 10:00:00	4	7	10	0,5
2025-04-07 11:00:00	4	7	11	100,1
2025-04-07 12:00:00	4	7	12	7,0
2025-04-07 13:00:00	4	7	13	0,3
2025-04-07 14:00:00	4	7	14	0,0
2025-04-07 15:00:00	4	7	15	0,0
2025-04-07 16:00:00	4	7	16	0,0
2025-04-07 17:00:00	4	7	17	0,2
2025-04-07 18:00:00	4	7	18	0,1
2025-04-07 19:00:00	4	7	19	0,2
2025-04-07 20:00:00	4	7	20	0,5
2025-04-07 21:00:00	4	7	21	0,3
2025-04-07 22:00:00	4	7	22	0,4
2025-04-07 23:00:00	4	7	23	126,0
2025-04-08 00:00:00	4	8	0	0,2
2025-04-08 01:00:00	4	8	1	0,3
2025-04-08 02:00:00	4	8	2	0,3
2025-04-08 03:00:00	4	8	3	0,2
2025-04-08 04:00:00	4	8	4	0,4
2025-04-08 05:00:00	4	8	5	0,6
2025-04-08 06:00:00	4	8	6	0,6
2025-04-08 07:00:00	4	8	7	0,4
2025-04-08 08:00:00	4	8	8	0,4
2025-04-08 09:00:00	4	8	9	0,3
2025-04-08 10:00:00	4	8	10	1,0
2025-04-08 11:00:00	4	8	11	126,7
2025-04-08 12:00:00	4	8	12	0,6
2025-04-08 13:00:00	4	8	13	0,8
2025-04-08 14:00:00	4	8	14	0,5
2025-04-08 15:00:00	4	8	15	0,5
2025-04-08 16:00:00	4	8	16	0,6
2025-04-08 17:00:00	4	8	17	0,7
2025-04-08 18:00:00	4	8	18	0,7
2025-04-08 19:00:00	4	8	19	0,6
2025-04-08 20:00:00	4	8	20	0,5

Station 1 (km381) - T200 NO2

2025-04-08 21:00:00	4	8	21	0,5
2025-04-08 22:00:00	4	8	22	0,3
2025-04-08 23:00:00	4	8	23	127,3
2025-04-09 00:00:00	4	9	0	0,4
2025-04-09 01:00:00	4	9	1	0,3
2025-04-09 02:00:00	4	9	2	0,3
2025-04-09 03:00:00	4	9	3	0,2
2025-04-09 04:00:00	4	9	4	0,2
2025-04-09 05:00:00	4	9	5	1,5
2025-04-09 06:00:00	4	9	6	2,9
2025-04-09 07:00:00	4	9	7	0,5
2025-04-09 08:00:00	4	9	8	2,0
2025-04-09 09:00:00	4	9	9	0,8
2025-04-09 10:00:00	4	9	10	0,1
2025-04-09 11:00:00	4	9	11	112,8
2025-04-09 12:00:00	4	9	12	0,2
2025-04-09 13:00:00	4	9	13	0,0
2025-04-09 14:00:00	4	9	14	0,2
2025-04-09 15:00:00	4	9	15	0,0
2025-04-09 16:00:00	4	9	16	0,0
2025-04-09 17:00:00	4	9	17	0,2
2025-04-09 18:00:00	4	9	18	0,0
2025-04-09 19:00:00	4	9	19	0,0
2025-04-09 20:00:00	4	9	20	0,0
2025-04-09 21:00:00	4	9	21	0,0
2025-04-09 22:00:00	4	9	22	39,4
2025-04-09 23:00:00	4	9	23	76,3
2025-04-10 00:00:00	4	10	0	0,1
2025-04-10 01:00:00	4	10	1	0,1
2025-04-10 02:00:00	4	10	2	0,1
2025-04-10 03:00:00	4	10	3	0,2
2025-04-10 04:00:00	4	10	4	0,2
2025-04-10 05:00:00	4	10	5	0,8
2025-04-10 06:00:00	4	10	6	1,2
2025-04-10 07:00:00	4	10	7	1,2
2025-04-10 08:00:00	4	10	8	1,6
2025-04-10 09:00:00	4	10	9	0,7
2025-04-10 10:00:00	4	10	10	117,6
2025-04-10 11:00:00	4	10	11	10,9
2025-04-10 12:00:00	4	10	12	1,5
2025-04-10 13:00:00	4	10	13	6,4
2025-04-10 14:00:00	4	10	14	0,7
2025-04-10 15:00:00	4	10	15	2,5
2025-04-10 16:00:00	4	10	16	0,7
2025-04-10 17:00:00	4	10	17	1,0
2025-04-10 18:00:00	4	10	18	0,7
2025-04-10 19:00:00	4	10	19	1,5

Station 1 (km381) - T200 NO2

2025-04-10 20:00:00	4	10	20	1,1
2025-04-10 21:00:00	4	10	21	1,3
2025-04-10 22:00:00	4	10	22	132,2
2025-04-10 23:00:00	4	10	23	0,6
2025-04-11 00:00:00	4	11	0	0,8
2025-04-11 01:00:00	4	11	1	1,5
2025-04-11 02:00:00	4	11	2	1,1
2025-04-11 03:00:00	4	11	3	6,4
2025-04-11 04:00:00	4	11	4	7,7
2025-04-11 05:00:00	4	11	5	9,9
2025-04-11 06:00:00	4	11	6	7,5
2025-04-11 07:00:00	4	11	7	1,4
2025-04-11 08:00:00	4	11	8	1,1
2025-04-11 09:00:00	4	11	9	1,0
2025-04-11 10:00:00	4	11	10	132,5
2025-04-11 11:00:00	4	11	11	0,5
2025-04-11 12:00:00	4	11	12	0,7
2025-04-11 13:00:00	4	11	13	0,9
2025-04-11 14:00:00	4	11	14	1,2
2025-04-11 15:00:00	4	11	15	1,5
2025-04-11 16:00:00	4	11	16	2,4
2025-04-11 17:00:00	4	11	17	1,8
2025-04-11 18:00:00	4	11	18	1,9
2025-04-11 19:00:00	4	11	19	1,7
2025-04-11 20:00:00	4	11	20	1,6
2025-04-11 21:00:00	4	11	21	1,4
2025-04-11 22:00:00	4	11	22	159,5
2025-04-11 23:00:00	4	11	23	1,4
2025-04-12 00:00:00	4	12	0	1,5
2025-04-12 01:00:00	4	12	1	1,4
2025-04-12 02:00:00	4	12	2	1,3
2025-04-12 03:00:00	4	12	3	1,3
2025-04-12 04:00:00	4	12	4	1,5
2025-04-12 05:00:00	4	12	5	1,1
2025-04-12 06:00:00	4	12	6	1,2
2025-04-12 07:00:00	4	12	7	1,4
2025-04-12 08:00:00	4	12	8	1,2
2025-04-12 09:00:00	4	12	9	1,1
2025-04-12 10:00:00	4	12	10	141,1
2025-04-12 11:00:00	4	12	11	1,1
2025-04-12 12:00:00	4	12	12	1,6
2025-04-12 13:00:00	4	12	13	1,6
2025-04-12 14:00:00	4	12	14	1,6
2025-04-12 15:00:00	4	12	15	1,8
2025-04-12 16:00:00	4	12	16	3,7
2025-04-12 17:00:00	4	12	17	3,7
2025-04-12 18:00:00	4	12	18	3,3

Station 1 (km381) - T200 NO2

2025-04-12 19:00:00	4	12	19	2,6
2025-04-12 20:00:00	4	12	20	3,7
2025-04-12 21:00:00	4	12	21	70,0
2025-04-12 22:00:00	4	12	22	110,5
2025-04-12 23:00:00	4	12	23	1,8
2025-04-13 00:00:00	4	13	0	1,7
2025-04-13 01:00:00	4	13	1	1,4
2025-04-13 02:00:00	4	13	2	1,4
2025-04-13 03:00:00	4	13	3	1,3
2025-04-13 04:00:00	4	13	4	1,2
2025-04-13 05:00:00	4	13	5	1,1
2025-04-13 06:00:00	4	13	6	1,2
2025-04-13 07:00:00	4	13	7	1,2
2025-04-13 08:00:00	4	13	8	1,3
2025-04-13 09:00:00	4	13	9	142,1
2025-04-13 10:00:00	4	13	10	10,3
2025-04-13 11:00:00	4	13	11	1,7
2025-04-13 12:00:00	4	13	12	2,0
2025-04-13 13:00:00	4	13	13	2,2
2025-04-13 14:00:00	4	13	14	2,3
2025-04-13 15:00:00	4	13	15	2,4
2025-04-13 16:00:00	4	13	16	2,6
2025-04-13 17:00:00	4	13	17	2,7
2025-04-13 18:00:00	4	13	18	2,8
2025-04-13 19:00:00	4	13	19	2,8
2025-04-13 20:00:00	4	13	20	2,8
2025-04-13 21:00:00	4	13	21	214,7
2025-04-13 22:00:00	4	13	22	2,8
2025-04-13 23:00:00	4	13	23	2,8
2025-04-14 00:00:00	4	14	0	2,8
2025-04-14 01:00:00	4	14	1	2,8
2025-04-14 02:00:00	4	14	2	2,7
2025-04-14 03:00:00	4	14	3	2,6
2025-04-14 04:00:00	4	14	4	2,5
2025-04-14 05:00:00	4	14	5	2,5
2025-04-14 06:00:00	4	14	6	2,4
2025-04-14 07:00:00	4	14	7	2,3
2025-04-14 08:00:00	4	14	8	2,2
2025-04-14 09:00:00	4	14	9	174,9
2025-04-14 10:00:00	4	14	10	2,4
2025-04-14 11:00:00	4	14	11	2,6
2025-04-14 12:00:00	4	14	12	2,6
2025-04-14 13:00:00	4	14	13	2,6
2025-04-14 14:00:00	4	14	14	2,7
2025-04-14 15:00:00	4	14	15	3,0
2025-04-14 16:00:00	4	14	16	0,7
2025-04-14 17:00:00	4	14	17	0,0

Station 1 (km381) - T200 NO2

2025-04-14 18:00:00	4	14	18	0,0
2025-04-14 19:00:00	4	14	19	0,0
2025-04-14 20:00:00	4	14	20	0,0
2025-04-14 21:00:00	4	14	21	0,0
2025-04-14 22:00:00	4	14	22	0,0
2025-04-14 23:00:00	4	14	23	0,0
2025-04-15 00:00:00	4	15	0	0,0
2025-04-15 01:00:00	4	15	1	2,1
2025-04-15 02:00:00	4	15	2	2,6
2025-04-15 03:00:00	4	15	3	2,8
2025-04-15 04:00:00	4	15	4	3,0
2025-04-15 05:00:00	4	15	5	2,9
2025-04-15 06:00:00	4	15	6	3,0
2025-04-15 07:00:00	4	15	7	3,1
2025-04-15 08:00:00	4	15	8	3,3
2025-04-15 09:00:00	4	15	9	196,4
2025-04-15 10:00:00	4	15	10	3,5
2025-04-15 11:00:00	4	15	11	3,6
2025-04-15 12:00:00	4	15	12	3,6
2025-04-15 13:00:00	4	15	13	3,6
2025-04-15 14:00:00	4	15	14	3,6
2025-04-15 15:00:00	4	15	15	3,4
2025-04-15 16:00:00	4	15	16	3,3
2025-04-15 17:00:00	4	15	17	3,0
2025-04-15 18:00:00	4	15	18	2,8
2025-04-15 19:00:00	4	15	19	2,9
2025-04-15 20:00:00	4	15	20	67,7
2025-04-15 21:00:00	4	15	21	114,6
2025-04-15 22:00:00	4	15	22	2,2
2025-04-15 23:00:00	4	15	23	1,9
2025-04-16 00:00:00	4	16	0	1,6
2025-04-16 01:00:00	4	16	1	1,4
2025-04-16 02:00:00	4	16	2	1,2
2025-04-16 03:00:00	4	16	3	1,1
2025-04-16 04:00:00	4	16	4	1,1
2025-04-16 05:00:00	4	16	5	1,0
2025-04-16 06:00:00	4	16	6	0,9
2025-04-16 07:00:00	4	16	7	0,9
2025-04-16 08:00:00	4	16	8	177,4
2025-04-16 09:00:00	4	16	9	9,1
2025-04-16 10:00:00	4	16	10	0,7
2025-04-16 11:00:00	4	16	11	0,8
2025-04-16 12:00:00	4	16	12	0,9
2025-04-16 13:00:00	4	16	13	0,0
2025-04-16 14:00:00	4	16	14	0,0
2025-04-16 15:00:00	4	16	15	0,0
2025-04-16 16:00:00	4	16	16	0,0

Station 1 (km381) - T200 NO2

2025-04-16 17:00:00	4	16	17	0,1
2025-04-16 18:00:00	4	16	18	0,4
2025-04-16 19:00:00	4	16	19	0,5
2025-04-16 20:00:00	4	16	20	131,4
2025-04-16 21:00:00	4	16	21	0,5
2025-04-16 22:00:00	4	16	22	0,6
2025-04-16 23:00:00	4	16	23	0,5
2025-04-17 00:00:00	4	17	0	0,4
2025-04-17 01:00:00	4	17	1	0,5
2025-04-17 02:00:00	4	17	2	0,5
2025-04-17 03:00:00	4	17	3	0,3
2025-04-17 04:00:00	4	17	4	0,4
2025-04-17 05:00:00	4	17	5	0,4
2025-04-17 06:00:00	4	17	6	0,4
2025-04-17 07:00:00	4	17	7	0,5
2025-04-17 08:00:00	4	17	8	125,0
2025-04-17 09:00:00	4	17	9	0,5
2025-04-17 10:00:00	4	17	10	0,6
2025-04-17 11:00:00	4	17	11	0,3
2025-04-17 12:00:00	4	17	12	0,5
2025-04-17 13:00:00	4	17	13	0,7
2025-04-17 14:00:00	4	17	14	0,6
2025-04-17 15:00:00	4	17	15	0,5
2025-04-17 16:00:00	4	17	16	0,6
2025-04-17 17:00:00	4	17	17	0,7
2025-04-17 18:00:00	4	17	18	1,0
2025-04-17 19:00:00	4	17	19	1,0
2025-04-17 20:00:00	4	17	20	136,3
2025-04-17 21:00:00	4	17	21	1,6
2025-04-17 22:00:00	4	17	22	0,9
2025-04-17 23:00:00	4	17	23	1,0
2025-04-18 00:00:00	4	18	0	0,6
2025-04-18 01:00:00	4	18	1	0,6
2025-04-18 02:00:00	4	18	2	0,4
2025-04-18 03:00:00	4	18	3	0,4
2025-04-18 04:00:00	4	18	4	0,3
2025-04-18 05:00:00	4	18	5	0,3
2025-04-18 06:00:00	4	18	6	0,4
2025-04-18 07:00:00	4	18	7	0,0
2025-04-18 08:00:00	4	18	8	111,5
2025-04-18 09:00:00	4	18	9	0,0
2025-04-18 10:00:00	4	18	10	0,0
2025-04-18 11:00:00	4	18	11	0,2
2025-04-18 12:00:00	4	18	12	0,4
2025-04-18 13:00:00	4	18	13	0,5
2025-04-18 14:00:00	4	18	14	0,6
2025-04-18 15:00:00	4	18	15	0,8

Station 1 (km381) - T200 NO2

2025-04-18 16:00:00	4	18	16	0,8
2025-04-18 17:00:00	4	18	17	1,1
2025-04-18 18:00:00	4	18	18	1,1
2025-04-18 19:00:00	4	18	19	69,0
2025-04-18 20:00:00	4	18	20	98,6
2025-04-18 21:00:00	4	18	21	1,4
2025-04-18 22:00:00	4	18	22	1,3
2025-04-18 23:00:00	4	18	23	1,2
2025-04-19 00:00:00	4	19	0	1,1
2025-04-19 01:00:00	4	19	1	1,0
2025-04-19 02:00:00	4	19	2	1,0
2025-04-19 03:00:00	4	19	3	0,9
2025-04-19 04:00:00	4	19	4	0,8
2025-04-19 05:00:00	4	19	5	0,7
2025-04-19 06:00:00	4	19	6	1,0
2025-04-19 07:00:00	4	19	7	130,9
2025-04-19 08:00:00	4	19	8	9,2
2025-04-19 09:00:00	4	19	9	0,7
2025-04-19 10:00:00	4	19	10	0,6
2025-04-19 11:00:00	4	19	11	0,8
2025-04-19 12:00:00	4	19	12	0,9
2025-04-19 13:00:00	4	19	13	0,8
2025-04-19 14:00:00	4	19	14	0,8
2025-04-19 15:00:00	4	19	15	0,9
2025-04-19 16:00:00	4	19	16	0,8
2025-04-19 17:00:00	4	19	17	0,9
2025-04-19 18:00:00	4	19	18	0,9
2025-04-19 19:00:00	4	19	19	140,0
2025-04-19 20:00:00	4	19	20	0,7
2025-04-19 21:00:00	4	19	21	0,8
2025-04-19 22:00:00	4	19	22	0,6
2025-04-19 23:00:00	4	19	23	0,6
2025-04-20 00:00:00	4	20	0	0,6
2025-04-20 01:00:00	4	20	1	0,5
2025-04-20 02:00:00	4	20	2	0,4
2025-04-20 03:00:00	4	20	3	0,3
2025-04-20 04:00:00	4	20	4	0,5
2025-04-20 05:00:00	4	20	5	0,3
2025-04-20 06:00:00	4	20	6	0,4
2025-04-20 07:00:00	4	20	7	127,9
2025-04-20 08:00:00	4	20	8	0,5
2025-04-20 09:00:00	4	20	9	0,3
2025-04-20 10:00:00	4	20	10	0,3
2025-04-20 11:00:00	4	20	11	0,4
2025-04-20 12:00:00	4	20	12	0,5
2025-04-20 13:00:00	4	20	13	0,6
2025-04-20 14:00:00	4	20	14	0,6

Station 1 (km381) - T200 NO2

2025-04-20 15:00:00	4	20	15	0,7
2025-04-20 16:00:00	4	20	16	0,5
2025-04-20 17:00:00	4	20	17	0,9
2025-04-20 18:00:00	4	20	18	0,8
2025-04-20 19:00:00	4	20	19	138,7
2025-04-20 20:00:00	4	20	20	0,7
2025-04-20 21:00:00	4	20	21	0,5
2025-04-20 22:00:00	4	20	22	0,5
2025-04-20 23:00:00	4	20	23	0,4
2025-04-21 00:00:00	4	21	0	0,4
2025-04-21 01:00:00	4	21	1	0,3
2025-04-21 02:00:00	4	21	2	0,2
2025-04-21 03:00:00	4	21	3	0,3
2025-04-21 04:00:00	4	21	4	0,2
2025-04-21 05:00:00	4	21	5	0,2
2025-04-21 06:00:00	4	21	6	0,3
2025-04-21 07:00:00	4	21	7	131,3
2025-04-21 08:00:00	4	21	8	0,5
2025-04-21 09:00:00	4	21	9	0,5
2025-04-21 10:00:00	4	21	10	0,7
2025-04-21 11:00:00	4	21	11	0,9
2025-04-21 12:00:00	4	21	12	1,0
2025-04-21 13:00:00	4	21	13	1,2
2025-04-21 14:00:00	4	21	14	1,2
2025-04-21 15:00:00	4	21	15	1,2
2025-04-21 16:00:00	4	21	16	1,4
2025-04-21 17:00:00	4	21	17	1,5
2025-04-21 18:00:00	4	21	18	67,9
2025-04-21 19:00:00	4	21	19	107,9
2025-04-21 20:00:00	4	21	20	2,0
2025-04-21 21:00:00	4	21	21	2,0
2025-04-21 22:00:00	4	21	22	1,9
2025-04-21 23:00:00	4	21	23	1,8
2025-04-22 00:00:00	4	22	0	1,4
2025-04-22 01:00:00	4	22	1	1,3
2025-04-22 02:00:00	4	22	2	0,9
2025-04-22 03:00:00	4	22	3	0,9
2025-04-22 04:00:00	4	22	4	0,9
2025-04-22 05:00:00	4	22	5	1,3
2025-04-22 06:00:00	4	22	6	143,3
2025-04-22 07:00:00	4	22	7	10,2
2025-04-22 08:00:00	4	22	8	0,1
2025-04-22 09:00:00	4	22	9	0,0
2025-04-22 10:00:00	4	22	10	0,0
2025-04-22 11:00:00	4	22	11	0,0
2025-04-22 12:00:00	4	22	12	0,0
2025-04-22 13:00:00	4	22	13	0,5

Station 1 (km381) - T200 NO2

2025-04-22 14:00:00	4	22	14	0,7
2025-04-22 15:00:00	4	22	15	1,0
2025-04-22 16:00:00	4	22	16	1,0
2025-04-22 17:00:00	4	22	17	1,1
2025-04-22 18:00:00	4	22	18	145,2
2025-04-22 19:00:00	4	22	19	1,0
2025-04-22 20:00:00	4	22	20	1,0
2025-04-22 21:00:00	4	22	21	0,9
2025-04-22 22:00:00	4	22	22	1,2
2025-04-22 23:00:00	4	22	23	1,3
2025-04-23 00:00:00	4	23	0	1,4
2025-04-23 01:00:00	4	23	1	1,2
2025-04-23 02:00:00	4	23	2	1,3
2025-04-23 03:00:00	4	23	3	1,8
2025-04-23 04:00:00	4	23	4	1,8
2025-04-23 05:00:00	4	23	5	1,9
2025-04-23 06:00:00	4	23	6	135,3
2025-04-23 07:00:00	4	23	7	1,3
2025-04-23 08:00:00	4	23	8	1,3
2025-04-23 09:00:00	4	23	9	1,0
2025-04-23 10:00:00	4	23	10	1,1
2025-04-23 11:00:00	4	23	11	1,0
2025-04-23 12:00:00	4	23	12	1,0
2025-04-23 13:00:00	4	23	13	1,4
2025-04-23 14:00:00	4	23	14	1,3
2025-04-23 15:00:00	4	23	15	1,4
2025-04-23 16:00:00	4	23	16	1,2
2025-04-23 17:00:00	4	23	17	1,6
2025-04-23 18:00:00	4	23	18	152,4
2025-04-23 19:00:00	4	23	19	1,4
2025-04-23 20:00:00	4	23	20	1,4
2025-04-23 21:00:00	4	23	21	1,3
2025-04-23 22:00:00	4	23	22	1,4
2025-04-23 23:00:00	4	23	23	1,3
2025-04-24 00:00:00	4	24	0	0,8
2025-04-24 01:00:00	4	24	1	0,6
2025-04-24 02:00:00	4	24	2	0,6
2025-04-24 03:00:00	4	24	3	0,5
2025-04-24 04:00:00	4	24	4	0,3
2025-04-24 05:00:00	4	24	5	0,5
2025-04-24 06:00:00	4	24	6	0,8
2025-04-29 15:00:00	4	29	15	18,4
2025-04-29 16:00:00	4	29	16	16,7
2025-04-29 17:00:00	4	29	17	0,6
2025-04-29 18:00:00	4	29	18	0,8
2025-04-29 19:00:00	4	29	19	0,3
2025-04-29 20:00:00	4	29	20	0,0

Station 1 (km381) - T200 NO2

2025-04-29 21:00:00	4	29	21	0,0
2025-04-29 22:00:00	4	29	22	0,0
2025-04-29 23:00:00	4	29	23	0,0
2025-04-30 00:00:00	4	30	0	0,0
2025-04-30 01:00:00	4	30	1	0,0
2025-04-30 02:00:00	4	30	2	0,1
2025-04-30 03:00:00	4	30	3	0,2
2025-04-30 04:00:00	4	30	4	114,1
2025-04-30 05:00:00	4	30	5	0,2
2025-04-30 06:00:00	4	30	6	0,5
2025-04-30 07:00:00	4	30	7	0,2
2025-04-30 08:00:00	4	30	8	0,1
2025-04-30 09:00:00	4	30	9	0,3
2025-04-30 10:00:00	4	30	10	0,3
2025-04-30 11:00:00	4	30	11	0,5
2025-04-30 12:00:00	4	30	12	0,3
2025-04-30 13:00:00	4	30	13	0,4
2025-04-30 14:00:00	4	30	14	0,6
2025-04-30 15:00:00	4	30	15	41,8
2025-04-30 16:00:00	4	30	16	81,0
2025-04-30 17:00:00	4	30	17	0,5
2025-04-30 18:00:00	4	30	18	0,4
2025-04-30 19:00:00	4	30	19	0,6
2025-04-30 20:00:00	4	30	20	0,5
2025-04-30 21:00:00	4	30	21	0,4
2025-04-30 22:00:00	4	30	22	0,5
2025-04-30 23:00:00	4	30	23	0,4
2025-05-01 00:00:00	5	1	0	0,4
2025-05-01 01:00:00	5	1	1	0,3
2025-05-01 02:00:00	5	1	2	0,2
2025-05-01 03:00:00	5	1	3	112,5
2025-05-01 04:00:00	5	1	4	17,3
2025-05-01 05:00:00	5	1	5	0,2
2025-05-01 06:00:00	5	1	6	0,2
2025-05-01 07:00:00	5	1	7	0,1
2025-05-01 08:00:00	5	1	8	0,1
2025-05-01 09:00:00	5	1	9	0,2
2025-05-01 10:00:00	5	1	10	0,2
2025-05-01 11:00:00	5	1	11	0,4
2025-05-01 12:00:00	5	1	12	0,5
2025-05-01 13:00:00	5	1	13	0,5
2025-05-01 14:00:00	5	1	14	0,7
2025-05-01 15:00:00	5	1	15	133,8
2025-05-01 16:00:00	5	1	16	1,0
2025-05-01 17:00:00	5	1	17	0,9
2025-05-01 18:00:00	5	1	18	1,0
2025-05-01 19:00:00	5	1	19	1,1

Station 1 (km381) - T200 NO2

2025-05-01 20:00:00	5	1	20	1,1
2025-05-01 21:00:00	5	1	21	1,0
2025-05-01 22:00:00	5	1	22	0,9
2025-05-01 23:00:00	5	1	23	0,9
2025-05-02 00:00:00	5	2	0	0,9
2025-05-02 01:00:00	5	2	1	0,9
2025-05-02 02:00:00	5	2	2	0,8
2025-05-02 03:00:00	5	2	3	137,5
2025-05-02 04:00:00	5	2	4	0,9
2025-05-02 05:00:00	5	2	5	0,7
2025-05-02 06:00:00	5	2	6	0,8
2025-05-02 07:00:00	5	2	7	0,8
2025-05-02 08:00:00	5	2	8	0,8
2025-05-02 09:00:00	5	2	9	1,0
2025-05-02 10:00:00	5	2	10	0,0
2025-05-02 11:00:00	5	2	11	0,0
2025-05-02 12:00:00	5	2	12	0,0
2025-05-02 13:00:00	5	2	13	0,2
2025-05-02 14:00:00	5	2	14	0,5
2025-05-02 15:00:00	5	2	15	133,8
2025-05-02 16:00:00	5	2	16	1,0
2025-05-02 17:00:00	5	2	17	1,1
2025-05-02 18:00:00	5	2	18	1,3
2025-05-02 19:00:00	5	2	19	1,2
2025-05-02 20:00:00	5	2	20	1,3
2025-05-02 21:00:00	5	2	21	2,1
2025-05-02 22:00:00	5	2	22	1,1
2025-05-02 23:00:00	5	2	23	0,7
2025-05-03 00:00:00	5	3	0	0,6
2025-05-03 01:00:00	5	3	1	0,4
2025-05-03 02:00:00	5	3	2	0,4
2025-05-03 03:00:00	5	3	3	129,6
2025-05-03 04:00:00	5	3	4	0,3
2025-05-03 05:00:00	5	3	5	0,3
2025-05-03 06:00:00	5	3	6	0,6
2025-05-03 07:00:00	5	3	7	0,3
2025-05-03 08:00:00	5	3	8	4,4
2025-05-03 09:00:00	5	3	9	1,6
2025-05-03 10:00:00	5	3	10	2,0
2025-05-03 11:00:00	5	3	11	1,2
2025-05-03 12:00:00	5	3	12	0,5
2025-05-03 13:00:00	5	3	13	0,7
2025-05-03 14:00:00	5	3	14	43,2
2025-05-03 15:00:00	5	3	15	431,9
2025-05-03 16:00:00	5	3	16	0,4
2025-05-03 17:00:00	5	3	17	0,4
2025-05-03 18:00:00	5	3	18	0,4

Station 1 (km381) - T200 NO2

2025-05-03 19:00:00	5	3	19	0,3
2025-05-03 20:00:00	5	3	20	0,4
2025-05-03 21:00:00	5	3	21	0,4
2025-05-03 22:00:00	5	3	22	0,5
2025-05-03 23:00:00	5	3	23	0,6
2025-05-04 00:00:00	5	4	0	0,6
2025-05-04 01:00:00	5	4	1	0,5
2025-05-04 02:00:00	5	4	2	115,6
2025-05-04 03:00:00	5	4	3	7,9
2025-05-04 04:00:00	5	4	4	0,5
2025-05-04 05:00:00	5	4	5	0,3
2025-05-04 06:00:00	5	4	6	0,2
2025-05-04 07:00:00	5	4	7	0,2
2025-05-04 08:00:00	5	4	8	0,1
2025-05-04 09:00:00	5	4	9	0,1
2025-05-04 10:00:00	5	4	10	0,0
2025-05-04 11:00:00	5	4	11	0,0
2025-05-04 12:00:00	5	4	12	0,0
2025-05-04 13:00:00	5	4	13	0,0
2025-05-04 14:00:00	5	4	14	114,9
2025-05-04 15:00:00	5	4	15	0,1
2025-05-04 16:00:00	5	4	16	0,1
2025-05-04 17:00:00	5	4	17	0,2
2025-05-04 18:00:00	5	4	18	0,3
2025-05-04 19:00:00	5	4	19	0,3
2025-05-04 20:00:00	5	4	20	0,5
2025-05-04 21:00:00	5	4	21	0,9
2025-05-04 22:00:00	5	4	22	0,8
2025-05-04 23:00:00	5	4	23	0,3
2025-05-05 00:00:00	5	5	0	0,2
2025-05-05 01:00:00	5	5	1	0,1
2025-05-05 02:00:00	5	5	2	116,5
2025-05-05 03:00:00	5	5	3	0,0
2025-05-05 04:00:00	5	5	4	0,1
2025-05-05 05:00:00	5	5	5	0,1
2025-05-05 06:00:00	5	5	6	0,1
2025-05-05 07:00:00	5	5	7	0,0
2025-05-05 08:00:00	5	5	8	0,0
2025-05-05 09:00:00	5	5	9	0,0
2025-05-05 10:00:00	5	5	10	0,0
2025-05-05 11:00:00	5	5	11	0,0
2025-05-05 12:00:00	5	5	12	0,1
2025-05-05 13:00:00	5	5	13	0,0
2025-05-05 14:00:00	5	5	14	106,9
2025-05-05 15:00:00	5	5	15	0,0
2025-05-05 16:00:00	5	5	16	0,0
2025-05-05 17:00:00	5	5	17	0,2

Station 1 (km381) - T200 NO2

2025-05-05 18:00:00	5	5	18	0,3
2025-05-05 19:00:00	5	5	19	0,9
2025-05-05 20:00:00	5	5	20	1,0
2025-05-05 21:00:00	5	5	21	1,3
2025-05-05 22:00:00	5	5	22	1,3
2025-05-05 23:00:00	5	5	23	1,4
2025-05-06 00:00:00	5	6	0	1,6
2025-05-06 01:00:00	5	6	1	1,5
2025-05-06 02:00:00	5	6	2	163,1
2025-05-06 03:00:00	5	6	3	1,6
2025-05-06 04:00:00	5	6	4	1,5
2025-05-06 05:00:00	5	6	5	1,5
2025-05-06 06:00:00	5	6	6	1,7
2025-05-06 07:00:00	5	6	7	0,5
2025-05-06 08:00:00	5	6	8	0,0
2025-05-06 09:00:00	5	6	9	0,0
2025-05-06 10:00:00	5	6	10	0,0
2025-05-06 11:00:00	5	6	11	0,1
2025-05-06 12:00:00	5	6	12	0,6
2025-05-06 13:00:00	5	6	13	56,8
2025-05-06 14:00:00	5	6	14	94,7
2025-05-06 15:00:00	5	6	15	0,0
2025-05-06 16:00:00	5	6	16	0,0
2025-05-06 17:00:00	5	6	17	0,0
2025-05-06 18:00:00	5	6	18	0,0
2025-05-06 19:00:00	5	6	19	0,0
2025-05-06 20:00:00	5	6	20	0,0
2025-05-06 21:00:00	5	6	21	0,0
2025-05-06 22:00:00	5	6	22	0,0
2025-05-06 23:00:00	5	6	23	0,0
2025-05-07 00:00:00	5	7	0	0,0
2025-05-07 01:00:00	5	7	1	0,0
2025-05-07 02:00:00	5	7	2	0,0
2025-05-07 03:00:00	5	7	3	0,0
2025-05-07 04:00:00	5	7	4	0,9
2025-05-07 05:00:00	5	7	5	0,9
2025-05-07 06:00:00	5	7	6	0,9
2025-05-07 07:00:00	5	7	7	0,7
2025-05-07 08:00:00	5	7	8	0,7
2025-05-07 09:00:00	5	7	9	0,6
2025-05-07 10:00:00	5	7	10	0,7
2025-05-07 11:00:00	5	7	11	0,6
2025-05-07 12:00:00	5	7	12	0,6
2025-05-07 13:00:00	5	7	13	130,3
2025-05-07 14:00:00	5	7	14	0,6
2025-05-07 15:00:00	5	7	15	0,7
2025-05-07 16:00:00	5	7	16	0,7

Station 1 (km381) - T200 NO2

2025-05-07 17:00:00	5	7	17	0,8
2025-05-07 18:00:00	5	7	18	0,7
2025-05-07 19:00:00	5	7	19	0,7
2025-05-07 20:00:00	5	7	20	0,7
2025-05-07 21:00:00	5	7	21	0,7
2025-05-07 22:00:00	5	7	22	0,7
2025-05-07 23:00:00	5	7	23	0,6
2025-05-08 00:00:00	5	8	0	0,5
2025-05-08 01:00:00	5	8	1	132,3
2025-05-08 02:00:00	5	8	2	0,5
2025-05-08 03:00:00	5	8	3	0,5
2025-05-08 04:00:00	5	8	4	0,3
2025-05-08 05:00:00	5	8	5	0,3
2025-05-08 06:00:00	5	8	6	0,1
2025-05-08 07:00:00	5	8	7	0,5
2025-05-08 08:00:00	5	8	8	0,5
2025-05-08 09:00:00	5	8	9	0,5
2025-05-08 10:00:00	5	8	10	0,7
2025-05-08 11:00:00	5	8	11	0,8
2025-05-08 12:00:00	5	8	12	0,8
2025-05-08 13:00:00	5	8	13	135,6
2025-05-08 14:00:00	5	8	14	1,0
2025-05-08 15:00:00	5	8	15	1,1
2025-05-08 16:00:00	5	8	16	0,4
2025-05-08 17:00:00	5	8	17	0,0
2025-05-08 18:00:00	5	8	18	0,0
2025-05-08 19:00:00	5	8	19	0,0
2025-05-08 20:00:00	5	8	20	0,0
2025-05-08 21:00:00	5	8	21	0,0
2025-05-08 22:00:00	5	8	22	0,0
2025-05-08 23:00:00	5	8	23	0,0
2025-05-09 00:00:00	5	9	0	0,0
2025-05-09 01:00:00	5	9	1	102,2
2025-05-09 02:00:00	5	9	2	0,0
2025-05-09 03:00:00	5	9	3	0,0
2025-05-09 04:00:00	5	9	4	0,0
2025-05-09 05:00:00	5	9	5	0,0
2025-05-09 06:00:00	5	9	6	0,8
2025-05-09 07:00:00	5	9	7	0,0
2025-05-09 08:00:00	5	9	8	0,0
2025-05-09 09:00:00	5	9	9	0,0
2025-05-09 10:00:00	5	9	10	0,0
2025-05-09 11:00:00	5	9	11	0,0
2025-05-09 12:00:00	5	9	12	27,7
2025-05-09 13:00:00	5	9	13	67,6
2025-05-09 14:00:00	5	9	14	0,0
2025-05-09 15:00:00	5	9	15	0,0

Station 1 (km381) - T200 NO2

2025-05-09 16:00:00	5	9	16	0,0
2025-05-09 17:00:00	5	9	17	0,0
2025-05-09 18:00:00	5	9	18	0,0
2025-05-09 19:00:00	5	9	19	0,0
2025-05-09 20:00:00	5	9	20	0,0
2025-05-09 21:00:00	5	9	21	0,0
2025-05-09 22:00:00	5	9	22	0,0
2025-05-09 23:00:00	5	9	23	0,0
2025-05-10 00:00:00	5	10	0	92,9
2025-05-10 01:00:00	5	10	1	5,9
2025-05-10 02:00:00	5	10	2	0,0
2025-05-10 03:00:00	5	10	3	0,5
2025-05-10 04:00:00	5	10	4	0,6
2025-05-10 05:00:00	5	10	5	0,5
2025-05-10 06:00:00	5	10	6	0,3
2025-05-10 07:00:00	5	10	7	0,2
2025-05-10 08:00:00	5	10	8	0,2
2025-05-10 09:00:00	5	10	9	0,0
2025-05-10 10:00:00	5	10	10	0,2
2025-05-10 11:00:00	5	10	11	0,1
2025-05-10 12:00:00	5	10	12	102,6
2025-05-10 13:00:00	5	10	13	0,0
2025-05-10 14:00:00	5	10	14	0,0
2025-05-10 15:00:00	5	10	15	0,0
2025-05-10 16:00:00	5	10	16	0,0
2025-05-10 17:00:00	5	10	17	0,0
2025-05-10 18:00:00	5	10	18	0,0
2025-05-10 19:00:00	5	10	19	0,0
2025-05-10 20:00:00	5	10	20	0,0
2025-05-10 21:00:00	5	10	21	0,0
2025-05-10 22:00:00	5	10	22	0,0
2025-05-10 23:00:00	5	10	23	0,0
2025-05-11 00:00:00	5	11	0	0,0
2025-05-11 01:00:00	5	11	1	0,0
2025-05-11 02:00:00	5	11	2	0,0
2025-05-11 03:00:00	5	11	3	0,0
2025-05-11 04:00:00	5	11	4	0,0
2025-05-11 05:00:00	5	11	5	0,2
2025-05-11 06:00:00	5	11	6	2,2
2025-05-11 07:00:00	5	11	7	0,0
2025-05-11 08:00:00	5	11	8	0,0
2025-05-11 09:00:00	5	11	9	0,0
2025-05-11 10:00:00	5	11	10	0,0
2025-05-11 11:00:00	5	11	11	0,3
2025-05-11 12:00:00	5	11	12	103,4
2025-05-11 13:00:00	5	11	13	0,0
2025-05-11 14:00:00	5	11	14	0,0

Station 1 (km381) - T200 NO2

2025-05-11 15:00:00	5	11	15	0,0
2025-05-11 16:00:00	5	11	16	0,0
2025-05-11 17:00:00	5	11	17	0,0
2025-05-11 18:00:00	5	11	18	0,0
2025-05-11 19:00:00	5	11	19	0,0
2025-05-11 20:00:00	5	11	20	0,0
2025-05-11 21:00:00	5	11	21	0,0
2025-05-11 22:00:00	5	11	22	0,0
2025-05-11 23:00:00	5	11	23	0,0
2025-05-12 00:00:00	5	12	0	97,1
2025-05-12 01:00:00	5	12	1	0,4
2025-05-12 02:00:00	5	12	2	0,3
2025-05-12 03:00:00	5	12	3	0,8
2025-05-12 04:00:00	5	12	4	0,7
2025-05-12 05:00:00	5	12	5	0,0
2025-05-12 06:00:00	5	12	6	0,0
2025-05-12 07:00:00	5	12	7	0,0
2025-05-12 08:00:00	5	12	8	0,0
2025-05-12 09:00:00	5	12	9	0,0
2025-05-12 10:00:00	5	12	10	0,0
2025-05-12 11:00:00	5	12	11	29,8
2025-05-12 12:00:00	5	12	12	69,2
2025-05-12 13:00:00	5	12	13	0,0
2025-05-12 14:00:00	5	12	14	0,0
2025-05-12 15:00:00	5	12	15	0,0
2025-05-12 16:00:00	5	12	16	0,0
2025-05-12 17:00:00	5	12	17	0,0
2025-05-12 18:00:00	5	12	18	0,0
2025-05-12 19:00:00	5	12	19	0,0
2025-05-12 20:00:00	5	12	20	0,0
2025-05-12 21:00:00	5	12	21	0,0
2025-05-12 22:00:00	5	12	22	0,0
2025-05-12 23:00:00	5	12	23	102,6
2025-05-13 00:00:00	5	13	0	6,7
2025-05-13 01:00:00	5	13	1	0,0
2025-05-13 02:00:00	5	13	2	0,0
2025-05-13 03:00:00	5	13	3	0,0
2025-05-13 04:00:00	5	13	4	0,0
2025-05-13 05:00:00	5	13	5	0,0
2025-05-13 06:00:00	5	13	6	0,0
2025-05-13 07:00:00	5	13	7	0,0
2025-05-13 08:00:00	5	13	8	0,0
2025-05-13 09:00:00	5	13	9	0,0
2025-05-13 10:00:00	5	13	10	0,0
2025-05-13 11:00:00	5	13	11	196,2
2025-05-13 12:00:00	5	13	12	0,0
2025-05-13 13:00:00	5	13	13	0,3

Station 1 (km381) - T200 NO2

2025-05-13 14:00:00	5	13	14	0,1
2025-05-13 15:00:00	5	13	15	0,2
2025-05-13 16:00:00	5	13	16	0,0
2025-05-13 17:00:00	5	13	17	0,2
2025-05-13 18:00:00	5	13	18	0,9
2025-05-13 19:00:00	5	13	19	5,9
2025-05-13 20:00:00	5	13	20	1,4
2025-05-13 21:00:00	5	13	21	1,8
2025-05-13 22:00:00	5	13	22	0,0
2025-05-13 23:00:00	5	13	23	0,0
2025-05-14 00:00:00	5	14	0	0,0
2025-05-14 01:00:00	5	14	1	0,0
2025-05-14 02:00:00	5	14	2	0,0
2025-05-14 03:00:00	5	14	3	0,0
2025-05-14 04:00:00	5	14	4	0,0
2025-05-14 05:00:00	5	14	5	0,0
2025-05-14 06:00:00	5	14	6	0,0
2025-05-14 07:00:00	5	14	7	0,0
2025-05-14 08:00:00	5	14	8	0,0
2025-05-14 09:00:00	5	14	9	0,0
2025-05-14 10:00:00	5	14	10	0,0
2025-05-14 11:00:00	5	14	11	0,0
2025-05-14 12:00:00	5	14	12	0,0
2025-05-14 13:00:00	5	14	13	0,0
2025-05-14 14:00:00	5	14	14	0,0
2025-05-14 15:00:00	5	14	15	0,0
2025-05-14 16:00:00	5	14	16	0,0
2025-05-14 17:00:00	5	14	17	0,0
2025-05-14 18:00:00	5	14	18	0,0
2025-05-14 19:00:00	5	14	19	0,0
2025-05-14 20:00:00	5	14	20	0,0
2025-05-14 21:00:00	5	14	21	0,0
2025-05-14 22:00:00	5	14	22	0,0
2025-05-14 23:00:00	5	14	23	0,0
2025-05-15 00:00:00	5	15	0	0,0
2025-05-15 01:00:00	5	15	1	0,0
2025-05-15 02:00:00	5	15	2	0,0
2025-05-15 03:00:00	5	15	3	0,0
2025-05-15 04:00:00	5	15	4	0,0
2025-05-15 05:00:00	5	15	5	0,0
2025-05-15 06:00:00	5	15	6	0,0
2025-05-15 07:00:00	5	15	7	0,0
2025-05-15 08:00:00	5	15	8	0,0
2025-05-15 09:00:00	5	15	9	0,0
2025-05-15 10:00:00	5	15	10	0,0
2025-05-15 11:00:00	5	15	11	0,0
2025-05-15 12:00:00	5	15	12	0,0

Station 1 (km381) - T200 NO2

2025-05-15 13:00:00	5	15	13	0,0
2025-05-15 14:00:00	5	15	14	0,0
2025-05-15 15:00:00	5	15	15	0,0
2025-05-15 16:00:00	5	15	16	0,0
2025-05-15 17:00:00	5	15	17	0,0
2025-05-15 18:00:00	5	15	18	0,0
2025-05-15 19:00:00	5	15	19	0,0
2025-05-15 20:00:00	5	15	20	0,0
2025-05-15 21:00:00	5	15	21	0,0
2025-05-15 22:00:00	5	15	22	0,0
2025-05-15 23:00:00	5	15	23	0,0
2025-05-16 00:00:00	5	16	0	0,0
2025-05-16 01:00:00	5	16	1	0,0
2025-05-16 02:00:00	5	16	2	0,0
2025-05-16 03:00:00	5	16	3	0,0
2025-05-16 04:00:00	5	16	4	0,0
2025-05-16 05:00:00	5	16	5	0,0
2025-05-16 06:00:00	5	16	6	0,0
2025-05-16 07:00:00	5	16	7	0,0
2025-05-16 08:00:00	5	16	8	0,0
2025-05-16 09:00:00	5	16	9	0,0
2025-05-16 10:00:00	5	16	10	0,0
2025-05-16 11:00:00	5	16	11	0,0
2025-05-16 12:00:00	5	16	12	0,0
2025-05-16 13:00:00	5	16	13	0,0
2025-05-16 14:00:00	5	16	14	0,0
2025-05-16 15:00:00	5	16	15	0,0
2025-05-16 16:00:00	5	16	16	0,0
2025-05-16 17:00:00	5	16	17	0,0
2025-05-16 18:00:00	5	16	18	0,0
2025-05-16 19:00:00	5	16	19	0,0
2025-05-16 20:00:00	5	16	20	0,0
2025-05-16 21:00:00	5	16	21	0,0
2025-05-16 22:00:00	5	16	22	0,0
2025-05-16 23:00:00	5	16	23	0,0
2025-05-17 00:00:00	5	17	0	0,0
2025-05-17 01:00:00	5	17	1	0,0
2025-05-17 02:00:00	5	17	2	0,0
2025-05-17 03:00:00	5	17	3	0,0
2025-05-17 04:00:00	5	17	4	0,0
2025-05-17 05:00:00	5	17	5	0,0
2025-05-17 06:00:00	5	17	6	0,0
2025-05-17 07:00:00	5	17	7	0,0
2025-05-17 08:00:00	5	17	8	0,0
2025-05-17 09:00:00	5	17	9	0,0
2025-05-17 10:00:00	5	17	10	0,0
2025-05-17 11:00:00	5	17	11	0,0

Station 1 (km381) - T200 NO2

2025-05-17 12:00:00	5	17	12	0,0
2025-05-17 13:00:00	5	17	13	0,0
2025-05-17 14:00:00	5	17	14	0,0
2025-05-17 15:00:00	5	17	15	0,0
2025-05-17 16:00:00	5	17	16	0,0
2025-05-17 17:00:00	5	17	17	0,0
2025-05-17 18:00:00	5	17	18	0,0
2025-05-17 19:00:00	5	17	19	0,0
2025-05-17 20:00:00	5	17	20	0,0
2025-05-17 21:00:00	5	17	21	0,0
2025-05-17 22:00:00	5	17	22	0,0
2025-05-17 23:00:00	5	17	23	0,0
2025-05-18 00:00:00	5	18	0	0,0
2025-05-18 01:00:00	5	18	1	0,0
2025-05-18 02:00:00	5	18	2	0,0
2025-05-18 03:00:00	5	18	3	0,0
2025-05-18 04:00:00	5	18	4	0,0
2025-05-18 05:00:00	5	18	5	0,0
2025-05-18 06:00:00	5	18	6	0,0
2025-05-18 07:00:00	5	18	7	0,4
2025-05-18 08:00:00	5	18	8	0,4
2025-05-18 09:00:00	5	18	9	53,1
2025-05-18 10:00:00	5	18	10	95,0
2025-05-18 11:00:00	5	18	11	0,4
2025-05-18 12:00:00	5	18	12	0,4
2025-05-18 13:00:00	5	18	13	0,3
2025-05-18 14:00:00	5	18	14	0,3
2025-05-18 15:00:00	5	18	15	0,3
2025-05-18 16:00:00	5	18	16	0,4
2025-05-18 17:00:00	5	18	17	0,4
2025-05-18 18:00:00	5	18	18	0,3
2025-05-18 19:00:00	5	18	19	0,3
2025-05-18 20:00:00	5	18	20	0,4
2025-05-18 21:00:00	5	18	21	132,4
2025-05-18 22:00:00	5	18	22	8,8
2025-05-18 23:00:00	5	18	23	0,3
2025-05-19 00:00:00	5	19	0	0,3
2025-05-19 01:00:00	5	19	1	0,1
2025-05-19 02:00:00	5	19	2	0,1
2025-05-19 03:00:00	5	19	3	0,2
2025-05-19 04:00:00	5	19	4	0,2
2025-05-19 05:00:00	5	19	5	0,0
2025-05-19 06:00:00	5	19	6	0,1
2025-05-19 07:00:00	5	19	7	0,0
2025-05-19 08:00:00	5	19	8	0,0
2025-05-19 09:00:00	5	19	9	125,1
2025-05-19 10:00:00	5	19	10	0,0

Station 1 (km381) - T200 NO2

2025-05-19 11:00:00	5	19	11	0,1
2025-05-19 12:00:00	5	19	12	0,2
2025-05-19 13:00:00	5	19	13	0,2
2025-05-19 14:00:00	5	19	14	0,4
2025-05-19 15:00:00	5	19	15	0,4
2025-05-19 16:00:00	5	19	16	0,5
2025-05-19 17:00:00	5	19	17	0,5
2025-05-19 18:00:00	5	19	18	0,4
2025-05-19 19:00:00	5	19	19	0,6
2025-05-19 20:00:00	5	19	20	0,5
2025-05-19 21:00:00	5	19	21	144,7
2025-05-19 22:00:00	5	19	22	0,6
2025-05-19 23:00:00	5	19	23	0,5
2025-05-20 00:00:00	5	20	0	0,5
2025-05-20 01:00:00	5	20	1	0,5
2025-05-20 02:00:00	5	20	2	0,4
2025-05-20 03:00:00	5	20	3	0,4
2025-05-20 04:00:00	5	20	4	0,5
2025-05-20 05:00:00	5	20	5	0,3
2025-05-20 06:00:00	5	20	6	0,5
2025-05-20 07:00:00	5	20	7	0,0
2025-05-20 08:00:00	5	20	8	0,0
2025-05-20 09:00:00	5	20	9	0,0
2025-05-20 10:00:00	5	20	10	0,0
2025-05-20 11:00:00	5	20	11	0,0
2025-05-20 12:00:00	5	20	12	0,0
2025-05-20 13:00:00	5	20	13	0,0
2025-05-20 14:00:00	5	20	14	0,0
2025-05-20 15:00:00	5	20	15	0,2
2025-05-20 16:00:00	5	20	16	0,4
2025-05-20 17:00:00	5	20	17	0,7
2025-05-20 18:00:00	5	20	18	0,9
2025-05-20 19:00:00	5	20	19	1,2
2025-05-20 20:00:00	5	20	20	1,3
2025-05-20 21:00:00	5	20	21	168,5
2025-05-20 22:00:00	5	20	22	1,7
2025-05-20 23:00:00	5	20	23	2,0
2025-05-21 00:00:00	5	21	0	2,1
2025-05-21 01:00:00	5	21	1	2,1
2025-05-21 02:00:00	5	21	2	2,0
2025-05-21 03:00:00	5	21	3	2,1
2025-05-21 04:00:00	5	21	4	1,9
2025-05-21 05:00:00	5	21	5	1,8
2025-05-21 06:00:00	5	21	6	1,9
2025-05-21 07:00:00	5	21	7	1,6
2025-05-21 08:00:00	5	21	8	63,7
2025-05-21 09:00:00	5	21	9	108,1

Station 1 (km381) - T200 NO2

2025-05-21 10:00:00	5	21	10	2,2
2025-05-21 11:00:00	5	21	11	2,3
2025-05-21 12:00:00	5	21	12	2,5
2025-05-21 13:00:00	5	21	13	2,7
2025-05-21 14:00:00	5	21	14	2,8
2025-05-21 15:00:00	5	21	15	2,9
2025-05-21 16:00:00	5	21	16	2,9
2025-05-21 17:00:00	5	21	17	3,2
2025-05-21 18:00:00	5	21	18	3,1
2025-05-21 19:00:00	5	21	19	2,6
2025-05-21 20:00:00	5	21	20	175,4
2025-05-21 21:00:00	5	21	21	13,2
2025-05-21 22:00:00	5	21	22	3,0
2025-05-21 23:00:00	5	21	23	3,1
2025-05-22 00:00:00	5	22	0	3,1
2025-05-22 01:00:00	5	22	1	3,4
2025-05-22 02:00:00	5	22	2	3,4
2025-05-22 03:00:00	5	22	3	3,4
2025-05-22 04:00:00	5	22	4	3,4
2025-05-22 05:00:00	5	22	5	3,3
2025-05-22 06:00:00	5	22	6	3,3
2025-05-22 07:00:00	5	22	7	3,3
2025-05-22 08:00:00	5	22	8	199,7
2025-05-22 09:00:00	5	22	9	3,1
2025-05-22 10:00:00	5	22	10	3,0
2025-05-22 11:00:00	5	22	11	2,6
2025-05-22 12:00:00	5	22	12	3,0
2025-05-22 13:00:00	5	22	13	2,7
2025-05-22 14:00:00	5	22	14	2,2
2025-05-22 15:00:00	5	22	15	1,9
2025-05-22 16:00:00	5	22	16	1,7
2025-05-22 17:00:00	5	22	17	2,0
2025-05-22 18:00:00	5	22	18	0,0
2025-05-22 19:00:00	5	22	19	0,0
2025-05-22 20:00:00	5	22	20	0,0
2025-05-22 21:00:00	5	22	21	0,0
2025-05-22 22:00:00	5	22	22	0,0
2025-05-22 23:00:00	5	22	23	0,0
2025-05-23 00:00:00	5	23	0	0,0
2025-05-23 01:00:00	5	23	1	0,0
2025-05-23 02:00:00	5	23	2	0,0
2025-05-23 03:00:00	5	23	3	0,0
2025-05-23 04:00:00	5	23	4	0,0
2025-05-23 05:00:00	5	23	5	0,0
2025-05-23 06:00:00	5	23	6	0,0
2025-05-23 07:00:00	5	23	7	0,0
2025-05-23 08:00:00	5	23	8	115,3

Station 1 (km381) - T200 NO2

2025-05-23 09:00:00	5	23	9	0,0
2025-05-23 10:00:00	5	23	10	0,0
2025-05-23 11:00:00	5	23	11	0,0
2025-05-23 12:00:00	5	23	12	0,0
2025-05-23 13:00:00	5	23	13	0,0
2025-05-23 14:00:00	5	23	14	0,0
2025-05-23 15:00:00	5	23	15	0,0
2025-05-23 16:00:00	5	23	16	0,0
2025-05-23 17:00:00	5	23	17	0,0
2025-05-23 18:00:00	5	23	18	0,0
2025-05-23 19:00:00	5	23	19	0,0
2025-05-23 20:00:00	5	23	20	99,9
2025-05-23 21:00:00	5	23	21	0,0
2025-05-23 22:00:00	5	23	22	0,0
2025-05-23 23:00:00	5	23	23	0,1
2025-05-24 00:00:00	5	24	0	0,3
2025-05-24 01:00:00	5	24	1	0,3
2025-05-24 02:00:00	5	24	2	0,4
2025-05-24 03:00:00	5	24	3	0,0
2025-05-24 04:00:00	5	24	4	0,0
2025-05-24 05:00:00	5	24	5	0,0
2025-05-24 06:00:00	5	24	6	0,0
2025-05-24 07:00:00	5	24	7	30,3
2025-05-24 08:00:00	5	24	8	71,7
2025-05-24 09:00:00	5	24	9	0,0
2025-05-24 10:00:00	5	24	10	0,0
2025-05-24 11:00:00	5	24	11	0,0
2025-05-24 12:00:00	5	24	12	0,0
2025-05-24 13:00:00	5	24	13	0,0
2025-05-24 14:00:00	5	24	14	0,0
2025-05-24 15:00:00	5	24	15	0,0
2025-05-24 16:00:00	5	24	16	0,0
2025-05-24 17:00:00	5	24	17	0,0
2025-05-24 18:00:00	5	24	18	0,0
2025-05-24 19:00:00	5	24	19	94,1
2025-05-24 20:00:00	5	24	20	5,6
2025-05-24 21:00:00	5	24	21	0,0
2025-05-24 22:00:00	5	24	22	0,0
2025-05-24 23:00:00	5	24	23	0,0
2025-05-25 00:00:00	5	25	0	0,0
2025-05-25 01:00:00	5	25	1	0,0
2025-05-25 02:00:00	5	25	2	0,0
2025-05-25 03:00:00	5	25	3	0,0
2025-05-25 04:00:00	5	25	4	1,9
2025-05-25 05:00:00	5	25	5	0,0
2025-05-25 06:00:00	5	25	6	0,0
2025-05-25 07:00:00	5	25	7	99,8

Station 1 (km381) - T200 NO2

2025-05-25 08:00:00	5	25	8	0,0
2025-05-25 09:00:00	5	25	9	0,0
2025-05-25 10:00:00	5	25	10	0,0
2025-05-25 11:00:00	5	25	11	0,0
2025-05-25 12:00:00	5	25	12	0,0
2025-05-25 13:00:00	5	25	13	0,0
2025-05-25 14:00:00	5	25	14	0,0
2025-05-25 15:00:00	5	25	15	0,0
2025-05-25 16:00:00	5	25	16	0,0
2025-05-25 17:00:00	5	25	17	0,0
2025-05-25 18:00:00	5	25	18	0,0
2025-05-25 19:00:00	5	25	19	104,8
2025-05-25 20:00:00	5	25	20	0,0
2025-05-25 21:00:00	5	25	21	0,0
2025-05-25 22:00:00	5	25	22	0,0
2025-05-25 23:00:00	5	25	23	0,0
2025-05-26 00:00:00	5	26	0	0,0
2025-05-26 01:00:00	5	26	1	0,0
2025-05-26 02:00:00	5	26	2	0,0
2025-05-26 03:00:00	5	26	3	0,0
2025-05-26 04:00:00	5	26	4	0,0
2025-05-26 05:00:00	5	26	5	0,0
2025-05-26 06:00:00	5	26	6	0,4
2025-05-26 07:00:00	5	26	7	96,3
2025-05-26 08:00:00	5	26	8	0,0
2025-05-26 09:00:00	5	26	9	0,0
2025-05-26 10:00:00	5	26	10	0,0
2025-05-26 11:00:00	5	26	11	0,0
2025-05-26 12:00:00	5	26	12	0,0
2025-05-26 13:00:00	5	26	13	0,0
2025-05-26 14:00:00	5	26	14	0,0
2025-05-26 15:00:00	5	26	15	0,0
2025-05-26 16:00:00	5	26	16	0,0
2025-05-26 17:00:00	5	26	17	0,0
2025-05-26 18:00:00	5	26	18	0,0
2025-05-26 19:00:00	5	26	19	104,1
2025-05-26 20:00:00	5	26	20	0,0
2025-05-26 21:00:00	5	26	21	0,0
2025-05-26 22:00:00	5	26	22	0,0
2025-05-26 23:00:00	5	26	23	0,0
2025-05-27 00:00:00	5	27	0	0,0
2025-05-27 01:00:00	5	27	1	0,0
2025-05-27 02:00:00	5	27	2	0,0
2025-05-27 03:00:00	5	27	3	0,0
2025-05-27 04:00:00	5	27	4	0,0
2025-05-27 05:00:00	5	27	5	0,0
2025-05-27 06:00:00	5	27	6	27,4

Station 1 (km381) - T200 NO2

2025-05-27 07:00:00	5	27	7	69,6
2025-05-27 08:00:00	5	27	8	0,0
2025-05-27 09:00:00	5	27	9	0,0
2025-05-27 10:00:00	5	27	10	0,0
2025-05-27 11:00:00	5	27	11	0,0
2025-05-27 12:00:00	5	27	12	0,0
2025-05-27 13:00:00	5	27	13	0,0
2025-05-27 14:00:00	5	27	14	0,0
2025-05-27 15:00:00	5	27	15	0,0
2025-05-27 16:00:00	5	27	16	0,0
2025-05-27 17:00:00	5	27	17	0,0
2025-05-27 18:00:00	5	27	18	240,9
2025-05-27 19:00:00	5	27	19	5,9
2025-05-27 20:00:00	5	27	20	0,0
2025-05-27 21:00:00	5	27	21	0,0
2025-05-27 22:00:00	5	27	22	0,0
2025-05-27 23:00:00	5	27	23	0,0
2025-05-28 00:00:00	5	28	0	0,1
2025-05-28 01:00:00	5	28	1	0,0
2025-05-28 02:00:00	5	28	2	0,0
2025-05-28 03:00:00	5	28	3	0,0
2025-05-28 04:00:00	5	28	4	0,1
2025-05-28 05:00:00	5	28	5	3,2
2025-05-28 06:00:00	5	28	6	98,6
2025-05-28 07:00:00	5	28	7	0,0
2025-05-28 08:00:00	5	28	8	1,1
2025-05-28 09:00:00	5	28	9	0,0
2025-05-28 10:00:00	5	28	10	0,0
2025-05-28 11:00:00	5	28	11	0,0
2025-05-28 12:00:00	5	28	12	0,0
2025-05-28 13:00:00	5	28	13	0,0
2025-05-28 14:00:00	5	28	14	0,0
2025-05-28 15:00:00	5	28	15	0,0
2025-05-28 16:00:00	5	28	16	0,0
2025-05-28 17:00:00	5	28	17	0,0
2025-05-28 18:00:00	5	28	18	106,8
2025-05-28 19:00:00	5	28	19	0,0
2025-05-28 20:00:00	5	28	20	0,0
2025-05-28 21:00:00	5	28	21	0,0
2025-05-28 22:00:00	5	28	22	0,0
2025-05-28 23:00:00	5	28	23	0,0
2025-05-29 00:00:00	5	29	0	0,0
2025-05-29 01:00:00	5	29	1	0,0
2025-05-29 02:00:00	5	29	2	0,0
2025-05-29 03:00:00	5	29	3	0,0
2025-05-29 04:00:00	5	29	4	0,0
2025-05-29 05:00:00	5	29	5	3,0

Station 1 (km381) - T200 NO2

2025-05-29 06:00:00	5	29	6	105,1
2025-05-29 07:00:00	5	29	7	2,3
2025-05-29 08:00:00	5	29	8	0,0
2025-05-29 09:00:00	5	29	9	1,1
2025-05-29 10:00:00	5	29	10	0,0
2025-05-29 11:00:00	5	29	11	0,4
2025-05-29 12:00:00	5	29	12	0,0
2025-05-29 13:00:00	5	29	13	0,0
2025-05-29 14:00:00	5	29	14	0,0
2025-05-29 15:00:00	5	29	15	0,0
2025-05-29 16:00:00	5	29	16	0,0
2025-05-29 17:00:00	5	29	17	0,0
2025-05-29 18:00:00	5	29	18	100,1
2025-05-29 19:00:00	5	29	19	0,8
2025-05-29 20:00:00	5	29	20	0,0
2025-05-29 21:00:00	5	29	21	0,5
2025-05-29 22:00:00	5	29	22	0,0
2025-05-29 23:00:00	5	29	23	0,0
2025-05-30 00:00:00	5	30	0	0,0
2025-05-30 01:00:00	5	30	1	0,0
2025-05-30 02:00:00	5	30	2	0,0
2025-05-30 03:00:00	5	30	3	0,0
2025-05-30 04:00:00	5	30	4	0,0
2025-05-30 05:00:00	5	30	5	39,5
2025-05-30 06:00:00	5	30	6	73,0
2025-05-30 07:00:00	5	30	7	0,0
2025-05-30 08:00:00	5	30	8	0,0
2025-05-30 09:00:00	5	30	9	0,0
2025-05-30 10:00:00	5	30	10	0,0
2025-05-30 11:00:00	5	30	11	0,0
2025-05-30 12:00:00	5	30	12	0,0
2025-05-30 13:00:00	5	30	13	0,0
2025-05-30 14:00:00	5	30	14	0,0
2025-05-30 15:00:00	5	30	15	0,0
2025-05-30 16:00:00	5	30	16	0,0
2025-05-30 17:00:00	5	30	17	93,3
2025-05-30 18:00:00	5	30	18	6,3
2025-05-30 19:00:00	5	30	19	0,0
2025-05-30 20:00:00	5	30	20	0,0
2025-05-30 21:00:00	5	30	21	0,0
2025-05-30 22:00:00	5	30	22	0,0
2025-05-30 23:00:00	5	30	23	0,0
2025-05-31 00:00:00	5	31	0	0,6
2025-05-31 01:00:00	5	31	1	0,5
2025-05-31 02:00:00	5	31	2	0,1
2025-05-31 03:00:00	5	31	3	0,8
2025-05-31 04:00:00	5	31	4	0,5

Station 1 (km381) - T200 NO2

2025-05-31 05:00:00	5	31	5	115,4
2025-05-31 06:00:00	5	31	6	0,0
2025-05-31 07:00:00	5	31	7	0,0
2025-05-31 08:00:00	5	31	8	0,0
2025-05-31 09:00:00	5	31	9	0,0
2025-05-31 10:00:00	5	31	10	0,0
2025-05-31 11:00:00	5	31	11	0,0
2025-05-31 12:00:00	5	31	12	0,0
2025-05-31 13:00:00	5	31	13	0,0
2025-05-31 14:00:00	5	31	14	0,0
2025-05-31 15:00:00	5	31	15	0,0
2025-05-31 16:00:00	5	31	16	0,0
2025-05-31 17:00:00	5	31	17	100,8
2025-05-31 18:00:00	5	31	18	0,0
2025-05-31 19:00:00	5	31	19	0,0
2025-05-31 20:00:00	5	31	20	0,0
2025-05-31 21:00:00	5	31	21	0,0
2025-05-31 22:00:00	5	31	22	0,0
2025-05-31 23:00:00	5	31	23	0,0
2025-06-01 00:00:00	6	1	0	0,0
2025-06-01 01:00:00	6	1	1	0,0
2025-06-01 02:00:00	6	1	2	0,0
2025-06-01 03:00:00	6	1	3	0,0
2025-06-01 04:00:00	6	1	4	0,0
2025-06-01 05:00:00	6	1	5	99,9
2025-06-01 06:00:00	6	1	6	0,0
2025-06-01 07:00:00	6	1	7	0,0
2025-06-01 08:00:00	6	1	8	0,0
2025-06-01 09:00:00	6	1	9	0,0
2025-06-01 10:00:00	6	1	10	0,0
2025-06-01 11:00:00	6	1	11	0,0
2025-06-01 12:00:00	6	1	12	0,0
2025-06-01 13:00:00	6	1	13	0,0
2025-06-01 14:00:00	6	1	14	0,0
2025-06-01 15:00:00	6	1	15	0,0
2025-06-01 16:00:00	6	1	16	0,0
2025-06-01 17:00:00	6	1	17	99,3
2025-06-01 18:00:00	6	1	18	0,0
2025-06-01 19:00:00	6	1	19	0,0
2025-06-01 20:00:00	6	1	20	0,0
2025-06-01 21:00:00	6	1	21	0,0
2025-06-01 22:00:00	6	1	22	0,0
2025-06-01 23:00:00	6	1	23	0,1
2025-06-02 00:00:00	6	2	0	0,0
2025-06-02 01:00:00	6	2	1	0,0
2025-06-02 02:00:00	6	2	2	0,0
2025-06-02 03:00:00	6	2	3	0,0

Station 1 (km381) - T200 NO2

2025-06-02 04:00:00	6	2	4	29,2
2025-06-02 05:00:00	6	2	5	71,7
2025-06-02 06:00:00	6	2	6	0,0
2025-06-02 07:00:00	6	2	7	0,3
2025-06-02 08:00:00	6	2	8	0,0
2025-06-02 09:00:00	6	2	9	0,0
2025-06-02 10:00:00	6	2	10	0,0
2025-06-02 11:00:00	6	2	11	0,0
2025-06-02 12:00:00	6	2	12	0,0
2025-06-02 13:00:00	6	2	13	0,0
2025-06-02 14:00:00	6	2	14	0,0
2025-06-02 15:00:00	6	2	15	0,0
2025-06-02 16:00:00	6	2	16	91,1
2025-06-02 17:00:00	6	2	17	5,7
2025-06-02 18:00:00	6	2	18	0,0
2025-06-02 19:00:00	6	2	19	0,0
2025-06-02 20:00:00	6	2	20	0,0
2025-06-02 21:00:00	6	2	21	0,0
2025-06-02 22:00:00	6	2	22	0,0
2025-06-02 23:00:00	6	2	23	0,0
2025-06-03 00:00:00	6	3	0	0,0
2025-06-03 01:00:00	6	3	1	0,0
2025-06-03 02:00:00	6	3	2	0,0
2025-06-03 03:00:00	6	3	3	0,0
2025-06-03 04:00:00	6	3	4	103,1
2025-06-03 05:00:00	6	3	5	0,0
2025-06-03 06:00:00	6	3	6	0,0
2025-06-03 07:00:00	6	3	7	0,0
2025-06-03 08:00:00	6	3	8	0,0
2025-06-03 09:00:00	6	3	9	0,0
2025-06-03 10:00:00	6	3	10	0,0
2025-06-03 11:00:00	6	3	11	0,0
2025-06-03 12:00:00	6	3	12	0,0
2025-06-03 13:00:00	6	3	13	0,0
2025-06-03 14:00:00	6	3	14	0,5
2025-06-03 15:00:00	6	3	15	0,0
2025-06-03 16:00:00	6	3	16	0,0
2025-06-03 17:00:00	6	3	17	0,0
2025-06-03 18:00:00	6	3	18	0,2
2025-06-03 19:00:00	6	3	19	1,2
2025-06-03 20:00:00	6	3	20	0,9
2025-06-03 21:00:00	6	3	21	0,0
2025-06-03 22:00:00	6	3	22	0,6
2025-06-03 23:00:00	6	3	23	0,0
2025-06-04 00:00:00	6	4	0	0,0
2025-06-04 01:00:00	6	4	1	0,0
2025-06-04 02:00:00	6	4	2	0,0

Station 1 (km381) - T200 NO2

2025-06-04 03:00:00	6	4	3	0,0
2025-06-04 04:00:00	6	4	4	100,0
2025-06-04 05:00:00	6	4	5	0,0
2025-06-04 06:00:00	6	4	6	0,0
2025-06-04 07:00:00	6	4	7	0,0
2025-06-04 08:00:00	6	4	8	0,0
2025-06-04 09:00:00	6	4	9	0,0
2025-06-04 10:00:00	6	4	10	0,0
2025-06-04 11:00:00	6	4	11	0,0
2025-06-04 12:00:00	6	4	12	0,3
2025-06-04 13:00:00	6	4	13	0,6
2025-06-04 14:00:00	6	4	14	0,7
2025-06-04 15:00:00	6	4	15	0,9
2025-06-04 16:00:00	6	4	16	101,8
2025-06-04 17:00:00	6	4	17	2,5
2025-06-04 18:00:00	6	4	18	1,9
2025-06-04 19:00:00	6	4	19	3,6
2025-06-05 08:00:00	6	5	8	5,8
2025-06-05 09:00:00	6	5	9	0,7
2025-06-05 10:00:00	6	5	10	0,8
2025-06-05 11:00:00	6	5	11	0,5
2025-06-05 12:00:00	6	5	12	1,0
2025-06-05 13:00:00	6	5	13	1,3
2025-06-05 14:00:00	6	5	14	1,2
2025-06-05 15:00:00	6	5	15	95,4
2025-06-05 16:00:00	6	5	16	8,1
2025-06-05 17:00:00	6	5	17	1,4
2025-06-05 18:00:00	6	5	18	1,2
2025-06-05 19:00:00	6	5	19	1,0
2025-06-05 20:00:00	6	5	20	1,5
2025-06-05 21:00:00	6	5	21	1,1
2025-06-05 22:00:00	6	5	22	0,5
2025-06-05 23:00:00	6	5	23	0,4
2025-06-06 00:00:00	6	6	0	0,2
2025-06-06 01:00:00	6	6	1	0,7
2025-06-06 02:00:00	6	6	2	0,3
2025-06-06 03:00:00	6	6	3	99,1
2025-06-06 04:00:00	6	6	4	1,6
2025-06-06 05:00:00	6	6	5	12,6
2025-06-06 06:00:00	6	6	6	6,3
2025-06-06 07:00:00	6	6	7	0,0
2025-06-06 08:00:00	6	6	8	0,0
2025-06-06 09:00:00	6	6	9	0,0
2025-06-06 10:00:00	6	6	10	0,0
2025-06-06 11:00:00	6	6	11	0,0
2025-06-06 12:00:00	6	6	12	0,0
2025-06-06 13:00:00	6	6	13	0,0

Station 1 (km381) - T200 NO2

2025-06-06 14:00:00	6	6	14	0,0
2025-06-06 15:00:00	6	6	15	102,8
2025-06-06 16:00:00	6	6	16	0,0
2025-06-06 17:00:00	6	6	17	0,0
2025-06-06 18:00:00	6	6	18	0,0
2025-06-06 19:00:00	6	6	19	0,0
2025-06-06 20:00:00	6	6	20	0,0
2025-06-06 21:00:00	6	6	21	0,0
2025-06-06 22:00:00	6	6	22	0,0
2025-06-06 23:00:00	6	6	23	0,0
2025-06-07 00:00:00	6	7	0	0,0
2025-06-07 01:00:00	6	7	1	0,0
2025-06-07 02:00:00	6	7	2	0,0
2025-06-07 03:00:00	6	7	3	99,5
2025-06-07 04:00:00	6	7	4	0,3
2025-06-07 05:00:00	6	7	5	1,2
2025-06-07 06:00:00	6	7	6	0,0
2025-06-07 07:00:00	6	7	7	0,0
2025-06-07 08:00:00	6	7	8	0,0
2025-06-07 09:00:00	6	7	9	0,0
2025-06-07 10:00:00	6	7	10	0,0
2025-06-07 11:00:00	6	7	11	0,0
2025-06-07 12:00:00	6	7	12	0,0
2025-06-07 13:00:00	6	7	13	0,0
2025-06-07 14:00:00	6	7	14	0,0
2025-06-07 15:00:00	6	7	15	100,5
2025-06-07 16:00:00	6	7	16	0,0
2025-06-07 17:00:00	6	7	17	0,0
2025-06-07 18:00:00	6	7	18	0,0
2025-06-07 19:00:00	6	7	19	0,0
2025-06-07 20:00:00	6	7	20	0,0
2025-06-07 21:00:00	6	7	21	0,0
2025-06-07 22:00:00	6	7	22	0,0
2025-06-07 23:00:00	6	7	23	0,0
2025-06-08 00:00:00	6	8	0	0,0
2025-06-08 01:00:00	6	8	1	0,0
2025-06-08 02:00:00	6	8	2	26,7
2025-06-08 03:00:00	6	8	3	69,2
2025-06-08 04:00:00	6	8	4	0,0
2025-06-08 05:00:00	6	8	5	0,0
2025-06-08 06:00:00	6	8	6	0,0
2025-06-08 07:00:00	6	8	7	0,0
2025-06-08 08:00:00	6	8	8	0,1
2025-06-08 09:00:00	6	8	9	0,0
2025-06-08 10:00:00	6	8	10	0,0
2025-06-08 11:00:00	6	8	11	0,0
2025-06-08 12:00:00	6	8	12	0,0

Station 1 (km381) - T200 NO2

2025-06-08 13:00:00	6	8	13	0,0
2025-06-08 14:00:00	6	8	14	96,0
2025-06-08 15:00:00	6	8	15	7,5
2025-06-08 16:00:00	6	8	16	0,0
2025-06-08 17:00:00	6	8	17	0,1
2025-06-08 18:00:00	6	8	18	0,1
2025-06-08 19:00:00	6	8	19	0,0
2025-06-08 20:00:00	6	8	20	0,0
2025-06-08 21:00:00	6	8	21	0,0
2025-06-08 22:00:00	6	8	22	0,0
2025-06-08 23:00:00	6	8	23	0,0
2025-06-09 00:00:00	6	9	0	0,0
2025-06-09 01:00:00	6	9	1	0,0
2025-06-09 02:00:00	6	9	2	97,6
2025-06-09 03:00:00	6	9	3	0,0
2025-06-09 04:00:00	6	9	4	0,0
2025-06-09 05:00:00	6	9	5	0,0
2025-06-09 06:00:00	6	9	6	0,0
2025-06-09 07:00:00	6	9	7	0,0
2025-06-09 08:00:00	6	9	8	0,0
2025-06-09 09:00:00	6	9	9	0,0
2025-06-09 10:00:00	6	9	10	0,0
2025-06-09 11:00:00	6	9	11	0,0
2025-06-09 12:00:00	6	9	12	0,0
2025-06-09 13:00:00	6	9	13	0,0
2025-06-09 14:00:00	6	9	14	102,4
2025-06-09 15:00:00	6	9	15	0,0
2025-06-09 16:00:00	6	9	16	0,0
2025-06-09 17:00:00	6	9	17	0,0
2025-06-09 18:00:00	6	9	18	0,0
2025-06-09 19:00:00	6	9	19	0,0
2025-06-09 20:00:00	6	9	20	0,0
2025-06-09 21:00:00	6	9	21	0,0
2025-06-09 22:00:00	6	9	22	0,0
2025-06-09 23:00:00	6	9	23	0,0
2025-06-10 00:00:00	6	10	0	0,0
2025-06-10 01:00:00	6	10	1	0,0
2025-06-10 02:00:00	6	10	2	97,4
2025-06-10 03:00:00	6	10	3	0,0
2025-06-10 04:00:00	6	10	4	1,9
2025-06-10 05:00:00	6	10	5	0,0
2025-06-10 06:00:00	6	10	6	0,0
2025-06-10 07:00:00	6	10	7	0,0
2025-06-10 08:00:00	6	10	8	0,0
2025-06-10 09:00:00	6	10	9	0,0
2025-06-10 10:00:00	6	10	10	0,0
2025-06-10 11:00:00	6	10	11	0,0

Station 1 (km381) - T200 NO2

2025-06-10 12:00:00	6	10	12	0,0
2025-06-10 13:00:00	6	10	13	0,0
2025-06-10 14:00:00	6	10	14	99,1
2025-06-10 15:00:00	6	10	15	0,0
2025-06-10 16:00:00	6	10	16	1,3
2025-06-10 17:00:00	6	10	17	0,0
2025-06-10 18:00:00	6	10	18	0,0
2025-06-10 19:00:00	6	10	19	0,0
2025-06-10 20:00:00	6	10	20	0,0
2025-06-10 21:00:00	6	10	21	0,0
2025-06-10 22:00:00	6	10	22	0,0
2025-06-10 23:00:00	6	10	23	0,0
2025-06-11 00:00:00	6	11	0	0,0
2025-06-11 01:00:00	6	11	1	80,2
2025-06-11 02:00:00	6	11	2	71,2
2025-06-11 03:00:00	6	11	3	0,0
2025-06-11 04:00:00	6	11	4	0,2
2025-06-11 05:00:00	6	11	5	0,0
2025-06-11 06:00:00	6	11	6	0,4
2025-06-11 07:00:00	6	11	7	0,0
2025-06-11 08:00:00	6	11	8	0,0
2025-06-11 09:00:00	6	11	9	0,0
2025-06-11 10:00:00	6	11	10	0,0
2025-06-11 11:00:00	6	11	11	0,0
2025-06-11 12:00:00	6	11	12	0,0
2025-06-11 13:00:00	6	11	13	91,3
2025-06-11 14:00:00	6	11	14	5,8
2025-06-11 15:00:00	6	11	15	0,0
2025-06-11 16:00:00	6	11	16	0,0
2025-06-11 17:00:00	6	11	17	0,0
2025-06-11 18:00:00	6	11	18	0,0
2025-06-11 19:00:00	6	11	19	0,0
2025-06-11 20:00:00	6	11	20	0,0
2025-06-11 21:00:00	6	11	21	0,0
2025-06-11 22:00:00	6	11	22	0,0
2025-06-11 23:00:00	6	11	23	0,0
2025-06-12 00:00:00	6	12	0	0,0
2025-06-12 01:00:00	6	12	1	97,6
2025-06-12 02:00:00	6	12	2	0,0
2025-06-12 03:00:00	6	12	3	0,0
2025-06-12 04:00:00	6	12	4	0,0
2025-06-12 05:00:00	6	12	5	0,0
2025-06-12 06:00:00	6	12	6	0,0
2025-06-12 07:00:00	6	12	7	0,0
2025-06-12 08:00:00	6	12	8	0,0
2025-06-12 09:00:00	6	12	9	0,0
2025-06-12 10:00:00	6	12	10	0,0

Station 1 (km381) - T200 NO2

2025-06-12 11:00:00	6	12	11	0,0
2025-06-12 12:00:00	6	12	12	0,0
2025-06-12 13:00:00	6	12	13	98,4
2025-06-12 14:00:00	6	12	14	0,0
2025-06-12 15:00:00	6	12	15	0,0
2025-06-12 16:00:00	6	12	16	0,0
2025-06-12 17:00:00	6	12	17	0,0
2025-06-12 18:00:00	6	12	18	0,0
2025-06-12 19:00:00	6	12	19	0,0
2025-06-12 20:00:00	6	12	20	0,0
2025-06-12 21:00:00	6	12	21	0,0
2025-06-12 22:00:00	6	12	22	0,0
2025-06-12 23:00:00	6	12	23	0,0
2025-06-13 00:00:00	6	13	0	0,0
2025-06-13 01:00:00	6	13	1	110,8
2025-06-13 02:00:00	6	13	2	0,0
2025-06-13 03:00:00	6	13	3	0,0
2025-06-13 04:00:00	6	13	4	0,0
2025-06-13 05:00:00	6	13	5	0,0
2025-06-13 06:00:00	6	13	6	0,0
2025-06-13 07:00:00	6	13	7	0,0
2025-06-13 08:00:00	6	13	8	0,0
2025-06-13 09:00:00	6	13	9	0,0
2025-06-13 10:00:00	6	13	10	0,0
2025-06-13 11:00:00	6	13	11	0,4
2025-06-13 12:00:00	6	13	12	0,0
2025-06-13 13:00:00	6	13	13	108,0
2025-06-13 14:00:00	6	13	14	0,0
2025-06-13 15:00:00	6	13	15	0,0
2025-06-13 16:00:00	6	13	16	0,0
2025-06-13 17:00:00	6	13	17	0,0
2025-06-13 18:00:00	6	13	18	0,0
2025-06-13 19:00:00	6	13	19	0,3
2025-06-13 20:00:00	6	13	20	0,2
2025-06-13 21:00:00	6	13	21	0,2
2025-06-13 22:00:00	6	13	22	0,2
2025-06-13 23:00:00	6	13	23	0,2
2025-06-14 00:00:00	6	14	0	41,5
2025-06-14 01:00:00	6	14	1	80,1
2025-06-14 02:00:00	6	14	2	0,3
2025-06-14 03:00:00	6	14	3	0,7
2025-06-14 04:00:00	6	14	4	1,5
2025-06-14 05:00:00	6	14	5	0,8
2025-06-14 06:00:00	6	14	6	1,2
2025-06-14 07:00:00	6	14	7	0,0
2025-06-14 08:00:00	6	14	8	0,0
2025-06-14 09:00:00	6	14	9	0,6

Station 1 (km381) - T200 NO2

2025-06-14 10:00:00	6	14	10	0,4
2025-06-14 11:00:00	6	14	11	0,0
2025-06-14 12:00:00	6	14	12	95,1
2025-06-14 13:00:00	6	14	13	6,0
2025-06-14 14:00:00	6	14	14	0,0
2025-06-14 15:00:00	6	14	15	0,7
2025-06-14 16:00:00	6	14	16	0,0
2025-06-14 17:00:00	6	14	17	0,0
2025-06-14 18:00:00	6	14	18	0,0
2025-06-14 19:00:00	6	14	19	0,0
2025-06-14 20:00:00	6	14	20	0,0
2025-06-14 21:00:00	6	14	21	0,0
2025-06-14 22:00:00	6	14	22	0,0
2025-06-14 23:00:00	6	14	23	0,0
2025-06-15 00:00:00	6	15	0	98,5
2025-06-15 01:00:00	6	15	1	0,0
2025-06-15 02:00:00	6	15	2	0,0
2025-06-15 03:00:00	6	15	3	0,0
2025-06-15 04:00:00	6	15	4	0,0
2025-06-15 05:00:00	6	15	5	0,0
2025-06-15 06:00:00	6	15	6	0,0
2025-06-15 07:00:00	6	15	7	0,0
2025-06-15 08:00:00	6	15	8	0,0
2025-06-15 09:00:00	6	15	9	0,0
2025-06-15 10:00:00	6	15	10	0,0
2025-06-15 11:00:00	6	15	11	0,0
2025-06-15 12:00:00	6	15	12	98,8
2025-06-15 13:00:00	6	15	13	0,0
2025-06-15 14:00:00	6	15	14	0,0
2025-06-15 15:00:00	6	15	15	0,0
2025-06-15 16:00:00	6	15	16	0,0
2025-06-15 17:00:00	6	15	17	0,0
2025-06-15 18:00:00	6	15	18	0,0
2025-06-15 19:00:00	6	15	19	0,0
2025-06-15 20:00:00	6	15	20	0,0
2025-06-15 21:00:00	6	15	21	0,0
2025-06-15 22:00:00	6	15	22	0,0
2025-06-15 23:00:00	6	15	23	0,0
2025-06-16 00:00:00	6	16	0	99,6
2025-06-16 01:00:00	6	16	1	0,0
2025-06-16 02:00:00	6	16	2	0,0
2025-06-16 03:00:00	6	16	3	0,0
2025-06-16 04:00:00	6	16	4	0,0
2025-06-16 05:00:00	6	16	5	0,0
2025-06-16 06:00:00	6	16	6	0,0
2025-06-16 07:00:00	6	16	7	0,0
2025-06-16 08:00:00	6	16	8	0,0

Station 1 (km381) - T200 NO2

2025-06-16 09:00:00	6	16	9	0,0
2025-06-16 10:00:00	6	16	10	0,0
2025-06-16 11:00:00	6	16	11	0,0
2025-06-16 12:00:00	6	16	12	106,5
2025-06-16 13:00:00	6	16	13	0,3
2025-06-16 14:00:00	6	16	14	0,5
2025-06-16 15:00:00	6	16	15	0,0
2025-06-16 16:00:00	6	16	16	0,0
2025-06-16 17:00:00	6	16	17	0,0
2025-06-16 18:00:00	6	16	18	0,0
2025-06-16 19:00:00	6	16	19	0,0
2025-06-16 20:00:00	6	16	20	0,0
2025-06-16 21:00:00	6	16	21	3,5
2025-06-16 22:00:00	6	16	22	1,3
2025-06-16 23:00:00	6	16	23	33,0
2025-06-17 00:00:00	6	17	0	72,2
2025-06-17 01:00:00	6	17	1	0,0
2025-06-17 02:00:00	6	17	2	0,0
2025-06-17 03:00:00	6	17	3	0,0
2025-06-17 04:00:00	6	17	4	0,0
2025-06-17 05:00:00	6	17	5	0,0
2025-06-17 06:00:00	6	17	6	0,0
2025-06-17 07:00:00	6	17	7	0,0
2025-06-17 08:00:00	6	17	8	0,0
2025-06-17 09:00:00	6	17	9	0,0
2025-06-17 10:00:00	6	17	10	0,0
2025-06-17 11:00:00	6	17	11	100,7
2025-06-17 12:00:00	6	17	12	6,5
2025-06-17 13:00:00	6	17	13	0,0
2025-06-17 14:00:00	6	17	14	0,0
2025-06-17 15:00:00	6	17	15	0,0
2025-06-17 16:00:00	6	17	16	0,0
2025-06-17 17:00:00	6	17	17	0,0
2025-06-17 18:00:00	6	17	18	0,0
2025-06-17 19:00:00	6	17	19	0,0
2025-06-17 20:00:00	6	17	20	0,0
2025-06-17 21:00:00	6	17	21	0,0
2025-06-17 22:00:00	6	17	22	0,0
2025-06-17 23:00:00	6	17	23	98,3
2025-06-18 00:00:00	6	18	0	0,0
2025-06-18 01:00:00	6	18	1	0,0
2025-06-18 02:00:00	6	18	2	0,0
2025-06-18 03:00:00	6	18	3	0,0
2025-06-18 04:00:00	6	18	4	0,0
2025-06-18 05:00:00	6	18	5	3,1
2025-06-18 06:00:00	6	18	6	2,6
2025-06-18 07:00:00	6	18	7	2,8

Station 1 (km381) - T200 NO2

2025-06-18 08:00:00	6	18	8	0,0
2025-06-18 09:00:00	6	18	9	0,0
2025-06-18 10:00:00	6	18	10	0,0
2025-06-18 11:00:00	6	18	11	99,8
2025-06-18 12:00:00	6	18	12	1,8
2025-06-18 13:00:00	6	18	13	0,0
2025-06-18 14:00:00	6	18	14	0,0
2025-06-18 15:00:00	6	18	15	0,0
2025-06-18 16:00:00	6	18	16	0,1
2025-06-18 17:00:00	6	18	17	0,0
2025-06-18 18:00:00	6	18	18	0,0
2025-06-18 19:00:00	6	18	19	0,1
2025-06-18 20:00:00	6	18	20	0,3
2025-06-18 21:00:00	6	18	21	1,1
2025-06-18 22:00:00	6	18	22	0,4
2025-06-18 23:00:00	6	18	23	122,7
2025-06-19 00:00:00	6	19	0	0,3
2025-06-19 01:00:00	6	19	1	0,4
2025-06-19 02:00:00	6	19	2	0,3
2025-06-19 03:00:00	6	19	3	0,2
2025-06-19 04:00:00	6	19	4	0,2
2025-06-19 05:00:00	6	19	5	0,2
2025-06-19 06:00:00	6	19	6	0,2
2025-06-19 07:00:00	6	19	7	0,3
2025-06-19 08:00:00	6	19	8	0,3
2025-06-19 09:00:00	6	19	9	0,3
2025-06-19 10:00:00	6	19	10	0,0
2025-06-19 11:00:00	6	19	11	101,9
2025-06-19 12:00:00	6	19	12	0,0
2025-06-19 13:00:00	6	19	13	0,0
2025-06-19 14:00:00	6	19	14	0,2
2025-06-19 15:00:00	6	19	15	0,4
2025-06-19 16:00:00	6	19	16	0,4
2025-06-19 17:00:00	6	19	17	0,5
2025-06-19 18:00:00	6	19	18	0,6
2025-06-19 19:00:00	6	19	19	0,7
2025-06-19 20:00:00	6	19	20	0,7
2025-06-19 21:00:00	6	19	21	0,7
2025-06-19 22:00:00	6	19	22	52,7
2025-06-19 23:00:00	6	19	23	92,6
2025-06-20 00:00:00	6	20	0	0,6
2025-06-20 01:00:00	6	20	1	0,6
2025-06-20 02:00:00	6	20	2	0,6
2025-06-20 03:00:00	6	20	3	1,8
2025-06-20 04:00:00	6	20	4	1,6
2025-06-20 05:00:00	6	20	5	35,8
2025-06-20 06:00:00	6	20	6	0,7

Station 1 (km381) - T200 NO2

2025-06-20 07:00:00	6	20	7	0,6
2025-06-20 08:00:00	6	20	8	0,8
2025-06-20 09:00:00	6	20	9	0,9
2025-06-20 10:00:00	6	20	10	149,6
2025-06-20 11:00:00	6	20	11	9,7
2025-06-20 12:00:00	6	20	12	1,0
2025-06-20 13:00:00	6	20	13	1,1
2025-06-20 14:00:00	6	20	14	0,0
2025-06-20 15:00:00	6	20	15	0,0
2025-06-20 16:00:00	6	20	16	0,0
2025-06-20 17:00:00	6	20	17	0,0
2025-06-20 18:00:00	6	20	18	0,0
2025-06-20 19:00:00	6	20	19	0,0
2025-06-20 20:00:00	6	20	20	0,0
2025-06-20 21:00:00	6	20	21	0,0
2025-06-20 22:00:00	6	20	22	98,8
2025-06-20 23:00:00	6	20	23	0,0
2025-06-21 00:00:00	6	21	0	0,0
2025-06-21 01:00:00	6	21	1	0,0
2025-06-21 02:00:00	6	21	2	0,0
2025-06-21 03:00:00	6	21	3	0,0
2025-06-21 04:00:00	6	21	4	1,3
2025-06-21 05:00:00	6	21	5	0,0
2025-06-21 06:00:00	6	21	6	0,0
2025-06-21 07:00:00	6	21	7	0,0
2025-06-21 08:00:00	6	21	8	0,0
2025-06-21 09:00:00	6	21	9	0,0
2025-06-21 10:00:00	6	21	10	111,3
2025-06-21 11:00:00	6	21	11	0,0
2025-06-21 12:00:00	6	21	12	0,0
2025-06-21 13:00:00	6	21	13	0,0
2025-06-21 14:00:00	6	21	14	0,0
2025-06-21 15:00:00	6	21	15	0,0
2025-06-21 16:00:00	6	21	16	0,0
2025-06-21 17:00:00	6	21	17	0,0
2025-06-21 18:00:00	6	21	18	0,0
2025-06-21 19:00:00	6	21	19	0,0
2025-06-21 20:00:00	6	21	20	0,0
2025-06-21 21:00:00	6	21	21	0,0
2025-06-21 22:00:00	6	21	22	0,0
2025-06-21 23:00:00	6	21	23	0,0
2025-06-22 00:00:00	6	22	0	0,0
2025-06-22 01:00:00	6	22	1	0,0
2025-06-22 02:00:00	6	22	2	0,0
2025-06-22 03:00:00	6	22	3	0,0
2025-06-22 04:00:00	6	22	4	0,0
2025-06-22 05:00:00	6	22	5	0,0

Station 1 (km381) - T200 NO2

2025-06-22 06:00:00	6	22	6	0,0
2025-06-22 07:00:00	6	22	7	0,0
2025-06-22 08:00:00	6	22	8	0,0
2025-06-22 09:00:00	6	22	9	0,0
2025-06-22 10:00:00	6	22	10	0,0
2025-06-22 11:00:00	6	22	11	0,0
2025-06-22 12:00:00	6	22	12	0,0
2025-06-22 13:00:00	6	22	13	0,0
2025-06-22 14:00:00	6	22	14	0,0
2025-06-22 15:00:00	6	22	15	0,0
2025-06-22 16:00:00	6	22	16	0,0
2025-06-22 17:00:00	6	22	17	0,0
2025-06-22 18:00:00	6	22	18	0,0
2025-06-22 19:00:00	6	22	19	0,0
2025-06-22 20:00:00	6	22	20	0,0
2025-06-22 21:00:00	6	22	21	0,0
2025-06-22 22:00:00	6	22	22	0,0
2025-06-22 23:00:00	6	22	23	0,0
2025-06-23 00:00:00	6	23	0	0,0
2025-06-23 01:00:00	6	23	1	0,0
2025-06-23 02:00:00	6	23	2	0,0
2025-06-23 03:00:00	6	23	3	0,0
2025-06-23 04:00:00	6	23	4	0,0
2025-06-23 05:00:00	6	23	5	0,0
2025-06-23 06:00:00	6	23	6	0,0
2025-06-23 07:00:00	6	23	7	0,0
2025-06-23 08:00:00	6	23	8	0,0
2025-06-23 09:00:00	6	23	9	89,3
2025-06-23 10:00:00	6	23	10	4,9
2025-06-23 11:00:00	6	23	11	0,0
2025-06-23 12:00:00	6	23	12	0,0
2025-06-23 13:00:00	6	23	13	0,0
2025-06-23 14:00:00	6	23	14	0,0
2025-06-23 15:00:00	6	23	15	0,0
2025-06-23 16:00:00	6	23	16	0,0
2025-06-23 17:00:00	6	23	17	0,0
2025-06-23 18:00:00	6	23	18	0,0
2025-06-23 19:00:00	6	23	19	0,0
2025-06-23 20:00:00	6	23	20	0,0
2025-06-23 21:00:00	6	23	21	98,8
2025-06-23 22:00:00	6	23	22	0,0
2025-06-23 23:00:00	6	23	23	0,0
2025-06-24 00:00:00	6	24	0	0,0
2025-06-24 01:00:00	6	24	1	0,0
2025-06-24 02:00:00	6	24	2	0,0
2025-06-24 03:00:00	6	24	3	0,0
2025-06-24 04:00:00	6	24	4	0,0

Station 1 (km381) - T200 NO2

2025-06-24 05:00:00	6	24	5	0,0
2025-06-24 06:00:00	6	24	6	0,0
2025-06-24 07:00:00	6	24	7	0,0
2025-06-24 08:00:00	6	24	8	0,0
2025-06-24 09:00:00	6	24	9	100,9
2025-06-24 10:00:00	6	24	10	0,0
2025-06-24 11:00:00	6	24	11	0,0
2025-06-24 12:00:00	6	24	12	0,0
2025-06-24 13:00:00	6	24	13	0,0
2025-06-24 14:00:00	6	24	14	0,0
2025-06-24 15:00:00	6	24	15	0,0
2025-06-24 16:00:00	6	24	16	0,0
2025-06-24 17:00:00	6	24	17	0,0
2025-06-24 18:00:00	6	24	18	0,0
2025-06-24 19:00:00	6	24	19	0,0
2025-06-24 20:00:00	6	24	20	0,0
2025-06-24 21:00:00	6	24	21	99,8
2025-06-24 22:00:00	6	24	22	0,0
2025-06-24 23:00:00	6	24	23	0,0
2025-06-25 00:00:00	6	25	0	0,0
2025-06-25 01:00:00	6	25	1	0,0
2025-06-25 02:00:00	6	25	2	0,0
2025-06-25 03:00:00	6	25	3	0,0
2025-06-25 04:00:00	6	25	4	0,0
2025-06-25 05:00:00	6	25	5	0,0
2025-06-25 06:00:00	6	25	6	0,0
2025-06-25 07:00:00	6	25	7	0,0
2025-06-25 08:00:00	6	25	8	0,0
2025-06-25 09:00:00	6	25	9	98,8
2025-06-25 10:00:00	6	25	10	0,0
2025-06-25 11:00:00	6	25	11	0,0
2025-06-25 12:00:00	6	25	12	0,0
2025-06-25 13:00:00	6	25	13	0,0
2025-06-25 14:00:00	6	25	14	0,0
2025-06-25 15:00:00	6	25	15	0,0
2025-06-25 16:00:00	6	25	16	0,0
2025-06-25 17:00:00	6	25	17	0,0
2025-06-25 18:00:00	6	25	18	0,0
2025-06-25 19:00:00	6	25	19	0,0
2025-06-25 20:00:00	6	25	20	27,7
2025-06-25 21:00:00	6	25	21	70,9
2025-06-25 22:00:00	6	25	22	0,0
2025-06-25 23:00:00	6	25	23	0,0
2025-06-26 00:00:00	6	26	0	0,0
2025-06-26 01:00:00	6	26	1	3,4
2025-06-26 02:00:00	6	26	2	0,0
2025-06-26 03:00:00	6	26	3	0,0

Station 1 (km381) - T200 NO2

2025-06-26 04:00:00	6	26	4	0,0
2025-06-26 05:00:00	6	26	5	1,0
2025-06-26 06:00:00	6	26	6	0,8
2025-06-26 07:00:00	6	26	7	1,5
2025-06-26 08:00:00	6	26	8	98,6
2025-06-26 09:00:00	6	26	9	6,2
2025-06-26 10:00:00	6	26	10	0,0
2025-06-26 11:00:00	6	26	11	0,0
2025-06-26 12:00:00	6	26	12	0,0
2025-06-26 13:00:00	6	26	13	0,0
2025-06-26 14:00:00	6	26	14	0,0
2025-06-26 15:00:00	6	26	15	0,0
2025-06-26 16:00:00	6	26	16	0,0
2025-06-26 17:00:00	6	26	17	0,0
2025-06-26 18:00:00	6	26	18	0,0
2025-06-26 19:00:00	6	26	19	0,0
2025-06-26 20:00:00	6	26	20	100,7
2025-06-26 21:00:00	6	26	21	0,0
2025-06-26 22:00:00	6	26	22	0,0
2025-06-26 23:00:00	6	26	23	0,0
2025-06-27 00:00:00	6	27	0	0,0
2025-06-27 01:00:00	6	27	1	0,0
2025-06-27 02:00:00	6	27	2	0,2
2025-06-27 03:00:00	6	27	3	0,0
2025-06-27 04:00:00	6	27	4	0,0
2025-06-27 05:00:00	6	27	5	0,0
2025-06-27 06:00:00	6	27	6	0,0
2025-06-27 07:00:00	6	27	7	0,0
2025-06-27 08:00:00	6	27	8	98,7
2025-06-27 09:00:00	6	27	9	0,0
2025-06-27 10:00:00	6	27	10	0,0
2025-06-27 11:00:00	6	27	11	0,0
2025-06-27 12:00:00	6	27	12	0,0
2025-06-27 13:00:00	6	27	13	0,0
2025-06-27 14:00:00	6	27	14	0,0
2025-06-27 15:00:00	6	27	15	0,0
2025-06-27 16:00:00	6	27	16	0,0
2025-06-27 17:00:00	6	27	17	0,0
2025-06-27 18:00:00	6	27	18	0,0
2025-06-27 19:00:00	6	27	19	0,0
2025-06-27 20:00:00	6	27	20	102,0
2025-06-27 21:00:00	6	27	21	0,0
2025-06-27 22:00:00	6	27	22	0,0
2025-06-27 23:00:00	6	27	23	0,0
2025-06-28 00:00:00	6	28	0	0,0
2025-06-28 01:00:00	6	28	1	0,0
2025-06-28 02:00:00	6	28	2	0,0

Station 1 (km381) - T200 NO2

2025-06-28 03:00:00	6	28	3	0,0
2025-06-28 04:00:00	6	28	4	0,0
2025-06-28 05:00:00	6	28	5	0,0
2025-06-28 06:00:00	6	28	6	0,0
2025-06-28 07:00:00	6	28	7	0,0
2025-06-28 08:00:00	6	28	8	103,6
2025-06-28 09:00:00	6	28	9	0,0
2025-06-28 10:00:00	6	28	10	0,0
2025-06-28 11:00:00	6	28	11	0,0
2025-06-28 12:00:00	6	28	12	0,0
2025-06-28 13:00:00	6	28	13	0,0
2025-06-28 14:00:00	6	28	14	0,0
2025-06-28 15:00:00	6	28	15	0,0
2025-06-28 16:00:00	6	28	16	0,0
2025-06-28 17:00:00	6	28	17	0,0
2025-06-28 18:00:00	6	28	18	0,0
2025-06-28 19:00:00	6	28	19	27,8
2025-06-28 20:00:00	6	28	20	70,1
2025-06-28 21:00:00	6	28	21	0,0
2025-06-28 22:00:00	6	28	22	0,0
2025-06-28 23:00:00	6	28	23	0,0
2025-06-29 00:00:00	6	29	0	0,0
2025-06-29 01:00:00	6	29	1	0,0
2025-06-29 02:00:00	6	29	2	0,0
2025-06-29 03:00:00	6	29	3	0,0
2025-06-29 04:00:00	6	29	4	0,0
2025-06-29 05:00:00	6	29	5	0,0
2025-06-29 06:00:00	6	29	6	0,0
2025-06-29 07:00:00	6	29	7	91,8
2025-06-29 08:00:00	6	29	8	5,9
2025-06-29 09:00:00	6	29	9	0,0
2025-06-29 10:00:00	6	29	10	0,0
2025-06-29 11:00:00	6	29	11	0,0
2025-06-29 12:00:00	6	29	12	0,0
2025-06-29 13:00:00	6	29	13	0,0
2025-06-29 14:00:00	6	29	14	0,0
2025-06-29 15:00:00	6	29	15	0,0
2025-06-29 16:00:00	6	29	16	0,0
2025-06-29 17:00:00	6	29	17	0,0
2025-06-29 18:00:00	6	29	18	0,0
2025-06-29 19:00:00	6	29	19	104,3
2025-06-29 20:00:00	6	29	20	0,0
2025-06-29 21:00:00	6	29	21	0,0
2025-06-29 22:00:00	6	29	22	0,0
2025-06-29 23:00:00	6	29	23	0,0
2025-06-30 00:00:00	6	30	0	0,0
2025-06-30 01:00:00	6	30	1	0,0

Station 1 (km381) - T200 NO2

2025-06-30 02:00:00	6	30	2	0,0
2025-06-30 03:00:00	6	30	3	0,0
2025-06-30 04:00:00	6	30	4	0,0
2025-06-30 05:00:00	6	30	5	0,0
2025-06-30 06:00:00	6	30	6	0,8
2025-06-30 07:00:00	6	30	7	100,7
2025-06-30 08:00:00	6	30	8	0,0
2025-06-30 09:00:00	6	30	9	0,0
2025-06-30 10:00:00	6	30	10	0,0
2025-06-30 11:00:00	6	30	11	0,0
2025-06-30 12:00:00	6	30	12	0,0
2025-06-30 13:00:00	6	30	13	0,0
2025-06-30 14:00:00	6	30	14	0,0
2025-06-30 15:00:00	6	30	15	0,0
2025-06-30 16:00:00	6	30	16	0,0
2025-06-30 17:00:00	6	30	17	1,6
2025-06-30 18:00:00	6	30	18	0,8
2025-06-30 19:00:00	6	30	19	103,2
2025-06-30 20:00:00	6	30	20	3,3
2025-06-30 21:00:00	6	30	21	1,7
2025-06-30 22:00:00	6	30	22	13,0
2025-06-30 23:00:00	6	30	23	11,6
2025-07-01 00:00:00	7	1	0	0,0
2025-07-01 01:00:00	7	1	1	1,2
2025-07-01 02:00:00	7	1	2	0,1
2025-07-01 03:00:00	7	1	3	0,0
2025-07-01 04:00:00	7	1	4	3,1
2025-07-01 05:00:00	7	1	5	5,0
2025-07-01 06:00:00	7	1	6	1,3
2025-07-01 07:00:00	7	1	7	100,5
2025-07-01 08:00:00	7	1	8	0,0
2025-07-01 09:00:00	7	1	9	0,7
2025-07-01 10:00:00	7	1	10	5,7
2025-07-01 11:00:00	7	1	11	4,1
2025-07-01 12:00:00	7	1	12	3,7
2025-07-01 13:00:00	7	1	13	2,6
2025-07-01 14:00:00	7	1	14	4,1
2025-07-01 15:00:00	7	1	15	3,2
2025-07-01 16:00:00	7	1	16	3,7
2025-07-01 17:00:00	7	1	17	4,0
2025-07-01 18:00:00	7	1	18	33,6
2025-07-01 19:00:00	7	1	19	73,6
2025-07-01 20:00:00	7	1	20	3,8
2025-07-01 21:00:00	7	1	21	3,5
2025-07-01 22:00:00	7	1	22	0,0
2025-07-01 23:00:00	7	1	23	0,0
2025-07-02 00:00:00	7	2	0	0,1

Station 1 (km381) - T200 NO2

2025-07-02 01:00:00	7	2	1	0,0
2025-07-02 02:00:00	7	2	2	0,0
2025-07-02 03:00:00	7	2	3	1,3
2025-07-02 04:00:00	7	2	4	3,4
2025-07-02 05:00:00	7	2	5	0,7
2025-07-02 06:00:00	7	2	6	95,2
2025-07-02 07:00:00	7	2	7	11,3
2025-07-02 08:00:00	7	2	8	0,0
2025-07-02 09:00:00	7	2	9	0,0
2025-07-02 10:00:00	7	2	10	0,0
2025-07-02 11:00:00	7	2	11	0,5
2025-07-02 12:00:00	7	2	12	0,3
2025-07-02 13:00:00	7	2	13	0,0
2025-07-02 14:00:00	7	2	14	4,1
2025-07-02 15:00:00	7	2	15	0,0
2025-07-02 16:00:00	7	2	16	0,0
2025-07-02 17:00:00	7	2	17	0,0
2025-07-02 18:00:00	7	2	18	98,6
2025-07-02 19:00:00	7	2	19	0,0
2025-07-02 20:00:00	7	2	20	0,0
2025-07-02 21:00:00	7	2	21	0,1
2025-07-02 22:00:00	7	2	22	0,3
2025-07-02 23:00:00	7	2	23	0,0
2025-07-03 00:00:00	7	3	0	0,0
2025-07-03 01:00:00	7	3	1	0,0
2025-07-03 02:00:00	7	3	2	0,0
2025-07-03 03:00:00	7	3	3	0,0
2025-07-03 04:00:00	7	3	4	0,0
2025-07-03 05:00:00	7	3	5	0,0
2025-07-03 06:00:00	7	3	6	101,9
2025-07-03 07:00:00	7	3	7	0,0
2025-07-03 08:00:00	7	3	8	0,0
2025-07-03 09:00:00	7	3	9	0,0
2025-07-03 10:00:00	7	3	10	0,0
2025-07-03 11:00:00	7	3	11	0,0
2025-07-03 12:00:00	7	3	12	0,0
2025-07-03 13:00:00	7	3	13	0,0
2025-07-03 14:00:00	7	3	14	0,0
2025-07-03 15:00:00	7	3	15	0,0
2025-07-03 16:00:00	7	3	16	0,0
2025-07-03 17:00:00	7	3	17	0,0
2025-07-03 18:00:00	7	3	18	98,2
2025-07-03 19:00:00	7	3	19	0,0
2025-07-03 20:00:00	7	3	20	0,0
2025-07-03 21:00:00	7	3	21	0,0
2025-07-03 22:00:00	7	3	22	0,0
2025-07-03 23:00:00	7	3	23	0,0

Station 1 (km381) - T200 NO2

2025-07-04 00:00:00	7	4	0	0,0
2025-07-04 01:00:00	7	4	1	0,0
2025-07-04 02:00:00	7	4	2	0,0
2025-07-04 03:00:00	7	4	3	0,0
2025-07-04 04:00:00	7	4	4	0,0
2025-07-04 05:00:00	7	4	5	0,0
2025-07-04 06:00:00	7	4	6	104,2
2025-07-04 07:00:00	7	4	7	6,0
2025-07-04 08:00:00	7	4	8	0,7
2025-07-04 09:00:00	7	4	9	0,0
2025-07-04 10:00:00	7	4	10	0,0
2025-07-04 11:00:00	7	4	11	0,5
2025-07-04 12:00:00	7	4	12	0,3
2025-07-04 13:00:00	7	4	13	0,0
2025-07-04 14:00:00	7	4	14	0,0
2025-07-04 15:00:00	7	4	15	0,0
2025-07-04 16:00:00	7	4	16	0,0
2025-07-04 17:00:00	7	4	17	28,6
2025-07-04 18:00:00	7	4	18	105,8
2025-07-04 19:00:00	7	4	19	0,0
2025-07-04 20:00:00	7	4	20	0,0
2025-07-04 21:00:00	7	4	21	0,0
2025-07-04 22:00:00	7	4	22	0,0
2025-07-04 23:00:00	7	4	23	0,0
2025-07-05 00:00:00	7	5	0	0,0
2025-07-05 01:00:00	7	5	1	0,0
2025-07-05 02:00:00	7	5	2	0,0
2025-07-05 03:00:00	7	5	3	0,0
2025-07-05 04:00:00	7	5	4	0,0
2025-07-05 05:00:00	7	5	5	93,6
2025-07-05 06:00:00	7	5	6	5,7
2025-07-05 07:00:00	7	5	7	0,0
2025-07-05 08:00:00	7	5	8	0,0
2025-07-05 09:00:00	7	5	9	0,0
2025-07-05 10:00:00	7	5	10	0,0
2025-07-05 11:00:00	7	5	11	0,0
2025-07-05 12:00:00	7	5	12	0,0
2025-07-05 13:00:00	7	5	13	0,0
2025-07-05 14:00:00	7	5	14	0,0
2025-07-05 15:00:00	7	5	15	0,0
2025-07-05 16:00:00	7	5	16	0,0
2025-07-05 17:00:00	7	5	17	24,7
2025-07-05 18:00:00	7	5	18	0,0
2025-07-05 19:00:00	7	5	19	0,0
2025-07-05 20:00:00	7	5	20	0,0
2025-07-05 21:00:00	7	5	21	0,0
2025-07-05 22:00:00	7	5	22	0,0

Station 1 (km381) - T200 NO2

2025-07-05 23:00:00	7	5	23	0,0
2025-07-06 00:00:00	7	6	0	0,0
2025-07-06 01:00:00	7	6	1	0,0
2025-07-06 02:00:00	7	6	2	0,0
2025-07-06 03:00:00	7	6	3	0,0
2025-07-06 04:00:00	7	6	4	0,0
2025-07-06 05:00:00	7	6	5	98,5
2025-07-06 06:00:00	7	6	6	0,0
2025-07-06 07:00:00	7	6	7	0,0
2025-07-06 08:00:00	7	6	8	0,0
2025-07-06 09:00:00	7	6	9	0,0
2025-07-06 10:00:00	7	6	10	0,0
2025-07-06 11:00:00	7	6	11	0,0
2025-07-06 12:00:00	7	6	12	0,0
2025-07-06 13:00:00	7	6	13	0,0
2025-07-06 14:00:00	7	6	14	0,0
2025-07-06 15:00:00	7	6	15	0,0
2025-07-06 16:00:00	7	6	16	0,0
2025-07-06 17:00:00	7	6	17	99,3
2025-07-06 18:00:00	7	6	18	0,0
2025-07-06 19:00:00	7	6	19	0,0
2025-07-06 20:00:00	7	6	20	0,0
2025-07-06 21:00:00	7	6	21	0,0
2025-07-06 22:00:00	7	6	22	0,0
2025-07-06 23:00:00	7	6	23	0,0
2025-07-07 00:00:00	7	7	0	0,0
2025-07-07 01:00:00	7	7	1	0,0
2025-07-07 02:00:00	7	7	2	0,0
2025-07-07 03:00:00	7	7	3	0,0
2025-07-07 04:00:00	7	7	4	0,0
2025-07-07 05:00:00	7	7	5	133,9
2025-07-07 06:00:00	7	7	6	0,7
2025-07-07 07:00:00	7	7	7	0,0
2025-07-07 08:00:00	7	7	8	0,0
2025-07-07 09:00:00	7	7	9	0,0
2025-07-07 10:00:00	7	7	10	0,0
2025-07-07 11:00:00	7	7	11	0,0
2025-07-07 12:00:00	7	7	12	0,0
2025-07-07 13:00:00	7	7	13	0,0
2025-07-07 14:00:00	7	7	14	0,0
2025-07-07 15:00:00	7	7	15	0,0
2025-07-07 16:00:00	7	7	16	28,3
2025-07-07 17:00:00	7	7	17	72,4
2025-07-07 18:00:00	7	7	18	0,0
2025-07-07 19:00:00	7	7	19	0,0
2025-07-07 20:00:00	7	7	20	0,0
2025-07-07 21:00:00	7	7	21	0,0

Station 1 (km381) - T200 NO2

2025-07-07 22:00:00	7	7	22	0,0
2025-07-07 23:00:00	7	7	23	0,0
2025-07-08 00:00:00	7	8	0	0,0
2025-07-08 01:00:00	7	8	1	0,0
2025-07-08 02:00:00	7	8	2	0,0
2025-07-08 03:00:00	7	8	3	0,0
2025-07-08 04:00:00	7	8	4	93,0
2025-07-08 05:00:00	7	8	5	9,6
2025-07-08 06:00:00	7	8	6	1,8
2025-07-08 07:00:00	7	8	7	0,3
2025-07-08 08:00:00	7	8	8	0,0
2025-07-08 09:00:00	7	8	9	0,0
2025-07-08 10:00:00	7	8	10	0,0
2025-07-08 11:00:00	7	8	11	0,0
2025-07-08 12:00:00	7	8	12	0,0
2025-07-08 13:00:00	7	8	13	0,0
2025-07-08 14:00:00	7	8	14	0,0
2025-07-08 15:00:00	7	8	15	0,0
2025-07-08 16:00:00	7	8	16	98,9
2025-07-08 17:00:00	7	8	17	0,0
2025-07-08 18:00:00	7	8	18	0,0
2025-07-08 19:00:00	7	8	19	0,0
2025-07-08 20:00:00	7	8	20	0,0
2025-07-08 21:00:00	7	8	21	0,0
2025-07-08 22:00:00	7	8	22	0,0
2025-07-08 23:00:00	7	8	23	0,0
2025-07-09 00:00:00	7	9	0	0,0
2025-07-09 01:00:00	7	9	1	0,0
2025-07-09 02:00:00	7	9	2	0,0
2025-07-09 03:00:00	7	9	3	0,3
2025-07-09 04:00:00	7	9	4	99,2
2025-07-09 05:00:00	7	9	5	2,0
2025-07-09 06:00:00	7	9	6	2,3
2025-07-09 07:00:00	7	9	7	0,0
2025-07-09 08:00:00	7	9	8	0,0
2025-07-09 09:00:00	7	9	9	0,0
2025-07-09 10:00:00	7	9	10	0,0
2025-07-09 11:00:00	7	9	11	0,0
2025-07-09 12:00:00	7	9	12	0,0
2025-07-09 13:00:00	7	9	13	0,0
2025-07-09 14:00:00	7	9	14	0,0
2025-07-09 15:00:00	7	9	15	0,0
2025-07-09 16:00:00	7	9	16	0,0
2025-07-09 17:00:00	7	9	17	0,0
2025-07-09 18:00:00	7	9	18	0,0
2025-07-09 19:00:00	7	9	19	0,0
2025-07-09 20:00:00	7	9	20	0,0

Station 1 (km381) - T200 NO2

2025-07-09 21:00:00	7	9	21	3,9
2025-07-09 22:00:00	7	9	22	0,0
2025-07-09 23:00:00	7	9	23	0,0
2025-07-10 00:00:00	7	10	0	1,3
2025-07-10 01:00:00	7	10	1	1,7
2025-07-10 02:00:00	7	10	2	0,1
2025-07-10 03:00:00	7	10	3	0,0
2025-07-10 04:00:00	7	10	4	98,9
2025-07-10 05:00:00	7	10	5	0,0
2025-07-10 06:00:00	7	10	6	0,0
2025-07-10 07:00:00	7	10	7	0,0
2025-07-10 08:00:00	7	10	8	0,0
2025-07-10 09:00:00	7	10	9	0,0
2025-07-10 10:00:00	7	10	10	0,0
2025-07-10 11:00:00	7	10	11	0,0
2025-07-10 12:00:00	7	10	12	0,0
2025-07-10 13:00:00	7	10	13	0,0
2025-07-10 14:00:00	7	10	14	0,0
2025-07-10 15:00:00	7	10	15	30,3
2025-07-10 16:00:00	7	10	16	70,8
2025-07-10 17:00:00	7	10	17	0,0
2025-07-10 18:00:00	7	10	18	0,0
2025-07-10 19:00:00	7	10	19	0,0
2025-07-10 20:00:00	7	10	20	0,0
2025-07-10 21:00:00	7	10	21	1,9
2025-07-10 22:00:00	7	10	22	0,0
2025-07-10 23:00:00	7	10	23	0,0
2025-07-11 00:00:00	7	11	0	0,0
2025-07-11 01:00:00	7	11	1	0,0
2025-07-11 02:00:00	7	11	2	0,0
2025-07-11 03:00:00	7	11	3	91,2
2025-07-11 04:00:00	7	11	4	5,8
2025-07-11 05:00:00	7	11	5	0,0
2025-07-11 06:00:00	7	11	6	0,0
2025-07-11 07:00:00	7	11	7	0,0
2025-07-11 08:00:00	7	11	8	0,0
2025-07-11 09:00:00	7	11	9	0,0
2025-07-11 10:00:00	7	11	10	0,0
2025-07-11 11:00:00	7	11	11	0,0
2025-07-11 12:00:00	7	11	12	0,0
2025-07-11 13:00:00	7	11	13	0,0
2025-07-11 14:00:00	7	11	14	0,0
2025-07-11 15:00:00	7	11	15	100,6
2025-07-11 16:00:00	7	11	16	0,0
2025-07-11 17:00:00	7	11	17	0,0
2025-07-11 18:00:00	7	11	18	0,0
2025-07-11 19:00:00	7	11	19	0,0

Station 1 (km381) - T200 NO2

2025-07-11 20:00:00	7	11	20	0,0
2025-07-11 21:00:00	7	11	21	1,8
2025-07-11 22:00:00	7	11	22	0,0
2025-07-11 23:00:00	7	11	23	0,0
2025-07-12 00:00:00	7	12	0	0,0
2025-07-12 01:00:00	7	12	1	0,0
2025-07-12 02:00:00	7	12	2	0,0
2025-07-12 03:00:00	7	12	3	0,0
2025-07-12 04:00:00	7	12	4	0,0
2025-07-12 05:00:00	7	12	5	0,0
2025-07-12 06:00:00	7	12	6	0,7
2025-07-12 07:00:00	7	12	7	0,1
2025-07-12 08:00:00	7	12	8	1,1
2025-07-12 09:00:00	7	12	9	0,0
2025-07-12 10:00:00	7	12	10	0,0
2025-07-12 11:00:00	7	12	11	0,0
2025-07-12 12:00:00	7	12	12	0,0
2025-07-12 13:00:00	7	12	13	0,0
2025-07-12 14:00:00	7	12	14	0,0
2025-07-12 15:00:00	7	12	15	105,8
2025-07-12 16:00:00	7	12	16	0,0
2025-07-12 17:00:00	7	12	17	0,0
2025-07-12 18:00:00	7	12	18	0,0
2025-07-12 19:00:00	7	12	19	0,0
2025-07-12 20:00:00	7	12	20	0,0
2025-07-12 21:00:00	7	12	21	0,0
2025-07-12 22:00:00	7	12	22	0,0
2025-07-12 23:00:00	7	12	23	0,0
2025-07-13 00:00:00	7	13	0	0,0
2025-07-13 01:00:00	7	13	1	0,0
2025-07-13 02:00:00	7	13	2	0,0
2025-07-13 03:00:00	7	13	3	99,0
2025-07-13 04:00:00	7	13	4	0,0
2025-07-13 05:00:00	7	13	5	0,0
2025-07-13 06:00:00	7	13	6	0,0
2025-07-13 07:00:00	7	13	7	0,0
2025-07-13 08:00:00	7	13	8	0,0
2025-07-13 09:00:00	7	13	9	0,0
2025-07-13 10:00:00	7	13	10	0,0
2025-07-13 11:00:00	7	13	11	0,0
2025-07-13 12:00:00	7	13	12	0,0
2025-07-13 13:00:00	7	13	13	0,0
2025-07-13 14:00:00	7	13	14	28,6
2025-07-13 15:00:00	7	13	15	71,8
2025-07-13 16:00:00	7	13	16	0,0
2025-07-13 17:00:00	7	13	17	0,0
2025-07-13 18:00:00	7	13	18	0,0

Station 1 (km381) - T200 NO2

2025-07-13 19:00:00	7	13	19	0,0
2025-07-13 20:00:00	7	13	20	0,3
2025-07-13 21:00:00	7	13	21	0,0
2025-07-13 22:00:00	7	13	22	0,0
2025-07-13 23:00:00	7	13	23	0,0
2025-07-14 00:00:00	7	14	0	0,0
2025-07-14 01:00:00	7	14	1	0,0
2025-07-14 02:00:00	7	14	2	91,8
2025-07-14 03:00:00	7	14	3	6,3
2025-07-14 04:00:00	7	14	4	0,0
2025-07-14 05:00:00	7	14	5	0,0
2025-07-14 06:00:00	7	14	6	0,0
2025-07-14 07:00:00	7	14	7	0,0
2025-07-14 08:00:00	7	14	8	0,4
2025-07-14 09:00:00	7	14	9	0,8
2025-07-14 10:00:00	7	14	10	0,0
2025-07-14 11:00:00	7	14	11	0,6
2025-07-14 12:00:00	7	14	12	0,2
2025-07-14 13:00:00	7	14	13	0,1
2025-07-14 14:00:00	7	14	14	1,6
2025-07-14 15:00:00	7	14	15	0,0
2025-07-14 16:00:00	7	14	16	0,0
2025-07-14 17:00:00	7	14	17	0,0
2025-07-14 18:00:00	7	14	18	0,0
2025-07-14 19:00:00	7	14	19	0,0
2025-07-14 20:00:00	7	14	20	0,0
2025-07-14 21:00:00	7	14	21	0,0
2025-07-14 22:00:00	7	14	22	0,0
2025-07-14 23:00:00	7	14	23	0,0
2025-07-15 00:00:00	7	15	0	0,0
2025-07-15 01:00:00	7	15	1	0,0
2025-07-15 02:00:00	7	15	2	95,8
2025-07-15 03:00:00	7	15	3	0,0
2025-07-15 04:00:00	7	15	4	0,0
2025-07-15 05:00:00	7	15	5	0,0
2025-07-15 06:00:00	7	15	6	0,0
2025-07-15 07:00:00	7	15	7	0,0
2025-07-15 08:00:00	7	15	8	0,0
2025-07-15 09:00:00	7	15	9	0,0
2025-07-15 10:00:00	7	15	10	0,0
2025-07-15 11:00:00	7	15	11	0,0
2025-07-15 12:00:00	7	15	12	0,0
2025-07-15 13:00:00	7	15	13	0,0
2025-07-15 14:00:00	7	15	14	98,8
2025-07-15 15:00:00	7	15	15	0,0
2025-07-15 16:00:00	7	15	16	0,0
2025-07-15 17:00:00	7	15	17	0,0

Station 1 (km381) - T200 NO2

2025-07-15 18:00:00	7	15	18	0,0
2025-07-15 19:00:00	7	15	19	0,0
2025-07-15 20:00:00	7	15	20	0,0
2025-07-15 21:00:00	7	15	21	0,0
2025-07-15 22:00:00	7	15	22	0,0
2025-07-15 23:00:00	7	15	23	0,4
2025-07-16 00:00:00	7	16	0	0,3
2025-07-16 01:00:00	7	16	1	0,0
2025-07-16 02:00:00	7	16	2	98,0
2025-07-16 03:00:00	7	16	3	0,0
2025-07-16 04:00:00	7	16	4	0,0
2025-07-16 05:00:00	7	16	5	0,2
2025-07-16 06:00:00	7	16	6	0,2
2025-07-16 07:00:00	7	16	7	0,0
2025-07-16 08:00:00	7	16	8	0,0
2025-07-16 09:00:00	7	16	9	0,0
2025-07-16 10:00:00	7	16	10	0,0
2025-07-16 11:00:00	7	16	11	0,0
2025-07-16 12:00:00	7	16	12	0,0
2025-07-16 13:00:00	7	16	13	26,5
2025-07-16 14:00:00	7	16	14	70,5
2025-07-16 15:00:00	7	16	15	0,0
2025-07-16 16:00:00	7	16	16	0,0
2025-07-16 17:00:00	7	16	17	0,0
2025-07-16 18:00:00	7	16	18	0,0
2025-07-16 19:00:00	7	16	19	0,0
2025-07-16 20:00:00	7	16	20	0,0
2025-07-16 21:00:00	7	16	21	0,3
2025-07-16 22:00:00	7	16	22	0,0
2025-07-16 23:00:00	7	16	23	0,0
2025-07-17 00:00:00	7	17	0	0,0
2025-07-17 01:00:00	7	17	1	156,9
2025-07-17 02:00:00	7	17	2	6,4
2025-07-17 03:00:00	7	17	3	1,9
2025-07-17 04:00:00	7	17	4	1,0
2025-07-17 05:00:00	7	17	5	0,5
2025-07-17 06:00:00	7	17	6	0,0
2025-07-17 07:00:00	7	17	7	0,0
2025-07-17 08:00:00	7	17	8	0,0
2025-07-17 09:00:00	7	17	9	0,0
2025-07-17 10:00:00	7	17	10	0,0
2025-07-17 11:00:00	7	17	11	0,0
2025-07-17 12:00:00	7	17	12	0,0
2025-07-17 13:00:00	7	17	13	100,5
2025-07-17 14:00:00	7	17	14	0,0
2025-07-17 15:00:00	7	17	15	0,0
2025-07-17 16:00:00	7	17	16	0,0

Station 1 (km381) - T200 NO2

2025-07-17 17:00:00	7	17	17	0,0
2025-07-17 18:00:00	7	17	18	0,0
2025-07-17 19:00:00	7	17	19	0,0
2025-07-17 20:00:00	7	17	20	0,0
2025-07-17 21:00:00	7	17	21	0,0
2025-07-17 22:00:00	7	17	22	0,0
2025-07-17 23:00:00	7	17	23	0,0
2025-07-18 00:00:00	7	18	0	0,5
2025-07-18 01:00:00	7	18	1	99,9
2025-07-18 02:00:00	7	18	2	4,2
2025-07-18 03:00:00	7	18	3	1,9
2025-07-18 04:00:00	7	18	4	0,0
2025-07-18 05:00:00	7	18	5	0,0
2025-07-18 06:00:00	7	18	6	0,0
2025-07-18 07:00:00	7	18	7	0,0
2025-07-18 08:00:00	7	18	8	0,0
2025-07-18 09:00:00	7	18	9	0,0
2025-07-18 10:00:00	7	18	10	0,0
2025-07-18 11:00:00	7	18	11	0,0
2025-07-18 12:00:00	7	18	12	0,0
2025-07-18 13:00:00	7	18	13	97,7
2025-07-18 14:00:00	7	18	14	0,0
2025-07-18 15:00:00	7	18	15	0,0
2025-07-18 16:00:00	7	18	16	0,0
2025-07-18 17:00:00	7	18	17	0,0
2025-07-18 18:00:00	7	18	18	0,0
2025-07-18 19:00:00	7	18	19	0,0
2025-07-18 20:00:00	7	18	20	0,0
2025-07-18 21:00:00	7	18	21	0,0
2025-07-18 22:00:00	7	18	22	0,0
2025-07-18 23:00:00	7	18	23	0,0
2025-07-19 00:00:00	7	19	0	0,0
2025-07-19 01:00:00	7	19	1	98,0
2025-07-19 02:00:00	7	19	2	0,0
2025-07-19 03:00:00	7	19	3	0,0
2025-07-19 04:00:00	7	19	4	0,0
2025-07-19 05:00:00	7	19	5	0,0
2025-07-19 06:00:00	7	19	6	0,0
2025-07-19 07:00:00	7	19	7	0,0
2025-07-19 08:00:00	7	19	8	0,0
2025-07-19 09:00:00	7	19	9	0,0
2025-07-19 10:00:00	7	19	10	0,0
2025-07-19 11:00:00	7	19	11	0,0
2025-07-19 12:00:00	7	19	12	30,6
2025-07-19 13:00:00	7	19	13	75,0
2025-07-19 14:00:00	7	19	14	0,0
2025-07-19 15:00:00	7	19	15	0,0

Station 1 (km381) - T200 NO2

2025-07-19 16:00:00	7	19	16	0,0
2025-07-19 17:00:00	7	19	17	0,0
2025-07-19 18:00:00	7	19	18	0,0
2025-07-19 19:00:00	7	19	19	0,0
2025-07-19 20:00:00	7	19	20	0,0
2025-07-19 21:00:00	7	19	21	0,0
2025-07-19 22:00:00	7	19	22	0,0
2025-07-19 23:00:00	7	19	23	0,0
2025-07-20 00:00:00	7	20	0	95,4
2025-07-20 01:00:00	7	20	1	6,0
2025-07-20 02:00:00	7	20	2	0,0
2025-07-20 03:00:00	7	20	3	0,0
2025-07-20 04:00:00	7	20	4	0,0
2025-07-20 05:00:00	7	20	5	0,0
2025-07-20 06:00:00	7	20	6	0,0
2025-07-20 07:00:00	7	20	7	0,0
2025-07-20 08:00:00	7	20	8	0,0
2025-07-20 09:00:00	7	20	9	0,0
2025-07-20 10:00:00	7	20	10	0,0
2025-07-20 11:00:00	7	20	11	0,0
2025-07-20 12:00:00	7	20	12	101,8
2025-07-20 13:00:00	7	20	13	0,0
2025-07-20 14:00:00	7	20	14	0,0
2025-07-20 15:00:00	7	20	15	0,0
2025-07-20 16:00:00	7	20	16	0,0
2025-07-20 17:00:00	7	20	17	0,0
2025-07-20 18:00:00	7	20	18	0,0
2025-07-20 19:00:00	7	20	19	0,0
2025-07-20 20:00:00	7	20	20	0,0
2025-07-20 21:00:00	7	20	21	0,0
2025-07-20 22:00:00	7	20	22	0,0
2025-07-20 23:00:00	7	20	23	0,0
2025-07-21 00:00:00	7	21	0	104,2
2025-07-21 01:00:00	7	21	1	0,0
2025-07-21 02:00:00	7	21	2	0,0
2025-07-21 03:00:00	7	21	3	0,0
2025-07-21 04:00:00	7	21	4	0,0
2025-07-21 05:00:00	7	21	5	0,0
2025-07-21 06:00:00	7	21	6	0,0
2025-07-21 07:00:00	7	21	7	0,0
2025-07-21 08:00:00	7	21	8	0,0
2025-07-21 09:00:00	7	21	9	0,0
2025-07-21 10:00:00	7	21	10	0,0
2025-07-21 11:00:00	7	21	11	0,0
2025-07-21 12:00:00	7	21	12	0,0
2025-07-21 13:00:00	7	21	13	0,0
2025-07-21 14:00:00	7	21	14	0,0

Station 1 (km381) - T200 NO2

2025-07-21 15:00:00	7	21	15	0,0
2025-07-21 16:00:00	7	21	16	0,0
2025-07-21 17:00:00	7	21	17	0,0
2025-07-21 18:00:00	7	21	18	0,0
2025-07-21 19:00:00	7	21	19	0,0
2025-07-21 20:00:00	7	21	20	0,0
2025-07-21 21:00:00	7	21	21	0,0
2025-07-21 22:00:00	7	21	22	0,0
2025-07-21 23:00:00	7	21	23	0,0
2025-07-22 00:00:00	7	22	0	96,8
2025-07-22 01:00:00	7	22	1	0,0
2025-07-22 02:00:00	7	22	2	0,0
2025-07-22 03:00:00	7	22	3	0,0
2025-07-22 04:00:00	7	22	4	0,0
2025-07-22 05:00:00	7	22	5	0,0
2025-07-22 06:00:00	7	22	6	0,0
2025-07-22 07:00:00	7	22	7	0,0
2025-07-22 08:00:00	7	22	8	0,0
2025-07-22 09:00:00	7	22	9	0,0
2025-07-22 10:00:00	7	22	10	0,0
2025-07-22 11:00:00	7	22	11	26,7
2025-07-22 12:00:00	7	22	12	70,8
2025-07-22 13:00:00	7	22	13	0,0
2025-07-22 14:00:00	7	22	14	0,0
2025-07-22 15:00:00	7	22	15	0,0
2025-07-22 16:00:00	7	22	16	0,0
2025-07-22 17:00:00	7	22	17	0,0
2025-07-22 18:00:00	7	22	18	0,0
2025-07-22 19:00:00	7	22	19	0,0
2025-07-22 20:00:00	7	22	20	0,0
2025-07-22 21:00:00	7	22	21	0,0
2025-07-22 22:00:00	7	22	22	0,0
2025-07-22 23:00:00	7	22	23	90,8
2025-07-23 00:00:00	7	23	0	5,7
2025-07-23 01:00:00	7	23	1	0,0
2025-07-23 02:00:00	7	23	2	0,0
2025-07-23 03:00:00	7	23	3	0,0
2025-07-23 04:00:00	7	23	4	0,0
2025-07-23 05:00:00	7	23	5	0,0
2025-07-23 06:00:00	7	23	6	0,0
2025-07-23 07:00:00	7	23	7	0,0
2025-07-23 08:00:00	7	23	8	0,0
2025-07-23 09:00:00	7	23	9	0,0
2025-07-23 10:00:00	7	23	10	0,0
2025-07-23 11:00:00	7	23	11	96,3
2025-07-23 12:00:00	7	23	12	0,0
2025-07-23 13:00:00	7	23	13	0,0

Station 1 (km381) - T200 NO2

2025-07-23 14:00:00	7	23	14	0,0
2025-07-23 15:00:00	7	23	15	0,0
2025-07-23 16:00:00	7	23	16	0,0
2025-07-23 17:00:00	7	23	17	0,0
2025-07-23 18:00:00	7	23	18	0,0
2025-07-23 19:00:00	7	23	19	0,0
2025-07-23 20:00:00	7	23	20	0,0
2025-07-23 21:00:00	7	23	21	0,0
2025-07-23 22:00:00	7	23	22	0,0
2025-07-23 23:00:00	7	23	23	0,0
2025-07-24 00:00:00	7	24	0	0,0
2025-07-24 01:00:00	7	24	1	0,0
2025-07-24 02:00:00	7	24	2	0,0
2025-07-24 03:00:00	7	24	3	0,0
2025-07-24 04:00:00	7	24	4	0,0
2025-07-24 05:00:00	7	24	5	0,0
2025-07-24 06:00:00	7	24	6	0,0
2025-07-24 07:00:00	7	24	7	0,0
2025-07-24 08:00:00	7	24	8	0,0
2025-07-24 09:00:00	7	24	9	0,0
2025-07-24 10:00:00	7	24	10	0,0
2025-07-24 11:00:00	7	24	11	97,4
2025-07-24 12:00:00	7	24	12	0,0
2025-07-24 13:00:00	7	24	13	0,0
2025-07-24 14:00:00	7	24	14	0,0
2025-07-24 15:00:00	7	24	15	0,0
2025-07-24 16:00:00	7	24	16	0,0
2025-07-24 17:00:00	7	24	17	0,0
2025-07-24 18:00:00	7	24	18	0,0
2025-07-24 19:00:00	7	24	19	0,0
2025-07-24 20:00:00	7	24	20	0,0
2025-07-24 21:00:00	7	24	21	0,0
2025-07-24 22:00:00	7	24	22	0,0
2025-07-24 23:00:00	7	24	23	98,3
2025-07-25 00:00:00	7	25	0	0,0
2025-07-25 01:00:00	7	25	1	0,0
2025-07-25 02:00:00	7	25	2	0,0
2025-07-25 03:00:00	7	25	3	0,0
2025-07-25 04:00:00	7	25	4	0,0
2025-07-25 05:00:00	7	25	5	0,0
2025-07-25 06:00:00	7	25	6	0,0
2025-07-25 07:00:00	7	25	7	0,0
2025-07-25 08:00:00	7	25	8	0,0
2025-07-25 09:00:00	7	25	9	0,0
2025-07-25 10:00:00	7	25	10	26,4
2025-07-25 11:00:00	7	25	11	70,1
2025-07-25 12:00:00	7	25	12	0,0

Station 1 (km381) - T200 NO2

2025-07-25 13:00:00	7	25	13	0,0
2025-07-25 14:00:00	7	25	14	0,0
2025-07-25 15:00:00	7	25	15	0,0
2025-07-25 16:00:00	7	25	16	0,0
2025-07-25 17:00:00	7	25	17	0,0
2025-07-25 18:00:00	7	25	18	0,0
2025-07-25 19:00:00	7	25	19	0,0
2025-07-25 20:00:00	7	25	20	0,0
2025-07-25 21:00:00	7	25	21	0,0
2025-07-25 22:00:00	7	25	22	91,5
2025-07-25 23:00:00	7	25	23	6,0
2025-07-26 00:00:00	7	26	0	0,0
2025-07-26 01:00:00	7	26	1	0,0
2025-07-26 02:00:00	7	26	2	0,0
2025-07-26 03:00:00	7	26	3	0,0
2025-07-26 04:00:00	7	26	4	0,0
2025-07-26 05:00:00	7	26	5	0,0
2025-07-26 06:00:00	7	26	6	0,9
2025-07-26 07:00:00	7	26	7	0,0
2025-07-26 08:00:00	7	26	8	0,0
2025-07-26 09:00:00	7	26	9	0,0
2025-07-26 10:00:00	7	26	10	157,5
2025-07-26 11:00:00	7	26	11	0,0
2025-07-26 12:00:00	7	26	12	0,0
2025-07-26 13:00:00	7	26	13	0,0
2025-07-26 14:00:00	7	26	14	0,0
2025-07-26 15:00:00	7	26	15	0,0
2025-07-26 16:00:00	7	26	16	0,0
2025-07-26 17:00:00	7	26	17	0,0
2025-07-26 18:00:00	7	26	18	0,0
2025-07-26 19:00:00	7	26	19	0,0
2025-07-26 20:00:00	7	26	20	0,0
2025-07-26 21:00:00	7	26	21	0,1
2025-07-26 22:00:00	7	26	22	96,8
2025-07-26 23:00:00	7	26	23	12,1
2025-07-27 00:00:00	7	27	0	1,8
2025-07-27 01:00:00	7	27	1	6,0
2025-07-27 02:00:00	7	27	2	1,2
2025-07-27 03:00:00	7	27	3	0,0
2025-07-27 04:00:00	7	27	4	3,0
2025-07-27 05:00:00	7	27	5	5,2
2025-07-27 06:00:00	7	27	6	0,6
2025-07-27 07:00:00	7	27	7	0,0
2025-07-27 08:00:00	7	27	8	0,0
2025-07-27 09:00:00	7	27	9	0,0
2025-07-27 10:00:00	7	27	10	94,0
2025-07-27 11:00:00	7	27	11	0,3

Station 1 (km381) - T200 NO2

2025-07-27 12:00:00	7	27	12	0,0
2025-07-27 13:00:00	7	27	13	0,0
2025-07-27 14:00:00	7	27	14	0,0
2025-07-27 15:00:00	7	27	15	0,0
2025-07-27 16:00:00	7	27	16	0,0
2025-07-27 17:00:00	7	27	17	0,0
2025-07-27 18:00:00	7	27	18	0,0
2025-07-27 19:00:00	7	27	19	0,0
2025-07-27 20:00:00	7	27	20	2,6
2025-07-27 21:00:00	7	27	21	10,4
2025-07-27 22:00:00	7	27	22	110,9
2025-07-27 23:00:00	7	27	23	6,4
2025-07-28 00:00:00	7	28	0	1,3
2025-07-28 01:00:00	7	28	1	0,3
2025-07-28 02:00:00	7	28	2	1,2
2025-07-28 03:00:00	7	28	3	1,6
2025-07-28 04:00:00	7	28	4	13,8
2025-07-28 05:00:00	7	28	5	40,7
2025-07-28 06:00:00	7	28	6	31,0
2025-07-28 07:00:00	7	28	7	44,6
2025-07-28 08:00:00	7	28	8	0,0
2025-07-28 09:00:00	7	28	9	25,7
2025-07-28 10:00:00	7	28	10	72,9
2025-07-28 11:00:00	7	28	11	0,0
2025-07-28 12:00:00	7	28	12	0,0
2025-07-28 13:00:00	7	28	13	0,0
2025-07-28 14:00:00	7	28	14	0,0
2025-07-28 15:00:00	7	28	15	0,0
2025-07-28 16:00:00	7	28	16	0,0
2025-07-28 17:00:00	7	28	17	0,0
2025-07-28 18:00:00	7	28	18	0,0
2025-07-28 19:00:00	7	28	19	0,0
2025-07-28 20:00:00	7	28	20	0,6
2025-07-28 21:00:00	7	28	21	188,8
2025-07-28 22:00:00	7	28	22	7,1
2025-07-28 23:00:00	7	28	23	0,0
2025-07-29 00:00:00	7	29	0	0,0
2025-07-29 01:00:00	7	29	1	0,0
2025-07-29 02:00:00	7	29	2	0,0
2025-07-29 03:00:00	7	29	3	0,4
2025-07-29 04:00:00	7	29	4	0,3
2025-07-29 05:00:00	7	29	5	0,4
2025-07-29 06:00:00	7	29	6	0,0
2025-07-29 07:00:00	7	29	7	0,0
2025-07-29 08:00:00	7	29	8	0,0
2025-07-29 09:00:00	7	29	9	97,3
2025-07-29 10:00:00	7	29	10	0,0

Station 1 (km381) - T200 NO2

2025-07-29 11:00:00	7	29	11	0,0
2025-07-29 12:00:00	7	29	12	0,0
2025-07-29 13:00:00	7	29	13	0,0
2025-07-29 14:00:00	7	29	14	0,0
2025-07-29 15:00:00	7	29	15	0,0
2025-07-29 16:00:00	7	29	16	0,0
2025-07-29 17:00:00	7	29	17	0,0
2025-07-29 18:00:00	7	29	18	0,0
2025-07-29 19:00:00	7	29	19	0,0
2025-07-29 20:00:00	7	29	20	0,0
2025-07-29 21:00:00	7	29	21	98,1
2025-07-29 22:00:00	7	29	22	0,0
2025-07-29 23:00:00	7	29	23	0,0
2025-07-30 00:00:00	7	30	0	0,0
2025-07-30 01:00:00	7	30	1	0,1
2025-07-30 02:00:00	7	30	2	0,0
2025-07-30 03:00:00	7	30	3	0,0
2025-07-30 04:00:00	7	30	4	0,0
2025-07-30 05:00:00	7	30	5	0,0
2025-07-30 06:00:00	7	30	6	0,0
2025-07-30 07:00:00	7	30	7	0,0
2025-07-30 08:00:00	7	30	8	0,0
2025-07-30 09:00:00	7	30	9	100,9
2025-07-30 10:00:00	7	30	10	0,0
2025-07-30 11:00:00	7	30	11	0,0
2025-07-30 12:00:00	7	30	12	0,0
2025-07-30 13:00:00	7	30	13	0,0
2025-07-30 14:00:00	7	30	14	0,0
2025-07-30 15:00:00	7	30	15	0,0
2025-07-30 16:00:00	7	30	16	0,0
2025-07-30 17:00:00	7	30	17	0,0
2025-07-30 18:00:00	7	30	18	0,0
2025-07-30 19:00:00	7	30	19	0,0
2025-07-30 20:00:00	7	30	20	0,0
2025-07-30 21:00:00	7	30	21	99,3
2025-07-30 22:00:00	7	30	22	0,0
2025-07-30 23:00:00	7	30	23	0,0
2025-07-31 00:00:00	7	31	0	0,0
2025-07-31 01:00:00	7	31	1	0,0
2025-07-31 02:00:00	7	31	2	0,0
2025-07-31 03:00:00	7	31	3	0,0
2025-07-31 04:00:00	7	31	4	0,0
2025-07-31 05:00:00	7	31	5	0,0
2025-07-31 06:00:00	7	31	6	0,0
2025-07-31 07:00:00	7	31	7	0,0
2025-07-31 08:00:00	7	31	8	33,2
2025-07-31 09:00:00	7	31	9	68,6

Station 1 (km381) - T200 NO2

2025-07-31 10:00:00	7	31	10	0,0
2025-07-31 11:00:00	7	31	11	0,0
2025-07-31 12:00:00	7	31	12	0,0
2025-07-31 13:00:00	7	31	13	0,0
2025-07-31 14:00:00	7	31	14	0,0
2025-07-31 15:00:00	7	31	15	0,0
2025-07-31 16:00:00	7	31	16	0,0
2025-07-31 17:00:00	7	31	17	0,0
2025-07-31 18:00:00	7	31	18	0,0
2025-07-31 19:00:00	7	31	19	0,0
2025-07-31 20:00:00	7	31	20	90,0
2025-07-31 21:00:00	7	31	21	6,0
2025-07-31 22:00:00	7	31	22	0,0
2025-07-31 23:00:00	7	31	23	0,0
2025-08-01 00:00:00	8	1	0	0,0
2025-08-01 01:00:00	8	1	1	0,1
2025-08-01 02:00:00	8	1	2	0,2
2025-08-01 03:00:00	8	1	3	0,0
2025-08-01 04:00:00	8	1	4	0,6
2025-08-01 05:00:00	8	1	5	11,8
2025-08-01 06:00:00	8	1	6	1,5
2025-08-01 07:00:00	8	1	7	0,0
2025-08-01 08:00:00	8	1	8	100,7
2025-08-01 09:00:00	8	1	9	0,0
2025-08-01 10:00:00	8	1	10	0,0
2025-08-01 11:00:00	8	1	11	0,0
2025-08-01 12:00:00	8	1	12	0,0
2025-08-01 13:00:00	8	1	13	0,0
2025-08-01 14:00:00	8	1	14	0,0
2025-08-01 15:00:00	8	1	15	0,0
2025-08-01 16:00:00	8	1	16	0,0
2025-08-01 17:00:00	8	1	17	0,0
2025-08-01 18:00:00	8	1	18	0,0
2025-08-01 19:00:00	8	1	19	0,0
2025-08-01 20:00:00	8	1	20	97,5
2025-08-01 21:00:00	8	1	21	0,0
2025-08-01 22:00:00	8	1	22	0,0
2025-08-01 23:00:00	8	1	23	0,0
2025-08-02 00:00:00	8	2	0	0,0
2025-08-02 01:00:00	8	2	1	0,0
2025-08-02 02:00:00	8	2	2	0,0
2025-08-02 03:00:00	8	2	3	0,0
2025-08-02 04:00:00	8	2	4	0,0
2025-08-02 05:00:00	8	2	5	0,0
2025-08-02 06:00:00	8	2	6	0,0
2025-08-02 07:00:00	8	2	7	0,0
2025-08-02 08:00:00	8	2	8	97,4

Station 1 (km381) - T200 NO2

2025-08-02 09:00:00	8	2	9	0,0
2025-08-02 10:00:00	8	2	10	0,0
2025-08-02 11:00:00	8	2	11	0,0
2025-08-02 12:00:00	8	2	12	0,0
2025-08-02 13:00:00	8	2	13	0,0
2025-08-02 14:00:00	8	2	14	0,0
2025-08-02 15:00:00	8	2	15	0,0
2025-08-02 16:00:00	8	2	16	0,0
2025-08-02 17:00:00	8	2	17	0,0
2025-08-02 18:00:00	8	2	18	0,0
2025-08-02 19:00:00	8	2	19	0,0
2025-08-02 20:00:00	8	2	20	95,1
2025-08-02 21:00:00	8	2	21	0,0
2025-08-02 22:00:00	8	2	22	0,3
2025-08-02 23:00:00	8	2	23	0,0
2025-08-03 00:00:00	8	3	0	0,0
2025-08-03 01:00:00	8	3	1	0,0
2025-08-03 02:00:00	8	3	2	0,0
2025-08-03 03:00:00	8	3	3	0,0
2025-08-03 04:00:00	8	3	4	0,0
2025-08-03 05:00:00	8	3	5	0,0
2025-08-03 06:00:00	8	3	6	0,0
2025-08-03 07:00:00	8	3	7	24,7
2025-08-03 08:00:00	8	3	8	73,1
2025-08-03 09:00:00	8	3	9	0,0
2025-08-03 10:00:00	8	3	10	0,0
2025-08-03 11:00:00	8	3	11	0,0
2025-08-03 12:00:00	8	3	12	0,0
2025-08-03 13:00:00	8	3	13	0,0
2025-08-03 14:00:00	8	3	14	0,0
2025-08-03 15:00:00	8	3	15	0,0
2025-08-03 16:00:00	8	3	16	0,0
2025-08-03 17:00:00	8	3	17	0,0
2025-08-03 18:00:00	8	3	18	0,0
2025-08-03 19:00:00	8	3	19	89,5
2025-08-03 20:00:00	8	3	20	5,8
2025-08-03 21:00:00	8	3	21	0,0
2025-08-03 22:00:00	8	3	22	0,0
2025-08-03 23:00:00	8	3	23	0,0
2025-08-04 00:00:00	8	4	0	0,0
2025-08-04 01:00:00	8	4	1	0,0
2025-08-04 02:00:00	8	4	2	0,0
2025-08-04 03:00:00	8	4	3	0,0
2025-08-04 04:00:00	8	4	4	0,0
2025-08-04 05:00:00	8	4	5	0,0
2025-08-04 06:00:00	8	4	6	0,0
2025-08-04 07:00:00	8	4	7	94,8

Station 1 (km381) - T200 NO2

2025-08-04 08:00:00	8	4	8	0,0
2025-08-04 09:00:00	8	4	9	0,0
2025-08-04 10:00:00	8	4	10	0,0
2025-08-04 11:00:00	8	4	11	0,0
2025-08-04 12:00:00	8	4	12	0,0
2025-08-04 13:00:00	8	4	13	0,0
2025-08-04 14:00:00	8	4	14	0,0
2025-08-04 15:00:00	8	4	15	0,0
2025-08-04 16:00:00	8	4	16	0,0
2025-08-04 17:00:00	8	4	17	0,0
2025-08-04 18:00:00	8	4	18	0,0
2025-08-04 19:00:00	8	4	19	95,2
2025-08-04 20:00:00	8	4	20	0,0
2025-08-04 21:00:00	8	4	21	0,0
2025-08-04 22:00:00	8	4	22	0,4
2025-08-04 23:00:00	8	4	23	0,0
2025-08-05 00:00:00	8	5	0	0,0
2025-08-05 01:00:00	8	5	1	0,0
2025-08-05 02:00:00	8	5	2	0,3
2025-08-05 03:00:00	8	5	3	0,1
2025-08-05 04:00:00	8	5	4	0,0
2025-08-05 05:00:00	8	5	5	0,0
2025-08-05 06:00:00	8	5	6	0,0
2025-08-05 07:00:00	8	5	7	95,6
2025-08-05 08:00:00	8	5	8	0,0
2025-08-05 09:00:00	8	5	9	0,0
2025-08-05 10:00:00	8	5	10	0,0
2025-08-05 11:00:00	8	5	11	0,0
2025-08-05 12:00:00	8	5	12	0,0
2025-08-05 13:00:00	8	5	13	0,0
2025-08-05 14:00:00	8	5	14	0,0
2025-08-05 15:00:00	8	5	15	0,0
2025-08-05 16:00:00	8	5	16	0,0
2025-08-05 17:00:00	8	5	17	0,0
2025-08-05 18:00:00	8	5	18	0,0
2025-08-05 19:00:00	8	5	19	98,6
2025-08-05 20:00:00	8	5	20	0,0
2025-08-05 21:00:00	8	5	21	0,2
2025-08-05 22:00:00	8	5	22	0,0
2025-08-05 23:00:00	8	5	23	0,0
2025-08-06 00:00:00	8	6	0	0,0
2025-08-06 01:00:00	8	6	1	0,0
2025-08-06 02:00:00	8	6	2	0,0
2025-08-06 03:00:00	8	6	3	0,0
2025-08-06 04:00:00	8	6	4	0,0
2025-08-06 05:00:00	8	6	5	0,0
2025-08-06 06:00:00	8	6	6	25,6

Station 1 (km381) - T200 NO2

2025-08-06 07:00:00	8	6	7	70,0
2025-08-06 08:00:00	8	6	8	0,0
2025-08-06 09:00:00	8	6	9	0,0
2025-08-06 10:00:00	8	6	10	0,0
2025-08-06 11:00:00	8	6	11	0,0
2025-08-06 12:00:00	8	6	12	0,0
2025-08-06 13:00:00	8	6	13	0,0
2025-08-06 14:00:00	8	6	14	0,0
2025-08-06 15:00:00	8	6	15	0,0
2025-08-06 16:00:00	8	6	16	0,0
2025-08-06 17:00:00	8	6	17	0,0
2025-08-06 18:00:00	8	6	18	92,5
2025-08-06 19:00:00	8	6	19	5,8
2025-08-06 20:00:00	8	6	20	0,0
2025-08-06 21:00:00	8	6	21	0,0
2025-08-06 22:00:00	8	6	22	0,0
2025-08-06 23:00:00	8	6	23	0,0
2025-08-07 00:00:00	8	7	0	0,0
2025-08-07 01:00:00	8	7	1	0,0
2025-08-07 02:00:00	8	7	2	0,0
2025-08-07 03:00:00	8	7	3	0,0
2025-08-07 04:00:00	8	7	4	0,0
2025-08-07 05:00:00	8	7	5	0,0
2025-08-07 06:00:00	8	7	6	98,3
2025-08-07 07:00:00	8	7	7	0,0
2025-08-07 08:00:00	8	7	8	0,0
2025-08-07 09:00:00	8	7	9	0,0
2025-08-07 10:00:00	8	7	10	0,0
2025-08-07 11:00:00	8	7	11	0,0
2025-08-07 12:00:00	8	7	12	0,0
2025-08-07 13:00:00	8	7	13	0,0
2025-08-07 14:00:00	8	7	14	0,0
2025-08-07 15:00:00	8	7	15	0,0
2025-08-07 16:00:00	8	7	16	0,0
2025-08-07 17:00:00	8	7	17	0,0
2025-08-07 18:00:00	8	7	18	99,5
2025-08-07 19:00:00	8	7	19	0,0
2025-08-07 20:00:00	8	7	20	0,0
2025-08-07 21:00:00	8	7	21	0,0
2025-08-07 22:00:00	8	7	22	0,0
2025-08-07 23:00:00	8	7	23	0,0
2025-08-08 00:00:00	8	8	0	0,0
2025-08-08 01:00:00	8	8	1	0,0
2025-08-08 02:00:00	8	8	2	0,0
2025-08-08 03:00:00	8	8	3	0,0
2025-08-08 04:00:00	8	8	4	0,0
2025-08-08 05:00:00	8	8	5	0,0

Station 1 (km381) - T200 NO2

2025-08-08 06:00:00	8	8	6	97,7
2025-08-08 07:00:00	8	8	7	0,0
2025-08-08 08:00:00	8	8	8	0,0
2025-08-08 09:00:00	8	8	9	0,0
2025-08-08 10:00:00	8	8	10	0,0
2025-08-08 11:00:00	8	8	11	0,0
2025-08-08 12:00:00	8	8	12	0,0
2025-08-08 13:00:00	8	8	13	0,0
2025-08-08 14:00:00	8	8	14	0,0
2025-08-08 15:00:00	8	8	15	8,0
2025-08-08 16:00:00	8	8	16	4,9
2025-08-08 17:00:00	8	8	17	15,4
2025-08-08 18:00:00	8	8	18	57,6
2025-08-08 19:00:00	8	8	19	0,0
2025-08-08 20:00:00	8	8	20	0,0
2025-08-08 21:00:00	8	8	21	0,0
2025-08-08 22:00:00	8	8	22	0,0
2025-08-08 23:00:00	8	8	23	0,0
2025-08-09 00:00:00	8	9	0	0,0
2025-08-09 01:00:00	8	9	1	0,0
2025-08-09 02:00:00	8	9	2	0,0
2025-08-09 03:00:00	8	9	3	0,0
2025-08-09 04:00:00	8	9	4	0,0
2025-08-09 05:00:00	8	9	5	23,1
2025-08-09 06:00:00	8	9	6	68,0
2025-08-09 07:00:00	8	9	7	0,0
2025-08-09 08:00:00	8	9	8	0,0
2025-08-09 09:00:00	8	9	9	0,0
2025-08-09 10:00:00	8	9	10	0,0
2025-08-09 11:00:00	8	9	11	0,0
2025-08-09 12:00:00	8	9	12	0,0
2025-08-09 13:00:00	8	9	13	0,0
2025-08-09 14:00:00	8	9	14	0,0
2025-08-09 15:00:00	8	9	15	0,0
2025-08-09 16:00:00	8	9	16	0,0
2025-08-09 17:00:00	8	9	17	85,8
2025-08-09 18:00:00	8	9	18	60,8
2025-08-09 19:00:00	8	9	19	0,0
2025-08-09 20:00:00	8	9	20	0,0
2025-08-09 21:00:00	8	9	21	0,7
2025-08-09 22:00:00	8	9	22	0,0
2025-08-09 23:00:00	8	9	23	0,0
2025-08-10 00:00:00	8	10	0	0,0
2025-08-10 01:00:00	8	10	1	0,4
2025-08-10 02:00:00	8	10	2	0,0
2025-08-10 03:00:00	8	10	3	0,0
2025-08-10 04:00:00	8	10	4	0,0

Station 1 (km381) - T200 NO2

2025-08-10 05:00:00	8	10	5	114,2
2025-08-10 06:00:00	8	10	6	1,1
2025-08-10 07:00:00	8	10	7	0,0
2025-08-10 08:00:00	8	10	8	0,0
2025-08-10 09:00:00	8	10	9	0,0
2025-08-10 10:00:00	8	10	10	0,0
2025-08-10 11:00:00	8	10	11	0,0
2025-08-10 12:00:00	8	10	12	0,0
2025-08-10 13:00:00	8	10	13	0,0
2025-08-10 14:00:00	8	10	14	0,0
2025-08-10 15:00:00	8	10	15	0,0
2025-08-10 16:00:00	8	10	16	0,0
2025-08-10 17:00:00	8	10	17	108,2
2025-08-10 18:00:00	8	10	18	0,2
2025-08-10 19:00:00	8	10	19	0,0
2025-08-10 20:00:00	8	10	20	0,2
2025-08-10 21:00:00	8	10	21	0,6
2025-08-10 22:00:00	8	10	22	0,0
2025-08-10 23:00:00	8	10	23	0,0
2025-08-11 00:00:00	8	11	0	0,0
2025-08-11 01:00:00	8	11	1	0,0
2025-08-11 02:00:00	8	11	2	0,0
2025-08-11 03:00:00	8	11	3	0,0
2025-08-11 04:00:00	8	11	4	0,0
2025-08-11 05:00:00	8	11	5	0,0
2025-08-11 06:00:00	8	11	6	0,0
2025-08-11 07:00:00	8	11	7	0,0
2025-08-11 08:00:00	8	11	8	0,0
2025-08-11 09:00:00	8	11	9	0,0
2025-08-11 10:00:00	8	11	10	0,0
2025-08-11 11:00:00	8	11	11	0,0
2025-08-11 12:00:00	8	11	12	0,0
2025-08-11 13:00:00	8	11	13	0,0
2025-08-11 14:00:00	8	11	14	0,0
2025-08-11 15:00:00	8	11	15	0,0
2025-08-11 16:00:00	8	11	16	0,0
2025-08-11 17:00:00	8	11	17	107,9
2025-08-11 18:00:00	8	11	18	0,0
2025-08-11 19:00:00	8	11	19	0,0
2025-08-11 20:00:00	8	11	20	0,0
2025-08-11 21:00:00	8	11	21	0,0
2025-08-11 22:00:00	8	11	22	0,0
2025-08-11 23:00:00	8	11	23	0,0
2025-08-12 00:00:00	8	12	0	0,0
2025-08-12 01:00:00	8	12	1	0,0
2025-08-12 02:00:00	8	12	2	0,0
2025-08-12 03:00:00	8	12	3	0,0

Station 1 (km381) - T200 NO2

2025-08-12 04:00:00	8	12	4	29,3
2025-08-12 05:00:00	8	12	5	73,4
2025-08-12 06:00:00	8	12	6	0,0
2025-08-12 07:00:00	8	12	7	0,0
2025-08-12 08:00:00	8	12	8	0,0
2025-08-12 09:00:00	8	12	9	0,0
2025-08-12 10:00:00	8	12	10	0,0
2025-08-12 11:00:00	8	12	11	0,0
2025-08-12 12:00:00	8	12	12	0,0
2025-08-12 13:00:00	8	12	13	0,0
2025-08-12 14:00:00	8	12	14	0,0
2025-08-12 15:00:00	8	12	15	0,0
2025-08-12 16:00:00	8	12	16	97,3
2025-08-12 17:00:00	8	12	17	6,3
2025-08-12 18:00:00	8	12	18	0,0
2025-08-12 19:00:00	8	12	19	0,0
2025-08-12 20:00:00	8	12	20	0,0
2025-08-12 21:00:00	8	12	21	0,0
2025-08-12 22:00:00	8	12	22	0,0
2025-08-12 23:00:00	8	12	23	0,0
2025-08-13 00:00:00	8	13	0	0,0
2025-08-13 01:00:00	8	13	1	0,0
2025-08-13 02:00:00	8	13	2	0,0
2025-08-13 03:00:00	8	13	3	0,1
2025-08-13 04:00:00	8	13	4	103,9
2025-08-13 05:00:00	8	13	5	0,0
2025-08-13 06:00:00	8	13	6	0,0
2025-08-13 07:00:00	8	13	7	0,0
2025-08-13 08:00:00	8	13	8	0,0
2025-08-13 09:00:00	8	13	9	0,0
2025-08-13 10:00:00	8	13	10	0,0
2025-08-13 11:00:00	8	13	11	0,0
2025-08-13 12:00:00	8	13	12	0,0
2025-08-13 13:00:00	8	13	13	0,0
2025-08-13 14:00:00	8	13	14	0,0
2025-08-13 15:00:00	8	13	15	0,0
2025-08-13 16:00:00	8	13	16	111,2
2025-08-13 17:00:00	8	13	17	0,0
2025-08-13 18:00:00	8	13	18	0,0
2025-08-13 19:00:00	8	13	19	0,0
2025-08-13 20:00:00	8	13	20	0,0
2025-08-13 21:00:00	8	13	21	0,0
2025-08-13 22:00:00	8	13	22	0,0
2025-08-13 23:00:00	8	13	23	0,0
2025-08-14 00:00:00	8	14	0	0,0
2025-08-14 01:00:00	8	14	1	0,0
2025-08-14 02:00:00	8	14	2	0,0

Station 1 (km381) - T200 NO2

2025-08-14 03:00:00	8	14	3	0,3
2025-08-14 04:00:00	8	14	4	129,5
2025-08-14 05:00:00	8	14	5	0,8
2025-08-14 06:00:00	8	14	6	1,1
2025-08-14 07:00:00	8	14	7	1,4
2025-08-14 08:00:00	8	14	8	1,2
2025-08-14 09:00:00	8	14	9	1,4
2025-08-14 10:00:00	8	14	10	1,3
2025-08-14 11:00:00	8	14	11	1,5
2025-08-14 12:00:00	8	14	12	1,4
2025-08-14 13:00:00	8	14	13	1,3
2025-08-14 14:00:00	8	14	14	0,0
2025-08-14 15:00:00	8	14	15	0,0
2025-08-14 16:00:00	8	14	16	53,1
2025-08-14 17:00:00	8	14	17	0,0
2025-08-14 18:00:00	8	14	18	0,0
2025-08-14 19:00:00	8	14	19	0,0
2025-08-14 20:00:00	8	14	20	0,0
2025-08-14 21:00:00	8	14	21	0,0
2025-08-14 22:00:00	8	14	22	0,3
2025-08-14 23:00:00	8	14	23	0,0
2025-08-15 00:00:00	8	15	0	0,0
2025-08-15 01:00:00	8	15	1	0,0
2025-08-15 02:00:00	8	15	2	0,0
2025-08-15 03:00:00	8	15	3	34,2
2025-08-15 04:00:00	8	15	4	74,5
2025-08-15 05:00:00	8	15	5	0,0
2025-08-15 06:00:00	8	15	6	0,0
2025-08-15 07:00:00	8	15	7	0,0
2025-08-15 08:00:00	8	15	8	0,0
2025-08-15 09:00:00	8	15	9	0,0
2025-08-15 10:00:00	8	15	10	0,0
2025-08-15 11:00:00	8	15	11	0,0
2025-08-15 12:00:00	8	15	12	0,0
2025-08-15 13:00:00	8	15	13	0,0
2025-08-15 14:00:00	8	15	14	0,0
2025-08-15 15:00:00	8	15	15	98,4
2025-08-15 16:00:00	8	15	16	6,4
2025-08-15 17:00:00	8	15	17	0,0
2025-08-15 18:00:00	8	15	18	0,0
2025-08-15 19:00:00	8	15	19	0,0
2025-08-15 20:00:00	8	15	20	0,0
2025-08-15 21:00:00	8	15	21	0,0
2025-08-15 22:00:00	8	15	22	0,0
2025-08-15 23:00:00	8	15	23	0,0
2025-08-16 00:00:00	8	16	0	0,0
2025-08-16 01:00:00	8	16	1	0,0

Station 1 (km381) - T200 NO2

2025-08-16 02:00:00	8	16	2	0,2
2025-08-16 03:00:00	8	16	3	132,8
2025-08-16 04:00:00	8	16	4	2,5
2025-08-16 05:00:00	8	16	5	2,5
2025-08-16 06:00:00	8	16	6	2,5
2025-08-16 07:00:00	8	16	7	2,3
2025-08-16 08:00:00	8	16	8	2,8
2025-08-16 09:00:00	8	16	9	2,5
2025-08-16 10:00:00	8	16	10	2,5
2025-08-16 11:00:00	8	16	11	0,0
2025-08-16 12:00:00	8	16	12	0,0
2025-08-16 13:00:00	8	16	13	0,0
2025-08-16 14:00:00	8	16	14	0,0
2025-08-16 15:00:00	8	16	15	124,5
2025-08-16 16:00:00	8	16	16	1,3
2025-08-16 17:00:00	8	16	17	1,9
2025-08-16 18:00:00	8	16	18	2,2
2025-08-16 19:00:00	8	16	19	2,7
2025-08-16 20:00:00	8	16	20	2,8
2025-08-16 21:00:00	8	16	21	2,9
2025-08-16 22:00:00	8	16	22	2,9
2025-08-16 23:00:00	8	16	23	3,1
2025-08-17 00:00:00	8	17	0	3,1
2025-08-17 01:00:00	8	17	1	3,2
2025-08-17 02:00:00	8	17	2	3,1
2025-08-17 03:00:00	8	17	3	3,2
2025-08-17 04:00:00	8	17	4	3,2
2025-08-17 05:00:00	8	17	5	3,5
2025-08-17 06:00:00	8	17	6	3,2
2025-08-17 07:00:00	8	17	7	3,2
2025-08-17 08:00:00	8	17	8	3,2
2025-08-17 09:00:00	8	17	9	3,3
2025-08-17 10:00:00	8	17	10	3,3
2025-08-17 11:00:00	8	17	11	3,4
2025-08-17 12:00:00	8	17	12	3,5
2025-08-17 13:00:00	8	17	13	3,7
2025-08-17 14:00:00	8	17	14	3,8
2025-08-17 15:00:00	8	17	15	187,9
2025-08-17 16:00:00	8	17	16	4,0
2025-08-17 17:00:00	8	17	17	4,1
2025-08-17 18:00:00	8	17	18	4,1
2025-08-17 19:00:00	8	17	19	4,1
2025-08-17 20:00:00	8	17	20	3,8
2025-08-17 21:00:00	8	17	21	3,9
2025-08-17 22:00:00	8	17	22	3,7
2025-08-17 23:00:00	8	17	23	3,5
2025-08-18 00:00:00	8	18	0	3,4

Station 1 (km381) - T200 NO2

2025-08-18 01:00:00	8	18	1	3,7
2025-08-18 02:00:00	8	18	2	69,5
2025-08-18 03:00:00	8	18	3	113,7
2025-08-18 04:00:00	8	18	4	3,8
2025-08-18 05:00:00	8	18	5	3,2
2025-08-18 06:00:00	8	18	6	4,8
2025-08-18 07:00:00	8	18	7	2,4
2025-08-18 08:00:00	8	18	8	0,6
2025-08-18 09:00:00	8	18	9	0,0
2025-08-18 10:00:00	8	18	10	0,7
2025-08-18 11:00:00	8	18	11	1,1
2025-08-18 12:00:00	8	18	12	1,6
2025-08-18 13:00:00	8	18	13	1,7
2025-08-18 14:00:00	8	18	14	139,6
2025-08-18 15:00:00	8	18	15	10,1
2025-08-18 16:00:00	8	18	16	1,4
2025-08-18 17:00:00	8	18	17	1,8
2025-08-18 18:00:00	8	18	18	2,2
2025-08-18 19:00:00	8	18	19	2,7
2025-08-18 20:00:00	8	18	20	2,7
2025-08-18 21:00:00	8	18	21	3,8
2025-08-18 22:00:00	8	18	22	4,1
2025-08-18 23:00:00	8	18	23	3,0
2025-08-19 00:00:00	8	19	0	3,2
2025-08-19 01:00:00	8	19	1	3,3
2025-08-19 02:00:00	8	19	2	199,2
2025-08-19 03:00:00	8	19	3	3,5
2025-08-19 04:00:00	8	19	4	3,6
2025-08-19 05:00:00	8	19	5	3,8
2025-08-19 06:00:00	8	19	6	3,8
2025-08-19 07:00:00	8	19	7	3,7
2025-08-19 08:00:00	8	19	8	3,7
2025-08-19 09:00:00	8	19	9	3,0
2025-08-19 10:00:00	8	19	10	2,3
2025-08-19 11:00:00	8	19	11	1,8
2025-08-19 12:00:00	8	19	12	1,1
2025-08-19 13:00:00	8	19	13	0,8
2025-08-19 14:00:00	8	19	14	148,0
2025-08-19 15:00:00	8	19	15	0,0
2025-08-19 16:00:00	8	19	16	0,0
2025-08-19 17:00:00	8	19	17	0,0
2025-08-19 18:00:00	8	19	18	0,0
2025-08-19 19:00:00	8	19	19	0,0
2025-08-19 20:00:00	8	19	20	0,0
2025-08-19 21:00:00	8	19	21	0,1
2025-08-19 22:00:00	8	19	22	0,2
2025-08-19 23:00:00	8	19	23	0,5

Station 1 (km381) - T200 NO2

2025-08-20 00:00:00	8	20	0	0,7
2025-08-20 01:00:00	8	20	1	0,7
2025-08-20 02:00:00	8	20	2	177,2
2025-08-20 03:00:00	8	20	3	0,9
2025-08-20 04:00:00	8	20	4	1,1
2025-08-20 05:00:00	8	20	5	1,2
2025-08-20 06:00:00	8	20	6	1,2
2025-08-20 07:00:00	8	20	7	0,8
2025-08-20 08:00:00	8	20	8	0,0
2025-08-20 09:00:00	8	20	9	0,0
2025-08-20 10:00:00	8	20	10	0,0
2025-08-20 11:00:00	8	20	11	0,0
2025-08-20 12:00:00	8	20	12	0,0
2025-08-20 13:00:00	8	20	13	0,0
2025-08-20 14:00:00	8	20	14	103,9
2025-08-20 15:00:00	8	20	15	0,0
2025-08-20 16:00:00	8	20	16	0,0
2025-08-20 17:00:00	8	20	17	0,3
2025-08-20 18:00:00	8	20	18	0,7
2025-08-20 19:00:00	8	20	19	1,1
2025-08-20 20:00:00	8	20	20	2,1
2025-08-20 21:00:00	8	20	21	0,0
2025-08-20 22:00:00	8	20	22	0,0
2025-08-20 23:00:00	8	20	23	0,0
2025-08-21 00:00:00	8	21	0	0,0
2025-08-21 01:00:00	8	21	1	0,0
2025-08-21 02:00:00	8	21	2	0,0
2025-08-21 03:00:00	8	21	3	0,0
2025-08-21 04:00:00	8	21	4	0,0
2025-08-21 05:00:00	8	21	5	0,0
2025-08-21 06:00:00	8	21	6	0,0
2025-08-21 07:00:00	8	21	7	0,0
2025-08-21 08:00:00	8	21	8	0,0
2025-08-21 09:00:00	8	21	9	0,0
2025-08-21 10:00:00	8	21	10	0,0
2025-08-21 11:00:00	8	21	11	0,0
2025-08-21 12:00:00	8	21	12	0,0
2025-08-21 13:00:00	8	21	13	0,0
2025-08-21 14:00:00	8	21	14	0,0
2025-08-21 15:00:00	8	21	15	0,0
2025-08-21 16:00:00	8	21	16	0,0
2025-08-21 17:00:00	8	21	17	0,0
2025-08-21 18:00:00	8	21	18	0,0
2025-08-21 19:00:00	8	21	19	0,0
2025-08-21 20:00:00	8	21	20	0,0
2025-08-21 21:00:00	8	21	21	0,0
2025-08-21 22:00:00	8	21	22	0,0

Station 1 (km381) - T200 NO2

2025-08-21 23:00:00	8	21	23	0,0
2025-08-22 00:00:00	8	22	0	0,0
2025-08-22 01:00:00	8	22	1	0,0
2025-08-22 02:00:00	8	22	2	0,0
2025-08-22 03:00:00	8	22	3	0,0
2025-08-22 04:00:00	8	22	4	0,0
2025-08-22 05:00:00	8	22	5	0,0
2025-08-22 06:00:00	8	22	6	0,0
2025-08-22 07:00:00	8	22	7	0,0
2025-08-22 08:00:00	8	22	8	0,0
2025-08-22 09:00:00	8	22	9	0,0
2025-08-22 10:00:00	8	22	10	0,0
2025-08-22 11:00:00	8	22	11	0,0
2025-08-22 12:00:00	8	22	12	0,0
2025-08-22 13:00:00	8	22	13	0,0
2025-08-22 14:00:00	8	22	14	0,0
2025-08-22 15:00:00	8	22	15	0,0
2025-08-22 16:00:00	8	22	16	0,0
2025-08-22 17:00:00	8	22	17	0,0
2025-08-22 18:00:00	8	22	18	0,0
2025-08-22 19:00:00	8	22	19	0,0
2025-08-22 20:00:00	8	22	20	0,0
2025-08-22 21:00:00	8	22	21	0,0
2025-08-22 22:00:00	8	22	22	0,0
2025-08-22 23:00:00	8	22	23	0,0
2025-08-23 00:00:00	8	23	0	0,0
2025-08-23 01:00:00	8	23	1	0,0
2025-08-23 02:00:00	8	23	2	0,0
2025-08-23 03:00:00	8	23	3	0,0
2025-08-23 04:00:00	8	23	4	0,0
2025-08-23 05:00:00	8	23	5	0,0
2025-08-23 06:00:00	8	23	6	0,0
2025-08-23 07:00:00	8	23	7	0,0
2025-08-23 08:00:00	8	23	8	0,0
2025-08-23 09:00:00	8	23	9	0,0
2025-08-23 10:00:00	8	23	10	0,0
2025-08-23 11:00:00	8	23	11	0,0
2025-08-23 12:00:00	8	23	12	0,0
2025-08-23 13:00:00	8	23	13	0,0
2025-08-23 14:00:00	8	23	14	0,0
2025-08-23 15:00:00	8	23	15	0,0
2025-08-23 16:00:00	8	23	16	0,0
2025-08-23 17:00:00	8	23	17	0,0
2025-08-23 18:00:00	8	23	18	0,0
2025-08-23 19:00:00	8	23	19	0,0
2025-08-23 20:00:00	8	23	20	0,0
2025-08-23 21:00:00	8	23	21	0,0

Station 1 (km381) - T200 NO2

2025-08-23 22:00:00	8	23	22	0,0
2025-08-23 23:00:00	8	23	23	0,0
2025-08-24 00:00:00	8	24	0	0,0
2025-08-24 01:00:00	8	24	1	0,0
2025-08-24 02:00:00	8	24	2	0,0
2025-08-24 03:00:00	8	24	3	0,0
2025-08-24 04:00:00	8	24	4	0,0
2025-08-24 05:00:00	8	24	5	0,0
2025-08-24 06:00:00	8	24	6	0,0
2025-08-24 07:00:00	8	24	7	0,0
2025-08-24 08:00:00	8	24	8	0,0
2025-08-24 09:00:00	8	24	9	0,0
2025-08-24 10:00:00	8	24	10	0,0
2025-08-24 11:00:00	8	24	11	0,0
2025-08-24 12:00:00	8	24	12	0,0
2025-08-24 13:00:00	8	24	13	0,0
2025-08-24 14:00:00	8	24	14	0,0
2025-08-24 15:00:00	8	24	15	0,0
2025-08-24 16:00:00	8	24	16	0,0
2025-08-24 17:00:00	8	24	17	0,0
2025-08-24 18:00:00	8	24	18	0,0
2025-08-24 19:00:00	8	24	19	0,0
2025-08-24 20:00:00	8	24	20	0,0
2025-08-24 21:00:00	8	24	21	0,0
2025-08-24 22:00:00	8	24	22	0,0
2025-08-24 23:00:00	8	24	23	0,0
2025-08-25 00:00:00	8	25	0	0,0
2025-08-25 01:00:00	8	25	1	0,0
2025-08-25 02:00:00	8	25	2	0,0
2025-08-25 03:00:00	8	25	3	0,0
2025-08-25 04:00:00	8	25	4	0,0
2025-08-25 05:00:00	8	25	5	0,0
2025-08-25 06:00:00	8	25	6	0,0
2025-08-25 07:00:00	8	25	7	0,0
2025-08-25 08:00:00	8	25	8	0,0
2025-08-25 09:00:00	8	25	9	0,0
2025-08-25 10:00:00	8	25	10	0,0
2025-08-25 11:00:00	8	25	11	0,0
2025-08-25 12:00:00	8	25	12	0,0
2025-08-25 13:00:00	8	25	13	0,0
2025-08-25 14:00:00	8	25	14	0,0
2025-08-25 15:00:00	8	25	15	0,0
2025-08-25 16:00:00	8	25	16	0,0
2025-08-25 17:00:00	8	25	17	0,0
2025-08-25 18:00:00	8	25	18	0,0
2025-08-25 19:00:00	8	25	19	0,0
2025-08-25 20:00:00	8	25	20	0,0

Station 1 (km381) - T200 NO2

2025-08-25 21:00:00	8	25	21	0,0
2025-08-25 22:00:00	8	25	22	0,0
2025-08-25 23:00:00	8	25	23	0,0
2025-08-26 00:00:00	8	26	0	0,0
2025-08-26 01:00:00	8	26	1	0,0
2025-08-26 02:00:00	8	26	2	0,0
2025-08-26 03:00:00	8	26	3	0,0
2025-08-26 04:00:00	8	26	4	0,0
2025-08-26 05:00:00	8	26	5	0,0
2025-08-26 06:00:00	8	26	6	0,0
2025-08-26 07:00:00	8	26	7	0,0
2025-08-26 08:00:00	8	26	8	0,0
2025-08-26 09:00:00	8	26	9	0,0
2025-08-26 10:00:00	8	26	10	0,0
2025-08-26 11:00:00	8	26	11	0,0
2025-08-26 12:00:00	8	26	12	130,8
2025-08-26 13:00:00	8	26	13	0,3
2025-08-26 14:00:00	8	26	14	0,6
2025-08-26 15:00:00	8	26	15	0,7
2025-08-26 16:00:00	8	26	16	0,8
2025-08-26 17:00:00	8	26	17	0,9
2025-08-26 18:00:00	8	26	18	1,0
2025-08-26 19:00:00	8	26	19	1,0
2025-08-26 20:00:00	8	26	20	0,9
2025-08-26 21:00:00	8	26	21	0,9
2025-08-26 22:00:00	8	26	22	1,1
2025-08-26 23:00:00	8	26	23	0,8
2025-08-27 00:00:00	8	27	0	76,0
2025-08-27 01:00:00	8	27	1	1,1
2025-08-27 02:00:00	8	27	2	1,2
2025-08-27 03:00:00	8	27	3	1,3
2025-08-27 04:00:00	8	27	4	1,1
2025-08-27 05:00:00	8	27	5	1,1
2025-08-27 06:00:00	8	27	6	0,8
2025-08-27 07:00:00	8	27	7	0,4
2025-08-27 08:00:00	8	27	8	0,8
2025-08-27 09:00:00	8	27	9	1,9
2025-08-27 10:00:00	8	27	10	0,2
2025-08-27 11:00:00	8	27	11	114,4
2025-08-27 12:00:00	8	27	12	7,0
2025-08-27 13:00:00	8	27	13	0,0
2025-08-27 14:00:00	8	27	14	0,1
2025-08-27 15:00:00	8	27	15	0,4
2025-08-27 16:00:00	8	27	16	0,3
2025-08-27 17:00:00	8	27	17	0,6
2025-08-27 18:00:00	8	27	18	0,9
2025-08-27 19:00:00	8	27	19	1,1

Station 1 (km381) - T200 NO2

2025-08-27 20:00:00	8	27	20	0,8
2025-08-27 21:00:00	8	27	21	0,9
2025-08-27 22:00:00	8	27	22	0,6
2025-08-27 23:00:00	8	27	23	153,5
2025-08-28 00:00:00	8	28	0	0,5
2025-08-28 01:00:00	8	28	1	0,4
2025-08-28 02:00:00	8	28	2	0,6
2025-08-28 03:00:00	8	28	3	0,5
2025-08-28 04:00:00	8	28	4	0,5
2025-08-28 05:00:00	8	28	5	0,7
2025-08-28 06:00:00	8	28	6	1,3
2025-08-28 07:00:00	8	28	7	0,6
2025-08-28 08:00:00	8	28	8	0,7
2025-08-28 09:00:00	8	28	9	0,7
2025-08-28 10:00:00	8	28	10	0,0
2025-08-28 11:00:00	8	28	11	104,9
2025-08-28 12:00:00	8	28	12	0,0
2025-08-28 13:00:00	8	28	13	0,1
2025-08-28 14:00:00	8	28	14	0,3
2025-08-28 15:00:00	8	28	15	0,5
2025-08-28 16:00:00	8	28	16	0,4
2025-08-28 17:00:00	8	28	17	0,7
2025-08-28 18:00:00	8	28	18	0,8
2025-08-28 19:00:00	8	28	19	1,6
2025-08-28 20:00:00	8	28	20	1,7
2025-08-28 21:00:00	8	28	21	0,9
2025-08-28 22:00:00	8	28	22	0,8
2025-08-28 23:00:00	8	28	23	161,4
2025-08-29 00:00:00	8	29	0	1,2
2025-08-29 01:00:00	8	29	1	1,9
2025-08-29 02:00:00	8	29	2	2,1
2025-08-29 03:00:00	8	29	3	2,3
2025-08-29 04:00:00	8	29	4	1,6
2025-08-29 05:00:00	8	29	5	1,4
2025-08-29 06:00:00	8	29	6	3,2
2025-08-29 07:00:00	8	29	7	1,6
2025-08-29 08:00:00	8	29	8	1,0
2025-08-29 09:00:00	8	29	9	0,9
2025-08-29 10:00:00	8	29	10	1,0
2025-08-29 11:00:00	8	29	11	109,5
2025-08-29 12:00:00	8	29	12	1,1
2025-08-29 13:00:00	8	29	13	1,1
2025-08-29 14:00:00	8	29	14	0,9
2025-08-29 15:00:00	8	29	15	0,9
2025-08-29 16:00:00	8	29	16	0,8
2025-08-29 17:00:00	8	29	17	0,9
2025-08-29 18:00:00	8	29	18	0,0

Station 1 (km381) - T200 NO2

2025-08-29 19:00:00	8	29	19	0,0
2025-08-29 20:00:00	8	29	20	0,0
2025-08-29 21:00:00	8	29	21	0,0
2025-08-29 22:00:00	8	29	22	0,0
2025-08-29 23:00:00	8	29	23	0,0
2025-08-30 00:00:00	8	30	0	0,0
2025-08-30 01:00:00	8	30	1	0,0
2025-08-30 02:00:00	8	30	2	0,0
2025-08-30 03:00:00	8	30	3	0,0
2025-08-30 04:00:00	8	30	4	0,0
2025-08-30 05:00:00	8	30	5	0,0
2025-08-30 06:00:00	8	30	6	1,3
2025-08-30 07:00:00	8	30	7	1,3
2025-08-30 08:00:00	8	30	8	1,8
2025-08-30 09:00:00	8	30	9	2,0
2025-08-30 10:00:00	8	30	10	154,2
2025-08-30 11:00:00	8	30	11	10,7
2025-08-30 12:00:00	8	30	12	0,8
2025-08-30 13:00:00	8	30	13	0,2
2025-08-30 14:00:00	8	30	14	1,1
2025-08-30 15:00:00	8	30	15	0,0
2025-08-30 16:00:00	8	30	16	0,0
2025-08-30 17:00:00	8	30	17	0,0
2025-08-30 18:00:00	8	30	18	0,0
2025-08-30 19:00:00	8	30	19	0,0
2025-08-30 20:00:00	8	30	20	0,0
2025-08-30 21:00:00	8	30	21	0,0
2025-08-30 22:00:00	8	30	22	0,0
2025-08-30 23:00:00	8	30	23	0,0
2025-08-31 00:00:00	8	31	0	0,0
2025-08-31 01:00:00	8	31	1	0,0
2025-08-31 02:00:00	8	31	2	0,0
2025-08-31 03:00:00	8	31	3	0,0
2025-08-31 04:00:00	8	31	4	0,0
2025-08-31 05:00:00	8	31	5	0,0
2025-08-31 06:00:00	8	31	6	0,0
2025-08-31 07:00:00	8	31	7	0,0
2025-08-31 08:00:00	8	31	8	0,0
2025-08-31 09:00:00	8	31	9	0,0
2025-08-31 10:00:00	8	31	10	0,0
2025-08-31 11:00:00	8	31	11	0,0
2025-08-31 12:00:00	8	31	12	0,0
2025-08-31 13:00:00	8	31	13	0,0
2025-08-31 14:00:00	8	31	14	0,0
2025-08-31 15:00:00	8	31	15	0,0
2025-08-31 16:00:00	8	31	16	0,0
2025-08-31 17:00:00	8	31	17	0,0

Station 1 (km381) - T200 NO2

2025-08-31 18:00:00	8	31	18	0,0
2025-08-31 19:00:00	8	31	19	0,0
2025-08-31 20:00:00	8	31	20	0,0
2025-08-31 21:00:00	8	31	21	0,0
2025-08-31 22:00:00	8	31	22	0,0
2025-08-31 23:00:00	8	31	23	0,0
2025-09-01 00:00:00	9	1	0	0,0
2025-09-01 01:00:00	9	1	1	0,0
2025-09-01 02:00:00	9	1	2	0,0
2025-09-01 03:00:00	9	1	3	0,0
2025-09-01 04:00:00	9	1	4	0,0
2025-09-01 05:00:00	9	1	5	0,0
2025-09-01 06:00:00	9	1	6	0,0
2025-09-01 07:00:00	9	1	7	0,0
2025-09-01 08:00:00	9	1	8	0,0
2025-09-01 09:00:00	9	1	9	0,0
2025-09-01 10:00:00	9	1	10	0,0
2025-09-01 11:00:00	9	1	11	0,0
2025-09-01 12:00:00	9	1	12	0,0
2025-09-01 13:00:00	9	1	13	0,0
2025-09-01 14:00:00	9	1	14	0,0
2025-09-01 15:00:00	9	1	15	0,0
2025-09-01 16:00:00	9	1	16	0,0
2025-09-01 17:00:00	9	1	17	0,0
2025-09-01 18:00:00	9	1	18	0,0
2025-09-01 19:00:00	9	1	19	0,0
2025-09-01 20:00:00	9	1	20	0,0
2025-09-01 21:00:00	9	1	21	26,6
2025-09-01 22:00:00	9	1	22	69,7
2025-09-01 23:00:00	9	1	23	0,0
2025-09-02 00:00:00	9	2	0	0,0
2025-09-02 01:00:00	9	2	1	0,0
2025-09-02 02:00:00	9	2	2	0,0
2025-09-02 03:00:00	9	2	3	0,0
2025-09-02 04:00:00	9	2	4	2,2
2025-09-02 05:00:00	9	2	5	0,0
2025-09-02 06:00:00	9	2	6	0,0
2025-09-02 07:00:00	9	2	7	0,0
2025-09-02 08:00:00	9	2	8	0,0
2025-09-02 09:00:00	9	2	9	91,5
2025-09-02 10:00:00	9	2	10	5,8
2025-09-02 11:00:00	9	2	11	0,0
2025-09-02 12:00:00	9	2	12	0,0
2025-09-02 13:00:00	9	2	13	1,4
2025-09-02 14:00:00	9	2	14	0,0
2025-09-02 15:00:00	9	2	15	0,0
2025-09-02 16:00:00	9	2	16	0,0

Station 1 (km381) - T200 NO2

2025-09-02 17:00:00	9	2	17	11,1
2025-09-02 18:00:00	9	2	18	1,8
2025-09-02 19:00:00	9	2	19	0,7
2025-09-02 20:00:00	9	2	20	4,1
2025-09-02 21:00:00	9	2	21	99,0
2025-09-02 22:00:00	9	2	22	28,0
2025-09-02 23:00:00	9	2	23	8,3
2025-09-03 00:00:00	9	3	0	2,9
2025-09-03 01:00:00	9	3	1	3,3
2025-09-03 02:00:00	9	3	2	1,4
2025-09-03 03:00:00	9	3	3	3,1
2025-09-03 04:00:00	9	3	4	13,4
2025-09-03 05:00:00	9	3	5	2,7
2025-09-03 06:00:00	9	3	6	0,0
2025-09-03 07:00:00	9	3	7	0,0
2025-09-03 08:00:00	9	3	8	0,0
2025-09-03 09:00:00	9	3	9	152,5
2025-09-03 10:00:00	9	3	10	0,1
2025-09-03 11:00:00	9	3	11	22,7
2025-09-03 12:00:00	9	3	12	32,4
2025-09-03 13:00:00	9	3	13	10,6
2025-09-03 14:00:00	9	3	14	2,4
2025-09-03 15:00:00	9	3	15	1,0
2025-09-03 16:00:00	9	3	16	0,0
2025-09-03 17:00:00	9	3	17	0,0
2025-09-03 18:00:00	9	3	18	0,0
2025-09-03 19:00:00	9	3	19	0,0
2025-09-03 20:00:00	9	3	20	0,0
2025-09-03 21:00:00	9	3	21	100,3
2025-09-03 22:00:00	9	3	22	0,0
2025-09-03 23:00:00	9	3	23	0,0
2025-09-04 00:00:00	9	4	0	0,0
2025-09-04 01:00:00	9	4	1	0,0
2025-09-04 02:00:00	9	4	2	0,0
2025-09-04 03:00:00	9	4	3	0,0
2025-09-04 04:00:00	9	4	4	0,0
2025-09-04 05:00:00	9	4	5	0,0
2025-09-04 06:00:00	9	4	6	0,0
2025-09-04 07:00:00	9	4	7	0,0
2025-09-04 08:00:00	9	4	8	0,0
2025-09-04 09:00:00	9	4	9	98,0
2025-09-04 10:00:00	9	4	10	0,0
2025-09-04 11:00:00	9	4	11	0,0
2025-09-04 12:00:00	9	4	12	0,0
2025-09-04 13:00:00	9	4	13	0,0
2025-09-04 14:00:00	9	4	14	0,0
2025-09-04 15:00:00	9	4	15	0,0

Station 1 (km381) - T200 NO2

2025-09-04 16:00:00	9	4	16	0,0
2025-09-04 17:00:00	9	4	17	0,1
2025-09-04 18:00:00	9	4	18	0,5
2025-09-04 19:00:00	9	4	19	0,0
2025-09-04 20:00:00	9	4	20	23,5
2025-09-04 21:00:00	9	4	21	70,7
2025-09-04 22:00:00	9	4	22	0,0
2025-09-04 23:00:00	9	4	23	0,0
2025-09-05 00:00:00	9	5	0	0,0
2025-09-05 01:00:00	9	5	1	0,0
2025-09-05 02:00:00	9	5	2	0,0
2025-09-05 03:00:00	9	5	3	0,0
2025-09-05 04:00:00	9	5	4	0,0
2025-09-05 05:00:00	9	5	5	0,0
2025-09-05 06:00:00	9	5	6	0,0
2025-09-05 07:00:00	9	5	7	0,0
2025-09-05 08:00:00	9	5	8	88,0
2025-09-05 09:00:00	9	5	9	5,8
2025-09-05 10:00:00	9	5	10	0,0
2025-09-05 11:00:00	9	5	11	0,0
2025-09-05 12:00:00	9	5	12	0,0
2025-09-05 13:00:00	9	5	13	0,0
2025-09-05 14:00:00	9	5	14	0,0
2025-09-05 15:00:00	9	5	15	0,0
2025-09-05 16:00:00	9	5	16	0,0
2025-09-05 17:00:00	9	5	17	0,0
2025-09-05 18:00:00	9	5	18	0,0
2025-09-05 19:00:00	9	5	19	0,0
2025-09-05 20:00:00	9	5	20	138,1
2025-09-05 21:00:00	9	5	21	0,0
2025-09-05 22:00:00	9	5	22	0,0
2025-09-05 23:00:00	9	5	23	0,0
2025-09-06 00:00:00	9	6	0	0,0
2025-09-06 01:00:00	9	6	1	0,0
2025-09-06 02:00:00	9	6	2	0,0
2025-09-06 03:00:00	9	6	3	0,0
2025-09-06 04:00:00	9	6	4	0,0
2025-09-06 05:00:00	9	6	5	0,0
2025-09-06 06:00:00	9	6	6	0,0
2025-09-06 07:00:00	9	6	7	0,0
2025-09-06 08:00:00	9	6	8	95,6
2025-09-06 09:00:00	9	6	9	0,0
2025-09-06 10:00:00	9	6	10	0,0
2025-09-06 11:00:00	9	6	11	0,0
2025-09-06 12:00:00	9	6	12	0,0
2025-09-06 13:00:00	9	6	13	0,0
2025-09-06 14:00:00	9	6	14	0,0

Station 1 (km381) - T200 NO2

2025-09-06 15:00:00	9	6	15	0,0
2025-09-06 16:00:00	9	6	16	0,0
2025-09-06 17:00:00	9	6	17	0,0
2025-09-06 18:00:00	9	6	18	0,0
2025-09-06 19:00:00	9	6	19	0,0
2025-09-06 20:00:00	9	6	20	93,9
2025-09-06 21:00:00	9	6	21	0,0
2025-09-06 22:00:00	9	6	22	0,0
2025-09-06 23:00:00	9	6	23	0,0
2025-09-07 00:00:00	9	7	0	0,0
2025-09-07 01:00:00	9	7	1	0,0
2025-09-07 02:00:00	9	7	2	0,0
2025-09-07 03:00:00	9	7	3	0,3
2025-09-07 04:00:00	9	7	4	1,0
2025-09-07 05:00:00	9	7	5	0,3
2025-09-07 06:00:00	9	7	6	0,0
2025-09-07 07:00:00	9	7	7	0,0
2025-09-07 08:00:00	9	7	8	95,0
2025-09-07 09:00:00	9	7	9	0,1
2025-09-07 10:00:00	9	7	10	0,2
2025-09-07 11:00:00	9	7	11	0,0
2025-09-07 12:00:00	9	7	12	0,0
2025-09-07 13:00:00	9	7	13	0,0
2025-09-07 14:00:00	9	7	14	0,0
2025-09-07 15:00:00	9	7	15	0,0
2025-09-07 16:00:00	9	7	16	0,0
2025-09-07 17:00:00	9	7	17	0,0
2025-09-07 18:00:00	9	7	18	0,0
2025-09-07 19:00:00	9	7	19	24,1
2025-09-07 20:00:00	9	7	20	76,4
2025-09-07 21:00:00	9	7	21	0,8
2025-09-07 22:00:00	9	7	22	0,0
2025-09-07 23:00:00	9	7	23	0,0
2025-09-08 00:00:00	9	8	0	0,0
2025-09-08 01:00:00	9	8	1	0,0
2025-09-08 02:00:00	9	8	2	0,0
2025-09-08 03:00:00	9	8	3	0,0
2025-09-08 04:00:00	9	8	4	0,0
2025-09-08 05:00:00	9	8	5	0,0
2025-09-08 06:00:00	9	8	6	0,3
2025-09-08 07:00:00	9	8	7	129,6
2025-09-08 08:00:00	9	8	8	6,1
2025-09-08 09:00:00	9	8	9	0,0
2025-09-08 10:00:00	9	8	10	0,0
2025-09-08 11:00:00	9	8	11	0,0
2025-09-08 12:00:00	9	8	12	0,0
2025-09-08 13:00:00	9	8	13	0,0

Station 1 (km381) - T200 NO2

2025-09-08 14:00:00	9	8	14	0,0
2025-09-08 15:00:00	9	8	15	0,0
2025-09-08 16:00:00	9	8	16	0,0
2025-09-08 17:00:00	9	8	17	0,0
2025-09-08 18:00:00	9	8	18	0,0
2025-09-08 19:00:00	9	8	19	110,6
2025-09-08 20:00:00	9	8	20	0,0
2025-09-08 21:00:00	9	8	21	0,0
2025-09-08 22:00:00	9	8	22	0,0
2025-09-08 23:00:00	9	8	23	0,0
2025-09-09 00:00:00	9	9	0	0,0
2025-09-09 01:00:00	9	9	1	0,0
2025-09-09 02:00:00	9	9	2	0,0
2025-09-09 03:00:00	9	9	3	0,0
2025-09-09 04:00:00	9	9	4	0,0
2025-09-09 05:00:00	9	9	5	0,0
2025-09-09 06:00:00	9	9	6	0,0
2025-09-09 07:00:00	9	9	7	122,6
2025-09-09 08:00:00	9	9	8	0,2
2025-09-09 09:00:00	9	9	9	0,0
2025-09-09 10:00:00	9	9	10	0,0
2025-09-09 11:00:00	9	9	11	0,0
2025-09-09 12:00:00	9	9	12	0,0
2025-09-09 13:00:00	9	9	13	0,0
2025-09-09 14:00:00	9	9	14	0,0
2025-09-09 15:00:00	9	9	15	0,0
2025-09-09 16:00:00	9	9	16	0,0
2025-09-09 17:00:00	9	9	17	0,0
2025-09-09 18:00:00	9	9	18	0,0
2025-09-09 19:00:00	9	9	19	118,4
2025-09-09 20:00:00	9	9	20	0,0
2025-09-09 21:00:00	9	9	21	0,1
2025-09-09 22:00:00	9	9	22	0,1
2025-09-09 23:00:00	9	9	23	0,1
2025-09-10 00:00:00	9	10	0	0,2
2025-09-10 01:00:00	9	10	1	0,5
2025-09-10 02:00:00	9	10	2	0,7
2025-09-10 03:00:00	9	10	3	0,2
2025-09-10 04:00:00	9	10	4	0,3
2025-09-10 05:00:00	9	10	5	0,2
2025-09-10 06:00:00	9	10	6	0,4
2025-09-10 07:00:00	9	10	7	124,5
2025-09-10 08:00:00	9	10	8	0,5
2025-09-10 09:00:00	9	10	9	0,1
2025-09-10 10:00:00	9	10	10	0,0
2025-09-10 11:00:00	9	10	11	0,4
2025-09-10 12:00:00	9	10	12	0,2

Station 1 (km381) - T200 NO2

2025-09-10 13:00:00	9	10	13	0,1
2025-09-10 14:00:00	9	10	14	0,0
2025-09-10 15:00:00	9	10	15	0,2
2025-09-10 16:00:00	9	10	16	0,1
2025-09-10 17:00:00	9	10	17	0,3
2025-09-10 18:00:00	9	10	18	57,2
2025-09-10 19:00:00	9	10	19	82,7
2025-09-10 20:00:00	9	10	20	0,1
2025-09-10 21:00:00	9	10	21	0,0
2025-09-10 22:00:00	9	10	22	0,0
2025-09-10 23:00:00	9	10	23	0,0
2025-09-11 00:00:00	9	11	0	0,0
2025-09-11 01:00:00	9	11	1	0,3
2025-09-11 02:00:00	9	11	2	0,2
2025-09-11 03:00:00	9	11	3	0,1
2025-09-11 04:00:00	9	11	4	0,0
2025-09-11 05:00:00	9	11	5	0,0
2025-09-11 06:00:00	9	11	6	116,2
2025-09-11 07:00:00	9	11	7	7,4
2025-09-11 08:00:00	9	11	8	0,0
2025-09-11 09:00:00	9	11	9	0,0
2025-09-11 10:00:00	9	11	10	0,0
2025-09-11 11:00:00	9	11	11	0,0
2025-09-11 12:00:00	9	11	12	0,0
2025-09-11 13:00:00	9	11	13	0,0
2025-09-11 14:00:00	9	11	14	0,2
2025-09-11 15:00:00	9	11	15	0,6
2025-09-11 16:00:00	9	11	16	0,2
2025-09-11 17:00:00	9	11	17	1,2
2025-09-11 18:00:00	9	11	18	127,9
2025-09-11 19:00:00	9	11	19	2,1
2025-09-11 20:00:00	9	11	20	1,5
2025-09-11 21:00:00	9	11	21	2,1
2025-09-11 22:00:00	9	11	22	0,0
2025-09-11 23:00:00	9	11	23	0,0
2025-09-12 00:00:00	9	12	0	0,6
2025-09-12 01:00:00	9	12	1	0,0
2025-09-12 02:00:00	9	12	2	0,0
2025-09-12 03:00:00	9	12	3	0,0
2025-09-12 04:00:00	9	12	4	0,0
2025-09-12 05:00:00	9	12	5	0,0
2025-09-12 06:00:00	9	12	6	120,6
2025-09-12 07:00:00	9	12	7	0,0
2025-09-12 08:00:00	9	12	8	0,0
2025-09-12 09:00:00	9	12	9	0,1
2025-09-12 10:00:00	9	12	10	0,2
2025-09-12 11:00:00	9	12	11	0,0

Station 1 (km381) - T200 NO2

2025-09-12 12:00:00	9	12	12	0,0
2025-09-12 13:00:00	9	12	13	0,0
2025-09-12 14:00:00	9	12	14	0,0
2025-09-12 15:00:00	9	12	15	0,0
2025-09-12 16:00:00	9	12	16	0,0
2025-09-12 17:00:00	9	12	17	0,1
2025-09-12 18:00:00	9	12	18	122,8
2025-09-12 19:00:00	9	12	19	0,4
2025-09-12 20:00:00	9	12	20	0,7
2025-09-12 21:00:00	9	12	21	1,7
2025-09-12 22:00:00	9	12	22	1,8
2025-09-12 23:00:00	9	12	23	2,7
2025-09-13 00:00:00	9	13	0	1,6
2025-09-13 01:00:00	9	13	1	0,6
2025-09-13 02:00:00	9	13	2	0,7
2025-09-13 03:00:00	9	13	3	0,8
2025-09-13 04:00:00	9	13	4	0,7
2025-09-13 05:00:00	9	13	5	0,4
2025-09-13 06:00:00	9	13	6	132,6
2025-09-13 07:00:00	9	13	7	1,1
2025-09-13 08:00:00	9	13	8	0,4
2025-09-13 09:00:00	9	13	9	0,5
2025-09-13 10:00:00	9	13	10	0,3
2025-09-13 11:00:00	9	13	11	0,7
2025-09-13 12:00:00	9	13	12	0,4
2025-09-13 13:00:00	9	13	13	0,9
2025-09-13 14:00:00	9	13	14	0,1
2025-09-13 15:00:00	9	13	15	0,1
2025-09-13 16:00:00	9	13	16	0,6
2025-09-13 17:00:00	9	13	17	45,0
2025-09-13 18:00:00	9	13	18	84,9
2025-09-13 19:00:00	9	13	19	0,3
2025-09-13 20:00:00	9	13	20	0,4
2025-09-13 21:00:00	9	13	21	0,4
2025-09-13 22:00:00	9	13	22	0,4
2025-09-13 23:00:00	9	13	23	0,2
2025-09-14 00:00:00	9	14	0	0,1
2025-09-14 01:00:00	9	14	1	0,0
2025-09-14 02:00:00	9	14	2	0,1
2025-09-14 03:00:00	9	14	3	0,3
2025-09-14 04:00:00	9	14	4	0,2
2025-09-14 05:00:00	9	14	5	123,0
2025-09-14 06:00:00	9	14	6	8,0
2025-09-14 07:00:00	9	14	7	0,5
2025-09-14 08:00:00	9	14	8	0,5
2025-09-14 09:00:00	9	14	9	0,0
2025-09-14 10:00:00	9	14	10	0,0

Station 1 (km381) - T200 NO2

2025-09-14 11:00:00	9	14	11	0,0
2025-09-14 12:00:00	9	14	12	0,0
2025-09-14 13:00:00	9	14	13	0,1
2025-09-14 14:00:00	9	14	14	0,1
2025-09-14 15:00:00	9	14	15	0,0
2025-09-14 16:00:00	9	14	16	0,1
2025-09-14 17:00:00	9	14	17	132,3
2025-09-14 18:00:00	9	14	18	0,5
2025-09-14 19:00:00	9	14	19	0,8
2025-09-14 20:00:00	9	14	20	0,7
2025-09-14 21:00:00	9	14	21	0,3
2025-09-14 22:00:00	9	14	22	0,2
2025-09-14 23:00:00	9	14	23	0,0
2025-09-15 00:00:00	9	15	0	0,0
2025-09-15 01:00:00	9	15	1	0,3
2025-09-15 02:00:00	9	15	2	0,0
2025-09-15 03:00:00	9	15	3	2,0
2025-09-15 04:00:00	9	15	4	3,6
2025-09-15 05:00:00	9	15	5	127,1
2025-09-15 06:00:00	9	15	6	7,1
2025-09-15 07:00:00	9	15	7	11,3
2025-09-15 08:00:00	9	15	8	2,8
2025-09-15 09:00:00	9	15	9	0,2
2025-09-15 10:00:00	9	15	10	0,0
2025-09-15 11:00:00	9	15	11	0,1
2025-09-15 12:00:00	9	15	12	0,0
2025-09-15 13:00:00	9	15	13	0,1
2025-09-15 14:00:00	9	15	14	3,6
2025-09-15 15:00:00	9	15	15	0,2
2025-09-15 16:00:00	9	15	16	0,4
2025-09-15 17:00:00	9	15	17	32,0
2025-09-15 18:00:00	9	15	18	0,0
2025-09-15 19:00:00	9	15	19	0,0
2025-09-15 20:00:00	9	15	20	0,0
2025-09-15 21:00:00	9	15	21	0,0
2025-09-15 22:00:00	9	15	22	0,0
2025-09-15 23:00:00	9	15	23	0,0
2025-09-16 00:00:00	9	16	0	0,0
2025-09-16 01:00:00	9	16	1	0,0
2025-09-16 02:00:00	9	16	2	0,0
2025-09-16 03:00:00	9	16	3	0,0
2025-09-16 04:00:00	9	16	4	0,0
2025-09-16 05:00:00	9	16	5	0,0
2025-09-16 06:00:00	9	16	6	0,0
2025-09-16 07:00:00	9	16	7	0,0
2025-09-16 08:00:00	9	16	8	0,0
2025-09-16 09:00:00	9	16	9	0,0

Station 1 (km381) - T200 NO2

2025-09-16 10:00:00	9	16	10	0,0
2025-09-16 11:00:00	9	16	11	0,0
2025-09-16 12:00:00	9	16	12	0,0
2025-09-16 13:00:00	9	16	13	0,0
2025-09-16 14:00:00	9	16	14	0,0
2025-09-16 15:00:00	9	16	15	0,0
2025-09-16 16:00:00	9	16	16	0,0
2025-09-16 17:00:00	9	16	17	0,0
2025-09-16 18:00:00	9	16	18	0,0
2025-09-16 19:00:00	9	16	19	0,0
2025-09-16 20:00:00	9	16	20	0,0
2025-09-16 21:00:00	9	16	21	0,0
2025-09-16 22:00:00	9	16	22	0,0
2025-09-16 23:00:00	9	16	23	0,0
2025-09-17 00:00:00	9	17	0	0,0
2025-09-17 01:00:00	9	17	1	0,0
2025-09-17 02:00:00	9	17	2	0,0
2025-09-17 03:00:00	9	17	3	0,0
2025-09-17 04:00:00	9	17	4	0,0
2025-09-17 05:00:00	9	17	5	0,0
2025-09-17 06:00:00	9	17	6	0,0
2025-09-17 07:00:00	9	17	7	0,0
2025-09-17 08:00:00	9	17	8	0,0
2025-09-17 09:00:00	9	17	9	0,0
2025-09-17 10:00:00	9	17	10	0,0
2025-09-17 11:00:00	9	17	11	0,0
2025-09-17 12:00:00	9	17	12	0,0
2025-09-17 13:00:00	9	17	13	0,0
2025-09-17 14:00:00	9	17	14	0,0
2025-09-17 15:00:00	9	17	15	0,0
2025-09-17 16:00:00	9	17	16	0,0
2025-09-17 17:00:00	9	17	17	0,0
2025-09-17 18:00:00	9	17	18	0,0
2025-09-17 19:00:00	9	17	19	0,0
2025-09-17 20:00:00	9	17	20	0,0
2025-09-17 21:00:00	9	17	21	0,0
2025-09-17 22:00:00	9	17	22	0,0
2025-09-17 23:00:00	9	17	23	0,0
2025-09-18 00:00:00	9	18	0	0,0
2025-09-18 01:00:00	9	18	1	0,0
2025-09-18 02:00:00	9	18	2	0,0
2025-09-18 03:00:00	9	18	3	0,0
2025-09-18 04:00:00	9	18	4	0,0
2025-09-18 05:00:00	9	18	5	0,0
2025-09-18 06:00:00	9	18	6	0,0
2025-09-18 07:00:00	9	18	7	0,0
2025-09-18 08:00:00	9	18	8	0,0

Station 1 (km381) - T200 NO2

2025-09-18 09:00:00	9	18	9	0,0
2025-09-18 10:00:00	9	18	10	0,0
2025-09-18 11:00:00	9	18	11	0,0
2025-09-18 12:00:00	9	18	12	0,0
2025-09-18 13:00:00	9	18	13	0,0
2025-09-18 14:00:00	9	18	14	0,0
2025-09-18 15:00:00	9	18	15	0,0
2025-09-18 16:00:00	9	18	16	0,0
2025-09-18 17:00:00	9	18	17	0,0
2025-09-18 18:00:00	9	18	18	0,0
2025-09-18 19:00:00	9	18	19	0,0
2025-09-18 20:00:00	9	18	20	0,0
2025-09-18 21:00:00	9	18	21	0,0
2025-09-18 22:00:00	9	18	22	0,0
2025-09-18 23:00:00	9	18	23	0,0
2025-09-19 00:00:00	9	19	0	0,0
2025-09-19 01:00:00	9	19	1	0,0
2025-09-19 02:00:00	9	19	2	0,0
2025-09-19 03:00:00	9	19	3	0,0
2025-09-19 04:00:00	9	19	4	129,3
2025-09-19 05:00:00	9	19	5	0,0
2025-09-19 06:00:00	9	19	6	0,4
2025-09-19 07:00:00	9	19	7	0,0
2025-09-19 08:00:00	9	19	8	0,0
2025-09-19 09:00:00	9	19	9	0,0
2025-09-19 10:00:00	9	19	10	0,0
2025-09-19 11:00:00	9	19	11	0,0
2025-09-19 12:00:00	9	19	12	0,1
2025-09-19 13:00:00	9	19	13	0,0
2025-09-19 14:00:00	9	19	14	0,0
2025-09-19 15:00:00	9	19	15	42,9
2025-09-19 16:00:00	9	19	16	86,1
2025-09-19 17:00:00	9	19	17	0,0
2025-09-19 18:00:00	9	19	18	0,0
2025-09-19 19:00:00	9	19	19	0,1
2025-09-19 20:00:00	9	19	20	0,0
2025-09-19 21:00:00	9	19	21	0,1
2025-09-19 22:00:00	9	19	22	0,0
2025-09-19 23:00:00	9	19	23	0,0
2025-09-20 00:00:00	9	20	0	0,0
2025-09-20 01:00:00	9	20	1	0,0
2025-09-20 02:00:00	9	20	2	0,0
2025-09-20 03:00:00	9	20	3	266,0
2025-09-20 04:00:00	9	20	4	7,8
2025-09-20 05:00:00	9	20	5	0,2
2025-09-20 06:00:00	9	20	6	0,0
2025-09-20 07:00:00	9	20	7	0,0

Station 1 (km381) - T200 NO2

2025-09-20 08:00:00	9	20	8	0,0
2025-09-20 09:00:00	9	20	9	0,0
2025-09-20 10:00:00	9	20	10	0,0
2025-09-20 11:00:00	9	20	11	0,0
2025-09-20 12:00:00	9	20	12	0,0
2025-09-20 13:00:00	9	20	13	0,0
2025-09-20 14:00:00	9	20	14	0,1
2025-09-20 15:00:00	9	20	15	128,9
2025-09-20 16:00:00	9	20	16	0,0
2025-09-20 17:00:00	9	20	17	0,3
2025-09-20 18:00:00	9	20	18	0,3
2025-09-20 19:00:00	9	20	19	0,7
2025-09-20 20:00:00	9	20	20	0,0
2025-09-20 21:00:00	9	20	21	0,1
2025-09-20 22:00:00	9	20	22	0,0
2025-09-20 23:00:00	9	20	23	0,0
2025-09-21 00:00:00	9	21	0	0,0
2025-09-21 01:00:00	9	21	1	5,4
2025-09-21 02:00:00	9	21	2	15,5
2025-09-21 03:00:00	9	21	3	149,0
2025-09-21 04:00:00	9	21	4	28,6
2025-09-21 05:00:00	9	21	5	26,7
2025-09-21 06:00:00	9	21	6	15,6
2025-09-21 07:00:00	9	21	7	10,2
2025-09-21 08:00:00	9	21	8	19,1
2025-09-21 09:00:00	9	21	9	39,1
2025-09-21 10:00:00	9	21	10	51,2
2025-09-21 11:00:00	9	21	11	56,1
2025-09-21 12:00:00	9	21	12	45,5
2025-09-21 13:00:00	9	21	13	7,3
2025-09-21 14:00:00	9	21	14	20,5
2025-09-21 15:00:00	9	21	15	172,5
2025-09-21 16:00:00	9	21	16	26,1
2025-09-21 17:00:00	9	21	17	31,3
2025-09-21 18:00:00	9	21	18	50,8
2025-09-21 19:00:00	9	21	19	69,6
2025-09-21 20:00:00	9	21	20	19,6
2025-09-21 21:00:00	9	21	21	3,9
2025-09-21 22:00:00	9	21	22	8,9
2025-09-21 23:00:00	9	21	23	25,0
2025-09-22 00:00:00	9	22	0	9,3
2025-09-22 01:00:00	9	22	1	7,9
2025-09-22 02:00:00	9	22	2	7,9
2025-09-22 03:00:00	9	22	3	149,3
2025-09-22 04:00:00	9	22	4	18,0
2025-09-22 05:00:00	9	22	5	12,8
2025-09-22 06:00:00	9	22	6	18,2

Station 1 (km381) - T200 NO2

2025-09-22 07:00:00	9	22	7	4,4
2025-09-22 08:00:00	9	22	8	15,9
2025-09-22 09:00:00	9	22	9	4,6
2025-09-22 10:00:00	9	22	10	1,5
2025-09-22 11:00:00	9	22	11	4,9
2025-09-22 12:00:00	9	22	12	1,0
2025-09-22 13:00:00	9	22	13	0,7
2025-09-22 14:00:00	9	22	14	56,5
2025-09-22 15:00:00	9	22	15	57,1
2025-09-22 16:00:00	9	22	16	1,0
2025-09-22 17:00:00	9	22	17	1,2
2025-09-22 18:00:00	9	22	18	1,6
2025-09-22 19:00:00	9	22	19	1,1
2025-09-22 20:00:00	9	22	20	1,0
2025-09-22 21:00:00	9	22	21	0,9
2025-09-22 22:00:00	9	22	22	0,3
2025-09-22 23:00:00	9	22	23	0,3
2025-09-23 00:00:00	9	23	0	0,3
2025-09-23 01:00:00	9	23	1	0,3
2025-09-23 02:00:00	9	23	2	140,4
2025-09-23 03:00:00	9	23	3	8,9
2025-09-23 04:00:00	9	23	4	0,2
2025-09-23 05:00:00	9	23	5	0,1
2025-09-23 06:00:00	9	23	6	0,2
2025-09-23 07:00:00	9	23	7	0,1
2025-09-23 08:00:00	9	23	8	0,1
2025-09-23 09:00:00	9	23	9	0,3
2025-09-23 10:00:00	9	23	10	0,6
2025-09-23 11:00:00	9	23	11	0,7
2025-09-23 12:00:00	9	23	12	0,6
2025-09-23 13:00:00	9	23	13	0,6
2025-09-23 14:00:00	9	23	14	145,3
2025-09-23 15:00:00	9	23	15	0,0
2025-09-23 16:00:00	9	23	16	0,0
2025-09-23 17:00:00	9	23	17	0,0
2025-09-23 18:00:00	9	23	18	0,0
2025-09-23 19:00:00	9	23	19	0,0
2025-09-23 20:00:00	9	23	20	0,0
2025-09-23 21:00:00	9	23	21	0,0
2025-09-23 22:00:00	9	23	22	0,0
2025-09-23 23:00:00	9	23	23	0,0
2025-09-24 00:00:00	9	24	0	0,0
2025-09-24 01:00:00	9	24	1	0,0
2025-09-24 02:00:00	9	24	2	0,0
2025-09-24 03:00:00	9	24	3	0,0
2025-09-24 04:00:00	9	24	4	0,0
2025-09-24 05:00:00	9	24	5	0,0

Station 1 (km381) - T200 NO2

2025-09-24 06:00:00	9	24	6	0,0
2025-09-24 07:00:00	9	24	7	0,0
2025-09-24 08:00:00	9	24	8	0,0
2025-09-24 09:00:00	9	24	9	0,3
2025-09-24 10:00:00	9	24	10	1,5
2025-09-24 11:00:00	9	24	11	0,6
2025-09-24 12:00:00	9	24	12	0,4
2025-09-24 13:00:00	9	24	13	0,3
2025-09-24 14:00:00	9	24	14	143,1
2025-09-24 15:00:00	9	24	15	0,4
2025-09-24 16:00:00	9	24	16	0,0
2025-09-24 17:00:00	9	24	17	0,0
2025-09-24 18:00:00	9	24	18	0,0
2025-09-24 19:00:00	9	24	19	0,0
2025-09-24 20:00:00	9	24	20	0,0
2025-09-24 21:00:00	9	24	21	0,0
2025-09-24 22:00:00	9	24	22	0,0
2025-09-24 23:00:00	9	24	23	0,0
2025-09-25 00:00:00	9	25	0	0,0
2025-09-25 01:00:00	9	25	1	0,0
2025-09-25 02:00:00	9	25	2	0,0
2025-09-25 03:00:00	9	25	3	0,0
2025-09-25 04:00:00	9	25	4	0,0
2025-09-25 05:00:00	9	25	5	0,0
2025-09-25 06:00:00	9	25	6	0,0
2025-09-25 07:00:00	9	25	7	0,0
2025-09-25 08:00:00	9	25	8	0,0
2025-09-25 09:00:00	9	25	9	0,0
2025-09-25 10:00:00	9	25	10	0,0
2025-09-25 11:00:00	9	25	11	0,0
2025-09-25 12:00:00	9	25	12	0,0
2025-09-25 13:00:00	9	25	13	0,0
2025-09-25 14:00:00	9	25	14	0,0
2025-09-25 15:00:00	9	25	15	0,0
2025-09-25 16:00:00	9	25	16	0,0
2025-09-25 17:00:00	9	25	17	0,0
2025-09-25 18:00:00	9	25	18	0,0
2025-09-25 19:00:00	9	25	19	0,0
2025-09-25 20:00:00	9	25	20	0,0
2025-09-25 21:00:00	9	25	21	0,0
2025-09-25 22:00:00	9	25	22	0,0
2025-09-25 23:00:00	9	25	23	0,0
2025-09-26 00:00:00	9	26	0	0,0
2025-09-26 01:00:00	9	26	1	0,0
2025-09-26 02:00:00	9	26	2	0,0
2025-09-26 03:00:00	9	26	3	0,0
2025-09-26 04:00:00	9	26	4	0,0

Station 1 (km381) - T200 NO2

2025-09-26 05:00:00	9	26	5	0,0
2025-09-26 06:00:00	9	26	6	0,0
2025-09-26 07:00:00	9	26	7	0,0
2025-09-26 08:00:00	9	26	8	0,0
2025-09-26 09:00:00	9	26	9	0,0
2025-09-26 10:00:00	9	26	10	0,0
2025-09-26 11:00:00	9	26	11	0,6
2025-09-26 12:00:00	9	26	12	1,3
2025-09-26 13:00:00	9	26	13	139,2
2025-09-26 14:00:00	9	26	14	1,0
2025-09-26 15:00:00	9	26	15	1,3
2025-09-26 16:00:00	9	26	16	0,6
2025-09-26 17:00:00	9	26	17	0,5
2025-09-26 18:00:00	9	26	18	0,0
2025-09-26 19:00:00	9	26	19	0,1
2025-09-26 20:00:00	9	26	20	0,2
2025-09-26 21:00:00	9	26	21	0,0
2025-09-26 22:00:00	9	26	22	0,0
2025-09-26 23:00:00	9	26	23	0,0
2025-09-27 00:00:00	9	27	0	0,1
2025-09-27 01:00:00	9	27	1	131,0
2025-09-27 02:00:00	9	27	2	0,0
2025-09-27 03:00:00	9	27	3	0,0
2025-09-27 04:00:00	9	27	4	0,0
2025-09-27 05:00:00	9	27	5	0,5
2025-09-27 06:00:00	9	27	6	0,5
2025-09-27 07:00:00	9	27	7	1,1
2025-09-27 08:00:00	9	27	8	3,1
2025-09-27 09:00:00	9	27	9	0,9
2025-09-27 10:00:00	9	27	10	0,2
2025-09-27 11:00:00	9	27	11	0,8
2025-09-27 12:00:00	9	27	12	0,1
2025-09-27 13:00:00	9	27	13	137,9
2025-09-27 14:00:00	9	27	14	0,0
2025-09-27 15:00:00	9	27	15	0,0
2025-09-27 16:00:00	9	27	16	0,0
2025-09-27 17:00:00	9	27	17	0,1
2025-09-27 18:00:00	9	27	18	0,1
2025-09-27 19:00:00	9	27	19	0,4
2025-09-27 20:00:00	9	27	20	0,2
2025-09-27 21:00:00	9	27	21	0,3
2025-09-27 22:00:00	9	27	22	0,5
2025-09-27 23:00:00	9	27	23	0,4
2025-09-28 00:00:00	9	28	0	0,8
2025-09-28 01:00:00	9	28	1	142,3
2025-09-28 02:00:00	9	28	2	1,0
2025-09-28 03:00:00	9	28	3	0,9

Station 1 (km381) - T200 NO2

2025-09-28 04:00:00	9	28	4	0,7
2025-09-28 05:00:00	9	28	5	1,0
2025-09-28 06:00:00	9	28	6	2,1
2025-09-28 07:00:00	9	28	7	1,6
2025-09-28 08:00:00	9	28	8	0,4
2025-09-28 09:00:00	9	28	9	0,2
2025-09-28 10:00:00	9	28	10	0,7
2025-09-28 11:00:00	9	28	11	1,7
2025-09-28 12:00:00	9	28	12	49,4
2025-09-28 13:00:00	9	28	13	89,8
2025-09-28 14:00:00	9	28	14	3,9
2025-09-28 15:00:00	9	28	15	1,6
2025-09-28 16:00:00	9	28	16	0,0
2025-09-28 17:00:00	9	28	17	0,9
2025-09-28 18:00:00	9	28	18	0,2
2025-09-28 19:00:00	9	28	19	0,1
2025-09-28 20:00:00	9	28	20	0,1
2025-09-28 21:00:00	9	28	21	3,1
2025-09-28 22:00:00	9	28	22	13,1
2025-09-28 23:00:00	9	28	23	2,0
2025-09-29 00:00:00	9	29	0	126,2
2025-09-29 01:00:00	9	29	1	8,5
2025-09-29 02:00:00	9	29	2	1,7
2025-09-29 03:00:00	9	29	3	1,9
2025-09-29 04:00:00	9	29	4	1,2
2025-09-29 05:00:00	9	29	5	1,0
2025-09-29 06:00:00	9	29	6	3,9
2025-09-29 07:00:00	9	29	7	4,2
2025-09-29 08:00:00	9	29	8	0,5
2025-09-29 09:00:00	9	29	9	6,6
2025-09-29 10:00:00	9	29	10	6,1
2025-09-29 11:00:00	9	29	11	4,3
2025-09-29 12:00:00	9	29	12	119,5
2025-09-29 13:00:00	9	29	13	0,5
2025-09-29 14:00:00	9	29	14	0,0
2025-09-29 15:00:00	9	29	15	0,1
2025-09-29 16:00:00	9	29	16	0,0
2025-09-29 17:00:00	9	29	17	0,3
2025-09-29 18:00:00	9	29	18	0,3
2025-09-29 19:00:00	9	29	19	0,1
2025-09-29 20:00:00	9	29	20	0,0
2025-09-29 21:00:00	9	29	21	0,1
2025-09-29 22:00:00	9	29	22	0,0
2025-09-29 23:00:00	9	29	23	0,0
2025-09-30 00:00:00	9	30	0	168,1
2025-09-30 01:00:00	9	30	1	0,0
2025-09-30 02:00:00	9	30	2	0,0

Station 1 (km381) - T200 NO2

2025-09-30 03:00:00	9	30	3	0,0
2025-09-30 04:00:00	9	30	4	0,0
2025-09-30 05:00:00	9	30	5	0,0
2025-09-30 06:00:00	9	30	6	0,1
2025-09-30 07:00:00	9	30	7	0,4
2025-09-30 08:00:00	9	30	8	0,2
2025-09-30 09:00:00	9	30	9	0,0
2025-09-30 10:00:00	9	30	10	0,0
2025-09-30 11:00:00	9	30	11	0,0
2025-09-30 12:00:00	9	30	12	123,2
2025-09-30 13:00:00	9	30	13	0,1
2025-09-30 14:00:00	9	30	14	0,0
2025-09-30 15:00:00	9	30	15	0,1
2025-09-30 16:00:00	9	30	16	0,0
2025-09-30 17:00:00	9	30	17	0,0
2025-09-30 18:00:00	9	30	18	0,0
2025-09-30 19:00:00	9	30	19	0,0
2025-09-30 20:00:00	9	30	20	0,0
2025-09-30 21:00:00	9	30	21	0,1
2025-09-30 22:00:00	9	30	22	0,0
2025-09-30 23:00:00	9	30	23	0,0
2025-10-01 00:00:00	10	1	0	123,6
2025-10-01 01:00:00	10	1	1	0,0
2025-10-01 02:00:00	10	1	2	0,2
2025-10-01 03:00:00	10	1	3	0,0
2025-10-01 04:00:00	10	1	4	0,0
2025-10-01 05:00:00	10	1	5	0,0
2025-10-01 06:00:00	10	1	6	0,0
2025-10-01 07:00:00	10	1	7	1,8
2025-10-01 08:00:00	10	1	8	0,0
2025-10-01 09:00:00	10	1	9	0,0
2025-10-01 10:00:00	10	1	10	0,0
2025-10-01 11:00:00	10	1	11	40,5
2025-10-01 12:00:00	10	1	12	82,0
2025-10-01 13:00:00	10	1	13	0,0
2025-10-01 14:00:00	10	1	14	0,0
2025-10-01 15:00:00	10	1	15	0,0
2025-10-01 16:00:00	10	1	16	0,0
2025-10-01 17:00:00	10	1	17	0,0
2025-10-01 18:00:00	10	1	18	0,0
2025-10-01 19:00:00	10	1	19	0,0
2025-10-01 20:00:00	10	1	20	0,0
2025-10-01 21:00:00	10	1	21	0,0
2025-10-01 22:00:00	10	1	22	0,0
2025-10-01 23:00:00	10	1	23	120,8
2025-10-02 00:00:00	10	2	0	7,7
2025-10-02 01:00:00	10	2	1	0,0

Station 1 (km381) - T200 NO2

2025-10-02 02:00:00	10	2	2	0,0
2025-10-02 03:00:00	10	2	3	0,0
2025-10-02 04:00:00	10	2	4	0,0
2025-10-02 05:00:00	10	2	5	0,0
2025-10-02 06:00:00	10	2	6	0,0
2025-10-02 07:00:00	10	2	7	0,0
2025-10-02 08:00:00	10	2	8	0,0
2025-10-02 09:00:00	10	2	9	47,9
2025-10-02 10:00:00	10	2	10	51,4
2025-10-02 11:00:00	10	2	11	163,0
2025-10-02 12:00:00	10	2	12	3,9
2025-10-02 13:00:00	10	2	13	0,0
2025-10-02 14:00:00	10	2	14	0,0
2025-10-02 15:00:00	10	2	15	0,0
2025-10-02 16:00:00	10	2	16	0,0
2025-10-02 17:00:00	10	2	17	0,0
2025-10-02 18:00:00	10	2	18	0,0
2025-10-02 19:00:00	10	2	19	0,0
2025-10-02 20:00:00	10	2	20	0,0
2025-10-02 21:00:00	10	2	21	0,0
2025-10-02 22:00:00	10	2	22	0,0
2025-10-02 23:00:00	10	2	23	109,5
2025-10-03 00:00:00	10	3	0	0,1
2025-10-03 01:00:00	10	3	1	0,0
2025-10-03 02:00:00	10	3	2	0,0
2025-10-03 03:00:00	10	3	3	0,2
2025-10-03 04:00:00	10	3	4	0,4
2025-10-03 05:00:00	10	3	5	7,2
2025-10-03 06:00:00	10	3	6	3,9
2025-10-03 07:00:00	10	3	7	0,7
2025-10-03 08:00:00	10	3	8	2,7
2025-10-03 09:00:00	10	3	9	0,0
2025-10-03 10:00:00	10	3	10	0,0
2025-10-03 11:00:00	10	3	11	126,9
2025-10-03 12:00:00	10	3	12	0,0
2025-10-03 13:00:00	10	3	13	0,1
2025-10-03 14:00:00	10	3	14	0,2
2025-10-03 15:00:00	10	3	15	0,1
2025-10-03 16:00:00	10	3	16	0,2
2025-10-03 17:00:00	10	3	17	0,2
2025-10-03 18:00:00	10	3	18	0,2
2025-10-03 19:00:00	10	3	19	0,2
2025-10-03 20:00:00	10	3	20	0,3
2025-10-03 21:00:00	10	3	21	0,2
2025-10-03 22:00:00	10	3	22	0,1
2025-10-03 23:00:00	10	3	23	131,3
2025-10-04 00:00:00	10	4	0	0,0

Station 1 (km381) - T200 NO2

2025-10-04 01:00:00	10	4	1	0,0
2025-10-04 02:00:00	10	4	2	0,0
2025-10-04 03:00:00	10	4	3	0,0
2025-10-04 04:00:00	10	4	4	0,0
2025-10-04 05:00:00	10	4	5	0,0
2025-10-04 06:00:00	10	4	6	0,0
2025-10-04 07:00:00	10	4	7	0,0
2025-10-04 08:00:00	10	4	8	0,0
2025-10-04 09:00:00	10	4	9	0,0
2025-10-04 10:00:00	10	4	10	42,8
2025-10-04 11:00:00	10	4	11	85,8
2025-10-04 12:00:00	10	4	12	0,0
2025-10-04 13:00:00	10	4	13	0,0
2025-10-04 14:00:00	10	4	14	0,0
2025-10-04 15:00:00	10	4	15	0,0
2025-10-04 16:00:00	10	4	16	0,0
2025-10-04 17:00:00	10	4	17	0,0
2025-10-04 18:00:00	10	4	18	0,0
2025-10-04 19:00:00	10	4	19	0,0
2025-10-04 20:00:00	10	4	20	0,0
2025-10-04 21:00:00	10	4	21	0,0
2025-10-04 22:00:00	10	4	22	119,4
2025-10-04 23:00:00	10	4	23	8,0
2025-10-05 00:00:00	10	5	0	0,1
2025-10-05 01:00:00	10	5	1	0,0
2025-10-05 02:00:00	10	5	2	0,0
2025-10-05 03:00:00	10	5	3	0,0
2025-10-05 04:00:00	10	5	4	0,3
2025-10-05 05:00:00	10	5	5	0,9
2025-10-05 06:00:00	10	5	6	4,1
2025-10-05 07:00:00	10	5	7	4,0
2025-10-05 08:00:00	10	5	8	0,9
2025-10-05 09:00:00	10	5	9	0,6
2025-10-05 10:00:00	10	5	10	104,4
2025-10-05 11:00:00	10	5	11	0,1
2025-10-05 12:00:00	10	5	12	0,0
2025-10-05 13:00:00	10	5	13	0,0
2025-10-05 14:00:00	10	5	14	0,0
2025-10-05 15:00:00	10	5	15	0,5
2025-10-05 16:00:00	10	5	16	0,0
2025-10-05 17:00:00	10	5	17	0,0
2025-10-05 18:00:00	10	5	18	0,0
2025-10-05 19:00:00	10	5	19	0,0
2025-10-05 20:00:00	10	5	20	0,0
2025-10-05 21:00:00	10	5	21	0,0
2025-10-05 22:00:00	10	5	22	0,0
2025-10-05 23:00:00	10	5	23	0,0

Station 1 (km381) - T200 NO2

2025-10-06 00:00:00	10	6	0	0,0
2025-10-06 01:00:00	10	6	1	0,0
2025-10-06 02:00:00	10	6	2	0,0
2025-10-06 03:00:00	10	6	3	0,0
2025-10-06 04:00:00	10	6	4	0,0
2025-10-06 05:00:00	10	6	5	0,0
2025-10-06 06:00:00	10	6	6	0,0
2025-10-06 07:00:00	10	6	7	0,0
2025-10-06 08:00:00	10	6	8	0,0
2025-10-06 09:00:00	10	6	9	0,0
2025-10-06 10:00:00	10	6	10	117,1
2025-10-06 11:00:00	10	6	11	0,0
2025-10-06 12:00:00	10	6	12	0,0
2025-10-06 13:00:00	10	6	13	0,0
2025-10-06 14:00:00	10	6	14	0,0
2025-10-06 15:00:00	10	6	15	0,0
2025-10-06 16:00:00	10	6	16	0,0
2025-10-06 17:00:00	10	6	17	0,0
2025-10-06 18:00:00	10	6	18	0,1
2025-10-06 19:00:00	10	6	19	0,0
2025-10-06 20:00:00	10	6	20	0,0
2025-10-06 21:00:00	10	6	21	1,2
2025-10-06 22:00:00	10	6	22	128,9
2025-10-06 23:00:00	10	6	23	0,1
2025-10-07 00:00:00	10	7	0	0,0
2025-10-07 01:00:00	10	7	1	3,3
2025-10-07 02:00:00	10	7	2	1,4
2025-10-07 03:00:00	10	7	3	6,3
2025-10-07 04:00:00	10	7	4	4,0
2025-10-07 05:00:00	10	7	5	1,0
2025-10-07 06:00:00	10	7	6	0,1
2025-10-07 07:00:00	10	7	7	0,0
2025-10-07 08:00:00	10	7	8	0,0
2025-10-07 09:00:00	10	7	9	38,6
2025-10-07 10:00:00	10	7	10	86,6
2025-10-07 11:00:00	10	7	11	0,1
2025-10-07 12:00:00	10	7	12	0,4
2025-10-07 13:00:00	10	7	13	0,0
2025-10-07 14:00:00	10	7	14	2,2
2025-10-07 15:00:00	10	7	15	1,4
2025-10-07 16:00:00	10	7	16	0,0
2025-10-07 17:00:00	10	7	17	0,0
2025-10-07 18:00:00	10	7	18	0,1
2025-10-07 19:00:00	10	7	19	0,0
2025-10-07 20:00:00	10	7	20	0,0
2025-10-07 21:00:00	10	7	21	113,9
2025-10-07 22:00:00	10	7	22	8,2

Station 1 (km381) - T200 NO2

2025-10-07 23:00:00	10	7	23	0,0
2025-10-08 00:00:00	10	8	0	0,2
2025-10-08 01:00:00	10	8	1	1,0
2025-10-08 02:00:00	10	8	2	1,6
2025-10-08 03:00:00	10	8	3	5,2
2025-10-08 04:00:00	10	8	4	0,0
2025-10-08 05:00:00	10	8	5	0,5
2025-10-08 06:00:00	10	8	6	1,3
2025-10-08 07:00:00	10	8	7	1,6
2025-10-08 08:00:00	10	8	8	0,0
2025-10-08 09:00:00	10	8	9	115,4
2025-10-08 10:00:00	10	8	10	0,0
2025-10-08 11:00:00	10	8	11	0,0
2025-10-08 12:00:00	10	8	12	0,0
2025-10-08 13:00:00	10	8	13	0,7
2025-10-08 14:00:00	10	8	14	0,0
2025-10-08 15:00:00	10	8	15	0,0
2025-10-08 16:00:00	10	8	16	0,0
2025-10-08 17:00:00	10	8	17	0,0
2025-10-08 18:00:00	10	8	18	0,0
2025-10-08 19:00:00	10	8	19	0,0
2025-10-08 20:00:00	10	8	20	0,0
2025-10-08 21:00:00	10	8	21	118,4
2025-10-08 22:00:00	10	8	22	0,0
2025-10-08 23:00:00	10	8	23	0,0
2025-10-09 00:00:00	10	9	0	0,0
2025-10-09 01:00:00	10	9	1	0,0
2025-10-09 02:00:00	10	9	2	0,1
2025-10-09 03:00:00	10	9	3	0,0
2025-10-09 04:00:00	10	9	4	0,0
2025-10-09 05:00:00	10	9	5	3,2
2025-10-09 06:00:00	10	9	6	9,4
2025-10-09 07:00:00	10	9	7	9,4
2025-10-09 08:00:00	10	9	8	3,7
2025-10-09 09:00:00	10	9	9	2,5
2025-10-09 10:00:00	10	9	10	3,3
2025-10-09 11:00:00	10	9	11	0,0
2025-10-09 12:00:00	10	9	12	0,0
2025-10-09 13:00:00	10	9	13	0,0
2025-10-09 14:00:00	10	9	14	0,0
2025-10-09 15:00:00	10	9	15	0,0
2025-10-09 16:00:00	10	9	16	0,0
2025-10-09 17:00:00	10	9	17	0,0
2025-10-09 18:00:00	10	9	18	0,0
2025-10-09 19:00:00	10	9	19	0,0
2025-10-09 20:00:00	10	9	20	0,0
2025-10-09 21:00:00	10	9	21	108,5

Station 1 (km381) - T200 NO2

2025-10-09 22:00:00	10	9	22	0,0
2025-10-09 23:00:00	10	9	23	0,0
2025-10-10 00:00:00	10	10	0	0,0
2025-10-10 01:00:00	10	10	1	0,0
2025-10-10 02:00:00	10	10	2	0,0
2025-10-10 03:00:00	10	10	3	0,0
2025-10-10 04:00:00	10	10	4	0,0
2025-10-10 05:00:00	10	10	5	0,0
2025-10-10 06:00:00	10	10	6	0,0
2025-10-10 07:00:00	10	10	7	0,0
2025-10-10 08:00:00	10	10	8	28,4
2025-10-10 09:00:00	10	10	9	69,7
2025-10-10 10:00:00	10	10	10	0,4
2025-10-10 11:00:00	10	10	11	0,0
2025-10-10 12:00:00	10	10	12	0,0
2025-10-10 13:00:00	10	10	13	0,0
2025-10-10 14:00:00	10	10	14	0,1
2025-10-10 15:00:00	10	10	15	0,0
2025-10-10 16:00:00	10	10	16	0,1
2025-10-10 17:00:00	10	10	17	0,0
2025-10-10 18:00:00	10	10	18	0,2
2025-10-10 19:00:00	10	10	19	0,0
2025-10-10 20:00:00	10	10	20	105,2
2025-10-10 21:00:00	10	10	21	7,2
2025-10-10 22:00:00	10	10	22	0,0
2025-10-10 23:00:00	10	10	23	0,0
2025-10-11 00:00:00	10	11	0	0,0
2025-10-11 01:00:00	10	11	1	0,0
2025-10-11 02:00:00	10	11	2	0,0
2025-10-11 03:00:00	10	11	3	0,0
2025-10-11 04:00:00	10	11	4	0,2
2025-10-11 05:00:00	10	11	5	0,3
2025-10-11 06:00:00	10	11	6	0,2
2025-10-11 07:00:00	10	11	7	0,0
2025-10-11 08:00:00	10	11	8	109,2
2025-10-11 09:00:00	10	11	9	0,0
2025-10-11 10:00:00	10	11	10	0,0
2025-10-11 11:00:00	10	11	11	0,0
2025-10-11 12:00:00	10	11	12	0,0
2025-10-11 13:00:00	10	11	13	0,0
2025-10-11 14:00:00	10	11	14	1,1
2025-10-11 15:00:00	10	11	15	0,0
2025-10-11 16:00:00	10	11	16	0,1
2025-10-11 17:00:00	10	11	17	0,0
2025-10-11 18:00:00	10	11	18	0,0
2025-10-11 19:00:00	10	11	19	0,0
2025-10-11 20:00:00	10	11	20	97,7

Station 1 (km381) - T200 NO2

2025-10-11 21:00:00	10	11	21	0,0
2025-10-11 22:00:00	10	11	22	0,0
2025-10-11 23:00:00	10	11	23	0,0
2025-10-12 00:00:00	10	12	0	0,0
2025-10-12 01:00:00	10	12	1	0,0
2025-10-12 02:00:00	10	12	2	0,0
2025-10-12 03:00:00	10	12	3	0,0
2025-10-12 04:00:00	10	12	4	0,0
2025-10-12 05:00:00	10	12	5	0,0
2025-10-12 06:00:00	10	12	6	0,0
2025-10-12 07:00:00	10	12	7	0,0
2025-10-12 08:00:00	10	12	8	110,6
2025-10-12 09:00:00	10	12	9	0,0
2025-10-12 10:00:00	10	12	10	0,0
2025-10-12 11:00:00	10	12	11	0,0
2025-10-12 12:00:00	10	12	12	0,0
2025-10-12 13:00:00	10	12	13	0,0
2025-10-12 14:00:00	10	12	14	0,0
2025-10-12 15:00:00	10	12	15	0,0
2025-10-12 16:00:00	10	12	16	0,0
2025-10-12 17:00:00	10	12	17	0,0
2025-10-12 18:00:00	10	12	18	0,0
2025-10-12 19:00:00	10	12	19	0,0
2025-10-12 20:00:00	10	12	20	123,4
2025-10-12 21:00:00	10	12	21	0,4
2025-10-12 22:00:00	10	12	22	0,4
2025-10-12 23:00:00	10	12	23	0,5
2025-10-13 00:00:00	10	13	0	0,4
2025-10-13 01:00:00	10	13	1	0,4
2025-10-13 02:00:00	10	13	2	0,4
2025-10-13 03:00:00	10	13	3	0,3
2025-10-13 04:00:00	10	13	4	0,2
2025-10-13 05:00:00	10	13	5	0,2
2025-10-13 06:00:00	10	13	6	0,2
2025-10-13 07:00:00	10	13	7	37,8
2025-10-13 08:00:00	10	13	8	77,3
2025-10-13 09:00:00	10	13	9	0,2
2025-10-13 10:00:00	10	13	10	0,0
2025-10-13 11:00:00	10	13	11	0,0
2025-10-13 12:00:00	10	13	12	0,0
2025-10-13 13:00:00	10	13	13	0,0
2025-10-13 14:00:00	10	13	14	0,0
2025-10-13 15:00:00	10	13	15	0,0
2025-10-13 16:00:00	10	13	16	0,0
2025-10-13 17:00:00	10	13	17	0,0
2025-10-13 18:00:00	10	13	18	0,0
2025-10-13 19:00:00	10	13	19	111,3

Station 1 (km381) - T200 NO2

2025-10-13 20:00:00	10	13	20	87,4
2025-10-13 21:00:00	10	13	21	0,0
2025-10-13 22:00:00	10	13	22	0,0
2025-10-13 23:00:00	10	13	23	0,0
2025-10-14 00:00:00	10	14	0	0,0
2025-10-14 01:00:00	10	14	1	0,0
2025-10-14 02:00:00	10	14	2	0,0
2025-10-14 03:00:00	10	14	3	0,0
2025-10-14 04:00:00	10	14	4	0,0
2025-10-14 05:00:00	10	14	5	0,2
2025-10-14 06:00:00	10	14	6	0,0
2025-10-14 07:00:00	10	14	7	116,6
2025-10-14 08:00:00	10	14	8	0,0
2025-10-14 09:00:00	10	14	9	0,0
2025-10-14 10:00:00	10	14	10	0,0
2025-10-14 11:00:00	10	14	11	0,0
2025-10-14 12:00:00	10	14	12	0,0
2025-10-14 13:00:00	10	14	13	0,0
2025-10-14 14:00:00	10	14	14	0,0
2025-10-14 15:00:00	10	14	15	0,0
2025-10-14 16:00:00	10	14	16	0,0
2025-10-14 17:00:00	10	14	17	0,0
2025-10-14 18:00:00	10	14	18	0,0
2025-10-14 19:00:00	10	14	19	114,6
2025-10-14 20:00:00	10	14	20	0,0
2025-10-14 21:00:00	10	14	21	0,0
2025-10-14 22:00:00	10	14	22	0,0
2025-10-14 23:00:00	10	14	23	0,0
2025-10-15 00:00:00	10	15	0	0,0
2025-10-15 01:00:00	10	15	1	0,0
2025-10-15 02:00:00	10	15	2	0,0
2025-10-15 03:00:00	10	15	3	0,0
2025-10-15 04:00:00	10	15	4	0,0
2025-10-15 05:00:00	10	15	5	4,6
2025-10-15 06:00:00	10	15	6	1,4
2025-10-15 07:00:00	10	15	7	111,6
2025-10-15 08:00:00	10	15	8	0,4
2025-10-15 09:00:00	10	15	9	0,2
2025-10-15 10:00:00	10	15	10	0,0
2025-10-15 11:00:00	10	15	11	0,1
2025-10-15 12:00:00	10	15	12	0,1
2025-10-15 13:00:00	10	15	13	0,0
2025-10-15 14:00:00	10	15	14	0,0
2025-10-15 15:00:00	10	15	15	0,0
2025-10-15 16:00:00	10	15	16	0,0
2025-10-15 17:00:00	10	15	17	0,0
2025-10-15 18:00:00	10	15	18	0,0

Station 1 (km381) - T200 NO2

2025-10-15 19:00:00	10	15	19	115,9
2025-10-15 20:00:00	10	15	20	0,0
2025-10-15 21:00:00	10	15	21	0,0
2025-10-15 22:00:00	10	15	22	0,0
2025-10-15 23:00:00	10	15	23	0,0
2025-10-16 00:00:00	10	16	0	0,8
2025-10-16 01:00:00	10	16	1	0,0
2025-10-16 02:00:00	10	16	2	0,0
2025-10-16 03:00:00	10	16	3	0,0
2025-10-16 04:00:00	10	16	4	0,5
2025-10-16 05:00:00	10	16	5	0,1
2025-10-16 06:00:00	10	16	6	36,6
2025-10-16 07:00:00	10	16	7	46,3
2025-10-16 08:00:00	10	16	8	0,8
2025-10-16 09:00:00	10	16	9	0,2
2025-10-16 10:00:00	10	16	10	0,3
2025-10-16 11:00:00	10	16	11	0,1
2025-10-16 12:00:00	10	16	12	0,0
2025-10-16 13:00:00	10	16	13	0,0
2025-10-16 14:00:00	10	16	14	0,1
2025-10-16 15:00:00	10	16	15	0,0
2025-10-16 16:00:00	10	16	16	0,0
2025-10-16 17:00:00	10	16	17	0,0
2025-10-16 18:00:00	10	16	18	113,8
2025-10-16 19:00:00	10	16	19	7,6
2025-10-16 20:00:00	10	16	20	0,0
2025-10-16 21:00:00	10	16	21	0,0
2025-10-16 22:00:00	10	16	22	0,0
2025-10-16 23:00:00	10	16	23	0,0
2025-10-17 00:00:00	10	17	0	0,0
2025-10-17 01:00:00	10	17	1	0,0
2025-10-17 02:00:00	10	17	2	0,0
2025-10-17 03:00:00	10	17	3	0,0
2025-10-17 04:00:00	10	17	4	0,0
2025-10-17 05:00:00	10	17	5	0,0
2025-10-17 06:00:00	10	17	6	109,8
2025-10-17 07:00:00	10	17	7	0,0
2025-10-17 08:00:00	10	17	8	0,0
2025-10-17 09:00:00	10	17	9	0,0
2025-10-17 10:00:00	10	17	10	0,0
2025-10-17 11:00:00	10	17	11	0,0
2025-10-17 12:00:00	10	17	12	0,0
2025-10-17 13:00:00	10	17	13	0,0
2025-10-17 14:00:00	10	17	14	0,0
2025-10-17 15:00:00	10	17	15	0,0
2025-10-17 16:00:00	10	17	16	0,0
2025-10-17 17:00:00	10	17	17	0,0

Station 1 (km381) - T200 NO2

2025-10-17 18:00:00	10	17	18	118,7
2025-10-17 19:00:00	10	17	19	0,1
2025-10-17 20:00:00	10	17	20	0,1
2025-10-17 21:00:00	10	17	21	0,3
2025-10-17 22:00:00	10	17	22	0,1
2025-10-17 23:00:00	10	17	23	0,0
2025-10-18 00:00:00	10	18	0	0,0
2025-10-18 01:00:00	10	18	1	0,0
2025-10-18 02:00:00	10	18	2	0,0
2025-10-18 03:00:00	10	18	3	0,1
2025-10-18 04:00:00	10	18	4	0,1
2025-10-18 05:00:00	10	18	5	0,1
2025-10-18 06:00:00	10	18	6	116,3
2025-10-18 07:00:00	10	18	7	0,0
2025-10-18 08:00:00	10	18	8	0,0
2025-10-18 09:00:00	10	18	9	0,0
2025-10-18 10:00:00	10	18	10	0,0
2025-10-18 11:00:00	10	18	11	0,0
2025-10-18 12:00:00	10	18	12	0,0
2025-10-18 13:00:00	10	18	13	0,0
2025-10-18 14:00:00	10	18	14	0,0
2025-10-18 15:00:00	10	18	15	0,5
2025-10-18 16:00:00	10	18	16	0,5
2025-10-18 17:00:00	10	18	17	0,0
2025-10-18 18:00:00	10	18	18	114,1
2025-10-18 19:00:00	10	18	19	0,4
2025-10-18 20:00:00	10	18	20	0,4
2025-10-18 21:00:00	10	18	21	0,4
2025-10-18 22:00:00	10	18	22	0,5
2025-10-18 23:00:00	10	18	23	0,6
2025-10-19 00:00:00	10	19	0	0,6
2025-10-19 01:00:00	10	19	1	0,5
2025-10-19 02:00:00	10	19	2	0,7
2025-10-19 03:00:00	10	19	3	0,9
2025-10-19 04:00:00	10	19	4	1,0
2025-10-19 05:00:00	10	19	5	50,2
2025-10-19 06:00:00	10	19	6	91,9
2025-10-19 07:00:00	10	19	7	1,4
2025-10-19 08:00:00	10	19	8	1,4
2025-10-19 09:00:00	10	19	9	1,5
2025-10-19 10:00:00	10	19	10	1,5
2025-10-19 11:00:00	10	19	11	1,4
2025-10-19 12:00:00	10	19	12	1,4
2025-10-19 13:00:00	10	19	13	1,1
2025-10-19 14:00:00	10	19	14	1,1
2025-10-19 15:00:00	10	19	15	0,9
2025-10-19 16:00:00	10	19	16	1,0

Station 1 (km381) - T200 NO2

2025-10-19 17:00:00	10	19	17	119,3
2025-10-19 18:00:00	10	19	18	8,2
2025-10-19 19:00:00	10	19	19	0,6
2025-10-19 20:00:00	10	19	20	0,6
2025-10-19 21:00:00	10	19	21	0,6
2025-10-19 22:00:00	10	19	22	0,6
2025-10-19 23:00:00	10	19	23	0,7
2025-10-20 00:00:00	10	20	0	1,0
2025-10-20 01:00:00	10	20	1	1,0
2025-10-20 02:00:00	10	20	2	1,1
2025-10-20 03:00:00	10	20	3	1,0
2025-10-20 04:00:00	10	20	4	1,1
2025-10-20 05:00:00	10	20	5	137,2
2025-10-20 06:00:00	10	20	6	3,0
2025-10-20 07:00:00	10	20	7	0,3
2025-10-20 08:00:00	10	20	8	0,0
2025-10-20 09:00:00	10	20	9	0,5
2025-10-20 10:00:00	10	20	10	0,0
2025-10-20 11:00:00	10	20	11	0,5
2025-10-20 12:00:00	10	20	12	0,4
2025-10-20 13:00:00	10	20	13	0,1
2025-10-20 14:00:00	10	20	14	0,2
2025-10-20 15:00:00	10	20	15	0,4
2025-10-20 16:00:00	10	20	16	0,3
2025-10-20 17:00:00	10	20	17	124,3
2025-10-20 18:00:00	10	20	18	0,8
2025-10-20 19:00:00	10	20	19	0,6
2025-10-20 20:00:00	10	20	20	0,3
2025-10-20 21:00:00	10	20	21	0,2
2025-10-20 22:00:00	10	20	22	0,4
2025-10-20 23:00:00	10	20	23	0,4
2025-10-21 00:00:00	10	21	0	0,4
2025-10-21 01:00:00	10	21	1	0,1
2025-10-21 02:00:00	10	21	2	0,2
2025-10-21 03:00:00	10	21	3	0,7
2025-10-21 04:00:00	10	21	4	1,0
2025-10-21 05:00:00	10	21	5	120,5
2025-10-21 06:00:00	10	21	6	0,4
2025-10-21 07:00:00	10	21	7	0,1
2025-10-21 08:00:00	10	21	8	0,1
2025-10-21 09:00:00	10	21	9	0,3
2025-10-21 10:00:00	10	21	10	0,4
2025-10-21 11:00:00	10	21	11	0,5
2025-10-21 12:00:00	10	21	12	0,5
2025-10-21 13:00:00	10	21	13	0,8
2025-10-21 14:00:00	10	21	14	0,7
2025-10-21 15:00:00	10	21	15	0,8

Station 1 (km381) - T200 NO2

2025-10-21 16:00:00	10	21	16	0,6
2025-10-21 17:00:00	10	21	17	133,6
2025-10-21 18:00:00	10	21	18	0,7
2025-10-21 19:00:00	10	21	19	0,6
2025-10-21 20:00:00	10	21	20	0,6
2025-10-21 21:00:00	10	21	21	0,7
2025-10-21 22:00:00	10	21	22	0,9
2025-10-21 23:00:00	10	21	23	1,0
2025-10-22 00:00:00	10	22	0	1,0
2025-10-22 01:00:00	10	22	1	1,0
2025-10-22 02:00:00	10	22	2	0,6
2025-10-22 03:00:00	10	22	3	0,4
2025-10-22 04:00:00	10	22	4	39,3
2025-10-22 05:00:00	10	22	5	81,0
2025-10-22 06:00:00	10	22	6	0,2
2025-10-22 07:00:00	10	22	7	0,1
2025-10-22 08:00:00	10	22	8	0,1
2025-10-22 09:00:00	10	22	9	0,3
2025-10-22 10:00:00	10	22	10	0,3
2025-10-22 11:00:00	10	22	11	0,5
2025-10-22 12:00:00	10	22	12	0,9
2025-10-22 13:00:00	10	22	13	0,7
2025-10-22 14:00:00	10	22	14	0,8
2025-10-22 15:00:00	10	22	15	0,8
2025-10-22 16:00:00	10	22	16	124,6
2025-10-22 17:00:00	10	22	17	9,6
2025-10-22 18:00:00	10	22	18	2,0
2025-10-22 19:00:00	10	22	19	1,5
2025-10-22 20:00:00	10	22	20	1,1
2025-10-22 21:00:00	10	22	21	0,6
2025-10-22 22:00:00	10	22	22	0,8
2025-10-22 23:00:00	10	22	23	0,8
2025-10-23 00:00:00	10	23	0	0,4
2025-10-23 01:00:00	10	23	1	0,4
2025-10-23 02:00:00	10	23	2	0,5
2025-10-23 03:00:00	10	23	3	0,4
2025-10-23 04:00:00	10	23	4	0,4
2025-10-23 05:00:00	10	23	5	0,3
2025-10-23 06:00:00	10	23	6	0,4
2025-10-23 07:00:00	10	23	7	0,2
2025-10-23 08:00:00	10	23	8	0,2
2025-10-23 09:00:00	10	23	9	0,0
2025-10-23 10:00:00	10	23	10	0,2
2025-10-23 11:00:00	10	23	11	0,6
2025-10-23 12:00:00	10	23	12	0,2
2025-10-23 13:00:00	10	23	13	0,1
2025-10-23 14:00:00	10	23	14	0,2

Station 1 (km381) - T200 NO2

2025-10-23 15:00:00	10	23	15	0,0
2025-10-23 16:00:00	10	23	16	117,4
2025-10-23 17:00:00	10	23	17	0,0
2025-10-23 18:00:00	10	23	18	0,1
2025-10-23 19:00:00	10	23	19	0,1
2025-10-23 20:00:00	10	23	20	0,6
2025-10-23 21:00:00	10	23	21	0,6
2025-10-23 22:00:00	10	23	22	0,0
2025-10-23 23:00:00	10	23	23	0,0
2025-10-24 00:00:00	10	24	0	0,0
2025-10-24 01:00:00	10	24	1	0,0
2025-10-24 02:00:00	10	24	2	0,0
2025-10-24 03:00:00	10	24	3	0,0
2025-10-24 04:00:00	10	24	4	111,0
2025-10-24 05:00:00	10	24	5	0,6
2025-10-24 06:00:00	10	24	6	0,1
2025-10-24 07:00:00	10	24	7	0,0
2025-10-24 08:00:00	10	24	8	0,0
2025-10-24 09:00:00	10	24	9	0,0
2025-10-24 10:00:00	10	24	10	0,0
2025-10-24 11:00:00	10	24	11	0,0
2025-10-24 12:00:00	10	24	12	0,1
2025-10-24 13:00:00	10	24	13	0,0
2025-10-24 14:00:00	10	24	14	0,0
2025-10-24 15:00:00	10	24	15	0,0
2025-10-24 16:00:00	10	24	16	113,4
2025-10-24 17:00:00	10	24	17	0,0
2025-10-24 18:00:00	10	24	18	0,0
2025-10-24 19:00:00	10	24	19	0,1
2025-10-24 20:00:00	10	24	20	0,0
2025-10-24 21:00:00	10	24	21	0,1
2025-10-24 22:00:00	10	24	22	0,0
2025-10-24 23:00:00	10	24	23	0,0
2025-10-25 00:00:00	10	25	0	0,0
2025-10-25 01:00:00	10	25	1	0,1
2025-10-25 02:00:00	10	25	2	0,1
2025-10-25 03:00:00	10	25	3	36,1
2025-10-25 04:00:00	10	25	4	76,3
2025-10-25 05:00:00	10	25	5	0,1
2025-10-25 06:00:00	10	25	6	0,2
2025-10-25 07:00:00	10	25	7	0,0
2025-10-25 08:00:00	10	25	8	0,1
2025-10-25 09:00:00	10	25	9	0,0
2025-10-25 10:00:00	10	25	10	0,1
2025-10-25 11:00:00	10	25	11	0,1
2025-10-25 12:00:00	10	25	12	0,1
2025-10-25 13:00:00	10	25	13	0,2

Station 1 (km381) - T200 NO2

2025-10-25 14:00:00	10	25	14	0,1
2025-10-25 15:00:00	10	25	15	133,0
2025-10-25 16:00:00	10	25	16	7,3
2025-10-25 17:00:00	10	25	17	0,1
2025-10-25 18:00:00	10	25	18	0,2
2025-10-25 19:00:00	10	25	19	0,6
2025-10-25 20:00:00	10	25	20	0,1
2025-10-25 21:00:00	10	25	21	0,1
2025-10-25 22:00:00	10	25	22	0,2
2025-10-25 23:00:00	10	25	23	0,2
2025-10-26 00:00:00	10	26	0	0,0
2025-10-26 01:00:00	10	26	1	0,0
2025-10-26 02:00:00	10	26	2	0,0
2025-10-26 03:00:00	10	26	3	110,4
2025-10-26 04:00:00	10	26	4	0,3
2025-10-26 05:00:00	10	26	5	0,0
2025-10-26 06:00:00	10	26	6	0,4
2025-10-26 07:00:00	10	26	7	1,1
2025-10-26 08:00:00	10	26	8	0,5
2025-10-26 09:00:00	10	26	9	0,8
2025-10-26 10:00:00	10	26	10	0,1
2025-10-26 11:00:00	10	26	11	0,0
2025-10-26 12:00:00	10	26	12	0,0
2025-10-26 13:00:00	10	26	13	0,7
2025-10-26 14:00:00	10	26	14	0,0
2025-10-26 15:00:00	10	26	15	113,1
2025-10-26 16:00:00	10	26	16	0,0
2025-10-26 17:00:00	10	26	17	0,1
2025-10-26 18:00:00	10	26	18	0,2
2025-10-26 19:00:00	10	26	19	0,6
2025-10-26 20:00:00	10	26	20	0,1
2025-10-26 21:00:00	10	26	21	0,0
2025-10-26 22:00:00	10	26	22	0,0
2025-10-26 23:00:00	10	26	23	0,0
2025-10-27 00:00:00	10	27	0	0,0
2025-10-27 01:00:00	10	27	1	0,0
2025-10-27 02:00:00	10	27	2	0,0
2025-10-27 03:00:00	10	27	3	110,6
2025-10-27 04:00:00	10	27	4	0,0
2025-10-27 05:00:00	10	27	5	0,0
2025-10-27 06:00:00	10	27	6	0,0
2025-10-27 07:00:00	10	27	7	0,0
2025-10-27 08:00:00	10	27	8	0,0
2025-10-27 09:00:00	10	27	9	0,0
2025-10-27 10:00:00	10	27	10	0,0
2025-10-27 11:00:00	10	27	11	0,0
2025-10-27 12:00:00	10	27	12	0,2

Station 1 (km381) - T200 NO2

2025-10-27 13:00:00	10	27	13	0,5
2025-10-27 14:00:00	10	27	14	0,6
2025-10-27 15:00:00	10	27	15	134,2
2025-10-27 16:00:00	10	27	16	0,0
2025-10-27 17:00:00	10	27	17	0,0
2025-10-27 18:00:00	10	27	18	0,0
2025-10-27 19:00:00	10	27	19	0,1
2025-10-27 20:00:00	10	27	20	0,0
2025-10-27 21:00:00	10	27	21	0,1
2025-10-27 22:00:00	10	27	22	0,1
2025-10-27 23:00:00	10	27	23	0,0
2025-10-28 00:00:00	10	28	0	0,1
2025-10-28 01:00:00	10	28	1	0,0
2025-10-28 02:00:00	10	28	2	36,4
2025-10-28 03:00:00	10	28	3	77,4
2025-10-28 04:00:00	10	28	4	0,0
2025-10-28 05:00:00	10	28	5	2,6
2025-10-28 06:00:00	10	28	6	1,3
2025-10-28 07:00:00	10	28	7	0,4
2025-10-28 08:00:00	10	28	8	0,0
2025-10-28 09:00:00	10	28	9	0,0
2025-10-28 10:00:00	10	28	10	0,5
2025-10-28 11:00:00	10	28	11	0,3
2025-10-28 12:00:00	10	28	12	0,3
2025-10-28 13:00:00	10	28	13	0,4
2025-10-28 14:00:00	10	28	14	114,2
2025-10-28 15:00:00	10	28	15	8,1
2025-10-28 16:00:00	10	28	16	0,8
2025-10-28 17:00:00	10	28	17	0,7
2025-10-28 18:00:00	10	28	18	0,4
2025-10-28 19:00:00	10	28	19	0,3
2025-10-28 20:00:00	10	28	20	0,2
2025-10-28 21:00:00	10	28	21	0,2
2025-10-28 22:00:00	10	28	22	0,4
2025-10-28 23:00:00	10	28	23	0,2
2025-10-29 00:00:00	10	29	0	0,2
2025-10-29 01:00:00	10	29	1	0,1
2025-10-29 02:00:00	10	29	2	115,3
2025-10-29 03:00:00	10	29	3	0,0
2025-10-29 04:00:00	10	29	4	0,0
2025-10-29 05:00:00	10	29	5	0,0
2025-10-29 06:00:00	10	29	6	0,0
2025-10-29 07:00:00	10	29	7	0,0
2025-10-29 08:00:00	10	29	8	0,0
2025-10-29 09:00:00	10	29	9	0,0
2025-10-29 10:00:00	10	29	10	0,9
2025-10-29 11:00:00	10	29	11	0,2

Station 1 (km381) - T200 NO2

2025-10-29 12:00:00	10	29	12	0,5
2025-10-29 13:00:00	10	29	13	0,5
2025-10-29 14:00:00	10	29	14	125,1
2025-10-29 15:00:00	10	29	15	0,7
2025-10-29 16:00:00	10	29	16	0,5
2025-10-29 17:00:00	10	29	17	0,5
2025-10-29 18:00:00	10	29	18	0,3
2025-10-29 19:00:00	10	29	19	0,3
2025-10-29 20:00:00	10	29	20	0,2
2025-10-29 21:00:00	10	29	21	0,1
2025-10-29 22:00:00	10	29	22	0,2
2025-10-29 23:00:00	10	29	23	0,0
2025-10-30 00:00:00	10	30	0	0,2
2025-10-30 01:00:00	10	30	1	0,2
2025-10-30 02:00:00	10	30	2	84,6
2025-10-30 03:00:00	10	30	3	0,1
2025-10-30 04:00:00	10	30	4	0,2
2025-10-30 05:00:00	10	30	5	0,0
2025-10-30 06:00:00	10	30	6	0,7
2025-10-30 07:00:00	10	30	7	0,3
2025-10-30 08:00:00	10	30	8	0,0
2025-10-30 09:00:00	10	30	9	0,1
2025-10-30 10:00:00	10	30	10	0,1
2025-10-30 11:00:00	10	30	11	0,2
2025-10-30 12:00:00	10	30	12	0,1
2025-10-30 13:00:00	10	30	13	0,0
2025-10-30 14:00:00	10	30	14	115,3
2025-10-30 15:00:00	10	30	15	2,1
2025-10-30 16:00:00	10	30	16	1,9
2025-10-30 17:00:00	10	30	17	0,2
2025-10-30 18:00:00	10	30	18	1,8
2025-10-30 19:00:00	10	30	19	0,8
2025-10-30 20:00:00	10	30	20	0,6
2025-10-30 21:00:00	10	30	21	2,0
2025-10-30 22:00:00	10	30	22	1,8
2025-10-30 23:00:00	10	30	23	2,1
2025-10-31 00:00:00	10	31	0	0,4
2025-10-31 01:00:00	10	31	1	38,6
2025-10-31 02:00:00	10	31	2	82,3
2025-10-31 03:00:00	10	31	3	2,3
2025-10-31 04:00:00	10	31	4	5,2
2025-10-31 05:00:00	10	31	5	2,2
2025-10-31 06:00:00	10	31	6	0,2
2025-10-31 07:00:00	10	31	7	0,1
2025-10-31 08:00:00	10	31	8	0,0
2025-10-31 09:00:00	10	31	9	0,1
2025-10-31 10:00:00	10	31	10	0,0

Station 1 (km381) - T200 NO2

2025-10-31 11:00:00	10	31	11	0,0
2025-10-31 12:00:00	10	31	12	0,0
2025-10-31 13:00:00	10	31	13	109,9
2025-10-31 14:00:00	10	31	14	7,8
2025-10-31 15:00:00	10	31	15	0,0
2025-10-31 16:00:00	10	31	16	0,0
2025-10-31 17:00:00	10	31	17	0,0
2025-10-31 18:00:00	10	31	18	0,1
2025-10-31 19:00:00	10	31	19	0,1
2025-10-31 20:00:00	10	31	20	0,0
2025-10-31 21:00:00	10	31	21	0,0
2025-10-31 22:00:00	10	31	22	0,0
2025-10-31 23:00:00	10	31	23	0,2
2025-11-01 00:00:00	11	1	0	0,1
2025-11-01 01:00:00	11	1	1	117,2
2025-11-01 02:00:00	11	1	2	0,0
2025-11-01 03:00:00	11	1	3	0,0
2025-11-01 04:00:00	11	1	4	0,2
2025-11-01 05:00:00	11	1	5	0,5
2025-11-01 06:00:00	11	1	6	0,5
2025-11-01 07:00:00	11	1	7	0,7
2025-11-01 08:00:00	11	1	8	0,4
2025-11-01 09:00:00	11	1	9	0,3
2025-11-01 10:00:00	11	1	10	0,4
2025-11-01 11:00:00	11	1	11	0,4
2025-11-01 12:00:00	11	1	12	0,6
2025-11-01 13:00:00	11	1	13	118,1
2025-11-01 14:00:00	11	1	14	0,4
2025-11-01 15:00:00	11	1	15	0,0
2025-11-01 16:00:00	11	1	16	0,0
2025-11-01 17:00:00	11	1	17	0,5
2025-11-01 18:00:00	11	1	18	0,6
2025-11-01 19:00:00	11	1	19	0,4
2025-11-01 20:00:00	11	1	20	0,4
2025-11-01 21:00:00	11	1	21	0,9
2025-11-01 22:00:00	11	1	22	0,2
2025-11-01 23:00:00	11	1	23	0,3
2025-11-02 00:00:00	11	2	0	0,4
2025-11-02 01:00:00	11	2	1	116,1
2025-11-02 01:00:00	11	2	1	0,4
2025-11-02 02:00:00	11	2	2	0,3
2025-11-02 03:00:00	11	2	3	0,5
2025-11-02 04:00:00	11	2	4	0,7
2025-11-02 05:00:00	11	2	5	0,4
2025-11-02 06:00:00	11	2	6	1,1
2025-11-02 07:00:00	11	2	7	0,0
2025-11-02 08:00:00	11	2	8	1,1

Station 1 (km381) - T200 NO2

2025-11-02 09:00:00	11	2	9	2,0
2025-11-02 10:00:00	11	2	10	2,3
2025-11-02 11:00:00	11	2	11	0,4
2025-11-02 12:00:00	11	2	12	111,3
2025-11-02 13:00:00	11	2	13	0,0
2025-11-02 14:00:00	11	2	14	0,0
2025-11-02 15:00:00	11	2	15	0,0
2025-11-02 16:00:00	11	2	16	0,0
2025-11-02 17:00:00	11	2	17	0,0
2025-11-02 18:00:00	11	2	18	0,0
2025-11-02 19:00:00	11	2	19	0,0
2025-11-02 20:00:00	11	2	20	0,0
2025-11-02 21:00:00	11	2	21	0,1
2025-11-02 22:00:00	11	2	22	0,1
2025-11-02 23:00:00	11	2	23	36,2
2025-11-03 00:00:00	11	3	0	83,8
2025-11-03 01:00:00	11	3	1	0,2
2025-11-03 02:00:00	11	3	2	0,3
2025-11-03 03:00:00	11	3	3	0,3
2025-11-03 04:00:00	11	3	4	0,3
2025-11-03 05:00:00	11	3	5	0,3
2025-11-03 06:00:00	11	3	6	0,4
2025-11-03 07:00:00	11	3	7	0,4
2025-11-03 08:00:00	11	3	8	0,5
2025-11-03 09:00:00	11	3	9	0,1
2025-11-03 10:00:00	11	3	10	0,1
2025-11-03 11:00:00	11	3	11	107,9
2025-11-03 12:00:00	11	3	12	8,6
2025-11-03 13:00:00	11	3	13	0,6
2025-11-03 14:00:00	11	3	14	0,1
2025-11-03 15:00:00	11	3	15	0,6
2025-11-03 16:00:00	11	3	16	1,1
2025-11-03 17:00:00	11	3	17	1,2
2025-11-03 18:00:00	11	3	18	1,3
2025-11-03 19:00:00	11	3	19	0,4
2025-11-03 20:00:00	11	3	20	0,3
2025-11-03 21:00:00	11	3	21	0,4
2025-11-03 22:00:00	11	3	22	1,0
2025-11-03 23:00:00	11	3	23	118,7
2025-11-04 00:00:00	11	4	0	0,3
2025-11-04 01:00:00	11	4	1	0,3
2025-11-04 02:00:00	11	4	2	1,1
2025-11-04 03:00:00	11	4	3	0,3
2025-11-04 04:00:00	11	4	4	0,5
2025-11-04 05:00:00	11	4	5	0,9
2025-11-04 06:00:00	11	4	6	1,2
2025-11-04 07:00:00	11	4	7	0,6

Station 1 (km381) - T200 NO2

2025-11-04 08:00:00	11	4	8	0,5
2025-11-04 09:00:00	11	4	9	0,5
2025-11-04 10:00:00	11	4	10	0,6
2025-11-04 11:00:00	11	4	11	123,2
2025-11-04 12:00:00	11	4	12	0,7
2025-11-04 13:00:00	11	4	13	0,7
2025-11-04 14:00:00	11	4	14	0,6
2025-11-04 15:00:00	11	4	15	0,6
2025-11-04 16:00:00	11	4	16	1,2
2025-11-04 17:00:00	11	4	17	2,6
2025-11-04 18:00:00	11	4	18	1,4
2025-11-04 19:00:00	11	4	19	2,5
2025-11-04 20:00:00	11	4	20	0,8
2025-11-04 21:00:00	11	4	21	2,4
2025-11-04 22:00:00	11	4	22	1,1
2025-11-04 23:00:00	11	4	23	122,0
2025-11-05 00:00:00	11	5	0	2,9
2025-11-05 01:00:00	11	5	1	3,5
2025-11-05 02:00:00	11	5	2	2,8
2025-11-05 03:00:00	11	5	3	0,9
2025-11-05 04:00:00	11	5	4	2,7
2025-11-05 05:00:00	11	5	5	8,0
2025-11-05 06:00:00	11	5	6	2,1
2025-11-05 07:00:00	11	5	7	0,4
2025-11-05 08:00:00	11	5	8	0,7
2025-11-05 09:00:00	11	5	9	2,3
2025-11-05 10:00:00	11	5	10	1,0
2025-11-05 11:00:00	11	5	11	117,6
2025-11-05 12:00:00	11	5	12	0,4
2025-11-05 13:00:00	11	5	13	0,3
2025-11-05 14:00:00	11	5	14	0,3
2025-11-05 15:00:00	11	5	15	0,4
2025-11-05 16:00:00	11	5	16	0,3
2025-11-05 17:00:00	11	5	17	0,4
2025-11-05 18:00:00	11	5	18	0,4
2025-11-05 19:00:00	11	5	19	0,2
2025-11-05 20:00:00	11	5	20	0,2
2025-11-05 21:00:00	11	5	21	0,2
2025-11-05 22:00:00	11	5	22	36,5
2025-11-05 23:00:00	11	5	23	81,3
2025-11-06 00:00:00	11	6	0	0,1
2025-11-06 01:00:00	11	6	1	0,2
2025-11-06 02:00:00	11	6	2	0,1
2025-11-06 03:00:00	11	6	3	0,2
2025-11-06 04:00:00	11	6	4	0,2
2025-11-06 05:00:00	11	6	5	0,5
2025-11-06 06:00:00	11	6	6	0,5

Station 1 (km381) - T200 NO2

2025-11-06 07:00:00	11	6	7	0,1
2025-11-06 08:00:00	11	6	8	0,0
2025-11-06 09:00:00	11	6	9	0,0
2025-11-06 10:00:00	11	6	10	106,6
2025-11-06 11:00:00	11	6	11	7,4
2025-11-06 12:00:00	11	6	12	0,2
2025-11-06 13:00:00	11	6	13	1,1
2025-11-06 14:00:00	11	6	14	0,6
2025-11-06 15:00:00	11	6	15	0,7
2025-11-06 16:00:00	11	6	16	0,7
2025-11-06 17:00:00	11	6	17	0,8
2025-11-06 18:00:00	11	6	18	1,7
2025-11-06 19:00:00	11	6	19	1,9
2025-11-06 20:00:00	11	6	20	0,9
2025-11-06 21:00:00	11	6	21	1,5
2025-11-06 22:00:00	11	6	22	113,4
2025-11-06 23:00:00	11	6	23	1,7
2025-11-07 00:00:00	11	7	0	1,9
2025-11-07 01:00:00	11	7	1	0,8
2025-11-07 02:00:00	11	7	2	0,7
2025-11-07 03:00:00	11	7	3	1,2
2025-11-07 04:00:00	11	7	4	0,0
2025-11-07 05:00:00	11	7	5	0,0
2025-11-07 06:00:00	11	7	6	0,0
2025-11-07 07:00:00	11	7	7	0,0
2025-11-07 08:00:00	11	7	8	0,0
2025-11-07 09:00:00	11	7	9	0,0
2025-11-07 10:00:00	11	7	10	117,0
2025-11-07 11:00:00	11	7	11	0,2
2025-11-07 12:00:00	11	7	12	0,2
2025-11-07 13:00:00	11	7	13	0,1
2025-11-07 14:00:00	11	7	14	0,3
2025-11-07 15:00:00	11	7	15	0,4
2025-11-07 16:00:00	11	7	16	0,4
2025-11-07 17:00:00	11	7	17	0,5
2025-11-07 18:00:00	11	7	18	0,6
2025-11-07 19:00:00	11	7	19	0,4
2025-11-07 20:00:00	11	7	20	0,5
2025-11-07 21:00:00	11	7	21	0,6
2025-11-07 22:00:00	11	7	22	130,4
2025-11-07 23:00:00	11	7	23	0,6
2025-11-08 00:00:00	11	8	0	0,8
2025-11-08 01:00:00	11	8	1	0,8
2025-11-08 02:00:00	11	8	2	0,8
2025-11-08 03:00:00	11	8	3	0,7
2025-11-08 04:00:00	11	8	4	0,7
2025-11-08 05:00:00	11	8	5	0,6

Station 1 (km381) - T200 NO2

2025-11-08 06:00:00	11	8	6	0,5
2025-11-08 07:00:00	11	8	7	0,3
2025-11-08 08:00:00	11	8	8	0,2
2025-11-08 09:00:00	11	8	9	0,0
2025-11-08 10:00:00	11	8	10	116,6
2025-11-08 11:00:00	11	8	11	0,0
2025-11-08 12:00:00	11	8	12	0,1
2025-11-08 13:00:00	11	8	13	0,3
2025-11-08 14:00:00	11	8	14	0,1
2025-11-08 15:00:00	11	8	15	0,4
2025-11-08 16:00:00	11	8	16	0,4
2025-11-08 17:00:00	11	8	17	3,4
2025-11-08 18:00:00	11	8	18	0,1
2025-11-08 19:00:00	11	8	19	1,0
2025-11-08 20:00:00	11	8	20	3,7
2025-11-08 21:00:00	11	8	21	43,8
2025-11-08 22:00:00	11	8	22	80,4
2025-11-08 23:00:00	11	8	23	0,9
2025-11-09 00:00:00	11	9	0	2,0
2025-11-09 01:00:00	11	9	1	0,8
2025-11-09 02:00:00	11	9	2	0,0
2025-11-09 03:00:00	11	9	3	0,2
2025-11-09 04:00:00	11	9	4	2,9
2025-11-09 05:00:00	11	9	5	3,6
2025-11-09 06:00:00	11	9	6	3,4
2025-11-09 07:00:00	11	9	7	4,9
2025-11-09 08:00:00	11	9	8	2,4
2025-11-09 09:00:00	11	9	9	115,8
2025-11-09 10:00:00	11	9	10	15,8
2025-11-09 11:00:00	11	9	11	5,5
2025-11-09 12:00:00	11	9	12	7,9
2025-11-09 13:00:00	11	9	13	11,5
2025-11-09 14:00:00	11	9	14	9,8
2025-11-09 15:00:00	11	9	15	9,9
2025-11-09 16:00:00	11	9	16	10,2
2025-11-09 17:00:00	11	9	17	6,2
2025-11-09 18:00:00	11	9	18	6,3
2025-11-09 19:00:00	11	9	19	3,0
2025-11-09 20:00:00	11	9	20	4,4
2025-11-09 21:00:00	11	9	21	122,9
2025-11-09 22:00:00	11	9	22	4,3
2025-11-09 23:00:00	11	9	23	3,4
2025-11-10 00:00:00	11	10	0	3,4
2025-11-10 01:00:00	11	10	1	1,8
2025-11-10 02:00:00	11	10	2	2,3
2025-11-10 03:00:00	11	10	3	7,9
2025-11-10 04:00:00	11	10	4	14,9

Station 1 (km381) - T200 NO2

2025-11-10 05:00:00	11	10	5	8,0
2025-11-10 06:00:00	11	10	6	6,8
2025-11-10 07:00:00	11	10	7	7,4
2025-11-10 08:00:00	11	10	8	4,4
2025-11-10 09:00:00	11	10	9	117,2
2025-11-10 10:00:00	11	10	10	5,8
2025-11-10 11:00:00	11	10	11	6,1
2025-11-10 12:00:00	11	10	12	4,9
2025-11-10 13:00:00	11	10	13	8,0
2025-11-10 14:00:00	11	10	14	4,6
2025-11-10 15:00:00	11	10	15	2,6
2025-11-10 16:00:00	11	10	16	6,3
2025-11-10 17:00:00	11	10	17	2,4
2025-11-10 18:00:00	11	10	18	5,2
2025-11-10 19:00:00	11	10	19	11,5
2025-11-10 20:00:00	11	10	20	4,0
2025-11-10 21:00:00	11	10	21	116,6
2025-11-10 22:00:00	11	10	22	4,6
2025-11-10 23:00:00	11	10	23	3,4
2025-11-11 00:00:00	11	11	0	4,5
2025-11-11 01:00:00	11	11	1	6,4
2025-11-11 02:00:00	11	11	2	2,3
2025-11-11 03:00:00	11	11	3	4,8
2025-11-11 04:00:00	11	11	4	2,7
2025-11-11 05:00:00	11	11	5	6,5
2025-11-11 06:00:00	11	11	6	2,8
2025-11-11 07:00:00	11	11	7	2,4
2025-11-11 08:00:00	11	11	8	1,8
2025-11-11 09:00:00	11	11	9	118,8
2025-11-11 10:00:00	11	11	10	0,8
2025-11-11 11:00:00	11	11	11	0,5
2025-11-11 12:00:00	11	11	12	0,4
2025-11-11 13:00:00	11	11	13	0,1
2025-11-11 14:00:00	11	11	14	0,4
2025-11-11 15:00:00	11	11	15	0,3
2025-11-11 16:00:00	11	11	16	0,4
2025-11-11 17:00:00	11	11	17	0,8
2025-11-11 18:00:00	11	11	18	0,3
2025-11-11 19:00:00	11	11	19	1,6
2025-11-11 20:00:00	11	11	20	35,4
2025-11-11 21:00:00	11	11	21	84,9
2025-11-11 22:00:00	11	11	22	0,1
2025-11-11 23:00:00	11	11	23	0,0
2025-11-12 00:00:00	11	12	0	1,3
2025-11-12 01:00:00	11	12	1	0,1
2025-11-12 02:00:00	11	12	2	2,1
2025-11-12 03:00:00	11	12	3	2,4

Station 1 (km381) - T200 NO2

2025-11-12 04:00:00	11	12	4	17,8
2025-11-12 05:00:00	11	12	5	14,8
2025-11-12 06:00:00	11	12	6	19,3
2025-11-12 07:00:00	11	12	7	5,5
2025-11-12 08:00:00	11	12	8	118,6
2025-11-12 09:00:00	11	12	9	15,0
2025-11-12 10:00:00	11	12	10	7,6
2025-11-12 11:00:00	11	12	11	3,1
2025-11-12 12:00:00	11	12	12	3,4
2025-11-12 13:00:00	11	12	13	1,6
2025-11-12 14:00:00	11	12	14	4,2
2025-11-12 15:00:00	11	12	15	0,6
2025-11-12 16:00:00	11	12	16	10,9
2025-11-12 17:00:00	11	12	17	5,8
2025-11-12 18:00:00	11	12	18	3,5
2025-11-12 19:00:00	11	12	19	2,8
2025-11-12 20:00:00	11	12	20	123,8
2025-11-12 21:00:00	11	12	21	4,2
2025-11-12 22:00:00	11	12	22	4,5
2025-11-12 23:00:00	11	12	23	3,4
2025-11-13 00:00:00	11	13	0	3,4
2025-11-13 01:00:00	11	13	1	4,1
2025-11-13 02:00:00	11	13	2	3,4
2025-11-13 03:00:00	11	13	3	1,3
2025-11-13 04:00:00	11	13	4	0,1
2025-11-13 05:00:00	11	13	5	0,5
2025-11-13 06:00:00	11	13	6	3,3
2025-11-13 07:00:00	11	13	7	2,6
2025-11-13 08:00:00	11	13	8	122,3
2025-11-13 09:00:00	11	13	9	0,3
2025-11-13 10:00:00	11	13	10	0,6
2025-11-13 11:00:00	11	13	11	0,6
2025-11-13 12:00:00	11	13	12	1,1
2025-11-13 13:00:00	11	13	13	1,3
2025-11-13 14:00:00	11	13	14	0,0
2025-11-13 15:00:00	11	13	15	0,1
2025-11-13 16:00:00	11	13	16	0,2
2025-11-13 17:00:00	11	13	17	0,0
2025-11-13 18:00:00	11	13	18	1,1
2025-11-13 19:00:00	11	13	19	7,4
2025-11-13 20:00:00	11	13	20	114,8
2025-11-13 21:00:00	11	13	21	6,2
2025-11-13 22:00:00	11	13	22	2,6
2025-11-13 23:00:00	11	13	23	2,9
2025-11-14 00:00:00	11	14	0	1,1
2025-11-14 01:00:00	11	14	1	1,7
2025-11-14 02:00:00	11	14	2	2,5

Station 1 (km381) - T200 NO2

2025-11-14 03:00:00	11	14	3	1,2
2025-11-14 04:00:00	11	14	4	0,1
2025-11-14 05:00:00	11	14	5	0,0
2025-11-14 06:00:00	11	14	6	0,0
2025-11-14 07:00:00	11	14	7	0,0
2025-11-14 08:00:00	11	14	8	116,5
2025-11-14 09:00:00	11	14	9	0,3
2025-11-14 10:00:00	11	14	10	0,3
2025-11-14 11:00:00	11	14	11	3,1
2025-11-14 12:00:00	11	14	12	1,6
2025-11-14 13:00:00	11	14	13	0,5
2025-11-14 14:00:00	11	14	14	1,6
2025-11-14 15:00:00	11	14	15	0,5
2025-11-14 16:00:00	11	14	16	1,5
2025-11-14 17:00:00	11	14	17	0,5
2025-11-14 18:00:00	11	14	18	0,2
2025-11-14 19:00:00	11	14	19	36,8
2025-11-14 20:00:00	11	14	20	86,5
2025-11-14 21:00:00	11	14	21	4,3
2025-11-14 22:00:00	11	14	22	3,7
2025-11-14 23:00:00	11	14	23	1,6
2025-11-15 00:00:00	11	15	0	0,9
2025-11-15 01:00:00	11	15	1	0,2
2025-11-15 02:00:00	11	15	2	2,1
2025-11-15 03:00:00	11	15	3	0,8
2025-11-15 04:00:00	11	15	4	3,9
2025-11-15 05:00:00	11	15	5	0,1
2025-11-15 06:00:00	11	15	6	0,3
2025-11-15 07:00:00	11	15	7	112,8
2025-11-15 08:00:00	11	15	8	8,4
2025-11-15 09:00:00	11	15	9	0,6
2025-11-15 10:00:00	11	15	10	0,0
2025-11-15 11:00:00	11	15	11	0,0
2025-11-15 12:00:00	11	15	12	0,0
2025-11-15 13:00:00	11	15	13	0,0
2025-11-15 14:00:00	11	15	14	0,1
2025-11-15 15:00:00	11	15	15	0,0
2025-11-15 16:00:00	11	15	16	0,0
2025-11-15 17:00:00	11	15	17	0,0
2025-11-15 18:00:00	11	15	18	0,1
2025-11-15 19:00:00	11	15	19	125,5
2025-11-15 20:00:00	11	15	20	1,5
2025-11-15 21:00:00	11	15	21	0,1
2025-11-15 22:00:00	11	15	22	0,1
2025-11-15 23:00:00	11	15	23	0,2
2025-11-16 00:00:00	11	16	0	0,2
2025-11-16 01:00:00	11	16	1	0,1

Station 1 (km381) - T200 NO2

2025-11-16 02:00:00	11	16	2	0,4
2025-11-16 03:00:00	11	16	3	3,6
2025-11-16 04:00:00	11	16	4	2,9
2025-11-16 05:00:00	11	16	5	0,7
2025-11-16 06:00:00	11	16	6	6,1
2025-11-16 07:00:00	11	16	7	150,1
2025-11-16 08:00:00	11	16	8	0,9
2025-11-16 09:00:00	11	16	9	0,4
2025-11-16 10:00:00	11	16	10	0,6
2025-11-16 11:00:00	11	16	11	0,5
2025-11-16 12:00:00	11	16	12	0,4
2025-11-16 13:00:00	11	16	13	0,5
2025-11-16 14:00:00	11	16	14	0,6
2025-11-16 15:00:00	11	16	15	0,8
2025-11-16 16:00:00	11	16	16	0,8
2025-11-16 17:00:00	11	16	17	1,0
2025-11-16 18:00:00	11	16	18	1,4
2025-11-16 19:00:00	11	16	19	128,0
2025-11-16 20:00:00	11	16	20	0,8
2025-11-16 21:00:00	11	16	21	0,7
2025-11-16 22:00:00	11	16	22	0,6
2025-11-16 23:00:00	11	16	23	0,6
2025-11-17 00:00:00	11	17	0	0,6
2025-11-17 01:00:00	11	17	1	0,6
2025-11-17 02:00:00	11	17	2	0,4
2025-11-17 03:00:00	11	17	3	0,6
2025-11-17 04:00:00	11	17	4	0,6
2025-11-17 05:00:00	11	17	5	0,7
2025-11-17 06:00:00	11	17	6	1,6
2025-11-17 07:00:00	11	17	7	125,9
2025-11-17 08:00:00	11	17	8	1,0
2025-11-17 09:00:00	11	17	9	0,8
2025-11-17 10:00:00	11	17	10	1,0
2025-11-17 11:00:00	11	17	11	0,7
2025-11-17 12:00:00	11	17	12	0,8
2025-11-17 13:00:00	11	17	13	0,1
2025-11-17 14:00:00	11	17	14	0,2
2025-11-17 15:00:00	11	17	15	0,7
2025-11-17 16:00:00	11	17	16	1,0
2025-11-17 17:00:00	11	17	17	1,4
2025-11-17 18:00:00	11	17	18	46,9
2025-11-17 19:00:00	11	17	19	93,7
2025-11-17 20:00:00	11	17	20	1,8
2025-11-17 21:00:00	11	17	21	2,0
2025-11-17 22:00:00	11	17	22	1,8
2025-11-17 23:00:00	11	17	23	1,7
2025-11-18 00:00:00	11	18	0	1,1

Station 1 (km381) - T200 NO2

2025-11-18 01:00:00	11	18	1	0,8
2025-11-18 02:00:00	11	18	2	0,7
2025-11-18 03:00:00	11	18	3	0,7
2025-11-18 04:00:00	11	18	4	0,6
2025-11-18 05:00:00	11	18	5	2,1
2025-11-18 06:00:00	11	18	6	125,2
2025-11-18 07:00:00	11	18	7	8,9
2025-11-18 08:00:00	11	18	8	0,6
2025-11-18 09:00:00	11	18	9	0,6
2025-11-18 10:00:00	11	18	10	0,9
2025-11-18 11:00:00	11	18	11	2,3
2025-11-18 12:00:00	11	18	12	3,5
2025-11-18 13:00:00	11	18	13	1,2
2025-11-18 14:00:00	11	18	14	0,8
2025-11-18 15:00:00	11	18	15	0,9
2025-11-18 16:00:00	11	18	16	0,6
2025-11-18 17:00:00	11	18	17	1,9
2025-11-18 18:00:00	11	18	18	124,1
2025-11-18 19:00:00	11	18	19	0,8
2025-11-18 20:00:00	11	18	20	1,1
2025-11-18 21:00:00	11	18	21	0,4
2025-11-18 22:00:00	11	18	22	0,5
2025-11-18 23:00:00	11	18	23	0,4
2025-11-19 00:00:00	11	19	0	0,5
2025-11-19 01:00:00	11	19	1	0,5
2025-11-19 02:00:00	11	19	2	0,5
2025-11-19 03:00:00	11	19	3	0,3
2025-11-19 04:00:00	11	19	4	0,6
2025-11-19 05:00:00	11	19	5	2,4
2025-11-19 06:00:00	11	19	6	126,4
2025-11-19 07:00:00	11	19	7	0,7
2025-11-19 08:00:00	11	19	8	1,6
2025-11-19 09:00:00	11	19	9	1,7
2025-11-19 10:00:00	11	19	10	1,3
2025-11-19 11:00:00	11	19	11	0,9
2025-11-19 12:00:00	11	19	12	2,4
2025-11-19 13:00:00	11	19	13	6,1
2025-11-19 14:00:00	11	19	14	7,1
2025-11-19 15:00:00	11	19	15	4,0
2025-11-19 16:00:00	11	19	16	5,5
2025-11-19 17:00:00	11	19	17	2,9
2025-11-19 18:00:00	11	19	18	120,1
2025-11-19 19:00:00	11	19	19	2,5
2025-11-19 20:00:00	11	19	20	0,8
2025-11-19 21:00:00	11	19	21	0,2
2025-11-19 22:00:00	11	19	22	0,3
2025-11-19 23:00:00	11	19	23	0,2

Station 1 (km381) - T200 NO2

2025-11-20 00:00:00	11	20	0	1,8
2025-11-20 01:00:00	11	20	1	3,3
2025-11-20 02:00:00	11	20	2	2,9
2025-11-20 03:00:00	11	20	3	4,1
2025-11-20 04:00:00	11	20	4	4,6
2025-11-20 05:00:00	11	20	5	5,9
2025-11-20 06:00:00	11	20	6	126,6
2025-11-20 07:00:00	11	20	7	4,3
2025-11-20 08:00:00	11	20	8	10,3
2025-11-20 09:00:00	11	20	9	6,4
2025-11-20 10:00:00	11	20	10	5,5
2025-11-20 11:00:00	11	20	11	4,9
2025-11-20 12:00:00	11	20	12	3,0
2025-11-20 13:00:00	11	20	13	5,5
2025-11-20 14:00:00	11	20	14	1,9
2025-11-20 15:00:00	11	20	15	2,4
2025-11-20 16:00:00	11	20	16	2,5
2025-11-20 17:00:00	11	20	17	43,4
2025-11-20 18:00:00	11	20	18	476,3
2025-11-20 19:00:00	11	20	19	2,4
2025-11-20 20:00:00	11	20	20	2,4
2025-11-20 21:00:00	11	20	21	2,6
2025-11-20 22:00:00	11	20	22	3,4
2025-11-20 23:00:00	11	20	23	3,7
2025-11-21 00:00:00	11	21	0	3,9
2025-11-21 01:00:00	11	21	1	4,1
2025-11-21 02:00:00	11	21	2	4,9
2025-11-21 03:00:00	11	21	3	6,5
2025-11-21 04:00:00	11	21	4	7,0
2025-11-21 05:00:00	11	21	5	123,3
2025-11-21 06:00:00	11	21	6	14,0
2025-11-21 07:00:00	11	21	7	14,2
2025-11-21 08:00:00	11	21	8	4,8
2025-11-21 09:00:00	11	21	9	1,9
2025-11-21 10:00:00	11	21	10	1,1
2025-11-21 11:00:00	11	21	11	0,8
2025-11-21 12:00:00	11	21	12	1,7
2025-11-21 13:00:00	11	21	13	1,6
2025-11-21 14:00:00	11	21	14	0,6
2025-11-21 15:00:00	11	21	15	1,4
2025-11-21 16:00:00	11	21	16	0,7
2025-11-21 17:00:00	11	21	17	124,6
2025-11-21 18:00:00	11	21	18	3,0
2025-11-21 19:00:00	11	21	19	1,4
2025-11-21 20:00:00	11	21	20	2,4
2025-11-21 21:00:00	11	21	21	0,5
2025-11-21 22:00:00	11	21	22	2,1

Station 1 (km381) - T200 NO2

2025-11-21 23:00:00	11	21	23	1,4
2025-11-22 00:00:00	11	22	0	0,6
2025-11-22 01:00:00	11	22	1	0,9
2025-11-22 02:00:00	11	22	2	1,3
2025-11-22 03:00:00	11	22	3	4,7
2025-11-22 04:00:00	11	22	4	6,6
2025-11-22 05:00:00	11	22	5	131,9
2025-11-22 06:00:00	11	22	6	13,7
2025-11-22 07:00:00	11	22	7	5,6
2025-11-22 08:00:00	11	22	8	8,7
2025-11-22 09:00:00	11	22	9	8,3
2025-11-22 10:00:00	11	22	10	5,8
2025-11-22 11:00:00	11	22	11	4,2
2025-11-22 12:00:00	11	22	12	1,1
2025-11-22 13:00:00	11	22	13	1,8
2025-11-22 14:00:00	11	22	14	0,5
2025-11-22 15:00:00	11	22	15	2,1
2025-11-22 16:00:00	11	22	16	2,8
2025-11-22 17:00:00	11	22	17	124,9
2025-11-22 18:00:00	11	22	18	1,1
2025-11-22 19:00:00	11	22	19	0,7
2025-11-22 20:00:00	11	22	20	1,9
2025-11-22 21:00:00	11	22	21	0,7
2025-11-22 22:00:00	11	22	22	0,5
2025-11-22 23:00:00	11	22	23	0,6
2025-11-23 00:00:00	11	23	0	0,5
2025-11-23 01:00:00	11	23	1	1,1
2025-11-23 02:00:00	11	23	2	1,6
2025-11-23 03:00:00	11	23	3	1,7
2025-11-23 04:00:00	11	23	4	7,0
2025-11-23 05:00:00	11	23	5	181,6
2025-11-23 06:00:00	11	23	6	15,4
2025-11-23 07:00:00	11	23	7	2,2
2025-11-23 08:00:00	11	23	8	0,8
2025-11-23 09:00:00	11	23	9	3,3
2025-11-23 10:00:00	11	23	10	11,4
2025-11-23 11:00:00	11	23	11	16,1
2025-11-23 12:00:00	11	23	12	9,0
2025-11-23 13:00:00	11	23	13	5,8
2025-11-23 14:00:00	11	23	14	6,0
2025-11-23 15:00:00	11	23	15	10,6
2025-11-23 16:00:00	11	23	16	46,4
2025-11-23 17:00:00	11	23	17	85,8
2025-11-23 18:00:00	11	23	18	3,4
2025-11-23 19:00:00	11	23	19	5,3
2025-11-23 20:00:00	11	23	20	2,0
2025-11-23 21:00:00	11	23	21	1,4

Station 1 (km381) - T200 NO2

2025-11-23 22:00:00	11	23	22	1,3
2025-11-23 23:00:00	11	23	23	0,6
2025-11-24 00:00:00	11	24	0	1,2
2025-11-24 01:00:00	11	24	1	1,2
2025-11-24 02:00:00	11	24	2	0,6
2025-11-24 03:00:00	11	24	3	0,9
2025-11-24 04:00:00	11	24	4	116,0
2025-11-24 05:00:00	11	24	5	12,5
2025-11-24 06:00:00	11	24	6	27,3
2025-11-24 07:00:00	11	24	7	3,2
2025-11-24 08:00:00	11	24	8	0,8
2025-11-24 09:00:00	11	24	9	8,1
2025-11-24 10:00:00	11	24	10	10,3
2025-11-24 11:00:00	11	24	11	5,6
2025-11-24 12:00:00	11	24	12	2,1
2025-11-24 13:00:00	11	24	13	3,4
2025-11-24 14:00:00	11	24	14	1,9
2025-11-24 15:00:00	11	24	15	1,1
2025-11-24 16:00:00	11	24	16	134,5
2025-11-24 17:00:00	11	24	17	3,7
2025-11-24 18:00:00	11	24	18	2,8
2025-11-24 19:00:00	11	24	19	3,2
2025-11-24 20:00:00	11	24	20	7,4
2025-11-24 21:00:00	11	24	21	7,4
2025-11-24 22:00:00	11	24	22	5,8
2025-11-24 23:00:00	11	24	23	1,7
2025-11-25 00:00:00	11	25	0	0,8
2025-11-25 01:00:00	11	25	1	0,9
2025-11-25 02:00:00	11	25	2	0,8
2025-11-25 03:00:00	11	25	3	0,7
2025-11-25 04:00:00	11	25	4	127,5
2025-11-25 05:00:00	11	25	5	2,6
2025-11-25 06:00:00	11	25	6	1,7
2025-11-25 07:00:00	11	25	7	1,9
2025-11-25 08:00:00	11	25	8	1,5
2025-11-25 09:00:00	11	25	9	1,0
2025-11-25 10:00:00	11	25	10	2,0
2025-11-25 11:00:00	11	25	11	1,1
2025-11-25 12:00:00	11	25	12	0,8
2025-11-25 13:00:00	11	25	13	1,1
2025-11-25 14:00:00	11	25	14	1,3
2025-11-25 15:00:00	11	25	15	2,3
2025-11-25 16:00:00	11	25	16	4,2
2025-11-25 17:00:00	11	25	17	0,6
2025-11-25 18:00:00	11	25	18	0,7
2025-11-25 19:00:00	11	25	19	0,6
2025-11-25 20:00:00	11	25	20	0,8

Station 1 (km381) - T200 NO2

2025-11-25 21:00:00	11	25	21	0,8
2025-11-25 22:00:00	11	25	22	0,2
2025-11-25 23:00:00	11	25	23	0,4
2025-11-26 00:00:00	11	26	0	0,2
2025-11-26 01:00:00	11	26	1	0,4
2025-11-26 02:00:00	11	26	2	0,2
2025-11-26 03:00:00	11	26	3	0,3
2025-11-26 04:00:00	11	26	4	123,0
2025-11-26 05:00:00	11	26	5	0,3
2025-11-26 06:00:00	11	26	6	0,5
2025-11-26 07:00:00	11	26	7	0,7
2025-11-26 08:00:00	11	26	8	0,9
2025-11-26 09:00:00	11	26	9	0,9
2025-11-26 10:00:00	11	26	10	0,0
2025-11-26 11:00:00	11	26	11	0,1
2025-11-26 12:00:00	11	26	12	0,4
2025-11-26 13:00:00	11	26	13	0,3
2025-11-26 14:00:00	11	26	14	0,1
2025-11-26 15:00:00	11	26	15	43,4
2025-11-26 16:00:00	11	26	16	91,5
2025-11-26 17:00:00	11	26	17	1,7
2025-11-26 18:00:00	11	26	18	2,1
2025-11-26 19:00:00	11	26	19	2,3
2025-11-26 20:00:00	11	26	20	2,3
2025-11-26 21:00:00	11	26	21	2,5
2025-11-26 22:00:00	11	26	22	2,5
2025-11-26 23:00:00	11	26	23	2,6
2025-11-27 00:00:00	11	27	0	2,7
2025-11-27 01:00:00	11	27	1	2,9
2025-11-27 02:00:00	11	27	2	2,8
2025-11-27 03:00:00	11	27	3	158,4
2025-11-27 04:00:00	11	27	4	13,1
2025-11-27 05:00:00	11	27	5	3,2
2025-11-27 06:00:00	11	27	6	3,3
2025-11-27 07:00:00	11	27	7	3,4
2025-11-27 08:00:00	11	27	8	3,4
2025-11-27 09:00:00	11	27	9	3,6
2025-11-27 10:00:00	11	27	10	3,7
2025-11-27 11:00:00	11	27	11	3,8
2025-11-27 12:00:00	11	27	12	3,7
2025-11-27 13:00:00	11	27	13	1,1
2025-11-27 14:00:00	11	27	14	0,0
2025-11-27 15:00:00	11	27	15	124,4
2025-11-27 16:00:00	11	27	16	0,8
2025-11-27 17:00:00	11	27	17	1,1
2025-11-27 18:00:00	11	27	18	1,3
2025-11-27 19:00:00	11	27	19	1,5

Station 1 (km381) - T200 NO2

2025-11-27 20:00:00	11	27	20	1,5
2025-11-27 21:00:00	11	27	21	1,6
2025-11-27 22:00:00	11	27	22	1,5
2025-11-27 23:00:00	11	27	23	1,6
2025-11-28 00:00:00	11	28	0	1,7
2025-11-28 01:00:00	11	28	1	1,7
2025-11-28 02:00:00	11	28	2	1,6
2025-11-28 03:00:00	11	28	3	1,5
2025-11-28 04:00:00	11	28	4	1,4
2025-11-28 05:00:00	11	28	5	1,3
2025-11-28 06:00:00	11	28	6	1,3
2025-11-28 07:00:00	11	28	7	1,2
2025-11-28 08:00:00	11	28	8	1,2
2025-11-28 09:00:00	11	28	9	1,2
2025-11-28 10:00:00	11	28	10	0,7
2025-11-28 11:00:00	11	28	11	0,9
2025-11-28 12:00:00	11	28	12	1,2
2025-11-28 13:00:00	11	28	13	1,3
2025-11-28 14:00:00	11	28	14	0,8
2025-11-28 15:00:00	11	28	15	135,8
2025-11-28 16:00:00	11	28	16	1,3
2025-11-28 17:00:00	11	28	17	1,4
2025-11-28 18:00:00	11	28	18	1,4
2025-11-28 19:00:00	11	28	19	1,1
2025-11-28 20:00:00	11	28	20	0,9
2025-11-28 21:00:00	11	28	21	1,0
2025-11-28 22:00:00	11	28	22	0,9
2025-11-28 23:00:00	11	28	23	0,9
2025-11-29 00:00:00	11	29	0	0,8
2025-11-29 01:00:00	11	29	1	1,0
2025-11-29 02:00:00	11	29	2	0,9
2025-11-29 03:00:00	11	29	3	135,9
2025-11-29 04:00:00	11	29	4	1,2
2025-11-29 05:00:00	11	29	5	2,7
2025-11-29 06:00:00	11	29	6	4,9
2025-11-29 07:00:00	11	29	7	2,1
2025-11-29 08:00:00	11	29	8	5,3
2025-11-29 09:00:00	11	29	9	3,1
2025-11-29 10:00:00	11	29	10	3,5
2025-11-29 11:00:00	11	29	11	1,4
2025-11-29 12:00:00	11	29	12	0,9
2025-11-29 13:00:00	11	29	13	1,0
2025-11-29 14:00:00	11	29	14	39,0
2025-11-29 15:00:00	11	29	15	84,9
2025-11-29 16:00:00	11	29	16	1,0
2025-11-29 17:00:00	11	29	17	1,4
2025-11-29 18:00:00	11	29	18	1,8

Station 1 (km381) - T200 NO2

2025-11-29 19:00:00	11	29	19	2,8
2025-11-29 20:00:00	11	29	20	2,1
2025-11-29 21:00:00	11	29	21	1,3
2025-11-29 22:00:00	11	29	22	0,9
2025-11-29 23:00:00	11	29	23	0,7
2025-11-30 00:00:00	11	30	0	0,0
2025-11-30 01:00:00	11	30	1	0,0
2025-11-30 02:00:00	11	30	2	104,9
2025-11-30 03:00:00	11	30	3	7,1
2025-11-30 04:00:00	11	30	4	1,9
2025-11-30 05:00:00	11	30	5	3,4
2025-11-30 06:00:00	11	30	6	4,4
2025-11-30 07:00:00	11	30	7	4,1
2025-11-30 08:00:00	11	30	8	4,3
2025-11-30 09:00:00	11	30	9	3,7
2025-11-30 10:00:00	11	30	10	8,1
2025-11-30 11:00:00	11	30	11	3,7
2025-11-30 12:00:00	11	30	12	4,2
2025-11-30 13:00:00	11	30	13	5,9
2025-11-30 14:00:00	11	30	14	232,3
2025-11-30 15:00:00	11	30	15	7,6
2025-11-30 16:00:00	11	30	16	5,5
2025-11-30 17:00:00	11	30	17	2,1
2025-11-30 18:00:00	11	30	18	5,1
2025-11-30 19:00:00	11	30	19	3,6
2025-11-30 20:00:00	11	30	20	6,7
2025-11-30 21:00:00	11	30	21	5,6
2025-11-30 22:00:00	11	30	22	3,8
2025-11-30 23:00:00	11	30	23	2,0
2025-12-01 00:00:00	12	1	0	1,7
2025-12-01 01:00:00	12	1	1	2,0
2025-12-01 02:00:00	12	1	2	141,0
2025-12-01 03:00:00	12	1	3	2,5
2025-12-01 04:00:00	12	1	4	2,4
2025-12-01 05:00:00	12	1	5	1,5
2025-12-01 06:00:00	12	1	6	0,8
2025-12-01 07:00:00	12	1	7	0,0
2025-12-01 08:00:00	12	1	8	0,0
2025-12-01 09:00:00	12	1	9	2,9
2025-12-01 10:00:00	12	1	10	0,4
2025-12-01 11:00:00	12	1	11	0,0
2025-12-01 12:00:00	12	1	12	0,5
2025-12-01 13:00:00	12	1	13	1,4
2025-12-01 14:00:00	12	1	14	115,1
2025-12-01 15:00:00	12	1	15	2,4
2025-12-01 16:00:00	12	1	16	4,6
2025-12-01 17:00:00	12	1	17	3,3

Station 1 (km381) - T200 NO2

2025-12-01 18:00:00	12	1	18	2,2
2025-12-01 19:00:00	12	1	19	1,8
2025-12-01 20:00:00	12	1	20	0,8
2025-12-01 21:00:00	12	1	21	0,8
2025-12-01 22:00:00	12	1	22	0,0
2025-12-01 23:00:00	12	1	23	0,6
2025-12-02 00:00:00	12	2	0	2,7
2025-12-02 01:00:00	12	2	1	4,4
2025-12-02 02:00:00	12	2	2	126,9
2025-12-02 03:00:00	12	2	3	6,2
2025-12-02 04:00:00	12	2	4	8,1
2025-12-02 05:00:00	12	2	5	2,9
2025-12-02 06:00:00	12	2	6	4,5
2025-12-02 07:00:00	12	2	7	3,0
2025-12-02 08:00:00	12	2	8	2,6
2025-12-02 09:00:00	12	2	9	9,4
2025-12-02 10:00:00	12	2	10	6,8
2025-12-02 11:00:00	12	2	11	7,2
2025-12-02 12:00:00	12	2	12	7,4
2025-12-02 13:00:00	12	2	13	53,3
2025-12-02 14:00:00	12	2	14	104,4
2025-12-02 15:00:00	12	2	15	11,5
2025-12-02 16:00:00	12	2	16	3,8
2025-12-02 17:00:00	12	2	17	3,8
2025-12-02 18:00:00	12	2	18	1,4
2025-12-02 19:00:00	12	2	19	2,0
2025-12-02 20:00:00	12	2	20	1,7
2025-12-02 21:00:00	12	2	21	2,3
2025-12-02 22:00:00	12	2	22	1,6
2025-12-02 23:00:00	12	2	23	1,9
2025-12-03 00:00:00	12	3	0	2,0
2025-12-03 01:00:00	12	3	1	300,7
2025-12-03 02:00:00	12	3	2	10,4
2025-12-03 03:00:00	12	3	3	2,3
2025-12-03 04:00:00	12	3	4	2,7
2025-12-03 05:00:00	12	3	5	2,9
2025-12-03 06:00:00	12	3	6	3,2
2025-12-03 07:00:00	12	3	7	3,5
2025-12-03 08:00:00	12	3	8	1,2
2025-12-03 09:00:00	12	3	9	1,3
2025-12-03 10:00:00	12	3	10	1,2
2025-12-03 11:00:00	12	3	11	0,9
2025-12-03 12:00:00	12	3	12	0,8
2025-12-03 13:00:00	12	3	13	136,1
2025-12-03 14:00:00	12	3	14	1,1
2025-12-03 15:00:00	12	3	15	8,6
2025-12-03 16:00:00	12	3	16	3,6

Station 1 (km381) - T200 NO2

2025-12-03 17:00:00	12	3	17	1,9
2025-12-03 18:00:00	12	3	18	2,8
2025-12-03 19:00:00	12	3	19	4,3
2025-12-03 20:00:00	12	3	20	4,4
2025-12-03 21:00:00	12	3	21	0,2
2025-12-03 22:00:00	12	3	22	0,1
2025-12-03 23:00:00	12	3	23	2,3
2025-12-04 00:00:00	12	4	0	3,6
2025-12-04 01:00:00	12	4	1	115,4
2025-12-04 02:00:00	12	4	2	0,2
2025-12-04 03:00:00	12	4	3	0,0
2025-12-04 04:00:00	12	4	4	0,0
2025-12-04 05:00:00	12	4	5	0,0
2025-12-04 06:00:00	12	4	6	0,0
2025-12-04 07:00:00	12	4	7	0,0
2025-12-04 08:00:00	12	4	8	2,7
2025-12-04 09:00:00	12	4	9	0,9
2025-12-04 10:00:00	12	4	10	1,8
2025-12-04 11:00:00	12	4	11	1,3
2025-12-04 12:00:00	12	4	12	12,2
2025-12-04 13:00:00	12	4	13	118,4
2025-12-04 14:00:00	12	4	14	10,5
2025-12-04 15:00:00	12	4	15	11,5
2025-12-04 16:00:00	12	4	16	7,5
2025-12-04 17:00:00	12	4	17	5,6
2025-12-04 18:00:00	12	4	18	1,8
2025-12-04 19:00:00	12	4	19	1,9
2025-12-04 20:00:00	12	4	20	1,3
2025-12-04 21:00:00	12	4	21	1,0
2025-12-04 22:00:00	12	4	22	0,4
2025-12-04 23:00:00	12	4	23	0,0
2025-12-05 00:00:00	12	5	0	0,0
2025-12-05 01:00:00	12	5	1	116,6
2025-12-05 02:00:00	12	5	2	2,3
2025-12-05 03:00:00	12	5	3	1,6
2025-12-05 04:00:00	12	5	4	5,2
2025-12-05 05:00:00	12	5	5	2,6
2025-12-05 06:00:00	12	5	6	0,5
2025-12-05 07:00:00	12	5	7	0,6
2025-12-05 08:00:00	12	5	8	1,6
2025-12-05 09:00:00	12	5	9	0,9
2025-12-05 10:00:00	12	5	10	5,2
2025-12-05 11:00:00	12	5	11	4,6
2025-12-05 12:00:00	12	5	12	5,7
2025-12-05 13:00:00	12	5	13	67,6
2025-12-05 14:00:00	12	5	14	4,7
2025-12-05 15:00:00	12	5	15	3,9

Station 1 (km381) - T200 NO2

2025-12-05 16:00:00	12	5	16	3,3
2025-12-05 17:00:00	12	5	17	3,1
2025-12-05 18:00:00	12	5	18	8,2
2025-12-05 19:00:00	12	5	19	10,0
2025-12-05 20:00:00	12	5	20	7,9
2025-12-05 21:00:00	12	5	21	6,8
2025-12-05 22:00:00	12	5	22	2,1
2025-12-05 23:00:00	12	5	23	5,0
2025-12-06 00:00:00	12	6	0	132,0
2025-12-06 01:00:00	12	6	1	10,9
2025-12-06 02:00:00	12	6	2	3,5
2025-12-06 03:00:00	12	6	3	3,0
2025-12-06 04:00:00	12	6	4	1,5
2025-12-06 05:00:00	12	6	5	3,3
2025-12-06 06:00:00	12	6	6	5,7
2025-12-06 07:00:00	12	6	7	9,3
2025-12-06 08:00:00	12	6	8	3,2
2025-12-06 09:00:00	12	6	9	17,6
2025-12-06 10:00:00	12	6	10	4,1
2025-12-06 11:00:00	12	6	11	2,6
2025-12-06 12:00:00	12	6	12	138,0
2025-12-06 13:00:00	12	6	13	3,2
2025-12-06 14:00:00	12	6	14	7,8
2025-12-06 15:00:00	12	6	15	3,9
2025-12-06 16:00:00	12	6	16	11,4
2025-12-06 17:00:00	12	6	17	6,2
2025-12-06 18:00:00	12	6	18	0,5
2025-12-06 19:00:00	12	6	19	3,7
2025-12-06 20:00:00	12	6	20	4,2
2025-12-06 21:00:00	12	6	21	7,0
2025-12-06 22:00:00	12	6	22	4,6
2025-12-06 23:00:00	12	6	23	0,0
2025-12-07 00:00:00	12	7	0	112,6
2025-12-07 01:00:00	12	7	1	1,5
2025-12-07 02:00:00	12	7	2	0,0
2025-12-07 03:00:00	12	7	3	0,9
2025-12-07 04:00:00	12	7	4	4,0
2025-12-07 05:00:00	12	7	5	2,8
2025-12-07 06:00:00	12	7	6	0,0
2025-12-07 07:00:00	12	7	7	0,0
2025-12-07 08:00:00	12	7	8	0,0
2025-12-07 09:00:00	12	7	9	0,1
2025-12-07 10:00:00	12	7	10	0,0
2025-12-07 11:00:00	12	7	11	0,7
2025-12-07 12:00:00	12	7	12	114,3
2025-12-07 13:00:00	12	7	13	3,3
2025-12-07 14:00:00	12	7	14	0,6

Station 1 (km381) - T200 NO2

2025-12-07 15:00:00	12	7	15	0,8
2025-12-07 16:00:00	12	7	16	5,5
2025-12-07 17:00:00	12	7	17	2,9
2025-12-07 18:00:00	12	7	18	0,0
2025-12-07 19:00:00	12	7	19	0,0
2025-12-07 20:00:00	12	7	20	0,0
2025-12-07 21:00:00	12	7	21	0,0
2025-12-07 22:00:00	12	7	22	0,0
2025-12-07 23:00:00	12	7	23	0,0
2025-12-08 00:00:00	12	8	0	29,7
2025-12-08 01:00:00	12	8	1	0,1
2025-12-08 02:00:00	12	8	2	1,0
2025-12-08 03:00:00	12	8	3	1,0
2025-12-08 04:00:00	12	8	4	1,3
2025-12-08 05:00:00	12	8	5	1,7
2025-12-08 06:00:00	12	8	6	2,5
2025-12-08 07:00:00	12	8	7	1,5
2025-12-08 08:00:00	12	8	8	10,3
2025-12-08 09:00:00	12	8	9	9,6
2025-12-08 10:00:00	12	8	10	8,6
2025-12-08 11:00:00	12	8	11	41,2
2025-12-08 12:00:00	12	8	12	89,1
2025-12-08 13:00:00	12	8	13	11,4
2025-12-08 14:00:00	12	8	14	9,7
2025-12-08 15:00:00	12	8	15	9,5
2025-12-08 16:00:00	12	8	16	9,8
2025-12-08 17:00:00	12	8	17	2,9
2025-12-08 18:00:00	12	8	18	0,9
2025-12-08 19:00:00	12	8	19	0,7
2025-12-08 20:00:00	12	8	20	0,6
2025-12-08 21:00:00	12	8	21	0,9
2025-12-08 22:00:00	12	8	22	0,7
2025-12-08 23:00:00	12	8	23	111,3
2025-12-09 00:00:00	12	9	0	15,2
2025-12-09 01:00:00	12	9	1	7,8
2025-12-09 02:00:00	12	9	2	4,6
2025-12-09 03:00:00	12	9	3	1,4
2025-12-09 04:00:00	12	9	4	0,0
2025-12-09 05:00:00	12	9	5	0,3
2025-12-09 06:00:00	12	9	6	0,0
2025-12-09 07:00:00	12	9	7	0,1
2025-12-09 08:00:00	12	9	8	2,6
2025-12-09 09:00:00	12	9	9	6,3
2025-12-09 10:00:00	12	9	10	9,2
2025-12-09 11:00:00	12	9	11	132,6
2025-12-09 12:00:00	12	9	12	8,1
2025-12-09 13:00:00	12	9	13	12,3

Station 1 (km381) - T200 NO2

2025-12-09 14:00:00	12	9	14	22,1
2025-12-09 15:00:00	12	9	15	3,2
2025-12-09 16:00:00	12	9	16	0,4
2025-12-09 17:00:00	12	9	17	3,5
2025-12-09 18:00:00	12	9	18	0,7
2025-12-09 19:00:00	12	9	19	0,6
2025-12-09 20:00:00	12	9	20	0,8
2025-12-09 21:00:00	12	9	21	0,9
2025-12-09 22:00:00	12	9	22	0,9
2025-12-09 23:00:00	12	9	23	140,5
2025-12-10 00:00:00	12	10	0	3,7
2025-12-10 01:00:00	12	10	1	2,3
2025-12-10 02:00:00	12	10	2	1,2
2025-12-10 03:00:00	12	10	3	3,0
2025-12-10 04:00:00	12	10	4	0,9
2025-12-10 05:00:00	12	10	5	15,6
2025-12-10 06:00:00	12	10	6	21,5
2025-12-10 07:00:00	12	10	7	11,8
2025-12-10 08:00:00	12	10	8	1,7
2025-12-10 09:00:00	12	10	9	1,0
2025-12-10 10:00:00	12	10	10	0,2
2025-12-10 11:00:00	12	10	11	56,8
2025-12-10 12:00:00	12	10	12	0,3
2025-12-10 13:00:00	12	10	13	0,3
2025-12-10 14:00:00	12	10	14	0,6
2025-12-10 15:00:00	12	10	15	0,0
2025-12-10 16:00:00	12	10	16	0,2
2025-12-10 17:00:00	12	10	17	0,5
2025-12-10 18:00:00	12	10	18	0,6
2025-12-10 19:00:00	12	10	19	0,4
2025-12-10 20:00:00	12	10	20	0,8
2025-12-10 21:00:00	12	10	21	0,7
2025-12-10 22:00:00	12	10	22	0,8
2025-12-10 23:00:00	12	10	23	134,3
2025-12-11 00:00:00	12	11	0	0,6
2025-12-11 01:00:00	12	11	1	0,4
2025-12-11 02:00:00	12	11	2	0,3
2025-12-11 03:00:00	12	11	3	4,3
2025-12-11 04:00:00	12	11	4	9,5
2025-12-11 05:00:00	12	11	5	45,4
2025-12-11 06:00:00	12	11	6	53,9
2025-12-11 07:00:00	12	11	7	28,6
2025-12-11 08:00:00	12	11	8	58,0
2025-12-11 09:00:00	12	11	9	39,3
2025-12-11 10:00:00	12	11	10	58,1
2025-12-11 11:00:00	12	11	11	99,2
2025-12-11 12:00:00	12	11	12	1,9

Station 1 (km381) - T200 NO2

2025-12-11 13:00:00	12	11	13	0,8
2025-12-11 14:00:00	12	11	14	1,7
2025-12-11 15:00:00	12	11	15	0,8
2025-12-11 16:00:00	12	11	16	0,8
2025-12-11 17:00:00	12	11	17	0,7
2025-12-11 18:00:00	12	11	18	0,8
2025-12-11 19:00:00	12	11	19	0,9
2025-12-11 20:00:00	12	11	20	0,7
2025-12-11 21:00:00	12	11	21	0,6
2025-12-11 22:00:00	12	11	22	127,4
2025-12-11 23:00:00	12	11	23	9,2
2025-12-12 00:00:00	12	12	0	0,7
2025-12-12 01:00:00	12	12	1	0,9
2025-12-12 02:00:00	12	12	2	0,6
2025-12-12 03:00:00	12	12	3	0,8
2025-12-12 04:00:00	12	12	4	0,8
2025-12-12 05:00:00	12	12	5	2,8
2025-12-12 06:00:00	12	12	6	1,1
2025-12-12 07:00:00	12	12	7	0,8
2025-12-12 08:00:00	12	12	8	1,1
2025-12-12 09:00:00	12	12	9	0,4
2025-12-12 10:00:00	12	12	10	125,4
2025-12-12 11:00:00	12	12	11	0,8
2025-12-12 12:00:00	12	12	12	1,5
2025-12-12 13:00:00	12	12	13	2,7
2025-12-12 14:00:00	12	12	14	7,0
2025-12-12 15:00:00	12	12	15	5,4
2025-12-12 16:00:00	12	12	16	0,8
2025-12-12 17:00:00	12	12	17	1,5
2025-12-12 18:00:00	12	12	18	2,9
2025-12-12 19:00:00	12	12	19	1,0
2025-12-12 20:00:00	12	12	20	1,2
2025-12-12 21:00:00	12	12	21	1,5
2025-12-12 22:00:00	12	12	22	133,8
2025-12-12 23:00:00	12	12	23	6,1
2025-12-13 00:00:00	12	13	0	5,6
2025-12-13 01:00:00	12	13	1	5,8
2025-12-13 02:00:00	12	13	2	4,6
2025-12-13 03:00:00	12	13	3	8,4
2025-12-13 04:00:00	12	13	4	5,4
2025-12-13 05:00:00	12	13	5	5,1
2025-12-13 06:00:00	12	13	6	2,0
2025-12-13 07:00:00	12	13	7	25,4
2025-12-13 08:00:00	12	13	8	0,6
2025-12-13 09:00:00	12	13	9	1,1
2025-12-13 10:00:00	12	13	10	117,2
2025-12-13 11:00:00	12	13	11	0,0

Station 1 (km381) - T200 NO2

2025-12-13 12:00:00	12	13	12	0,4
2025-12-13 13:00:00	12	13	13	0,1
2025-12-13 14:00:00	12	13	14	0,4
2025-12-13 15:00:00	12	13	15	0,7
2025-12-13 16:00:00	12	13	16	0,8
2025-12-13 17:00:00	12	13	17	0,8
2025-12-13 18:00:00	12	13	18	0,7
2025-12-13 19:00:00	12	13	19	0,7
2025-12-13 20:00:00	12	13	20	0,8
2025-12-13 21:00:00	12	13	21	0,8
2025-12-13 22:00:00	12	13	22	134,2
2025-12-13 23:00:00	12	13	23	0,7
2025-12-14 00:00:00	12	14	0	0,9
2025-12-14 01:00:00	12	14	1	4,2
2025-12-14 02:00:00	12	14	2	0,9
2025-12-14 03:00:00	12	14	3	3,3
2025-12-14 04:00:00	12	14	4	2,8
2025-12-14 05:00:00	12	14	5	5,1
2025-12-14 06:00:00	12	14	6	2,4
2025-12-14 07:00:00	12	14	7	7,2
2025-12-14 08:00:00	12	14	8	5,6
2025-12-14 09:00:00	12	14	9	43,4
2025-12-14 10:00:00	12	14	10	83,4
2025-12-14 11:00:00	12	14	11	2,6
2025-12-14 12:00:00	12	14	12	1,5
2025-12-14 13:00:00	12	14	13	1,7
2025-12-14 14:00:00	12	14	14	2,2
2025-12-14 15:00:00	12	14	15	1,0
2025-12-14 16:00:00	12	14	16	1,1
2025-12-14 17:00:00	12	14	17	1,4
2025-12-14 18:00:00	12	14	18	1,0
2025-12-14 19:00:00	12	14	19	1,2
2025-12-14 20:00:00	12	14	20	2,2
2025-12-14 21:00:00	12	14	21	132,5
2025-12-14 22:00:00	12	14	22	10,4
2025-12-14 23:00:00	12	14	23	1,5
2025-12-15 00:00:00	12	15	0	2,3
2025-12-15 01:00:00	12	15	1	2,9
2025-12-15 02:00:00	12	15	2	2,5
2025-12-15 03:00:00	12	15	3	2,6
2025-12-15 04:00:00	12	15	4	3,1
2025-12-15 05:00:00	12	15	5	3,0
2025-12-15 06:00:00	12	15	6	4,2
2025-12-15 07:00:00	12	15	7	3,9
2025-12-15 08:00:00	12	15	8	4,9
2025-12-15 09:00:00	12	15	9	135,3
2025-12-15 10:00:00	12	15	10	1,7

Station 1 (km381) - T200 NO2

2025-12-15 11:00:00	12	15	11	2,6
2025-12-15 12:00:00	12	15	12	1,8
2025-12-15 13:00:00	12	15	13	5,4
2025-12-15 14:00:00	12	15	14	4,6
2025-12-15 15:00:00	12	15	15	0,9
2025-12-15 16:00:00	12	15	16	1,4
2025-12-15 17:00:00	12	15	17	5,0
2025-12-15 18:00:00	12	15	18	6,8
2025-12-15 19:00:00	12	15	19	15,7
2025-12-15 20:00:00	12	15	20	7,5
2025-12-15 21:00:00	12	15	21	138,8
2025-12-15 22:00:00	12	15	22	1,2
2025-12-15 23:00:00	12	15	23	0,9
2025-12-16 00:00:00	12	16	0	0,7
2025-12-16 01:00:00	12	16	1	0,7
2025-12-16 02:00:00	12	16	2	0,4
2025-12-16 03:00:00	12	16	3	0,8
2025-12-16 04:00:00	12	16	4	5,9
2025-12-16 05:00:00	12	16	5	7,0
2025-12-16 06:00:00	12	16	6	6,1
2025-12-16 07:00:00	12	16	7	5,3
2025-12-16 08:00:00	12	16	8	1,8
2025-12-16 09:00:00	12	16	9	113,4
2025-12-16 10:00:00	12	16	10	2,4
2025-12-16 11:00:00	12	16	11	1,6
2025-12-16 12:00:00	12	16	12	1,5
2025-12-16 13:00:00	12	16	13	0,6
2025-12-16 14:00:00	12	16	14	0,3
2025-12-16 15:00:00	12	16	15	0,2
2025-12-16 16:00:00	12	16	16	1,1
2025-12-16 17:00:00	12	16	17	1,6
2025-12-16 18:00:00	12	16	18	1,8
2025-12-16 19:00:00	12	16	19	1,7
2025-12-16 20:00:00	12	16	20	0,6
2025-12-16 21:00:00	12	16	21	115,8
2025-12-16 22:00:00	12	16	22	0,0
2025-12-16 23:00:00	12	16	23	0,3
2025-12-17 00:00:00	12	17	0	0,6
2025-12-17 01:00:00	12	17	1	0,9
2025-12-17 02:00:00	12	17	2	4,9
2025-12-17 03:00:00	12	17	3	0,8
2025-12-17 04:00:00	12	17	4	1,4
2025-12-17 05:00:00	12	17	5	1,5
2025-12-17 06:00:00	12	17	6	2,9
2025-12-17 07:00:00	12	17	7	2,1
2025-12-17 08:00:00	12	17	8	40,7
2025-12-17 09:00:00	12	17	9	462,3

Station 1 (km381) - T200 NO2

2025-12-17 10:00:00	12	17	10	1,0
2025-12-17 11:00:00	12	17	11	1,2
2025-12-17 12:00:00	12	17	12	1,0
2025-12-17 13:00:00	12	17	13	1,1
2025-12-17 14:00:00	12	17	14	1,0
2025-12-17 15:00:00	12	17	15	1,6
2025-12-17 16:00:00	12	17	16	1,3
2025-12-17 17:00:00	12	17	17	1,6
2025-12-17 18:00:00	12	17	18	1,3
2025-12-17 19:00:00	12	17	19	1,6
2025-12-17 20:00:00	12	17	20	112,0
2025-12-17 21:00:00	12	17	21	9,3
2025-12-17 22:00:00	12	17	22	2,1
2025-12-17 23:00:00	12	17	23	12,4
2025-12-18 00:00:00	12	18	0	17,1
2025-12-18 01:00:00	12	18	1	15,1
2025-12-18 02:00:00	12	18	2	6,5
2025-12-18 03:00:00	12	18	3	5,0
2025-12-18 04:00:00	12	18	4	1,9
2025-12-18 05:00:00	12	18	5	0,7
2025-12-18 06:00:00	12	18	6	0,7
2025-12-18 07:00:00	12	18	7	0,5
2025-12-18 08:00:00	12	18	8	128,3
2025-12-18 09:00:00	12	18	9	0,2
2025-12-18 10:00:00	12	18	10	0,2
2025-12-18 11:00:00	12	18	11	4,2
2025-12-18 12:00:00	12	18	12	1,1
2025-12-18 13:00:00	12	18	13	1,6
2025-12-18 14:00:00	12	18	14	1,9
2025-12-18 15:00:00	12	18	15	2,2
2025-12-18 16:00:00	12	18	16	2,4
2025-12-18 17:00:00	12	18	17	2,4
2025-12-18 18:00:00	12	18	18	2,3
2025-12-18 19:00:00	12	18	19	2,2
2025-12-18 20:00:00	12	18	20	158,8
2025-12-18 21:00:00	12	18	21	2,2
2025-12-18 22:00:00	12	18	22	2,3
2025-12-18 23:00:00	12	18	23	2,2
2025-12-19 00:00:00	12	19	0	2,3
2025-12-19 01:00:00	12	19	1	2,1
2025-12-19 02:00:00	12	19	2	2,1
2025-12-19 03:00:00	12	19	3	2,2
2025-12-19 04:00:00	12	19	4	2,2
2025-12-19 05:00:00	12	19	5	2,1
2025-12-19 06:00:00	12	19	6	2,1
2025-12-19 07:00:00	12	19	7	1,8
2025-12-19 08:00:00	12	19	8	148,8

Station 1 (km381) - T200 NO2

2025-12-19 09:00:00	12	19	9	1,5
2025-12-19 10:00:00	12	19	10	1,5
2025-12-19 11:00:00	12	19	11	1,0
2025-12-19 12:00:00	12	19	12	0,9
2025-12-19 13:00:00	12	19	13	0,8
2025-12-19 14:00:00	12	19	14	0,8
2025-12-19 15:00:00	12	19	15	0,6
2025-12-19 16:00:00	12	19	16	0,7
2025-12-19 17:00:00	12	19	17	0,8
2025-12-19 18:00:00	12	19	18	0,6
2025-12-19 19:00:00	12	19	19	0,6
2025-12-19 20:00:00	12	19	20	81,3
2025-12-19 21:00:00	12	19	21	0,7
2025-12-19 22:00:00	12	19	22	0,7
2025-12-19 23:00:00	12	19	23	0,7
2025-12-20 00:00:00	12	20	0	0,7
2025-12-20 01:00:00	12	20	1	0,7
2025-12-20 02:00:00	12	20	2	0,8
2025-12-20 03:00:00	12	20	3	0,8
2025-12-20 04:00:00	12	20	4	0,8
2025-12-20 05:00:00	12	20	5	0,9
2025-12-20 06:00:00	12	20	6	0,9
2025-12-20 07:00:00	12	20	7	46,7
2025-12-20 08:00:00	12	20	8	98,8
2025-12-20 09:00:00	12	20	9	5,5
2025-12-20 10:00:00	12	20	10	2,6
2025-12-20 11:00:00	12	20	11	1,4
2025-12-20 12:00:00	12	20	12	1,8
2025-12-20 13:00:00	12	20	13	2,7
2025-12-20 14:00:00	12	20	14	0,4
2025-12-20 15:00:00	12	20	15	0,6
2025-12-20 16:00:00	12	20	16	0,9
2025-12-20 17:00:00	12	20	17	1,0
2025-12-20 18:00:00	12	20	18	1,2
2025-12-20 19:00:00	12	20	19	139,2
2025-12-20 20:00:00	12	20	20	10,2
2025-12-20 21:00:00	12	20	21	1,4
2025-12-20 22:00:00	12	20	22	1,6
2025-12-20 23:00:00	12	20	23	1,8
2025-12-21 00:00:00	12	21	0	1,8
2025-12-21 01:00:00	12	21	1	1,8
2025-12-21 02:00:00	12	21	2	1,4
2025-12-21 03:00:00	12	21	3	1,2
2025-12-21 04:00:00	12	21	4	0,9
2025-12-21 05:00:00	12	21	5	0,8
2025-12-21 06:00:00	12	21	6	0,8
2025-12-21 07:00:00	12	21	7	131,7

Station 1 (km381) - T200 NO2

2025-12-21 08:00:00	12	21	8	0,5
2025-12-21 09:00:00	12	21	9	0,8
2025-12-21 10:00:00	12	21	10	0,7
2025-12-21 11:00:00	12	21	11	0,3
2025-12-21 12:00:00	12	21	12	0,7
2025-12-21 13:00:00	12	21	13	0,8
2025-12-21 14:00:00	12	21	14	2,8
2025-12-21 15:00:00	12	21	15	2,6
2025-12-21 16:00:00	12	21	16	1,4
2025-12-21 17:00:00	12	21	17	0,7
2025-12-21 18:00:00	12	21	18	0,4
2025-12-21 19:00:00	12	21	19	115,9
2025-12-21 20:00:00	12	21	20	0,9
2025-12-21 21:00:00	12	21	21	1,7
2025-12-21 22:00:00	12	21	22	4,6
2025-12-21 23:00:00	12	21	23	3,0
2025-12-22 00:00:00	12	22	0	4,1
2025-12-22 01:00:00	12	22	1	3,1
2025-12-22 02:00:00	12	22	2	3,8
2025-12-22 03:00:00	12	22	3	0,0
2025-12-22 04:00:00	12	22	4	1,1
2025-12-22 05:00:00	12	22	5	0,9
2025-12-22 06:00:00	12	22	6	2,7
2025-12-22 07:00:00	12	22	7	3,1
2025-12-22 08:00:00	12	22	8	4,5
2025-12-22 09:00:00	12	22	9	1,1
2025-12-22 10:00:00	12	22	10	3,4
2025-12-22 11:00:00	12	22	11	7,1
2025-12-22 12:00:00	12	22	12	2,9
2025-12-22 13:00:00	12	22	13	0,9
2025-12-22 14:00:00	12	22	14	2,3
2025-12-22 15:00:00	12	22	15	21,6
2025-12-22 16:00:00	12	22	16	4,5
2025-12-22 17:00:00	12	22	17	8,0
2025-12-22 18:00:00	12	22	18	4,8
2025-12-22 19:00:00	12	22	19	126,9
2025-12-22 20:00:00	12	22	20	5,1
2025-12-22 21:00:00	12	22	21	2,0
2025-12-22 22:00:00	12	22	22	2,6
2025-12-22 23:00:00	12	22	23	8,9
2025-12-23 00:00:00	12	23	0	10,5
2025-12-23 01:00:00	12	23	1	4,9
2025-12-23 02:00:00	12	23	2	0,7
2025-12-23 03:00:00	12	23	3	0,3
2025-12-23 04:00:00	12	23	4	3,7
2025-12-23 05:00:00	12	23	5	0,8
2025-12-23 06:00:00	12	23	6	40,2

Station 1 (km381) - T200 NO2

2025-12-23 07:00:00	12	23	7	84,8
2025-12-23 08:00:00	12	23	8	0,1
2025-12-23 09:00:00	12	23	9	0,2
2025-12-23 10:00:00	12	23	10	0,2
2025-12-23 11:00:00	12	23	11	0,4
2025-12-23 12:00:00	12	23	12	0,4
2025-12-23 13:00:00	12	23	13	0,6
2025-12-23 14:00:00	12	23	14	0,6
2025-12-23 15:00:00	12	23	15	0,5
2025-12-23 16:00:00	12	23	16	0,5
2025-12-23 17:00:00	12	23	17	0,6
2025-12-23 18:00:00	12	23	18	122,4
2025-12-23 19:00:00	12	23	19	8,8
2025-12-23 20:00:00	12	23	20	0,4
2025-12-23 21:00:00	12	23	21	0,2
2025-12-23 22:00:00	12	23	22	0,3
2025-12-23 23:00:00	12	23	23	0,2
2025-12-24 00:00:00	12	24	0	0,4
2025-12-24 01:00:00	12	24	1	0,8
2025-12-24 02:00:00	12	24	2	2,6
2025-12-24 03:00:00	12	24	3	1,5
2025-12-24 04:00:00	12	24	4	0,6
2025-12-24 05:00:00	12	24	5	7,6
2025-12-24 06:00:00	12	24	6	128,6
2025-12-24 07:00:00	12	24	7	0,6
2025-12-24 08:00:00	12	24	8	1,8
2025-12-24 09:00:00	12	24	9	3,4
2025-12-24 10:00:00	12	24	10	2,2
2025-12-24 11:00:00	12	24	11	5,6
2025-12-24 12:00:00	12	24	12	3,2
2025-12-24 13:00:00	12	24	13	0,9
2025-12-24 14:00:00	12	24	14	0,0
2025-12-24 15:00:00	12	24	15	0,8
2025-12-24 16:00:00	12	24	16	3,2
2025-12-24 17:00:00	12	24	17	0,4
2025-12-24 18:00:00	12	24	18	3,7
2025-12-24 19:00:00	12	24	19	1,7
2025-12-24 20:00:00	12	24	20	4,5
2025-12-24 21:00:00	12	24	21	0,5
2025-12-24 22:00:00	12	24	22	0,7
2025-12-24 23:00:00	12	24	23	1,5
2025-12-25 00:00:00	12	25	0	1,8
2025-12-25 01:00:00	12	25	1	0,8
2025-12-25 02:00:00	12	25	2	0,4
2025-12-25 03:00:00	12	25	3	0,3
2025-12-25 04:00:00	12	25	4	0,4
2025-12-25 05:00:00	12	25	5	0,4

Station 1 (km381) - T200 NO2

2025-12-25 06:00:00	12	25	6	123,0
2025-12-25 07:00:00	12	25	7	0,4
2025-12-25 08:00:00	12	25	8	0,5
2025-12-25 09:00:00	12	25	9	0,6
2025-12-25 10:00:00	12	25	10	0,3
2025-12-25 11:00:00	12	25	11	0,5
2025-12-25 12:00:00	12	25	12	1,1
2025-12-25 13:00:00	12	25	13	1,3
2025-12-25 14:00:00	12	25	14	0,5
2025-12-25 15:00:00	12	25	15	0,4
2025-12-25 16:00:00	12	25	16	0,5
2025-12-25 17:00:00	12	25	17	0,2
2025-12-25 18:00:00	12	25	18	123,2
2025-12-25 19:00:00	12	25	19	0,4
2025-12-25 20:00:00	12	25	20	0,4
2025-12-25 21:00:00	12	25	21	0,5
2025-12-25 22:00:00	12	25	22	0,3
2025-12-25 23:00:00	12	25	23	0,1
2025-12-26 00:00:00	12	26	0	0,4
2025-12-26 01:00:00	12	26	1	0,1
2025-12-26 02:00:00	12	26	2	0,7
2025-12-26 03:00:00	12	26	3	0,2
2025-12-26 04:00:00	12	26	4	0,2
2025-12-26 05:00:00	12	26	5	37,7
2025-12-26 06:00:00	12	26	6	92,7
2025-12-26 07:00:00	12	26	7	0,2
2025-12-26 08:00:00	12	26	8	0,3
2025-12-26 09:00:00	12	26	9	0,4
2025-12-26 10:00:00	12	26	10	0,5
2025-12-26 11:00:00	12	26	11	0,5
2025-12-26 12:00:00	12	26	12	0,4
2025-12-26 13:00:00	12	26	13	0,5
2025-12-26 14:00:00	12	26	14	0,5
2025-12-26 15:00:00	12	26	15	0,6
2025-12-26 16:00:00	12	26	16	0,5
2025-12-26 17:00:00	12	26	17	122,6
2025-12-26 18:00:00	12	26	18	9,0
2025-12-26 19:00:00	12	26	19	0,7
2025-12-26 20:00:00	12	26	20	0,6
2025-12-26 21:00:00	12	26	21	0,6
2025-12-26 22:00:00	12	26	22	0,7
2025-12-26 23:00:00	12	26	23	0,6
2025-12-27 00:00:00	12	27	0	0,6
2025-12-27 01:00:00	12	27	1	0,6
2025-12-27 02:00:00	12	27	2	0,5
2025-12-27 03:00:00	12	27	3	0,6
2025-12-27 04:00:00	12	27	4	0,5

Station 1 (km381) - T200 NO2

2025-12-27 05:00:00	12	27	5	165,5
2025-12-27 06:00:00	12	27	6	0,7
2025-12-27 07:00:00	12	27	7	0,5
2025-12-27 08:00:00	12	27	8	0,7
2025-12-27 09:00:00	12	27	9	0,0
2025-12-27 10:00:00	12	27	10	0,0
2025-12-27 11:00:00	12	27	11	0,2
2025-12-27 12:00:00	12	27	12	0,4
2025-12-27 13:00:00	12	27	13	0,5
2025-12-27 14:00:00	12	27	14	4,3
2025-12-27 15:00:00	12	27	15	6,4
2025-12-27 16:00:00	12	27	16	6,8
2025-12-27 17:00:00	12	27	17	129,6
2025-12-27 18:00:00	12	27	18	0,6
2025-12-27 19:00:00	12	27	19	0,6
2025-12-27 20:00:00	12	27	20	0,5
2025-12-27 21:00:00	12	27	21	0,5
2025-12-27 22:00:00	12	27	22	0,4
2025-12-27 23:00:00	12	27	23	0,4
2025-12-28 00:00:00	12	28	0	0,5
2025-12-28 01:00:00	12	28	1	0,5
2025-12-28 02:00:00	12	28	2	0,5
2025-12-28 03:00:00	12	28	3	0,7
2025-12-28 04:00:00	12	28	4	0,9
2025-12-28 05:00:00	12	28	5	135,0
2025-12-28 06:00:00	12	28	6	1,1
2025-12-28 07:00:00	12	28	7	1,0
2025-12-28 08:00:00	12	28	8	1,2
2025-12-28 09:00:00	12	28	9	1,3
2025-12-28 10:00:00	12	28	10	1,2
2025-12-28 11:00:00	12	28	11	1,3
2025-12-28 12:00:00	12	28	12	1,5
2025-12-28 13:00:00	12	28	13	1,5
2025-12-28 14:00:00	12	28	14	1,4
2025-12-28 15:00:00	12	28	15	1,6
2025-12-28 16:00:00	12	28	16	1,5
2025-12-28 17:00:00	12	28	17	143,2
2025-12-28 18:00:00	12	28	18	1,3
2025-12-28 19:00:00	12	28	19	1,0
2025-12-28 20:00:00	12	28	20	1,0
2025-12-28 21:00:00	12	28	21	1,0
2025-12-28 22:00:00	12	28	22	0,9
2025-12-28 23:00:00	12	28	23	1,0
2025-12-29 00:00:00	12	29	0	1,1
2025-12-29 01:00:00	12	29	1	1,2
2025-12-29 02:00:00	12	29	2	1,2
2025-12-29 03:00:00	12	29	3	1,1

Station 1 (km381) - T200 NO2

2025-12-29 04:00:00	12	29	4	45,7
2025-12-29 05:00:00	12	29	5	94,7
2025-12-29 06:00:00	12	29	6	1,1
2025-12-29 07:00:00	12	29	7	1,2
2025-12-29 08:00:00	12	29	8	1,2
2025-12-29 09:00:00	12	29	9	1,2
2025-12-29 10:00:00	12	29	10	1,0
2025-12-29 11:00:00	12	29	11	1,0
2025-12-29 12:00:00	12	29	12	1,0
2025-12-29 13:00:00	12	29	13	0,8
2025-12-29 14:00:00	12	29	14	0,7
2025-12-29 15:00:00	12	29	15	0,8
2025-12-29 16:00:00	12	29	16	126,3
2025-12-29 17:00:00	12	29	17	9,2
2025-12-29 18:00:00	12	29	18	0,7
2025-12-29 19:00:00	12	29	19	0,7
2025-12-29 20:00:00	12	29	20	0,6
2025-12-29 21:00:00	12	29	21	0,5
2025-12-29 22:00:00	12	29	22	0,5
2025-12-29 23:00:00	12	29	23	0,5
2025-12-30 00:00:00	12	30	0	0,5
2025-12-30 01:00:00	12	30	1	0,5
2025-12-30 02:00:00	12	30	2	0,6
2025-12-30 03:00:00	12	30	3	0,4
2025-12-30 04:00:00	12	30	4	130,9
2025-12-30 05:00:00	12	30	5	0,4
2025-12-30 06:00:00	12	30	6	0,5
2025-12-30 07:00:00	12	30	7	0,5
2025-12-30 08:00:00	12	30	8	0,6
2025-12-30 09:00:00	12	30	9	0,7
2025-12-30 10:00:00	12	30	10	0,6
2025-12-30 11:00:00	12	30	11	1,4
2025-12-30 12:00:00	12	30	12	2,0
2025-12-30 13:00:00	12	30	13	0,9
2025-12-30 14:00:00	12	30	14	0,7
2025-12-30 15:00:00	12	30	15	0,8
2025-12-30 16:00:00	12	30	16	140,4
2025-12-30 17:00:00	12	30	17	0,7
2025-12-30 18:00:00	12	30	18	1,2
2025-12-30 19:00:00	12	30	19	1,2
2025-12-30 20:00:00	12	30	20	0,8
2025-12-30 21:00:00	12	30	21	0,3
2025-12-30 22:00:00	12	30	22	0,3
2025-12-30 23:00:00	12	30	23	0,4
2025-12-31 00:00:00	12	31	0	0,4
2025-12-31 01:00:00	12	31	1	0,3
2025-12-31 02:00:00	12	31	2	0,3

Station 1 (km381) - T200 NO2

2025-12-31 03:00:00	12	31	3	0,1
2025-12-31 04:00:00	12	31	4	121,3
2025-12-31 05:00:00	12	31	5	0,0
2025-12-31 06:00:00	12	31	6	0,0
2025-12-31 07:00:00	12	31	7	1,0
2025-12-31 08:00:00	12	31	8	0,0
2025-12-31 09:00:00	12	31	9	0,5
2025-12-31 10:00:00	12	31	10	0,0
2025-12-31 11:00:00	12	31	11	1,2
2025-12-31 12:00:00	12	31	12	2,6
2025-12-31 13:00:00	12	31	13	0,9
2025-12-31 14:00:00	12	31	14	0,7
2025-12-31 15:00:00	12	31	15	0,8
2025-12-31 16:00:00	12	31	16	47,0
2025-12-31 17:00:00	12	31	17	0,6
2025-12-31 18:00:00	12	31	18	1,4
2025-12-31 19:00:00	12	31	19	2,3
2025-12-31 20:00:00	12	31	20	4,5
2025-12-31 21:00:00	12	31	21	2,6
2025-12-31 22:00:00	12	31	22	3,0
2025-12-31 23:00:00	12	31	23	3,4

ANNEXE

G

CERTIFICATS D'ANALYSE





Votre # du projet: C522998
Adresse du site: WSP CANADA

Attention: Sarah Beaudry

Bureau Veritas Laboratories
889, Montee de Liesse
Saint-Laurent, QC
Canada H4T 1P5

Date du rapport: 05/29/2025
Rapport: R8547760
Version: 1 - Finale

CERTIFICAT D'ANALYSE

DE DOSSIER BUREAU VERITAS: C558538

Reçu: 05/22/2025, 00:00

Matrice: Air
Nombre d'échantillons reçus: 17

Analyses	Quantité	Date Analysé	Méthode de laboratoire	Méthode d'analyse
Silica on a PVC filter by N7500	17	05/28/2025	NOV5SOP-00001	NIOSH 7500
Total Quartz and Cristobalite	17	05/29/2025		

Le présent rapport ne doit pas être reproduit, sinon dans son intégralité, sans le consentement écrit du laboratoire.
Les résultats ne se rapportent qu'aux échantillons analysés.

Lorsque la méthode de référence comprend un suffixe « m », cela signifie que la méthode d'analyse du laboratoire contient des modifications validées et appliquées afin d'améliorer la performance de la méthode de référence.

clé de cryptage

Megan Stupar

30 May 2025 11:49:49

COVERPAGECOMMENT1_IH

Megan Stupar,
Courriel: megan.stupar@bureauveritas.com
Téléphone (248) 344-1770

=====

Bureau Veritas a mis en place des procédures qui protègent contre l'utilisation non autorisée de la signature électronique et emploie les «signataires» requis, conformément à l'ISO/CEI17025. Ce rapport est autorisé par Shawn Heier, responsable des opérations du laboratoire de MichiganHygiène industrielle.



BUREAU
VERITAS

Dossier Bureau Veritas: C558538
Date du rapport: 05/29/2025

Bureau Veritas Laboratories
Votre # du projet: C522998
Adresse du site: WSP CANADA

RÉSULTATS D'ANALYSE

Client ID:	OJ0542-GALA-250131-WIL-PM4-2			Matrice:	Air
Identification Bureau Veritas:	ARCO09			Sample Media:	PVC 47 mm Untared
Date d'échantillonnage:	01/31/2025				
ANALYTE	Mass ug	concentration ug/m3	RL ug	Test Method	Date Analysé
Quartz	6.3	N/A	5.0	NIOSH 7500	05/28/2025
Cristobalite	<5.0	N/A	5.0	NIOSH 7500	05/28/2025
Tridymite	<10	N/A	10	NIOSH 7500	05/28/2025
Total (Quartz and Cristobalite)	<10	N/A	10		05/29/2025
LDR = limite de détection rapportée					
RL = Seuil de détection					

Client ID:	OJ0544-GALA-250120-WIL-PM4-2			Matrice:	Air
Identification Bureau Veritas:	ARCO10			Sample Media:	PVC 47 mm Untared
Date d'échantillonnage:	01/20/2025				
ANALYTE	Mass ug	concentration ug/m3	RL ug	Test Method	Date Analysé
Quartz	<5.0	N/A	5.0	NIOSH 7500	05/28/2025
Cristobalite	<5.0	N/A	5.0	NIOSH 7500	05/28/2025
Tridymite	<10	N/A	10	NIOSH 7500	05/28/2025
Total (Quartz and Cristobalite)	<10	N/A	10		05/29/2025
LDR = limite de détection rapportée					
RL = Seuil de détection					

Client ID:	OJ0545-GALA-250113-WIL-PM4-2			Matrice:	Air
Identification Bureau Veritas:	ARCO11			Sample Media:	PVC 47 mm Untared
Date d'échantillonnage:	01/13/2025				
ANALYTE	Mass ug	concentration ug/m3	RL ug	Test Method	Date Analysé
Quartz	<5.0	N/A	5.0	NIOSH 7500	05/28/2025
Cristobalite	<5.0	N/A	5.0	NIOSH 7500	05/28/2025
Tridymite	<10	N/A	10	NIOSH 7500	05/28/2025
Total (Quartz and Cristobalite)	<10	N/A	10		05/29/2025
LDR = limite de détection rapportée					
RL = Seuil de détection					



BUREAU
VERITAS

Dossier Bureau Veritas: C558538
Date du rapport: 05/29/2025

Bureau Veritas Laboratories
Votre # du projet: C522998
Adresse du site: WSP CANADA

RÉSULTATS D'ANALYSE

Client ID:	OJ0547-GALA-250125-WIL-PM4-2			Matrice:	Air
Identification Bureau Veritas:	ARCO12			Sample Media:	PVC 47 mm Untared
Date d'échantillonnage:	01/25/2025				
ANALYTE	Mass ug	concentration ug/m3	RL ug	Test Method	Date Analysé
Quartz	<5.0	N/A	5.0	NIOSH 7500	05/28/2025
Cristobalite	<5.0	N/A	5.0	NIOSH 7500	05/28/2025
Tridymite	<10	N/A	10	NIOSH 7500	05/28/2025
Total (Quartz and Cristobalite)	<10	N/A	10		05/29/2025
LDR = limite de détection rapportée					
RL = Seuil de détection					

Client ID:	OJ0548-GALA-250120-WIL-PM4-1			Matrice:	Air
Identification Bureau Veritas:	ARCO13			Sample Media:	PVC 47 mm Untared
Date d'échantillonnage:	01/20/2025				
ANALYTE	Mass ug	concentration ug/m3	RL ug	Test Method	Date Analysé
Quartz	<5.0	N/A	5.0	NIOSH 7500	05/28/2025
Cristobalite	<5.0	N/A	5.0	NIOSH 7500	05/28/2025
Tridymite	<10	N/A	10	NIOSH 7500	05/28/2025
Total (Quartz and Cristobalite)	<10	N/A	10		05/29/2025
LDR = limite de détection rapportée					
RL = Seuil de détection					

Client ID:	OJ0549-GALA-250131-WIL-PM4-1			Matrice:	Air
Identification Bureau Veritas:	ARCO14			Sample Media:	PVC 47 mm Untared
Date d'échantillonnage:	01/31/2025				
ANALYTE	Mass ug	concentration ug/m3	RL ug	Test Method	Date Analysé
Quartz	<5.0	N/A	5.0	NIOSH 7500	05/28/2025
Cristobalite	<5.0	N/A	5.0	NIOSH 7500	05/28/2025
Tridymite	<10	N/A	10	NIOSH 7500	05/28/2025
Total (Quartz and Cristobalite)	<10	N/A	10		05/29/2025
LDR = limite de détection rapportée					
RL = Seuil de détection					



BUREAU
VERITAS

Dossier Bureau Veritas: C558538
Date du rapport: 05/29/2025

Bureau Veritas Laboratories
Votre # du projet: C522998
Adresse du site: WSP CANADA

RÉSULTATS D'ANALYSE

Client ID:	OJ0550-GALA-250113-WIL-PM4-1			Matrice:	Air
Identification Bureau Veritas:	ARCO15			Sample Media:	PVC 47 mm Untared
Date d'échantillonnage:	01/13/2025				
ANALYTE	Mass ug	concentration ug/m3	RL ug	Test Method	Date Analysé
Quartz	<5.0	N/A	5.0	NIOSH 7500	05/28/2025
Cristobalite	<5.0	N/A	5.0	NIOSH 7500	05/28/2025
Tridymite	<10	N/A	10	NIOSH 7500	05/28/2025
Total (Quartz and Cristobalite)	<10	N/A	10		05/29/2025
LDR = limite de détection rapportée					
RL = Seuil de détection					

Client ID:	OJ0551-GALA-250125-WIL-PM4-1			Matrice:	Air
Identification Bureau Veritas:	ARCO16			Sample Media:	PVC 47 mm Untared
Date d'échantillonnage:	01/25/2025				
ANALYTE	Mass ug	concentration ug/m3	RL ug	Test Method	Date Analysé
Quartz	<5.0	N/A	5.0	NIOSH 7500	05/28/2025
Cristobalite	<5.0	N/A	5.0	NIOSH 7500	05/28/2025
Tridymite	<10	N/A	10	NIOSH 7500	05/28/2025
Total (Quartz and Cristobalite)	<10	N/A	10		05/29/2025
LDR = limite de détection rapportée					
RL = Seuil de détection					

Client ID:	OJ0552-GALA-250212-WIL-PM4-1			Matrice:	Air
Identification Bureau Veritas:	ARCO17			Sample Media:	PVC 47 mm Untared
Date d'échantillonnage:	02/12/2025				
ANALYTE	Mass ug	concentration ug/m3	RL ug	Test Method	Date Analysé
Quartz	<5.0	N/A	5.0	NIOSH 7500	05/28/2025
Cristobalite	<5.0	N/A	5.0	NIOSH 7500	05/28/2025
Tridymite	<10	N/A	10	NIOSH 7500	05/28/2025
Total (Quartz and Cristobalite)	<10	N/A	10		05/29/2025
LDR = limite de détection rapportée					
RL = Seuil de détection					



BUREAU
VERITAS

Dossier Bureau Veritas: C558538

Date du rapport: 05/29/2025

Bureau Veritas Laboratories

Votre # du projet: C522998

Adresse du site: WSP CANADA

RÉSULTATS D'ANALYSE

Client ID:	OJ0555-BLANC TERRAIN (MS5649-01)			Matrice:	Air
Identification Bureau Veritas:	ARCO18			Sample Media:	PVC 47 mm Untared
Date d'échantillonnage:	01/13/2025				
ANALYTE	Mass ug	concentration ug/m3	RL ug	Test Method	Date Analysé
Quartz	<5.0	N/A	5.0	NIOSH 7500	05/28/2025
Cristobalite	<5.0	N/A	5.0	NIOSH 7500	05/28/2025
Tridymite	<10	N/A	10	NIOSH 7500	05/28/2025
Total (Quartz and Cristobalite)	<10	N/A	10		05/29/2025
LDR = limite de détection rapportée					
RL = Seuil de détection					

Client ID:	OJ0556-BLANC LABO (MS5618-01)			Matrice:	Air
Identification Bureau Veritas:	ARCO19			Sample Media:	PVC 47 mm Untared
Date d'échantillonnage:	01/13/2025				
ANALYTE	Mass ug	concentration ug/m3	RL ug	Test Method	Date Analysé
Quartz	<5.0	N/A	5.0	NIOSH 7500	05/28/2025
Cristobalite	<5.0	N/A	5.0	NIOSH 7500	05/28/2025
Tridymite	<10	N/A	10	NIOSH 7500	05/28/2025
Total (Quartz and Cristobalite)	<10	N/A	10		05/29/2025
LDR = limite de détection rapportée					
RL = Seuil de détection					

Client ID:	OJ0557-GALA-250224-WIL-PM4-1			Matrice:	Air
Identification Bureau Veritas:	ARCO20			Sample Media:	PVC 47 mm Untared
Date d'échantillonnage:	02/24/2025				
ANALYTE	Mass ug	concentration ug/m3	RL ug	Test Method	Date Analysé
Quartz	<5.0	N/A	5.0	NIOSH 7500	05/28/2025
Cristobalite	<5.0	N/A	5.0	NIOSH 7500	05/28/2025
Tridymite	<10	N/A	10	NIOSH 7500	05/28/2025
Total (Quartz and Cristobalite)	<10	N/A	10		05/29/2025
LDR = limite de détection rapportée					
RL = Seuil de détection					



BUREAU
VERITAS

Dossier Bureau Veritas: C558538

Date du rapport: 05/29/2025

Bureau Veritas Laboratories

Votre # du projet: C522998

Adresse du site: WSP CANADA

RÉSULTATS D'ANALYSE

Client ID:	OJ0558-GALA-250212-WIL-PM4-2			Matrice:	Air
Identification Bureau Veritas:	ARCO21			Sample Media:	PVC 47 mm Untared
Date d'échantillonnage:	02/12/2025				
ANALYTE	Mass ug	concentration ug/m3	RL ug	Test Method	Date Analysé
Quartz	6.1	N/A	5.0	NIOSH 7500	05/28/2025
Cristobalite	<5.0	N/A	5.0	NIOSH 7500	05/28/2025
Tridymite	<10	N/A	10	NIOSH 7500	05/28/2025
Total (Quartz and Cristobalite)	<10	N/A	10		05/29/2025
LDR = limite de détection rapportée					
RL = Seuil de détection					

Client ID:	OJ0562-GALA-250308-WIL-PM4-2			Matrice:	Air
Identification Bureau Veritas:	ARCO22			Sample Media:	PVC 47 mm Untared
Date d'échantillonnage:	03/08/2025				
ANALYTE	Mass ug	concentration ug/m3	RL ug	Test Method	Date Analysé
Quartz	<5.0	N/A	5.0	NIOSH 7500	05/28/2025
Cristobalite	<5.0	N/A	5.0	NIOSH 7500	05/28/2025
Tridymite	<10	N/A	10	NIOSH 7500	05/28/2025
Total (Quartz and Cristobalite)	<10	N/A	10		05/29/2025
LDR = limite de détection rapportée					
RL = Seuil de détection					

Client ID:	OJ0563-GALA-250308-WIL-PM4-1			Matrice:	Air
Identification Bureau Veritas:	ARCO23			Sample Media:	PVC 47 mm Untared
Date d'échantillonnage:	03/08/2025				
ANALYTE	Mass ug	concentration ug/m3	RL ug	Test Method	Date Analysé
Quartz	<5.0	N/A	5.0	NIOSH 7500	05/28/2025
Cristobalite	<5.0	N/A	5.0	NIOSH 7500	05/28/2025
Tridymite	<10	N/A	10	NIOSH 7500	05/28/2025
Total (Quartz and Cristobalite)	<10	N/A	10		05/29/2025
LDR = limite de détection rapportée					
RL = Seuil de détection					



BUREAU
VERITAS

Dossier Bureau Veritas: C558538
Date du rapport: 05/29/2025

Bureau Veritas Laboratories
Votre # du projet: C522998
Adresse du site: WSP CANADA

RÉSULTATS D'ANALYSE

Client ID:	OJ0564-GALA-250224-WIL-PM4-2			Matrice:	Air
Identification Bureau Veritas:	ARCO24			Sample Media:	PVC 47 mm Untared
Date d'échantillonnage:	02/24/2025				
ANALYTE	Mass ug	concentration ug/m3	RL ug	Test Method	Date Analysé
Quartz	<5.0	N/A	5.0	NIOSH 7500	05/28/2025
Cristobalite	<5.0	N/A	5.0	NIOSH 7500	05/28/2025
Tridymite	<10	N/A	10	NIOSH 7500	05/28/2025
Total (Quartz and Cristobalite)	<10	N/A	10		05/29/2025
LDR = limite de détection rapportée					
RL = Seuil de détection					

Client ID:	OJ0566-BLANC TERRAIN (MS5639-01)			Matrice:	Air
Identification Bureau Veritas:	ARCO25			Sample Media:	PVC 47 mm Untared
Date d'échantillonnage:	01/13/2025				
ANALYTE	Mass ug	concentration ug/m3	RL ug	Test Method	Date Analysé
Quartz	<5.0	N/A	5.0	NIOSH 7500	05/28/2025
Cristobalite	<5.0	N/A	5.0	NIOSH 7500	05/28/2025
Tridymite	<10	N/A	10	NIOSH 7500	05/28/2025
Total (Quartz and Cristobalite)	<10	N/A	10		05/29/2025
LDR = limite de détection rapportée					
RL = Seuil de détection					



BUREAU
VERITAS

Dossier Bureau Veritas: C558538

Date du rapport: 05/29/2025

Bureau Veritas Laboratories

Votre # du projet: C522998

Adresse du site: WSP CANADA

REMARQUES GÉNÉRALES

À moins d'indication contraire ci-dessous, les énoncés suivants s'appliquent: 1) tous les échantillons ont été reçus dans un état acceptable, 2) tous les résultats du contrôle de la qualité associés à cet ensemble d'échantillons se situaient dans des limites acceptables et / ou n'ont pas d'incidence négative sur les résultats déclarés et 3) les résultats en matière d'hygiène industrielle n'ont pas été corrigés pour le blanc.

Le client a fourni ses données pertinentes de l'échantillonnage sur le terrain sur le document de demande d'analyse soumis avec les échantillons. Les résultats s'appliquent à l'échantillon tel qu'il a été reçu.

Les résultats s'appliquent seulement pour les paramètres analysés.



Votre # du projet: CA0012054.2069 phase 123
 Adresse du site: Galaxy
 Votre # Bordereau: 170842

Attention: Francis Charbonneau

WSP Canada Inc. - Montréal
 René-Lévesque
 1600 René-Lévesque O
 local B110
 Montréal, QC
 CANADA H3H 1P9

Date du rapport: 2025/05/30
 # Rapport: R3041986
 Version: 1 - Finale

CERTIFICAT D'ANALYSES

DE DOSSIER BUREAU VERITAS: C522998

Reçu: 2025/05/08, 09:00

Matrice: Filtre
 Nombre d'échantillons reçus: 42

Analyses	Quantité	Date de l' extraction	Date Analysé	Méthode de laboratoire	Méthode d'analyse
Particules totales	9	2025/05/15	2025/05/15	STL SOP-00045	MA100– Part 1.0 R8 m
Particules totales	19	2025/05/15	2025/05/16	STL SOP-00045	MA100– Part 1.0 R8 m
Particules totales	1	2025/05/16	2025/05/16	STL SOP-00045	MA100– Part 1.0 R8 m
Particules totales (Hi-VOL)	13	2025/05/15	2025/05/15	STL SOP-00045	MA100–Part. 1.0 R8 m
Métaux extractibles totaux (Hi-vol)	8	2025/05/21	2025/05/22	STL SOP-00062	MA.200–Mét. 1.2 R9 m
Métaux extractibles totaux (Hi-vol)	3	2025/05/22	2025/05/23	STL SOP-00062	MA.200–Mét. 1.2 R9 m
Métaux extractibles totaux (Hi-vol)	2	2025/05/22	2025/05/24	STL SOP-00062	MA.200–Mét. 1.2 R9 m
Silice par RX (NIOSH 7500)-Filtre PVC (1)	17	N/A	N/A	Crystalline Silica by NIOSH 7500	NIOSH 7500

Remarques:

Bureau Veritas est certifié ISO/IEC 17025 pour certains paramètres précis des portées d'accréditation. Sauf indication contraire, les méthodes d'analyses utilisées par Bureau Veritas s'inspirent des méthodes de référence d'organismes provinciaux, fédéraux et américains, tels que le CCME, l'EPA, l'APHA ou le ministère de l'environnement du Québec.

Toutes les analyses présentées ont été réalisées conformément aux procédures et aux pratiques relatives à la méthodologie, à l'assurance qualité et au contrôle de la qualité généralement appliqués par les employés de Bureau Veritas (sauf s'il en a été convenu autrement par écrit entre le client et Bureau Veritas). Toutes les données de laboratoire rencontrent les contrôles statistiques et respectent tous les critères de CQ et les critères de performance des méthodes, sauf s'il en a été signalé autrement. Tous les blancs de méthode sont rapportés, toutefois, les données des échantillons correspondants ne sont pas corrigées pour la valeur du blanc, sauf indication contraire. Le cas échéant, sauf indication contraire, l'incertitude de mesure n'a pas été prise en considération lors de la déclaration de la conformité à la norme de référence.

Les responsabilités de Bureau Veritas sont restreintes au coût réel de l'analyse, sauf s'il en a été convenu autrement par écrit. Il n'existe aucune autre garantie, explicite ou implicite. Le client a fait appel à Bureau Veritas pour l'analyse de ses échantillons conformément aux méthodes de référence mentionnées dans ce rapport. L'interprétation et l'utilisation des résultats sont sous l'entière responsabilité du client et ne font pas partie des services offerts par Bureau Veritas, sauf si convenu autrement par écrit. Bureau Veritas ne peut pas garantir l'exactitude des résultats qui dépendent des renseignements fournis par le client ou son représentant.

Les résultats des échantillons solides, sauf les biotes, sont rapportés en fonction de la masse sèche, sauf indication contraire. Les analyses organiques ne sont pas corrigées en fonction de la récupération, sauf pour les méthodes de dilution isotopique.

Les résultats s'appliquent seulement aux échantillons analysés. Si l'échantillonnage n'est pas effectué par Bureau Veritas, les résultats se rapportent aux échantillons fournis pour analyse.

Votre # du projet: CA0012054.2069 phase 123
Adresse du site: Galaxy
Votre # Bordereau: 170842

Attention: Francis Charbonneau

WSP Canada Inc. - Montréal
René-Lévesque
1600 René-Lévesque O
local B110
Montréal, QC
CANADA H3H 1P9

Date du rapport: 2025/05/30
Rapport: R3041986
Version: 1 - Finale

CERTIFICAT D'ANALYSES

DE DOSSIER BUREAU VERITAS: C522998

Reçu: 2025/05/08, 09:00

Le présent rapport ne doit pas être reproduit, sinon dans son intégralité, sans le consentement écrit du laboratoire.

Lorsque la méthode de référence comprend un suffixe « m », cela signifie que la méthode d'analyse du laboratoire contient des modifications validées et appliquées afin d'améliorer la performance de la méthode de référence.

Notez: Les données brutes sont utilisées pour le calcul du RPD (% d'écart relatif). L'arrondissement des résultats finaux peut expliquer la variation apparente.

(1) Cette analyse a été effectuée par Bureau Veritas North America Inc.(Michigan), 22345 Roethel Drive , Novi, MI, 48375

Note : Les paramètres inclus dans le présent certificat sont accrédités par le ministère de l'environnement du Québec, à moins d'indication contraire.

clé de cryptage



AUTHORIZED REPORT
RAPPORT AUTORISÉ

Bureau Veritas

30 May 2025 12:16:44

Veuillez adresser toute question concernant ce certificat d'analyse à:

Sarah Beaudry, Chargée de projets

Courriel: Sarah.Beaudry@bureauveritas.com

Téléphone (438)355-7268

=====
Ce rapport a été produit et distribué en utilisant une procédure automatisée sécuritaire.

Bureau Veritas a mis en place des procédures qui protègent contre l'utilisation non autorisée de la signature électronique et emploie les «signataires» requis, conformément à

l'ISO/CEI17025. Pour la validation spécifique à un groupe de services, veuillez vous référer à la page des Signatures de validation si elle est incluse, sinon disponible sur demande.

Pour les noms de validation des analystes/superviseurs spécifiques à un service, veuillez vous référer à la section Résumé de l'analyse si elle est incluse, sinon disponible sur

demande. Ce rapport est autorisé par Aglaia Yannakis, Directrice générale, responsable des opérations du laboratoire Environnementale - Québec.



BUREAU
VERITAS

Dossier Bureau Veritas: C522998

Date du rapport: 2025/05/30

WSP Canada Inc. - Montréal

Votre # du projet: CA0012054.2069 phase 123

Adresse du site: Galaxy

MÉTAUX (FILTRE)

ID Bureau Veritas		OJ0526	OJ0527	OJ0528	OJ0529		
Date d'échantillonnage		2025/01/20 00:00	2025/01/25 00:00	2025/01/31 00:00	2025/02/06 00:00		
# Bordereau		170842	170842	170842	170842		
	Unités	GALA-250120-HV-1	GALA-250125-HV-1	GALA-250131-HV-1	GALA-250206-HV-1	LDR	Lot CQ

MÉTAUX							
Antimoine (Sb) Air	ug	0.26	0.38	0.45	0.34	0.20	2646154
Arsenic (As) Air	ug	<0.40	0.58	<0.40	0.44	0.40	2646154
Baryum (Ba) Air	ug	1.1	1.1	1.3	1.1	0.40	2646154
Béryllium (Be) Air	ug	<0.30	<0.30	<0.30	<0.30	0.30	2646154
Cadmium (Cd) Air	ug	<0.20	<0.20	<0.20	<0.20	0.20	2646154
Chrome (Cr) Air	ug	15	9.0	11	3.5	0.90	2646154
Cobalt (Co) Air †	ug	<0.30	<0.30	<0.30	<0.30	0.30	2646154
Cuivre (Cu) Air	ug	18	20	26	40	0.90	2646154
Manganèse (Mn) Air †	ug	1.7	1.4	1.4	0.96	0.90	2646154
Nickel (Ni) Air	ug	<2.0	<2.0	<2.0	<2.0	2.0	2646154
Plomb (Pb) Air	ug	0.44	1.5	1.7	1.3	0.40	2646154
Sélénium (Se) Air †	ug	<0.50	<0.50	<0.50	<0.50	0.50	2646154
Thallium (Tl) Air	ug	<0.050	<0.050	<0.050	<0.050	0.050	2646154
Vanadium (V) Air	ug	<2.0	<2.0	<2.0	<2.0	2.0	2646154
Zinc (Zn) Air	ug	<9.0	<9.0	<9.0	<9.0	9.0	2646154

LDR = Limite de détection rapportée

Lot CQ = Lot contrôle qualité

† Accréditation non existante pour ce paramètre



BUREAU
VERITAS

Dossier Bureau Veritas: C522998

Date du rapport: 2025/05/30

WSP Canada Inc. - Montréal

Votre # du projet: CA0012054.2069 phase 123

Adresse du site: Galaxy

MÉTAUX (FILTRE)

ID Bureau Veritas		OJ0530		OJ0531	OJ0532	OJ0533		
Date d'échantillonnage		2025/03/08 00:00		2025/03/08 00:00	2025/03/02 00:00	2025/02/24 00:00		
# Bordereau		170842		170842	170842	170842		
	Unités	GALA-250308-HV-1	Lot CQ	GALA-250308-HV-2	GALA-250302-HV-1	GALA-250224-HV-1	LDR	Lot CQ

MÉTAUX								
Antimoine (Sb) Air	ug	<0.20	2646154	0.24	0.33	0.45	0.20	2645445
Argent (Ag) Air	ug	N/A	N/A	N/A	N/A	<0.30	0.30	2645445
Arsenic (As) Air	ug	<0.40	2646154	<0.40	<0.40	0.47	0.40	2645445
Baryum (Ba) Air	ug	0.76	2646154	1.4	1.2	1.2	0.40	2645445
Béryllium (Be) Air	ug	<0.30	2646154	<0.30	<0.30	<0.30	0.30	2645445
Cadmium (Cd) Air	ug	<0.20	2646154	<0.20	<0.20	<0.20	0.20	2645445
Chrome (Cr) Air	ug	7.4	2646154	3.9	9.5	4.9	0.90	2645445
Cobalt (Co) Air †	ug	<0.30	2646154	<0.30	<0.30	<0.30	0.30	2645445
Cuivre (Cu) Air	ug	1.6	2646154	68	42	39	0.90	2645445
Manganèse (Mn) Air †	ug	<0.90	2646154	2.3	1.4	1.4	0.90	2645445
Nickel (Ni) Air	ug	<2.0	2646154	<2.0	<2.0	<2.0	2.0	2645445
Plomb (Pb) Air	ug	<0.40	2646154	0.42	1.6	1.3	0.40	2645445
Sélénium (Se) Air †	ug	<0.50	2646154	<0.50	<0.50	<0.50	0.50	2645445
Thallium (Tl) Air	ug	<0.050	2646154	<0.050	<0.050	<0.050	0.050	2645445
Vanadium (V) Air	ug	<2.0	2646154	<2.0	<2.0	<2.0	2.0	2645445
Zinc (Zn) Air	ug	<9.0	2646154	<9.0	<9.0	9.5	9.0	2645445

LDR = Limite de détection rapportée

Lot CQ = Lot contrôle qualité

N/A = Non Applicable

† Accréditation non existante pour ce paramètre



MÉTAUX (FILTRE)

ID Bureau Veritas		OJ0534	OJ0535	OJ0536	OJ0537		
Date d'échantillonnage		2025/02/18 00:00	2025/02/12 00:00	2025/03/13 00:00	2025/03/13 00:00		
# Bordereau		170842	170842	170842	170842		
	Unités	GALA-250218-HV-1	GALA-250212-HV-1	GALA-250313-HV-Labo	GALA-250313-Blanc terrain - Station 1	LDR	Lot CQ

MÉTAUX							
Antimoine (Sb) Air	ug	0.30	0.30	<0.20	<0.20	0.20	2645445
Argent (Ag) Air	ug	<0.30	<0.30	<0.30	<0.30	0.30	2645445
Arsenic (As) Air	ug	<0.40	<0.40	<0.40	<0.40	0.40	2645445
Baryum (Ba) Air	ug	1.6	0.83	0.66	0.78	0.40	2645445
Béryllium (Be) Air	ug	<0.30	<0.30	<0.30	<0.30	0.30	2645445
Cadmium (Cd) Air	ug	<0.20	<0.20	<0.20	<0.20	0.20	2645445
Chrome (Cr) Air	ug	4.9	9.1	8.4	6.2	0.90	2645445
Cobalt (Co) Air †	ug	<0.30	<0.30	<0.30	<0.30	0.30	2645445
Cuivre (Cu) Air	ug	93	73	2.5	<0.90	0.90	2645445
Manganèse (Mn) Air †	ug	<0.90	1.1	<0.90	<0.90	0.90	2645445
Nickel (Ni) Air	ug	<2.0	<2.0	<2.0	<2.0	2.0	2645445
Plomb (Pb) Air	ug	<0.40	0.89	0.98	0.49	0.40	2645445
Sélénium (Se) Air †	ug	<0.50	<0.50	<0.50	<0.50	0.50	2645445
Thallium (Tl) Air	ug	<0.050	<0.050	<0.050	<0.050	0.050	2645445
Vanadium (V) Air	ug	<2.0	<2.0	<2.0	<2.0	2.0	2645445
Zinc (Zn) Air	ug	<9.0	<9.0	<9.0	<9.0	9.0	2645445

LDR = Limite de détection rapportée

Lot CQ = Lot contrôle qualité

† Accréditation non existante pour ce paramètre



MÉTAUX (FILTRE)

ID Bureau Veritas		OJ0538		
Date d'échantillonnage		2025/03/13 00:00		
# Bordereau		170842		
	Unités	GALA-250313-HV- Blanc terrain – Station 2	LDR	Lot CQ

MÉTAUX				
Antimoine (Sb) Air	ug	<0.20	0.20	2645445
Argent (Ag) Air	ug	<0.30	0.30	2645445
Arsenic (As) Air	ug	<0.40	0.40	2645445
Baryum (Ba) Air	ug	0.80	0.40	2645445
Béryllium (Be) Air	ug	<0.30	0.30	2645445
Cadmium (Cd) Air	ug	<0.20	0.20	2645445
Chrome (Cr) Air	ug	3.4	0.90	2645445
Cobalt (Co) Air †	ug	<0.30	0.30	2645445
Cuivre (Cu) Air	ug	<0.90	0.90	2645445
Manganèse (Mn) Air †	ug	<0.90	0.90	2645445
Nickel (Ni) Air	ug	<2.0	2.0	2645445
Plomb (Pb) Air	ug	<0.40	0.40	2645445
Sélénium (Se) Air †	ug	<0.50	0.50	2645445
Thallium (Tl) Air	ug	<0.050	0.050	2645445
Vanadium (V) Air	ug	<2.0	2.0	2645445
Zinc (Zn) Air	ug	<9.0	9.0	2645445

LDR = Limite de détection rapportée

Lot CQ = Lot contrôle qualité

† Accréditation non existante pour ce paramètre



PARAMÈTRES CONVENTIONNELS (FILTRE)

ID Bureau Veritas		OJ0526	OJ0527	OJ0528	OJ0529		
Date d'échantillonnage		2025/01/20 00:00	2025/01/25 00:00	2025/01/31 00:00	2025/02/06 00:00		
# Bordereau		170842	170842	170842	170842		
	Unités	GALA-250120-HV-1	GALA-250125-HV-1	GALA-250131-HV-1	GALA-250206-HV-1	LDR	Lot CQ

CONVENTIONNELS							
Poids du filtre	g	3.511	3.501	3.500	3.502	0.001	2643372
Poids du filtre avec poussières	g	3.519	3.504	3.507	3.505	0.001	2643372
Particules totales	g	0.008	0.003	0.007	0.003	0.001	2643372
LDR = Limite de détection rapportée Lot CQ = Lot contrôle qualité							

ID Bureau Veritas		OJ0530	OJ0531	OJ0532	OJ0533		
Date d'échantillonnage		2025/03/08 00:00	2025/03/08 00:00	2025/03/02 00:00	2025/02/24 00:00		
# Bordereau		170842	170842	170842	170842		
	Unités	GALA-250308-HV-1	GALA-250308-HV-2	GALA-250302-HV-1	GALA-250224-HV-1	LDR	Lot CQ

CONVENTIONNELS							
Poids du filtre	g	3.278	3.270	3.506	3.510	0.001	2643372
Poids du filtre avec poussières	g	3.280	3.288	3.527	3.517	0.001	2643372
Particules totales	g	0.002	0.018	0.020	0.007	0.001	2643372
LDR = Limite de détection rapportée Lot CQ = Lot contrôle qualité							

ID Bureau Veritas		OJ0534	OJ0535	OJ0536	OJ0537		
Date d'échantillonnage		2025/02/18 00:00	2025/02/12 00:00	2025/03/13 00:00	2025/03/13 00:00		
# Bordereau		170842	170842	170842	170842		
	Unités	GALA-250218-HV-1	GALA-250212-HV-1	GALA-250313-HV-Labo	GALA-250313-Blanc terrain - Station 1	LDR	Lot CQ

CONVENTIONNELS							
Poids du filtre	g	3.500	3.511	3.271	3.272	0.001	2643372
Poids du filtre avec poussières	g	3.509	3.530	3.274	3.273	0.001	2643372
Particules totales	g	0.009	0.018	0.004	0.002	0.001	2643372
LDR = Limite de détection rapportée Lot CQ = Lot contrôle qualité							



PARAMÈTRES CONVENTIONNELS (FILTRE)

ID Bureau Veritas		OJ0538			OJ0539	OJ0540		
Date d'échantillonnage		2025/03/13 00:00			2025/01/20 00:00	2025/01/13 00:00		
# Bordereau		170842			170842	170842		
	Unités	GALA-250313-HV-Blanc terrain – Station 2	LDR	Lot CQ	GALA-250120-WIL-PM2.5-2	GALA-250113-WIL-PM2.5-2	LDR	Lot CQ

CONVENTIONNELS								
Poids du filtre	g	3.256	0.001	2643372	0.1426	0.1442	0.0002	2643729
Poids du filtre avec poussières	g	3.261	0.001	2643372	0.1432	0.1446	0.0002	2643729
Particules totales	g	0.005	0.001	2643372	0.0006	0.0004	0.0002	2643729

LDR = Limite de détection rapportée

Lot CQ = Lot contrôle qualité

ID Bureau Veritas		OJ0541	OJ0542	OJ0543		
Date d'échantillonnage		2025/01/31 00:00	2025/01/31 00:00	2025/01/25 00:00		
# Bordereau		170842	170842	170842		
	Unités	GALA-250131-WIL-PM2.5-2	GALA-250131-WIL-PM4-2	GALA-250125-WIL-PM2.5-2	LDR	Lot CQ

CONVENTIONNELS						
Poids du filtre	g	0.1420	0.0170	0.1422	0.0002	2643729
Poids du filtre avec poussières	g	0.1428	0.0177	0.1424	0.0002	2643729
Particules totales	g	0.0008	0.0007	0.0002	0.0002	2643729

LDR = Limite de détection rapportée

Lot CQ = Lot contrôle qualité

ID Bureau Veritas		OJ0544	OJ0545	OJ0546		
Date d'échantillonnage		2025/01/20 00:00	2025/01/13 00:00	2025/02/06 00:00		
# Bordereau		170842	170842	170842		
	Unités	GALA-250120-WIL-PM4-2	GALA-250113-WIL-PM4-2	GALA-250206-WIL-PM2.5-2	LDR	Lot CQ

CONVENTIONNELS						
Poids du filtre	g	0.0205	0.0205	0.1439	0.0002	2643729
Poids du filtre avec poussières	g	0.0207	0.0208	0.1438	0.0002	2643729
Particules totales	g	0.0002	0.0003	<0.0002	0.0002	2643729

LDR = Limite de détection rapportée

Lot CQ = Lot contrôle qualité



PARAMÈTRES CONVENTIONNELS (FILTRE)

ID Bureau Veritas		OJ0547		OJ0548	OJ0549		
Date d'échantillonnage		2025/01/25 00:00		2025/01/20 00:00	2025/01/31 00:00		
# Bordereau		170842		170842	170842		
	Unités	GALA-250125-WIL-PM4-2	Lot CQ	GALA-250120-WIL-PM4-1	GALA-250131-WIL-PM4-1	LDR	Lot CQ

CONVENTIONNELS							
Poids du filtre	g	0.0200	2643729	0.0196	0.0188	0.0002	2643732
Poids du filtre avec poussières	g	0.0206	2643729	0.0202	0.0192	0.0002	2643732
Particules totales	g	0.0006	2643729	0.0006	0.0004	0.0002	2643732
LDR = Limite de détection rapportée Lot CQ = Lot contrôle qualité							

ID Bureau Veritas		OJ0550	OJ0551	OJ0552		
Date d'échantillonnage		2025/01/13 00:00	2025/01/25 00:00	2025/02/12 00:00		
# Bordereau		170842	170842	170842		
	Unités	GALA-250113-WIL-PM4-1	GALA-250125-WIL-PM4-1	GALA-250212-WIL-PM4-1	LDR	Lot CQ

CONVENTIONNELS							
Poids du filtre	g	0.0181	0.0208	0.0165	0.0002	2643732	
Poids du filtre avec poussières	g	0.0184	0.0216	0.0172	0.0002	2643732	
Particules totales	g	0.0003	0.0008	0.0007	0.0002	2643732	
LDR = Limite de détection rapportée Lot CQ = Lot contrôle qualité							

ID Bureau Veritas		OJ0553	OJ0554	OJ0555		
Date d'échantillonnage		2025/03/08 00:00	2025/03/02 00:00	2025/01/13 00:00		
# Bordereau		170842	170842	170842		
	Unités	GALA-250308-WIL-PM2.5-2	GALA-250302-WIL-PM2.5-2	Blanc terrain (MS5649-01)	LDR	Lot CQ

CONVENTIONNELS							
Poids du filtre	g	0.1429	0.1422	0.0186	0.0002	2643732	
Poids du filtre avec poussières	g	0.1435	0.1428	0.0189	0.0002	2643732	
Particules totales	g	0.0006	0.0006	0.0003	0.0002	2643732	
LDR = Limite de détection rapportée Lot CQ = Lot contrôle qualité							



PARAMÈTRES CONVENTIONNELS (FILTRE)

ID Bureau Veritas		OJ0556	OJ0557	OJ0558		
Date d'échantillonnage		2025/01/13 00:00	2025/02/24 00:00	2025/02/12 00:00		
# Bordereau		170842	170842	170842		
	Unités	Blanc labo (MS5618-01)	GALA-250224-WIL-PM4-1	GALA-250212-WIL-PM4-2	LDR	Lot CQ

CONVENTIONNELS						
Poids du filtre	g	0.0199	0.0173	0.0229	0.0002	2643732
Poids du filtre avec poussières	g	0.0206	0.0176	0.0226	0.0002	2643732
Particules totales	g	0.0007	0.0003	<0.0002	0.0002	2643732
LDR = Limite de détection rapportée Lot CQ = Lot contrôle qualité						

ID Bureau Veritas		OJ0559	OJ0560	OJ0561		
Date d'échantillonnage		2025/02/24 00:00	2025/02/18 00:00	2025/02/12 00:00		
# Bordereau		170842	170842	170842		
	Unités	GALA-250224-WIL- PM2.5-2	GALA-250218-WIL- PM2.5-2	GALA-250212-WIL- PM2.5-2	LDR	Lot CQ

CONVENTIONNELS						
Poids du filtre	g	0.1430	0.1422	0.1428	0.0002	2643732
Poids du filtre avec poussières	g	0.1435	0.1427	0.1436	0.0002	2643732
Particules totales	g	0.0005	0.0005	0.0008	0.0002	2643732
LDR = Limite de détection rapportée Lot CQ = Lot contrôle qualité						

ID Bureau Veritas		OJ0562	OJ0563	OJ0564		
Date d'échantillonnage		2025/03/08 00:00	2025/03/08 00:00	2025/02/24 00:00		
# Bordereau		170842	170842	170842		
	Unités	GALA-250308-WIL-PM4-2	GALA-250308-WIL-PM4-1	GALA-250224-WIL-PM4-2	LDR	Lot CQ

CONVENTIONNELS						
Poids du filtre	g	0.0218	0.0221	0.0184	0.0002	2643732
Poids du filtre avec poussières	g	0.0226	0.0225	0.0189	0.0002	2643732
Particules totales	g	0.0008	0.0004	0.0005	0.0002	2643732
LDR = Limite de détection rapportée Lot CQ = Lot contrôle qualité						



PARAMÈTRES CONVENTIONNELS (FILTRE)

ID Bureau Veritas		OJ0565	OJ0566	OJ0567		
Date d'échantillonnage		2025/01/13 00:00	2025/01/13 00:00	2025/01/13 00:00		
# Bordereau		170842	170842	170842		
	Unités	Blanc terrain (NQ1294-01)	Blanc terrain (MS5639-01)	Blanc labo (NQ1277-01)	LDR	Lot CQ
CONVENTIONNELS						
Poids du filtre	g	0.1435	0.0172	0.1439	0.0002	2643732
Poids du filtre avec poussières	g	0.1436	0.0172	0.1440	0.0002	2643732
Particules totales	g	<0.0002	<0.0002	<0.0002	0.0002	2643732
LDR = Limite de détection rapportée Lot CQ = Lot contrôle qualité						



**BUREAU
VERITAS**

Dossier Bureau Veritas: C522998

Date du rapport: 2025/05/30

WSP Canada Inc. - Montréal

Votre # du projet: CA0012054.2069 phase 123

Adresse du site: Galaxy

REMARQUES GÉNÉRALES

PARAMÈTRES CONVENTIONNELS (FILTRE)

Particules Totales: Les résultats bruts non-arrondis sont utilisés dans le calcul des particules totales. Ce résultat total est alors arrondi à trois chiffres significatifs.

Particules Totales: Filtres blanc: (OJ0555, OJ0556, OJ0537, OJ0538), pesé 2 fois, confirmation du poids de particules à chacune des pesées. Les poids de particules sont plus grand que DL.

Particules Totales : Veuillez noter que les filtres des OJ0526, OJ0527, OJ0550 ont été endommagés. Possibilité de sous-estimation des résultats.

Les résultats ne se rapportent qu'aux échantillons soumis pour analyse



BUREAU
VERITAS

Dossier Bureau Veritas: C522998

Date du rapport: 2025/05/30

WSP Canada Inc. - Montréal

Votre # du projet: CA0012054.2069 phase 123

Adresse du site: Galaxy

RAPPORT ASSURANCE QUALITÉ

Lot AQ/CQ	Init	Type CQ	Groupe	Date Analysé	Valeur	Réc	Unités
2645445	ST5	Blanc fortifié	Antimoine (Sb) Air	2025/05/22		102	%
			Argent (Ag) Air	2025/05/22		101	%
			Arsenic (As) Air	2025/05/22		100	%
			Baryum (Ba) Air	2025/05/22		102	%
			Béryllium (Be) Air	2025/05/22		106	%
			Cadmium (Cd) Air	2025/05/22		99	%
			Chrome (Cr) Air	2025/05/22		99	%
			Cobalt (Co) Air	2025/05/22		100	%
			Cuivre (Cu) Air	2025/05/22		99	%
			Manganèse (Mn) Air	2025/05/22		100	%
			Nickel (Ni) Air	2025/05/22		100	%
			Plomb (Pb) Air	2025/05/22		98	%
			Sélénium (Se) Air	2025/05/22		102	%
			Thallium (Tl) Air	2025/05/22		99	%
			Vanadium (V) Air	2025/05/22		100	%
Zinc (Zn) Air	2025/05/22		100	%			
2645445	ST5	Blanc fortifié DUP	Antimoine (Sb) Air	2025/05/22		102	%
			Argent (Ag) Air	2025/05/22		102	%
			Arsenic (As) Air	2025/05/22		100	%
			Baryum (Ba) Air	2025/05/22		102	%
			Béryllium (Be) Air	2025/05/22		106	%
			Cadmium (Cd) Air	2025/05/22		99	%
			Chrome (Cr) Air	2025/05/22		99	%
			Cobalt (Co) Air	2025/05/22		99	%
			Cuivre (Cu) Air	2025/05/22		99	%
			Manganèse (Mn) Air	2025/05/22		99	%
			Nickel (Ni) Air	2025/05/22		100	%
			Plomb (Pb) Air	2025/05/22		99	%
			Sélénium (Se) Air	2025/05/22		103	%
			Thallium (Tl) Air	2025/05/22		99	%
			Vanadium (V) Air	2025/05/22		99	%
Zinc (Zn) Air	2025/05/22		99	%			
2645445	ST5	Blanc de méthode	Antimoine (Sb) Air	2025/05/22	<0.20		ug
			Argent (Ag) Air	2025/05/22	<0.30		ug
			Arsenic (As) Air	2025/05/22	<0.40		ug
			Baryum (Ba) Air	2025/05/22	<0.40		ug
			Béryllium (Be) Air	2025/05/22	<0.30		ug
			Cadmium (Cd) Air	2025/05/22	<0.20		ug
			Chrome (Cr) Air	2025/05/22	<0.90		ug
			Cobalt (Co) Air	2025/05/22	<0.30		ug
			Cuivre (Cu) Air	2025/05/22	<0.90		ug
			Manganèse (Mn) Air	2025/05/22	<0.90		ug
			Nickel (Ni) Air	2025/05/22	<2.0		ug
			Plomb (Pb) Air	2025/05/22	<0.40		ug
			Sélénium (Se) Air	2025/05/22	<0.50		ug
			Thallium (Tl) Air	2025/05/22	<0.050		ug
			Vanadium (V) Air	2025/05/22	<2.0		ug
Zinc (Zn) Air	2025/05/22	<9.0		ug			
2646154	CYU	Blanc fortifié	Antimoine (Sb) Air	2025/05/23		101	%
			Arsenic (As) Air	2025/05/23		97	%
			Baryum (Ba) Air	2025/05/23		97	%
			Béryllium (Be) Air	2025/05/23		104	%



BUREAU
VERITAS

Dossier Bureau Veritas: C522998

Date du rapport: 2025/05/30

WSP Canada Inc. - Montréal

Votre # du projet: CA0012054.2069 phase 123

Adresse du site: Galaxy

RAPPORT ASSURANCE QUALITÉ (SUITE)

Lot AQ/CQ	Init	Type CQ	Groupe	Date Analysé	Valeur	Réc	Unités
			Cadmium (Cd) Air	2025/05/23		98	%
			Chrome (Cr) Air	2025/05/23		95	%
			Cobalt (Co) Air	2025/05/23		96	%
			Cuivre (Cu) Air	2025/05/23		95	%
			Manganèse (Mn) Air	2025/05/23		97	%
			Nickel (Ni) Air	2025/05/23		96	%
			Plomb (Pb) Air	2025/05/23		97	%
			Sélénium (Se) Air	2025/05/23		101	%
			Thallium (Tl) Air	2025/05/23		97	%
			Vanadium (V) Air	2025/05/23		96	%
			Zinc (Zn) Air	2025/05/23		98	%
2646154	CYU	Blanc fortifié DUP	Antimoine (Sb) Air	2025/05/23		102	%
			Arsenic (As) Air	2025/05/23		98	%
			Baryum (Ba) Air	2025/05/23		98	%
			Béryllium (Be) Air	2025/05/23		105	%
			Cadmium (Cd) Air	2025/05/23		99	%
			Chrome (Cr) Air	2025/05/23		95	%
			Cobalt (Co) Air	2025/05/23		97	%
			Cuivre (Cu) Air	2025/05/23		96	%
			Manganèse (Mn) Air	2025/05/23		97	%
			Nickel (Ni) Air	2025/05/23		96	%
			Plomb (Pb) Air	2025/05/23		97	%
			Sélénium (Se) Air	2025/05/23		102	%
			Thallium (Tl) Air	2025/05/23		98	%
			Vanadium (V) Air	2025/05/23		97	%
			Zinc (Zn) Air	2025/05/23		99	%
2646154	CYU	Blanc de méthode	Antimoine (Sb) Air	2025/05/24	<0.20		ug
			Arsenic (As) Air	2025/05/24	<0.40		ug
			Baryum (Ba) Air	2025/05/24	<0.40		ug
			Béryllium (Be) Air	2025/05/24	<0.30		ug
			Cadmium (Cd) Air	2025/05/24	<0.20		ug
			Chrome (Cr) Air	2025/05/24	<0.90		ug
			Cobalt (Co) Air	2025/05/24	<0.30		ug
			Cuivre (Cu) Air	2025/05/24	<0.90		ug
			Manganèse (Mn) Air	2025/05/24	<0.90		ug
			Nickel (Ni) Air	2025/05/24	<2.0		ug
			Plomb (Pb) Air	2025/05/24	<0.40		ug
			Sélénium (Se) Air	2025/05/24	<0.50		ug
			Thallium (Tl) Air	2025/05/24	<0.050		ug
			Vanadium (V) Air	2025/05/24	<2.0		ug
			Zinc (Zn) Air	2025/05/24	<9.0		ug

Blanc fortifié: Un blanc, d'une matrice exempte de contaminants, auquel a été ajouté une quantité connue d'analyte provenant généralement d'une deuxième source. Utilisé pour évaluer la précision de la méthode.

Blanc de méthode: Une partie aliquote de matrice pure soumise au même processus analytique que les échantillons, du prétraitement au dosage. Sert à évaluer toutes contaminations du laboratoire.

Réc = Récupération



PAGE DES SIGNATURES DE VALIDATION

Les résultats analytiques ainsi que les données de contrôle-qualité contenus dans ce rapport ont été vérifiés et validés par:

Cansu Bolukbas

Membre OCO #2324-095

Cansu Bolukbas, B.Sc., Chimiste, Montréal, Analyste II



Mira El Masri, M.Sc. Chimiste, Montréal, Analyste II



Shu Yang, B.Sc. Chimiste, Montréal, Analyste II

Bureau Veritas a mis en place des procédures qui protègent contre l'utilisation non autorisée de la signature électronique et emploie les «signataires» requis, conformément à l'ISO/CEI17025. Pour la validation spécifique à un groupe de services, veuillez vous référer à la page des Signatures de validation si elle est incluse, sinon disponible sur demande. Pour les noms de validation des analystes/superviseurs spécifiques à un service, veuillez vous référer à la section Résumé de l'analyse si elle est incluse, sinon disponible sur demande. Ce rapport est autorisé par Aglaia Yannakis, Directrice générale, responsable des opérations du laboratoire Environnementale - Québec.



eCOC: Q170842



Expected TAT: Standard TAT
 Expected Arrival: 2025/05/09 17:00
 Submitted By: Yvan Quenum
 Submitted To: Montréal

Invoice Information

Attn: COMPTES PAYABLE
 WSP Canada Inc.
 1600 René-Lévesque O
 16e Étage
 Montréal, QC, H3H 1P9
 Email to:
 capayablesinvoice@wsp.com

Report Information

Attn: Francis Charbonneau
 WSP Canada Inc. - Montréal
 1600 René-Lévesque O
 local B110
 Montréal, QC, H3H 1P9
 Email to:
 francis.charbonneau@wsp.com
 yvan.quenum@wsp.com
 sylvain.marcoux@wsp.com

Project Information

Quote #: C40244
 PO/AFE#: CA0012054.2069 phase 123
 Project #: CA0012054.2069 phase 123
 Site Location: Galaxy

Analytical Summary

A: Standard TAT

Client Sample ID	Cnt Ref	Sampling Date/Time	Matrix	#Cont	Silica by XR (NIOSH 7500)-PVC Filter	Total Extractable Metals (Hi-vol)	Total Particulate	Total Particulate (Hi-VOL)	Set Number
GALA-250120-HV-1	1	2025/01/20 00:00	FILTER	1		A	A	A	1
GALA-250125-HV-1	2	2025/01/25 00:00	FILTER	1		A	A	A	1
GALA-250131-HV-1	3	2025/01/31 00:00	FILTER	1		A	A	A	1
GALA-250206-HV-1	4	2025/02/06 00:00	FILTER	1		A	A	A	1
GALA-250308-HV-1	5	2025/03/08 00:00	FILTER	1		A	A	A	1
GALA-250308-HV-2	6	2025/03/08 00:00	FILTER	1		A	A	A	1
GALA-250302-HV-1	7	2025/03/02 00:00	FILTER	1		A	A	A	1
GALA-250224-HV-1	8	2025/02/24 00:00	FILTER	1		A	A	A	2
GALA-250218-HV-1	9	2025/02/18 00:00	FILTER	1		A	A	A	2
GALA-250212-HV-1	10	2025/02/12 00:00	FILTER	1		A	A	A	2
GALA-250313-HV-Labo	11	2025/03/13 00:00	FILTER	1		A	A	A	2
GALA-250313-Blanc terrain - Station 1	12	2025/03/13 00:00	FILTER	1		A	A	A	2
GALA-250313-HV-Blanc terrain - Station 2	13	2025/03/13 00:00	FILTER	1		A	A	A	2
GALA-250120-WIL-PM2.5-2	14	2025/01/20 00:00	FILTER	1			A		3
GALA-250113-WIL-PM2.5-2	15	2025/01/13 00:00	FILTER	1			A		3
GALA-250131-WIL-PM2.5-2	16	2025/01/31 00:00	FILTER	1			A		3
GALA-250131-WIL-PM4-2	17	2025/01/31 00:00	FILTER	1		A	A		4
GALA-250125-WIL-PM2.5-2	18	2025/01/25 00:00	FILTER	1			A		3

Andreia Santos
 Andreia Santos
 2025/05/08 09:00
 Porolator wt 85u
 Jce: N
 Sed: N
 17, 18, 18



NOVA-2025-05-1056



Votre # du projet: C522998
Adresse du site: WSP CANADA

Attention: Sarah Beaudry

Bureau Veritas Laboratories
889, Montee de Liesse
Saint-Laurent, QC
Canada H4T 1P5

Date du rapport: 05/29/2025
Rapport: R8547760
Version: 1 - Finale

CERTIFICAT D'ANALYSE

DE DOSSIER BUREAU VERITAS: C558538

Reçu: 05/22/2025, 00:00

Matrice: Air
Nombre d'échantillons reçus: 17

Analyses	Quantité	Date Analysé	Méthode de laboratoire	Méthode d'analyse
Silica on a PVC filter by N7500	17	05/28/2025	NOV5SOP-00001	NIOSH 7500
Total Quartz and Cristobalite	17	05/29/2025		

Le présent rapport ne doit pas être reproduit, sinon dans son intégralité, sans le consentement écrit du laboratoire.
Les résultats ne se rapportent qu'aux échantillons analysés.

Lorsque la méthode de référence comprend un suffixe « m », cela signifie que la méthode d'analyse du laboratoire contient des modifications validées et appliquées afin d'améliorer la performance de la méthode de référence.

clé de cryptage

Megan Stupar
30 May 2025 11:49:49

COVERPAGECOMMENT1_IH
Megan Stupar,
Courriel: megan.stupar@bureauveritas.com
Téléphone (248) 344-1770

=====

Bureau Veritas a mis en place des procédures qui protègent contre l'utilisation non autorisée de la signature électronique et emploie les «signataires» requis, conformément à l'ISO/CEI17025. Ce rapport est autorisé par Shawn Heier, responsable des opérations du laboratoire de MichiganHygiène industrielle.



BUREAU
VERITAS

Dossier Bureau Veritas: C558538
Date du rapport: 05/29/2025

Bureau Veritas Laboratories
Votre # du projet: C522998
Adresse du site: WSP CANADA

RÉSULTATS D'ANALYSE

Client ID:	OJ0542-GALA-250131-WIL-PM4-2			Matrice:	Air
Identification Bureau Veritas:	ARCO09			Sample Media:	PVC 47 mm Untared
Date d'échantillonnage:	01/31/2025				
ANALYTE	Mass ug	concentration ug/m3	RL ug	Test Method	Date Analysé
Quartz	6.3	N/A	5.0	NIOSH 7500	05/28/2025
Cristobalite	<5.0	N/A	5.0	NIOSH 7500	05/28/2025
Tridymite	<10	N/A	10	NIOSH 7500	05/28/2025
Total (Quartz and Cristobalite)	<10	N/A	10		05/29/2025
LDR = limite de détection rapportée					
RL = Seuil de détection					

Client ID:	OJ0544-GALA-250120-WIL-PM4-2			Matrice:	Air
Identification Bureau Veritas:	ARCO10			Sample Media:	PVC 47 mm Untared
Date d'échantillonnage:	01/20/2025				
ANALYTE	Mass ug	concentration ug/m3	RL ug	Test Method	Date Analysé
Quartz	<5.0	N/A	5.0	NIOSH 7500	05/28/2025
Cristobalite	<5.0	N/A	5.0	NIOSH 7500	05/28/2025
Tridymite	<10	N/A	10	NIOSH 7500	05/28/2025
Total (Quartz and Cristobalite)	<10	N/A	10		05/29/2025
LDR = limite de détection rapportée					
RL = Seuil de détection					

Client ID:	OJ0545-GALA-250113-WIL-PM4-2			Matrice:	Air
Identification Bureau Veritas:	ARCO11			Sample Media:	PVC 47 mm Untared
Date d'échantillonnage:	01/13/2025				
ANALYTE	Mass ug	concentration ug/m3	RL ug	Test Method	Date Analysé
Quartz	<5.0	N/A	5.0	NIOSH 7500	05/28/2025
Cristobalite	<5.0	N/A	5.0	NIOSH 7500	05/28/2025
Tridymite	<10	N/A	10	NIOSH 7500	05/28/2025
Total (Quartz and Cristobalite)	<10	N/A	10		05/29/2025
LDR = limite de détection rapportée					
RL = Seuil de détection					



BUREAU
VERITAS

Dossier Bureau Veritas: C558538

Date du rapport: 05/29/2025

Bureau Veritas Laboratories

Votre # du projet: C522998

Adresse du site: WSP CANADA

RÉSULTATS D'ANALYSE

Client ID:	OJ0547-GALA-250125-WIL-PM4-2			Matrice:	Air
Identification Bureau Veritas:	ARCO12			Sample Media:	PVC 47 mm Untared
Date d'échantillonnage:	01/25/2025				
ANALYTE	Mass ug	concentration ug/m3	RL ug	Test Method	Date Analysé
Quartz	<5.0	N/A	5.0	NIOSH 7500	05/28/2025
Cristobalite	<5.0	N/A	5.0	NIOSH 7500	05/28/2025
Tridymite	<10	N/A	10	NIOSH 7500	05/28/2025
Total (Quartz and Cristobalite)	<10	N/A	10		05/29/2025
LDR = limite de détection rapportée					
RL = Seuil de détection					

Client ID:	OJ0548-GALA-250120-WIL-PM4-1			Matrice:	Air
Identification Bureau Veritas:	ARCO13			Sample Media:	PVC 47 mm Untared
Date d'échantillonnage:	01/20/2025				
ANALYTE	Mass ug	concentration ug/m3	RL ug	Test Method	Date Analysé
Quartz	<5.0	N/A	5.0	NIOSH 7500	05/28/2025
Cristobalite	<5.0	N/A	5.0	NIOSH 7500	05/28/2025
Tridymite	<10	N/A	10	NIOSH 7500	05/28/2025
Total (Quartz and Cristobalite)	<10	N/A	10		05/29/2025
LDR = limite de détection rapportée					
RL = Seuil de détection					

Client ID:	OJ0549-GALA-250131-WIL-PM4-1			Matrice:	Air
Identification Bureau Veritas:	ARCO14			Sample Media:	PVC 47 mm Untared
Date d'échantillonnage:	01/31/2025				
ANALYTE	Mass ug	concentration ug/m3	RL ug	Test Method	Date Analysé
Quartz	<5.0	N/A	5.0	NIOSH 7500	05/28/2025
Cristobalite	<5.0	N/A	5.0	NIOSH 7500	05/28/2025
Tridymite	<10	N/A	10	NIOSH 7500	05/28/2025
Total (Quartz and Cristobalite)	<10	N/A	10		05/29/2025
LDR = limite de détection rapportée					
RL = Seuil de détection					



BUREAU
VERITAS

Dossier Bureau Veritas: C558538
Date du rapport: 05/29/2025

Bureau Veritas Laboratories
Votre # du projet: C522998
Adresse du site: WSP CANADA

RÉSULTATS D'ANALYSE

Client ID:	OJ0550-GALA-250113-WIL-PM4-1			Matrice:	Air
Identification Bureau Veritas:	ARCO15			Sample Media:	PVC 47 mm Untared
Date d'échantillonnage:	01/13/2025				
ANALYTE	Mass ug	concentration ug/m3	RL ug	Test Method	Date Analysé
Quartz	<5.0	N/A	5.0	NIOSH 7500	05/28/2025
Cristobalite	<5.0	N/A	5.0	NIOSH 7500	05/28/2025
Tridymite	<10	N/A	10	NIOSH 7500	05/28/2025
Total (Quartz and Cristobalite)	<10	N/A	10		05/29/2025
LDR = limite de détection rapportée					
RL = Seuil de détection					

Client ID:	OJ0551-GALA-250125-WIL-PM4-1			Matrice:	Air
Identification Bureau Veritas:	ARCO16			Sample Media:	PVC 47 mm Untared
Date d'échantillonnage:	01/25/2025				
ANALYTE	Mass ug	concentration ug/m3	RL ug	Test Method	Date Analysé
Quartz	<5.0	N/A	5.0	NIOSH 7500	05/28/2025
Cristobalite	<5.0	N/A	5.0	NIOSH 7500	05/28/2025
Tridymite	<10	N/A	10	NIOSH 7500	05/28/2025
Total (Quartz and Cristobalite)	<10	N/A	10		05/29/2025
LDR = limite de détection rapportée					
RL = Seuil de détection					

Client ID:	OJ0552-GALA-250212-WIL-PM4-1			Matrice:	Air
Identification Bureau Veritas:	ARCO17			Sample Media:	PVC 47 mm Untared
Date d'échantillonnage:	02/12/2025				
ANALYTE	Mass ug	concentration ug/m3	RL ug	Test Method	Date Analysé
Quartz	<5.0	N/A	5.0	NIOSH 7500	05/28/2025
Cristobalite	<5.0	N/A	5.0	NIOSH 7500	05/28/2025
Tridymite	<10	N/A	10	NIOSH 7500	05/28/2025
Total (Quartz and Cristobalite)	<10	N/A	10		05/29/2025
LDR = limite de détection rapportée					
RL = Seuil de détection					



BUREAU
VERITAS

Dossier Bureau Veritas: C558538

Date du rapport: 05/29/2025

Bureau Veritas Laboratories

Votre # du projet: C522998

Adresse du site: WSP CANADA

RÉSULTATS D'ANALYSE

Client ID:	OJ0555-BLANC TERRAIN (MS5649-01)			Matrice:	Air
Identification Bureau Veritas:	ARCO18			Sample Media:	PVC 47 mm Untared
Date d'échantillonnage:	01/13/2025				
ANALYTE	Mass ug	concentration ug/m3	RL ug	Test Method	Date Analysé
Quartz	<5.0	N/A	5.0	NIOSH 7500	05/28/2025
Cristobalite	<5.0	N/A	5.0	NIOSH 7500	05/28/2025
Tridymite	<10	N/A	10	NIOSH 7500	05/28/2025
Total (Quartz and Cristobalite)	<10	N/A	10		05/29/2025
LDR = limite de détection rapportée					
RL = Seuil de détection					

Client ID:	OJ0556-BLANC LABO (MS5618-01)			Matrice:	Air
Identification Bureau Veritas:	ARCO19			Sample Media:	PVC 47 mm Untared
Date d'échantillonnage:	01/13/2025				
ANALYTE	Mass ug	concentration ug/m3	RL ug	Test Method	Date Analysé
Quartz	<5.0	N/A	5.0	NIOSH 7500	05/28/2025
Cristobalite	<5.0	N/A	5.0	NIOSH 7500	05/28/2025
Tridymite	<10	N/A	10	NIOSH 7500	05/28/2025
Total (Quartz and Cristobalite)	<10	N/A	10		05/29/2025
LDR = limite de détection rapportée					
RL = Seuil de détection					

Client ID:	OJ0557-GALA-250224-WIL-PM4-1			Matrice:	Air
Identification Bureau Veritas:	ARCO20			Sample Media:	PVC 47 mm Untared
Date d'échantillonnage:	02/24/2025				
ANALYTE	Mass ug	concentration ug/m3	RL ug	Test Method	Date Analysé
Quartz	<5.0	N/A	5.0	NIOSH 7500	05/28/2025
Cristobalite	<5.0	N/A	5.0	NIOSH 7500	05/28/2025
Tridymite	<10	N/A	10	NIOSH 7500	05/28/2025
Total (Quartz and Cristobalite)	<10	N/A	10		05/29/2025
LDR = limite de détection rapportée					
RL = Seuil de détection					



BUREAU
VERITAS

Dossier Bureau Veritas: C558538

Date du rapport: 05/29/2025

Bureau Veritas Laboratories

Votre # du projet: C522998

Adresse du site: WSP CANADA

RÉSULTATS D'ANALYSE

Client ID:	OJ0558-GALA-250212-WIL-PM4-2			Matrice:	Air
Identification Bureau Veritas:	ARCO21			Sample Media:	PVC 47 mm Untared
Date d'échantillonnage:	02/12/2025				
ANALYTE	Mass ug	concentration ug/m3	RL ug	Test Method	Date Analysé
Quartz	6.1	N/A	5.0	NIOSH 7500	05/28/2025
Cristobalite	<5.0	N/A	5.0	NIOSH 7500	05/28/2025
Tridymite	<10	N/A	10	NIOSH 7500	05/28/2025
Total (Quartz and Cristobalite)	<10	N/A	10		05/29/2025
LDR = limite de détection rapportée					
RL = Seuil de détection					

Client ID:	OJ0562-GALA-250308-WIL-PM4-2			Matrice:	Air
Identification Bureau Veritas:	ARCO22			Sample Media:	PVC 47 mm Untared
Date d'échantillonnage:	03/08/2025				
ANALYTE	Mass ug	concentration ug/m3	RL ug	Test Method	Date Analysé
Quartz	<5.0	N/A	5.0	NIOSH 7500	05/28/2025
Cristobalite	<5.0	N/A	5.0	NIOSH 7500	05/28/2025
Tridymite	<10	N/A	10	NIOSH 7500	05/28/2025
Total (Quartz and Cristobalite)	<10	N/A	10		05/29/2025
LDR = limite de détection rapportée					
RL = Seuil de détection					

Client ID:	OJ0563-GALA-250308-WIL-PM4-1			Matrice:	Air
Identification Bureau Veritas:	ARCO23			Sample Media:	PVC 47 mm Untared
Date d'échantillonnage:	03/08/2025				
ANALYTE	Mass ug	concentration ug/m3	RL ug	Test Method	Date Analysé
Quartz	<5.0	N/A	5.0	NIOSH 7500	05/28/2025
Cristobalite	<5.0	N/A	5.0	NIOSH 7500	05/28/2025
Tridymite	<10	N/A	10	NIOSH 7500	05/28/2025
Total (Quartz and Cristobalite)	<10	N/A	10		05/29/2025
LDR = limite de détection rapportée					
RL = Seuil de détection					



BUREAU
VERITAS

Dossier Bureau Veritas: C558538

Date du rapport: 05/29/2025

Bureau Veritas Laboratories

Votre # du projet: C522998

Adresse du site: WSP CANADA

RÉSULTATS D'ANALYSE

Client ID:	OJ0564-GALA-250224-WIL-PM4-2			Matrice:	Air
Identification Bureau Veritas:	ARCO24			Sample Media:	PVC 47 mm Untared
Date d'échantillonnage:	02/24/2025				
ANALYTE	Mass ug	concentration ug/m3	RL ug	Test Method	Date Analysé
Quartz	<5.0	N/A	5.0	NIOSH 7500	05/28/2025
Cristobalite	<5.0	N/A	5.0	NIOSH 7500	05/28/2025
Tridymite	<10	N/A	10	NIOSH 7500	05/28/2025
Total (Quartz and Cristobalite)	<10	N/A	10		05/29/2025
LDR = limite de détection rapportée					
RL = Seuil de détection					

Client ID:	OJ0566-BLANC TERRAIN (MS5639-01)			Matrice:	Air
Identification Bureau Veritas:	ARCO25			Sample Media:	PVC 47 mm Untared
Date d'échantillonnage:	01/13/2025				
ANALYTE	Mass ug	concentration ug/m3	RL ug	Test Method	Date Analysé
Quartz	<5.0	N/A	5.0	NIOSH 7500	05/28/2025
Cristobalite	<5.0	N/A	5.0	NIOSH 7500	05/28/2025
Tridymite	<10	N/A	10	NIOSH 7500	05/28/2025
Total (Quartz and Cristobalite)	<10	N/A	10		05/29/2025
LDR = limite de détection rapportée					
RL = Seuil de détection					



BUREAU
VERITAS

Dossier Bureau Veritas: C558538

Date du rapport: 05/29/2025

Bureau Veritas Laboratories

Votre # du projet: C522998

Adresse du site: WSP CANADA

REMARQUES GÉNÉRALES

À moins d'indication contraire ci-dessous, les énoncés suivants s'appliquent: 1) tous les échantillons ont été reçus dans un état acceptable, 2) tous les résultats du contrôle de la qualité associés à cet ensemble d'échantillons se situaient dans des limites acceptables et / ou n'ont pas d'incidence négative sur les résultats déclarés et 3) les résultats en matière d'hygiène industrielle n'ont pas été corrigés pour le blanc.

Le client a fourni ses données pertinentes de l'échantillonnage sur le terrain sur le document de demande d'analyse soumis avec les échantillons. Les résultats s'appliquent à l'échantillon tel qu'il a été reçu.

Les résultats s'appliquent seulement pour les paramètres analysés.



Sent to: Bureau Veritas North America Inc
 22345 Roethel Drive
 Novi, MI, 48375
 Tel: (248) 344-1770

BUREAU VERITAS INTERLAB CHAIN OF CUSTODY RECORD

COC # C522998-BVMI-02-01

REPORT INFORMATION							ANALYSIS REQUESTED										Job Barcode Label								
Company: Bureau Veritas							Silica by XRF (NIOSH 7500)-PVC Filter																		
Address: 889, Montée de Liesse, Saint-Laurent, Quebec, H4T 1P5																									
Contact Name: Sarah Beaudry																									
Email: Sarah.Beaudry@bureauveritas.com, SoustraitanceQue-YUL@bureauveritas.com																									
Phone: (438) 355-7268																									
BV Project #: C522998																									
Client Invoice To: WSP Canada Inc. (4934)																									
Client Report To: WSP Canada Inc. - Montréal (4040) Incl. on Report? Yes / No																									
#	SAMPLE ID	MATRIX	DATE SAMPLED (YYYY/MM/DD)	TIME SAMPLED (HH:MM)	SAMPLER INITIALS	# CONT.																	ADDITIONAL SAMPLE INFORMATION		
1	OJ0556-BLANC LABO (MS5618-01)	FILT	2025/01/13	00:00		1	X																(P: 01)		
2	OJ0557-GALA-250224-WIL-PM4-1	FILT	2025/02/24	00:00		1	X																(P: 01)		
3	OJ0558-GALA-250212-WIL-PM4-2	FILT	2025/02/12	00:00		1	X																(P: 01)		
4	OJ0562-GALA-250308-WIL-PM4-2	FILT	2025/03/08	00:00		1	X																(P: 01)		
5	OJ0563-GALA-250308-WIL-PM4-1	FILT	2025/03/08	00:00		1	X																(P: 01)		
6	OJ0564-GALA-250224-WIL-PM4-2	FILT	2025/02/24	00:00		1	X																(P: 01)		
7	OJ0566-BLANC TERRAIN (MS5639-01)	FILT	2025/01/13	00:00		1	X																(P: 01)		
8																									
9																									
10																									
SITE LOCATION:			REGULATORY CRITERIA				SPECIAL INSTRUCTIONS				REQUIRED EDDs		TURNAROUND TIME												
Galaxy			Guide 2021 Basses-Terres				Please inform Bureau Veritas immediately if you are not accredited for the requested test(s) or the hold time is approaching. **Please return a copy of this form with the report.**				National Excel (N001) Golder (Q001) Dessau Soprin Excel (Q004)		<input type="checkbox"/> Rush Required 2025/05/23 Date Required <i>Please inform us if rush charges will be incurred.</i>												
SITE #:																									
PROJECT #:																									
CA0012054.2069 phase 123																									
PO/A/E, TASK ORDER/SERVICE ORDER, LINE ITEM:																									
COOLER ID:			COOLER ID:				COOLER ID:				RECEIVING LAB USE ONLY		Bureau Veritas Job #												
	YES	NO	Temp: (°C)	1	2	3		YES	NO	Temp: (°C)					1	2	3		YES	NO	Temp: (°C)	1	2	3	
Custody Seal Present																									
Custody Seal Intact																									
Cooling Media Present																									
RELINQUISHED BY: (SIGN & PRINT)			DATE: (YYYY/MM/DD)		TIME: (HH:MM)		RECEIVED BY: (SIGN & PRINT)				DATE: (YYYY/MM/DD)		TIME: (HH:MM)												
1. VAT			2025-05-21		15:15		1. Luke Powell ACCEPTABLE				2025/05/22		1205												
2.							2.																		



Votre # du projet: CA0012054.2069 phase 123
Adresse du site: Galaxy
Votre # Bordereau: 170842

Attention: Francis Charbonneau

WSP Canada Inc. - Montréal
René-Lévesque
1600 René-Lévesque O
local B110
Montréal, QC
CANADA H3H 1P9

Date du rapport: 2025/08/01
Rapport: R3060673
Version: 2 - Révisé

CERTIFICAT D'ANALYSE – RÉVISÉ

DE DOSSIER BUREAU VERITAS: C522998

Reçu: 2025/05/08, 09:00

Matrice: Filtre
Nombre d'échantillons reçus: 42

Analyses	Quantité	Date de l' extraction	Date Analysé	Méthode de laboratoire	Méthode d'analyse
Particules totales	9	2025/05/15	2025/05/15	STL SOP-00045	MA100– Part 1.0 R8 m
Particules totales	19	2025/05/15	2025/05/16	STL SOP-00045	MA100– Part 1.0 R8 m
Particules totales	1	2025/05/16	2025/05/16	STL SOP-00045	MA100– Part 1.0 R8 m
Particules totales (Hi-VOL)	13	2025/05/15	2025/05/15	STL SOP-00045	MA100–Part. 1.0 R8 m
Métaux extractibles totaux (Hi-vol)	8	2025/05/21	2025/05/22	STL SOP-00062	MA.200–Mét. 1.2 R9 m
Métaux extractibles totaux (Hi-vol)	3	2025/05/22	2025/05/23	STL SOP-00062	MA.200–Mét. 1.2 R9 m
Métaux extractibles totaux (Hi-vol)	2	2025/05/22	2025/05/24	STL SOP-00062	MA.200–Mét. 1.2 R9 m
Silice par RX (NIOSH 7500)-Filtre PVC (1)	17	N/A	N/A	Crystalline Silica by NIOSH 7500	NIOSH 7500

Remarques:

Bureau Veritas est certifié ISO/IEC 17025 pour certains paramètres précis des portées d'accréditation. Sauf indication contraire, les méthodes d'analyses utilisées par Bureau Veritas s'inspirent des méthodes de référence d'organismes provinciaux, fédéraux et américains, tels que le CCME, l'EPA, l'APHA ou le ministère de l'environnement du Québec.

Toutes les analyses présentées ont été réalisées conformément aux procédures et aux pratiques relatives à la méthodologie, à l'assurance qualité et au contrôle de la qualité généralement appliqués par les employés de Bureau Veritas (sauf s'il en a été convenu autrement par écrit entre le client et Bureau Veritas). Toutes les données de laboratoire rencontrent les contrôles statistiques et respectent tous les critères de CQ et les critères de performance des méthodes, sauf s'il en a été signalé autrement. Tous les blancs de méthode sont rapportés, toutefois, les données des échantillons correspondants ne sont pas corrigées pour la valeur du blanc, sauf indication contraire. Le cas échéant, sauf indication contraire, l'incertitude de mesure n'a pas été prise en considération lors de la déclaration de la conformité à la norme de référence.

Les responsabilités de Bureau Veritas sont restreintes au coût réel de l'analyse, sauf s'il en a été convenu autrement par écrit. Il n'existe aucune autre garantie, explicite ou implicite. Le client a fait appel à Bureau Veritas pour l'analyse de ses échantillons conformément aux méthodes de référence mentionnées dans ce rapport. L'interprétation et l'utilisation des résultats sont sous l'entière responsabilité du client et ne font pas partie des services offerts par Bureau Veritas, sauf si convenu autrement par écrit. Bureau Veritas ne peut pas garantir l'exactitude des résultats qui dépendent des renseignements fournis par le client ou son représentant.

Les résultats des échantillons solides, sauf les biotes, sont rapportés en fonction de la masse sèche, sauf indication contraire. Les analyses organiques ne sont pas corrigées en fonction de la récupération, sauf pour les méthodes de dilution isotopique.

Les résultats s'appliquent seulement aux échantillons analysés. Si l'échantillonnage n'est pas effectué par Bureau Veritas, les résultats se rapportent aux échantillons fournis pour analyse.

Votre # du projet: CA0012054.2069 phase 123
Adresse du site: Galaxy
Votre # Bordereau: 170842

Attention: Francis Charbonneau

WSP Canada Inc. - Montréal
René-Lévesque
1600 René-Lévesque O
local B110
Montréal, QC
CANADA H3H 1P9

Date du rapport: 2025/08/01
Rapport: R3060673
Version: 2 - Révisé

CERTIFICAT D'ANALYSE – RÉVISÉ

DE DOSSIER BUREAU VERITAS: C522998

Reçu: 2025/05/08, 09:00

Le présent rapport ne doit pas être reproduit, sinon dans son intégralité, sans le consentement écrit du laboratoire.

Lorsque la méthode de référence comprend un suffixe « m », cela signifie que la méthode d'analyse du laboratoire contient des modifications validées et appliquées afin d'améliorer la performance de la méthode de référence.

Notez: Les données brutes sont utilisées pour le calcul du RPD (% d'écart relatif). L'arrondissement des résultats finaux peut expliquer la variation apparente.

(1) Cette analyse a été effectuée par Bureau Veritas North America Inc. (Michigan), 22345 Roethel Drive, Novi, MI, 48375

Note : Les paramètres inclus dans le présent certificat sont accrédités par le ministère de l'environnement du Québec, à moins d'indication contraire.

clé de cryptage



Theodore Scodras
Chargé de projets
04 Aug 2025 11:15:18

Veillez adresser toute question concernant ce certificat d'analyse à:

Sarah Beaudry, Chargée de projets
Courriel: Sarah.Beaudry@bureauveritas.com
Téléphone (438)355-7268

=====

Bureau Veritas a mis en place des procédures qui protègent contre l'utilisation non autorisée de la signature électronique et emploie les «signataires» requis, conformément à l'ISO/CEI17025. Pour la validation spécifique à un groupe de services, veuillez vous référer à la page des Signatures de validation si elle est incluse, sinon disponible sur demande. Pour les noms de validation des analystes/superviseurs spécifiques à un service, veuillez vous référer à la section Résumé de l'analyse si elle est incluse, sinon disponible sur demande. Ce rapport est autorisé par Aglaia Yannakis, Directrice générale, responsable des opérations du laboratoire Environnementale - Québec.



BUREAU
VERITAS

Dossier Bureau Veritas: C522998

Date du rapport: 2025/08/01

WSP Canada Inc. - Montréal

Votre # du projet: CA0012054.2069 phase 123

Adresse du site: Galaxy

MÉTAUX (FILTRE)

ID Bureau Veritas		OJ0526	OJ0527	OJ0528	OJ0529		
Date d'échantillonnage		2025/01/20 00:00	2025/01/25 00:00	2025/01/31 00:00	2025/02/06 00:00		
# Bordereau		170842	170842	170842	170842		
	Unités	GALA-250120-HV-1	GALA-250125-HV-1	GALA-250131-HV-1	GALA-250206-HV-1	LDR	Lot CQ

MÉTAUX							
Antimoine (Sb) Air	ug	0.26	0.38	0.45	0.34	0.20	2646154
Argent (Ag) Air	ug	<0.30	<0.30	<0.30	<0.30	0.30	2646154
Arsenic (As) Air	ug	<0.40	0.58	<0.40	0.44	0.40	2646154
Baryum (Ba) Air	ug	1.1	1.1	1.3	1.1	0.40	2646154
Béryllium (Be) Air	ug	<0.30	<0.30	<0.30	<0.30	0.30	2646154
Cadmium (Cd) Air	ug	<0.20	<0.20	<0.20	<0.20	0.20	2646154
Chrome (Cr) Air	ug	15	9.0	11	3.5	0.90	2646154
Cobalt (Co) Air †	ug	<0.30	<0.30	<0.30	<0.30	0.30	2646154
Cuivre (Cu) Air	ug	18	20	26	40	0.90	2646154
Manganèse (Mn) Air †	ug	1.7	1.4	1.4	0.96	0.90	2646154
Nickel (Ni) Air	ug	<2.0	<2.0	<2.0	<2.0	2.0	2646154
Plomb (Pb) Air	ug	0.44	1.5	1.7	1.3	0.40	2646154
Sélénium (Se) Air †	ug	<0.50	<0.50	<0.50	<0.50	0.50	2646154
Thallium (Tl) Air	ug	<0.050	<0.050	<0.050	<0.050	0.050	2646154
Vanadium (V) Air	ug	<2.0	<2.0	<2.0	<2.0	2.0	2646154
Zinc (Zn) Air	ug	<9.0	<9.0	<9.0	<9.0	9.0	2646154

LDR = Limite de détection rapportée

Lot CQ = Lot contrôle qualité

† Accréditation non existante pour ce paramètre



BUREAU
VERITAS

Dossier Bureau Veritas: C522998

Date du rapport: 2025/08/01

WSP Canada Inc. - Montréal

Votre # du projet: CA0012054.2069 phase 123

Adresse du site: Galaxy

MÉTAUX (FILTRE)

ID Bureau Veritas		OJ0530		OJ0531	OJ0532	OJ0533		
Date d'échantillonnage		2025/03/08 00:00		2025/03/08 00:00	2025/03/02 00:00	2025/02/24 00:00		
# Bordereau		170842		170842	170842	170842		
	Unités	GALA-250308-HV-1	Lot CQ	GALA-250308-HV-2	GALA-250302-HV-1	GALA-250224-HV-1	LDR	Lot CQ

MÉTAUX								
Antimoine (Sb) Air	ug	<0.20	2646154	0.24	0.33	0.45	0.20	2645445
Argent (Ag) Air	ug	<0.30	2646154	<0.30	<0.30	<0.30	0.30	2645445
Arsenic (As) Air	ug	<0.40	2646154	<0.40	<0.40	0.47	0.40	2645445
Baryum (Ba) Air	ug	0.76	2646154	1.4	1.2	1.2	0.40	2645445
Béryllium (Be) Air	ug	<0.30	2646154	<0.30	<0.30	<0.30	0.30	2645445
Cadmium (Cd) Air	ug	<0.20	2646154	<0.20	<0.20	<0.20	0.20	2645445
Chrome (Cr) Air	ug	7.4	2646154	3.9	9.5	4.9	0.90	2645445
Cobalt (Co) Air †	ug	<0.30	2646154	<0.30	<0.30	<0.30	0.30	2645445
Cuivre (Cu) Air	ug	1.6	2646154	68	42	39	0.90	2645445
Manganèse (Mn) Air †	ug	<0.90	2646154	2.3	1.4	1.4	0.90	2645445
Nickel (Ni) Air	ug	<2.0	2646154	<2.0	<2.0	<2.0	2.0	2645445
Plomb (Pb) Air	ug	<0.40	2646154	0.42	1.6	1.3	0.40	2645445
Sélénium (Se) Air †	ug	<0.50	2646154	<0.50	<0.50	<0.50	0.50	2645445
Thallium (Tl) Air	ug	<0.050	2646154	<0.050	<0.050	<0.050	0.050	2645445
Vanadium (V) Air	ug	<2.0	2646154	<2.0	<2.0	<2.0	2.0	2645445
Zinc (Zn) Air	ug	<9.0	2646154	<9.0	<9.0	9.5	9.0	2645445

LDR = Limite de détection rapportée

Lot CQ = Lot contrôle qualité

† Accréditation non existante pour ce paramètre



MÉTAUX (FILTRE)

ID Bureau Veritas		OJ0534	OJ0535	OJ0536	OJ0537		
Date d'échantillonnage		2025/02/18 00:00	2025/02/12 00:00	2025/03/13 00:00	2025/03/13 00:00		
# Bordereau		170842	170842	170842	170842		
	Unités	GALA-250218-HV-1	GALA-250212-HV-1	GALA-250313-HV-Labo	GALA-250313-Blanc terrain - Station 1	LDR	Lot CQ

MÉTAUX							
Antimoine (Sb) Air	ug	0.30	0.30	<0.20	<0.20	0.20	2645445
Argent (Ag) Air	ug	<0.30	<0.30	<0.30	<0.30	0.30	2645445
Arsenic (As) Air	ug	<0.40	<0.40	<0.40	<0.40	0.40	2645445
Baryum (Ba) Air	ug	1.6	0.83	0.66	0.78	0.40	2645445
Béryllium (Be) Air	ug	<0.30	<0.30	<0.30	<0.30	0.30	2645445
Cadmium (Cd) Air	ug	<0.20	<0.20	<0.20	<0.20	0.20	2645445
Chrome (Cr) Air	ug	4.9	9.1	8.4	6.2	0.90	2645445
Cobalt (Co) Air †	ug	<0.30	<0.30	<0.30	<0.30	0.30	2645445
Cuivre (Cu) Air	ug	93	73	2.5	<0.90	0.90	2645445
Manganèse (Mn) Air †	ug	<0.90	1.1	<0.90	<0.90	0.90	2645445
Nickel (Ni) Air	ug	<2.0	<2.0	<2.0	<2.0	2.0	2645445
Plomb (Pb) Air	ug	<0.40	0.89	0.98	0.49	0.40	2645445
Sélénium (Se) Air †	ug	<0.50	<0.50	<0.50	<0.50	0.50	2645445
Thallium (Tl) Air	ug	<0.050	<0.050	<0.050	<0.050	0.050	2645445
Vanadium (V) Air	ug	<2.0	<2.0	<2.0	<2.0	2.0	2645445
Zinc (Zn) Air	ug	<9.0	<9.0	<9.0	<9.0	9.0	2645445

LDR = Limite de détection rapportée

Lot CQ = Lot contrôle qualité

† Accréditation non existante pour ce paramètre



MÉTAUX (FILTRE)

ID Bureau Veritas		OJ0538		
Date d'échantillonnage		2025/03/13 00:00		
# Bordereau		170842		
	Unités	GALA-250313-HV- Blanc terrain – Station 2	LDR	Lot CQ

MÉTAUX				
Antimoine (Sb) Air	ug	<0.20	0.20	2645445
Argent (Ag) Air	ug	<0.30	0.30	2645445
Arsenic (As) Air	ug	<0.40	0.40	2645445
Baryum (Ba) Air	ug	0.80	0.40	2645445
Béryllium (Be) Air	ug	<0.30	0.30	2645445
Cadmium (Cd) Air	ug	<0.20	0.20	2645445
Chrome (Cr) Air	ug	3.4	0.90	2645445
Cobalt (Co) Air †	ug	<0.30	0.30	2645445
Cuivre (Cu) Air	ug	<0.90	0.90	2645445
Manganèse (Mn) Air †	ug	<0.90	0.90	2645445
Nickel (Ni) Air	ug	<2.0	2.0	2645445
Plomb (Pb) Air	ug	<0.40	0.40	2645445
Sélénium (Se) Air †	ug	<0.50	0.50	2645445
Thallium (Tl) Air	ug	<0.050	0.050	2645445
Vanadium (V) Air	ug	<2.0	2.0	2645445
Zinc (Zn) Air	ug	<9.0	9.0	2645445

LDR = Limite de détection rapportée

Lot CQ = Lot contrôle qualité

† Accréditation non existante pour ce paramètre



PARAMÈTRES CONVENTIONNELS (FILTRE)

ID Bureau Veritas		OJ0526	OJ0527	OJ0528	OJ0529		
Date d'échantillonnage		2025/01/20 00:00	2025/01/25 00:00	2025/01/31 00:00	2025/02/06 00:00		
# Bordereau		170842	170842	170842	170842		
	Unités	GALA-250120-HV-1	GALA-250125-HV-1	GALA-250131-HV-1	GALA-250206-HV-1	LDR	Lot CQ

CONVENTIONNELS							
Poids du filtre	g	3.511	3.501	3.500	3.502	0.001	2643372
Poids du filtre avec poussières	g	3.519	3.504	3.507	3.505	0.001	2643372
Particules totales	g	0.008	0.003	0.007	0.003	0.001	2643372
LDR = Limite de détection rapportée Lot CQ = Lot contrôle qualité							

ID Bureau Veritas		OJ0530	OJ0531	OJ0532	OJ0533		
Date d'échantillonnage		2025/03/08 00:00	2025/03/08 00:00	2025/03/02 00:00	2025/02/24 00:00		
# Bordereau		170842	170842	170842	170842		
	Unités	GALA-250308-HV-1	GALA-250308-HV-2	GALA-250302-HV-1	GALA-250224-HV-1	LDR	Lot CQ

CONVENTIONNELS							
Poids du filtre	g	3.278	3.270	3.506	3.510	0.001	2643372
Poids du filtre avec poussières	g	3.280	3.288	3.527	3.517	0.001	2643372
Particules totales	g	0.002	0.018	0.020	0.007	0.001	2643372
LDR = Limite de détection rapportée Lot CQ = Lot contrôle qualité							

ID Bureau Veritas		OJ0534	OJ0535	OJ0536	OJ0537		
Date d'échantillonnage		2025/02/18 00:00	2025/02/12 00:00	2025/03/13 00:00	2025/03/13 00:00		
# Bordereau		170842	170842	170842	170842		
	Unités	GALA-250218-HV-1	GALA-250212-HV-1	GALA-250313-HV-Labo	GALA-250313-Blanc terrain - Station 1	LDR	Lot CQ

CONVENTIONNELS							
Poids du filtre	g	3.500	3.511	3.271	3.272	0.001	2643372
Poids du filtre avec poussières	g	3.509	3.530	3.274	3.273	0.001	2643372
Particules totales	g	0.009	0.018	0.004	0.002	0.001	2643372
LDR = Limite de détection rapportée Lot CQ = Lot contrôle qualité							



PARAMÈTRES CONVENTIONNELS (FILTRE)

ID Bureau Veritas		OJ0538			OJ0539	OJ0540		
Date d'échantillonnage		2025/03/13 00:00			2025/01/20 00:00	2025/01/13 00:00		
# Bordereau		170842			170842	170842		
	Unités	GALA-250313-HV-Blanc terrain – Station 2	LDR	Lot CQ	GALA-250120-WIL-PM2.5-2	GALA-250113-WIL-PM2.5-2	LDR	Lot CQ

CONVENTIONNELS								
Poids du filtre	g	3.256	0.001	2643372	0.1426	0.1442	0.0002	2643729
Poids du filtre avec poussières	g	3.261	0.001	2643372	0.1432	0.1446	0.0002	2643729
Particules totales	g	0.005	0.001	2643372	0.0006	0.0004	0.0002	2643729

LDR = Limite de détection rapportée
Lot CQ = Lot contrôle qualité

ID Bureau Veritas		OJ0541	OJ0542	OJ0543		
Date d'échantillonnage		2025/01/31 00:00	2025/01/31 00:00	2025/01/25 00:00		
# Bordereau		170842	170842	170842		
	Unités	GALA-250131-WIL-PM2.5-2	GALA-250131-WIL-PM4-2	GALA-250125-WIL-PM2.5-2	LDR	Lot CQ

CONVENTIONNELS						
Poids du filtre	g	0.1420	0.0170	0.1422	0.0002	2643729
Poids du filtre avec poussières	g	0.1428	0.0177	0.1424	0.0002	2643729
Particules totales	g	0.0008	0.0007	0.0002	0.0002	2643729

LDR = Limite de détection rapportée
Lot CQ = Lot contrôle qualité

ID Bureau Veritas		OJ0544	OJ0545	OJ0546		
Date d'échantillonnage		2025/01/20 00:00	2025/01/13 00:00	2025/02/06 00:00		
# Bordereau		170842	170842	170842		
	Unités	GALA-250120-WIL-PM4-2	GALA-250113-WIL-PM4-2	GALA-250206-WIL-PM2.5-2	LDR	Lot CQ

CONVENTIONNELS						
Poids du filtre	g	0.0205	0.0205	0.1439	0.0002	2643729
Poids du filtre avec poussières	g	0.0207	0.0208	0.1438	0.0002	2643729
Particules totales	g	0.0002	0.0003	<0.0002	0.0002	2643729

LDR = Limite de détection rapportée
Lot CQ = Lot contrôle qualité



PARAMÈTRES CONVENTIONNELS (FILTRE)

ID Bureau Veritas		OJ0547		OJ0548	OJ0549		
Date d'échantillonnage		2025/01/25 00:00		2025/01/20 00:00	2025/01/31 00:00		
# Bordereau		170842		170842	170842		
	Unités	GALA-250125-WIL-PM4-2	Lot CQ	GALA-250120-WIL-PM4-1	GALA-250131-WIL-PM4-1	LDR	Lot CQ

CONVENTIONNELS							
Poids du filtre	g	0.0200	2643729	0.0196	0.0188	0.0002	2643732
Poids du filtre avec poussières	g	0.0206	2643729	0.0202	0.0192	0.0002	2643732
Particules totales	g	0.0006	2643729	0.0006	0.0004	0.0002	2643732
LDR = Limite de détection rapportée Lot CQ = Lot contrôle qualité							

ID Bureau Veritas		OJ0550	OJ0551	OJ0552		
Date d'échantillonnage		2025/01/13 00:00	2025/01/25 00:00	2025/02/12 00:00		
# Bordereau		170842	170842	170842		
	Unités	GALA-250113-WIL-PM4-1	GALA-250125-WIL-PM4-1	GALA-250212-WIL-PM4-1	LDR	Lot CQ

CONVENTIONNELS							
Poids du filtre	g	0.0181	0.0208	0.0165	0.0002	2643732	
Poids du filtre avec poussières	g	0.0184	0.0216	0.0172	0.0002	2643732	
Particules totales	g	0.0003	0.0008	0.0007	0.0002	2643732	
LDR = Limite de détection rapportée Lot CQ = Lot contrôle qualité							

ID Bureau Veritas		OJ0553	OJ0554	OJ0555		
Date d'échantillonnage		2025/03/08 00:00	2025/03/02 00:00	2025/01/13 00:00		
# Bordereau		170842	170842	170842		
	Unités	GALA-250308-WIL-PM2.5-2	GALA-250302-WIL-PM2.5-2	Blanc terrain (MS5649-01)	LDR	Lot CQ

CONVENTIONNELS							
Poids du filtre	g	0.1429	0.1422	0.0186	0.0002	2643732	
Poids du filtre avec poussières	g	0.1435	0.1428	0.0189	0.0002	2643732	
Particules totales	g	0.0006	0.0006	0.0003	0.0002	2643732	
LDR = Limite de détection rapportée Lot CQ = Lot contrôle qualité							



BUREAU
VERITAS

Dossier Bureau Veritas: C522998

Date du rapport: 2025/08/01

WSP Canada Inc. - Montréal

Votre # du projet: CA0012054.2069 phase 123

Adresse du site: Galaxy

PARAMÈTRES CONVENTIONNELS (FILTRE)

ID Bureau Veritas		OJ0556	OJ0557	OJ0558		
Date d'échantillonnage		2025/01/13 00:00	2025/02/24 00:00	2025/02/12 00:00		
# Bordereau		170842	170842	170842		
	Unités	Blanc labo (MS5618-01)	GALA-250224-WIL-PM4-1	GALA-250212-WIL-PM4-2	LDR	Lot CQ

CONVENTIONNELS						
Poids du filtre	g	0.0199	0.0173	0.0229	0.0002	2643732
Poids du filtre avec poussières	g	0.0206	0.0176	0.0226	0.0002	2643732
Particules totales	g	0.0007	0.0003	<0.0002	0.0002	2643732

LDR = Limite de détection rapportée

Lot CQ = Lot contrôle qualité

ID Bureau Veritas		OJ0559	OJ0560	OJ0561		
Date d'échantillonnage		2025/02/24 00:00	2025/02/18 00:00	2025/02/12 00:00		
# Bordereau		170842	170842	170842		
	Unités	GALA-250224-WIL- PM2.5-2	GALA-250218-WIL- PM2.5-2	GALA-250212-WIL- PM2.5-2	LDR	Lot CQ

CONVENTIONNELS						
Poids du filtre	g	0.1430	0.1422	0.1428	0.0002	2643732
Poids du filtre avec poussières	g	0.1435	0.1427	0.1436	0.0002	2643732
Particules totales	g	0.0005	0.0005	0.0008	0.0002	2643732

LDR = Limite de détection rapportée

Lot CQ = Lot contrôle qualité

ID Bureau Veritas		OJ0562	OJ0563	OJ0564		
Date d'échantillonnage		2025/03/08 00:00	2025/03/08 00:00	2025/02/24 00:00		
# Bordereau		170842	170842	170842		
	Unités	GALA-250308-WIL-PM4-2	GALA-250308-WIL-PM4-1	GALA-250224-WIL-PM4-2	LDR	Lot CQ

CONVENTIONNELS						
Poids du filtre	g	0.0218	0.0221	0.0184	0.0002	2643732
Poids du filtre avec poussières	g	0.0226	0.0225	0.0189	0.0002	2643732
Particules totales	g	0.0008	0.0004	0.0005	0.0002	2643732

LDR = Limite de détection rapportée

Lot CQ = Lot contrôle qualité



BUREAU
VERITAS

Dossier Bureau Veritas: C522998

Date du rapport: 2025/08/01

WSP Canada Inc. - Montréal

Votre # du projet: CA0012054.2069 phase 123

Adresse du site: Galaxy

PARAMÈTRES CONVENTIONNELS (FILTRE)

ID Bureau Veritas		OJ0565	OJ0566	OJ0567		
Date d'échantillonnage		2025/01/13 00:00	2025/01/13 00:00	2025/01/13 00:00		
# Bordereau		170842	170842	170842		
	Unités	Blanc terrain (NQ1294-01)	Blanc terrain (MS5639-01)	Blanc labo (NQ1277-01)	LDR	Lot CQ
CONVENTIONNELS						
Poids du filtre	g	0.1435	0.0172	0.1439	0.0002	2643732
Poids du filtre avec poussières	g	0.1436	0.0172	0.1440	0.0002	2643732
Particules totales	g	<0.0002	<0.0002	<0.0002	0.0002	2643732
LDR = Limite de détection rapportée						
Lot CQ = Lot contrôle qualité						



BUREAU
VERITAS

Dossier Bureau Veritas: C522998

Date du rapport: 2025/08/01

WSP Canada Inc. - Montréal

Votre # du projet: CA0012054.2069 phase 123

Adresse du site: Galaxy

REMARQUES GÉNÉRALES

PARAMÈTRES CONVENTIONNELS (FILTRE)

Particules Totales: Les résultats bruts non-arrondis sont utilisés dans le calcul des particules totales. Ce résultat total est alors arrondi à trois chiffres significatifs.

Particules Totales: Filtres blanc: (OJ0555, OJ0556, OJ0537, OJ0538), pesé 2 fois, confirmation du poids de particules à chacune des pesées. Les poids de particules sont plus grand que DL.

Particules Totales : Veuillez noter que les filtres des OJ0526, OJ0527, OJ0550 ont été endommagés. Possibilité de sous-estimation des résultats.

Les résultats ne se rapportent qu'aux échantillons soumis pour analyse



BUREAU
VERITAS

Dossier Bureau Veritas: C522998

Date du rapport: 2025/08/01

WSP Canada Inc. - Montréal

Votre # du projet: CA0012054.2069 phase 123

Adresse du site: Galaxy

RAPPORT ASSURANCE QUALITÉ

Lot AQ/CQ	Init	Type CQ	Groupe	Date Analysé	Valeur	Réc	Unités
2645445	ST5	Blanc fortifié	Antimoine (Sb) Air	2025/05/22		102	%
			Argent (Ag) Air	2025/05/22		101	%
			Arsenic (As) Air	2025/05/22		100	%
			Baryum (Ba) Air	2025/05/22		102	%
			Béryllium (Be) Air	2025/05/22		106	%
			Cadmium (Cd) Air	2025/05/22		99	%
			Chrome (Cr) Air	2025/05/22		99	%
			Cobalt (Co) Air	2025/05/22		100	%
			Cuivre (Cu) Air	2025/05/22		99	%
			Manganèse (Mn) Air	2025/05/22		100	%
			Nickel (Ni) Air	2025/05/22		100	%
			Plomb (Pb) Air	2025/05/22		98	%
			Sélénium (Se) Air	2025/05/22		102	%
			Thallium (Tl) Air	2025/05/22		99	%
			Vanadium (V) Air	2025/05/22		100	%
2645445	ST5	Blanc fortifié DUP	Zinc (Zn) Air	2025/05/22		100	%
			Antimoine (Sb) Air	2025/05/22		102	%
			Argent (Ag) Air	2025/05/22		102	%
			Arsenic (As) Air	2025/05/22		100	%
			Baryum (Ba) Air	2025/05/22		102	%
			Béryllium (Be) Air	2025/05/22		106	%
			Cadmium (Cd) Air	2025/05/22		99	%
			Chrome (Cr) Air	2025/05/22		99	%
			Cobalt (Co) Air	2025/05/22		99	%
			Cuivre (Cu) Air	2025/05/22		99	%
			Manganèse (Mn) Air	2025/05/22		99	%
			Nickel (Ni) Air	2025/05/22		100	%
			Plomb (Pb) Air	2025/05/22		99	%
			Sélénium (Se) Air	2025/05/22		103	%
			Thallium (Tl) Air	2025/05/22		99	%
2645445	ST5	Blanc de méthode	Vanadium (V) Air	2025/05/22		99	%
			Zinc (Zn) Air	2025/05/22		99	%
			Antimoine (Sb) Air	2025/05/22	<0.20		ug
			Argent (Ag) Air	2025/05/22	<0.30		ug
			Arsenic (As) Air	2025/05/22	<0.40		ug
			Baryum (Ba) Air	2025/05/22	<0.40		ug
			Béryllium (Be) Air	2025/05/22	<0.30		ug
			Cadmium (Cd) Air	2025/05/22	<0.20		ug
			Chrome (Cr) Air	2025/05/22	<0.90		ug
			Cobalt (Co) Air	2025/05/22	<0.30		ug
			Cuivre (Cu) Air	2025/05/22	<0.90		ug
			Manganèse (Mn) Air	2025/05/22	<0.90		ug
			Nickel (Ni) Air	2025/05/22	<2.0		ug
			Plomb (Pb) Air	2025/05/22	<0.40		ug
			Sélénium (Se) Air	2025/05/22	<0.50		ug
2646154	CYU	Blanc fortifié	Thallium (Tl) Air	2025/05/22	<0.050		ug
			Vanadium (V) Air	2025/05/22	<2.0		ug
			Zinc (Zn) Air	2025/05/22	<9.0		ug
			Antimoine (Sb) Air	2025/05/23		101	%
			Argent (Ag) Air	2025/05/23		100	%
			Arsenic (As) Air	2025/05/23		97	%
			Baryum (Ba) Air	2025/05/23		97	%



RAPPORT ASSURANCE QUALITÉ (SUITE)

Lot AQ/CQ	Init	Type CQ	Groupe	Date Analysé	Valeur	Réc	Unités
			Béryllium (Be) Air	2025/05/23		104	%
			Cadmium (Cd) Air	2025/05/23		98	%
			Chrome (Cr) Air	2025/05/23		95	%
			Cobalt (Co) Air	2025/05/23		96	%
			Cuivre (Cu) Air	2025/05/23		95	%
			Manganèse (Mn) Air	2025/05/23		97	%
			Nickel (Ni) Air	2025/05/23		96	%
			Plomb (Pb) Air	2025/05/23		97	%
			Sélénium (Se) Air	2025/05/23		101	%
			Thallium (Tl) Air	2025/05/23		97	%
			Vanadium (V) Air	2025/05/23		96	%
			Zinc (Zn) Air	2025/05/23		98	%
2646154	CYU	Blanc fortifié DUP	Antimoine (Sb) Air	2025/05/23		102	%
			Argent (Ag) Air	2025/05/23		101	%
			Arsenic (As) Air	2025/05/23		98	%
			Baryum (Ba) Air	2025/05/23		98	%
			Béryllium (Be) Air	2025/05/23		105	%
			Cadmium (Cd) Air	2025/05/23		99	%
			Chrome (Cr) Air	2025/05/23		95	%
			Cobalt (Co) Air	2025/05/23		97	%
			Cuivre (Cu) Air	2025/05/23		96	%
			Manganèse (Mn) Air	2025/05/23		97	%
			Nickel (Ni) Air	2025/05/23		96	%
			Plomb (Pb) Air	2025/05/23		97	%
			Sélénium (Se) Air	2025/05/23		102	%
			Thallium (Tl) Air	2025/05/23		98	%
			Vanadium (V) Air	2025/05/23		97	%
			Zinc (Zn) Air	2025/05/23		99	%
2646154	CYU	Blanc de méthode	Antimoine (Sb) Air	2025/05/24	<0.20		ug
			Argent (Ag) Air	2025/05/24	<0.30		ug
			Arsenic (As) Air	2025/05/24	<0.40		ug
			Baryum (Ba) Air	2025/05/24	<0.40		ug
			Béryllium (Be) Air	2025/05/24	<0.30		ug
			Cadmium (Cd) Air	2025/05/24	<0.20		ug
			Chrome (Cr) Air	2025/05/24	<0.90		ug
			Cobalt (Co) Air	2025/05/24	<0.30		ug
			Cuivre (Cu) Air	2025/05/24	<0.90		ug
			Manganèse (Mn) Air	2025/05/24	<0.90		ug
			Nickel (Ni) Air	2025/05/24	<2.0		ug
			Plomb (Pb) Air	2025/05/24	<0.40		ug
			Sélénium (Se) Air	2025/05/24	<0.50		ug
			Thallium (Tl) Air	2025/05/24	<0.050		ug
			Vanadium (V) Air	2025/05/24	<2.0		ug
			Zinc (Zn) Air	2025/05/24	<9.0		ug
<p>Blanc fortifié: Un blanc, d'une matrice exempte de contaminants, auquel a été ajouté une quantité connue d'analyte provenant généralement d'une deuxième source. Utilisé pour évaluer la précision de la méthode.</p> <p>Blanc de méthode: Une partie aliquote de matrice pure soumise au même processus analytique que les échantillons, du prétraitement au dosage. Sert à évaluer toutes contaminations du laboratoire.</p> <p>Réc = Récupération</p>							



BUREAU
VERITAS

Dossier Bureau Veritas: C522998

Date du rapport: 2025/08/01

WSP Canada Inc. - Montréal

Votre # du projet: CA0012054.2069 phase 123

Adresse du site: Galaxy

PAGE DES SIGNATURES DE VALIDATION

Les résultats analytiques ainsi que les données de contrôle-qualité contenus dans ce rapport ont été vérifiés et validés par:



Afifah

Afifah Naila Bestari, B. Sc. Chimiste, Montréal, Analyste II



Mira

Mira El Masri, M.Sc. Chimiste, Montréal, Analyste II



shYang

Shu Yang, B.Sc. Chimiste, Montréal, Analyste II

Bureau Veritas a mis en place des procédures qui protègent contre l'utilisation non autorisée de la signature électronique et emploie les «signataires» requis, conformément à l'ISO/CEI17025. Pour la validation spécifique à un groupe de services, veuillez vous référer à la page des Signatures de validation si elle est incluse, sinon disponible sur demande. Pour les noms de validation des analystes/superviseurs spécifiques à un service, veuillez vous référer à la section Résumé de l'analyse si elle est incluse, sinon disponible sur demande. Ce rapport est autorisé par Aglaia Yannakis, Directrice générale, responsable des opérations du laboratoire Environnementale - Québec.



eCOC: Q170842



Expected TAT: Standard TAT
 Expected Arrival: 2025/05/09 17:00
 Submitted By: Yvan Quenum
 Submitted To: Montréal

Invoice Information

Attn: COMPTES PAYABLE
 WSP Canada Inc.
 1600 René-Lévesque O
 16e Étage
 Montréal, QC, H3H 1P9
 Email to:
 capayablesinvoice@wsp.com

Report Information

Attn: Francis Charbonneau
 WSP Canada Inc. - Montréal
 1600 René-Lévesque O
 local B110
 Montréal, QC, H3H 1P9
 Email to:
 francis.charbonneau@wsp.com
 yvan.quenum@wsp.com
 sylvain.marcoux@wsp.com

Project Information

Quote #: C40244
 PO/AFE#: CA0012054.2069 phase 123
 Project #: CA0012054.2069 phase 123
 Site Location: Galaxy

Analytical Summary

A: Standard TAT

Client Sample ID	Cnt Ref	Sampling Date/Time	Matrix	#Cont	Silica by XR (NIOSH 7500)-PVC Filter	Total Extractable Metals (Hi-vol)	Total Particulate	Total Particulate (Hi-VOL)	Set Number
GALA-250120-HV-1	1	2025/01/20 00:00	FILTER	1		A	A	A	1
GALA-250125-HV-1	2	2025/01/25 00:00	FILTER	1		A	A	A	1
GALA-250131-HV-1	3	2025/01/31 00:00	FILTER	1		A	A	A	1
GALA-250206-HV-1	4	2025/02/06 00:00	FILTER	1		A	A	A	1
GALA-250308-HV-1	5	2025/03/08 00:00	FILTER	1		A	A	A	1
GALA-250308-HV-2	6	2025/03/08 00:00	FILTER	1		A	A	A	1
GALA-250302-HV-1	7	2025/03/02 00:00	FILTER	1		A	A	A	1
GALA-250224-HV-1	8	2025/02/24 00:00	FILTER	1		A	A	A	2
GALA-250218-HV-1	9	2025/02/18 00:00	FILTER	1		A	A	A	2
GALA-250212-HV-1	10	2025/02/12 00:00	FILTER	1		A	A	A	2
GALA-250313-HV-Labo	11	2025/03/13 00:00	FILTER	1		A	A	A	2
GALA-250313-Blanc terrain - Station 1	12	2025/03/13 00:00	FILTER	1		A	A	A	2
GALA-250313-HV-Blanc terrain - Station 2	13	2025/03/13 00:00	FILTER	1		A	A	A	2
GALA-250120-WIL-PM2.5-2	14	2025/01/20 00:00	FILTER	1			A		3
GALA-250113-WIL-PM2.5-2	15	2025/01/13 00:00	FILTER	1			A		3
GALA-250131-WIL-PM2.5-2	16	2025/01/31 00:00	FILTER	1			A		3
GALA-250131-WIL-PM4-2	17	2025/01/31 00:00	FILTER	1	A		A		4
GALA-250125-WIL-PM2.5-2	18	2025/01/25 00:00	FILTER	1			A		3

Andreia Santos
 Andreia Santos
 2025/05/08 09:00
 Porolator wt 85u
 Jce: N
 Sed: N
 17, 18, 18



NOVA-2025-05-1056



Votre # du projet: C529632
Adresse du site: WSP CANADA INC

Attention: Sarah Beaudry

Bureau Veritas Laboratories
889, Montee de Liesse
Saint-Laurent, QC
Canada H4T 1P5

Date du rapport: 06/26/2025
Rapport: R8565568
Version: 1 - Finale

CERTIFICAT D'ANALYSE

DE DOSSIER BUREAU VERITAS: C573731

Reçu: 06/20/2025, 15:25

Matrice: Air
Nombre d'échantillons reçus: 8

Analyses	Quantité	Date Analyisé	Méthode de laboratoire	Méthode d'analyse
Silica on a PVC filter by N7500	8	06/24/2025	NOV5SOP-00001	NIOSH 7500
Total Quartz and Cristobalite	8	06/26/2025		

Le présent rapport ne doit pas être reproduit, sinon dans son intégralité, sans le consentement écrit du laboratoire.
Les résultats ne se rapportent qu'aux échantillons analysés.

Lorsque la méthode de référence comprend un suffixe « m », cela signifie que la méthode d'analyse du laboratoire contient des modifications validées et appliquées afin d'améliorer la performance de la méthode de référence.

clé de cryptage

Natelie Todd

26 Jun 2025 17:07:08

COVERPAGECOMMENT1_IH

Megan Stupar,
Courriel: megan.stupar@bureauveritas.com
Téléphone (248) 344-1770

=====

Bureau Veritas a mis en place des procédures qui protègent contre l'utilisation non autorisée de la signature électronique et emploie les «signataires» requis, conformément à l'ISO/CEI17025. Ce rapport est autorisé par Shawn Heier, , responsable des opérations du laboratoire de MichiganHygiène industrielle.



BUREAU
VERITAS

Dossier Bureau Veritas: C573731

Date du rapport: 06/26/2025

Bureau Veritas Laboratories

Votre # du projet: C529632

Adresse du site: WSP CANADA INC

RÉSULTATS D'ANALYSE

Client ID:	OM1190-GALA-250314-WIL-PM4-1				Matrice:	Air
Identification Bureau Veritas:	ASEL31				Sample Media:	
Date d'échantillonnage:	03/14/2025					
ANALYTE	Mass ug	concentration ug/m3	RL ug	Test Method	Date Analysé	
Quartz	5.1	N/A	5.0	NIOSH 7500	06/24/2025	
Cristobalite	<5.0	N/A	5.0	NIOSH 7500	06/24/2025	
Tridymite	<10	N/A	10	NIOSH 7500	06/24/2025	
Total (Quartz and Cristobalite)	<10	N/A	10		06/26/2025	
LDR = limite de détection rapportée						
RL = Seuil de détection						

Client ID:	OM1191-GALA-250314-WIL-PM4-2				Matrice:	Air
Identification Bureau Veritas:	ASEL32				Sample Media:	
Date d'échantillonnage:	03/14/2025					
ANALYTE	Mass ug	concentration ug/m3	RL ug	Test Method	Date Analysé	
Quartz	<5.0	N/A	5.0	NIOSH 7500	06/24/2025	
Cristobalite	<5.0	N/A	5.0	NIOSH 7500	06/24/2025	
Tridymite	<10	N/A	10	NIOSH 7500	06/24/2025	
Total (Quartz and Cristobalite)	<10	N/A	10		06/26/2025	
LDR = limite de détection rapportée						
RL = Seuil de détection						

Client ID:	OM1194-GALA-250320-WIL-PM4-2				Matrice:	Air
Identification Bureau Veritas:	ASEL34				Sample Media:	
Date d'échantillonnage:	03/20/2025					
ANALYTE	Mass ug	concentration ug/m3	RL ug	Test Method	Date Analysé	
Quartz	<5.0	N/A	5.0	NIOSH 7500	06/24/2025	
Cristobalite	<5.0	N/A	5.0	NIOSH 7500	06/24/2025	
Tridymite	<10	N/A	10	NIOSH 7500	06/24/2025	
Total (Quartz and Cristobalite)	<10	N/A	10		06/26/2025	
LDR = limite de détection rapportée						
RL = Seuil de détection						



BUREAU
VERITAS

Dossier Bureau Veritas: C573731
Date du rapport: 06/26/2025

Bureau Veritas Laboratories
Votre # du projet: C529632
Adresse du site: WSP CANADA INC

RÉSULTATS D'ANALYSE

Client ID:	OM1195-GALA-250401-WIL-PM4-2				Matrice:	Air
Identification Bureau Veritas:	ASEL35				Sample Media:	
Date d'échantillonnage:	04/01/2025					
ANALYTE	Mass ug	concentration ug/m3	RL ug	Test Method	Date Analysé	
Quartz	<5.0	N/A	5.0	NIOSH 7500	06/24/2025	
Cristobalite	<5.0	N/A	5.0	NIOSH 7500	06/24/2025	
Tridymite	<10	N/A	10	NIOSH 7500	06/24/2025	
Total (Quartz and Cristobalite)	<10	N/A	10		06/26/2025	
LDR = limite de détection rapportée						
RL = Seuil de détection						

Client ID:	OM1196-GALA-250401-WIL-PM4-1				Matrice:	Air
Identification Bureau Veritas:	ASEL36				Sample Media:	
Date d'échantillonnage:	04/01/2025					
ANALYTE	Mass ug	concentration ug/m3	RL ug	Test Method	Date Analysé	
Quartz	<5.0	N/A	5.0	NIOSH 7500	06/24/2025	
Cristobalite	<5.0	N/A	5.0	NIOSH 7500	06/24/2025	
Tridymite	<10	N/A	10	NIOSH 7500	06/24/2025	
Total (Quartz and Cristobalite)	<10	N/A	10		06/26/2025	
LDR = limite de détection rapportée						
RL = Seuil de détection						

Client ID:	OM1197-GALA-250413-WIL-PM4-1				Matrice:	Air
Identification Bureau Veritas:	ASEL37				Sample Media:	
Date d'échantillonnage:	04/13/2025					
ANALYTE	Mass ug	concentration ug/m3	RL ug	Test Method	Date Analysé	
Quartz	<5.0	N/A	5.0	NIOSH 7500	06/24/2025	
Cristobalite	<5.0	N/A	5.0	NIOSH 7500	06/24/2025	
Tridymite	<10	N/A	10	NIOSH 7500	06/24/2025	
Total (Quartz and Cristobalite)	<10	N/A	10		06/26/2025	
LDR = limite de détection rapportée						
RL = Seuil de détection						



BUREAU
VERITAS

Dossier Bureau Veritas: C573731
Date du rapport: 06/26/2025

Bureau Veritas Laboratories
Votre # du projet: C529632
Adresse du site: WSP CANADA INC

RÉSULTATS D'ANALYSE

Client ID:	OM1198-GALA-250413-WIL-PM4-2				Matrice:	Air
Identification Bureau Veritas:	ASEL38				Sample Media:	
Date d'échantillonnage:	04/13/2025					
ANALYTE	Mass ug	concentration ug/m3	RL ug	Test Method	Date Analysé	
Quartz	<5.0	N/A	5.0	NIOSH 7500	06/24/2025	
Cristobalite	<5.0	N/A	5.0	NIOSH 7500	06/24/2025	
Tridymite	<10	N/A	10	NIOSH 7500	06/24/2025	
Total (Quartz and Cristobalite)	<10	N/A	10		06/26/2025	
LDR = limite de détection rapportée						
RL = Seuil de détection						

Client ID:	OM1199-GALA-250321-WIL-PM4-1				Matrice:	Air
Identification Bureau Veritas:	ASEL39				Sample Media:	
Date d'échantillonnage:	03/21/2025					
ANALYTE	Mass ug	concentration ug/m3	RL ug	Test Method	Date Analysé	
Quartz	15	N/A	5.0	NIOSH 7500	06/24/2025	
Cristobalite	<5.0	N/A	5.0	NIOSH 7500	06/24/2025	
Tridymite	<10	N/A	10	NIOSH 7500	06/24/2025	
Total (Quartz and Cristobalite)	15	N/A	10		06/26/2025	
LDR = limite de détection rapportée						
RL = Seuil de détection						



BUREAU
VERITAS

Dossier Bureau Veritas: C573731

Date du rapport: 06/26/2025

Bureau Veritas Laboratories

Votre # du projet: C529632

Adresse du site: WSP CANADA INC

REMARQUES GÉNÉRALES

À moins d'indication contraire ci-dessous, les énoncés suivants s'appliquent: 1) tous les échantillons ont été reçus dans un état acceptable, 2) tous les résultats du contrôle de la qualité associés à cet ensemble d'échantillons se situaient dans des limites acceptables et / ou n'ont pas d'incidence négative sur les résultats déclarés et 3) les résultats en matière d'hygiène industrielle n'ont pas été corrigés pour le blanc.

Le client a fourni ses données pertinentes de l'échantillonnage sur le terrain sur le document de demande d'analyse soumis avec les échantillons. Les résultats s'appliquent à l'échantillon tel qu'il a été reçu.

Échantillon ASEL39 [OM1199-GALA-250321-WIL-PM4-1] : The quartz result reported should be considered a maximum value, the quartz primary angle may include unresolved interferences.

Les résultats s'appliquent seulement pour les paramètres analysés.



Sent to: Bureau Veritas North America In
 22345 Roethel Drive
 Novi, MI, 48375
 Tel: (248) 344-1770

BUREAU VERITAS INTERLAB CHAIN OF CUSTODY RECORD

COC # C529632-BVMI-01-01

REPORT INFORMATION							ANALYSIS REQUESTED										Job Barcode Label																																																																																															
Company: Bureau Veritas							Silica by XR (NIOSH 7500)-PVC Filter										Job Barcode Label																																																																																															
Address: 889, Montée de Liesse, Saint-Laurent, Quebec, H4T 1P5																																																																																																																
Contact Name: Sarah Beaudry																																																																																																																
Email: Sarah.Beaudry@bureauveritas.com, SoustraitanceQue-YUL@bureauveritas.com																																																																																																																
Phone: (438) 355-7268																																																																																																																
BV Project #: C529632																																																																																																																
Client Invoice To: WSP Canada Inc. (4934)																																																																																																																
Client Report To: WSP Canada Inc. - Montréal (4040) Incl. on Report? Yes / No																																																																																																																
#	SAMPLE ID	MATRIX	DATE SAMPLED (YYYY/MM/DD)	TIME SAMPLED (HH:MM)	SAMPLER INITIALS	# CONT.															ADDITIONAL SAMPLE INFORMATION																																																																																											
1	OM1190-GALA-250314-WIL-PM4-1	FILT	2025/03/14	00:00		1	X														(P: 01)																																																																																											
2	OM1191-GALA-250314-WIL-PM4-2	FILT	2025/03/14	00:00		1	X														(P: 01)																																																																																											
3	OM1194-GALA-250320-WIL-PM4-2	FILT	2025/03/20	00:00		1	X														(P: 01)																																																																																											
4	OM1195-GALA-250401-WIL-PM4-2	FILT	2025/04/01	00:00		1	X														(P: 01)																																																																																											
5	OM1196-GALA-250401-WIL-PM4-1	FILT	2025/04/01	00:00		1	X														(P: 01)																																																																																											
6	OM1197-GALA-250413-WIL-PM4-1	FILT	2025/04/13	00:00		1	X														(P: 01)																																																																																											
7	OM1198-GALA-250413-WIL-PM4-2	FILT	2025/04/13	00:00		1	X														(P: 01)																																																																																											
8	OM1199-GALA-250321-WIL-PM4-1	FILT	2025/03/21	00:00		1	X														(P: 01)																																																																																											
9																																																																																																																
10																																																																																																																
SITE LOCATION:			REGULATORY CRITERIA				SPECIAL INSTRUCTIONS				REQUIRED EDDs			TURNAROUND TIME																																																																																																		
Galaxy			Guide 2021 Basses-Terres				Please inform Bureau Veritas immediately if you are not accredited for the requested test(s) or the hold time is approaching. **Please return a copy of this form with the report.**				National Excel (N001) Golder (Q001) Dessau Soprin Excel (Q004)			<input type="checkbox"/> Rush Required 2025/06/20 Date Required <i>Please inform us if rush charges will be incurred.</i>																																																																																																		
SITE #:																																																																																																																
PROJECT #:																																																																																																																
CA0012054.2069 phase 123																																																																																																																
PO/AFE, TASK ORDER/SERVICE ORDER, LINE ITEM:																																																																																																																
COOLER ID:			COOLER ID:				COOLER ID:				RECEIVING LAB USE ONLY																																																																																																					
<table border="1"> <tr><th></th><th>YES</th><th>NO</th><th rowspan="4">Temp: (°C)</th><th>1</th><th>2</th><th>3</th></tr> <tr><td>Custody Seal Present</td><td></td><td></td><td></td><td></td><td></td><td></td></tr> <tr><td>Custody Seal Intact</td><td></td><td></td><td></td><td></td><td></td><td></td></tr> <tr><td>Cooling Media Present</td><td></td><td></td><td></td><td></td><td></td><td></td></tr> </table>				YES	NO	Temp: (°C)	1	2	3	Custody Seal Present							Custody Seal Intact							Cooling Media Present							<table border="1"> <tr><th></th><th>YES</th><th>NO</th><th rowspan="4">Temp: (°C)</th><th>1</th><th>2</th><th>3</th></tr> <tr><td>Custody Seal Present</td><td></td><td></td><td></td><td></td><td></td><td></td></tr> <tr><td>Custody Seal Intact</td><td></td><td></td><td></td><td></td><td></td><td></td></tr> <tr><td>Cooling Media Present</td><td></td><td></td><td></td><td></td><td></td><td></td></tr> </table>					YES	NO	Temp: (°C)	1	2	3	Custody Seal Present							Custody Seal Intact							Cooling Media Present							<table border="1"> <tr><th></th><th>YES</th><th>NO</th><th rowspan="4">Temp: (°C)</th><th>1</th><th>2</th><th>3</th></tr> <tr><td>Custody Seal Present</td><td></td><td></td><td></td><td></td><td></td><td></td></tr> <tr><td>Custody Seal Intact</td><td></td><td></td><td></td><td></td><td></td><td></td></tr> <tr><td>Cooling Media Present</td><td></td><td></td><td></td><td></td><td></td><td></td></tr> </table>					YES	NO	Temp: (°C)	1	2	3	Custody Seal Present							Custody Seal Intact							Cooling Media Present							<table border="1"> <tr><th colspan="7">Bureau Veritas Job #</th></tr> <tr><td colspan="7" style="text-align: center; font-size: 2em;">C529632</td></tr> </table>				Bureau Veritas Job #							C529632						
	YES	NO	Temp: (°C)	1	2		3																																																																																																									
Custody Seal Present																																																																																																																
Custody Seal Intact																																																																																																																
Cooling Media Present																																																																																																																
	YES	NO	Temp: (°C)	1	2	3																																																																																																										
Custody Seal Present																																																																																																																
Custody Seal Intact																																																																																																																
Cooling Media Present																																																																																																																
	YES	NO	Temp: (°C)	1	2	3																																																																																																										
Custody Seal Present																																																																																																																
Custody Seal Intact																																																																																																																
Cooling Media Present																																																																																																																
Bureau Veritas Job #																																																																																																																
C529632																																																																																																																
RELINQUISHED BY: (SIGN & PRINT)			DATE: (YYYY/MM/DD)		TIME: (HH:MM)		RECEIVED BY: (SIGN & PRINT)				DATE: (YYYY/MM/DD)		TIME: (HH:MM)																																																																																																			
1. <i>Zhen Hu</i>			2025/06/19		11:40		1. <i>Luke Powell</i> ACCEPTABLE				2025/06/20		1238																																																																																																			
2.							2.																																																																																																									

Votre # du projet: CA0012054.2069 phase 123
Adresse du site: Galaxy
Votre # Bordereau: 174245

Attention: Francis Charbonneau

WSP Canada Inc. - Montréal
René-Lévesque
1600 René-Lévesque O
local B110
Montréal, QC
CANADA H3H 1P9

Date du rapport: 2025/06/27
Rapport: R3050951
Version: 1 - Finale

CERTIFICAT D'ANALYSES

DE DOSSIER BUREAU VERITAS: C529632

Reçu: 2025/06/05, 09:00

Matrice: Filtre
Nombre d'échantillons reçus: 21

Analyses	Quantité	Date de l' extraction	Date Analyisé	Méthode de laboratoire	Méthode d'analyse
Particules totales	10	2025/06/07	2025/06/07	STL SOP-00045	MA100– Part 1.0 R8 m
Particules totales (Hi-VOL)	11	2025/06/10	2025/06/10	STL SOP-00045	MA100–Part. 1.0 R8 m
Métaux extractibles totaux (Hi-vol)	11	2025/06/16	2025/06/17	STL SOP-00062	MA.200–Mét. 1.2 R9 m
Silice par RX (NIOSH 7500)-Filtre PVC (1)	8	N/A	N/A	Crystalline Silica by NIOSH 7500	NIOSH 7500

Remarques:

Bureau Veritas est certifié ISO/IEC 17025 pour certains paramètres précis des portées d'accréditation. Sauf indication contraire, les méthodes d'analyses utilisées par Bureau Veritas s'inspirent des méthodes de référence d'organismes provinciaux, fédéraux et américains, tels que le CCME, l'EPA, l'APHA ou le ministère de l'environnement du Québec.

Toutes les analyses présentées ont été réalisées conformément aux procédures et aux pratiques relatives à la méthodologie, à l'assurance qualité et au contrôle de la qualité généralement appliqués par les employés de Bureau Veritas (sauf s'il en a été convenu autrement par écrit entre le client et Bureau Veritas). Toutes les données de laboratoire rencontrent les contrôles statistiques et respectent tous les critères de CQ et les critères de performance des méthodes, sauf s'il en a été signalé autrement. Tous les blancs de méthode sont rapportés, toutefois, les données des échantillons correspondants ne sont pas corrigées pour la valeur du blanc, sauf indication contraire. Le cas échéant, sauf indication contraire, l'incertitude de mesure n'a pas été prise en considération lors de la déclaration de la conformité à la norme de référence.

Les responsabilités de Bureau Veritas sont restreintes au coût réel de l'analyse, sauf s'il en a été convenu autrement par écrit. Il n'existe aucune autre garantie, explicite ou implicite. Le client a fait appel à Bureau Veritas pour l'analyse de ses échantillons conformément aux méthodes de référence mentionnées dans ce rapport. L'interprétation et l'utilisation des résultats sont sous l'entière responsabilité du client et ne font pas partie des services offerts par Bureau Veritas, sauf si convenu autrement par écrit. Bureau Veritas ne peut pas garantir l'exactitude des résultats qui dépendent des renseignements fournis par le client ou son représentant.

Les résultats des échantillons solides, sauf les biotes, sont rapportés en fonction de la masse sèche, sauf indication contraire. Les analyses organiques ne sont pas corrigées en fonction de la récupération, sauf pour les méthodes de dilution isotopique.

Les résultats s'appliquent seulement aux échantillons analysés. Si l'échantillonnage n'est pas effectué par Bureau Veritas, les résultats se rapportent aux échantillons fournis pour analyse.

Le présent rapport ne doit pas être reproduit, sinon dans son intégralité, sans le consentement écrit du laboratoire.

Lorsque la méthode de référence comprend un suffixe « m », cela signifie que la méthode d'analyse du laboratoire contient des modifications validées et appliquées afin d'améliorer la performance de la méthode de référence.

Notez: Les données brutes sont utilisées pour le calcul du RPD (% d'écart relatif). L'arrondissement des résultats finaux peut expliquer la variation apparente.

Votre # du projet: CA0012054.2069 phase 123
Adresse du site: Galaxy
Votre # Bordereau: 174245

Attention: Francis Charbonneau

WSP Canada Inc. - Montréal
René-Lévesque
1600 René-Lévesque O
local B110
Montréal, QC
CANADA H3H 1P9

Date du rapport: 2025/06/27
Rapport: R3050951
Version: 1 - Finale

CERTIFICAT D'ANALYSES

DE DOSSIER BUREAU VERITAS: C529632

Reçu: 2025/06/05, 09:00

(1) Cette analyse a été effectuée par Bureau Veritas North America Inc.(Michigan), 22345 Roethel Drive , Novi, MI, 48375

Note : Les paramètres inclus dans le présent certificat sont accrédités par le ministère de l'environnement du Québec, à moins d'indication contraire.

clé de cryptage



AUTHORIZED REPORT
RAPPORT AUTORISÉ

Bureau Veritas

27 Jun 2025 08:51:39

Veillez adresser toute question concernant ce certificat d'analyse à:

Sarah Beaudry, Chargée de projets
Courriel: Sarah.Beaudry@bureauveritas.com
Téléphone (438)355-7268

=====
Ce rapport a été produit et distribué en utilisant une procédure automatisée sécuritaire.

Bureau Veritas a mis en place des procédures qui protègent contre l'utilisation non autorisée de la signature électronique et emploie les «signataires» requis, conformément à l'ISO/CEI17025. Pour la validation spécifique à un groupe de services, veuillez vous référer à la page des Signatures de validation si elle est incluse, sinon disponible sur demande. Pour les noms de validation des analystes/superviseurs spécifiques à un service, veuillez vous référer à la section Résumé de l'analyse si elle est incluse, sinon disponible sur demande. Ce rapport est autorisé par Aglaia Yannakis, Directrice générale, responsable des opérations du laboratoire Environnementale - Québec.



MÉTAUX (FILTRE)

ID Bureau Veritas		OM1179	OM1180	OM1181	OM1182		
Date d'échantillonnage		2025/04/13 00:00	2025/04/13 00:00	2025/04/08 00:00	2025/04/08 00:00		
# Bordereau		174245	174245	174245	174245		
	Unités	GALA-250413-HV-1	GALA-250413-HV-2	GALA-250408-HV-1	GALA-250408-HV-2	LDR	Lot CQ

MÉTAUX							
Antimoine (Sb) Air	ug	0.35	0.45	<0.20	<0.20	0.20	2656399
Arsenic (As) Air	ug	0.93	2.0	<0.40	0.51	0.40	2656399
Baryum (Ba) Air	ug	2.7	4.1	1.4	1.9	0.40	2656399
Béryllium (Be) Air	ug	<0.30	<0.30	<0.30	<0.30	0.30	2656399
Cadmium (Cd) Air	ug	<0.20	<0.20	<0.20	<0.20	0.20	2656399
Chrome (Cr) Air	ug	2.8	2.9	3.4	5.5	0.90	2656399
Cobalt (Co) Air †	ug	<0.30	<0.30	<0.30	<0.30	0.30	2656399
Cuivre (Cu) Air	ug	65	54	54	67	0.90	2656399
Manganèse (Mn) Air †	ug	5.3	8.0	1.8	3.8	0.90	2656399
Nickel (Ni) Air	ug	<2.0	<2.0	<2.0	<2.0	2.0	2656399
Plomb (Pb) Air	ug	1.6	3.2	0.69	0.79	0.40	2656399
Sélénium (Se) Air †	ug	0.57	0.97	<0.50	<0.50	0.50	2656399
Thallium (Tl) Air	ug	<0.050	<0.050	<0.050	<0.050	0.050	2656399
Vanadium (V) Air	ug	<2.0	<2.0	<2.0	<2.0	2.0	2656399
Zinc (Zn) Air	ug	12	16	<9.0	<9.0	9.0	2656399

LDR = Limite de détection rapportée

Lot CQ = Lot contrôle qualité

† Accréditation non existante pour ce paramètre



MÉTAUX (FILTRE)

ID Bureau Veritas		OM1183	OM1184	OM1185	OM1186		
Date d'échantillonnage		2025/04/01 00:00	2025/04/01 00:00	2025/03/26 00:00	2025/03/26 00:00		
# Bordereau		174245	174245	174245	174245		
	Unités	GALA-250401-HV-1	GALA-250401-HV-2	GALA-250326-HV-1	GALA-250326-HV-2	LDR	Lot CQ

MÉTAUX							
Antimoine (Sb) Air	ug	0.26	<0.20	<0.20	<0.20	0.20	2656399
Argent (Ag) Air	ug	N/A	N/A	N/A	<0.30	0.30	2656399
Arsenic (As) Air	ug	0.57	0.43	<0.40	<0.40	0.40	2656399
Baryum (Ba) Air	ug	2.0	3.4	2.4	1.4	0.40	2656399
Béryllium (Be) Air	ug	<0.30	<0.30	<0.30	<0.30	0.30	2656399
Cadmium (Cd) Air	ug	<0.20	<0.20	<0.20	<0.20	0.20	2656399
Chrome (Cr) Air	ug	5.5	8.8	7.5	6.0	0.90	2656399
Cobalt (Co) Air †	ug	<0.30	<0.30	<0.30	<0.30	0.30	2656399
Cuivre (Cu) Air	ug	72	42	66	96	0.90	2656399
Manganèse (Mn) Air †	ug	2.3	6.9	4.0	1.9	0.90	2656399
Nickel (Ni) Air	ug	<2.0	<2.0	<2.0	<2.0	2.0	2656399
Plomb (Pb) Air	ug	1.1	0.78	0.60	0.52	0.40	2656399
Sélénium (Se) Air †	ug	<0.50	<0.50	<0.50	<0.50	0.50	2656399
Thallium (Tl) Air	ug	<0.050	<0.050	<0.050	<0.050	0.050	2656399
Vanadium (V) Air	ug	<2.0	<2.0	<2.0	<2.0	2.0	2656399
Zinc (Zn) Air	ug	9.6	13	<9.0	<9.0	9.0	2656399

LDR = Limite de détection rapportée

Lot CQ = Lot contrôle qualité

N/A = Non Applicable

† Accréditation non existante pour ce paramètre



MÉTAUX (FILTRE)

ID Bureau Veritas		OM1187	OM1188	OM1189		
Date d'échantillonnage		2025/03/21 00:00	2025/03/21 00:00	2025/03/14 00:00		
# Bordereau		174245	174245	174245		
	Unités	GALA-250321-HV-1	GALA-250321-HV-2	GALA-250314-HV-2	LDR	Lot CQ

MÉTAUX						
Antimoine (Sb) Air	ug	0.23	<0.20	<0.20	0.20	2656399
Argent (Ag) Air	ug	<0.30	<0.30	<0.30	0.30	2656399
Arsenic (As) Air	ug	0.72	0.72	0.40	0.40	2656399
Baryum (Ba) Air	ug	2.1	3.5	2.0	0.40	2656399
Béryllium (Be) Air	ug	<0.30	<0.30	<0.30	0.30	2656399
Cadmium (Cd) Air	ug	<0.20	<0.20	<0.20	0.20	2656399
Chrome (Cr) Air	ug	12	7.2	2.3	0.90	2656399
Cobalt (Co) Air †	ug	<0.30	<0.30	<0.30	0.30	2656399
Cuivre (Cu) Air	ug	76	91	29	0.90	2656399
Manganèse (Mn) Air †	ug	4.4	5.5	3.8	0.90	2656399
Nickel (Ni) Air	ug	<2.0	<2.0	<2.0	2.0	2656399
Plomb (Pb) Air	ug	2.6	2.3	0.64	0.40	2656399
Sélénium (Se) Air †	ug	<0.50	<0.50	<0.50	0.50	2656399
Thallium (Tl) Air	ug	<0.050	<0.050	<0.050	0.050	2656399
Vanadium (V) Air	ug	<2.0	<2.0	<2.0	2.0	2656399
Zinc (Zn) Air	ug	11	11	<9.0	9.0	2656399

LDR = Limite de détection rapportée

Lot CQ = Lot contrôle qualité

† Accréditation non existante pour ce paramètre



PARAMÈTRES CONVENTIONNELS (FILTRE)

ID Bureau Veritas		OM1179	OM1180	OM1181	OM1182		
Date d'échantillonnage		2025/04/13 00:00	2025/04/13 00:00	2025/04/08 00:00	2025/04/08 00:00		
# Bordereau		174245	174245	174245	174245		
	Unités	GALA-250413-HV-1	GALA-250413-HV-2	GALA-250408-HV-1	GALA-250408-HV-2	LDR	Lot CQ

CONVENTIONNELS							
Poids du filtre	g	3.630	3.637	3.503	3.490	0.001	2653335
Poids du filtre avec poussières	g	3.647	3.669	3.507	3.526	0.001	2653335
Particules totales	g	0.017	0.032	0.004	0.036	0.001	2653335
LDR = Limite de détection rapportée Lot CQ = Lot contrôle qualité							

ID Bureau Veritas		OM1183	OM1184	OM1185	OM1186		
Date d'échantillonnage		2025/04/01 00:00	2025/04/01 00:00	2025/03/26 00:00	2025/03/26 00:00		
# Bordereau		174245	174245	174245	174245		
	Unités	GALA-250401-HV-1	GALA-250401-HV-2	GALA-250326-HV-1	GALA-250326-HV-2	LDR	Lot CQ

CONVENTIONNELS							
Poids du filtre	g	3.496	3.503	3.269	3.281	0.001	2653335
Poids du filtre avec poussières	g	3.510	3.544	3.284	3.293	0.001	2653335
Particules totales	g	0.014	0.041	0.015	0.012	0.001	2653335
LDR = Limite de détection rapportée Lot CQ = Lot contrôle qualité							

ID Bureau Veritas		OM1187	OM1188	OM1189		
Date d'échantillonnage		2025/03/21 00:00	2025/03/21 00:00	2025/03/14 00:00		
# Bordereau		174245	174245	174245		
	Unités	GALA-250321-HV-1	GALA-250321-HV-2	GALA-250314-HV-2	LDR	Lot CQ

CONVENTIONNELS						
Poids du filtre	g	3.270	3.258	3.266	0.001	2653335
Poids du filtre avec poussières	g	3.283	3.291	3.293	0.001	2653335
Particules totales	g	0.013	0.033	0.027	0.001	2653335
LDR = Limite de détection rapportée Lot CQ = Lot contrôle qualité						



PARAMÈTRES CONVENTIONNELS (FILTRE)

ID Bureau Veritas		OM1190	OM1191	OM1192		
Date d'échantillonnage		2025/03/14 00:00	2025/03/14 00:00	2025/03/14 00:00		
# Bordereau		174245	174245	174245		
	Unités	GALA-250314-WIL-PM4-1	GALA-250314-WIL-PM4-2	GALA-250314-WIL-PM2.5-2	LDR	Lot CQ

CONVENTIONNELS						
Poids du filtre	g	0.0184	0.0172	0.1435	0.0002	2653061
Poids du filtre avec poussières	g	0.0187	0.0176	0.1447	0.0002	2653061
Particules totales	g	0.0003	0.0004	0.0012	0.0002	2653061
LDR = Limite de détection rapportée Lot CQ = Lot contrôle qualité						

ID Bureau Veritas		OM1193	OM1194	OM1195		
Date d'échantillonnage		2025/03/21 00:00	2025/03/20 00:00	2025/04/01 00:00		
# Bordereau		174245	174245	174245		
	Unités	GALA-250321-WIL-PM2.5-2	GALA-250320-WIL-PM4-2	GALA-250401-WIL-PM4-2	LDR	Lot CQ

CONVENTIONNELS						
Poids du filtre	g	0.1422	0.0225	0.0252	0.0002	2653061
Poids du filtre avec poussières	g	0.1434	0.0234	0.0252	0.0002	2653061
Particules totales	g	0.0012	0.0009	<0.0002	0.0002	2653061
LDR = Limite de détection rapportée Lot CQ = Lot contrôle qualité						

ID Bureau Veritas		OM1196	OM1197	OM1198		
Date d'échantillonnage		2025/04/01 00:00	2025/04/13 00:00	2025/04/13 00:00		
# Bordereau		174245	174245	174245		
	Unités	GALA-250401-WIL-PM4-1	GALA-250413-WIL-PM4-1	GALA-250413-WIL-PM4-2	LDR	Lot CQ

CONVENTIONNELS						
Poids du filtre	g	0.0235	0.0211	0.0227	0.0002	2653061
Poids du filtre avec poussières	g	0.0235	0.0213	0.0238	0.0002	2653061
Particules totales	g	<0.0002	0.0002	0.0011	0.0002	2653061
LDR = Limite de détection rapportée Lot CQ = Lot contrôle qualité						



BUREAU
VERITAS

Dossier Bureau Veritas: C529632

Date du rapport: 2025/06/27

WSP Canada Inc. - Montréal

Votre # du projet: CA0012054.2069 phase 123

Adresse du site: Galaxy

PARAMÈTRES CONVENTIONNELS (FILTRE)

ID Bureau Veritas		OM1199		
Date d'échantillonnage		2025/03/21 00:00		
# Bordereau		174245		
	Unités	GALA-250321-WIL-PM4-1	LDR	Lot CQ
CONVENTIONNELS				
Poids du filtre	g	0.0212	0.0002	2653061
Poids du filtre avec poussières	g	0.0217	0.0002	2653061
Particules totales	g	0.0005	0.0002	2653061
LDR = Limite de détection rapportée				
Lot CQ = Lot contrôle qualité				



BUREAU
VERITAS

Dossier Bureau Veritas: C529632

Date du rapport: 2025/06/27

WSP Canada Inc. - Montréal

Votre # du projet: CA0012054.2069 phase 123

Adresse du site: Galaxy

REMARQUES GÉNÉRALES

PARAMÈTRES CONVENTIONNELS (FILTRE)

Particules Totales: Les résultats bruts non-arrondis sont utilisés dans le calcul des particules totales. Ce résultat total est alors arrondi à trois chiffres significatifs.

Les résultats ne se rapportent qu'aux échantillons soumis pour analyse



BUREAU
VERITAS

Dossier Bureau Veritas: C529632

Date du rapport: 2025/06/27

WSP Canada Inc. - Montréal

Votre # du projet: CA0012054.2069 phase 123

Adresse du site: Galaxy

RAPPORT ASSURANCE QUALITÉ

Lot AQ/CQ	Init	Type CQ	Groupe	Date Analysé	Valeur	Réc	Unités
2656399	ADI	Blanc fortifié	Antimoine (Sb) Air	2025/06/17		99	%
			Argent (Ag) Air	2025/06/17		79	%
			Arsenic (As) Air	2025/06/17		98	%
			Baryum (Ba) Air	2025/06/17		96	%
			Béryllium (Be) Air	2025/06/17		99	%
			Cadmium (Cd) Air	2025/06/17		96	%
			Chrome (Cr) Air	2025/06/17		97	%
			Cobalt (Co) Air	2025/06/17		99	%
			Cuivre (Cu) Air	2025/06/17		99	%
			Manganèse (Mn) Air	2025/06/17		100	%
			Nickel (Ni) Air	2025/06/17		98	%
			Plomb (Pb) Air	2025/06/17		101	%
			Sélénium (Se) Air	2025/06/17		100	%
			Thallium (Tl) Air	2025/06/17		99	%
			Vanadium (V) Air	2025/06/17		99	%
			Zinc (Zn) Air	2025/06/17		99	%
2656399	ADI	Blanc fortifié DUP	Antimoine (Sb) Air	2025/06/17		99	%
			Argent (Ag) Air	2025/06/17		104	%
			Arsenic (As) Air	2025/06/17		98	%
			Baryum (Ba) Air	2025/06/17		95	%
			Béryllium (Be) Air	2025/06/17		102	%
			Cadmium (Cd) Air	2025/06/17		97	%
			Chrome (Cr) Air	2025/06/17		96	%
			Cobalt (Co) Air	2025/06/17		98	%
			Cuivre (Cu) Air	2025/06/17		98	%
			Manganèse (Mn) Air	2025/06/17		101	%
			Nickel (Ni) Air	2025/06/17		99	%
			Plomb (Pb) Air	2025/06/17		100	%
			Sélénium (Se) Air	2025/06/17		100	%
			Thallium (Tl) Air	2025/06/17		100	%
			Vanadium (V) Air	2025/06/17		99	%
			Zinc (Zn) Air	2025/06/17		99	%
2656399	ADI	Blanc de méthode	Antimoine (Sb) Air	2025/06/17	<0.20		ug
			Argent (Ag) Air	2025/06/17	<0.30		ug
			Arsenic (As) Air	2025/06/17	<0.40		ug
			Baryum (Ba) Air	2025/06/17	<0.40		ug
			Béryllium (Be) Air	2025/06/17	<0.30		ug
			Cadmium (Cd) Air	2025/06/17	<0.20		ug
			Chrome (Cr) Air	2025/06/17	<0.90		ug
			Cobalt (Co) Air	2025/06/17	<0.30		ug
			Cuivre (Cu) Air	2025/06/17	1.3, LDR=0.90		ug
			Manganèse (Mn) Air	2025/06/17	<0.90		ug
			Nickel (Ni) Air	2025/06/17	<2.0		ug
			Plomb (Pb) Air	2025/06/17	<0.40		ug
			Sélénium (Se) Air	2025/06/17	<0.50		ug
			Thallium (Tl) Air	2025/06/17	<0.050		ug
			Vanadium (V) Air	2025/06/17	<2.0		ug



BUREAU
VERITAS

Dossier Bureau Veritas: C529632
Date du rapport: 2025/06/27

WSP Canada Inc. - Montréal
Votre # du projet: CA0012054.2069 phase 123
Adresse du site: Galaxy

RAPPORT ASSURANCE QUALITÉ (SUITE)

Lot AQ/CQ	Init	Type CQ	Groupe	Date Analysé	Valeur	Réc	Unités
			Zinc (Zn) Air	2025/06/17	<9.0		ug
LDR = Limite de détection rapportée							
Blanc fortifié: Un blanc, d'une matrice exempte de contaminants, auquel a été ajouté une quantité connue d'analyte provenant généralement d'une deuxième source. Utilisé pour évaluer la précision de la méthode.							
Blanc de méthode: Une partie aliquote de matrice pure soumise au même processus analytique que les échantillons, du prétraitement au dosage. Sert à évaluer toutes contaminations du laboratoire.							
Réc = Récupération							



BUREAU
VERITAS

Dossier Bureau Veritas: C529632

Date du rapport: 2025/06/27

WSP Canada Inc. - Montréal

Votre # du projet: CA0012054.2069 phase 123

Adresse du site: Galaxy

PAGE DES SIGNATURES DE VALIDATION

Les résultats analytiques ainsi que les données de contrôle-qualité contenus dans ce rapport ont été vérifiés et validés par:



Faouzi Sarsi, B.Sc. Chimiste, Montréal, Analyste SR



Zineb El Ouali, M.Sc., Chimiste, Montréal, Analyste II

Bureau Veritas a mis en place des procédures qui protègent contre l'utilisation non autorisée de la signature électronique et emploie les «signataires» requis, conformément à l'ISO/CEI17025. Pour la validation spécifique à un groupe de services, veuillez vous référer à la page des Signatures de validation si elle est incluse, sinon disponible sur demande. Pour les noms de validation des analystes/superviseurs spécifiques à un service, veuillez vous référer à la section Résumé de l'analyse si elle est incluse, sinon disponible sur demande. Ce rapport est autorisé par Aglaia Yannakis, Directrice générale, responsable des opérations du laboratoire Environnementale - Québec.



eCOC: Q174245



Expected TAT: Standard TAT
 Expected Arrival: 2025/06/05 17:00
 Submitted By: Yvan Quenum
 Submitted To: Montréal

Invoice Information

Attn: COMPTES PAYABLE
 WSP Canada Inc.
 1600 René-Lévesque O
 16e Étage
 Montréal, QC, H3H 1P9
 Email to:
 capayablesinvoice@wsp.com

Report Information

Attn: Francis Charbonneau
 WSP Canada Inc. - Montréal
 1600 René-Lévesque O
 local B110
 Montréal, QC, H3H 1P9
 Email to:
 francis.charbonneau@wsp.com
 yvan.quenum@wsp.com
 sylvain.marcoux@wsp.com

Project Information

Quote #: C40244
 PO/AFE#:
 Project #: CA0012054.2069 phase 123
 Site Location: Galaxy

Analytical Summary

A: Standard TAT

Client Sample ID	Clnt Ref	Sampling Date/Time	Matrix	#Cont	Silica by XR (NIOSH 7500)-PVC Filter	Total Extractable Metals (Hi-vol)	Total Particulate	Total Particulate (Hi-VOL)	Set Number
GALA-250413-HV-1	1	2025/04/13 00:00	FILTER	1		A	A	A	1
GALA-250413-HV-2	2	2025/04/13 00:00	FILTER	1		A	A	A	1
GALA-250408-HV-1	3	2025/04/08 00:00	FILTER	1		A	A	A	1
GALA-250408-HV-2	4	2025/04/08 00:00	FILTER	1		A	A	A	1
GALA-250401-HV-1	5	2025/04/01 00:00	FILTER	1		A	A	A	1
GALA-250401-HV-2	6	2025/04/01 00:00	FILTER	1		A	A	A	1
GALA-250326-HV-1	7	2025/03/26 00:00	FILTER	1		A	A	A	1
GALA-250326-HV-2	8	2025/03/26 00:00	FILTER	1		A	A	A	2
GALA-250321-HV-1	9	2025/03/21 00:00	FILTER	1		A	A	A	2
GALA-250321-HV-2	10	2025/03/21 00:00	FILTER	1		A	A	A	2
GALA-250314-HV-2	11	2025/03/14 00:00	FILTER	1		A	A	A	2
GALA-250314-WIL-PM4-1	12	2025/03/14 00:00	FILTER	1	A		A		3
GALA-250314-WIL-PM4-2	13	2025/03/14 00:00	FILTER	1	A		A		3
GALA-250314-WIL-PM2.5-2	14	2025/03/14 00:00	FILTER	1			A		4
GALA-250321-WIL-PM2.5-2	15	2025/03/21 00:00	FILTER	1			A		4
GALA-250320-WIL-PM4-2	16	2025/03/20 00:00	FILTER	1	A		A		3
GALA-250401-WIL-PM4-2	17	2025/04/01 00:00	FILTER	1	A		A		3
GALA-250401-WIL-PM4-1	18	2025/04/01 00:00	FILTER	1	A		A		3

05-Jun-25 09:00

Sarah Beaudry



C529632

MMY



C529632_COC



NOVA-2025-06-651

demola pater ayakunbi
 2025-06-05 09:00
 Purolator
 1ca-n
 Saq1-N
 22, 23, 22

WT854



eCOC: Q174245



Expected TAT:	Standard TAT
Expected Arrival:	2025/06/05 17:00
Submitted By:	Yvan Quenum
Submitted To:	Montréal

A: Standard TAT

Client Sample ID	Clnt Ref	Sampling Date/Time	Matrix	#Cont	Silica by XR (NIOSH 7500)-PVC Filter	Total Extractable Metals (Hi-vol)	Total Particulate	Total Particulate (Hi-VOL)	Set Number
GALA-250413-WIL-PM4-1	19	2025/04/13 00:00	FILTER	1	A		A		3
GALA-250413-WIL-PM4-2	20	2025/04/13 00:00	FILTER	1	A		A		3
GALA-250321-WIL-PM4-1	21	2025/03/21 00:00	FILTER	1	A		A		3

Deadlines are estimates only and are subject to change. Please refer to your Job Confirmation report for final due dates.

Submission Information

of Samples: 21

Sample Set Listing

Set 1 (7 samples)

- GALA-250413-HV-1
- GALA-250413-HV-2
- GALA-250408-HV-1
- GALA-250408-HV-2
- GALA-250401-HV-1
- GALA-250401-HV-2
- GALA-250326-HV-1

Set 2 (4 samples)

- GALA-250326-HV-2
- GALA-250321-HV-1
- GALA-250321-HV-2
- GALA-250314-HV-2

Set 3 (8 samples)

- GALA-250314-WIL-PM4-1
- GALA-250314-WIL-PM4-2
- GALA-250320-WIL-PM4-2
- GALA-250401-WIL-PM4-2
- GALA-250401-WIL-PM4-1
- GALA-250413-WIL-PM4-1
- GALA-250413-WIL-PM4-2
- GALA-250321-WIL-PM4-1

Set 4 (2 samples)

- GALA-250314-WIL-PM2.5-2
- GALA-250321-WIL-PM2.5-2



Votre # du projet: C529632
Adresse du site: WSP CANADA INC

Attention: Sarah Beaudry

Bureau Veritas Laboratories
889, Montee de Liesse
Saint-Laurent, QC
Canada H4T 1P5

Date du rapport: 06/26/2025
Rapport: R8565568
Version: 1 - Finale

CERTIFICAT D'ANALYSE

DE DOSSIER BUREAU VERITAS: C573731

Reçu: 06/20/2025, 15:25

Matrice: Air
Nombre d'échantillons reçus: 8

Analyses	Quantité	Date Analysé	Méthode de laboratoire	Méthode d'analyse
Silica on a PVC filter by N7500	8	06/24/2025	NOV5SOP-00001	NIOSH 7500
Total Quartz and Cristobalite	8	06/26/2025		

Le présent rapport ne doit pas être reproduit, sinon dans son intégralité, sans le consentement écrit du laboratoire.
Les résultats ne se rapportent qu'aux échantillons analysés.

Lorsque la méthode de référence comprend un suffixe « m », cela signifie que la méthode d'analyse du laboratoire contient des modifications validées et appliquées afin d'améliorer la performance de la méthode de référence.

clé de cryptage

Natalie Todd
26 Jun 2025 17:07:08

COVERPAGECOMMENT1_IH
Megan Stupar,
Courriel: megan.stupar@bureauveritas.com
Téléphone (248) 344-1770

=====

Bureau Veritas a mis en place des procédures qui protègent contre l'utilisation non autorisée de la signature électronique et emploie les «signataires» requis, conformément à l'ISO/CEI17025. Ce rapport est autorisé par Shawn Heier, , responsable des opérations du laboratoire de MichiganHygiène industrielle.



BUREAU
VERITAS

Dossier Bureau Veritas: C573731
Date du rapport: 06/26/2025

Bureau Veritas Laboratories
Votre # du projet: C529632
Adresse du site: WSP CANADA INC

RÉSULTATS D'ANALYSE

Client ID:	OM1190-GALA-250314-WIL-PM4-1				Matrice:	Air
Identification Bureau Veritas:	ASEL31				Sample Media:	
Date d'échantillonnage:	03/14/2025					
ANALYTE	Mass ug	concentration ug/m3	RL ug	Test Method	Date Analysé	
Quartz	5.1	N/A	5.0	NIOSH 7500	06/24/2025	
Cristobalite	<5.0	N/A	5.0	NIOSH 7500	06/24/2025	
Tridymite	<10	N/A	10	NIOSH 7500	06/24/2025	
Total (Quartz and Cristobalite)	<10	N/A	10		06/26/2025	
LDR = limite de détection rapportée						
RL = Seuil de détection						

Client ID:	OM1191-GALA-250314-WIL-PM4-2				Matrice:	Air
Identification Bureau Veritas:	ASEL32				Sample Media:	
Date d'échantillonnage:	03/14/2025					
ANALYTE	Mass ug	concentration ug/m3	RL ug	Test Method	Date Analysé	
Quartz	<5.0	N/A	5.0	NIOSH 7500	06/24/2025	
Cristobalite	<5.0	N/A	5.0	NIOSH 7500	06/24/2025	
Tridymite	<10	N/A	10	NIOSH 7500	06/24/2025	
Total (Quartz and Cristobalite)	<10	N/A	10		06/26/2025	
LDR = limite de détection rapportée						
RL = Seuil de détection						

Client ID:	OM1194-GALA-250320-WIL-PM4-2				Matrice:	Air
Identification Bureau Veritas:	ASEL34				Sample Media:	
Date d'échantillonnage:	03/20/2025					
ANALYTE	Mass ug	concentration ug/m3	RL ug	Test Method	Date Analysé	
Quartz	<5.0	N/A	5.0	NIOSH 7500	06/24/2025	
Cristobalite	<5.0	N/A	5.0	NIOSH 7500	06/24/2025	
Tridymite	<10	N/A	10	NIOSH 7500	06/24/2025	
Total (Quartz and Cristobalite)	<10	N/A	10		06/26/2025	
LDR = limite de détection rapportée						
RL = Seuil de détection						



BUREAU
VERITAS

Dossier Bureau Veritas: C573731
Date du rapport: 06/26/2025

Bureau Veritas Laboratories
Votre # du projet: C529632
Adresse du site: WSP CANADA INC

RÉSULTATS D'ANALYSE

Client ID:	OM1195-GALA-250401-WIL-PM4-2				Matrice:	Air
Identification Bureau Veritas:	ASEL35				Sample Media:	
Date d'échantillonnage:	04/01/2025					
ANALYTE	Mass ug	concentration ug/m3	RL ug	Test Method	Date Analysé	
Quartz	<5.0	N/A	5.0	NIOSH 7500	06/24/2025	
Cristobalite	<5.0	N/A	5.0	NIOSH 7500	06/24/2025	
Tridymite	<10	N/A	10	NIOSH 7500	06/24/2025	
Total (Quartz and Cristobalite)	<10	N/A	10		06/26/2025	
LDR = limite de détection rapportée						
RL = Seuil de détection						

Client ID:	OM1196-GALA-250401-WIL-PM4-1				Matrice:	Air
Identification Bureau Veritas:	ASEL36				Sample Media:	
Date d'échantillonnage:	04/01/2025					
ANALYTE	Mass ug	concentration ug/m3	RL ug	Test Method	Date Analysé	
Quartz	<5.0	N/A	5.0	NIOSH 7500	06/24/2025	
Cristobalite	<5.0	N/A	5.0	NIOSH 7500	06/24/2025	
Tridymite	<10	N/A	10	NIOSH 7500	06/24/2025	
Total (Quartz and Cristobalite)	<10	N/A	10		06/26/2025	
LDR = limite de détection rapportée						
RL = Seuil de détection						

Client ID:	OM1197-GALA-250413-WIL-PM4-1				Matrice:	Air
Identification Bureau Veritas:	ASEL37				Sample Media:	
Date d'échantillonnage:	04/13/2025					
ANALYTE	Mass ug	concentration ug/m3	RL ug	Test Method	Date Analysé	
Quartz	<5.0	N/A	5.0	NIOSH 7500	06/24/2025	
Cristobalite	<5.0	N/A	5.0	NIOSH 7500	06/24/2025	
Tridymite	<10	N/A	10	NIOSH 7500	06/24/2025	
Total (Quartz and Cristobalite)	<10	N/A	10		06/26/2025	
LDR = limite de détection rapportée						
RL = Seuil de détection						



BUREAU
VERITAS

Dossier Bureau Veritas: C573731
Date du rapport: 06/26/2025

Bureau Veritas Laboratories
Votre # du projet: C529632
Adresse du site: WSP CANADA INC

RÉSULTATS D'ANALYSE

Client ID:	OM1198-GALA-250413-WIL-PM4-2				Matrice:	Air
Identification Bureau Veritas:	ASEL38				Sample Media:	
Date d'échantillonnage:	04/13/2025					
ANALYTE	Mass ug	concentration ug/m3	RL ug	Test Method	Date Analysé	
Quartz	<5.0	N/A	5.0	NIOSH 7500	06/24/2025	
Cristobalite	<5.0	N/A	5.0	NIOSH 7500	06/24/2025	
Tridymite	<10	N/A	10	NIOSH 7500	06/24/2025	
Total (Quartz and Cristobalite)	<10	N/A	10		06/26/2025	
LDR = limite de détection rapportée						
RL = Seuil de détection						

Client ID:	OM1199-GALA-250321-WIL-PM4-1				Matrice:	Air
Identification Bureau Veritas:	ASEL39				Sample Media:	
Date d'échantillonnage:	03/21/2025					
ANALYTE	Mass ug	concentration ug/m3	RL ug	Test Method	Date Analysé	
Quartz	15	N/A	5.0	NIOSH 7500	06/24/2025	
Cristobalite	<5.0	N/A	5.0	NIOSH 7500	06/24/2025	
Tridymite	<10	N/A	10	NIOSH 7500	06/24/2025	
Total (Quartz and Cristobalite)	15	N/A	10		06/26/2025	
LDR = limite de détection rapportée						
RL = Seuil de détection						



BUREAU
VERITAS

Dossier Bureau Veritas: C573731

Date du rapport: 06/26/2025

Bureau Veritas Laboratories

Votre # du projet: C529632

Adresse du site: WSP CANADA INC

REMARQUES GÉNÉRALES

À moins d'indication contraire ci-dessous, les énoncés suivants s'appliquent: 1) tous les échantillons ont été reçus dans un état acceptable, 2) tous les résultats du contrôle de la qualité associés à cet ensemble d'échantillons se situaient dans des limites acceptables et / ou n'ont pas d'incidence négative sur les résultats déclarés et 3) les résultats en matière d'hygiène industrielle n'ont pas été corrigés pour le blanc.

Le client a fourni ses données pertinentes de l'échantillonnage sur le terrain sur le document de demande d'analyse soumis avec les échantillons. Les résultats s'appliquent à l'échantillon tel qu'il a été reçu.

Échantillon ASEL39 [OM1199-GALA-250321-WIL-PM4-1] : The quartz result reported should be considered a maximum value, the quartz primary angle may include unresolved interferences.

Les résultats s'appliquent seulement pour les paramètres analysés.



Sent to: Bureau Veritas North America Inc
 22345 Roethel Drive
 Novi, MI, 48375
 Tel: (248) 344-1770

BUREAU VERITAS INTERLAB CHAIN OF CUSTODY RECORD

COC # C529632-BVMI-01-01

REPORT INFORMATION							ANALYSIS REQUESTED										Job Barcode Label																																																																																	
Company: Bureau Veritas							Silica by XR (NIOSH 7500)-PVC Filter										Job Barcode Label																																																																																	
Address: 889, Montée de Liesse, Saint-Laurent, Quebec, H4T 1P5																																																																																																		
Contact Name: Sarah Beaudry																																																																																																		
Email: Sarah.Beaudry@bureauveritas.com, SoustraitanceQue-YUL@bureauveritas.com																																																																																																		
Phone: (438) 355-7268																																																																																																		
BV Project #: C529632																																																																																																		
Client Invoice To: WSP Canada Inc. (4934)																																																																																																		
Client Report To: WSP Canada Inc. - Montréal (4040) Incl. on Report? Yes / No																																																																																																		
#	SAMPLE ID	MATRIX	DATE SAMPLED (YYYY/MM/DD)	TIME SAMPLED (HH:MM)	SAMPLER INITIALS	# CONT.											ADDITIONAL SAMPLE INFORMATION																																																																																	
1	OM1190-GALA-250314-WIL-PM4-1	FILT	2025/03/14	00:00		1	X											(P: 01)																																																																																
2	OM1191-GALA-250314-WIL-PM4-2	FILT	2025/03/14	00:00		1	X											(P: 01)																																																																																
3	OM1194-GALA-250320-WIL-PM4-2	FILT	2025/03/20	00:00		1	X											(P: 01)																																																																																
4	OM1195-GALA-250401-WIL-PM4-2	FILT	2025/04/01	00:00		1	X											(P: 01)																																																																																
5	OM1196-GALA-250401-WIL-PM4-1	FILT	2025/04/01	00:00		1	X											(P: 01)																																																																																
6	OM1197-GALA-250413-WIL-PM4-1	FILT	2025/04/13	00:00		1	X											(P: 01)																																																																																
7	OM1198-GALA-250413-WIL-PM4-2	FILT	2025/04/13	00:00		1	X											(P: 01)																																																																																
8	OM1199-GALA-250321-WIL-PM4-1	FILT	2025/03/21	00:00		1	X											(P: 01)																																																																																
9																																																																																																		
10																																																																																																		
SITE LOCATION:			REGULATORY CRITERIA				SPECIAL INSTRUCTIONS				REQUIRED EDDs			TURNAROUND TIME																																																																																				
Galaxy			Guide 2021 Basses-Terres				Please inform Bureau Veritas immediately if you are not accredited for the requested test(s) or the hold time is approaching. **Please return a copy of this form with the report.**				National Excel (N001) Golder (Q001) Dessau Soprin Excel (Q004)			<input type="checkbox"/> Rush Required 2025/06/20 Date Required <i>Please inform us if rush charges will be incurred.</i>																																																																																				
SITE #:																																																																																																		
PROJECT #:																																																																																																		
CA0012054.2069 phase 123																																																																																																		
PO/AFE, TASK ORDER/SERVICE ORDER, LINE ITEM:																																																																																																		
COOLER ID:			COOLER ID:				COOLER ID:				RECEIVING LAB USE ONLY																																																																																							
<table border="1" style="width:100%; border-collapse: collapse;"> <tr> <th></th> <th>YES</th> <th>NO</th> <th rowspan="4">Temp: (°C)</th> <th>1</th> <th>2</th> <th>3</th> </tr> <tr> <td>Custody Seal Present</td> <td></td> <td></td> <td></td> <td></td> <td></td> <td></td> </tr> <tr> <td>Custody Seal Intact</td> <td></td> <td></td> <td></td> <td></td> <td></td> <td></td> </tr> <tr> <td>Cooling Media Present</td> <td></td> <td></td> <td></td> <td></td> <td></td> <td></td> </tr> </table>				YES	NO	Temp: (°C)	1	2	3	Custody Seal Present							Custody Seal Intact							Cooling Media Present							<table border="1" style="width:100%; border-collapse: collapse;"> <tr> <th></th> <th>YES</th> <th>NO</th> <th rowspan="4">Temp: (°C)</th> <th>1</th> <th>2</th> <th>3</th> </tr> <tr> <td>Custody Seal Present</td> <td></td> <td></td> <td></td> <td></td> <td></td> <td></td> </tr> <tr> <td>Custody Seal Intact</td> <td></td> <td></td> <td></td> <td></td> <td></td> <td></td> </tr> <tr> <td>Cooling Media Present</td> <td></td> <td></td> <td></td> <td></td> <td></td> <td></td> </tr> </table>					YES	NO	Temp: (°C)	1	2	3	Custody Seal Present							Custody Seal Intact							Cooling Media Present							<table border="1" style="width:100%; border-collapse: collapse;"> <tr> <th></th> <th>YES</th> <th>NO</th> <th rowspan="4">Temp: (°C)</th> <th>1</th> <th>2</th> <th>3</th> </tr> <tr> <td>Custody Seal Present</td> <td></td> <td></td> <td></td> <td></td> <td></td> <td></td> </tr> <tr> <td>Custody Seal Intact</td> <td></td> <td></td> <td></td> <td></td> <td></td> <td></td> </tr> <tr> <td>Cooling Media Present</td> <td></td> <td></td> <td></td> <td></td> <td></td> <td></td> </tr> </table>					YES	NO	Temp: (°C)	1	2	3	Custody Seal Present							Custody Seal Intact							Cooling Media Present							Bureau Veritas Job # C573731			
	YES	NO	Temp: (°C)	1	2		3																																																																																											
Custody Seal Present																																																																																																		
Custody Seal Intact																																																																																																		
Cooling Media Present																																																																																																		
	YES	NO	Temp: (°C)	1	2	3																																																																																												
Custody Seal Present																																																																																																		
Custody Seal Intact																																																																																																		
Cooling Media Present																																																																																																		
	YES	NO	Temp: (°C)	1	2	3																																																																																												
Custody Seal Present																																																																																																		
Custody Seal Intact																																																																																																		
Cooling Media Present																																																																																																		
RELINQUISHED BY: (SIGN & PRINT)			DATE: (YYYY/MM/DD)		TIME: (HH:MM)		RECEIVED BY: (SIGN & PRINT)				DATE: (YYYY/MM/DD)		TIME: (HH:MM)																																																																																					
1. <i>Zhen Hu</i>			2025/06/19		11:40		1. <i>Luke Powell</i> ACCEPTABLE				2025/06/20		1238																																																																																					
2.							2.																																																																																											

Votre # du projet: CA0012054.2069 phase 123
Adresse du site: Galaxy
Votre # Bordereau: 174245

Attention: Francis Charbonneau

WSP Canada Inc. - Montréal
René-Lévesque
1600 René-Lévesque O
local B110
Montréal, QC
CANADA H3H 1P9

Date du rapport: 2025/08/01
Rapport: R3060674
Version: 2 - Révisé

CERTIFICAT D'ANALYSE – RÉVISÉ

DE DOSSIER BUREAU VERITAS: C529632

Reçu: 2025/06/05, 09:00

Matrice: Filtre
Nombre d'échantillons reçus: 21

Analyses	Quantité	Date de l' extraction	Date Analysé	Méthode de laboratoire	Méthode d'analyse
Particules totales	10	2025/06/07	2025/06/07	STL SOP-00045	MA100– Part 1.0 R8 m
Particules totales (Hi-VOL)	11	2025/06/10	2025/06/10	STL SOP-00045	MA100–Part. 1.0 R8 m
Métaux extractibles totaux (Hi-vol)	11	2025/06/16	2025/06/17	STL SOP-00062	MA.200–Mét. 1.2 R9 m
Silice par RX (NIOSH 7500)-Filtre PVC (1)	8	N/A	N/A	Crystalline Silica by NIOSH 7500	NIOSH 7500

Remarques:

Bureau Veritas est certifié ISO/IEC 17025 pour certains paramètres précis des portées d'accréditation. Sauf indication contraire, les méthodes d'analyses utilisées par Bureau Veritas s'inspirent des méthodes de référence d'organismes provinciaux, fédéraux et américains, tels que le CCME, l'EPA, l'APHA ou le ministère de l'environnement du Québec.

Toutes les analyses présentées ont été réalisées conformément aux procédures et aux pratiques relatives à la méthodologie, à l'assurance qualité et au contrôle de la qualité généralement appliqués par les employés de Bureau Veritas (sauf s'il en a été convenu autrement par écrit entre le client et Bureau Veritas). Toutes les données de laboratoire rencontrent les contrôles statistiques et respectent tous les critères de CQ et les critères de performance des méthodes, sauf s'il en a été signalé autrement. Tous les blancs de méthode sont rapportés, toutefois, les données des échantillons correspondants ne sont pas corrigées pour la valeur du blanc, sauf indication contraire. Le cas échéant, sauf indication contraire, l'incertitude de mesure n'a pas été prise en considération lors de la déclaration de la conformité à la norme de référence.

Les responsabilités de Bureau Veritas sont restreintes au coût réel de l'analyse, sauf s'il en a été convenu autrement par écrit. Il n'existe aucune autre garantie, explicite ou implicite. Le client a fait appel à Bureau Veritas pour l'analyse de ses échantillons conformément aux méthodes de référence mentionnées dans ce rapport. L'interprétation et l'utilisation des résultats sont sous l'entière responsabilité du client et ne font pas partie des services offerts par Bureau Veritas, sauf si convenu autrement par écrit. Bureau Veritas ne peut pas garantir l'exactitude des résultats qui dépendent des renseignements fournis par le client ou son représentant.

Les résultats des échantillons solides, sauf les biotes, sont rapportés en fonction de la masse sèche, sauf indication contraire. Les analyses organiques ne sont pas corrigées en fonction de la récupération, sauf pour les méthodes de dilution isotopique.

Les résultats s'appliquent seulement aux échantillons analysés. Si l'échantillonnage n'est pas effectué par Bureau Veritas, les résultats se rapportent aux échantillons fournis pour analyse.

Le présent rapport ne doit pas être reproduit, sinon dans son intégralité, sans le consentement écrit du laboratoire.

Lorsque la méthode de référence comprend un suffixe « m », cela signifie que la méthode d'analyse du laboratoire contient des modifications validées et appliquées afin d'améliorer la performance de la méthode de référence.

Notez: Les données brutes sont utilisées pour le calcul du RPD (% d'écart relatif). L'arrondissement des résultats finaux peut expliquer la variation apparente.



Votre # du projet: CA0012054.2069 phase 123
Adresse du site: Galaxy
Votre # Bordereau: 174245

Attention: Francis Charbonneau

WSP Canada Inc. - Montréal
René-Lévesque
1600 René-Lévesque O
local B110
Montréal, QC
CANADA H3H 1P9

Date du rapport: 2025/08/01
Rapport: R3060674
Version: 2 - Révisé

CERTIFICAT D'ANALYSE – RÉVISÉ

DE DOSSIER BUREAU VERITAS: C529632

Reçu: 2025/06/05, 09:00

(1) Cette analyse a été effectuée par Bureau Veritas North America Inc.(Michigan), 22345 Roethel Drive , Novi, MI, 48375

Note : Les paramètres inclus dans le présent certificat sont accrédités par le ministère de l'environnement du Québec, à moins d'indication contraire.

clé de cryptage

Theodore Scodras
Chargé de projets
04 Aug 2025 11:15:00

Veillez adresser toute question concernant ce certificat d' analyse à:

Sarah Beaudry, Chargée de projets
Courriel: Sarah.Beaudry@bureauveritas.com
Téléphone (438)355-7268

=====

Bureau Veritas a mis en place des procédures qui protègent contre l'utilisation non autorisée de la signature électronique et emploie les «signataires» requis, conformément à l'ISO/CEI17025. Pour la validation spécifique à un groupe de services, veuillez vous référer à la page des Signatures de validation si elle est incluse, sinon disponible sur demande. Pour les noms de validation des analystes/superviseurs spécifiques à un service, veuillez vous référer à la section Résumé de l'analyse si elle est incluse, sinon disponible sur demande. Ce rapport est autorisé par Aglaia Yannakis, Directrice générale, responsable des opérations du laboratoire Environnementale - Québec.



MÉTAUX (FILTRE)

ID Bureau Veritas		OM1179	OM1180	OM1181	OM1182		
Date d'échantillonnage		2025/04/13 00:00	2025/04/13 00:00	2025/04/08 00:00	2025/04/08 00:00		
# Bordereau		174245	174245	174245	174245		
	Unités	GALA-250413-HV-1	GALA-250413-HV-2	GALA-250408-HV-1	GALA-250408-HV-2	LDR	Lot CQ

MÉTAUX							
Antimoine (Sb) Air	ug	0.35	0.45	<0.20	<0.20	0.20	2656399
Argent (Ag) Air	ug	<0.30	<0.30	<0.30	<0.30	0.30	2656399
Arsenic (As) Air	ug	0.93	2.0	<0.40	0.51	0.40	2656399
Baryum (Ba) Air	ug	2.7	4.1	1.4	1.9	0.40	2656399
Béryllium (Be) Air	ug	<0.30	<0.30	<0.30	<0.30	0.30	2656399
Cadmium (Cd) Air	ug	<0.20	<0.20	<0.20	<0.20	0.20	2656399
Chrome (Cr) Air	ug	2.8	2.9	3.4	5.5	0.90	2656399
Cobalt (Co) Air †	ug	<0.30	<0.30	<0.30	<0.30	0.30	2656399
Cuivre (Cu) Air	ug	65	54	54	67	0.90	2656399
Manganèse (Mn) Air †	ug	5.3	8.0	1.8	3.8	0.90	2656399
Nickel (Ni) Air	ug	<2.0	<2.0	<2.0	<2.0	2.0	2656399
Plomb (Pb) Air	ug	1.6	3.2	0.69	0.79	0.40	2656399
Sélénium (Se) Air †	ug	0.57	0.97	<0.50	<0.50	0.50	2656399
Thallium (Tl) Air	ug	<0.050	<0.050	<0.050	<0.050	0.050	2656399
Vanadium (V) Air	ug	<2.0	<2.0	<2.0	<2.0	2.0	2656399
Zinc (Zn) Air	ug	12	16	<9.0	<9.0	9.0	2656399

LDR = Limite de détection rapportée

Lot CQ = Lot contrôle qualité

† Accréditation non existante pour ce paramètre



MÉTAUX (FILTRE)

ID Bureau Veritas		OM1183	OM1184	OM1185	OM1186		
Date d'échantillonnage		2025/04/01 00:00	2025/04/01 00:00	2025/03/26 00:00	2025/03/26 00:00		
# Bordereau		174245	174245	174245	174245		
	Unités	GALA-250401-HV-1	GALA-250401-HV-2	GALA-250326-HV-1	GALA-250326-HV-2	LDR	Lot CQ

MÉTAUX							
Antimoine (Sb) Air	ug	0.26	<0.20	<0.20	<0.20	0.20	2656399
Argent (Ag) Air	ug	<0.30	<0.30	<0.30	<0.30	0.30	2656399
Arsenic (As) Air	ug	0.57	0.43	<0.40	<0.40	0.40	2656399
Baryum (Ba) Air	ug	2.0	3.4	2.4	1.4	0.40	2656399
Béryllium (Be) Air	ug	<0.30	<0.30	<0.30	<0.30	0.30	2656399
Cadmium (Cd) Air	ug	<0.20	<0.20	<0.20	<0.20	0.20	2656399
Chrome (Cr) Air	ug	5.5	8.8	7.5	6.0	0.90	2656399
Cobalt (Co) Air †	ug	<0.30	<0.30	<0.30	<0.30	0.30	2656399
Cuivre (Cu) Air	ug	72	42	66	96	0.90	2656399
Manganèse (Mn) Air †	ug	2.3	6.9	4.0	1.9	0.90	2656399
Nickel (Ni) Air	ug	<2.0	<2.0	<2.0	<2.0	2.0	2656399
Plomb (Pb) Air	ug	1.1	0.78	0.60	0.52	0.40	2656399
Sélénium (Se) Air †	ug	<0.50	<0.50	<0.50	<0.50	0.50	2656399
Thallium (Tl) Air	ug	<0.050	<0.050	<0.050	<0.050	0.050	2656399
Vanadium (V) Air	ug	<2.0	<2.0	<2.0	<2.0	2.0	2656399
Zinc (Zn) Air	ug	9.6	13	<9.0	<9.0	9.0	2656399

LDR = Limite de détection rapportée

Lot CQ = Lot contrôle qualité

† Accréditation non existante pour ce paramètre



BUREAU
VERITAS

Dossier Bureau Veritas: C529632

Date du rapport: 2025/08/01

WSP Canada Inc. - Montréal

Votre # du projet: CA0012054.2069 phase 123

Adresse du site: Galaxy

MÉTAUX (FILTRE)

ID Bureau Veritas		OM1187	OM1188	OM1189		
Date d'échantillonnage		2025/03/21 00:00	2025/03/21 00:00	2025/03/14 00:00		
# Bordereau		174245	174245	174245		
	Unités	GALA-250321-HV-1	GALA-250321-HV-2	GALA-250314-HV-2	LDR	Lot CQ

MÉTAUX						
Antimoine (Sb) Air	ug	0.23	<0.20	<0.20	0.20	2656399
Argent (Ag) Air	ug	<0.30	<0.30	<0.30	0.30	2656399
Arsenic (As) Air	ug	0.72	0.72	0.40	0.40	2656399
Baryum (Ba) Air	ug	2.1	3.5	2.0	0.40	2656399
Béryllium (Be) Air	ug	<0.30	<0.30	<0.30	0.30	2656399
Cadmium (Cd) Air	ug	<0.20	<0.20	<0.20	0.20	2656399
Chrome (Cr) Air	ug	12	7.2	2.3	0.90	2656399
Cobalt (Co) Air †	ug	<0.30	<0.30	<0.30	0.30	2656399
Cuivre (Cu) Air	ug	76	91	29	0.90	2656399
Manganèse (Mn) Air †	ug	4.4	5.5	3.8	0.90	2656399
Nickel (Ni) Air	ug	<2.0	<2.0	<2.0	2.0	2656399
Plomb (Pb) Air	ug	2.6	2.3	0.64	0.40	2656399
Sélénium (Se) Air †	ug	<0.50	<0.50	<0.50	0.50	2656399
Thallium (Tl) Air	ug	<0.050	<0.050	<0.050	0.050	2656399
Vanadium (V) Air	ug	<2.0	<2.0	<2.0	2.0	2656399
Zinc (Zn) Air	ug	11	11	<9.0	9.0	2656399

LDR = Limite de détection rapportée

Lot CQ = Lot contrôle qualité

† Accréditation non existante pour ce paramètre



BUREAU
VERITAS

Dossier Bureau Veritas: C529632

Date du rapport: 2025/08/01

WSP Canada Inc. - Montréal

Votre # du projet: CA0012054.2069 phase 123

Adresse du site: Galaxy

PARAMÈTRES CONVENTIONNELS (FILTRE)

ID Bureau Veritas		OM1179	OM1180	OM1181	OM1182		
Date d'échantillonnage		2025/04/13 00:00	2025/04/13 00:00	2025/04/08 00:00	2025/04/08 00:00		
# Bordereau		174245	174245	174245	174245		
	Unités	GALA-250413-HV-1	GALA-250413-HV-2	GALA-250408-HV-1	GALA-250408-HV-2	LDR	Lot CQ

CONVENTIONNELS							
Poids du filtre	g	3.630	3.637	3.503	3.490	0.001	2653335
Poids du filtre avec poussières	g	3.647	3.669	3.507	3.526	0.001	2653335
Particules totales	g	0.017	0.032	0.004	0.036	0.001	2653335

LDR = Limite de détection rapportée

Lot CQ = Lot contrôle qualité

ID Bureau Veritas		OM1183	OM1184	OM1185	OM1186		
Date d'échantillonnage		2025/04/01 00:00	2025/04/01 00:00	2025/03/26 00:00	2025/03/26 00:00		
# Bordereau		174245	174245	174245	174245		
	Unités	GALA-250401-HV-1	GALA-250401-HV-2	GALA-250326-HV-1	GALA-250326-HV-2	LDR	Lot CQ

CONVENTIONNELS							
Poids du filtre	g	3.496	3.503	3.269	3.281	0.001	2653335
Poids du filtre avec poussières	g	3.510	3.544	3.284	3.293	0.001	2653335
Particules totales	g	0.014	0.041	0.015	0.012	0.001	2653335

LDR = Limite de détection rapportée

Lot CQ = Lot contrôle qualité

ID Bureau Veritas		OM1187	OM1188	OM1189		
Date d'échantillonnage		2025/03/21 00:00	2025/03/21 00:00	2025/03/14 00:00		
# Bordereau		174245	174245	174245		
	Unités	GALA-250321-HV-1	GALA-250321-HV-2	GALA-250314-HV-2	LDR	Lot CQ

CONVENTIONNELS						
Poids du filtre	g	3.270	3.258	3.266	0.001	2653335
Poids du filtre avec poussières	g	3.283	3.291	3.293	0.001	2653335
Particules totales	g	0.013	0.033	0.027	0.001	2653335

LDR = Limite de détection rapportée

Lot CQ = Lot contrôle qualité



PARAMÈTRES CONVENTIONNELS (FILTRE)

ID Bureau Veritas		OM1190	OM1191	OM1192		
Date d'échantillonnage		2025/03/14 00:00	2025/03/14 00:00	2025/03/14 00:00		
# Bordereau		174245	174245	174245		
	Unités	GALA-250314-WIL-PM4-1	GALA-250314-WIL-PM4-2	GALA-250314-WIL-PM2.5-2	LDR	Lot CQ

CONVENTIONNELS						
Poids du filtre	g	0.0184	0.0172	0.1435	0.0002	2653061
Poids du filtre avec poussières	g	0.0187	0.0176	0.1447	0.0002	2653061
Particules totales	g	0.0003	0.0004	0.0012	0.0002	2653061
LDR = Limite de détection rapportée Lot CQ = Lot contrôle qualité						

ID Bureau Veritas		OM1193	OM1194	OM1195		
Date d'échantillonnage		2025/03/21 00:00	2025/03/20 00:00	2025/04/01 00:00		
# Bordereau		174245	174245	174245		
	Unités	GALA-250321-WIL-PM2.5-2	GALA-250320-WIL-PM4-2	GALA-250401-WIL-PM4-2	LDR	Lot CQ

CONVENTIONNELS						
Poids du filtre	g	0.1422	0.0225	0.0252	0.0002	2653061
Poids du filtre avec poussières	g	0.1434	0.0234	0.0252	0.0002	2653061
Particules totales	g	0.0012	0.0009	<0.0002	0.0002	2653061
LDR = Limite de détection rapportée Lot CQ = Lot contrôle qualité						

ID Bureau Veritas		OM1196	OM1197	OM1198		
Date d'échantillonnage		2025/04/01 00:00	2025/04/13 00:00	2025/04/13 00:00		
# Bordereau		174245	174245	174245		
	Unités	GALA-250401-WIL-PM4-1	GALA-250413-WIL-PM4-1	GALA-250413-WIL-PM4-2	LDR	Lot CQ

CONVENTIONNELS						
Poids du filtre	g	0.0235	0.0211	0.0227	0.0002	2653061
Poids du filtre avec poussières	g	0.0235	0.0213	0.0238	0.0002	2653061
Particules totales	g	<0.0002	0.0002	0.0011	0.0002	2653061
LDR = Limite de détection rapportée Lot CQ = Lot contrôle qualité						



BUREAU
VERITAS

Dossier Bureau Veritas: C529632

Date du rapport: 2025/08/01

WSP Canada Inc. - Montréal

Votre # du projet: CA0012054.2069 phase 123

Adresse du site: Galaxy

PARAMÈTRES CONVENTIONNELS (FILTRE)

ID Bureau Veritas		OM1199		
Date d'échantillonnage		2025/03/21 00:00		
# Bordereau		174245		
	Unités	GALA-250321-WIL-PM4-1	LDR	Lot CQ
CONVENTIONNELS				
Poids du filtre	g	0.0212	0.0002	2653061
Poids du filtre avec poussières	g	0.0217	0.0002	2653061
Particules totales	g	0.0005	0.0002	2653061
LDR = Limite de détection rapportée				
Lot CQ = Lot contrôle qualité				



BUREAU
VERITAS

Dossier Bureau Veritas: C529632

Date du rapport: 2025/08/01

WSP Canada Inc. - Montréal

Votre # du projet: CA0012054.2069 phase 123

Adresse du site: Galaxy

REMARQUES GÉNÉRALES

PARAMÈTRES CONVENTIONNELS (FILTRE)

Particules Totales: Les résultats bruts non-arrondis sont utilisés dans le calcul des particules totales. Ce résultat total est alors arrondi à trois chiffres significatifs.

Les résultats ne se rapportent qu'aux échantillons soumis pour analyse



BUREAU
VERITAS

Dossier Bureau Veritas: C529632

Date du rapport: 2025/08/01

WSP Canada Inc. - Montréal

Votre # du projet: CA0012054.2069 phase 123

Adresse du site: Galaxy

RAPPORT ASSURANCE QUALITÉ

Lot AQ/CQ	Init	Type CQ	Groupe	Date Analysé	Valeur	Réc	Unités
2656399	ADI	Blanc fortifié	Antimoine (Sb) Air	2025/06/17		99	%
			Argent (Ag) Air	2025/06/17		79	%
			Arsenic (As) Air	2025/06/17		98	%
			Baryum (Ba) Air	2025/06/17		96	%
			Béryllium (Be) Air	2025/06/17		99	%
			Cadmium (Cd) Air	2025/06/17		96	%
			Chrome (Cr) Air	2025/06/17		97	%
			Cobalt (Co) Air	2025/06/17		99	%
			Cuivre (Cu) Air	2025/06/17		99	%
			Manganèse (Mn) Air	2025/06/17		100	%
			Nickel (Ni) Air	2025/06/17		98	%
			Plomb (Pb) Air	2025/06/17		101	%
			Sélénium (Se) Air	2025/06/17		100	%
			Thallium (Tl) Air	2025/06/17		99	%
			Vanadium (V) Air	2025/06/17		99	%
			Zinc (Zn) Air	2025/06/17		99	%
2656399	ADI	Blanc fortifié DUP	Antimoine (Sb) Air	2025/06/17		99	%
			Argent (Ag) Air	2025/06/17		104	%
			Arsenic (As) Air	2025/06/17		98	%
			Baryum (Ba) Air	2025/06/17		95	%
			Béryllium (Be) Air	2025/06/17		102	%
			Cadmium (Cd) Air	2025/06/17		97	%
			Chrome (Cr) Air	2025/06/17		96	%
			Cobalt (Co) Air	2025/06/17		98	%
			Cuivre (Cu) Air	2025/06/17		98	%
			Manganèse (Mn) Air	2025/06/17		101	%
			Nickel (Ni) Air	2025/06/17		99	%
			Plomb (Pb) Air	2025/06/17		100	%
			Sélénium (Se) Air	2025/06/17		100	%
			Thallium (Tl) Air	2025/06/17		100	%
			Vanadium (V) Air	2025/06/17		99	%
			Zinc (Zn) Air	2025/06/17		99	%
2656399	ADI	Blanc de méthode	Antimoine (Sb) Air	2025/06/17	<0.20		ug
			Argent (Ag) Air	2025/06/17	<0.30		ug
			Arsenic (As) Air	2025/06/17	<0.40		ug
			Baryum (Ba) Air	2025/06/17	<0.40		ug
			Béryllium (Be) Air	2025/06/17	<0.30		ug
			Cadmium (Cd) Air	2025/06/17	<0.20		ug
			Chrome (Cr) Air	2025/06/17	<0.90		ug
			Cobalt (Co) Air	2025/06/17	<0.30		ug
			Cuivre (Cu) Air	2025/06/17	1.3, LDR=0.90		ug
			Manganèse (Mn) Air	2025/06/17	<0.90		ug
			Nickel (Ni) Air	2025/06/17	<2.0		ug
			Plomb (Pb) Air	2025/06/17	<0.40		ug
			Sélénium (Se) Air	2025/06/17	<0.50		ug
			Thallium (Tl) Air	2025/06/17	<0.050		ug
			Vanadium (V) Air	2025/06/17	<2.0		ug



BUREAU
VERITAS

Dossier Bureau Veritas: C529632

Date du rapport: 2025/08/01

WSP Canada Inc. - Montréal

Votre # du projet: CA0012054.2069 phase 123

Adresse du site: Galaxy

RAPPORT ASSURANCE QUALITÉ (SUITE)

Lot AQ/CQ	Init	Type CQ	Groupe	Date Analysé	Valeur	Réc	Unités
			Zinc (Zn) Air	2025/06/17	<9.0		ug
LDR = Limite de détection rapportée							
Blanc fortifié: Un blanc, d'une matrice exempte de contaminants, auquel a été ajouté une quantité connue d'analyte provenant généralement d'une deuxième source. Utilisé pour évaluer la précision de la méthode.							
Blanc de méthode: Une partie aliquote de matrice pure soumise au même processus analytique que les échantillons, du prétraitement au dosage. Sert à évaluer toutes contaminations du laboratoire.							
Réc = Récupération							



BUREAU
VERITAS

Dossier Bureau Veritas: C529632

Date du rapport: 2025/08/01

WSP Canada Inc. - Montréal

Votre # du projet: CA0012054.2069 phase 123

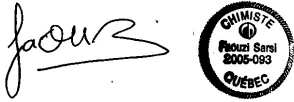
Adresse du site: Galaxy

PAGE DES SIGNATURES DE VALIDATION

Les résultats analytiques ainsi que les données de contrôle-qualité contenus dans ce rapport ont été vérifiés et validés par:



Afifah Naila Bestari, B. Sc. Chimiste, Montréal, Analyste II



Faouzi Sarsi, B.Sc. Chimiste, Montréal, Analyste SR



Zineb El Ouail, M.Sc., Chimiste, Montréal, Analyste II

Bureau Veritas a mis en place des procédures qui protègent contre l'utilisation non autorisée de la signature électronique et emploie les «signataires» requis, conformément à l'ISO/CEI17025. Pour la validation spécifique à un groupe de services, veuillez vous référer à la page des Signatures de validation si elle est incluse, sinon disponible sur demande. Pour les noms de validation des analystes/superviseurs spécifiques à un service, veuillez vous référer à la section Résumé de l'analyse si elle est incluse, sinon disponible sur demande. Ce rapport est autorisé par Aglaia Yannakis, Directrice générale, responsable des opérations du laboratoire Environnementale - Québec.



eCOC: Q174245



Expected TAT: Standard TAT
 Expected Arrival: 2025/06/05 17:00
 Submitted By: Yvan Quenum
 Submitted To: Montréal

Invoice Information

Attn: COMPTES PAYABLE
 WSP Canada Inc.
 1600 René-Lévesque O
 16e Étage
 Montréal, QC, H3H 1P9
 Email to:
 capayablesinvoice@wsp.com

Report Information

Attn: Francis Charbonneau
 WSP Canada Inc. - Montréal
 1600 René-Lévesque O
 local B110
 Montréal, QC, H3H 1P9
 Email to:
 francis.charbonneau@wsp.com
 yvan.quenum@wsp.com
 sylvain.marcoux@wsp.com

Project Information

Quote #: C40244
 PO/AFE#:
 Project #: CA0012054.2069 phase 123
 Site Location: Galaxy

Analytical Summary

A: Standard TAT

Client Sample ID	Clnt Ref	Sampling Date/Time	Matrix	#Cont	Silica by XR (NIOSH 7500)-PVC Filter	Total Extractable Metals (Hi-vol)	Total Particulate	Total Particulate (Hi-VOL)	Set Number
GALA-250413-HV-1	1	2025/04/13 00:00	FILTER	1		A	A	A	1
GALA-250413-HV-2	2	2025/04/13 00:00	FILTER	1		A	A	A	1
GALA-250408-HV-1	3	2025/04/08 00:00	FILTER	1		A	A	A	1
GALA-250408-HV-2	4	2025/04/08 00:00	FILTER	1		A	A	A	1
GALA-250401-HV-1	5	2025/04/01 00:00	FILTER	1		A	A	A	1
GALA-250401-HV-2	6	2025/04/01 00:00	FILTER	1		A	A	A	1
GALA-250326-HV-1	7	2025/03/26 00:00	FILTER	1		A	A	A	1
GALA-250326-HV-2	8	2025/03/26 00:00	FILTER	1		A	A	A	2
GALA-250321-HV-1	9	2025/03/21 00:00	FILTER	1		A	A	A	2
GALA-250321-HV-2	10	2025/03/21 00:00	FILTER	1		A	A	A	2
GALA-250314-HV-2	11	2025/03/14 00:00	FILTER	1		A	A	A	2
GALA-250314-WIL-PM4-1	12	2025/03/14 00:00	FILTER	1	A		A		3
GALA-250314-WIL-PM4-2	13	2025/03/14 00:00	FILTER	1	A		A		3
GALA-250314-WIL-PM2.5-2	14	2025/03/14 00:00	FILTER	1			A		4
GALA-250321-WIL-PM2.5-2	15	2025/03/21 00:00	FILTER	1			A		4
GALA-250320-WIL-PM4-2	16	2025/03/20 00:00	FILTER	1	A		A		3
GALA-250401-WIL-PM4-2	17	2025/04/01 00:00	FILTER	1	A		A		3
GALA-250401-WIL-PM4-1	18	2025/04/01 00:00	FILTER	1	A		A		3

05-Jun-25 09:00

Sarah Beaudry



C529632

MMY



C529632_COC



NOVA-2025-06-651

demola pater dyakunbi
 2025-06-05 09:00
 Purolator
 1ca-n
 Saq1-N
 22, 23, 22

WT854



eCOC: Q174245



Expected TAT:	Standard TAT
Expected Arrival:	2025/06/05 17:00
Submitted By:	Yvan Quenum
Submitted To:	Montréal

A: Standard TAT

Client Sample ID	Clnt Ref	Sampling Date/Time	Matrix	#Cont	Silica by XR (NIOSH 7500)-PVC Filter	Total Extractable Metals (Hi-vol)	Total Particulate	Total Particulate (Hi-VOL)	Set Number
GALA-250413-WIL-PM4-1	19	2025/04/13 00:00	FILTER	1	A		A		3
GALA-250413-WIL-PM4-2	20	2025/04/13 00:00	FILTER	1	A		A		3
GALA-250321-WIL-PM4-1	21	2025/03/21 00:00	FILTER	1	A		A		3

Deadlines are estimates only and are subject to change. Please refer to your Job Confirmation report for final due dates.

Submission Information

of Samples: 21

Sample Set Listing

Set 1 (7 samples)

- GALA-250413-HV-1
- GALA-250413-HV-2
- GALA-250408-HV-1
- GALA-250408-HV-2
- GALA-250401-HV-1
- GALA-250401-HV-2
- GALA-250326-HV-1

Set 2 (4 samples)

- GALA-250326-HV-2
- GALA-250321-HV-1
- GALA-250321-HV-2
- GALA-250314-HV-2

Set 3 (8 samples)

- GALA-250314-WIL-PM4-1
- GALA-250314-WIL-PM4-2
- GALA-250320-WIL-PM4-2
- GALA-250401-WIL-PM4-2
- GALA-250401-WIL-PM4-1
- GALA-250413-WIL-PM4-1
- GALA-250413-WIL-PM4-2
- GALA-250321-WIL-PM4-1

Set 4 (2 samples)

- GALA-250314-WIL-PM2.5-2
- GALA-250321-WIL-PM2.5-2

Votre # du projet: CA0012054.2069 phase 123
Adresse du site: Galaxy
Votre # Bordereau: 174395

Attention: Francis Charbonneau

WSP Canada Inc. - Montréal
René-Lévesque
1600 René-Lévesque O
local B110
Montréal, QC
CANADA H3H 1P9

Date du rapport: 2025/06/30
Rapport: R3051401
Version: 2 - Révisé

CERTIFICAT D'ANALYSE – RÉVISÉ

DE DOSSIER BUREAU VERITAS: C529637

Reçu: 2025/06/05, 09:00

Matrice: Filtre
Nombre d'échantillons reçus: 12

Analyses	Quantité	Date de l' extraction	Date Analysé	Méthode de laboratoire	Méthode d'analyse
Particules totales (Hi-VOL)	12	2025/06/10	2025/06/10	STL SOP-00045	MA100–Part. 1.0 R8 m
Métaux extractibles totaux (Hi-vol)	12	2025/06/16	2025/06/17	STL SOP-00062	MA.200–Mét. 1.2 R9 m

Remarques:

Bureau Veritas est certifié ISO/IEC 17025 pour certains paramètres précis des portées d'accréditation. Sauf indication contraire, les méthodes d'analyses utilisées par Bureau Veritas s'inspirent des méthodes de référence d'organismes provinciaux, fédéraux et américains, tels que le CCME, l'EPA, l'APHA ou le ministère de l'environnement du Québec.

Toutes les analyses présentées ont été réalisées conformément aux procédures et aux pratiques relatives à la méthodologie, à l'assurance qualité et au contrôle de la qualité généralement appliqués par les employés de Bureau Veritas (sauf s'il en a été convenu autrement par écrit entre le client et Bureau Veritas). Toutes les données de laboratoire rencontrent les contrôles statistiques et respectent tous les critères de CQ et les critères de performance des méthodes, sauf s'il en a été signalé autrement. Tous les blancs de méthode sont rapportés, toutefois, les données des échantillons correspondants ne sont pas corrigées pour la valeur du blanc, sauf indication contraire. Le cas échéant, sauf indication contraire, l'incertitude de mesure n'a pas été prise en considération lors de la déclaration de la conformité à la norme de référence.

Les responsabilités de Bureau Veritas sont restreintes au coût réel de l'analyse, sauf s'il en a été convenu autrement par écrit. Il n'existe aucune autre garantie, explicite ou implicite. Le client a fait appel à Bureau Veritas pour l'analyse de ses échantillons conformément aux méthodes de référence mentionnées dans ce rapport. L'interprétation et l'utilisation des résultats sont sous l'entière responsabilité du client et ne font pas partie des services offerts par Bureau Veritas, sauf si convenu autrement par écrit. Bureau Veritas ne peut pas garantir l'exactitude des résultats qui dépendent des renseignements fournis par le client ou son représentant.

Les résultats des échantillons solides, sauf les biotes, sont rapportés en fonction de la masse sèche, sauf indication contraire. Les analyses organiques ne sont pas corrigées en fonction de la récupération, sauf pour les méthodes de dilution isotopique.

Les résultats s'appliquent seulement aux échantillons analysés. Si l'échantillonnage n'est pas effectué par Bureau Veritas, les résultats se rapportent aux échantillons fournis pour analyse.

Le présent rapport ne doit pas être reproduit, sinon dans son intégralité, sans le consentement écrit du laboratoire.

Lorsque la méthode de référence comprend un suffixe « m », cela signifie que la méthode d'analyse du laboratoire contient des modifications validées et appliquées afin d'améliorer la performance de la méthode de référence.

Notez: Les données brutes sont utilisées pour le calcul du RPD (% d'écart relatif). L'arrondissement des résultats finaux peut expliquer la variation apparente.

Note : Les paramètres inclus dans le présent certificat sont accrédités par le ministère de l'environnement du Québec, à moins d'indication contraire.

Votre # du projet: CA0012054.2069 phase 123
Adresse du site: Galaxy
Votre # Bordereau: 174395

Attention: Francis Charbonneau

WSP Canada Inc. - Montréal
René-Lévesque
1600 René-Lévesque O
local B110
Montréal, QC
CANADA H3H 1P9

Date du rapport: 2025/06/30
Rapport: R3051401
Version: 2 - Révisé

CERTIFICAT D'ANALYSE – RÉVISÉ

DE DOSSIER BUREAU VERITAS: C529637

Reçu: 2025/06/05, 09:00

clé de cryptage



Razika Aoudjit
Chargée de projets
30 Jun 2025 11:32:38

Veuillez adresser toute question concernant ce certificat d'analyse à:

Sarah Beaudry, Chargée de projets
Courriel: Sarah.Beaudry@bureauveritas.com
Téléphone (438)355-7268

=====

Bureau Veritas a mis en place des procédures qui protègent contre l'utilisation non autorisée de la signature électronique et emploie les «signataires» requis, conformément à l'ISO/CEI17025. Pour la validation spécifique à un groupe de services, veuillez vous référer à la page des Signatures de validation si elle est incluse, sinon disponible sur demande. Pour les noms de validation des analystes/superviseurs spécifiques à un service, veuillez vous référer à la section Résumé de l'analyse si elle est incluse, sinon disponible sur demande. Ce rapport est autorisé par Aglaia Yannakis, Directrice générale, responsable des opérations du laboratoire Environnementale - Québec.



MÉTAUX (FILTRE)

ID Bureau Veritas		OM1208	OM1209	OM1210	OM1211		
Date d'échantillonnage		2025/05/21 00:00	2025/05/21 00:00	2025/05/14 00:00	2025/05/14 00:00		
# Bordereau		174395	174395	174395	174395		
	Unités	GALA-250521-HV-1	GALA-250521-HV-2	GALA-250514-HV-1	GALA-250514-HV-2	LDR	Lot CQ

MÉTAUX							
Antimoine (Sb) Air	ug	<0.20	<0.20	0.68	0.56	0.20	2656398
Argent (Ag) Air	ug	<0.30	<0.30	<0.30	<0.30	0.30	2656398
Arsenic (As) Air	ug	<0.40	<0.40	1.7	2.1	0.40	2656398
Baryum (Ba) Air	ug	0.97	1.0	28	22	0.40	2656398
Béryllium (Be) Air	ug	<0.30	<0.30	<0.30	<0.30	0.30	2656398
Cadmium (Cd) Air	ug	<0.20	<0.20	<0.20	<0.20	0.20	2656398
Chrome (Cr) Air	ug	1.8	1.3	11	16	0.90	2656398
Cobalt (Co) Air †	ug	<0.30	<0.30	2.0	2.1	0.30	2656398
Cuivre (Cu) Air	ug	16	75	29	81	0.90	2656398
Manganèse (Mn) Air †	ug	1.6	1.8	77	72	0.90	2656398
Nickel (Ni) Air	ug	<2.0	<2.0	6.2	6.4	2.0	2656398
Plomb (Pb) Air	ug	<0.40	<0.40	2.9	2.6	0.40	2656398
Sélénium (Se) Air †	ug	<0.50	<0.50	0.60	0.55	0.50	2656398
Thallium (Tl) Air	ug	<0.050	<0.050	<0.050	<0.050	0.050	2656398
Vanadium (V) Air	ug	2.6	2.5	10	11	2.0	2656398
Zinc (Zn) Air	ug	<9.0	<9.0	37	22	9.0	2656398

LDR = Limite de détection rapportée

Lot CQ = Lot contrôle qualité

† Accréditation non existante pour ce paramètre



MÉTAUX (FILTRE)

ID Bureau Veritas		OM1212	OM1213	OM1214	OM1215		
Date d'échantillonnage		2025/05/07 00:00	2025/05/07 00:00	2025/05/01 00:00	2025/05/01 00:00		
# Bordereau		174395	174395	174395	174395		
	Unités	GALA-250507-HV-1	GALA-250507-HV-2	GALA-250501-HV-1	GALA-250501-HV-2	LDR	Lot CQ

MÉTAUX							
Antimoine (Sb) Air	ug	<0.20	<0.20	<0.20	<0.20	0.20	2656398
Argent (Ag) Air	ug	<0.30	<0.30	<0.30	<0.30	0.30	2656398
Arsenic (As) Air	ug	<0.40	<0.40	0.84	0.66	0.40	2656398
Baryum (Ba) Air	ug	1.7	2.7	1.6	1.9	0.40	2656398
Béryllium (Be) Air	ug	<0.30	<0.30	<0.30	<0.30	0.30	2656398
Cadmium (Cd) Air	ug	<0.20	<0.20	<0.20	<0.20	0.20	2656398
Chrome (Cr) Air	ug	3.8	4.4	2.7	4.5	0.90	2656398
Cobalt (Co) Air †	ug	<0.30	<0.30	<0.30	<0.30	0.30	2656398
Cuivre (Cu) Air	ug	23	40	52	85	0.90	2656398
Manganèse (Mn) Air †	ug	3.1	5.7	2.5	4.4	0.90	2656398
Nickel (Ni) Air	ug	<2.0	<2.0	<2.0	<2.0	2.0	2656398
Plomb (Pb) Air	ug	<0.40	<0.40	1.2	0.77	0.40	2656398
Sélénium (Se) Air †	ug	<0.50	<0.50	<0.50	<0.50	0.50	2656398
Thallium (Tl) Air	ug	<0.050	<0.050	<0.050	<0.050	0.050	2656398
Vanadium (V) Air	ug	2.8	3.2	2.8	2.9	2.0	2656398
Zinc (Zn) Air	ug	<9.0	<9.0	<9.0	<9.0	9.0	2656398

LDR = Limite de détection rapportée

Lot CQ = Lot contrôle qualité

† Accréditation non existante pour ce paramètre



MÉTAUX (FILTRE)

ID Bureau Veritas		OM1216	OM1217	OM1218	OM1219		
Date d'échantillonnage		2025/04/25 00:00	2025/04/25 00:00	2025/04/19 00:00	2025/04/19 00:00		
# Bordereau		174395	174395	174395	174395		
	Unités	GALA-250425-HV-1	GALA-250425-HV-2	GALA-250419-HV-1	GALA-250419-HV-2	LDR	Lot CQ

MÉTAUX							
Antimoine (Sb) Air	ug	<0.20	0.23	<0.20	<0.20	0.20	2656398
Argent (Ag) Air	ug	<0.30	<0.30	<0.30	<0.30	0.30	2656398
Arsenic (As) Air	ug	<0.40	<0.40	<0.40	<0.40	0.40	2656398
Baryum (Ba) Air	ug	2.4	2.9	1.1	1.3	0.40	2656398
Béryllium (Be) Air	ug	<0.30	<0.30	<0.30	<0.30	0.30	2656398
Cadmium (Cd) Air	ug	<0.20	<0.20	<0.20	<0.20	0.20	2656398
Chrome (Cr) Air	ug	6.9	3.4	5.7	3.7	0.90	2656398
Cobalt (Co) Air †	ug	0.43	<0.30	<0.30	<0.30	0.30	2656398
Cuivre (Cu) Air	ug	87	140	91	41	0.90	2656398
Manganèse (Mn) Air †	ug	7.1	7.0	1.6	2.6	0.90	2656398
Nickel (Ni) Air	ug	<2.0	<2.0	<2.0	<2.0	2.0	2656398
Plomb (Pb) Air	ug	0.42	<0.40	<0.40	<0.40	0.40	2656398
Sélénium (Se) Air †	ug	<0.50	<0.50	<0.50	<0.50	0.50	2656398
Thallium (Tl) Air	ug	<0.050	<0.050	<0.050	<0.050	0.050	2656398
Vanadium (V) Air	ug	3.0	3.0	2.2	2.4	2.0	2656398
Zinc (Zn) Air	ug	<9.0	<9.0	<9.0	9.8	9.0	2656398

LDR = Limite de détection rapportée

Lot CQ = Lot contrôle qualité

† Accréditation non existante pour ce paramètre



PARAMÈTRES CONVENTIONNELS (FILTRE)

ID Bureau Veritas		OM1208	OM1209	OM1210	OM1211		
Date d'échantillonnage		2025/05/21 00:00	2025/05/21 00:00	2025/05/14 00:00	2025/05/14 00:00		
# Bordereau		174395	174395	174395	174395		
	Unités	GALA-250521-HV-1	GALA-250521-HV-2	GALA-250514-HV-1	GALA-250514-HV-2	LDR	Lot CQ

CONVENTIONNELS							
Poids du filtre	g	3.301	3.303	3.317	3.315	0.001	2653334
Poids du filtre avec poussières	g	3.310	3.312	3.505	3.566	0.001	2653334
Particules totales	g	0.008	0.009	0.188	0.250	0.001	2653334

LDR = Limite de détection rapportée

Lot CQ = Lot contrôle qualité

ID Bureau Veritas		OM1212	OM1213	OM1214	OM1215		
Date d'échantillonnage		2025/05/07 00:00	2025/05/07 00:00	2025/05/01 00:00	2025/05/01 00:00		
# Bordereau		174395	174395	174395	174395		
	Unités	GALA-250507-HV-1	GALA-250507-HV-2	GALA-250501-HV-1	GALA-250501-HV-2	LDR	Lot CQ

CONVENTIONNELS							
Poids du filtre	g	3.614	3.318	3.621	3.612	0.001	2653334
Poids du filtre avec poussières	g	3.629	3.347	3.631	3.630	0.001	2653334
Particules totales	g	0.015	0.030	0.010	0.019	0.001	2653334

LDR = Limite de détection rapportée

Lot CQ = Lot contrôle qualité

ID Bureau Veritas		OM1216	OM1217	OM1218	OM1219		
Date d'échantillonnage		2025/04/25 00:00	2025/04/25 00:00	2025/04/19 00:00	2025/04/19 00:00		
# Bordereau		174395	174395	174395	174395		
	Unités	GALA-250425-HV-1	GALA-250425-HV-2	GALA-250419-HV-1	GALA-250419-HV-2	LDR	Lot CQ

CONVENTIONNELS							
Poids du filtre	g	3.616	3.626	3.628	3.628	0.001	2653334
Poids du filtre avec poussières	g	3.632	3.648	3.631	3.646	0.001	2653334
Particules totales	g	0.016	0.022	0.003	0.018	0.001	2653334

LDR = Limite de détection rapportée

Lot CQ = Lot contrôle qualité



REMARQUES GÉNÉRALES

Rapport révisé: Les résultats de Ag ont été ajoutés au rapport.

PARAMÈTRES CONVENTIONNELS (FILTRE)

Particules Totales: Les résultats bruts non-arrondis sont utilisés dans le calcul des particules totales. Ce résultat total est alors arrondi à trois chiffres significatifs.

Particules Totales : Veuillez noter que le filtre de OM1212 a été reçu endommagé. Possibilité de sous-estimation des résultats.

Particules Totales : Veuillez noter que les filtres de OM1210 et OM1211 sont sursaturés avec perte. Possibilité de sous-estimation des résultats

Les résultats ne se rapportent qu'aux échantillons soumis pour analyse



BUREAU
VERITAS

Dossier Bureau Veritas: C529637

Date du rapport: 2025/06/30

WSP Canada Inc. - Montréal

Votre # du projet: CA0012054.2069 phase 123

Adresse du site: Galaxy

RAPPORT ASSURANCE QUALITÉ

Lot AQ/CQ	Init	Type CQ	Groupe	Date Analysé	Valeur	Réc	Unités
2656398	ADI	Blanc fortifié	Antimoine (Sb) Air	2025/06/17		100	%
			Argent (Ag) Air	2025/06/17		101	%
			Arsenic (As) Air	2025/06/17		99	%
			Baryum (Ba) Air	2025/06/17		96	%
			Béryllium (Be) Air	2025/06/17		101	%
			Cadmium (Cd) Air	2025/06/17		95	%
			Chrome (Cr) Air	2025/06/17		96	%
			Cobalt (Co) Air	2025/06/17		99	%
			Cuivre (Cu) Air	2025/06/17		98	%
			Manganèse (Mn) Air	2025/06/17		100	%
			Nickel (Ni) Air	2025/06/17		100	%
			Plomb (Pb) Air	2025/06/17		101	%
			Sélénium (Se) Air	2025/06/17		100	%
			Thallium (Tl) Air	2025/06/17		101	%
			Vanadium (V) Air	2025/06/17		100	%
2656398	ADI	Blanc fortifié DUP	Zinc (Zn) Air	2025/06/17		98	%
			Antimoine (Sb) Air	2025/06/17		100	%
			Argent (Ag) Air	2025/06/17		102	%
			Arsenic (As) Air	2025/06/17		98	%
			Baryum (Ba) Air	2025/06/17		96	%
			Béryllium (Be) Air	2025/06/17		104	%
			Cadmium (Cd) Air	2025/06/17		97	%
			Chrome (Cr) Air	2025/06/17		96	%
			Cobalt (Co) Air	2025/06/17		99	%
			Cuivre (Cu) Air	2025/06/17		98	%
			Manganèse (Mn) Air	2025/06/17		100	%
			Nickel (Ni) Air	2025/06/17		100	%
			Plomb (Pb) Air	2025/06/17		100	%
			Sélénium (Se) Air	2025/06/17		101	%
			Thallium (Tl) Air	2025/06/17		100	%
Vanadium (V) Air	2025/06/17		99	%			
2656398	ADI	Blanc de méthode	Zinc (Zn) Air	2025/06/17		106	%
			Antimoine (Sb) Air	2025/06/17	<0.20		ug
			Argent (Ag) Air	2025/06/17	<0.30		ug
			Arsenic (As) Air	2025/06/17	<0.40		ug
			Baryum (Ba) Air	2025/06/17	<0.40		ug
			Béryllium (Be) Air	2025/06/17	<0.30		ug
			Cadmium (Cd) Air	2025/06/17	<0.20		ug
			Chrome (Cr) Air	2025/06/17	<0.90		ug
			Cobalt (Co) Air	2025/06/17	<0.30		ug
			Cuivre (Cu) Air	2025/06/17	<0.90		ug
			Manganèse (Mn) Air	2025/06/17	<0.90		ug
			Nickel (Ni) Air	2025/06/17	<2.0		ug
			Plomb (Pb) Air	2025/06/17	<0.40		ug
			Sélénium (Se) Air	2025/06/17	<0.50		ug
			Thallium (Tl) Air	2025/06/17	<0.050		ug
Vanadium (V) Air	2025/06/17	<2.0		ug			



BUREAU
VERITAS

Dossier Bureau Veritas: C529637

Date du rapport: 2025/06/30

WSP Canada Inc. - Montréal

Votre # du projet: CA0012054.2069 phase 123

Adresse du site: Galaxy

RAPPORT ASSURANCE QUALITÉ (SUITE)

Lot AQ/CQ	Init	Type CQ	Groupe	Date Analysé	Valeur	Réc	Unités
			Zinc (Zn) Air	2025/06/17	<9.0		ug
<p>Blanc fortifié: Un blanc, d'une matrice exempte de contaminants, auquel a été ajouté une quantité connue d'analyte provenant généralement d'une deuxième source. Utilisé pour évaluer la précision de la méthode.</p> <p>Blanc de méthode: Une partie aliquote de matrice pure soumise au même processus analytique que les échantillons, du prétraitement au dosage. Sert à évaluer toutes contaminations du laboratoire.</p> <p>Réc = Récupération</p>							



BUREAU
VERITAS

Dossier Bureau Veritas: C529637

Date du rapport: 2025/06/30

WSP Canada Inc. - Montréal

Votre # du projet: CA0012054.2069 phase 123

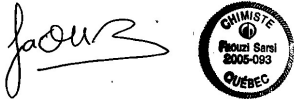
Adresse du site: Galaxy

PAGE DES SIGNATURES DE VALIDATION

Les résultats analytiques ainsi que les données de contrôle-qualité contenus dans ce rapport ont été vérifiés et validés par:



Afifah Naila Bestari, B. Sc. Chimiste, Montréal, Analyste II



Faouzi Sarsi, B.Sc. Chimiste, Montréal, Analyste SR



Zineb El Ouail, M.Sc., Chimiste, Montréal, Analyste II

Bureau Veritas a mis en place des procédures qui protègent contre l'utilisation non autorisée de la signature électronique et emploie les «signataires» requis, conformément à l'ISO/CEI17025. Pour la validation spécifique à un groupe de services, veuillez vous référer à la page des Signatures de validation si elle est incluse, sinon disponible sur demande. Pour les noms de validation des analystes/superviseurs spécifiques à un service, veuillez vous référer à la section Résumé de l'analyse si elle est incluse, sinon disponible sur demande. Ce rapport est autorisé par Aglaia Yannakis, Directrice générale, responsable des opérations du laboratoire Environnementale - Québec.



eCOC: Q174395



Expected TAT: Standard TAT
Expected Arrival: 2025/06/06 17:00
Submitted By: Yvan Quenum
Submitted To: Montréal

Invoice Information

Attn: COMPTES PAYABLE
WSP Canada Inc.
1600 René-Lévesque O
16e Étage
Montréal, QC, H3H 1P9
Email to:
capayablesinvoice@wsp.com

Report Information

Attn: Francis Charbonneau
WSP Canada Inc. - Montréal
1600 René-Lévesque O
local B110
Montréal, QC, H3H 1P9
Email to:
francis.charbonneau@wsp.com
yvan.quenum@wsp.com
sylvain.marcoux@wsp.com

Project Information

Quote #: C40244
PO/AFE#: CA0012054.2069 phase 123
Project #: CA0012054.2069 phase 123
Site Location: Galaxy

Analytical Summary

A: Standard TAT

Client Sample ID	Clnt Ref	Sampling Date/Time	Matrix	#Cont	Total Extractable Metals (Hi-Vol)	Total Particulate (Hi-Vol)	Set Number
GALA-250521-HV-1	1	2025/05/21 00:00	FILTER	1	A	A	1
GALA-250521-HV-2	2	2025/05/21 00:00	FILTER	1	A	A	1
GALA-250514-HV-1	3	2025/05/14 00:00	FILTER	1	A	A	1
GALA-250514-HV-2	4	2025/05/14 00:00	FILTER	1	A	A	1
GALA-250507-HV-1	5	2025/05/07 00:00	FILTER	1	A	A	1
GALA-250507-HV-2	6	2025/05/07 00:00	FILTER	1	A	A	1
GALA-250501-HV-1	7	2025/05/01 00:00	FILTER	1	A	A	1
GALA-250501-HV-2	8	2025/05/01 00:00	FILTER	1	A	A	2
GALA-250425-HV-1	9	2025/04/25 00:00	FILTER	1	A	A	2
GALA-250425-HV-2	10	2025/04/25 00:00	FILTER	1	A	A	2
GALA-250419-HV-1	11	2025/04/19 00:00	FILTER	1	A	A	2
GALA-250419-HV-2	12	2025/04/19 00:00	FILTER	1	A	A	2

05-Jun-25 09:00

Sarah Beaudry



C529637

MMY



C529637_COC

Deadlines are estimates only and are subject to change. Please refer to your Job Confirmation report for final due dates.

Submission Information

of Samples: 12



NOVA-2025-06-655

damola peter oyekunbi
2025-06-05 09:00
Proletor
1CO-M
SQA/EN
21, 21, 23
617854



eCOC: Q174395



Expected TAT:	Standard TAT
Expected Arrival:	2025/06/06 17:00
Submitted By:	Yvan Quenum
Submitted To:	Montréal

Sample Set Listing

Set 1 (7 samples)

GALA-250521-HV-1
GALA-250521-HV-2
GALA-250514-HV-1
GALA-250514-HV-2
GALA-250507-HV-1
GALA-250507-HV-2
GALA-250501-HV-1

Set 2 (5 samples)

GALA-250501-HV-2
GALA-250425-HV-1
GALA-250425-HV-2
GALA-250419-HV-1
GALA-250419-HV-2



Votre # du projet: C552206
Adresse du site: WSP CANADA

Attention: Sarah Beaudry

Bureau Veritas Laboratories
889, Montee de Liesse
Saint-Laurent, QC
Canada H4T 1P5

Date du rapport: 09/29/2025
Rapport: R8621482
Version: 1 - Finale

CERTIFICAT D'ANALYSE

DE DOSSIER BUREAU VERITAS: C5B8649

Reçu: 09/23/2025, 00:00

Matrice: Air
Nombre d'échantillons reçus: 16

Analyses	Quantité	Date Analyisé	Méthode de laboratoire	Méthode d'analyse
Silica on a PVC filter by N7500	16	09/25/2025	NOV5SOP-00001	NIOSH 7500
Total Quartz and Cristobalite	16	09/29/2025		

Le présent rapport ne doit pas être reproduit, sinon dans son intégralité, sans le consentement écrit du laboratoire.
Les résultats ne se rapportent qu'aux échantillons analysés.

Lorsque la méthode de référence comprend un suffixe « m », cela signifie que la méthode d'analyse du laboratoire contient des modifications validées et appliquées afin d'améliorer la performance de la méthode de référence.

clé de cryptage

Megan Stupar
29 Sep 2025 13:27:27

COVERPAGECOMMENT1_IH
Megan Stupar,
Courriel: megan.stupar@bureauveritas.com
Téléphone (248) 344-1770

=====

Bureau Veritas a mis en place des procédures qui protègent contre l'utilisation non autorisée de la signature électronique et emploie les «signataires» requis, conformément à l'ISO/CEI17025. Ce rapport est autorisé par Shawn Heier, responsable des opérations du laboratoire de MichiganHygiène industrielle.



BUREAU
VERITAS

Dossier Bureau Veritas: C5B8649

Date du rapport: 09/29/2025

Bureau Veritas Laboratories

Votre # du projet: C552206

Adresse du site: WSP CANADA

RÉSULTATS D'ANALYSE

Client ID:	OX2130-GALA-250521-WIL-PM4-2			Matrice:	Air
Identification Bureau Veritas:	AVLS65			Sample Media:	PVC 47 mm Untared
Date d'échantillonnage:	05/21/2025				
ANALYTE	Mass ug	concentration ug/m3	RL ug	Test Method	Date Analysé
Quartz	<5.0	N/A	5.0	NIOSH 7500	09/25/2025
Cristobalite	<5.0	N/A	5.0	NIOSH 7500	09/25/2025
Tridymite	<10	N/A	10	NIOSH 7500	09/25/2025
Total (Quartz and Cristobalite)	<10	N/A	10		09/29/2025
LDR = limite de détection rapportée					
RL = Seuil de détection					

Client ID:	OX2131-GALA-250531-WIL-PM4-2			Matrice:	Air
Identification Bureau Veritas:	AVLS66			Sample Media:	PVC 47 mm Untared
Date d'échantillonnage:	05/31/2025				
ANALYTE	Mass ug	concentration ug/m3	RL ug	Test Method	Date Analysé
Quartz	<10	N/A	10	NIOSH 7500	09/25/2025
Cristobalite	<5.0	N/A	5.0	NIOSH 7500	09/25/2025
Tridymite	<10	N/A	10	NIOSH 7500	09/25/2025
Total (Quartz and Cristobalite)	<15	N/A	15		09/29/2025
LDR = limite de détection rapportée					
RL = Seuil de détection					

Client ID:	OX2132-GALA-250514-WIL-PM4-2			Matrice:	Air
Identification Bureau Veritas:	AVLS67			Sample Media:	PVC 47 mm Untared
Date d'échantillonnage:	05/14/2025				
ANALYTE	Mass ug	concentration ug/m3	RL ug	Test Method	Date Analysé
Quartz	10	N/A	5.0	NIOSH 7500	09/25/2025
Cristobalite	<5.0	N/A	5.0	NIOSH 7500	09/25/2025
Tridymite	<10	N/A	10	NIOSH 7500	09/25/2025
Total (Quartz and Cristobalite)	10	N/A	10		09/29/2025
LDR = limite de détection rapportée					
RL = Seuil de détection					



BUREAU
VERITAS

Dossier Bureau Veritas: C5B8649

Date du rapport: 09/29/2025

Bureau Veritas Laboratories

Votre # du projet: C552206

Adresse du site: WSP CANADA

RÉSULTATS D'ANALYSE

Client ID:	OX2133-GALA-250501-WIL-PM4-2			Matrice:	Air
Identification Bureau Veritas:	AVLS68			Sample Media:	PVC 47 mm Untared
Date d'échantillonnage:	05/01/2025				
ANALYTE	Mass ug	concentration ug/m3	RL ug	Test Method	Date Analysé
Quartz	<5.0	N/A	5.0	NIOSH 7500	09/25/2025
Cristobalite	<5.0	N/A	5.0	NIOSH 7500	09/25/2025
Tridymite	<10	N/A	10	NIOSH 7500	09/25/2025
Total (Quartz and Cristobalite)	<10	N/A	10		09/29/2025
LDR = limite de détection rapportée					
RL = Seuil de détection					

Client ID:	OX2134-GALA-250507-WIL-PM4-2			Matrice:	Air
Identification Bureau Veritas:	AVLS69			Sample Media:	PVC 47 mm Untared
Date d'échantillonnage:	05/07/2025				
ANALYTE	Mass ug	concentration ug/m3	RL ug	Test Method	Date Analysé
Quartz	<5.0	N/A	5.0	NIOSH 7500	09/25/2025
Cristobalite	<5.0	N/A	5.0	NIOSH 7500	09/25/2025
Tridymite	<10	N/A	10	NIOSH 7500	09/25/2025
Total (Quartz and Cristobalite)	<10	N/A	10		09/29/2025
LDR = limite de détection rapportée					
RL = Seuil de détection					

Client ID:	OX2135-GALA-250425-WIL-PM4-2			Matrice:	Air
Identification Bureau Veritas:	AVLS70			Sample Media:	PVC 47 mm Untared
Date d'échantillonnage:	04/25/2025				
ANALYTE	Mass ug	concentration ug/m3	RL ug	Test Method	Date Analysé
Quartz	18	N/A	5.0	NIOSH 7500	09/25/2025
Cristobalite	<5.0	N/A	5.0	NIOSH 7500	09/25/2025
Tridymite	<10	N/A	10	NIOSH 7500	09/25/2025
Total (Quartz and Cristobalite)	18	N/A	10		09/29/2025
LDR = limite de détection rapportée					
RL = Seuil de détection					



BUREAU
VERITAS

Dossier Bureau Veritas: C5B8649

Date du rapport: 09/29/2025

Bureau Veritas Laboratories

Votre # du projet: C552206

Adresse du site: WSP CANADA

RÉSULTATS D'ANALYSE

Client ID:	OX2136-GALA-250624-WIL-PM4-2			Matrice:	Air
Identification Bureau Veritas:	AVLS71			Sample Media:	PVC 47 mm Untared
Date d'échantillonnage:	06/24/2025				
ANALYTE	Mass ug	concentration ug/m3	RL ug	Test Method	Date Analysé
Quartz	7.0	N/A	5.0	NIOSH 7500	09/25/2025
Cristobalite	<5.0	N/A	5.0	NIOSH 7500	09/25/2025
Tridymite	<10	N/A	10	NIOSH 7500	09/25/2025
Total (Quartz and Cristobalite)	<10	N/A	10		09/29/2025
LDR = limite de détection rapportée					
RL = Seuil de détection					

Client ID:	OX2137-GALA-250614-WIL-PM4-2			Matrice:	Air
Identification Bureau Veritas:	AVLS72			Sample Media:	PVC 47 mm Untared
Date d'échantillonnage:	05/14/2025				
ANALYTE	Mass ug	concentration ug/m3	RL ug	Test Method	Date Analysé
Quartz	<5.0	N/A	5.0	NIOSH 7500	09/25/2025
Cristobalite	<5.0	N/A	5.0	NIOSH 7500	09/25/2025
Tridymite	<10	N/A	10	NIOSH 7500	09/25/2025
Total (Quartz and Cristobalite)	<10	N/A	10		09/29/2025
LDR = limite de détection rapportée					
RL = Seuil de détection					

Client ID:	OX2138-GALA-250531-WIL-PM4-1			Matrice:	Air
Identification Bureau Veritas:	AVLS73			Sample Media:	PVC 47 mm Untared
Date d'échantillonnage:	05/25/2025				
ANALYTE	Mass ug	concentration ug/m3	RL ug	Test Method	Date Analysé
Quartz	12	N/A	5.0	NIOSH 7500	09/25/2025
Cristobalite	<5.0	N/A	5.0	NIOSH 7500	09/25/2025
Tridymite	<10	N/A	10	NIOSH 7500	09/25/2025
Total (Quartz and Cristobalite)	12	N/A	10		09/29/2025
LDR = limite de détection rapportée					
RL = Seuil de détection					



BUREAU
VERITAS

Dossier Bureau Veritas: C5B8649
Date du rapport: 09/29/2025

Bureau Veritas Laboratories
Votre # du projet: C552206
Adresse du site: WSP CANADA

RÉSULTATS D'ANALYSE

Client ID:	OX2139-GALA-250521-WIL-PM4-1			Matrice:	Air
Identification Bureau Veritas:	AVLS74			Sample Media:	PVC 47 mm Untared
Date d'échantillonnage:	05/25/2025				
ANALYTE	Mass ug	concentration ug/m3	RL ug	Test Method	Date Analysé
Quartz	6.2	N/A	5.0	NIOSH 7500	09/25/2025
Cristobalite	<5.0	N/A	5.0	NIOSH 7500	09/25/2025
Tridymite	<10	N/A	10	NIOSH 7500	09/25/2025
Total (Quartz and Cristobalite)	<10	N/A	10		09/29/2025
LDR = limite de détection rapportée RL = Seuil de détection					

Client ID:	OX2140-GALA-250501-WIL-PM4-1			Matrice:	Air
Identification Bureau Veritas:	AVLS75			Sample Media:	PVC 47 mm Untared
Date d'échantillonnage:	05/25/2025				
ANALYTE	Mass ug	concentration ug/m3	RL ug	Test Method	Date Analysé
Quartz	<5.0	N/A	5.0	NIOSH 7500	09/25/2025
Cristobalite	<5.0	N/A	5.0	NIOSH 7500	09/25/2025
Tridymite	<10	N/A	10	NIOSH 7500	09/25/2025
Total (Quartz and Cristobalite)	<10	N/A	10		09/29/2025
LDR = limite de détection rapportée RL = Seuil de détection					

Client ID:	OX2141-GALA-250425-WIL-PM4-1			Matrice:	Air
Identification Bureau Veritas:	AVLS76			Sample Media:	PVC 47 mm Untared
Date d'échantillonnage:	05/25/2025				
ANALYTE	Mass ug	concentration ug/m3	RL ug	Test Method	Date Analysé
Quartz	9.1	N/A	5.0	NIOSH 7500	09/25/2025
Cristobalite	<5.0	N/A	5.0	NIOSH 7500	09/25/2025
Tridymite	<10	N/A	10	NIOSH 7500	09/25/2025
Total (Quartz and Cristobalite)	<10	N/A	10		09/29/2025
LDR = limite de détection rapportée RL = Seuil de détection					



BUREAU
VERITAS

Dossier Bureau Veritas: C5B8649

Date du rapport: 09/29/2025

Bureau Veritas Laboratories

Votre # du projet: C552206

Adresse du site: WSP CANADA

RÉSULTATS D'ANALYSE

Client ID:	OX2142-GALA-250514-WIL-PM4-1			Matrice:	Air
Identification Bureau Veritas:	AVLS77			Sample Media:	PVC 47 mm Untared
Date d'échantillonnage:	05/25/2025				
ANALYTE	Mass ug	concentration ug/m3	RL ug	Test Method	Date Analysé
Quartz	8.5	N/A	5.0	NIOSH 7500	09/25/2025
Cristobalite	<5.0	N/A	5.0	NIOSH 7500	09/25/2025
Tridymite	<10	N/A	10	NIOSH 7500	09/25/2025
Total (Quartz and Cristobalite)	<10	N/A	10		09/29/2025
LDR = limite de détection rapportée					
RL = Seuil de détection					

Client ID:	OX2143-GALA-250507-WIL-PM4-1			Matrice:	Air
Identification Bureau Veritas:	AVLS78			Sample Media:	PVC 47 mm Untared
Date d'échantillonnage:	05/25/2025				
ANALYTE	Mass ug	concentration ug/m3	RL ug	Test Method	Date Analysé
Quartz	<5.0	N/A	5.0	NIOSH 7500	09/25/2025
Cristobalite	<5.0	N/A	5.0	NIOSH 7500	09/25/2025
Tridymite	<10	N/A	10	NIOSH 7500	09/25/2025
Total (Quartz and Cristobalite)	<10	N/A	10		09/29/2025
LDR = limite de détection rapportée					
RL = Seuil de détection					

Client ID:	OX2144-GALA-250614-WIL-PM4-1			Matrice:	Air
Identification Bureau Veritas:	AVLS79			Sample Media:	PVC 47 mm Untared
Date d'échantillonnage:	05/25/2025				
ANALYTE	Mass ug	concentration ug/m3	RL ug	Test Method	Date Analysé
Quartz	6.6	N/A	5.0	NIOSH 7500	09/25/2025
Cristobalite	<5.0	N/A	5.0	NIOSH 7500	09/25/2025
Tridymite	<10	N/A	10	NIOSH 7500	09/25/2025
Total (Quartz and Cristobalite)	<10	N/A	10		09/29/2025
LDR = limite de détection rapportée					
RL = Seuil de détection					



BUREAU
VERITAS

Dossier Bureau Veritas: C5B8649
Date du rapport: 09/29/2025

Bureau Veritas Laboratories
Votre # du projet: C552206
Adresse du site: WSP CANADA

RÉSULTATS D'ANALYSE

Client ID:	OX2145-GALA-250624-WIL-PM4-1			Matrice:	Air
Identification Bureau Veritas:	AVLS80			Sample Media:	PVC 47 mm Untared
Date d'échantillonnage:	05/25/2025				
ANALYTE	Mass ug	concentration ug/m3	RL ug	Test Method	Date Analysé
Quartz	6.4	N/A	5.0	NIOSH 7500	09/25/2025
Cristobalite	<5.0	N/A	5.0	NIOSH 7500	09/25/2025
Tridymite	<10	N/A	10	NIOSH 7500	09/25/2025
Total (Quartz and Cristobalite)	<10	N/A	10		09/29/2025
LDR = limite de détection rapportée					
RL = Seuil de détection					



BUREAU
VERITAS

Dossier Bureau Veritas: C5B8649

Date du rapport: 09/29/2025

Bureau Veritas Laboratories

Votre # du projet: C552206

Adresse du site: WSP CANADA

REMARQUES GÉNÉRALES

À moins d'indication contraire ci-dessous, les énoncés suivants s'appliquent: 1) tous les échantillons ont été reçus dans un état acceptable, 2) tous les résultats du contrôle de la qualité associés à cet ensemble d'échantillons se situaient dans des limites acceptables et / ou n'ont pas d'incidence négative sur les résultats déclarés et 3) les résultats en matière d'hygiène industrielle n'ont pas été corrigés pour le blanc.

Le client a fourni ses données pertinentes de l'échantillonnage sur le terrain sur le document de demande d'analyse soumis avec les échantillons. Les résultats s'appliquent à l'échantillon tel qu'il a été reçu.

Échantillon AVLS66 [OX2131-GALA-250531-WIL-PM4-2] : The reporting limit for quartz was raised due to interferences.

Les résultats s'appliquent seulement pour les paramètres analysés.



Sent to: Bureau Veritas North America Inc
 22345 Roethel Drive
 Novi, MI, 48375
 Tel: (248) 344-1770

BUREAU VERITAS INTERLAB CHAIN OF CUSTODY RECORD

COC # C552206-BVMI-02-01

REPORT INFORMATION							ANALYSIS REQUESTED										Job Barcode Label								
Company: Bureau Veritas																									
Address: 889, Montée de Liesse, Saint-Laurent, Quebec, H4T 1P5																									
Contact Name: Sarah Beaudry																									
Email: Sarah.Beaudry@bureauveritas.com, SoustraitanceQue-YUL@bureauveritas.com																									
Phone: (438) 355-7268																									
BV Project #: C552206																									
Client Invoice To: WSP Canada Inc. (4934)							Silica by XR (NIOSH 7500)-PVC Filter																		
Client Report To: WSP Canada Inc. - Montréal (4040) Incl. on Report? Yes / No																									
#	SAMPLE ID	MATRIX	DATE SAMPLED (YYYY/MM/DD)	TIME SAMPLED (HH:MM)	SAMPLER INITIALS	# CONT.															ADDITIONAL SAMPLE INFORMATION				
1	OX2140-GALA-250501-WIL-PM4-1 ✓	AAIR	2025/05/25	00:00		1	X														(P: 01)				
2	OX2141-GALA-250425-WIL-PM4-1 ✓	AAIR	2025/05/25	00:00		1	X														(P: 01)				
3	OX2142-GALA-250514-WIL-PM4-1 ✓	AAIR	2025/05/25	00:00		1	X														(P: 01)				
4	OX2143-GALA-250507-WIL-PM4-1 ✓	AAIR	2025/05/25	00:00		1	X														(P: 01)				
5	OX2144-GALA-250614-WIL-PM4-1 ✓	AAIR	2025/05/25	00:00		1	X														(P: 01)				
6	OX2145-GALA-250624-WIL-PM4-1 ✓	AAIR	2025/05/25	00:00		1	X														(P: 01)				
7																									
8																									
9																									
10																									
SITE LOCATION: Galaxy							REGULATORY CRITERIA Guide 2021 Basses-Terres					SPECIAL INSTRUCTIONS Please inform Bureau Veritas immediately if you are not accredited for the requested test(s) or the hold time is approaching. **Please return a copy of this form with the report.**					REQUIRED EDDs National Excel (N001) Golder (Q001) Dessau Soprin Excel (Q004)		TURNAROUND TIME <input type="checkbox"/> Rush Required 2025/10/01 Date Required <i>Please inform us if rush charges will be incurred.</i>						
SITE #:																									
PROJECT #: CA0012054.2069 phase 123																									
PO/AFE, TASK ORDER/SERVICE ORDER, LINE ITEM:																									
COOLER ID:							COOLER ID:							COOLER ID:							RECEIVING LAB USE ONLY				
																					Bureau Veritas Job #				
																					C5B8649				
RELINQUISHED BY: (SIGN & PRINT)							DATE: (YYYY/MM/DD)			TIME: (HH:MM)			RECEIVED BY: (SIGN & PRINT)							DATE: (YYYY/MM/DD)			TIME: (HH:MM)		
1. ZHV							2025/09/22			11:24			1. Dillon Shear							2025/09/23			103		
2.													2.												

Votre # du projet: CA0012054.2069 phase 123
Adresse du site: Galaxy
Votre # Bordereau: 187473

Attention: Francis Charbonneau

WSP Canada Inc. - Montréal
René-Lévesque
1600 René-Lévesque O
local B110
Montréal, QC
CANADA H3H 1P9

Date du rapport: 2025/09/29
Rapport: R3117911
Version: 1 - Finale

CERTIFICAT D'ANALYSES

DE DOSSIER BUREAU VERITAS: C552206

Reçu: 2025/09/15, 08:00

Matrice: Filtre
Nombre d'échantillons reçus: 28

Analyses	Quantité	Date de l' extraction	Date Analyisé	Méthode de laboratoire	Méthode d'analyse
Particules totales	16	2025/09/16	2025/09/16	STL SOP-00045	MA100– Part 1.0 R8 m
Particules totales	4	2025/09/29	2025/09/29	STL SOP-00045	MA100– Part 1.0 R8 m
Particules totales (Hi-VOL)	8	2025/09/17	2025/09/17	STL SOP-00045	MA100–Part. 1.0 R8 m
Métaux extractibles totaux (Hi-vol)	8	2025/09/22	2025/09/23	STL SOP-00062	MA.200–Mét. 1.2 R9 m
Silice par RX (NIOSH 7500)-Filtre PVC (1)	16	N/A	N/A	Crystalline Silica by NIOSH 7500	NIOSH 7500

Remarques:

Bureau Veritas est certifié ISO/IEC 17025 pour certains paramètres précis des portées d'accréditation. Sauf indication contraire, les méthodes d'analyses utilisées par Bureau Veritas s'inspirent des méthodes de référence d'organismes provinciaux, fédéraux et américains, tels que le CCME, l'EPA, l'APHA ou le ministère de l'environnement du Québec.

Toutes les analyses présentées ont été réalisées conformément aux procédures et aux pratiques relatives à la méthodologie, à l'assurance qualité et au contrôle de la qualité généralement appliqués par les employés de Bureau Veritas (sauf s'il en a été convenu autrement par écrit entre le client et Bureau Veritas). Toutes les données de laboratoire rencontrent les contrôles statistiques et respectent tous les critères de CQ et les critères de performance des méthodes, sauf s'il en a été signalé autrement. Tous les blancs de méthode sont rapportés, toutefois, les données des échantillons correspondants ne sont pas corrigées pour la valeur du blanc, sauf indication contraire. Le cas échéant, sauf indication contraire, l'incertitude de mesure n'a pas été prise en considération lors de la déclaration de la conformité à la norme de référence.

Les responsabilités de Bureau Veritas sont restreintes au coût réel de l'analyse, sauf s'il en a été convenu autrement par écrit. Il n'existe aucune autre garantie, explicite ou implicite. Le client a fait appel à Bureau Veritas pour l'analyse de ses échantillons conformément aux méthodes de référence mentionnées dans ce rapport. L'interprétation et l'utilisation des résultats sont sous l'entière responsabilité du client et ne font pas partie des services offerts par Bureau Veritas, sauf si convenu autrement par écrit. Bureau Veritas ne peut pas garantir l'exactitude des résultats qui dépendent des renseignements fournis par le client ou son représentant.

Les résultats des échantillons solides, sauf les biotes, sont rapportés en fonction de la masse sèche, sauf indication contraire. Les analyses organiques ne sont pas corrigées en fonction de la récupération, sauf pour les méthodes de dilution isotopique.

Les résultats s'appliquent seulement aux échantillons analysés. Si l'échantillonnage n'est pas effectué par Bureau Veritas, les résultats se rapportent aux échantillons fournis pour analyse.

Le présent rapport ne doit pas être reproduit, sinon dans son intégralité, sans le consentement écrit du laboratoire.

Lorsque la méthode de référence comprend un suffixe « m », cela signifie que la méthode d'analyse du laboratoire contient des modifications validées et appliquées afin d'améliorer la performance de la méthode de référence.

Votre # du projet: CA0012054.2069 phase 123
Adresse du site: Galaxy
Votre # Bordereau: 187473

Attention: Francis Charbonneau

WSP Canada Inc. - Montréal
René-Lévesque
1600 René-Lévesque O
local B110
Montréal, QC
CANADA H3H 1P9

Date du rapport: 2025/09/29
Rapport: R3117911
Version: 1 - Finale

CERTIFICAT D'ANALYSES

DE DOSSIER BUREAU VERITAS: C552206

Reçu: 2025/09/15, 08:00

Notez: Les données brutes sont utilisées pour le calcul du RPD (% d'écart relatif). L'arrondissement des résultats finaux peut expliquer la variation apparente.
(1) Cette analyse a été effectuée par Bureau Veritas North America Inc.(Michigan), 22345 Roethel Drive , Novi, MI, 48375

Note : Les paramètres inclus dans le présent certificat sont accrédités par le ministère de l'environnement du Québec, à moins d'indication contraire.

clé de cryptage



**AUTHORIZED REPORT
RAPPORT AUTORISÉ**

Bureau Veritas

29 Sep 2025 17:15:43

Veillez adresser toute question concernant ce certificat d'analyse à:

Sarah Beaudry, Chargée de projets
Courriel: Sarah.Beaudry@bureauveritas.com
Téléphone (438)355-7268

=====
Ce rapport a été produit et distribué en utilisant une procédure automatisée sécuritaire.

Bureau Veritas a mis en place des procédures qui protègent contre l'utilisation non autorisée de la signature électronique et emploie les «signataires» requis, conformément à l'ISO/CEI17025. Pour la validation spécifique à un groupe de services, veuillez vous référer à la page des Signatures de validation si elle est incluse, sinon disponible sur demande. Pour les noms de validation des analystes/superviseurs spécifiques à un service, veuillez vous référer à la section Résumé de l'analyse si elle est incluse, sinon disponible sur demande. Ce rapport est autorisé par Aglaia Yannakis, Directrice générale, responsable des opérations du laboratoire Environnementale - Québec.



BUREAU
VERITAS

Dossier Bureau Veritas: C552206

Date du rapport: 2025/09/29

WSP Canada Inc. - Montréal

Votre # du projet: CA0012054.2069 phase 123

Adresse du site: Galaxy

MÉTAUX (FILTRE)

ID Bureau Veritas		OX2122	OX2123	OX2124	OX2125		
Date d'échantillonnage		2025/05/25 00:00	2025/05/25 00:00	2025/06/14 00:00	2025/06/14 00:00		
# Bordereau		187473	187473	187473	187473		
	Unités	GALA-250525-HV-1	GALA-250525-HV-2	GALA-250614-HV-1	GALA-250614-HV-2	LDR	Lot CQ

MÉTAUX							
Antimoine (Sb) Air	ug	0.38	0.21	0.36	0.37	0.20	2695032
Arsenic (As) Air	ug	<0.40	<0.40	<0.40	0.50	0.40	2695032
Baryum (Ba) Air	ug	1.5	0.68	6.8	5.6	0.40	2695032
Béryllium (Be) Air	ug	<0.30	<0.30	<0.30	<0.30	0.30	2695032
Cadmium (Cd) Air	ug	<0.20	<0.20	<0.20	<0.20	0.20	2695032
Chrome (Cr) Air	ug	2.7	11	5.7	9.2	0.90	2695032
Cobalt (Co) Air †	ug	<0.30	<0.30	0.44	0.72	0.30	2695032
Cuivre (Cu) Air	ug	23	1.2	52	110	0.90	2695032
Manganèse (Mn) Air †	ug	2.1	1.0	11	16	0.90	2695032
Nickel (Ni) Air	ug	<2.0	<2.0	2.1	3.1	2.0	2695032
Plomb (Pb) Air	ug	4.9	1.1	2.1	1.1	0.40	2695032
Sélénium (Se) Air †	ug	<0.50	<0.50	<0.50	<0.50	0.50	2695032
Thallium (Tl) Air	ug	<0.050	<0.050	<0.050	<0.050	0.050	2695032
Vanadium (V) Air	ug	<2.0	<2.0	2.2	3.3	2.0	2695032
Zinc (Zn) Air	ug	<9.0	<9.0	<9.0	<9.0	9.0	2695032

LDR = Limite de détection rapportée

Lot CQ = Lot contrôle qualité

† Accréditation non existante pour ce paramètre



BUREAU
VERITAS

Dossier Bureau Veritas: C552206

Date du rapport: 2025/09/29

WSP Canada Inc. - Montréal

Votre # du projet: CA0012054.2069 phase 123

Adresse du site: Galaxy

MÉTAUX (FILTRE)

ID Bureau Veritas		OX2126	OX2127	OX2128	OX2129		
Date d'échantillonnage		2025/06/18 00:00	2025/06/18 00:00	2025/06/24 00:00	2025/06/24 00:00		
# Bordereau		187473	187473	187473	187473		
	Unités	GALA-250618-HV-1	GALA-250618-HV-2	GALA-250624-HV-1	GALA-250624-HV-2	LDR	Lot CQ

MÉTAUX							
Antimoine (Sb) Air	ug	0.28	0.21	0.23	<0.20	0.20	2695032
Argent (Ag) Air	ug	N/A	N/A	N/A	<0.30	0.30	2695032
Arsenic (As) Air	ug	<0.40	<0.40	0.55	0.81	0.40	2695032
Baryum (Ba) Air	ug	2.2	1.0	6.0	7.7	0.40	2695032
Béryllium (Be) Air	ug	<0.30	<0.30	<0.30	<0.30	0.30	2695032
Cadmium (Cd) Air	ug	<0.20	<0.20	<0.20	<0.20	0.20	2695032
Chrome (Cr) Air	ug	6.3	4.5	6.2	12	0.90	2695032
Cobalt (Co) Air †	ug	<0.30	<0.30	0.69	1.0	0.30	2695032
Cuivre (Cu) Air	ug	53	140	70	130	0.90	2695032
Manganèse (Mn) Air †	ug	3.6	2.4	15	21	0.90	2695032
Nickel (Ni) Air	ug	<2.0	<2.0	2.7	3.7	2.0	2695032
Plomb (Pb) Air	ug	0.67	0.66	1.4	2.5	0.40	2695032
Sélénium (Se) Air †	ug	<0.50	<0.50	<0.50	<0.50	0.50	2695032
Thallium (Tl) Air	ug	<0.050	<0.050	<0.050	<0.050	0.050	2695032
Vanadium (V) Air	ug	<2.0	<2.0	3.0	5.6	2.0	2695032
Zinc (Zn) Air	ug	<9.0	<9.0	<9.0	<9.0	9.0	2695032

LDR = Limite de détection rapportée

Lot CQ = Lot contrôle qualité

N/A = Non Applicable

† Accréditation non existante pour ce paramètre



PARAMÈTRES CONVENTIONNELS (FILTRE)

ID Bureau Veritas		OX2122	OX2123	OX2124	OX2125		
Date d'échantillonnage		2025/05/25 00:00	2025/05/25 00:00	2025/06/14 00:00	2025/06/14 00:00		
# Bordereau		187473	187473	187473	187473		
	Unités	GALA-250525-HV-1	GALA-250525-HV-2	GALA-250614-HV-1	GALA-250614-HV-2	LDR	Lot CQ

CONVENTIONNELS							
Poids du filtre	g	3.304	3.306	3.213	3.414	0.001	2692591
Poids du filtre avec poussières	g	3.321	3.316	3.509	3.502	0.001	2692591
Particules totales	g	0.018	0.011	0.296	0.088	0.001	2692591

LDR = Limite de détection rapportée

Lot CQ = Lot contrôle qualité

ID Bureau Veritas		OX2126	OX2127	OX2128	OX2129		
Date d'échantillonnage		2025/06/18 00:00	2025/06/18 00:00	2025/06/24 00:00	2025/06/24 00:00		
# Bordereau		187473	187473	187473	187473		
	Unités	GALA-250618-HV-1	GALA-250618-HV-2	GALA-250624-HV-1	GALA-250624-HV-2	LDR	Lot CQ

CONVENTIONNELS							
Poids du filtre	g	3.273	3.277	3.296	3.299	0.001	2692591
Poids du filtre avec poussières	g	3.329	3.315	3.400	3.504	0.001	2692591
Particules totales	g	0.056	0.038	0.104	0.205	0.001	2692591

LDR = Limite de détection rapportée

Lot CQ = Lot contrôle qualité

ID Bureau Veritas		OX2130	OX2131	OX2132		
Date d'échantillonnage		2025/05/21 00:00	2025/05/31 00:00	2025/05/14 00:00		
# Bordereau		187473	187473	187473		
	Unités	GALA-250521-WIL-PM4-2	GALA-250531-WIL-PM4-2	GALA-250514-WIL-PM4-2	LDR	Lot CQ

CONVENTIONNELS							
Poids du filtre	g	0.0208	0.0219	0.0243	0.0002	2692181	
Poids du filtre avec poussières	g	0.0212	0.0238	0.0244	0.0002	2692181	
Particules totales	g	0.0004	0.0019	<0.0002	0.0002	2692181	

LDR = Limite de détection rapportée

Lot CQ = Lot contrôle qualité



PARAMÈTRES CONVENTIONNELS (FILTRE)

ID Bureau Veritas		OX2133	OX2134	OX2135		
Date d'échantillonnage		2025/05/01 00:00	2025/05/07 00:00	2025/04/25 00:00		
# Bordereau		187473	187473	187473		
	Unités	GALA-250501-WIL-PM4-2	GALA-250507-WIL-PM4-2	GALA-250425-WIL-PM4-2	LDR	Lot CQ

CONVENTIONNELS						
Poids du filtre	g	0.0222	0.0225	0.0216	0.0002	2692181
Poids du filtre avec poussières	g	0.0223	0.0230	0.0219	0.0002	2692181
Particules totales	g	<0.0002	0.0005	0.0003	0.0002	2692181
LDR = Limite de détection rapportée Lot CQ = Lot contrôle qualité						

ID Bureau Veritas		OX2136	OX2137	OX2138		
Date d'échantillonnage		2025/06/24 00:00	2025/05/14 00:00	2025/05/25 00:00		
# Bordereau		187473	187473	187473		
	Unités	GALA-250624-WIL-PM4-2	GALA-250614-WIL-PM4-2	GALA-250531-WIL-PM4-1	LDR	Lot CQ

CONVENTIONNELS						
Poids du filtre	g	0.0232	0.0209	0.0220	0.0002	2692181
Poids du filtre avec poussières	g	0.0234	0.0225	0.0238	0.0002	2692181
Particules totales	g	0.0002	0.0016	0.0018	0.0002	2692181
LDR = Limite de détection rapportée Lot CQ = Lot contrôle qualité						

ID Bureau Veritas		OX2139	OX2140	OX2141		
Date d'échantillonnage		2025/05/25 00:00	2025/05/25 00:00	2025/05/25 00:00		
# Bordereau		187473	187473	187473		
	Unités	GALA-250521-WIL-PM4-1	GALA-250501-WIL-PM4-1	GALA-250425-WIL-PM4-1	LDR	Lot CQ

CONVENTIONNELS						
Poids du filtre	g	0.0237	0.0229	0.0201	0.0002	2692181
Poids du filtre avec poussières	g	0.0237	0.0234	0.0205	0.0002	2692181
Particules totales	g	<0.0002	0.0005	0.0004	0.0002	2692181
LDR = Limite de détection rapportée Lot CQ = Lot contrôle qualité						



PARAMÈTRES CONVENTIONNELS (FILTRE)

ID Bureau Veritas		OX2142	OX2143	OX2144		
Date d'échantillonnage		2025/05/25 00:00	2025/05/25 00:00	2025/05/25 00:00		
# Bordereau		187473	187473	187473		
	Unités	GALA-250514-WIL-PM4-1	GALA-250507-WIL-PM4-1	GALA-250614-WIL-PM4-1	LDR	Lot CQ

CONVENTIONNELS						
Poids du filtre	g	0.0212	0.0217	0.0237	0.0002	2692181
Poids du filtre avec poussières	g	0.0219	0.0226	0.0239	0.0002	2692181
Particules totales	g	0.0007	0.0009	0.0002	0.0002	2692181
LDR = Limite de détection rapportée Lot CQ = Lot contrôle qualité						

ID Bureau Veritas		OX2145		OX2146	OX2147		
Date d'échantillonnage		2025/05/25 00:00		2025/05/25 00:00	2025/05/25 00:00		
# Bordereau		187473		187473	187473		
	Unités	GALA-250624-WIL-PM4-1	Lot CQ	GALA-250615-WIL-PM2.5	GALA-250624-WIL-PM2.5	LDR	Lot CQ

CONVENTIONNELS							
Poids du filtre	g	0.0251	2692181	0.1442	0.1429	0.0002	2697707
Poids du filtre avec poussières	g	0.0253	2692181	0.1448	0.1439	0.0002	2697707
Particules totales	g	0.0002	2692181	0.0006	0.0010	0.0002	2697707
LDR = Limite de détection rapportée Lot CQ = Lot contrôle qualité							

ID Bureau Veritas		OX2148	OX2149		
Date d'échantillonnage		2025/05/25 00:00	2025/05/25 00:00		
# Bordereau		187473	187473		
	Unités	GALA-250618-WIL-PM2.5	GALA-250630-WIL-PM2.5	LDR	Lot CQ

CONVENTIONNELS					
Poids du filtre	g	0.1427	0.1429	0.0002	2697707
Poids du filtre avec poussières	g	0.1423	0.1438	0.0002	2697707
Particules totales	g	<0.0002	0.0009	0.0002	2697707
LDR = Limite de détection rapportée Lot CQ = Lot contrôle qualité					



**BUREAU
VERITAS**

Dossier Bureau Veritas: C552206

Date du rapport: 2025/09/29

WSP Canada Inc. - Montréal

Votre # du projet: CA0012054.2069 phase 123

Adresse du site: Galaxy

REMARQUES GÉNÉRALES

PARAMÈTRES CONVENTIONNELS (FILTRE)

Particules Totales: Les résultats bruts non-arrondis sont utilisés dans le calcul des particules totales. Ce résultat total est alors arrondi à trois chiffres significatifs.

Particules Totales : Veuillez noter que le filtre de OX2125 a été reçu endommagé. Possibilité de sous-estimation des résultats.

Particules Totales : Veuillez noter que les filtres de OX2124, OX2125, OX2128 et OX2129 sont sursaturés avec perte. Possibilité de sous-estimation des résultats.

Les résultats ne se rapportent qu'aux échantillons soumis pour analyse



RAPPORT ASSURANCE QUALITÉ

Lot AQ/CQ	Init	Type CQ	Groupe	Date Analysé	Valeur	Réc	Unités
2695032	NET	Blanc fortifié	Antimoine (Sb) Air	2025/09/23		103	%
			Argent (Ag) Air	2025/09/23		97	%
			Arsenic (As) Air	2025/09/23		93	%
			Baryum (Ba) Air	2025/09/23		97	%
			Béryllium (Be) Air	2025/09/23		95	%
			Cadmium (Cd) Air	2025/09/23		96	%
			Chrome (Cr) Air	2025/09/23		92	%
			Cobalt (Co) Air	2025/09/23		95	%
			Cuivre (Cu) Air	2025/09/23		96	%
			Manganèse (Mn) Air	2025/09/23		92	%
			Nickel (Ni) Air	2025/09/23		93	%
			Plomb (Pb) Air	2025/09/23		101	%
			Sélénium (Se) Air	2025/09/23		97	%
			Thallium (Tl) Air	2025/09/23		100	%
			Vanadium (V) Air	2025/09/23		95	%
Zinc (Zn) Air	2025/09/23		93	%			
2695032	NET	Blanc de méthode	Antimoine (Sb) Air	2025/09/23	<0.20		ug
			Argent (Ag) Air	2025/09/23	<0.30		ug
			Arsenic (As) Air	2025/09/23	<0.40		ug
			Baryum (Ba) Air	2025/09/23	<0.40		ug
			Béryllium (Be) Air	2025/09/23	<0.30		ug
			Cadmium (Cd) Air	2025/09/23	<0.20		ug
			Chrome (Cr) Air	2025/09/23	<0.90		ug
			Cobalt (Co) Air	2025/09/23	<0.30		ug
			Cuivre (Cu) Air	2025/09/23	<0.90		ug
			Manganèse (Mn) Air	2025/09/23	<0.90		ug
			Nickel (Ni) Air	2025/09/23	<2.0		ug
			Plomb (Pb) Air	2025/09/23	<0.40		ug
			Sélénium (Se) Air	2025/09/23	<0.50		ug
			Thallium (Tl) Air	2025/09/23	<0.050		ug
			Vanadium (V) Air	2025/09/23	<2.0		ug
Zinc (Zn) Air	2025/09/23	<9.0		ug			

Blanc fortifié: Un blanc, d'une matrice exempte de contaminants, auquel a été ajouté une quantité connue d'analyte provenant généralement d'une deuxième source. Utilisé pour évaluer la précision de la méthode.

Blanc de méthode: Une partie aliquote de matrice pure soumise au même processus analytique que les échantillons, du prétraitement au dosage. Sert à évaluer toutes contaminations du laboratoire.

Réc = Récupération



BUREAU
VERITAS

Dossier Bureau Veritas: C552206

Date du rapport: 2025/09/29

WSP Canada Inc. - Montréal

Votre # du projet: CA0012054.2069 phase 123

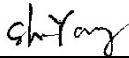
Adresse du site: Galaxy

PAGE DES SIGNATURES DE VALIDATION

Les résultats analytiques ainsi que les données de contrôle-qualité contenus dans ce rapport ont été vérifiés et validés par:



Frédéric Arnau, B.Sc., Chimiste, Montréal, Spécialiste Scientifique



Shu Yang, B.Sc. Chimiste, Montréal, Analyste II



Zineb El Ouail, M.Sc., Chimiste, Montréal, Analyste II

Bureau Veritas a mis en place des procédures qui protègent contre l'utilisation non autorisée de la signature électronique et emploie les «signataires» requis, conformément à l'ISO/CEI17025. Pour la validation spécifique à un groupe de services, veuillez vous référer à la page des Signatures de validation si elle est incluse, sinon disponible sur demande. Pour les noms de validation des analystes/superviseurs spécifiques à un service, veuillez vous référer à la section Résumé de l'analyse si elle est incluse, sinon disponible sur demande. Ce rapport est autorisé par Aglaia Yannakis, Directrice générale, responsable des opérations du laboratoire Environnementale - Québec.



eCOC: Q187473

Expected TAT: Standard TAT
 Expected Arrival: 2025/09/16 17:00
 Submitted By: Yvan Quenum
 Submitted To: Montréal

Invoice Information

Attn: COMPTES PAYABLE
 WSP Canada Inc.
 1600 René-Lévesque O
 16e Étage
 Montréal, QC, H3H 1P9
 Email to:
 capayablesinvoice@wsp.com

Report Information

Attn: Francis Charbonneau
 WSP Canada Inc. - Montréal
 1600 René-Lévesque O
 local B110
 Montréal, QC, H3H 1P9
 Email to:
 francis.charbonneau@wsp.com
 yvan.quenum@wsp.com
 sylvain.marcoux@wsp.com

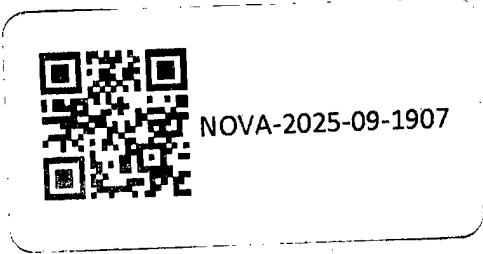
Project Information

Quote #: C40244
 PO/AFE#:
 Project #: CA0012054.2069 phase 123
 Site Location: Galaxy

Analytical Summary

A: Standard TAT

Client Sample ID	Clnt Ref	Sampling Date/Time	Matrix	#Cont	Silica by XR (NIOSH 7500)-PVC Filter	Total Extractable Metals (Hi-Vol)	Total Particulate	Total Particulate (Hi-Vol)	Set Number
GALA-250525-HV-1	1	2025/05/25 00:00	FILTER	1		A		A	1
GALA-250525-HV-2	2	2025/05/25 00:00	FILTER	1		A		A	1
GALA-250614-HV-1	3	2025/06/14 00:00	FILTER	1		A		A	1
GALA-250614-HV-2	4	2025/06/14 00:00	FILTER	1		A		A	1
GALA-250618-HV-1	5	2025/06/18 00:00	FILTER	1		A		A	1
GALA-250618-HV-2	6	2025/06/18 00:00	FILTER	1		A		A	1
GALA-250624-HV-1	7	2025/06/24 00:00	FILTER	1		A		A	1
GALA-250624-HV-2	8	2025/06/24 00:00	FILTER	1		A		A	2
GALA-250521-WIL-PM4-2	9	2025/05/21 00:00	FILTER	1	A		A		3
GALA-250531-WIL-PM4-2	10	2025/05/31 00:00	FILTER	1	A		A		3
GALA-250514-WIL-PM4-2	11	2025/05/14 00:00	FILTER	1	A		A		3
GALA-250501-WIL-PM4-2	12	2025/05/01 00:00	FILTER	1	A		A		3
GALA-250507-WIL-PM4-2	13	2025/05/07 00:00	FILTER	1	A		A		3
GALA-250425-WIL-PM4-2	14	2025/04/25 00:00	FILTER	1	A		A		3
GALA-250624-WIL-PM4-2	15	2025/06/24 00:00	FILTER	1	A		A		3
GALA-250614-WIL-PM4-2	16	2025/05/14 00:00	FILTER	1	A		A		3
GALA-250531-WIL-PM4-1	17	2025/05/25 00:00	FILTER	1	A		A		3
GALA-250521-WIL-PM4-1	18	2025/05/25 00:00	FILTER	1	A		A		3



Sandbook
 2025 09 15 08:00
 WSP
 SC02005
 0915
 CE 40
 SLALNO
 WT854
 20.20.20
 PURO



Votre # du projet: C575546
Adresse du site: WSP CANADA

Attention: Sarah Beaudry

Bureau Veritas Laboratories
889, Montee de Liesse
Saint-Laurent, QC
Canada H4T 1P5

Date du rapport: 01/14/2026
Rapport: R8681169
Version: 1 - Finale

CERTIFICAT D'ANALYSE

DE DOSSIER BUREAU VERITAS: C602560

Reçu: 01/09/2026, 00:00

Matrice: Air
Nombre d'échantillons reçus: 6

Analyses	Quantité	Date Analysé	Méthode de laboratoire	Méthode d'analyse
Silica on a PVC filter by N7500	6	01/13/2026	NOV5SOP-00001	NIOSH 7500
Total Quartz and Cristobalite	6	01/14/2026		

Le présent rapport ne doit pas être reproduit, sinon dans son intégralité, sans le consentement écrit du laboratoire.
Les résultats ne se rapportent qu'aux échantillons analysés.

Lorsque la méthode de référence comprend un suffixe « m », cela signifie que la méthode d'analyse du laboratoire contient des modifications validées et appliquées afin d'améliorer la performance de la méthode de référence.

clé de cryptage

Carley Linsenman
14 Jan 2026 12:51:17

COVERPAGECOMMENT1_IH
Carley Linsenman,
Courriel: Carley.Linsenman@bureauveritas.com
Téléphone (248)344-3038

=====

Bureau Veritas a mis en place des procédures qui protègent contre l'utilisation non autorisée de la signature électronique et emploie les «signataires» requis, conformément à l'ISO/CEI17025. Ce rapport est autorisé par Shawn Heier, responsable des opérations du laboratoire de MichiganHygiène industrielle.



BUREAU
VERITAS

Dossier Bureau Veritas: C602560

Date du rapport: 01/14/2026

Bureau Veritas Laboratories

Votre # du projet: C575546

Adresse du site: WSP CANADA

RÉSULTATS D'ANALYSE

Client ID:	PI9829-GALA-250811-WIL-PM4-1			Matrice:	Air
Identification Bureau Veritas:	AYXW90			Sample Media:	PVC 47 mm Untared
Date d'échantillonnage:	08/11/2025				
ANALYTE	Mass ug	concentration ug/m3	RL ug	Test Method	Date Analysé
Quartz	<5.0	N/A	5.0	NIOSH 7500	01/13/2026
Cristobalite	<5.0	N/A	5.0	NIOSH 7500	01/13/2026
Tridymite	<10	N/A	10	NIOSH 7500	01/13/2026
Total (Quartz and Cristobalite)	<10	N/A	10		01/14/2026
LDR = limite de détection rapportée					
RL = Seuil de détection					

Client ID:	PI9830-GALA-250811-WIL-PM4-2			Matrice:	Air
Identification Bureau Veritas:	AYXW91			Sample Media:	PVC 47 mm Untared
Date d'échantillonnage:	08/11/2025				
ANALYTE	Mass ug	concentration ug/m3	RL ug	Test Method	Date Analysé
Quartz	<5.0	N/A	5.0	NIOSH 7500	01/13/2026
Cristobalite	<5.0	N/A	5.0	NIOSH 7500	01/13/2026
Tridymite	<10	N/A	10	NIOSH 7500	01/13/2026
Total (Quartz and Cristobalite)	<10	N/A	10		01/14/2026
LDR = limite de détection rapportée					
RL = Seuil de détection					

Client ID:	PI9831-GALA-250823-WIL-PM4-1			Matrice:	Air
Identification Bureau Veritas:	AYXW92			Sample Media:	PVC 47 mm Untared
Date d'échantillonnage:	08/23/2025				
ANALYTE	Mass ug	concentration ug/m3	RL ug	Test Method	Date Analysé
Quartz	<5.0	N/A	5.0	NIOSH 7500	01/13/2026
Cristobalite	<5.0	N/A	5.0	NIOSH 7500	01/13/2026
Tridymite	<10	N/A	10	NIOSH 7500	01/13/2026
Total (Quartz and Cristobalite)	<10	N/A	10		01/14/2026
LDR = limite de détection rapportée					
RL = Seuil de détection					



BUREAU
VERITAS

Dossier Bureau Veritas: C602560
Date du rapport: 01/14/2026

Bureau Veritas Laboratories
Votre # du projet: C575546
Adresse du site: WSP CANADA

RÉSULTATS D'ANALYSE

Client ID:	PI9832-GALA-250823-WIL-PM4-2			Matrice:	Air
Identification Bureau Veritas:	AYXW93			Sample Media:	PVC 47 mm Untared
Date d'échantillonnage:	08/23/2025				
ANALYTE	Mass ug	concentration ug/m3	RL ug	Test Method	Date Analysé
Quartz	<5.0	N/A	5.0	NIOSH 7500	01/13/2026
Cristobalite	<5.0	N/A	5.0	NIOSH 7500	01/13/2026
Tridymite	<10	N/A	10	NIOSH 7500	01/13/2026
Total (Quartz and Cristobalite)	<10	N/A	10		01/14/2026
LDR = limite de détection rapportée					
RL = Seuil de détection					

Client ID:	PI9833-GALA-250829-WIL-PM4-1			Matrice:	Air
Identification Bureau Veritas:	AYXW94			Sample Media:	PVC 47 mm Untared
Date d'échantillonnage:	08/29/2025				
ANALYTE	Mass ug	concentration ug/m3	RL ug	Test Method	Date Analysé
Quartz	<5.0	N/A	5.0	NIOSH 7500	01/13/2026
Cristobalite	<5.0	N/A	5.0	NIOSH 7500	01/13/2026
Tridymite	<10	N/A	10	NIOSH 7500	01/13/2026
Total (Quartz and Cristobalite)	<10	N/A	10		01/14/2026
LDR = limite de détection rapportée					
RL = Seuil de détection					

Client ID:	PI9834-GALA-250829-WIL-PM4-2			Matrice:	Air
Identification Bureau Veritas:	AYXW95			Sample Media:	PVC 47 mm Untared
Date d'échantillonnage:	08/29/2025				
ANALYTE	Mass ug	concentration ug/m3	RL ug	Test Method	Date Analysé
Quartz	<10	N/A	10	NIOSH 7500	01/13/2026
Cristobalite	<5.0	N/A	5.0	NIOSH 7500	01/13/2026
Tridymite	<10	N/A	10	NIOSH 7500	01/13/2026
Total (Quartz and Cristobalite)	<15	N/A	15		01/14/2026
LDR = limite de détection rapportée					
RL = Seuil de détection					



BUREAU
VERITAS

Dossier Bureau Veritas: C602560

Date du rapport: 01/14/2026

Bureau Veritas Laboratories

Votre # du projet: C575546

Adresse du site: WSP CANADA

REMARQUES GÉNÉRALES

À moins d'indication contraire ci-dessous, les énoncés suivants s'appliquent: 1) tous les échantillons ont été reçus dans un état acceptable, 2) tous les résultats du contrôle de la qualité associés à cet ensemble d'échantillons se situaient dans des limites acceptables et / ou n'ont pas d'incidence négative sur les résultats déclarés et 3) les résultats en matière d'hygiène industrielle n'ont pas été corrigés pour le blanc.

Le client a fourni ses données pertinentes de l'échantillonnage sur le terrain sur le document de demande d'analyse soumis avec les échantillons. Les résultats s'appliquent à l'échantillon tel qu'il a été reçu.

Échantillon AYXW95 [PI9834-GALA-250829-WIL-PM4-2] : The reporting limit for quartz was raised due to interferences.

Les résultats s'appliquent seulement pour les paramètres analysés.

Votre # du projet: CA0012054.2069 phase 123
Adresse du site: Galaxy
Votre # Bordereau: 203079

Attention: Francis Charbonneau

WSP Canada Inc. - Montréal
René-Lévesque
1600 René-Lévesque O
local B110
Montréal, QC
CANADA H3H 1P9

Date du rapport: 2026/01/19
Rapport: R3156878
Version: 1 - Finale

CERTIFICAT D'ANALYSES

DE DOSSIER BUREAU VERITAS: C575546

Reçu: 2025/12/24, 08:00

Matrice: Filtre
Nombre d'échantillons reçus: 18

Analyses	Quantité	Date de l' extraction	Date Analyisé	Méthode de laboratoire	Méthode d'analyse
Particules totales	1	2025/12/29	2026/01/05	STL SOP-00045	MA100- Part 1.0 R8 m
Particules totales	9	2025/12/29	2025/12/29	STL SOP-00045	MA100- Part 1.0 R8 m
Particules totales (Hi-VOL)	8	2026/01/12	2026/01/13	STL SOP-00045	MA100-Part. 1.0 R8 m
Métaux extractibles totaux (Hi-vol)	8	2026/01/14	2026/01/16	STL SOP-00062	MA.200-Mét. 1.2 R9 m
Silice par RX (NIOSH 7500)-Filtre PVC (1)	6	N/A	N/A	Crystalline Silica by NIOSH 7500	NIOSH 7500

Remarques:

Bureau Veritas est certifié ISO/IEC 17025 pour certains paramètres précis des portées d'accréditation. Sauf indication contraire, les méthodes d'analyses utilisées par Bureau Veritas s'inspirent des méthodes de référence d'organismes provinciaux, fédéraux et américains, tels que le CCME, l'EPA, l'APHA ou le ministère de l'environnement du Québec.

Toutes les analyses présentées ont été réalisées conformément aux procédures et aux pratiques relatives à la méthodologie, à l'assurance qualité et au contrôle de la qualité généralement appliqués par les employés de Bureau Veritas (sauf s'il en a été convenu autrement par écrit entre le client et Bureau Veritas). Toutes les données de laboratoire rencontrent les contrôles statistiques et respectent tous les critères de CQ et les critères de performance des méthodes, sauf s'il en a été signalé autrement. Tous les blancs de méthode sont rapportés, toutefois, les données des échantillons correspondants ne sont pas corrigées pour la valeur du blanc, sauf indication contraire. Le cas échéant, sauf indication contraire, l'incertitude de mesure n'a pas été prise en considération lors de la déclaration de la conformité à la norme de référence.

Les responsabilités de Bureau Veritas sont restreintes au coût réel de l'analyse, sauf s'il en a été convenu autrement par écrit. Il n'existe aucune autre garantie, explicite ou implicite. Le client a fait appel à Bureau Veritas pour l'analyse de ses échantillons conformément aux méthodes de référence mentionnées dans ce rapport. L'interprétation et l'utilisation des résultats sont sous l'entière responsabilité du client et ne font pas partie des services offerts par Bureau Veritas, sauf si convenu autrement par écrit. Bureau Veritas ne peut pas garantir l'exactitude des résultats qui dépendent des renseignements fournis par le client ou son représentant.

Les résultats des échantillons solides, sauf les biotes, sont rapportés en fonction de la masse sèche, sauf indication contraire. Les analyses organiques ne sont pas corrigées en fonction de la récupération, sauf pour les méthodes de dilution isotopique.

Les résultats s'appliquent seulement aux échantillons analysés. Si l'échantillonnage n'est pas effectué par Bureau Veritas, les résultats se rapportent aux échantillons fournis pour analyse.

Le présent rapport ne doit pas être reproduit, sinon dans son intégralité, sans le consentement écrit du laboratoire.

Lorsque la méthode de référence comprend un suffixe « m », cela signifie que la méthode d'analyse du laboratoire contient des modifications validées et appliquées afin d'améliorer la performance de la méthode de référence.

Votre # du projet: CA0012054.2069 phase 123
Adresse du site: Galaxy
Votre # Bordereau: 203079

Attention: Francis Charbonneau

WSP Canada Inc. - Montréal
René-Lévesque
1600 René-Lévesque O
local B110
Montréal, QC
CANADA H3H 1P9

Date du rapport: 2026/01/19
Rapport: R3156878
Version: 1 - Finale

CERTIFICAT D'ANALYSES

DE DOSSIER BUREAU VERITAS: C575546

Reçu: 2025/12/24, 08:00

Notez: Les données brutes sont utilisées pour le calcul du RPD (% d'écart relatif). L'arrondissement des résultats finaux peut expliquer la variation apparente.
(1) Cette analyse a été effectuée par Bureau Veritas North America Inc.(Michigan), 22345 Roethel Drive , Novi, MI, 48375

Note : Les paramètres inclus dans le présent certificat sont accrédités par le ministère de l'environnement du Québec, à moins d'indication contraire.

clé de cryptage



AUTHORIZED REPORT
RAPPORT AUTORISÉ

Bureau Veritas

19 Jan 2026 15:06:52

Veillez adresser toute question concernant ce certificat d'analyse à:

Sarah Beaudry, Chargée de projets
Courriel: Sarah.Beaudry@bureauveritas.com
Téléphone (438)355-7268

=====
Ce rapport a été produit et distribué en utilisant une procédure automatisée sécuritaire.

Bureau Veritas a mis en place des procédures qui protègent contre l'utilisation non autorisée de la signature électronique et emploie les «signataires» requis, conformément à l'ISO/CEI17025. Pour la validation spécifique à un groupe de services, veuillez vous référer à la page des Signatures de validation si elle est incluse, sinon disponible sur demande. Pour les noms de validation des analystes/superviseurs spécifiques à un service, veuillez vous référer à la section Résumé de l'analyse si elle est incluse, sinon disponible sur demande. Ce rapport est autorisé par Aglaia Yannakis, Directrice générale, responsable des opérations du laboratoire Environnementale - Québec.



MÉTAUX (FILTRE)

ID Bureau Veritas		PI9821	PI9822	PI9823	PI9824		
Date d'échantillonnage		2025/08/11 00:00	2025/08/11 00:00	2025/08/17 00:00	2025/08/17 00:00		
# Bordereau		203079	203079	203079	203079		
	Unités	GALA-250811-HV-1	GALA-250811-HV-2	GALA-250817-HV-1	GALA-250817-HV-2	LDR	Lot CQ

MÉTAUX							
Antimoine (Sb) Air	ug	0.52	0.55	0.29	0.32	0.20	2735198
Arsenic (As) Air	ug	0.49	0.50	<0.40	<0.40	0.40	2735198
Baryum (Ba) Air	ug	2.3	3.2	1.4	4.1	0.40	2735198
Béryllium (Be) Air	ug	<0.30	<0.30	<0.30	<0.30	0.30	2735198
Cadmium (Cd) Air	ug	<0.20	<0.20	<0.20	<0.20	0.20	2735198
Chrome (Cr) Air	ug	2.3	3.5	4.2	4.6	0.90	2735198
Cobalt (Co) Air †	ug	<0.30	<0.30	<0.30	0.47	0.30	2735198
Cuivre (Cu) Air	ug	160	170	85	200	0.90	2735198
Manganèse (Mn) Air †	ug	4.2	7.5	1.3	9.7	0.90	2735198
Nickel (Ni) Air	ug	<2.0	<2.0	<2.0	2.2	2.0	2735198
Plomb (Pb) Air	ug	1.0	2.4	<0.40	<0.40	0.40	2735198
Sélénium (Se) Air †	ug	<0.50	<0.50	<0.50	<0.50	0.50	2735198
Thallium (Tl) Air	ug	<0.050	<0.050	<0.050	<0.050	0.050	2735198
Vanadium (V) Air	ug	<2.0	<2.0	<2.0	<2.0	2.0	2735198
Zinc (Zn) Air	ug	<9.0	<9.0	<9.0	<9.0	9.0	2735198

LDR = Limite de détection rapportée

Lot CQ = Lot contrôle qualité

† Accréditation non existante pour ce paramètre



BUREAU
VERITAS

Dossier Bureau Veritas: C575546

Date du rapport: 2026/01/19

WSP Canada Inc. - Montréal

Votre # du projet: CA0012054.2069 phase 123

Adresse du site: Galaxy

MÉTAUX (FILTRE)

ID Bureau Veritas		PI9825	PI9826	PI9827	PI9828		
Date d'échantillonnage		2025/08/23 00:00	2025/08/23 00:00	2025/08/29 00:00	2025/08/29 00:00		
# Bordereau		203079	203079	203079	203079		
	Unités	GALA-250823-HV-1	GALA-250823-HV-2	GALA-250829-HV-1	GALA-250829-HV-2	LDR	Lot CQ

MÉTAUX							
Antimoine (Sb) Air	ug	0.41	0.46	0.38	0.53	0.20	2735198
Argent (Ag) Air	ug	N/A	N/A	N/A	<0.30	0.30	2735198
Arsenic (As) Air	ug	<0.40	<0.40	<0.40	<0.40	0.40	2735198
Baryum (Ba) Air	ug	1.0	1.4	3.1	2.6	0.40	2735198
Béryllium (Be) Air	ug	<0.30	<0.30	<0.30	<0.30	0.30	2735198
Cadmium (Cd) Air	ug	<0.20	<0.20	<0.20	<0.20	0.20	2735198
Chrome (Cr) Air	ug	2.2	2.4	3.7	4.2	0.90	2735198
Cobalt (Co) Air †	ug	<0.30	<0.30	<0.30	<0.30	0.30	2735198
Cuivre (Cu) Air	ug	65	90	67	93	0.90	2735198
Manganèse (Mn) Air †	ug	2.8	3.4	2.9	5.9	0.90	2735198
Nickel (Ni) Air	ug	<2.0	<2.0	<2.0	<2.0	2.0	2735198
Plomb (Pb) Air	ug	1.3	1.1	0.70	<0.40	0.40	2735198
Sélénium (Se) Air †	ug	<0.50	<0.50	<0.50	<0.50	0.50	2735198
Thallium (Tl) Air	ug	<0.050	<0.050	<0.050	<0.050	0.050	2735198
Vanadium (V) Air	ug	<2.0	<2.0	<2.0	<2.0	2.0	2735198
Zinc (Zn) Air	ug	<9.0	<9.0	<9.0	<9.0	9.0	2735198

LDR = Limite de détection rapportée

Lot CQ = Lot contrôle qualité

N/A = Non Applicable

† Accréditation non existante pour ce paramètre



PARAMÈTRES CONVENTIONNELS (FILTRE)

ID Bureau Veritas		PI9821	PI9822	PI9823	PI9824		
Date d'échantillonnage		2025/08/11 00:00	2025/08/11 00:00	2025/08/17 00:00	2025/08/17 00:00		
# Bordereau		203079	203079	203079	203079		
	Unités	GALA-250811-HV-1	GALA-250811-HV-2	GALA-250817-HV-1	GALA-250817-HV-2	LDR	Lot CQ

CONVENTIONNELS							
Poids du filtre	g	3.474	3.476	3.408	3.447	0.001	2734724
Poids du filtre avec poussières	g	3.512	3.527	3.431	3.519	0.001	2734724
Particules totales	g	0.038	0.051	0.023	0.072	0.001	2734724
LDR = Limite de détection rapportée							
Lot CQ = Lot contrôle qualité							

ID Bureau Veritas		PI9825	PI9826	PI9827	PI9828		
Date d'échantillonnage		2025/08/23 00:00	2025/08/23 00:00	2025/08/29 00:00	2025/08/29 00:00		
# Bordereau		203079	203079	203079	203079		
	Unités	GALA-250823-HV-1	GALA-250823-HV-2	GALA-250829-HV-1	GALA-250829-HV-2	LDR	Lot CQ

CONVENTIONNELS							
Poids du filtre	g	3.474	3.471	3.481	3.457	0.001	2734724
Poids du filtre avec poussières	g	3.504	3.503	3.512	3.505	0.001	2734724
Particules totales	g	0.030	0.032	0.031	0.048	0.001	2734724
LDR = Limite de détection rapportée							
Lot CQ = Lot contrôle qualité							

ID Bureau Veritas		PI9829	PI9830	PI9831			
Date d'échantillonnage		2025/08/11 00:00	2025/08/11 00:00	2025/08/23 00:00			
# Bordereau		203079	203079	203079			
	Unités	GALA-250811-WIL-PM4-1	GALA-250811-WIL-PM4-2	GALA-250823-WIL-PM4-1	LDR	Lot CQ	

CONVENTIONNELS							
Poids du filtre	g	0.0199	0.0228	0.0209	0.0002	2732595	
Poids du filtre avec poussières	g	0.0207	0.0231	0.0211	0.0002	2732595	
Particules totales	g	0.0008	0.0003	0.0002	0.0002	2732595	
LDR = Limite de détection rapportée							
Lot CQ = Lot contrôle qualité							



PARAMÈTRES CONVENTIONNELS (FILTRE)

ID Bureau Veritas		PI9832	PI9833	PI9834		
Date d'échantillonnage		2025/08/23 00:00	2025/08/29 00:00	2025/08/29 00:00		
# Bordereau		203079	203079	203079		
	Unités	GALA-250823-WIL-PM4-2	GALA-250829-WIL-PM4-1	GALA-250829-WIL-PM4-2	LDR	Lot CQ

CONVENTIONNELS						
Poids du filtre	g	0.0215	0.0227	0.0212	0.0002	2732595
Poids du filtre avec poussières	g	0.0222	0.0239	0.0214	0.0002	2732595
Particules totales	g	0.0007	0.0012	0.0002	0.0002	2732595
LDR = Limite de détection rapportée Lot CQ = Lot contrôle qualité						

ID Bureau Veritas		PI9835	PI9836	PI9837		
Date d'échantillonnage		2025/08/11 00:00	2025/08/17 00:00	2025/08/23 00:00		
# Bordereau		203079	203079	203079		
	Unités	GALA-250811-WIL-PM2.5	GALA-250817-WIL-PM2.5	GALA-250823-WIL-PM2.5	LDR	Lot CQ

CONVENTIONNELS						
Poids du filtre	g	0.1435	0.1426	0.1419	0.0002	2732595
Poids du filtre avec poussières	g	0.1437	0.1432	0.1425	0.0002	2732595
Particules totales	g	0.0002	0.0006	0.0006	0.0002	2732595
LDR = Limite de détection rapportée Lot CQ = Lot contrôle qualité						

ID Bureau Veritas		PI9838		
Date d'échantillonnage		2025/08/29 00:00		
# Bordereau		203079		
	Unités	GALA-250829-WIL-PM2.5	LDR	Lot CQ

CONVENTIONNELS				
Poids du filtre	g	0.1437	0.0002	2732595
Poids du filtre avec poussières	g	0.1444	0.0002	2732595
Particules totales	g	0.0007	0.0002	2732595
LDR = Limite de détection rapportée Lot CQ = Lot contrôle qualité				



BUREAU
VERITAS

Dossier Bureau Veritas: C575546

Date du rapport: 2026/01/19

WSP Canada Inc. - Montréal

Votre # du projet: CA0012054.2069 phase 123

Adresse du site: Galaxy

REMARQUES GÉNÉRALES

PARAMÈTRES CONVENTIONNELS (FILTRE)

Particules Totales: Les résultats bruts non-arrondis sont utilisés dans le calcul des particules totales. Ce résultat total est alors arrondi à trois chiffres significatifs.

Les résultats ne se rapportent qu'aux échantillons soumis pour analyse



BUREAU
VERITAS

Dossier Bureau Veritas: C575546

Date du rapport: 2026/01/19

WSP Canada Inc. - Montréal

Votre # du projet: CA0012054.2069 phase 123

Adresse du site: Galaxy

RAPPORT ASSURANCE QUALITÉ

Lot AQ/CQ	Init	Type CQ	Groupe	Date Analysé	Valeur	Réc	Unités
2735198	VPL	Blanc fortifié	Antimoine (Sb) Air	2026/01/16		96	%
			Argent (Ag) Air	2026/01/16		93	%
			Arsenic (As) Air	2026/01/16		83	%
			Baryum (Ba) Air	2026/01/16		90	%
			Béryllium (Be) Air	2026/01/16		90	%
			Cadmium (Cd) Air	2026/01/16		90	%
			Chrome (Cr) Air	2026/01/16		82	%
			Cobalt (Co) Air	2026/01/16		87	%
			Cuivre (Cu) Air	2026/01/16		83	%
			Manganèse (Mn) Air	2026/01/16		82	%
			Nickel (Ni) Air	2026/01/16		85	%
			Plomb (Pb) Air	2026/01/16		91	%
			Sélénium (Se) Air	2026/01/16		82	%
			Thallium (Tl) Air	2026/01/16		79	%
			Vanadium (V) Air	2026/01/16		84	%
			Zinc (Zn) Air	2026/01/16		84	%
2735198	VPL	Blanc de méthode	Antimoine (Sb) Air	2026/01/16	<0.20		ug
			Argent (Ag) Air	2026/01/16	<0.30		ug
			Arsenic (As) Air	2026/01/16	<0.40		ug
			Baryum (Ba) Air	2026/01/16	<0.40		ug
			Béryllium (Be) Air	2026/01/16	<0.30		ug
			Cadmium (Cd) Air	2026/01/16	<0.20		ug
			Chrome (Cr) Air	2026/01/16	<0.90		ug
			Cobalt (Co) Air	2026/01/16	<0.30		ug
			Cuivre (Cu) Air	2026/01/16	<0.90		ug
			Manganèse (Mn) Air	2026/01/16	<0.90		ug
			Nickel (Ni) Air	2026/01/16	<2.0		ug
			Plomb (Pb) Air	2026/01/16	<0.40		ug
			Sélénium (Se) Air	2026/01/16	<0.50		ug
			Thallium (Tl) Air	2026/01/16	<0.050		ug
			Vanadium (V) Air	2026/01/16	<2.0		ug
			Zinc (Zn) Air	2026/01/16	<9.0		ug

Blanc fortifié: Un blanc, d'une matrice exempte de contaminants, auquel a été ajouté une quantité connue d'analyte provenant généralement d'une deuxième source. Utilisé pour évaluer la précision de la méthode.

Blanc de méthode: Une partie aliquote de matrice pure soumise au même processus analytique que les échantillons, du prétraitement au dosage. Sert à évaluer toutes contaminations du laboratoire.

Réc = Récupération



BUREAU
VERITAS

Dossier Bureau Veritas: C575546

Date du rapport: 2026/01/19

WSP Canada Inc. - Montréal

Votre # du projet: CA0012054.2069 phase 123

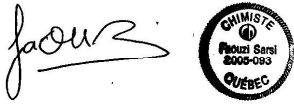
Adresse du site: Galaxy

PAGE DES SIGNATURES DE VALIDATION

Les résultats analytiques ainsi que les données de contrôle-qualité contenus dans ce rapport ont été vérifiés et validés par:



Afifah Naila Bestari, B. Sc. Chimiste, Montréal, Analyste II



Faouzi Sarsi, B.Sc. Chimiste, Montréal, Analyste SR



Michelina Cinquino, B. Sc Chimiste, Montréal, Analyste II

Bureau Veritas a mis en place des procédures qui protègent contre l'utilisation non autorisée de la signature électronique et emploie les «signataires» requis, conformément à l'ISO/CEI17025. Pour la validation spécifique à un groupe de services, veuillez vous référer à la page des Signatures de validation si elle est incluse, sinon disponible sur demande. Pour les noms de validation des analystes/superviseurs spécifiques à un service, veuillez vous référer à la section Résumé de l'analyse si elle est incluse, sinon disponible sur demande. Ce rapport est autorisé par Aglaia Yannakis, Directrice générale, responsable des opérations du laboratoire Environnementale - Québec.



eCOC: Q203079



Expected TAT: Standard TAT
 Expected Arrival: 2025/12/24 17:00
 Submitted By: Yvan Quenum
 Submitted To: Montréal

Invoice Information

Attn: COMPTES PAYABLE
 WSP Canada Inc.
 1600 René-Lévesque O
 16e Étage
 Montréal, QC, H3H 1P9
 Email to:
 capayablesinvoice@wsp.com

Report Information

Attn: Francis Charbonneau
 WSP Canada Inc. - Montréal
 1600 René-Lévesque O
 local B110
 Montréal, QC, H3H 1P9
 Email to:
 francis.charbonneau@wsp.com
 yvan.quenum@wsp.com
 sylvain.marcoux@wsp.com

Project Information

Quote #: C40244
 PO/AFE#: CA0012054.2069 phase 123
 Project #: CA0012054.2069 phase 123
 Site Location: Galaxy

Analytical Summary

A: Standard TAT

Client Sample ID	Clnt Ref	Sampling Date/Time	Matrix	#Cont	Silica by XR (NIOSH 7500)-PVC Filter	Total Extractable Metals (Hi-vol)	Total Particulate	Total Particulate (Hi-VOL)	Set Number
GALA-250811-HV-1	1	2025/08/11 00:00	FILTER	1		A		A	1
GALA-250811-HV-2	2	2025/08/11 00:00	FILTER	1		A		A	1
GALA-250817-HV-1	3	2025/08/17 00:00	FILTER	1		A		A	1
GALA-250817-HV-2	4	2025/08/17 00:00	FILTER	1		A		A	1
GALA-250823-HV-1	5	2025/08/23 00:00	FILTER	1		A		A	1
GALA-250823-HV-2	6	2025/08/23 00:00	FILTER	1		A		A	1
GALA-250829-HV-1	7	2025/08/29 00:00	FILTER	1		A		A	1
GALA-250829-HV-2	8	2025/08/29 00:00	FILTER	1		A		A	2
GALA-250811-WIL-PM4-1	9	2025/08/11 00:00	FILTER	1	A		A		3
GALA-250811-WIL-PM4-2	10	2025/08/11 00:00	FILTER	1	A		A		3
GALA-250823-WIL-PM4-1	11	2025/08/23 00:00	FILTER	1	A		A		3
GALA-250823-WIL-PM4-2	12	2025/08/23 00:00	FILTER	1	A		A		3
GALA-250829-WIL-PM4-1	13	2025/08/29 00:00	FILTER	1	A		A		3
GALA-250829-WIL-PM4-2	14	2025/08/29 00:00	FILTER	1	A		A		3
GALA-250811-WIL-PM2.5	15	2025/08/11 00:00	FILTER	1			A		4
GALA-250817-WIL-PM2.5	16	2025/08/17 00:00	FILTER	1			A		4
GALA-250823-WIL-PM2.5	17	2025/08/23 00:00	FILTER	1			A		4
GALA-250829-WIL-PM2.5	18	2025/08/29 00:00	FILTER	1			A		4



NOVA-2025-12-3053

Samok pater o y elemb?
 2025-12-24 08:00
 Purulator
 1ce-N
 Secal-N
 20,21,20

WJSS



Votre # du projet: C602116

Attention: Sarah Beaudry

Bureau Veritas Laboratories
889, Montee de Liesse
Saint-Laurent, QC
Canada H4T 1P5

Date du rapport: 01/26/2026

Rapport: R8686076

Version: 1 - Finale

CERTIFICAT D'ANALYSE

DE DOSSIER BUREAU VERITAS: C606832

Reçu: 01/22/2026, 00:00

Matrice: Air
Nombre d'échantillons reçus: 9

Analyses	Quantité	Date Analysé	Méthode de laboratoire	Méthode d'analyse
Silica on a PVC filter by N7500	9	01/23/2026	NOV5SOP-00001	NIOSH 7500
Total Quartz and Cristobalite	9	01/26/2026		

Le présent rapport ne doit pas être reproduit, sinon dans son intégralité, sans le consentement écrit du laboratoire.

Les résultats ne se rapportent qu'aux échantillons analysés.

Lorsque la méthode de référence comprend un suffixe « m », cela signifie que la méthode d'analyse du laboratoire contient des modifications validées et appliquées afin d'améliorer la performance de la méthode de référence.

clé de cryptage

Carley Linsenman

26 Jan 2026 14:23:33

COVERPAGECOMMENT1_IH

Carley Linsenman,
Courriel: Carley.Linsenman@bureauveritas.com
Téléphone (248)344-3038

=====

Bureau Veritas a mis en place des procédures qui protègent contre l'utilisation non autorisée de la signature électronique et emploie les «signataires» requis, conformément à l'ISO/CEI17025. Ce rapport est autorisé par Shawn Heier, responsable des opérations du laboratoire de MichiganHygiène industrielle.



BUREAU
VERITAS

Dossier Bureau Veritas: C606832
Date du rapport: 01/26/2026

Bureau Veritas Laboratories
Votre # du projet: C602116

RÉSULTATS D'ANALYSE

Client ID:	PJ7880-GALA-250904-WIL-PM4-1			Matrice:	Air
Identification Bureau Veritas:	AZFX49			Sample Media:	PVC 47 mm Untared
Date d'échantillonnage:	09/04/2025				
ANALYTE	Mass ug	concentration ug/m3	RL ug	Test Method	Date Analysé
Quartz	<5.0	N/A	5.0	NIOSH 7500	01/23/2026
Cristobalite	<5.0	N/A	5.0	NIOSH 7500	01/23/2026
Tridymite	<10	N/A	10	NIOSH 7500	01/23/2026
Total (Quartz and Cristobalite)	<10	N/A	10		01/26/2026
LDR = limite de détection rapportée					
RL = Seuil de détection					

Client ID:	PJ7881-GALA-250904-WIL-PM4-2			Matrice:	Air
Identification Bureau Veritas:	AZFX50			Sample Media:	PVC 47 mm Untared
Date d'échantillonnage:	09/04/2025				
ANALYTE	Mass ug	concentration ug/m3	RL ug	Test Method	Date Analysé
Quartz	<5.0	N/A	5.0	NIOSH 7500	01/23/2026
Cristobalite	<5.0	N/A	5.0	NIOSH 7500	01/23/2026
Tridymite	<10	N/A	10	NIOSH 7500	01/23/2026
Total (Quartz and Cristobalite)	<10	N/A	10		01/26/2026
LDR = limite de détection rapportée					
RL = Seuil de détection					

Client ID:	PJ7882-GALA-251104-WIL-PM4-1			Matrice:	Air
Identification Bureau Veritas:	AZFX51			Sample Media:	PVC 47 mm Untared
Date d'échantillonnage:	11/04/2025				
ANALYTE	Mass ug	concentration ug/m3	RL ug	Test Method	Date Analysé
Quartz	<5.0	N/A	5.0	NIOSH 7500	01/23/2026
Cristobalite	<5.0	N/A	5.0	NIOSH 7500	01/23/2026
Tridymite	<10	N/A	10	NIOSH 7500	01/23/2026
Total (Quartz and Cristobalite)	<10	N/A	10		01/26/2026
LDR = limite de détection rapportée					
RL = Seuil de détection					



BUREAU
VERITAS

Dossier Bureau Veritas: C606832
Date du rapport: 01/26/2026

Bureau Veritas Laboratories
Votre # du projet: C602116

RÉSULTATS D'ANALYSE

Client ID:	PJ7889-GALA-251116-WIL-PM4-1			Matrice:	Air
Identification Bureau Veritas:	AZFX52			Sample Media:	PVC 47 mm Untared
Date d'échantillonnage:	11/16/2025				
ANALYTE	Mass ug	concentration ug/m3	RL ug	Test Method	Date Analysé
Quartz	8.1	N/A	5.0	NIOSH 7500	01/23/2026
Cristobalite	<5.0	N/A	5.0	NIOSH 7500	01/23/2026
Tridymite	<10	N/A	10	NIOSH 7500	01/23/2026
Total (Quartz and Cristobalite)	<10	N/A	10		01/26/2026
LDR = limite de détection rapportée					
RL = Seuil de détection					

Client ID:	PJ7890-GALA-251116-WIL-PM4-2			Matrice:	Air
Identification Bureau Veritas:	AZFX53			Sample Media:	PVC 47 mm Untared
Date d'échantillonnage:	11/16/2025				
ANALYTE	Mass ug	concentration ug/m3	RL ug	Test Method	Date Analysé
Quartz	<5.0	N/A	5.0	NIOSH 7500	01/23/2026
Cristobalite	<5.0	N/A	5.0	NIOSH 7500	01/23/2026
Tridymite	<10	N/A	10	NIOSH 7500	01/23/2026
Total (Quartz and Cristobalite)	<10	N/A	10		01/26/2026
LDR = limite de détection rapportée					
RL = Seuil de détection					

Client ID:	PJ7891-GALA-251128-WIL-PM4-1			Matrice:	Air
Identification Bureau Veritas:	AZFX54			Sample Media:	PVC 47 mm Untared
Date d'échantillonnage:	11/28/2025				
ANALYTE	Mass ug	concentration ug/m3	RL ug	Test Method	Date Analysé
Quartz	<5.0	N/A	5.0	NIOSH 7500	01/23/2026
Cristobalite	<5.0	N/A	5.0	NIOSH 7500	01/23/2026
Tridymite	<10	N/A	10	NIOSH 7500	01/23/2026
Total (Quartz and Cristobalite)	<10	N/A	10		01/26/2026
LDR = limite de détection rapportée					
RL = Seuil de détection					



BUREAU
VERITAS

Dossier Bureau Veritas: C606832
Date du rapport: 01/26/2026

Bureau Veritas Laboratories
Votre # du projet: C602116

RÉSULTATS D'ANALYSE

Client ID:	PJ7892-GALA-251129-WIL-PM4-1			Matrice:	Air
Identification Bureau Veritas:	AZFX55			Sample Media:	PVC 47 mm Untared
Date d'échantillonnage:	11/29/2025				
ANALYTE	Mass ug	concentration ug/m3	RL ug	Test Method	Date Analysé
Quartz	<5.0	N/A	5.0	NIOSH 7500	01/23/2026
Cristobalite	<5.0	N/A	5.0	NIOSH 7500	01/23/2026
Tridymite	<10	N/A	10	NIOSH 7500	01/23/2026
Total (Quartz and Cristobalite)	<10	N/A	10		01/26/2026
LDR = limite de détection rapportée					
RL = Seuil de détection					

Client ID:	PJ7893-GALA-251211-WIL-PM4-1			Matrice:	Air
Identification Bureau Veritas:	AZFX56			Sample Media:	PVC 47 mm Untared
Date d'échantillonnage:	12/11/2025				
ANALYTE	Mass ug	concentration ug/m3	RL ug	Test Method	Date Analysé
Quartz	<5.0	N/A	5.0	NIOSH 7500	01/23/2026
Cristobalite	<5.0	N/A	5.0	NIOSH 7500	01/23/2026
Tridymite	<10	N/A	10	NIOSH 7500	01/23/2026
Total (Quartz and Cristobalite)	<10	N/A	10		01/26/2026
LDR = limite de détection rapportée					
RL = Seuil de détection					

Client ID:	PJ7894-GALA-251211-WIL-PM4-2			Matrice:	Air
Identification Bureau Veritas:	AZFX57			Sample Media:	PVC 47 mm Untared
Date d'échantillonnage:	12/11/2025				
ANALYTE	Mass ug	concentration ug/m3	RL ug	Test Method	Date Analysé
Quartz	<5.0	N/A	5.0	NIOSH 7500	01/23/2026
Cristobalite	<5.0	N/A	5.0	NIOSH 7500	01/23/2026
Tridymite	<10	N/A	10	NIOSH 7500	01/23/2026
Total (Quartz and Cristobalite)	<10	N/A	10		01/26/2026
LDR = limite de détection rapportée					
RL = Seuil de détection					



REMARQUES GÉNÉRALES

À moins d'indication contraire ci-dessous, les énoncés suivants s'appliquent: 1) tous les échantillons ont été reçus dans un état acceptable, 2) tous les résultats du contrôle de la qualité associés à cet ensemble d'échantillons se situaient dans des limites acceptables et / ou n'ont pas d'incidence négative sur les résultats déclarés et 3) les résultats en matière d'hygiène industrielle n'ont pas été corrigés pour le blanc.

Le client a fourni ses données pertinentes de l'échantillonnage sur le terrain sur le document de demande d'analyse soumis avec les échantillons. Les résultats s'appliquent à l'échantillon tel qu'il a été reçu.

Les résultats s'appliquent seulement pour les paramètres analysés.



Sent to: Bureau Veritas North America Inc
 22345 Roethel Drive
 Novi, MI, 48375
 Tel: (248) 344-1770

BUREAU VERITAS INTERLAB CHAIN OF CUSTODY RECORD

COC # C602116-BVMI-01-01

REPORT INFORMATION								ANALYSIS REQUESTED												Job Barcode Label
Company: Bureau Veritas								Silica by XR (NIOSH 7500)-PVC Filter												
Address: 889, Montée de Liesse, Saint-Laurent, Quebec, H4T 1P5																				
Contact Name: Sarah Beaudry																				
Email: Sarah.Beaudry@bureauveritas.com, SoustraitanceQue-YUL@bureauveritas.com																				
Phone: (438) 355-7268																				
BV Project #: C602116																				
Client Invoice To: WSP Canada Inc. (4934)																				
Client Report To: WSP Canada Inc. - Montréal (4040)								Incl. on Report? Yes / No												
#	SAMPLE ID	MATRIX	DATE SAMPLED (YYYY/MM/DD)	TIME SAMPLED (HH:MM)	SAMPLER INITIALS	# CONT.													ADDITIONAL SAMPLE INFORMATION	
1	PJ7880-GALA-250904-WIL-PM4-1	FILT	2025/09/04	00:00		1	X												(P: 01)	
2	PJ7881-GALA-250904-WIL-PM4-2	FILT	2025/09/04	00:00		1	X												(P: 01)	
3	PJ7882-GALA-251104-WIL-PM4-1	FILT	2025/11/04	00:00		1	X												(P: 01)	
4	PJ7889-GALA-251116-WIL-PM4-1	FILT	2025/11/16	00:00		1	X												(P: 01)	
5	PJ7890-GALA-251116-WIL-PM4-2	FILT	2025/11/16	00:00		1	X												(P: 01)	
6	PJ7891-GALA-251128-WIL-PM4-1	FILT	2025/11/28	00:00		1	X												(P: 01)	
7	PJ7892-GALA-251129-WIL-PM4-2	FILT	2025/11/29	00:00		1	X												(P: 01)	
8	PJ7893-GALA-251211-WIL-PM4-1	FILT	2025/12/11	00:00		1	X												(P: 01)	
9	PJ7894-GALA-251211-WIL-PM4-2	FILT	2025/12/11	00:00		1	X												(P: 01)	
10																				
SITE LOCATION:				REGULATORY CRITERIA				SPECIAL INSTRUCTIONS				REQUIRED EDDS				TURNAROUND TIME				
Galaxy								Please inform Bureau Veritas immediately if you are not accredited for the requested test(s) or the hold time is approaching. **Please return a copy of this form with the report.**				National Excel (N001) Golder (Q001) Dessau Soprin Excel (C004)				<input type="checkbox"/> Rush Required 2026/01/29 Date Required <i>Please inform us if rush charges will be incurred.</i>				
SITE #:																				
PROJECT #:																				
CA0012054.2069 phase 123																				
PO/AFE, TASK ORDER/SERVICE ORDER, LINE ITEM:																				
COOLER ID:				COOLER ID:				COOLER ID:				RECEIVING LAB USE ONLY								
Custody Seal Present		YES	NO	Temp: (°C)		1	2	3	Custody Seal Present		YES	NO	Temp: (°C)		1	2	3	Bureau Veritas Job #		
Custody Seal Intact									Custody Seal Intact									C606832 CL		
Cooling Media Present									Cooling Media Present											
RELINQUISHED BY: (SIGN & PRINT)				DATE: (YYYY/MM/DD)		TIME: (HH:MM)		RECEIVED BY: (SIGN & PRINT)				DATE: (YYYY/MM/DD)		TIME: (HH:MM)						
1. Chen H				2026/01/21		15:25		1. EMMUHA Pores				2026/01/22		11:55						
2.								2.												

ACCEPTABLE

Votre # du projet: CA0012054.2069 phase 123

Adresse du site: Galaxy

Votre # Bordereau: 204149

Attention: Francis Charbonneau

WSP Canada Inc. - Montréal
René-Lévesque
1600 René-Lévesque O
local B110
Montréal, QC
CANADA H3H 1P9

Date du rapport: 2026/01/28

Rapport: R3158845

Version: 1 - Finale

CERTIFICAT D'ANALYSES

DE DOSSIER BUREAU VERITAS: C602116

Reçu: 2026/01/15, 08:30

Matrice: Filtre

Nombre d'échantillons reçus: 26

Analyses	Quantité	Date de l' extraction	Date Analyisé	Méthode de laboratoire	Méthode d'analyse
Particules totales	15	2026/01/20	2026/01/20	STL SOP-00045	MA100– Part 1.0 R8 m
Particules totales (Hi-VOL)	11	2026/01/19	2026/01/19	STL SOP-00045	MA100–Part. 1.0 R8 m
Métaux extractibles totaux (Hi-vol)	11	2026/01/26	2026/01/28	STL SOP-00062	MA.200–Mét. 1.2 R9 m
Silice par RX (NIOSH 7500)-Filtre PVC (1)	9	N/A	N/A	Crystalline Silica by NIOSH 7500	NIOSH 7500

Remarques:

Bureau Veritas est certifié ISO/IEC 17025 pour certains paramètres précis des portées d'accréditation. Sauf indication contraire, les méthodes d'analyses utilisées par Bureau Veritas s'inspirent des méthodes de référence d'organismes provinciaux, fédéraux et américains, tels que le CCME, l'EPA, l'APHA ou le ministère de l'environnement du Québec.

Toutes les analyses présentées ont été réalisées conformément aux procédures et aux pratiques relatives à la méthodologie, à l'assurance qualité et au contrôle de la qualité généralement appliqués par les employés de Bureau Veritas (sauf s'il en a été convenu autrement par écrit entre le client et Bureau Veritas). Toutes les données de laboratoire rencontrent les contrôles statistiques et respectent tous les critères de CQ et les critères de performance des méthodes, sauf s'il en a été signalé autrement. Tous les blancs de méthode sont rapportés, toutefois, les données des échantillons correspondants ne sont pas corrigées pour la valeur du blanc, sauf indication contraire. Le cas échéant, sauf indication contraire, l'incertitude de mesure n'a pas été prise en considération lors de la déclaration de la conformité à la norme de référence.

Les responsabilités de Bureau Veritas sont restreintes au coût réel de l'analyse, sauf s'il en a été convenu autrement par écrit. Il n'existe aucune autre garantie, explicite ou implicite. Le client a fait appel à Bureau Veritas pour l'analyse de ses échantillons conformément aux méthodes de référence mentionnées dans ce rapport. L'interprétation et l'utilisation des résultats sont sous l'entière responsabilité du client et ne font pas partie des services offerts par Bureau Veritas, sauf si convenu autrement par écrit. Bureau Veritas ne peut pas garantir l'exactitude des résultats qui dépendent des renseignements fournis par le client ou son représentant.

Les résultats des échantillons solides, sauf les biotes, sont rapportés en fonction de la masse sèche, sauf indication contraire. Les analyses organiques ne sont pas corrigées en fonction de la récupération, sauf pour les méthodes de dilution isotopique.

Les résultats s'appliquent seulement aux échantillons analysés. Si l'échantillonnage n'est pas effectué par Bureau Veritas, les résultats se rapportent aux échantillons fournis pour analyse.

Le présent rapport ne doit pas être reproduit, sinon dans son intégralité, sans le consentement écrit du laboratoire.

Lorsque la méthode de référence comprend un suffixe « m », cela signifie que la méthode d'analyse du laboratoire contient des modifications validées et appliquées afin d'améliorer la performance de la méthode de référence.

Notez: Les données brutes sont utilisées pour le calcul du RPD (% d'écart relatif). L'arrondissement des résultats finaux peut expliquer la variation apparente.

Votre # du projet: CA0012054.2069 phase 123
Adresse du site: Galaxy
Votre # Bordereau: 204149

Attention: Francis Charbonneau

WSP Canada Inc. - Montréal
René-Lévesque
1600 René-Lévesque O
local B110
Montréal, QC
CANADA H3H 1P9

Date du rapport: 2026/01/28
Rapport: R3158845
Version: 1 - Finale

CERTIFICAT D'ANALYSES

DE DOSSIER BUREAU VERITAS: C602116

Reçu: 2026/01/15, 08:30

(1) Cette analyse a été effectuée par Bureau Veritas North America Inc.(Michigan), 22345 Roethel Drive , Novi, MI, 48375

Note : Les paramètres inclus dans le présent certificat sont accrédités par le ministère de l'environnement du Québec, à moins d'indication contraire.

clé de cryptage



AUTHORIZED REPORT
RAPPORT AUTORISÉ

Bureau Veritas

28 Jan 2026 19:13:46

Veillez adresser toute question concernant ce certificat d'analyse à:

Sarah Beaudry, Chargée de projets
Courriel: Sarah.Beaudry@bureauveritas.com
Téléphone (438)355-7268

=====
Ce rapport a été produit et distribué en utilisant une procédure automatisée sécuritaire.

Bureau Veritas a mis en place des procédures qui protègent contre l'utilisation non autorisée de la signature électronique et emploie les «signataires» requis, conformément à l'ISO/CEI17025. Pour la validation spécifique à un groupe de services, veuillez vous référer à la page des Signatures de validation si elle est incluse, sinon disponible sur demande. Pour les noms de validation des analystes/superviseurs spécifiques à un service, veuillez vous référer à la section Résumé de l'analyse si elle est incluse, sinon disponible sur demande. Ce rapport est autorisé par Aglaia Yannakis, Directrice générale, responsable des opérations du laboratoire Environnementale - Québec.



MÉTAUX (FILTRE)

ID Bureau Veritas		PJ7869	PJ7870	PJ7871	PJ7872		
Date d'échantillonnage		2025/09/04 00:00	2025/09/04 00:00	2025/09/10 00:00	2025/11/02 00:00		
# Bordereau		204149	204149	204149	204149		
	Unités	GALA-250904-HV-1	GALA-2500904-HV-2	GALA-250910-HV-1	GALA-251102-HV-1	LDR	Lot CQ

MÉTAUX							
Antimoine (Sb) Air	ug	0.48	0.49	1.0	0.35	0.20	2737780
Argent (Ag) Air	ug	<0.30	<0.30	0.30	<0.30	0.30	2737780
Arsenic (As) Air	ug	<0.40	<0.40	3.4	<0.40	0.40	2737780
Baryum (Ba) Air	ug	2.1	2.5	16	0.94	0.40	2737780
Béryllium (Be) Air	ug	<0.30	<0.30	<0.30	<0.30	0.30	2737780
Cadmium (Cd) Air	ug	<0.20	<0.20	<0.20	<0.20	0.20	2737780
Chrome (Cr) Air	ug	3.2	2.1	7.1	2.7	0.90	2737780
Cobalt (Co) Air †	ug	<0.30	<0.30	0.86	<0.30	0.30	2737780
Cuivre (Cu) Air	ug	87	120	490	28	0.90	2737780
Manganèse (Mn) Air †	ug	3.5	4.1	31	<0.90	0.90	2737780
Nickel (Ni) Air	ug	<2.0	5.4	5.4	<2.0	2.0	2737780
Plomb (Pb) Air	ug	0.99	0.94	6.5	0.84	0.40	2737780
Sélénium (Se) Air †	ug	<0.50	<0.50	1.8	<0.50	0.50	2737780
Thallium (Tl) Air	ug	<0.050	<0.050	<0.050	<0.050	0.050	2737780
Vanadium (V) Air	ug	<2.0	<2.0	3.8	<2.0	2.0	2737780
Zinc (Zn) Air	ug	<9.0	<9.0	32	<9.0	9.0	2737780

LDR = Limite de détection rapportée

Lot CQ = Lot contrôle qualité

† Accréditation non existante pour ce paramètre



MÉTAUX (FILTRE)

ID Bureau Veritas		PJ7873	PJ7874	PJ7875	PJ7876		
Date d'échantillonnage		2025/11/16 00:00	2025/09/16 00:00	2025/11/28 00:00	2025/11/28 00:00		
# Bordereau		204149	204149	204149	204149		
	Unités	GALA-251116-HV-1	GALA-251116-HV-2	GALA-251128-HV-1	GALA-251129-HV-2	LDR	Lot CQ

MÉTAUX							
Antimoine (Sb) Air	ug	0.45	0.45	0.37	0.43	0.20	2737780
Argent (Ag) Air	ug	<0.30	<0.30	<0.30	<0.30	0.30	2737780
Arsenic (As) Air	ug	<0.40	<0.40	<0.40	<0.40	0.40	2737780
Baryum (Ba) Air	ug	0.90	0.81	0.50	1.0	0.40	2737780
Béryllium (Be) Air	ug	<0.30	<0.30	<0.30	<0.30	0.30	2737780
Cadmium (Cd) Air	ug	<0.20	<0.20	<0.20	<0.20	0.20	2737780
Chrome (Cr) Air	ug	5.0	2.6	2.4	2.5	0.90	2737780
Cobalt (Co) Air †	ug	<0.30	<0.30	<0.30	<0.30	0.30	2737780
Cuivre (Cu) Air	ug	43	550	17	160	0.90	2737780
Manganèse (Mn) Air †	ug	2.0	1.6	2.4	1.9	0.90	2737780
Nickel (Ni) Air	ug	3.5	2.4	<2.0	3.8	2.0	2737780
Plomb (Pb) Air	ug	<0.40	<0.40	<0.40	<0.40	0.40	2737780
Sélénium (Se) Air †	ug	<0.50	<0.50	<0.50	<0.50	0.50	2737780
Thallium (Tl) Air	ug	<0.050	<0.050	<0.050	<0.050	0.050	2737780
Vanadium (V) Air	ug	<2.0	<2.0	<2.0	<2.0	2.0	2737780
Zinc (Zn) Air	ug	12	<9.0	<9.0	<9.0	9.0	2737780

LDR = Limite de détection rapportée

Lot CQ = Lot contrôle qualité

† Accréditation non existante pour ce paramètre



BUREAU
VERITAS

Dossier Bureau Veritas: C602116

Date du rapport: 2026/01/28

WSP Canada Inc. - Montréal

Votre # du projet: CA0012054.2069 phase 123

Adresse du site: Galaxy

MÉTAUX (FILTRE)

ID Bureau Veritas		PJ7877	PJ7878	PJ7879		
Date d'échantillonnage		2025/12/11 00:00	2025/12/15 00:00	2025/12/17 00:00		
# Bordereau		204149	204149	204149		
	Unités	GALA-251211-HV-2	GALA-251215-HV-2	GALA-251217-HV-2	LDR	Lot CQ

MÉTAUX						
Antimoine (Sb) Air	ug	0.46	0.41	0.40	0.20	2737780
Argent (Ag) Air	ug	<0.30	0.34	<0.30	0.30	2737780
Arsenic (As) Air	ug	<0.40	<0.40	<0.40	0.40	2737780
Baryum (Ba) Air	ug	0.92	0.68	0.79	0.40	2737780
Béryllium (Be) Air	ug	<0.30	<0.30	<0.30	0.30	2737780
Cadmium (Cd) Air	ug	<0.20	<0.20	<0.20	0.20	2737780
Chrome (Cr) Air	ug	2.3	2.1	3.5	0.90	2737780
Cobalt (Co) Air †	ug	<0.30	<0.30	<0.30	0.30	2737780
Cuivre (Cu) Air	ug	510	660	490	0.90	2737780
Manganèse (Mn) Air †	ug	1.4	1.3	1.5	0.90	2737780
Nickel (Ni) Air	ug	2.4	8.2	9.3	2.0	2737780
Plomb (Pb) Air	ug	0.56	<0.40	<0.40	0.40	2737780
Sélénium (Se) Air †	ug	<0.50	<0.50	<0.50	0.50	2737780
Thallium (Tl) Air	ug	<0.050	<0.050	<0.050	0.050	2737780
Vanadium (V) Air	ug	<2.0	<2.0	<2.0	2.0	2737780
Zinc (Zn) Air	ug	<9.0	<9.0	<9.0	9.0	2737780

LDR = Limite de détection rapportée

Lot CQ = Lot contrôle qualité

† Accréditation non existante pour ce paramètre



PARAMÈTRES CONVENTIONNELS (FILTRE)

ID Bureau Veritas		PJ7869	PJ7870	PJ7871	PJ7872		
Date d'échantillonnage		2025/09/04 00:00	2025/09/04 00:00	2025/09/10 00:00	2025/11/02 00:00		
# Bordereau		204149	204149	204149	204149		
	Unités	GALA-250904-HV-1	GALA-2500904-HV-2	GALA-250910-HV-1	GALA-251102-HV-1	LDR	Lot CQ

CONVENTIONNELS							
Poids du filtre	g	3.470	3.466	3.471	3.462	0.001	2736242
Poids du filtre avec poussières	g	3.495	3.496	3.607	3.478	0.001	2736242
Particules totales	g	0.025	0.030	0.136	0.016	0.001	2736242

LDR = Limite de détection rapportée
Lot CQ = Lot contrôle qualité

ID Bureau Veritas		PJ7873	PJ7874	PJ7875	PJ7876		
Date d'échantillonnage		2025/11/16 00:00	2025/09/16 00:00	2025/11/28 00:00	2025/11/28 00:00		
# Bordereau		204149	204149	204149	204149		
	Unités	GALA-251116-HV-1	GALA-251116-HV-2	GALA-251128-HV-1	GALA-251129-HV-2	LDR	Lot CQ

CONVENTIONNELS							
Poids du filtre	g	3.473	3.591	3.590	3.582	0.001	2736242
Poids du filtre avec poussières	g	3.487	3.607	3.606	3.600	0.001	2736242
Particules totales	g	0.015	0.015	0.016	0.018	0.001	2736242

LDR = Limite de détection rapportée
Lot CQ = Lot contrôle qualité

ID Bureau Veritas		PJ7877	PJ7878	PJ7879		
Date d'échantillonnage		2025/12/11 00:00	2025/12/15 00:00	2025/12/17 00:00		
# Bordereau		204149	204149	204149		
	Unités	GALA-251211-HV-2	GALA-251215-HV-2	GALA-251217-HV-2	LDR	Lot CQ

CONVENTIONNELS						
Poids du filtre	g	3.581	3.582	3.583	0.001	2736242
Poids du filtre avec poussières	g	3.603	3.599	3.608	0.001	2736242
Particules totales	g	0.022	0.017	0.025	0.001	2736242

LDR = Limite de détection rapportée
Lot CQ = Lot contrôle qualité



PARAMÈTRES CONVENTIONNELS (FILTRE)

ID Bureau Veritas		PJ7880	PJ7881	PJ7882		
Date d'échantillonnage		2025/09/04 00:00	2025/09/04 00:00	2025/11/04 00:00		
# Bordereau		204149	204149	204149		
	Unités	GALA-250904-WIL-PM4-1	GALA-250904-WIL-PM4-2	GALA-251104-WIL-PM4-1	LDR	Lot CQ

CONVENTIONNELS						
Poids du filtre	g	0.0224	0.0245	0.0232	0.0002	2736399
Poids du filtre avec poussières	g	0.0231	0.0248	0.0232	0.0002	2736399
Particules totales	g	0.0007	0.0003	<0.0002	0.0002	2736399

LDR = Limite de détection rapportée
Lot CQ = Lot contrôle qualité

ID Bureau Veritas		PJ7883	PJ7884	PJ7885		
Date d'échantillonnage		2025/09/04 00:00	2025/11/16 00:00	2025/11/29 00:00		
# Bordereau		204149	204149	204149		
	Unités	GALA-250904-WIL-PM2.5	GALA-251116-WIL-PM2.5	GALA-251129-WIL-PM2.5	LDR	Lot CQ

CONVENTIONNELS						
Poids du filtre	g	0.1439	0.1454	0.0933	0.0002	2736399
Poids du filtre avec poussières	g	0.1440	0.1454	0.0934	0.0002	2736399
Particules totales	g	<0.0002	<0.0002	<0.0002	0.0002	2736399

LDR = Limite de détection rapportée
Lot CQ = Lot contrôle qualité

ID Bureau Veritas		PJ7886	PJ7887	PJ7888		
Date d'échantillonnage		2025/12/13 00:00	2025/12/15 00:00	2025/12/17 00:00		
# Bordereau		204149	204149	204149		
	Unités	GALA-251213-WIL-PM2.5	GALA-251215-WIL-PM2.5	GALA-251217-WIL-PM2.5	LDR	Lot CQ

CONVENTIONNELS						
Poids du filtre	g	0.0942	0.0918	0.0934	0.0002	2736399
Poids du filtre avec poussières	g	0.0945	0.0921	0.0934	0.0002	2736399
Particules totales	g	0.0003	0.0003	<0.0002	0.0002	2736399

LDR = Limite de détection rapportée
Lot CQ = Lot contrôle qualité



PARAMÈTRES CONVENTIONNELS (FILTRE)

ID Bureau Veritas		PJ7889	PJ7890	PJ7891		
Date d'échantillonnage		2025/11/16 00:00	2025/11/16 00:00	2025/11/28 00:00		
# Bordereau		204149	204149	204149		
	Unités	GALA-251116-WIL-PM4-1	GALA-251116-WIL-PM4-2	GALA-251128-WIL-PM4-1	LDR	Lot CQ

CONVENTIONNELS						
Poids du filtre	g	0.0245	0.0220	0.0217	0.0002	2736399
Poids du filtre avec poussières	g	0.0246	0.0223	0.0225	0.0002	2736399
Particules totales	g	<0.0002	0.0003	0.0008	0.0002	2736399

LDR = Limite de détection rapportée
Lot CQ = Lot contrôle qualité

ID Bureau Veritas		PJ7892	PJ7893	PJ7894		
Date d'échantillonnage		2025/11/29 00:00	2025/12/11 00:00	2025/12/11 00:00		
# Bordereau		204149	204149	204149		
	Unités	GALA-251129-WIL-PM4-2	GALA-251211-WIL-PM4-1	GALA-251211-WIL-PM4-2	LDR	Lot CQ

CONVENTIONNELS						
Poids du filtre	g	0.0201	0.0228	0.0221	0.0002	2736399
Poids du filtre avec poussières	g	0.0205	0.0229	0.0227	0.0002	2736399
Particules totales	g	0.0004	<0.0002	0.0006	0.0002	2736399

LDR = Limite de détection rapportée
Lot CQ = Lot contrôle qualité



BUREAU
VERITAS

Dossier Bureau Veritas: C602116
Date du rapport: 2026/01/28

WSP Canada Inc. - Montréal
Votre # du projet: CA0012054.2069 phase 123
Adresse du site: Galaxy

REMARQUES GÉNÉRALES

PARAMÈTRES CONVENTIONNELS (FILTRE)

Particules Totales: Les résultats bruts non-arrondis sont utilisés dans le calcul des particules totales. Ce résultat total est alors arrondi à trois chiffres significatifs.

Particules Totales : Veuillez noter que les filtres PJ7871 et PJ7873 sont endommagés. Possibilité de sous-estimation des résultats.

Les résultats ne se rapportent qu'aux échantillons soumis pour analyse



BUREAU
VERITAS

Dossier Bureau Veritas: C602116

Date du rapport: 2026/01/28

WSP Canada Inc. - Montréal

Votre # du projet: CA0012054.2069 phase 123

Adresse du site: Galaxy

RAPPORT ASSURANCE QUALITÉ

Lot AQ/CQ	Init	Type CQ	Groupe	Date Analysé	Valeur	Réc	Unités
2737780	TDO	Blanc fortifié	Antimoine (Sb) Air	2026/01/27		110	%
			Argent (Ag) Air	2026/01/27		104	%
			Arsenic (As) Air	2026/01/27		99	%
			Baryum (Ba) Air	2026/01/27		105	%
			Béryllium (Be) Air	2026/01/27		106	%
			Cadmium (Cd) Air	2026/01/27		106	%
			Chrome (Cr) Air	2026/01/27		102	%
			Cobalt (Co) Air	2026/01/27		105	%
			Cuivre (Cu) Air	2026/01/27		104	%
			Manganèse (Mn) Air	2026/01/27		103	%
			Nickel (Ni) Air	2026/01/27		105	%
			Plomb (Pb) Air	2026/01/27		110	%
			Sélénium (Se) Air	2026/01/27		102	%
			Thallium (Tl) Air	2026/01/27		100	%
2737780	TDO	Blanc fortifié DUP	Vanadium (V) Air	2026/01/27		105	%
			Zinc (Zn) Air	2026/01/27		99	%
			Antimoine (Sb) Air	2026/01/27		113	%
			Argent (Ag) Air	2026/01/27		106	%
			Arsenic (As) Air	2026/01/27		98	%
			Baryum (Ba) Air	2026/01/27		106	%
			Béryllium (Be) Air	2026/01/27		105	%
			Cadmium (Cd) Air	2026/01/27		109	%
			Chrome (Cr) Air	2026/01/27		101	%
			Cobalt (Co) Air	2026/01/27		105	%
			Cuivre (Cu) Air	2026/01/27		103	%
			Manganèse (Mn) Air	2026/01/27		103	%
			Nickel (Ni) Air	2026/01/27		105	%
			Plomb (Pb) Air	2026/01/27		113	%
2737780	TDO	Blanc de méthode	Sélénium (Se) Air	2026/01/27		105	%
			Thallium (Tl) Air	2026/01/27		101	%
			Vanadium (V) Air	2026/01/27		104	%
			Zinc (Zn) Air	2026/01/27		99	%
			Antimoine (Sb) Air	2026/01/27	<0.20		ug
			Argent (Ag) Air	2026/01/27	<0.30		ug
			Arsenic (As) Air	2026/01/27	<0.40		ug
			Baryum (Ba) Air	2026/01/27	<0.40		ug
			Béryllium (Be) Air	2026/01/27	<0.30		ug
			Cadmium (Cd) Air	2026/01/27	<0.20		ug
			Chrome (Cr) Air	2026/01/27	<0.90		ug
			Cobalt (Co) Air	2026/01/27	<0.30		ug
			Cuivre (Cu) Air	2026/01/27	0.97, LDR=0.90		ug
			Manganèse (Mn) Air	2026/01/27	<0.90		ug
Nickel (Ni) Air	2026/01/27	<2.0		ug			
Plomb (Pb) Air	2026/01/27	<0.40		ug			
Sélénium (Se) Air	2026/01/27	<0.50		ug			
Thallium (Tl) Air	2026/01/27	<0.050		ug			
Vanadium (V) Air	2026/01/27	<2.0		ug			



BUREAU
VERITAS

Dossier Bureau Veritas: C602116
Date du rapport: 2026/01/28

WSP Canada Inc. - Montréal
Votre # du projet: CA0012054.2069 phase 123
Adresse du site: Galaxy

RAPPORT ASSURANCE QUALITÉ (SUITE)

Lot AQ/CQ	Init	Type CQ	Groupe	Date Analysé	Valeur	Réc	Unités
			Zinc (Zn) Air	2026/01/27	<9.0		ug
LDR = Limite de détection rapportée							
Blanc fortifié: Un blanc, d'une matrice exempte de contaminants, auquel a été ajouté une quantité connue d'analyte provenant généralement d'une deuxième source. Utilisé pour évaluer la précision de la méthode.							
Blanc de méthode: Une partie aliquote de matrice pure soumise au même processus analytique que les échantillons, du prétraitement au dosage. Sert à évaluer toutes contaminations du laboratoire.							
Réc = Récupération							



BUREAU
VERITAS

Dossier Bureau Veritas: C602116

Date du rapport: 2026/01/28

WSP Canada Inc. - Montréal

Votre # du projet: CA0012054.2069 phase 123

Adresse du site: Galaxy

PAGE DES SIGNATURES DE VALIDATION

Les résultats analytiques ainsi que les données de contrôle-qualité contenus dans ce rapport ont été vérifiés et validés par:

OCQ#2324-095

Cansu Bolukbas, B.Sc., Chimiste, Montréal, Analyste II



Myriam Assayag, B.Sc. Chimiste, Montréal, Chef d'équipe

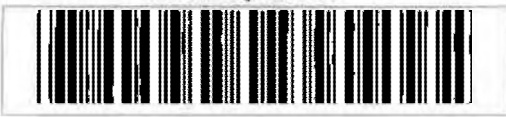
OCQ 2526 006

Maria Vidal-Pascual, Ph D, Chimiste Temp., Montréal, Spécialiste Contrôle Qualité

Bureau Veritas a mis en place des procédures qui protègent contre l'utilisation non autorisée de la signature électronique et emploie les «signataires» requis, conformément à l'ISO/CEI17025. Pour la validation spécifique à un groupe de services, veuillez vous référer à la page des Signatures de validation si elle est incluse, sinon disponible sur demande. Pour les noms de validation des analystes/superviseurs spécifiques à un service, veuillez vous référer à la section Résumé de l'analyse si elle est incluse, sinon disponible sur demande. Ce rapport est autorisé par Aglaia Yannakis, Directrice générale, responsable des opérations du laboratoire Environnementale - Québec.



eCOC: Q204149



Expected TAT: Standard TAT
 Expected Arrival: 2026/01/16 17:00
 Submitted By: Yvan Quenum
 Submitted To: Montréal

Invoice Information

Attn: COMPTE PAYABLE
 WSP Canada Inc.
 1600 René-Lévesque O
 16e Étage
 Montréal, QC, H3H 1P9
 Email to:
 capayablesinvoice@wsp.com

Report Information

Attn: Francis Charbonneau
 WSP Canada Inc. - Montréal
 1600 René-Lévesque O
 local B110
 Montréal, QC, H3H 1P9
 Email to:
 francis.charbonneau@wsp.com
 yvan.quenum@wsp.com
 sylvain.marcoux@wsp.com

Project Information

Quote #: C40244
 PO/AFE#: CA0012054.2069 phase 123
 Project #: CA0012054.2069 phase 123
 Site Location: Galaxy

Analytical Summary

A: Standard TAT

Client Sample ID	Clnt Ref	Sampling Date/Time	Matrix	#Cont	Silica by XR (NIOSH 7500)-PVC Filter	Total Extractable Metals (Hi-vol)	Total Particulate	Total Particulate (Hi-VOL)	Set Number
GALA-250904-HV-1	1	2025/09/04 00:00	FILTER	1		A		A	1
GALA-2500904-HV-2	2	2025/09/04 00:00	FILTER	1		A		A	1
GALA-250910-HV-1	3	2025/09/10 00:00	FILTER	1		A		A	1
GALA-251102-HV-2	4	2025/11/02 00:00	FILTER	1		A		A	1
GALA-251116-HV-1	5	2025/11/16 00:00	FILTER	1		A		A	1
GALA-251116-HV-2	6	2025/09/16 00:00	FILTER	1		A		A	1
GALA-251128-HV-1	7	2025/11/28 00:00	FILTER	1		A		A	1
GALA-251129-HV-2	8	2025/11/28 00:00	FILTER	1		A		A	2
GALA-251211-HV-2	9	2025/12/11 00:00	FILTER	1		A		A	2
GALA-251215-HV-2	10	2025/12/15 00:00	FILTER	1		A		A	2
GALA-251217-HV-2	11	2025/12/17 00:00	FILTER	1		A		A	2
GALA-250904-WIL-PM4-1	12	2025/09/04 00:00	FILTER	1	A		A		3
GALA-250904-WIL-PM4-2	13	2025/09/04 00:00	FILTER	1	A		A		3
GALA-251104-WIL-PM4-1	14	2025/11/04 00:00	FILTER	1	A		A		3
GALA-250904-WIL-PM2.5	15	2025/09/04 00:00	FILTER	1			A		4
GALA-251116-WIL-PM2.5	16	2025/11/16 00:00	FILTER	1			A		4
GALA-251129-WIL-PM2.5	17	2025/11/29 00:00	FILTER	1			A		4
GALA-251213-WIL-PM2.5	18	2025/12/13 00:00	FILTER	1			A		4



NOVA-2026-01-1005

Sandi Cook
 2026 0115 0830
 Ue no
 Sealno 20,20,20
 WT854



eCOC: Q204149



Expected TAT: Standard TAT
 Expected Arrival: 2026/01/16 17:00
 Submitted By: Yvan Quenum
 Submitted To: Montréal

A: Standard TAT

Client Sample ID	Clnt Ref	Sampling Date/Time	Matrix	#Cont	Silica by XR (NIOSH 7500)-PVC Filter	Total Extractable Metals (Hi-vol)	Total Particulate	Total Particulate (Hi-VOL)	Set Number
GALA-251215-WIL-PM2.5	19	2025/12/15 00:00	FILTER	1			A		4
GALA-251217-WIL-PM2.5	20	2025/12/17 00:00	FILTER	1			A		4
GALA-251116-WIL-PM4-1	21	2025/11/16 00:00	FILTER	1	A		A		3
GALA-251116-WIL-PM4-2	22	2025/11/16 00:00	FILTER	1	A		A		3
GALA-251128-WIL-PM4-1	23	2025/11/28 00:00	FILTER	1	A		A		3
GALA-251129-WIL-PM4-2	24	2025/11/29 00:00	FILTER	1	A		A		3
GALA-251211-WIL-PM4-1	25	2025/12/11 00:00	FILTER	1	A		A		3
GALA-251211-WIL-PM4-2	26	2025/12/11 00:00	FILTER	1	A		A		3

Deadlines are estimates only and are subject to change. Please refer to your Job Confirmation report for final due dates.

Submission Information

of Samples: 26

Sample Set Listing

Set 1 (7 samples)	Set 2 (4 samples)	Set 3 (9 samples)	Set 4 (6 samples)
GALA-250904-HV-1	GALA-251129-HV-2	GALA-250904-WIL-PM4-1	GALA-250904-WIL-PM2.5
GALA-250904-HV-2	GALA-251211-HV-2	GALA-250904-WIL-PM4-2	GALA-251116-WIL-PM2.5
GALA-250910-HV-1	GALA-251215-HV-2	GALA-251104-WIL-PM4-1	GALA-251129-WIL-PM2.5
GALA-251102-HV-2	GALA-251217-HV-2	GALA-251116-WIL-PM4-1	GALA-251213-WIL-PM2.5
GALA-251116-HV-1		GALA-251116-WIL-PM4-2	GALA-251215-WIL-PM2.5
GALA-251116-HV-2		GALA-251128-WIL-PM4-1	GALA-251217-WIL-PM2.5
GALA-251128-HV-1		GALA-251129-WIL-PM4-2	
		GALA-251211-WIL-PM4-1	
		GALA-251211-WIL-PM4-2	



Votre # du projet: C606274
Adresse du site: WSP CANADA

Attention: Sarah Beaudry

Bureau Veritas Laboratories
889, Montee de Liesse
Saint-Laurent, QC
Canada H4T 1P5

Date du rapport: 02/19/2026
Rapport: R8697317
Version: 1 - Finale

CERTIFICAT D'ANALYSE

DE DOSSIER BUREAU VERITAS: C616414

Reçu: 02/18/2026, 00:00

Matrice: Air
Nombre d'échantillons reçus: 2

Analyses	Quantité	Date Analyisé	Méthode de laboratoire	Méthode d'analyse
Silica on a PVC filter by N7500	2	02/19/2026	NOV5SOP-00001	NIOSH 7500
Total Quartz and Cristobalite	2	02/19/2026		

Le présent rapport ne doit pas être reproduit, sinon dans son intégralité, sans le consentement écrit du laboratoire.
Les résultats ne se rapportent qu'aux échantillons analysés.

Lorsque la méthode de référence comprend un suffixe « m », cela signifie que la méthode d'analyse du laboratoire contient des modifications validées et appliquées afin d'améliorer la performance de la méthode de référence.

clé de cryptage

Carley Linsenman
19 Feb 2026 17:01:37

COVERPAGECOMMENT1_IH
Carley Linsenman,
Courriel: Carley.Linsenman@bureauveritas.com
Téléphone (248)344-3038

=====

Bureau Veritas a mis en place des procédures qui protègent contre l'utilisation non autorisée de la signature électronique et emploie les «signataires» requis, conformément à l'ISO/CEI17025. Ce rapport est autorisé par Shawn Heier, responsable des opérations du laboratoire de MichiganHygiène industrielle.



BUREAU
VERITAS

Dossier Bureau Veritas: C616414
Date du rapport: 02/19/2026

Bureau Veritas Laboratories
Votre # du projet: C606274
Adresse du site: WSP CANADA

RÉSULTATS D'ANALYSE

Client ID:	PL5498-GALA-251217-WIL-PM4-2			Matrice:	Air
Identification Bureau Veritas:	AZZY09			Sample Media:	PVC 47 mm Untared
Date d'échantillonnage:	02/17/2026				
ANALYTE	Mass ug	concentration mg/m3	RL ug	Test Method	Date Analysé
Quartz	<5.0	N/A	5.0	NIOSH 7500	02/19/2026
Cristobalite	<5.0	N/A	5.0	NIOSH 7500	02/19/2026
Tridymite	<10	N/A	10	NIOSH 7500	02/19/2026
Total (Quartz and Cristobalite)	<10	N/A	10		02/19/2026
LDR = limite de détection rapportée					
RL = Seuil de détection					

Client ID:	PL5499-GALA-251217-WIL-PM4-1			Matrice:	Air
Identification Bureau Veritas:	AZZY10			Sample Media:	PVC 47 mm Untared
Date d'échantillonnage:	02/17/2026				
ANALYTE	Mass ug	concentration mg/m3	RL ug	Test Method	Date Analysé
Quartz	<5.0	N/A	5.0	NIOSH 7500	02/19/2026
Cristobalite	<5.0	N/A	5.0	NIOSH 7500	02/19/2026
Tridymite	<10	N/A	10	NIOSH 7500	02/19/2026
Total (Quartz and Cristobalite)	<10	N/A	10		02/19/2026
LDR = limite de détection rapportée					
RL = Seuil de détection					



BUREAU
VERITAS

Dossier Bureau Veritas: C616414

Date du rapport: 02/19/2026

Bureau Veritas Laboratories

Votre # du projet: C606274

Adresse du site: WSP CANADA

REMARQUES GÉNÉRALES

À moins d'indication contraire ci-dessous, les énoncés suivants s'appliquent: 1) tous les échantillons ont été reçus dans un état acceptable, 2) tous les résultats du contrôle de la qualité associés à cet ensemble d'échantillons se situaient dans des limites acceptables et / ou n'ont pas d'incidence négative sur les résultats déclarés et 3) les résultats en matière d'hygiène industrielle n'ont pas été corrigés pour le blanc.

Le client a fourni ses données pertinentes de l'échantillonnage sur le terrain sur le document de demande d'analyse soumis avec les échantillons. Les résultats s'appliquent à l'échantillon tel qu'il a été reçu.

Les résultats s'appliquent seulement pour les paramètres analysés.

Votre # du projet: CA0012054.2069 phase 123
Adresse du site: Galaxy
Votre # Bordereau: 206557

Attention: Francis Charbonneau

WSP Canada Inc. - Montréal
René-Lévesque
1600 René-Lévesque O
local B110
Montréal, QC
CANADA H3H 1P9

Date du rapport: 2026/02/20
Rapport: R3163030
Version: 1 - Finale

CERTIFICAT D'ANALYSES

DE DOSSIER BUREAU VERITAS: C606274

Reçu: 2026/02/12, 08:45

Matrice: Filtre
Nombre d'échantillons reçus: 2

Analyses	Quantité	Date de l' extraction	Date Analyisé	Méthode de laboratoire	Méthode d'analyse
Particules totales	2	2026/02/16	2026/02/16	STL SOP-00045	MA100– Part 1.0 R8 m
Silice par RX (NIOSH 7500)-Filtre PVC (1)	2	N/A	N/A	Crystalline Silica by NIOSH 7500	NIOSH 7500

Remarques:

Bureau Veritas est certifié ISO/IEC 17025 pour certains paramètres précis des portées d'accréditation. Sauf indication contraire, les méthodes d'analyses utilisées par Bureau Veritas s'inspirent des méthodes de référence d'organismes provinciaux, fédéraux et américains, tels que le CCME, l'EPA, l'APHA ou le ministère de l'environnement du Québec.

Toutes les analyses présentées ont été réalisées conformément aux procédures et aux pratiques relatives à la méthodologie, à l'assurance qualité et au contrôle de la qualité généralement appliqués par les employés de Bureau Veritas (sauf s'il en a été convenu autrement par écrit entre le client et Bureau Veritas). Toutes les données de laboratoire rencontrent les contrôles statistiques et respectent tous les critères de CQ et les critères de performance des méthodes, sauf s'il en a été signalé autrement. Tous les blancs de méthode sont rapportés, toutefois, les données des échantillons correspondants ne sont pas corrigées pour la valeur du blanc, sauf indication contraire. Le cas échéant, sauf indication contraire, l'incertitude de mesure n'a pas été prise en considération lors de la déclaration de la conformité à la norme de référence.

Les responsabilités de Bureau Veritas sont restreintes au coût réel de l'analyse, sauf s'il en a été convenu autrement par écrit. Il n'existe aucune autre garantie, explicite ou implicite. Le client a fait appel à Bureau Veritas pour l'analyse de ses échantillons conformément aux méthodes de référence mentionnées dans ce rapport. L'interprétation et l'utilisation des résultats sont sous l'entière responsabilité du client et ne font pas partie des services offerts par Bureau Veritas, sauf si convenu autrement par écrit. Bureau Veritas ne peut pas garantir l'exactitude des résultats qui dépendent des renseignements fournis par le client ou son représentant.

Les résultats des échantillons solides, sauf les biotes, sont rapportés en fonction de la masse sèche, sauf indication contraire. Les analyses organiques ne sont pas corrigées en fonction de la récupération, sauf pour les méthodes de dilution isotopique.

Les résultats s'appliquent seulement aux échantillons analysés. Si l'échantillonnage n'est pas effectué par Bureau Veritas, les résultats se rapportent aux échantillons fournis pour analyse.

Le présent rapport ne doit pas être reproduit, sinon dans son intégralité, sans le consentement écrit du laboratoire.

Lorsque la méthode de référence comprend un suffixe « m », cela signifie que la méthode d'analyse du laboratoire contient des modifications validées et appliquées afin d'améliorer la performance de la méthode de référence.

Notez: Les données brutes sont utilisées pour le calcul du RPD (% d'écart relatif). L'arrondissement des résultats finaux peut expliquer la variation apparente.

(1) Cette analyse a été effectuée par Bureau Veritas North America Inc.(Michigan), 22345 Roethel Drive , Novi, MI, 48375

Note : Les paramètres inclus dans le présent certificat sont accrédités par le ministère de l'environnement du Québec, à moins d'indication contraire.

Votre # du projet: CA0012054.2069 phase 123
Adresse du site: Galaxy
Votre # Bordereau: 206557

Attention: Francis Charbonneau

WSP Canada Inc. - Montréal
René-Lévesque
1600 René-Lévesque O
local B110
Montréal, QC
CANADA H3H 1P9

Date du rapport: 2026/02/20
Rapport: R3163030
Version: 1 - Finale

CERTIFICAT D'ANALYSES

DE DOSSIER BUREAU VERITAS: C606274

Reçu: 2026/02/12, 08:45

clé de cryptage



**AUTHORIZED REPORT
RAPPORT AUTORISÉ**

Bureau Veritas

20 Feb 2026 08:20:01

Veillez adresser toute question concernant ce certificat d'analyse à:

Sarah Beaudry, Chargée de projets
Courriel: Sarah.Beaudry@bureauveritas.com
Téléphone (438)355-7268

=====
Ce rapport a été produit et distribué en utilisant une procédure automatisée sécuritaire.

Bureau Veritas a mis en place des procédures qui protègent contre l'utilisation non autorisée de la signature électronique et emploie les «signataires» requis, conformément à l'ISO/CEI17025. Pour la validation spécifique à un groupe de services, veuillez vous référer à la page des Signatures de validation si elle est incluse, sinon disponible sur demande. Pour les noms de validation des analystes/superviseurs spécifiques à un service, veuillez vous référer à la section Résumé de l'analyse si elle est incluse, sinon disponible sur demande. Ce rapport est autorisé par Aglaia Yannakis, Directrice générale, responsable des opérations du laboratoire Environnementale - Québec.



PARAMÈTRES CONVENTIONNELS (FILTRE)

ID Bureau Veritas		PL5498	PL5499		
Date d'échantillonnage		2025/12/17 00:00	2025/12/17 00:00		
# Bordereau		206557	206557		
	Unités	GALA-251217-WIL-PM4-2	GALA-251217-WIL-PM4-1	LDR	Lot CQ
CONVENTIONNELS					
Poids du filtre	g	0.0218	0.0222	0.0002	2742880
Poids du filtre avec poussières	g	0.0219	0.0225	0.0002	2742880
Particules totales	g	<0.0002	0.0003	0.0002	2742880
LDR = Limite de détection rapportée Lot CQ = Lot contrôle qualité					



BUREAU
VERITAS

Dossier Bureau Veritas: C606274
Date du rapport: 2026/02/20

WSP Canada Inc. - Montréal
Votre # du projet: CA0012054.2069 phase 123
Adresse du site: Galaxy

REMARQUES GÉNÉRALES

Les résultats ne se rapportent qu'aux échantillons soumis pour analyse



BUREAU
VERITAS

Dossier Bureau Veritas: C606274

Date du rapport: 2026/02/20

WSP Canada Inc. - Montréal

Votre # du projet: CA0012054.2069 phase 123

Adresse du site: Galaxy

PAGE DES SIGNATURES DE VALIDATION

Les résultats analytiques ainsi que les données de contrôle-qualité contenus dans ce rapport ont été vérifiés et validés par:



Shu Yang

Shu Yang, B.Sc. Chimiste, Montréal, Analyste II

Bureau Veritas a mis en place des procédures qui protègent contre l'utilisation non autorisée de la signature électronique et emploie les « signataires » requis, conformément à l'ISO/CEI17025. Pour la validation spécifique à un groupe de services, veuillez vous référer à la page des Signatures de validation si elle est incluse, sinon disponible sur demande. Pour les noms de validation des analystes/superviseurs spécifiques à un service, veuillez vous référer à la section Résumé de l'analyse si elle est incluse, sinon disponible sur demande. Ce rapport est autorisé par Aglaia Yannakis, Directrice générale, responsable des opérations du laboratoire Environnementale - Québec.



Invoice Information

Attn: COMPTES PAYABLE
WSP Canada Inc.
1600 René-Lévesque O
16e Étage
Montréal, QC, H3H 1P9
Email to:
capayablesinvoice@wsp.com

Report Information

Attn: Francis Charbonneau
WSP Canada Inc. - Montréal
1600 René-Lévesque O
local B110
Montréal, QC, H3H 1P9
Email to:
francis.charbonneau@wsp.com
yvan.quenum@wsp.com
sylvain.marcoux@wsp.com

Project Information

Quote #: C40244
PO/AFE#: CA0012054.2069 phase 123
Project #: CA0012054.2069 phase 123
Site Location: Galaxy

Analytical Summary

A: Standard TAT

Client Sample ID	Clnt Ref	Sampling Date/Time	Matrix	#Cont	Silica by XR (NIOSH 7500)-PVC Filter	Total Particulate
GALA-251217-WIL-PM4-2	1	2025/12/17 00:00	FILTER	1	A	A
GALA-251217-WIL-PM4-1	2	2025/12/17 00:00	FILTER	1	A	A

Deadlines are estimates only and are subject to change. Please refer to your Job Confirmation report for final due dates.

Submission Information

of Samples: 2



NOVA-2026-02-1186

damola peter oyelcemi
2026-02-12 08:45
Purokator
1 CO-M
5091-M
20, 20, 20
WSSS



Sent to: Bureau Veritas North America Inc
 22345 Roethel Drive
 Novi, MI, 48375
 Tel: (248) 344-1770

BUREAU VERITAS INTERLAB CHAIN OF CUSTODY RECORD

COC # C522998-BVMI-02-01

REPORT INFORMATION							ANALYSIS REQUESTED										Job Barcode Label						
Company: Bureau Veritas							Silica by XRF (NIOSH 7500)-PVC Filter																
Address: 889, Montée de Liesse, Saint-Laurent, Quebec, H4T 1P5																							
Contact Name: Sarah Beaudry																							
Email: Sarah.Beaudry@bureauveritas.com, SoustraitanceQue-YUL@bureauveritas.com																							
Phone: (438) 355-7268																							
BV Project #: C522998																							
Client Invoice To: WSP Canada Inc. (4934)																							
Client Report To: WSP Canada Inc. - Montréal (4040) Incl. on Report? Yes / No																							
#	SAMPLE ID	MATRIX	DATE SAMPLED (YYYY/MM/DD)	TIME SAMPLED (HH:MM)	SAMPLER INITIALS	# CONT.																	ADDITIONAL SAMPLE INFORMATION
1	OJ0556-BLANC LABO (MS5618-01)	FILT	2025/01/13	00:00		1	X																(P: 01)
2	OJ0557-GALA-250224-WIL-PM4-1	FILT	2025/02/24	00:00		1	X																(P: 01)
3	OJ0558-GALA-250212-WIL-PM4-2	FILT	2025/02/12	00:00		1	X																(P: 01)
4	OJ0562-GALA-250308-WIL-PM4-2	FILT	2025/03/08	00:00		1	X																(P: 01)
5	OJ0563-GALA-250308-WIL-PM4-1	FILT	2025/03/08	00:00		1	X																(P: 01)
6	OJ0564-GALA-250224-WIL-PM4-2	FILT	2025/02/24	00:00		1	X																(P: 01)
7	OJ0566-BLANC TERRAIN (MS5639-01)	FILT	2025/01/13	00:00		1	X																(P: 01)
8																							
9																							
10																							
SITE LOCATION:			REGULATORY CRITERIA				SPECIAL INSTRUCTIONS				REQUIRED EDDs		TURNAROUND TIME										
Galaxy			Guide 2021 Basses-Terres				Please inform Bureau Veritas immediately if you are not accredited for the requested test(s) or the hold time is approaching. **Please return a copy of this form with the report.**				National Excel (N001) Golder (Q001) Dessau Soprin Excel (Q004)		<input type="checkbox"/> Rush Required 2025/05/23 Date Required <i>Please inform us if rush charges will be incurred.</i>										
SITE #:																							
PROJECT #:																							
CA0012054.2069 phase 123																							
PO/AE, TASK ORDER/SERVICE ORDER, LINE ITEM:																							
COOLER ID:			COOLER ID:				COOLER ID:				RECEIVING LAB USE ONLY												
											Bureau Veritas Job #												
Custody Seal Present			Custody Seal Present				Custody Seal Present																
Custody Seal Intact			Custody Seal Intact				Custody Seal Intact																
Cooling Media Present			Cooling Media Present				Cooling Media Present																
RELINQUISHED BY: (SIGN & PRINT)			DATE: (YYYY/MM/DD)		TIME: (HH:MM)		RECEIVED BY: (SIGN & PRINT)				DATE: (YYYY/MM/DD)		TIME: (HH:MM)										
1. VAT			2025-05-21		15:15		1. Luke Powell ACCEPTABLE				2025/05/22		1205										
2.							2.																